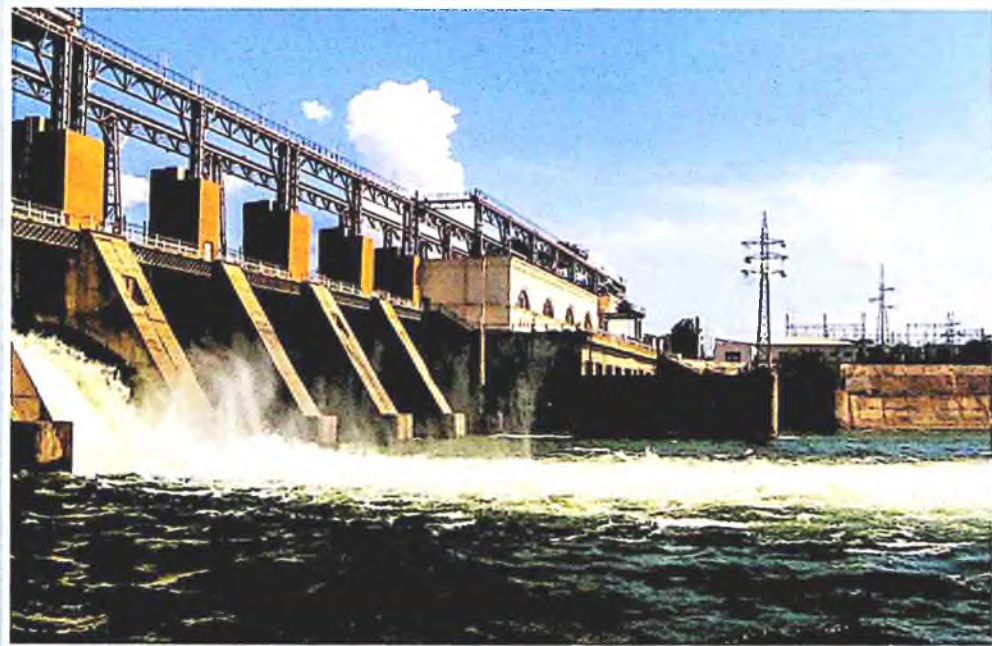


A. M. Arifjanov, X. Fayziyev,
A. U. Toshxo'jayev

GIDRAVLIKA

darslik



**O'ZBEKISTON RESPUBLIKASI
OLIY VA O'RTA MAXSUS TA'LIM VAZIRLIGI
TOSHKENT ARXITEKTURA QURILISH INSTITUTI**

A.M. Arifjanov, X. Fayziyev, A.U.Toshxo'jayev

GIDRAVLIKA

darslik

**5340700 - Gidrotexnika qurilishi (daryo inshootlari va gidroelektrostansiylar
qurilishi) bakalavriat ta'lif yo'naliishi mutaxassisligida tahlil olayotgan talabalar
uchun mo'ljallangan**

UDK – 621.22.(075.8)

KBK 30.123ya73

A 75

Arifjonov, A.M.

Gidravlika: darslik / A.M.Arifjonov, X.Fayziyev, A.U.Toshxo'jayev. - Toshkent : Yoshlar nashriyot uyi, 2020. - 372 b.

Ushbu darslikda quvurlar, kanallar va gidrotexnik inshootlardagi gidravlik jarayonlar bayon etilgan va ularning gidravlik hisobi informatsion texnologiyalardan (EHMdan) foydalangan holda bajarish uslublari keltirilgan. Har bir bo'limi yangi masalalar va ularning yechimi bilan boyitilgan.

Darslik O'zbekiston Respublikasi oliv va o'rta maxsus ta'lif vazirligi tomonidan tasdiqlangan «Gidravlika» fani o'quv dasturi asosida yozilgan bo'lib, darslik Gidravlika kursi rejalashtirilgan barcha bakalavriat yo'nalishlari va magistratura mutaxassisligi talabalari foydalanishlari uchun mo'ljallangan. Darslikda sohada erishilgan yangi fan yutuqlari ham o'z aksini topgan. Darslikdan soha mutaxassislari ham keng foydalanishlari mumkin.

Taqrizchilar:

Sherov A.; TIQXMMI Gidromeliorativ tizimlardan
foydalanish kafedrasi mudiri t.f.d.

Narbayev S.; TAQI MQI fakulteti dekani t.f.n., dots.



© A.M. ARIFJANOV, X. FAYZIYEV,
A.U.TOSHxo'JAYEV
© YOSHLAR NASHRIYOT UYI, 2020

ISBN 978-9943-6680-4-1

KIRISH

Suyuqliklarning muvozanat va harakat qonunlarini o'rganuvchi hamda bu qonunlarni texnikaning har xil sohalariga tadbiq etish bilan shug'ullanuvchi fan gidravlika deb ataladi. Gidravlika suyuqliklarda kuchlarning tarqalishi va uning harakat davomida o'zgarib borishi qonunlarini har xil qurilmalar va mashinalarni hisoblash hamda loyihalashga tadbiq etish bilan ham shug'ullanadi.

Gidravlika shuningdek, gidrotexnika, irrigatsiya, suv ta'minoti va kanalizatsiya, neft mexanikasi kabi bir qancha fanlarning asosi hisoblanadi. Insoniyat tarixining dastlabki davrlaridayoq suvdan foydalanish hayotda ma'lum o'rinni egallagan. Arxeologik tekshirishlar odamlar juda qadim zamonalardanoq (eramizdan 4000–2000-yillar avval) turli gidrotexnika inshootlari qurishni bilganliklarini ko'rsatadi. Qadimgi Xitoya, Misrda, Gretsiyada, Rimda, Markaziy Osiyoda va boshqa ibridoiy madaniyat o'choqlarida kemalar, to'g'onlar, suv ta'minoti va sug'orish sistemalari bunyod etilganligi to'g'risida ma'lumotlar mavjud. Bu qurilmalarning qoldiqlari hanuzgacha saqlanib qolgan. Lekin u davrlarda bunday qurilish ishlari haqida hech qanday hisoblashlar saqlanmaganligi, ular faqat amaliy bilimlarga tayangan ilmiy nazariy asosga ega emas degan fikrga olib keladi.

Bizgacha yetib kelgan, gidravlikaga aloqador ilmiy ishlardan birinchisi Arximedning "Suzib yuruvchi jismlar haqida" asari bo'lsa, keyinchalik VIII-XI asrlarda Markaziy Osiyoda yashab ijod qilgan qator olimlarning asarlarida gidravlikaga oid masalalar o'z aksini topgan. Jumladan, buyuk vatandoshimiz Ahmad Farg'oniy (832-833-yillarda) Shom (Suriya) shimalidagi Sinjor dashtida Tadmur va ar-Raqqa oralig'ida yer meridian bir darajasining uzunligini o'lichashda qatnashdi. Yuqorida aytib o'tganimizdek, Ahmad Farg'oniy Nil daryosidagi suv sathini o'lichaydigan inshoot barpo etish uchun Misrning Qohira shahri yaqinidagi Fustat shahriga keladi. Ilmiy-texnik va me'moriy jihatdan g'oyat ulug' vor bu qurilma Nil daryosining Sayyolat ul-Rod mavzesida hozirga qadar saqlanib qolgan.

Shunisi qiziqliki, aynan shu uskuna yordamida Misr aholisidan olinadigan yillik soliq miqdori belgilanib turilgan. Ya'ni, suv sathi ekinlarni sug'orish uchun qulay kelib, bir me'yorda oqsa, soliqning miqdori shunga qarab ko'tarilgan. Yoki suv sathi kamayib qurg'oqchilik boshlanadigan, aksincha suv ko'tarilib, ekinlarni yuvib ketishi mumkin bo'lgan vaqtarda soliqlar miqdori kamaytirilishi mumkin edi. Bu Misr aholisining turmushi uchun adolatli qonunlardan biri hisoblangan.

Suyuqlik qonunlarining ochilishi eramizning XVI – XVII asrlaridan boshlandi. Bularga Leonardo da Vinchining suyuqliklarning o‘zandagi va quvurdagi harakati, jismlarning suzib yurishi va boshqalarga bog‘liq ishlari, S. Stevenning idish tubiga va devorlariga ta’sir qiluvchi bosim kuchi, G. Galileyning jismlarning suyuqlikdagi harakati va muvozanati haqidagi ishlari, Y. Torichellining suyuqliklarning kichik teshikdan oqib ketishi, B. Paskalning bosimning suyuqlik orqali uzatilishi to‘g‘risidagi, I. Nyutonning suyuqliklardagi ichki qarshiliklar qonuni va boshqa ishlar kiradi. Keyinchalik suyuqliklarning muvozanat va harakat qonunlari ikki yo‘nalish bo‘yicha taraqqiy qila boshladi. Bulardan biri tajribalarga asoslangan gidravlika bo‘lsa, ikkinchisi nazariy mexanikaning mustaqil bo‘limi sifatida taraqqiy qila boshlagan nazariy gidromexanika edi. Nazariy gidromexanika aniq matematikaga asoslangan bo‘lib, suyuqlik qonunlarini differensial tenglamalar bilan ifodalash va ularni yechishga asoslanadi. Bu nazariy bilimlarning taraqqiy qilishiga XVII-XVIII asrlarda yashagan buyuk matematik-mexanik olimlar L.Eyler, D.Bernulli, M.Lomonosov, Lagranjlarning ilmiy asarlari asos bo‘ldi. U vaqttagi ishlar sof nazariy bo‘lib, suyuqliklarning fizik xossalarni ideallashtirib ko‘rilar va olingen natijalar harakat tarzlarini to‘g‘ri ifodalagani bilan tajriba natijalaridan juda uzoq edi. Shuning uchun bu ishlar gidromexanikaning taraqqiyotida aytarlik muhim rol o‘ynamas edi va gidromexanika o‘scha zamon texnikasi qo‘yan talabga javob bera olmas edi. XVIII-XIX asrlarda A.Shezi, A.Darsi, Bussinesk, Yu.Veysbax va boshqa olimlarning ishlari hozirgi zamonda gidravlika deb ataluvchi amaliy fanning asosi bo‘ldi. Gidravlika o‘z xulosalarini suyuqlik harakatining soddallashtirilgan sxemalarini qarash asosida chiqaradi va odatda, nazariy tenglamalarga empirik koeffitsiyentlar kiritib, ularni tajribalar o‘tkazish yo‘li bilan aniqlaydi. Keyinchalik esa gidravlika bilan gidromexanika fani o‘zaro yaqinlashib, bir-birini to‘ldiruvchi fanga aylandi. Hozirgi zamon gidravlikasi nazariyani tajriba bilan bog‘lab, nazariy tekshirishlarni tajribada sinash, tajriba natijalarini esa nazariy asosda umumlashtirish yo‘li bilan taraqqiy qilib boruvchi va o‘z tekshirishlarida gidromexanikaning usullari hamda yutuqlaridan foydalanib boruvchi fandir. Bu yo‘nalishda Gidravlikaning taraqqiyotida quyidagi olimlarning muhim hissasi bor. Peterburg fanlar Akademiyasining a’zolari bo‘lib, Rossiyada yashab, ijod etgan D. Bernulli va L.Eylerning gidromexanika fanining asoschilari sifatida yaratgan ishlanmalari, N.P.Petrovning gidrodinamik sirpanish nazariyasi, N.Ye.Jukovskiyning gidromexanikadagi muhim ishlari va quvurlardagi zarba nazariyasi, A.N.Krilovning kemalar nazariyasi, N.N.Pavlovskiyning suyuqliklarning

filtratsiyasi nazariyasi, L.S.Leybenzonning yer osti gidromexanikasi va boshqa olimlarning ishlari dunyo faniga qo'shilgan buyuk hissa bo'lib hisoblanadi, N.Ye.Jukovskiy, S.A.Shapligin va N.Ye.Koshinlar zamonaviy aerodinamika va gaz dinamikasining asoschilari bo'lib, bu fanlar hozir ham samolyot va raketalar harakatini o'rganishda katta rol o'ynaydi. Hozirgi zamon neft sanoati va texnikasida o'zbek olimi X.A.Raxmatulin asos solgan ko'p fazali muhitlar gidrodinamikasi muhim ahamiyatga ega ishlardan hisoblanadi. Respublikamiz iqtisodiyotining barcha sohalarida amalga oshiralayotgan islohotlarning muvaffaqiyatida, jumladan irrigatsiya va melioratsiya, sug'orish tizimi, kimyo sanoati, qishloq xo'jaligi, mashinasozlik sanoati va texnikaning bir qancha sohalarida gidravlikaning ahamiyati beqiyosdir.

1.1. Suyuqlik to‘g‘risida asosiy tushunchalar

Juda kichik miqdordagi kuchlar ta’sirida o‘z shaklini o‘zgartiruvchi, lekin siqilishga qattiq qarshilik ko‘rsatuvchi fizik jismlar suyuqliklar deb ataladi. Ular qattiq jismlardan o‘z zarrachalarining juda harakatchanligi bilan ajralib turadi va oquvchanlik xususiyatiga ega bo‘ladi. Shuning uchun ular qaysi idishga quyilsa, o‘shaning shaklini oladi. Gidravlikada suyuqliklar ikki gruppaga: tomchilanuvchi suyuqliklarga va gazsimon suyuqliklarga ajraladi. Suyuqlik deganda tomchilanuvchi suyuqliknini tuchunishga odatlanilgan bo‘lib, ular suv, spirt, neft, simob, turli moylar va tabiatda hamda texnikada uchrab turuvchi boshqa har xil suyuqliklardir.

Tomchilanuvchi suyuqliklar bir qancha xususiyatlarga ega:

- 1) hajmi bosim ta’sirida juda kam o‘zgaradi va siqilishga qarshiligi juda katta;
- 2) harorat o‘zgarishi bilan hajmi oz miqdorda o‘zgaradi;
- 3) cho‘zuvchi kuchlarga deyarli qarshilik ko‘rsatmaydi;
- 4) sirtida molekulalararo o‘zaro qovushqoqlik kuchi yuzaga keladi va u sirt taranglik kuchini vujudga keltiradi.

Tomchilanuvchi suyuqliklarning boshqa xususiyatlari to‘g‘risida keyinchalik yana to‘xtolib o‘tamiz.

Gazlar tomchilanuvchi suyuqliklardagiga nisbatan ham tezroq harakatlanuvchi zarrachalardan tashkil topgan bo‘lib, ular bosim va temperatura ta’sirida o‘z hajmini tez o‘zgartiradi. Ularda cho‘zuvchi kuchga qarshilik va qovushqoqlik kuchi tomchilanuvchi suyuqliklarga nisbatan juda ham kam. Gazlar bilan gaz dinamikasi, termodinamika va aerodinamika fanlari shug‘ullanadi.

Gidravlika kursi asosan tomchilanuvchi suyuqliklar bilan shug‘ullanadi. Shuning uchun uni bundan buyon to‘g‘ridan-to‘g‘ri suyuqlik deb atayveramiz.

Suyuqliklar tutash jismlar qatoriga kiradi va muvozanat hamda harakat hollarida doimo qattiq jismlar (suyuqlik solingan idish tubi va devorlari, quvur va kanallarning devorlari va boshqalar) bilan chegaralangan bo‘ladi. Suyuqliklar gazlar (havo) bilan ham ma’lum chegara bo‘yicha ajralishi mumkin. Bu chegara erkin sirt deb ataladi.

Suyuqliklar siljituvchi kuchlarga sezilarli darajada qarshilik ko‘rsatadi va bu qarshilik ichki kuchlar sifatida namoyon bo‘ladi. Ularni aniqlash suyuqliklar harakatini tekshirishda muhim ahamiyatga egadir.

1.2. Suyuqliklarga ta'sir qiluvchi kuchlar

Suyuqliklarga ta'sir qiluvchi kuchlar qo'yilish usuliga qarab ichki va tashqi kuchlarga ajraladi:

ichki kuchlar - suyuqlik zarrachalarining o'zaro ta'siri natijasida vujudga keladi;

tashqi kuchlar - suyuqlikka boshqa jismlarning ta'sirini ifodalaydi (masalan, suyuqlik solingan idish devorlarining ta'siri, ochiq yuzaga ta'sir qilayotgan havo bosimi va h.k.).

Ichki kuchlar siljituvcchi kuchlarga qarshilik sifatida namoyon bo'ladi va *ichki ishqalanish* kuchi deyiladi. Tashqi kuchlarni yuza bo'yicha va hajm bo'yicha ta'sir qiluvchi kuchlar sifatida ko'rish mumkin. Shuning uchun suyuqliklarga ta'sir qiluvchi kuchlar yuza bo'yicha yoki hajm bo'yicha ta'sir qilinishiga qarab yuzaki va massa kuchlarga bo'linadi.

Yuzaki kuchlar – qaralayotgan suyuqlik hajmining sirtlariga ta'sir qiluvchi kuchlardir. Ularga bosim kuchi, sirt taranglik kuchi, suyuqlik solingan idish devorining reaksiya kuchlari, ichki ishqalanish kuchi kiradi. Ichki ishqalanish kuchlari suyuqlik harakat qilgan vaqtida yuzaga keladi va qovushqoqlik xususiyatini yuzaga keltiradi.

Massa kuchlar - qaralayotgan suyuqlik hajmining har bir zarrasiga ta'sir qiladi va uning massasiga proportsional bo'ladi. Ularga og'irlik va inertsiya kuchlari kiradi.

1.3. Suyuqliklarning fizik xossalari

1. Zichlik. Suyuqliknинг hajm birligiga to'g'ri kelgan tinch holatdagi massasi uning zichligi deb ataladi. Bu ta'rifga asosan

$$\rho = \frac{M}{V} \quad (1.1)$$

bunda M - suyuqliknинг massasi (birligi $\frac{Ns^2}{m}$).

Zichlikning o'lchov birligi quyidagicha aniqlanadi:

$$|\rho| = \frac{M}{L^3} = \frac{Ns^2}{m^4}.$$

Ba'zan nisbiy zichlik tushunchasi kiritiladi. Suyuqlik zichligining suvning 4°C issiqlikdagi zichligiga nisbati uning nisbiy zichligi bo'ladi. (1.1) va (1.5) lardan ko'rinib turibdiki, zichlik bilan solishtirma og'irlik o'zaro quyidagicha bog'langan:

$$\rho = \frac{\gamma}{g} \quad (1.2)$$

u holda nisbiy zichlik va nisbiy solishtirma og'irliliklar o'zaro quyidagicha bog'lanadi:

$$\rho_{nisb.} = \frac{M_{nisb.}}{M_{nev.}} = \frac{G_{nisb.}}{G_{nev.}} = \gamma_{nisb.} \quad (1.3)$$

Zichlik temperaturaga bog'liq bo'lib, odatda, temperatura ortishi bilan kamayadi. Bu o'zgarish neft mahsulotlari uchun quyidagi munosabat orqali ifodalanadi:

$$\rho_t = \frac{\rho_{20}}{1 + \beta_t(t - 20)} \quad (1.4)$$

bunda t- temperatura (birligi °C), β_t – hajmiy kengayish temperatura koefitsiyenti; ρ_{20} – suyuqlikning 20°C dagi zichligi.

Suvning zichligi bu qonundan mustasno bo'lib, uning zichligi eng katta qiymatga 4°C (aniqrog'i 3,98°C) da ega bo'ladi. Uning issiqligi bundan oshsa ham, kamaysa ham zichligi kamayib boradi.

2. Solishtirma og'irlilik. Suyuqlikning hajm birligidagi og'irligi uning solishtirma og'irligi deb ataladi va grekcha γ harfi bilan belgilanadi. Yuqorida aytilgan ta'rifga asosan

$$\gamma = \frac{G}{V} \quad (1.5)$$

bu yerda V - suyuqlik hajmi (birligi m³), G – og'irligi (birligi N). Solishtirma og'irlilikning o'chov birligi SI sistemasida

$$|\gamma| = \frac{|G|}{|V|} = \frac{N}{m^3}$$

texnik sistemada esa $\frac{kgk}{m^3}$ – bo'lib, ular o'zaro quyidagicha begilangan:

$$1 \frac{kgk}{m^3} = 9,80665 \frac{N}{m^3}$$

Solishtirma og'irlik hajmi avvaldan ma'lum bo'lgan turli idishlardagi suyuqliklarning og'irligini o'chash usuli bilan yoki areometrlar yordami bilan aniqlanadi.

Solishtirma og'irlilik bosimga va temperaturaga bog'liq bo'lib, ular o'rtaisdagi munosabat ideal gazlar uchun quyidagi formula bilan ifodalanadi:

$$\frac{p}{\gamma} = RT \quad (1.6)$$

bu yerda p - bosim ($\frac{N}{m^2}$), T - absolyut temperatura, R - gaz doimiysi

$$(R_{neft} = 287 \frac{J}{kg \cdot grad}, R_{neft} = 518 \frac{J}{kg \cdot grad}),$$

Suyuqlik solishtirma og'irligining 4°C dagi suvning solishtirma og'irligiga nisbati uning nisbiy solishtirma og'irligi bo'ladi.

3. Suyuqliklarning temperaturadan kengayishi. Yuqorida aylib o'tilganidek, zichlik issiqlik o'zgarishi bilan o'zgarib boradi. Bu esa o'z-o'zidan issiqlik o'zgarishi bilan hajmning o'zgarishini ko'rsatadi. Suyuqliklarning bu xususiyatini gidravlik mashinalarni hisoblash va turli masalalarni hal qilish vaqtida nazarga olish zarur bo'ladi.

Suyuqliknинг issiqlikdan kengayishini kolbaga solingan suyuqliknинг qizdirilganda hajmi ko'payishi, suyuqlik to'ldirilib germetik yopib qo'yilgan boshqa va sisternalarning quyosh nurida qolganda yorilib ketishi, to'ldirilgan idishdagi suyuqliknинг sirtidan oqib tushishi kabi hodisalarda juda ko'p uchratish mumkin.

Suyuqliklarning bu xususiyatidan foydalanib suyuqlik termometrlari va boshqa turli sezgir o'lchov asboblari yaratiladi. Suyuqliklarning isitilganda kengayishini ifodalash uchun hajmiy kengayish temperatura koeffitsiyenti degan tushuncha kiritilib, u β , bilan belgilangan.

1.1-jadval. Suvning hajmiy kengayish temperatura koeffitsiyenti β , 1/grad

Bosim, MN/m ²	T °C				
	1-10	10-20	40-50	60-70	90-100
0,1	0,000014	0,000150	0,000422	0,000556	0,000719
9,8	0,000043	0,000165	0,000422	0,000548	0,000714
19,6	0,000072	0,000183	0,000426	0,000539	0,000561
49,0	0,000149	0,000236	0,000429	0,000523	0,000621
88,3	0,000229	0,000294	0,000437	0,000514	

Birlik hajmdagi suyuqliknинг temperaturasi 1°C ga oshirilganda kengaygan miqdori uning *hajmiy kengayish temperatura koeffitsiyenti* deyiladi va quyidagi formula bilan ifodalanadi:

$$\beta_t = \frac{1}{V} \frac{\Delta V}{\Delta t}, \quad (1.7)$$

bunda $\Delta V = V - V_0$ – qizdirilgandan keyingi va boshlang'ich hajmlar farqi; $\Delta t = t - t_0$ – temperaturalar farqi;

$$[\beta_t] = \frac{1}{\text{grad}};$$

β_t , juda kichik miqdor bo'lib, u suv uchun $\beta_t = 2 \cdot 10^{-4} \frac{1}{\text{grad}}$, mineral moyalar uchun $\beta_t = 7 \cdot 10^{-5} 1/\text{grad}$; simob uchun $\beta_t = 18 \cdot 10^{-5} 1/\text{grad}$.

4. Suyuqliklarning siqilishi. Gidravlik hisoblash ishlarida suyuqliklarni siqilmaydi deb hisoblash kerak, deb aytib o'tgan edik (bu yerda tomchilanuvchi suyuqlik nazarda tutiladi).

Lekin texnikada va tabiatda ba'zi hollarda bosim juda katta bo'ladi. Bunda agar suyuqlikning umumiy hajmi ham katta bo'lsa, hajm o'zgarishi sezilarli miqdorda bo'ladi va uni hisobga olish kerak.

Suyuqliklarning siqilishini hisobga olish uchun *hajmiy siqilish koeffitsiyenti* degan tushuncha kiritiladi va u β , bilan belgilanadi (ba'zida β_s , bilan ham belgilanadi). Birlik hajmdagi suyuqlikning bosimini bir birlikka oshirganda kamaygan miqdori hajmiy siqilish koeffitsiyenti deyiladi va u quyidagi formula bilan hisoblanadi:

$$\beta_s = -\frac{1}{V} \frac{\Delta V}{\Delta p} \quad (1.8)$$

bunda $\Delta p = p - p_0$ – o'zgargan va boshlang'ich bosimlar farqi; β , ham β_s , kabi juda kichik miqdor bo'lib, suv uchun $\beta_s = 4,9 \cdot 10^{-4} \text{ m}^2/\text{MN}$ ($\text{MN} - \text{meganyuton} = 10^6 \text{ N} \approx 10 \text{ at}$), mineral moylar uchun $\beta_s = 6 \cdot 10^{-4} \text{ m}^2/\text{MN}$; shuning uchun ham ko'p hollarda siqilishi hisobga olinmaydi.

1.2-jadval. Suvning hajmiy siqilish koeffitsiyenti $\beta_s \cdot 10^4 \text{ m}^2/\text{N}$

t, °C	Bosim, MN/m ²				
	0,5	1,0	2,0	3,9	7,9
0	0,00000540	0,00000537	0,00000531	0,00000523	0,00000515
5	0,00000529	0,00000523	0,00000518	0,00000508	0,00000493
10	0,00000523	0,00000518	0,00000508	0,00000498	0,00000481
15	0,00000518	0,00000510	0,00000503	0,00000488	0,00000470
20	0,00000515	0,00000505	0,00000495	0,00000481	0,00000460

5. Solishtirma hajm. Suyuqlikning og'irlilik birligidagi miqdorining hajmi solishtirma hajm deyiladi va hajjni og'irlilikka bo'lish yo'li bilan aniqlanadi:

$$\nu = \frac{V}{G} \quad (1.9)$$

(1.5) va (1.9) formulalardan ko'rinish turibdiki:

$$\gamma\nu = 1 \text{ yoki } \nu = \frac{1}{\gamma}$$

Solishtirma hajmnинг о'лчов бирлиги SI sistemasida:

$$|\nu| = \frac{|V|}{|G|} = \frac{m^3}{N}$$

Solishtirma hajm ham solishtirma og'irlik kabi bosim va temperaturaga bog'liq bo'lib, u (1.6) ning boshqa ko'rinishi

$$pv = RT \quad (1.10)$$

orqali ifodalanadi.

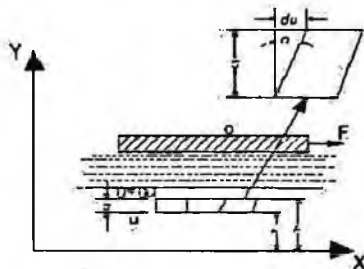
1.4. Suyuqliklardagi ishqalanish uchun Nyuton qonuni. Qovushqoqlik

Qovushqoqlik hodisasi suyuqliklarning harakati vaqtida yuzaga keladi va harakatlanayotgan zarracha harakatiga qarshilik sifatida namoyon bo'ladi. Bu qarshilikni yengish uchun ma'lum miqdorda kuch sarflash kerak bo'lib, qovushqoqlik qancha kuchli bo'lsa, sarflash kerak bo'lgan kuch ham shuncha ko'p bo'ladi. Qovushqoqlik darajasini ikki xil, dinamik va kinematic qovushqoqlik ko'effitsiyentlari bilan ifodalanadi.

Dinamik qovushqoqligi. Suyuqliknki katta yuzaga ega bo'lgan idishga solib, uning yuziga biror plastinka qo'ysak va bu plastinkani ma'lum bir kuch bilan torta boshlasak, suyuqlik zarrachalari plastinka sirtiga yopishishi natijasida harakatga keladi (1.1 -rasm). Agar plastinkaning qo'yilgan F kuch ta'sirida olgan tezligi u bo'lsa, unga yopishib turgan zarrachalar ham u tezlikka ega bo'ladi. Idishning pastki devori harakatga kelmagani sababli uning sirtidagi zarrachalar harakat qilmaydi. Shunday qilib, suyuqliknki qalinligi bo'yicha xayolan bir qancha yupqa qatlamlar bor deb faraz qilsak, har bir qatlamda zarrachalar tezligi har xil bo'lib, u plastinkadan pastki devorga tomon kamayib boradi. Harakat ixtiyoriy qatlamga, uning ustida joylashgan boshqa qatlam zarrachalari orqali beriladi. Bu harakat suyuqlik qatlamlarining deformatsiyalanishiga olib keladi. Agar suyuqlik ichida pastki sirti idishning harakatsiz devoridan y_1 masofada, ustki sirti esa y_2 masofada bo'lgan qatlamni ko'z oldimizga keltirsak, yuqorida aytilgan sabablarga asosan uning pastki sirtida tezlik u_1 yuqorigi sirtida esa u_2 bo'ladi. Shunday qilib, olingan qatlamning qalinligi $\Delta y = y_2 - y_1$ bo'yicha suyuqlik tezligi ($u_2 - u_1$) = Δu miqdorga o'zgaradi, ya'ni qatlamning yuqorigi sirti pastki sirtiga nisbatan siljib qoladi va qatlam 1.1- rasmida ko'rsatilgandek deformatsiyalanadi. Siljish burchagini α deb belgilasak, siljish kattaligi $tg\alpha = \frac{\Delta u}{\Delta y}$ bo'ladi. Qatlam qalinligini cheksiz kichraytirib

differensial belgilashga o'tsak, u holda yuqorigagi nisbat tezlik gradiyenti $\left(\frac{du}{dy} \right)$ ni beradi. Agar suyuqlik sirtidagi plastinkaga qancha ko'p kuch

qo'ysak, siljish shuncha ko'p bo'ladi. Bu narsa qo'yilgan kuch bilan tezlik gradiyenti orasida qandaydir bog'lanish mavjudligini ko'rsatadi.



1.1- rasm. Qovushqoqlik tushunchasiga doir chizma.

Shunday qilib, suyuqliklardagi ichki ishqalanish kuchi tezlik gradiyentiga bog'liq ekanligini tushunish mumkin.

1686 y. I. Nyuton ana shu bog'lanishni chiziqli bog'lanishdan iborat degan gipotezani oldinga surdi. Bu gipotezaga asosan suyuqlikning ikki harakatlanuvchi qatlamlari orasidagi ishqalanish kuchi F qatlamlarning tegib turgan sirti (S) ga va tezlik gradiyentiga to'g'ri proportional, ya'ni:

$$F = \pm \mu S \frac{du}{dy} \quad (1.11)$$

Proportsionallik koeffitsiyenti μ Qovushqoqlik dinamik koeffitsiyenti deb qabul qilingan. Nyuton gipotezasi keyinchalik N. P. Petrov tomonidan nazariy asoslab berildi. Albatta, hisoblash ishlarini osonlashtirish uchun ishqalanish kuchining birlik yuzaga to'g'ri kelgan miqdori yoki gidravlikada urinma zo'riqish (ishqalanish kuchidan zo'riqish) deb atalgan miqdorga o'tish zarur bo'ladi. Bu miqdorni grekcha τ harfi bilan belgilanadi:

$$\tau = \frac{F}{S} = \pm \mu \frac{du}{dy} \quad (1.12)$$

bu yerda musbat va manfiy ishora tezlik gradiyentining yo'naliishiga qarab tanlab olinadi.

Prof. K.Sh. Latipovning ishlarida urinma zo'riqish ikki tashkil etuvchining yig'indisidan iborat deb qarash zarurligi ko'rsatildi:

$$l_p = \mu \frac{du}{dy} - \int \lambda_p (1 - \varphi_2) u dy + B \quad (1.12a)$$

bu yerda $\lambda_p = (1 - \varphi_2)$ – bir qavatdan ikkinchi qavatga molekulalarning o'tishini bildiruvchi koeffitsiyentdir.

(1.12) formuladan ko'rinaridiki, ishqalanish kuchidan zo'riqish tezlik gradiyentiga (yoki umumiyoq qilib aytganda tezlikning normal bo'yicha hosilasi) ga to'g'ri proporsionaldir.

Qovushqoqlik koeffitsiyentining birligi SI da quyidagicha:

$$[\mu] = \left[\frac{\tau}{du} \right] = \frac{Ns}{m^2}$$

SGS sistemasida esa $\frac{dinas}{m^2}$ bilan o'lchanadi. Bu birlik Puaz (PZ) deb ham ataladi. Koeffitsiyent juda kichik bo'lganda santipuaz (spz) va millipuaz (mpz) larda ham o'lchanishi mumkin.

Kinematik Qovushqoqlik koeffitsiyent. Gidravlikadagi ko'pgina hisoblash ishlarida μ ning ρ ga nisbati bilan ifodalanuvchi va kinematik Qovushqoqlik koeffitsiyenti deb ataluvchi miqdordan foydalanish qulaydir. Bu miqdor grekcha ν harfi bilan belgilanadi:

$$\nu = \frac{\mu}{\rho} \quad (1.13)$$

ν ning SI dagi birligi $\frac{m^2}{s}$, SGS sistemasida $\frac{sm^2}{s}$ yoki stoks (st) bilan ifodalanadi. Mahsus adapiyotlarda va texnik adapiyotda uning kichik o'lchovlari ham (santistoks - sst) uchraydi. $1 m^2/s = 10^4$ st = 10^6 sst.

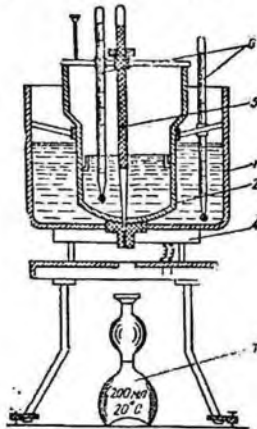
Qovushqoqlik koeffitsiyentini aniqlash uchun viskozimetri deb ataluvchi asbob qo'llaniladi. Suvga nisbatan yopishqoqligi katta bo'lgan suyuqliklar uchun Engler viskozimetri qo'llaniladi (1.2-rasm). U birining ichiga ikkinchisi joylashgan 1, 2 ikki idishdan iborat bo'lib, ular orasidagi bo'shliq, suv bilan, to'ldiriladi. Ichki idish 2 ning sferik tubiga diametri 3 mm li naycha kavsharlangan, u tiqin 5 bilan berkitilgan bo'ladi.

Ichki idishga tekshirilayotgan suyuqlik quyilib, uning temperaturasi ikki idish oralig'idagi suvni qizdirish yo'li bilan zarur bo'lgan temperaturagacha yetkaziladi. Tekshirilayotgan suyuqlik temperaturasi termometr 6 yordamida o'lchab turiladi. Suyuqlik zarur temperatura t gacha qizigandan so'ng tiqin ochiladi va sekundomer yordamida 200 sm^3 suyuqlik 3 oqib chiqqan vaqt belgilanadi. Xuddi shunday tajriba $t = 20^\circ C$ da distillangan suv bilan ham o'tkaziladi. Tekshirilayotgan suyuqlikning $t = 20^\circ C$ dan oqib chiqqan vaqlarining nisbati Qovushqoqlikning shartli graduslari yoki Engler graduslarini bildiradi:

$${}^0 E = \frac{T_{suyuqlik t}}{T_{suyuqlik t=20^\circ C}}.$$

Engler gradusidan m^2/s ga o'tish uchun Ubbelode formulasi qo'llaniladi:

$$\nu = \left(0,0731^0 E - \frac{0,0631}{E} \right) 10^{-4} \quad (1.14)$$



1.2-rasm. Engler viskozimetri.

Qovushqoqlikni aniqlash uchun kapillyar viskozimetri, rotatsion viskozimetri, stoks viskozimetri va boshqa turli viskozimetrlar ham qo'llaniladi.

Qovushqoqlik suyuqliklarning turiga, temperaturasiga va bosimiga bog'liq. Jadvallarda har xil suyuqliklarning qovushqoqlik miqdori keltirilgan. Temperatura ortishi bilan tomchilanuvchi suyuqliklarning qovushqoqligi kamayadi, gazlarning qovushqoqligi ortadi. Suyuqliklar qovushqoqligining temperaturaga bog'liqligini umumiy tenglama bilan ifodalab bo'lmaydi.

Har xil hisoblash ishlari bajarilganda, ko'pincha, quyidagi formulalardan foydalaniлади.

$$\text{Havo uchun } \nu_t = (0,132 + 0,000918t + 0,00000066t^2) \cdot 10^{-4} \text{ m}^2/\text{s} \quad (1.15)$$

Suv uchun

$$\nu_t = \frac{0,0177}{1 + 0,0337t + 0,000221t^2} \cdot 10^{-4} \text{ m}^2/\text{s} \quad (1.15)$$

Gidroyuritmalarda qo'llanuvchi turli mineral moylar uchun temperatura 30°C dan 150°C gacha (°E 10 gacha) bo'lganda

$$\nu_t = \nu_{50} \left(\frac{50}{t} \right)^n \quad (1.16)$$

Bu yerda v_t, v_{50} – tegishli temperaturada va 50°C da kinematik qovushqoqlik koeffitsiyenti; t – temperatura, $^\circ\text{C}$ da; n – daraja ko'rsatkichi; uning miqdori quyidagi jadvalda ${}^\circ\text{E}_{50}$ ning turli miqdorlari uchun keltirilgan:

1.3- jadval

${}^\circ\text{E}_{50}$	1.2	1,5	1.8	2	3	4	5	6	7	8	9	10
n	1,39	1,59	1,72	1,79	1,99	2,13	2,24	2,32	2,42	2,49	2,52	2,56

Turli suyuqliklarning qovushqoqligi boshlang'ich qovushqoqlik va temperaturasiga qarab turlicha o'zgaradi. Ko'pchilik suyuqliklarning qovushqoqligi bosim ko'tarilishi bilan ortadi. Mineral moylarning qovushqoqligi bosimning $0\text{-}50 \text{ MN/m}^2$ chegarasida taxminan chiziqli o'zgaradi va quyidagi formula bilan hisoblanadi:

$$v_p = v_0(1 + k_p p), \quad (1.17)$$

bu yerda v_p va v_0 – tegishli bosimda va atmosfera bosimida kinematik qovushqoqlik koeffitsiyenti, p – qovushqoqlik o'lchangan bosim, MN/m^2 ; k_p – eksperimental koeffitsiyent, uning miqdori gidroyuritmalarni hisoblashda yuqorida aytilgan chegarada 0,03 ga teng deb qabul qilinadi.

1.5. Sirt tarangligi (kapillyarlik)

Suyuqlik sirtidagi molekulalarning o'zarotishish kuchi ma'lum bir kuchlanish holatini vujudga keltiradi. Bu hodisa *sirt tarangligi* deb ataladi va kapillyar idishlarda egrি mensk vujudga keltiradi. Sirt egriligi botiq, yoki qavariq shaklda bo'ladi, bu shakl esa idish devori bilan suyuqlik molekulalari orasidagi o'zarotish kuchiga bog'liq.

Sirt taranglik kuchi Laplas formulasi bilan ifodalanadi:

$$P = \sigma \left(\frac{1}{r_1} + \frac{1}{r_2} \right) \quad (1.18)$$

bu yerda σ – sirt taranglik koeffitsiyenti; r_1, r_2 – bosh egrilik radiuslari.

O'xshash kapillyar idishlar uchun:

$$P = \frac{2\sigma}{r} \quad (1.19)$$

Suyuqliklar sirtining (ko'tarilish va pasayish) balandligi quyidagi formula bilan hisoblanadi:

$$h = \frac{k}{d}, \text{ mm} \quad (1.20)$$

bu yerda d - idish diametri; k – o'zgarmas kattalik bo'lib, suv uchun +30, spirt uchun +10, simob uchun -10.

1.4- jadval. Ba'zi suyuqliklari uchun sirt taranglik koeffitsiyenti

Suyuqliklarning nomi	$\sigma, \frac{N}{m}$
Suv	0,073
Spirt	0,0225
Benzin	0,029
Glitserin	0,065
Simob	0,490

Sirt taranglik kuchi aniq o'lchov asboblarining kapillyar naychalarini, filtratsiyani hisoblash masalalarida va boshqa gidravlik hisoblashlarda kerak bo'ladi. Ko'pchilik gidravlik masalalarda esa uning qiymati juda kichik bo'lgani uchun hisobga olinmaydi.

1.6. Suyuqlik to'yangan bug'inining bosimi

Suyuqlikning berilgan temperaturada erkin bug'lanishi va uning bug'lari yopiq idishdagi bo'shilqni to'yinish holatigacha to'ldirish uchun kerak bo'lgan bosim suyuqlik to'yangan bug'inining bosimi deb ataladi.

Shunga asosan suyuqlik to'yangan bug'inining bosimi bug'ning yopiq idish ichida suyuqlik bilan muvozanatlashgan holatiga tegishli barqarorlashgan bosimdir. Bu bosim suyuqliklardan yuqori temperaturada foydalinish mumkinligini va ularning turli gidravlik qurilmalar, gidrosistemalardagi kavitasiya xossasini aniqlash uchun foydalilanadi. Suyuqliklarning bug'lanishi sirt bo'yicha ham, uning butun hajmi bo'yicha bug' pufakchalari hosil bo'lishi (qaynashi) yo'li bilan ham yuz berishi mumkin. Bunda ikkinchi hol, xohlagan temperaturada yuz beradigan sirt bo'yicha bug'lanishdan farqli ravishda, faqat ma'lum temperaturada, ya'ni to'yangan bug' bosimi suyuqlik sirtidagi bosimga teng bo'ladigan temperaturada yuz beradi. Bosim ortishi bilan qaynash temperaturasi ortadi, kamayishi bilan esa kamayadi.

Bir jinsli suyuqliklarda to'yangan bug' bosimi har bir temperatura uchun bir xil miqdorga ega bo'ladi, suyuqlik va bug'ning miqdoriy nisbatiga bog'liq bo'lmaydi.

Suyuqlik aralashmalarida esa suyuqlik tarkibidagi turli molekulalarning o'zaro ta'siri bug'lanishni qiyinlashtiradi. Bu holda aralashma bug'larida yengil bug'lanuvchi suyuqlik bug'larining nisbati, uning ayrim holatidagi bug'lariga qaraganda ko'proq bo'ladi. Bu holda umumiy bug' bosimi partsial bug' bosimlar yig'indisiga teng.

Shunday qilib, aralashmalar bug'langanda suyuq fazada yengil komponent kamayib boradi, ya'ni yengil komponent suyuq fazadagiga nisbatan bug' fazada ko'proq nisbatda bo'ladi.

1.7. Gazlarning suyuqlikda erishi. Kavitsiya hodisasi haqida tushuncha

Tabiatda va texnikada suyuqlik unda havoning tarkibidagi gazlar oz miqdorda erigan holda uchraydi. Bosim ortishi yoki temperatura kamayishi bilan erigan gazlar miqdori ortadi va aksincha, bosim kamayganda yoki temperatura ortganda ularning miqdori kamayadi. Shuning uchun bosim kamayishi yoki temperatura ortishi bilan suyuqlikdagi erigan gazlarning bir qismi ajralib chiqib, pufakchalar hosil qiladi, ya'ni yuqorida aytilganga ko'ra bosim kamayganda suv ham bug'lanadi lekin yengil komponent sifatida erigan gazlar tezroq ajralib chiqib, pufakchalar hosil qiladi. Boshqacha aytganda - bu holat suyuqlikdagi bosimning undagi gazning to'yingan bug'lari bosimiga teng bo'lganida vujudga keladi. Gaz pufakchalari paydo bo'lishi bilan suyuqlikning tutashligi buziladi va tutash muhitlarga taalluqli qonunlar o'z kuchini yo'qotadi. Bu hodisa kavitsiya deyiladi. Pufakchalar suyuqlik ichida past temperaturali yoki yuqori bosimli sohalar tomonga qarab harakat qiladi. Agar u yetarli darajadagi bosimga ega bo'lgan sohaga kelib qolsa, yana erib ketadi (agar bug' bo'lsa, kondensatsiyalaranadi). Erigan gaz o'mida paydo bo'lgan bo'shliqqa suyuqlik zarrachalari intiladi va bo'shliq keskin yopiladi. Bu esa hozirgina bo'shliq bo'lgan yerda gidravlik zarbani vujudga keltiradi va natijada bu yerda bosim keskin ortib, temperatura keskin kamayadi.

Bunday gidravlik zarba va uni vujudga keltirgan kavitsiya hodisasi quvur devorlari va mashinalarning suyuqlik harakat qiluvchi qismlarining buzilishiga olib keladi (kavitsiyaga qarshi kurash usullari to'g'risida keyinchalik to'xtalamiz).

1.8. Ideal suyuqlik modeli

Suyuqliklarning harakati tekshirilganda, odatda, hamma kuchlarni hisobga olib bo'limgani uchun, ularning suyuqlik muvozanati yoki harakati holatiga ta'siri katta bo'lganlarini saqlab qolib, ta'siri kichiklarini tashlab yuboramiz. Shu usul bilan suyuqliklar uchun ideal va real suyuqliklar modeli tuziladi. Hozirgi vaqtida suyuqlik harakatini ifodalovchi umumiyligi tenglamalar juda murakkab bo'lib, uni yechishni osonlashtirish uchun yuqorida aytigandek soddallashtirishlar kiritiladi. Bunday soddallashtirishlar

esa suyuqliklarning fizik xossalariga chegara qo'yadi va bu suyuqliklar ideal suyuqliklar deyiladi. Ideal suyuqliklar absolyut siqilmaydigan, issiqlikdan hajmi o'zgarmaydigan, cho'zuvchi va siljituvchi kuchlarga qarshilik ko'rsatmaydigan abstrakt tushunchadagi suyuqliklardir.

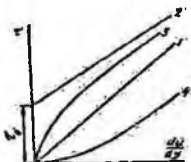
Real suyuqliklarda esa yuqorida aytilgan xossalar mavjud bo'lib, odatda siqilishi, issiqlikdan kengayishi va hajm o'zgarishi juda kichik miqdorga ega. Shuning uchun bu soddalashtirishlar hisoblashda unchalik ko'p xato bermaydi. Ideal suyuqliklarning real suyuqliklardan katta farq qilishiga olib keladigan asosiy sabab, bu – siljituvchi kuchga qarshilik ko'rsatish xossasi, ya'ni ichki ishqalanish kuchi bo'lib, uning bu xususiyatini qovushqoqlik degan tushuncha orqali ifodalaniladi. Shunga asosan ideal suyuqliklarni noqovushoq (nev yazkiy), real suyuqliklarni esa qovushoq suyuqlik deyiladi.

1.9. Nyuton qonuniga bo'ysunmaydigan suyuqliklar

Yuqorida aytilanidek, suyuqliklarga ta'sir qiluvchi qovushqoqlik zo'riqish kuchi tezlik gradiyentiga bog'liq bo'lib, Nyuton qonuni (1.14) bo'yicha bu bog'lanish chiziqli bo'ladi. Shuning uchun agar abstsissa o'qiga $\frac{du}{dy}$ ni, ordinata o'qiga τ ni qo'yib grafik chizsak, u holda bu grafikni ifodalovchi 1.4-rasmdagi 1 - chiziq (1.12) formulani ifodalaydi. Bu grafik bilan ifodalanuvchi, ya'ni Nyuton qonuniga bo'ysunuvchi suyuqliklar Nyuton suyuqliklari deyiladi.

Hozir suyuqliklarning xossalarini chuqurroq o'r ganish va texnikada ishlataladigan suyuqliklar turining ko'payishi natijasida Nyuton qonuniga bo'ysunmaydigan ko'pgina suyuqliklar mavjud ekanligi aniqlandi. Bunday suyuqliklarda qovushqoqlik zo'riqish kuchi τ umumiy holda tezlik gradiyenti $\frac{du}{dy}$ ning funksiyasi sifatida qaraladi:

$$\tau = f\left(\frac{du}{dy}\right)$$



1.3 - rasm. Nyuton qonuniga bo'ysunmaydigan suyuqliklarga doir chizma.

Ular Nyuton qonuniga bo'ysunmaydigan suyuqliklar deb ataladi. Bu suyuqliklar quyidagi guruhlarga ajratiladi.

1. Bingam suyuqliklari (plastik yopishqoq suyuqliklar). Bu suyuqliklar kichik zo'riqishlarda ozgina deformatsiyalanib, zo'riqish yo'qolsa, yana avvalgi holiga qaytadi. Zo'riqish kuchi τ biror τ_0 qiymatdan oshsa, harakat boshlanadi. Bingam suyuqliklari xuddi Nyuton suyuqliklari kabi harakatlanadi. Bu suyuqliklar uchun Nyuton qonuni o'rniда quyidagi qonun qo'llaniladi.

$$\tau = \tau_p + \eta \frac{du}{dy} \quad (1.21)$$

bu yerda η – struktura yopishqoqligi deb ataladi.

(1.21) formula bilan ifodalanuvchi qonun 1.3-rasmdagi 2-chiziqqa ega bo'ladi.

Quyuq suspenziyalar, pastalar, shlam va boshqalar plastik yopishqoq suyuqliklarga kiradi.

2. Soxta plastik suyuqliklar. Bular Nyuton suyuqliklari kabi zo'riqishning eng kichik qiymatlariда ham harakatga keladi. Lekin u tezlik gradiyenti ortishi bilan kamayib borib, sekin-asta o'zgarmas qiymatga intiladi (1.3-rasmida, 3-chiziq).

Uning grafigi logarifmik mashtabda to'g'ri chiziqqa yaqin bo'lganligi uchun ko'rsatkichli funksiya ko'rinishida ifodalanadi:

$$\tau = k \left(\frac{du}{dy} \right)^m \quad (1.22)$$

bu yerda k, m – tajribadan aniqlanuvchi o'zgarmas miqdorlardir (o'zgarmas m , odatda, 0 bilan 1 orasidagi qiymatlarni qabul qiladi). Bu suyuqliklarga siljituvcchi zo'riqishning tezlik gradiyentiga nisbati μ_k o'xshash yopishqoqlik deb ataladi.

3. Dilatant suyuqliklar soxta plastik suyuqliklarga o'xshash bo'lib, ulardan tezlik gradiyenti ortganida μ , o'sib borishi bilan farqlanadi (1.3-rasm, 4-chiziq), siljituvcchi zo'riqish (1.23) formula bilan ifodalanadi. Dilatant suyuqliklarning soxta plastik suyuqliklardan farqi shundaki, ularda m doimo 1 dan katta bo'ladi. Dilatant suyuqliklar bingam va soxta plastik suyuqliklarga nisbatan kam uchraydi.

Bundan tashqari, τ va $\frac{du}{dy}$ o'rtasidagi bog'lanish vaqtga bog'liq

bo'lgan suyuqliklar ham tabiatda uchrab turadi. Ularning yopishqoqlik koeffitsiyenti zo'riqishning qancha vaqt ta'sir qilganiga qarab o'zgarib boradi. Bunday suyuqliklarga ko'pgina bo'yoqlar, sut mahsulotlarining ko'p turlari, turli smolalar misol bo'ladi. Ular tiksotrop suyuqliklar,

reopektant suyuqliklar va maksvell suyuqliklari deb ataluvchi guruhlarga bo'linadi. Bu suyuqliklarning yana bir xususiyatlari shundan iboratki, ularning ba'zi turlari (maksvell suyuqliklari) qo'yilgan zo'riqish kuchi olinishi bilan avvalgi holatiga qisman qaytadi (ya'ni hozirgi zamon fanining tili bilan aytganda xotirlash xususiyatiga ega bo'ladi).

I bob bo'yicha nazorat savollari:

1. Ichki ishqalanish kuchi deb qanday kuchga aytildi?
2. Sirt taranglik kuchi qanday formula bilan ifodalanadi?
3. Ideal suyuqliklarning real suyuqliklardan katta farq qilishiga olib keluvchi sabab nima?
4. Suyuqliklardagi ishqalanish uchun Nyuton qonuni. Qovushqoqlik.
5. Nyuton qonuniga bo'ysunmaydigan suyuqliklar.
6. Suv nima?

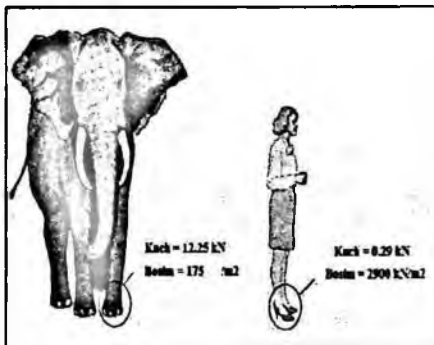
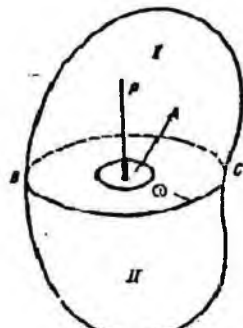
II BOB. GIDROSTATIKA

Gidravlikaning suyuqliklar muvozanat qonunlarini o'rganib, ularni texnikaga tadbiq qilish bilan shug'illanuvchi bo'limi gidrostatika deb yuritiladi. Bu qonunlarni tekshirish suyuqliklar orqali kuchlarni uzatish bilan bog'liq masalalarni hal qilishda muhim ahamiyatga ega. Bundan tashqari, gidrostatika suyuqliklarga to'liq yoki qisman botirilgan qattiq jismlarning muvozanat qonunlarini ham o'rganadi.

Odatda, suyuqliklar muvozanat holatda bo'lganda uning ayrim bo'laklarining boshqa bo'laklariga bo'lgan ta'siri, suyuqlik saqlanayotgan idish devorlariga va unga botirilgan jismga ta'siri bosim orqali ifodalanganadi.

2.1. Suyuqliklarda bosim

Suyuqliklarga ta'sir qiluvchi asosiy kuchlardan biri gidrostatik bosimdir. Uni tushuntirish uchun 2.1-rasmga murojaat qilamiz. Bu yerda muvozanat holatidagi suyuqlikning ixtiyoriy hajmi ifodalangan. Bu hajm ichida ixtiyoriy A nuqta olib, undan BC tekislikni o'tkazamiz. Natijada hajm ikki qismga ajraladi. BC sirtda A nuqta atrofida biror ω yuza ajratamiz. Hajmning I qismi orqali uning II qismiga BC yuza bo'yicha bosim kuchi beriladi.



2.1-rasm. Suyuqliklarda bosim tushunchasiga doir misollar.

Bu kuchning ω yuzaga ta'sir qilgan qismini P bilan belgilaymiz.

Qaralayotgan ω yuzaga ta'sir qiluvchi P kuch *gidrostatik bosim kuchi* yoki qisqacha *gidrostatik kuch* deyiladi. P kuch II qismiga nisbatan tashqi kuch, butun hajmga nisbatan esa ichki kuch hisoblanadi. P kuchning ω

yuzaga nisbatli bu yuzanining birlik miqdoriga ta'sir qiluvchi kuchni beradi va u o'rtacha gidrostatik bosim deb ataladi:

$$P_{o,r} = \frac{P}{\omega}$$

Agar ω yuzani kichraytira borib, nuqtaga intiltirsak ($\omega \rightarrow 0$), $P_{o,r}$ biror chegaraviy qiymatga intiladi:

$$p = \lim_{\omega \rightarrow 0} \frac{P}{\omega}.$$

Bu qiymat A nuqtaga ta'sir qilayotgan bosimni beradi va u gidrostatik bosim deb ataladi. Umumiy holda gidrostatik bosim p bilan o'rtacha gidrostatik bosim $p_{o,r}$ teng emas. Ular bir-biridan kichik miqdorga farq qiladi.

Gidrostatik bosim N/m² bilan o'lchanadi.

2.2. Tinch turgan suyuqlikdagi bosimning xossalari

Tinch turgan suyuqlikdagi bosim (ya'ni gidrostatik bosim) ikkita asosiy xossaga ega:

1 - xossasi - *gidrostatik bosim u ta'sir qilayotgan yuzaga normal bo'yicha yo'nalgan bo'ladi*. Bu xossaning to'g'riliqini isbotlash uchun gidrostatik bosim p o'zi ta'sir qilayotgan yuzaga normal bo'yicha yo'nalmagan deb faraz qilamiz. Bu holda p normal va urinma yo'nalishlarda proyektsiyalarga ega bo'ladi.

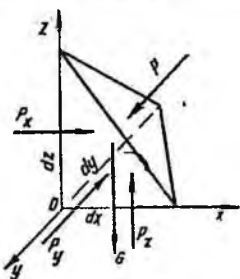
Urinma yo'nalishidagi proektsiya I va II qismlarining bir-biriga nisbatan siljishiga olib keladi (2.1-rasm). Suyuqlik muvozanatda bo'lgani uchun bu hol yuz berishi mumkin emas. Bundan p normal bo'yicha yo'nalmagan degan fikr noto'g'ri ekanligi kelib chiqadi.

2- xossasi - *gidrostatik bosim u ta'sir qilayotgan nuqtada hamma yo'nalishlar bo'yicha bir xil qiymatga ega*. Bu xossani isbotlash uchun suyuqlik ichida tomonlari dx , dy , dz ga teng bo'lgan tetraedr ajratib olamiz. Tetraedrnинг qiya yuzasiga P kuch ta'sir qilsin.

U holda yOz tekislikdagi yuza bo'yicha, Px , xOz tekislikdagi yuza bo'yicha, Py , xOy tekislikdagi yuza bo'yicha, esa Pz kuchlar ta'sir qiladi. Qiya yuzanining sirti $d\omega$ ga teng deb hisoblaymiz. Agar gidrostatik bosim Ox o'qi bilan α , Oy o'qi bilan β , Oz o'qi bilan γ burchak tashkil qilsa, u holda $d\omega$ yuzaga ta'sir qilayotgan kuch ($pd\omega$) ning o'qlardagi proyektsiyalari $pd\omega \cos\alpha$, $pd\omega \cos\beta$, $pd\omega \cos\gamma$ larga teng. Og'irlilik kuchi esa

$$G = \rho g dV = \frac{1}{6} \rho g dx dy dz$$

Suyuqlik muvozanatda bo'lgani uchun kuchlarning o'qlardagi proyektsiyalarining yig'indisi nolga teng, ya'ni Ox o'qi bo'yicha



2.2-rasm. Bosimlarning xossalariiga doir chizma.

$$\frac{1}{2}P_x dy dz - pd\omega \cos\alpha = 0,$$

Oy o'qi bo'yicha

$$\frac{1}{2}P_y dx dz - pd\omega \cos\beta = 0,$$

Oz o'qi bo'yicha

$$\frac{1}{2}P_z dx dy - pd\omega \cos\gamma + \frac{1}{6}\rho g dx dy dz = 0,$$

$d\omega$ yuzanining proyektsiyalari quyidagilarga teng:

$$d\omega \cos\alpha = \frac{1}{2}dy dz, \quad d\omega \cos\beta = \frac{1}{2}dx dz, \quad d\omega \cos\gamma = \frac{1}{2}dx dy$$

Yuqoridagi tenglamalar qisqartirilgandan keyin quyidagicha yoziladi:

$$P_x - p = 0; \quad P_y - p = 0; \quad P_z - p - \frac{1}{3}\rho g dz = 0$$

Tetraedrnинг томонлари чексиз кичик сувоцатга интилгандага у нуқтага яқинлашади. Бу holda унинг хажми нолга интилади. Шунинг учун ўуқорида келтирилган тенгламалардан quyidagi natija kelib чиқади:

$$P_x = p; \quad P_y = p; \quad P_z = p \quad ya'ni \quad P_x = P_y = P_z = p$$

Shunday qilib, барча ю'налышларда та'sir qiluvchi bosim кучлари тенг еканлиги исботланди. Бу esa иккинчи xossalning to'g'riligin ko'rsatadi.

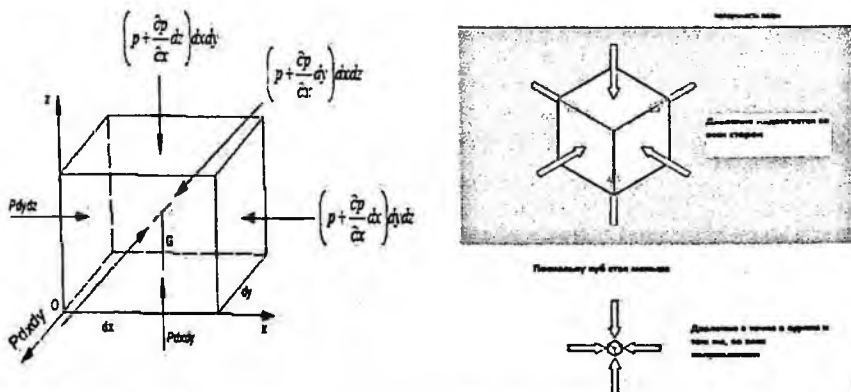
2.3. Muvozanatdagи suyuqlikning differensial tenglamasi (Eyler differensial tenglamasi)

Muvozanat holatidagi suyuqliklarga bosim va og'irlilik кучлари та'sir qiladi. Bosim suyuqlik egallagan hajmning har xil nuqtasida har xil сувоцатга ега. Шунинг учун bosimni koordinata o'qlari x, y, z ларнинг

funksiyasi deb qarash kerak. Ko'rيلayotgan suyuqlikda tomonlari dx , dy , dz ga teng bo'lgan parallelopipedga teng elementar hajm ajratib olamiz (2.3-rasm). Endi suyuqlikka ta'sir qiluvchi kuchlarning muvozanat holatini tekshiramiz. Og'irlik kuchining proyektsiyalari ρXdV , ρYdV , ρZdV bo'lсин; ya'ni $G(\rho XdV, \rho YdV, \rho ZdV)$. Elementar hajmning yOz tekislikda yotgan sirtiga Ox o'qi yo'naliishida p ga teng, unga parallel bo'lgan sirtiga esa $p + \frac{\partial p}{\partial x} dx$ ga teng bosimlar ta'sir qiladi (2.3-rasm). Bu sirtlarga ta'sir qiluvchi bosim kuchlari esa tegishlichcha $p dy dz$ va $\left(p + \frac{\partial p}{\partial x} dx\right) dy dz$ larga teng. Olingan elementar hajm Ox o'qi bo'yicha muvozanatda bo'lishi uchun bu o'q bo'yicha yo'nalgan kuchlar yig'indisi nolga teng bo'lishi kerak:

$$p dy dz - \left(p + \frac{\partial p}{\partial x} dx\right) dy dz + \rho X dxdydz = 0$$

Shuningdek, Oy o'qi bo'yicha, yOz tekislikda yotuvchi sirtga $p dxdz$,



2.3-rasm. Suyuqliklar muvozanatining (Eyler) tenglamarasiga doir chizma.

unga parallel bo'lgan sirtga esa, $\left(p + \frac{\partial p}{\partial y} dy\right) dxdz$ kuchlar ta'sir qiladi.

Shuning uchun elementar hajmning Oy o'qi bo'yicha muvozanat sharti quyidagicha bo'ladi:

$$p dxdz - \left(p + \frac{\partial p}{\partial y} dy\right) dxdz + \rho Y dxdydz = 0 \quad (2.1)$$

Shuningdek, Oz o'qi bo'yicha

$$p dxdy \text{ va } \left(p + \frac{\partial p}{\partial z} dz\right) dxdy$$

kuchlar ta'sir qiladi hamda ularning muvozanat sharti quyidagicha bo'ladi:

$$pdxdy - \left(p + \frac{\partial p}{\partial z} dz \right) dx dy + \rho Z dx dy dz = 0$$

O'xshash miqdorlarni qisqartirish va qolgan hadlarni dx , dy , dz ga bo'lishdan keyin quyidagi tenglamalar sistemasini olamiz:

$$\left. \begin{aligned} \frac{\partial p}{\partial x} &= \rho X \\ \frac{\partial p}{\partial y} &= \rho Y \\ \frac{\partial p}{\partial z} &= \rho Z \end{aligned} \right\} \quad (2.2)$$

Bu tenglamalar sistemasidan ko'rinish turibdiki, gidrostatik bosimning biror koordinata o'qidagi o'zgarishi zichlikning birlik og'irlik kuchining shu o'q yo'nalishidagi proyektsiyasiga ko'paytmasiga teng ekan, ya'ni muvozanatdagi suyuqliklarda bosimning o'zgarishi massa kuchlarga bog'liq. (2.2) tenglamalar sistemasi suyuqliklar muvozanat holatining umumiyl differensial tenglamasıdır. Bu tenglama 1755 yil L. Eyler tomonidan taklif etilgan.

2.4. Bosimi teng sirtlar. Erkin sirt

Eyler tenglamalarini integrallash uchun uni qulay shaklga keltirishda (2.2) ning har bir tenglamasini mos ravishda dx , dy , dz larga o'zaro ko'paytiramiz va ularni hadma-had qo'shib chiqamiz:

$$\frac{\partial p}{\partial x} dx + \frac{\partial p}{\partial y} dy + \frac{\partial p}{\partial z} dz = \rho(Xdx + Ydy + Zdz).$$

Bu tenglamaning chap tomoni bosimning to'liq differensialini beradi, shuning uchun

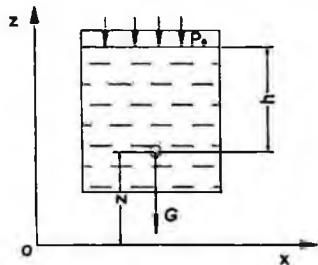
$$dp = \rho(Xdx + Ydy + Zdz) \quad (2.3)$$

Hosil bo'lgan tenglama bosimning suyuqlik turiga va fazoning nuqtalari koordinatalariga bog'liqligini ko'rsatadi hamda bosimning ixtiyoriy nuqtadagi miqdorini topishga yordam beradi. Bu tenglama tomchilanuvchi suyuqliklar uchun ham, gazlar uchun ham o'rinli bo'lib, gazlar uchun qo'llanganda gaz holati tenglamalari bilan birlgilikda ishlataladi. (2.3) dan hamma nuqtalarida bir xil bosimga ega bo'lgan ($p = \text{const}$) sirtlarni topish mumkin. Bunday tekisliklar bosimi teng sirtlar

deb ataladi. $p = \text{const}$ bo'lganda $dp = 0$ bo'ladi, ρ esa nolga teng bo'lishi mumkin emas. Shuning uchun bosimi teng sirtlar tenglamasi quyidagicha yoziladi:

$$Xdx + Ydy + Zdz = 0 \quad (2.4)$$

Bosimi teng sirtlar xususiy holda suyuqlikning erkin sirti bo'lishi mumkin. Suyuqlikning devor bilan chegaralanmagan sirti erkin sirt deyiladi. Masalan, idishda gaz va suyuqlik birga saqlangan bo'lsa, u holda suyuqlikning yuqori sirti jism devoriga tegmay gaz bilan chegaralangan bo'ladi. Xususiy holda ochiq idishdag'i suyuqlikning yuqori sirti havo bilan chegaralangan bo'lib, erkin sirtni tashkil qiladi (2.4-rasm). Bosimi teng sirtlar va erkin sirtlar uchun misollar sifatida og'irlik kuchi ta'siridagi idishda tinch turgan, tekis tezlanuvchan harakat qilayotgan va aylanma harakat qilayotgan idishlardagi suyuqliklarni tekshiramiz.



2.4- rasm. Idishda tinch turgan suyuqliklarda erkin sirtga doir chizma.

2.5. Eyler tenglamarining integrallari

Biz yuqorida Eyler tenglamasini (2.3) va (2.4) ko'rinishga keltirdik. Bu ko'rinishda uni integrallash va bosimi teng sirtlarni topish oson bo'ladi. Quyida Eyler tenglamarining integrallari sifatida uchta masalani keltiramiz.

a) Idishda tinch turgan suyuqlik (2.4-rasm).

Idishda tinch turgan suyuqlikka faqat og'irlik kuchi ta'sir qiladi. Bu holda birlik massa kuchlarining proyektsiyalari:

$$X=0, Y=0, Z=-g \quad (2.5)$$

bo'ladi. Bu qiyatlarni (2.4) ga qo'ysak, $gdz = 0$ ga ega bo'lamiz. Uni integrallasak, $z = \text{const}$ bo'ladi. Bu esa gorizontal tekislikning tenglamasidir. Shunday qilib, tinch turgan suyuqliklar uchun har qanday gorizontal tekislik bosimi teng sirtdan iborat. Uning havo bilan chegaralangan sirti ham gorizontal bo'lib, u erkin sirt bo'ladi. Erkin sirtda bosim p_0 ekanligini hisobga olsak, (2.3) tenglamadan quyidagi munosabat kelib chiqadi:

$$p = \gamma h + p_0$$

Bu tenglarna to'g'risida keyinchalik alohida to'xtalib o'tamiz.

b) Tekis tezlanuvchan harakat qilayotgan idishdagi suyuqlik

Suyuqlik α tezlanish bilan harakat qilayotgan idishda muvozanat holatida bo'lsin (2.5-rasm), bu holda suyuqlik zarralari tezlanish α va og'irlik ta'sirida bo'ladi, ular uchun birlik massa kuchlar esa quyidagicha bo'ladi:

$$X = -a, Y = 0, Z = -g$$

Bu qiyatlarni (2.4) ga qo'ysak, $-adx - gdz = 0$ tenglamani olamiz. Uni integrallab quyidagi tenglamaga ega bo'lamiz:

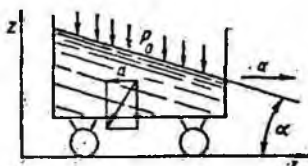
$$ax + gz = \text{const} \quad (2.6)$$

Bu esa qiya tekislik tenglamasidir. Shunday qilib, ko'rيلайотган holda bosimi teng sirtlar Ox va Oz o'qlariga burchak ostida yo'nalgan, Oy o'qiga esa parallel bo'lgan sirtlardir. Bu sirtlarning gorizontal tekislik bilan tashkil qilgan burchagi quyidagicha aniqlanadi:

$$\alpha = \arctg \frac{a}{g}$$

Erkin sirtda bosim p_0 ekanligini hisobga olsak, (2.3) tenglamadan quyidagi munosabat kelib chiqadi:

$$p = p_0 x + \gamma z + p_0 + C$$



2.5 –rasm. Tekis tezlanuvchan harakat qilayotgan idishdagi suyuqlik.

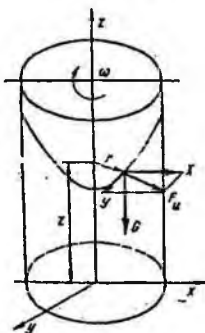
v) Aylanayotgan idishdagi suyuqlik.

Suyuqlik vertikal o‘q atrofida ω burchak tezlik bilan aylanayotgan idish ichida muvozanat holatida bo‘lsin (2.6- rasm). Bu holda suyuqlik zarralari markazdan qochma kuch va og‘irlik kuchlari ta’sirida bo‘ladi. Markazdan qochma kuch quyidagiga teng:

$$F_x = \frac{mu^2}{r} = m\omega^2 r$$

Uning proyektsiyalari esa quyidagicha topiladi:

$$F_{x\alpha} = m\omega^2 x, \quad F_{y\alpha} = m\omega^2 y$$



2.6-rasm. Aylanayotgan jism ichidagi suyuqlik.

Shuning uchun birlik massa kuchlar quyidagilarga teng:

$$X = \omega^2 x, \quad Y = \omega^2 y, \quad Z = -g$$

Bularni (2.4) ga qo‘ysak, quyidagi tenglamani olamiz:

$$\omega^2 x dx + \omega^2 y dy - gdz = 0.$$

Uni integrallasak

$$\frac{\omega^2 x^2}{2} + \frac{\omega^2 y^2}{2} - gz = const$$

bo‘ladi.

Lekin $x^2 + y^2 = r^2$ bo‘lgani uchun

$$\frac{\omega^2 r^2}{2} - gz = const \tag{2.7}$$

Bu bosimi teng sirtning tenglamasidir. Bu sirt aylanma paraboloid ekanligi ko‘rimib turibdi. Shunday qilib, bosimi teng sirtlar o‘qi vertikal bo‘lgan aylanma paraboloidlar oilasidan iborat. Bu sirtlar vertikal tekislik bilan kesishganda o‘qi Oz da bo‘lgan parabolalar, gorizontal tekisliklar bilan kesishganda esa markazi Oz da bo‘lgan kontsentrik aylanalar hosil qiladi.

2.6. Gidrostatikaning asosiy tenglamasi

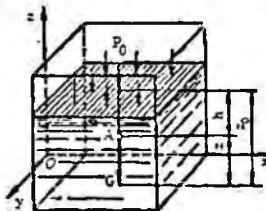
Tinch turgan idishdagi suyuqlikni qaraymiz. Bu suyuqlikka og'irlik kuchi ta'sir etadi. Koordinata o'qlarini Oz o'qi vertikal yuqoriga yo'naladigan qilib yo'naltiramiz (2.7-rasm).

Ko'rileyotgan idish ichida biror xOy tekisligidan z masofada, erkin sirtdan esa h masofada joylashgan biror A nuqtani olamiz. U holda birlik massa kuchlarning bu koordinata sistemasidagi proyektsiyalari quyidagicha bo'ladi:

$$X = 0; Y = 0; Z = -g$$

Gidrostatik bosim p , suyuqlikning erkin sirtidagi bosim p_0 bo'lsin, erkin sirt xOy tekisligidan esa z_0 masofada joylashgan bo'lsin. Bu holda gidrostatikaning asosiy tenglamasi quyidagicha yoziladi:

$$\frac{\partial p}{\partial x} = 0; \frac{\partial p}{\partial y} = 0; \frac{\partial p}{\partial z} = -\rho g$$



2.7-rasm. Gidrostatikaning tenglamasiga doir chizma.

Birinchi va ikkinchi tenglamalardan bosimning x va y koordinatalarga bog'liq emas ekanligi kelib chiqadi. U holda uchinchi tenglamadan quyidagini olamiz:

$$dp = -\rho g dz$$

(Bu tenglamani (2.3) dan ham olish mumkin.) Bu esa yuqorida (1.14-§ da) aytilgandek tinch turgan idishlardagi suyuqlik bosimi gorizontal sirtlar bo'yicha o'zgarmas degan fikri tasdiqlaydi. Oxirgi tenglamani erkin sirtdan z nuqtagacha bo'lgan oraliq uchun integrallaymiz va quyidagi tenglamani chiqaramiz:

$$p - p_0 = -\rho g(z - z_0).$$

$z - z_0$ ning qiymati h ga teng bo'lgani uchun so'nggi tenglama quyidagicha yoziladi:

$$p = p_0 + \rho gh$$

yoki

$$p = p_0 + \gamma h$$

(2.8)

Bu gidrostatikaning asosiy tenglamasi deb ataladi va suyuqlikning ixtiyoriy nuqtasidagi bosimni, suyuqlik turi va olingen nuqtaning erkin sirtdan qanday masofada ekanligiga qarab aniqlaydi. Gidrostatikaning asosiy tenglamasi quyidagi qonuniyatni ifodalaydi: *suyuqlik ichidagi ixtiyoriy nuqtadagi bosim suyuqlik erkin sirtidagi, bosim p_0 va shu nuqtadagi suyuqlik ustunining bosimi (γh) yig'indisiga teng.*

2.7. Absolyut, manometrik, vakuummetrik va atmosfera bosimlari. Bosim o'lchov birliklari

Suyuqlik ichidagi ixtiyoriy nuqtadagi (gidrostatikaning asosiy tenglamasi yordamida aniqlanadigan) bosim p shu nuqtadagi *absolyut bosim* deb ataladi. Suyuqlikning erkin sirtidagi bosim p_0 erkin sirtdagи absolyut bosimni beradi, γh esa suyuqlik ustunining nuqtadagi bosimini beradi. Usti yopilmagan idishlardagi, suv sig'imlaridagi suyuqliklarning erkin sirtiga ta'sir qiluvchi bosim atmosfera bosimi deb ataladi va p_a harfi bilan belgilanadi. Bu holda (2.8) tenglama quyidagicha yoziladi:

$$p = p_0 + \gamma h \quad (2.9)$$

Agar suyuqlik ixtiyoriy nuqtasidagi bosim atmosfera bosimidan katta ($p > p_0$) bo'lsa, (2.9) tenglamaning oxirgi hadi manometrik bosim deb ataladi:

$$p_m = \gamma h = p - p_0 \quad (2.10)$$

Manometrik bosim absolyut bosimdan atmosfera bosimining chegirilgan (ayrilgan) miqdoriga teng bo'lgani uchun uni *cheirma bosim* deb ham atash mumkin.

Manometrik bosim absolyut bosimning miqdoriga qarab har xil qiymatga ega bo'lishi mumkin, masalan, $p = p_0$ bo'lganda $p_m = 0$; $p \rightarrow \infty$ bo'lganda $p_m \rightarrow \infty$, ya'ni manometrik bosim 0 bilan ∞ o'rta sidagi barcha qiymatlarini qabul qilishi mumkin.

Agar suyuqlik nuqtasidagi absolyut bosim atmosfera bosimidan kichik ($p < p_0$) bo'lsa, ularning ayirmasi vakuummetrik bosim (vakuum) p_v ga teng bo'ladi va suyuqlikdagi siyraklanish miqdorini belgilaydi:

$$p_v = \gamma h = p_0 - p \quad (2.11)$$

Vakuummetrik bosim nuqtadagi bosimning atmosfera bosimidan qancha kamligini ko'rsatadi va $p = p_0$ da $p_v \rightarrow \infty$; $p \rightarrow 0$ da $p_v \rightarrow p_0$ bo'ladi. Shunday qilib, vakuummetrik bosim 0 dan p_0 gacha bo'lgan qiymatlarni qabul qiladi.

Bosimni o'lchash uchun texnikada turli birliklar ishlataladi:

1. Kuch birliklarining yuza birliklariga nisbati, masalan,

$$N/m^2; \ kgK/m^2; \ kgK/sm^2.$$

2. Suyuqlik ustuning balandliklari, masalan, mm suv. ust. - millimetrlar suv ustuni; m suv. ust. - metr suv ustuni, mm sim. ust. - millimetrlar simob ustuni.

3. Birlik yuzaga to'g'ri kelgan berilgan kuch miqdoriga nisbati yoki suyuqlik ustuning berilgan balandligi miqdorlari, masalan, texnik atmosfera (*atm*) ($1 \ atm = 1 \ kgK/sm^2 = 10^4 \ kgK/m^2 = 735,6 \ mm \ sim. \ ust.$) bar ($1 \ bar = 10^5 \ N/m^2$) va hokazo.

2.8. Bosim o'lchash asboblari

Bosim o'lchash asboblari ikki guruhga ajratiladi. Ular suyuqlik va mexanik asboblardir.

I. Suyuqlik asboblari:

a) **pezometrlar** - idishdag'i bosim unga ulangan shisha naychada tekshirilayotgan suyuqlikning ko'tarilishiga qarab aniqlanadi (2.8- rasm). Idishdag'i bosimning katta yoki kichikligiga qarab pezometr (shisha naycha) da suvning sathi h_n balandlikka ko'tariladi. Tekshirilayotgan A nuqtadagi bosim p_A idishdag'i erkin sathdagi bosim bilan undagi suv ustuning bosimi yig'indisiga teng. Pezometr orqali aniqlanganda u gidrostatikaning asosiy tenglamasi yordamida quyidagicha aniqlanadi:

$$p_A = p_e + \gamma(h + h_0). \quad (2.12)$$

U holda pezometrda suyuqlik erkin sathining balandligi bosim orqali quyidagicha ifodalanadi:

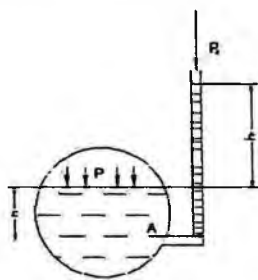
$$h + h_0 = \frac{p_A - p_e}{\gamma}$$

va idishdag'i chegirma bosimga to'g'ri keladigan suyuqlik ustuning balandligini ko'rsatadi. Bunday asboblar 0,5 atm dan yuqori bo'limgan kichik chegirma bosimlarni o'lchashda ishlataladi. Haqiqatda ham 1 atm ga teng bo'lgan bosim 10 m suv ustunning balandligiga teng bo'lgani uchun yuqori bosimlarni o'lchashda juda uzun shisha naychalar ishlatishga to'g'ri kelgan bo'lar edi.

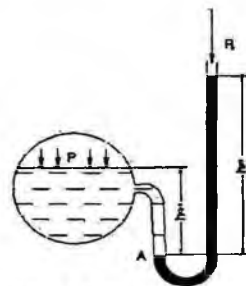
b) **Suyuqlik U-simon manometrlari** - bosim tekshirilayotgan suyuqlik bilan emas, simob ustuni yordamida o'lchanadi (2.9-rasm). Bu holda simobli shisha naycha idishga U-simon naycha orqali ulanadi. Bunda simobning bosimi o'lchanayotgan idishga oqib o'tishiga U- simon

naychadagi qarshilik to'sqinlik qiladi. U holda A nuqtadagi bosim idish tomondagi qiymatlar orqali quyidagicha aniqlanadi:

$$p_A = p + \gamma h_1$$



2.8- rasm. Pezometr.



2.9-rasm. U-simon manometr.

Simobli naychadagi qiymatlari orqali esa

$$p_A = p_a + \gamma_{sm} h_{sm}$$

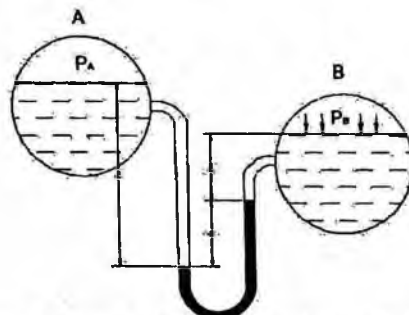
Bu ikki tenglikdan p ni topamiz:

$$p = p_a + \gamma_{sm} h_{sm} - \gamma h_1 \quad (2.13)$$

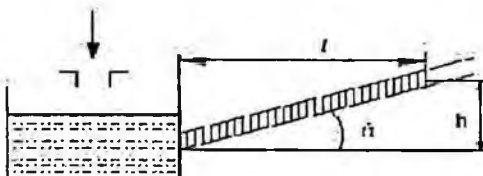
Bunday manometrlar ham bir necha atmosferadan ortiq bosimni o'lchashga yaramaydi.

v) *Differentsial manometrlar* - ikki idishdagi bosimlar farqini o'lchash uchun ishlataladi (2.10- rasm). Bosimlarni p_A va p_B ga teng bo'lgan ikki idish simobli U-simon naycha orqali tutashtirilgan. Bu holda C nuqtadagi bosim birinchi idishdan bosim orqali quyidagicha ifodalanadi:

$$p_c = p_a + \gamma_1 h_1$$



2.10-rasm. Differentsial manometer.



2.11- rasm. Mikromanometr.

Ikkinci idishdagi bosim orqali esa

$$p_e = p_v + \gamma_1 h_2 + \gamma_{sm} h$$

U holda idishlardagi bosimlar farqi

$$p_e - p_v = \gamma_1 (h_2 - h_1) + \gamma_{sm} h \quad (2.14)$$

Ikki idishdagi suyuqliklar sathi teng bo'lganda esa $h_2 - h_1 = h$ va

$$p_e - p_v = (\gamma_{sm} - \gamma_1) h \quad (2.15)$$

g) Mikromanometrlar - juda kichik bosimlarni o'lhash uchun ishlataladi va suyuqlik sathining o'zgarishi sezilarli bo'lishi uchun suyuqlik to'ldirilgan idishga shisha naycha qiya burchak ostida ulanadi (2.11-rasm). U holda idishdagi chegirma bosim quyidagicha aniqlanadi: $p = \gamma h$ bo'lgani uchun

$$p = \gamma h \sin \alpha \quad (2.16)$$

shisha naychaning qiyalik burchagi α qancha kichik bo'lsa, bosim shuncha aniq o'lchanadi. Ko'p hollarda manometr shisha naychasing qiyalik burchagini o'zgaruvchan qilib ishlanadi. Bu holda mikromanometrlarning qo'llanish chegarasi kengayadi.

d) Vakuummetrlar. Tuzilishi xuddi suyuqlik U-simon manometrlariga o'xhash bo'lib, idishdagi siyraklanish darajasini aniqlaydi (2.12-rasm). Gidrostatik bosim tenglamasiga asosan

$$p + \gamma_{sm} h_{sm} = p_e$$

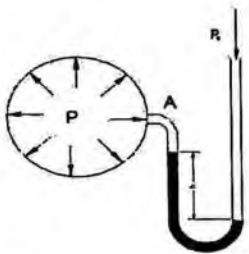
u holda

$$p = p_e - \gamma_{sm} h_{sm}; \quad (2.17)$$

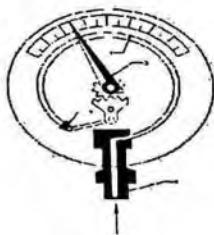
simob ustuningin pasayishi idishdagi bosim va p_e orqali quyidagicha ifodalanadi:

$$h_{sm} = \frac{p_e - p}{\gamma_{sm}}$$

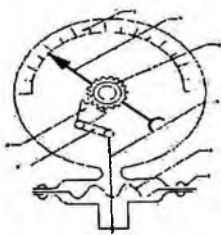
II. Mexanik asboblar (katta bosimlarni o'lhash uchun ishlataladi va buning uchun turli mexanik sistemalardan foydalilanadi):



2.12-rasm. Vakuummetr



2.13-rasm Prujinali manometr.



2.14-rasm. Membranali manometr.

a) Prujinali manometr (2.13-rasm) ishi bo'sh yupqa egik latun 1 naychadan iborat bo'lib, uning bir uchi kavsharlangan. Shu uchi zanjir 2 bilan tishli uzatma 3 ga ilashtirilgan bo'ladi.

Ikkinci uchi esa bosimi o'lchanishi zarur bo'lgan idishga bo'yin 4 orqali tutashtiriladi. Egik latun naycha havo bosimi ta'sirida to'g'rilanishiga harakat qilib, tishli uzatma yordamida strelkaning burilishiga sabab bo'ladi. Bunday manometriarda bosimni ko'rsatuvchi shkala bor.

b) Membranali manometr (2.14-rasm) - yupqa metall plastinka yoki rezina shimidirilgan materialdan tayyorlangan plastinkaga ega bo'lib, u membrana deyiladi. Suyuqlik bosimi idish bilan tutashtiruvchi bo'yinchalik orqali o'tib, membranani egadi. Bu egilish natijasida richaglar sistemasi orqali strelka harakatga keladi va shkala bo'yicha surilib, bosimni ko'rsatadi.

2.9. Paskal qonuni

Suyuqlik solingen va og'zi porshen bilan yopilgan biror idish olamiz. Suyuqlik erkin sirtidagi bosim p_0 bo'lsin. U holda ixtiyoriy A nuqtadagi absolyut bosim quyidagi teng bo'ladi:

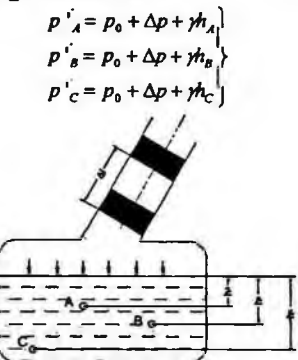
$$P_A = P_0 + \gamma h_A$$

B va C nuqtalarda esa

$$P_B = P_0 + \gamma H_B$$

$$P_C = P_0 + \gamma H_C$$

Agar porshenni Δ masofaga (2.15-rasm) siljitsak, u holda suyuqlik erkin sirtidagi bosim Δp ga o'zgaradi. Suyuqlikning solishtirma og'irligi bosim o'zgarishi bilan deyarli o'zgarmaydi. Shuning uchun A, B va C nuqtalardagi bosim quyidagicha bo'ladi:



2.15-rasm. Paskal qonunini tushuntirishga doir chizma.

Bu holda bosimning o'zgarishi hamma nuqtalar uchun bir xil bo'ladi, ya'ni

$$\begin{aligned} P'_A - P_A &= \Delta p \\ P'_B - P_B &= \Delta p \\ P'_C - P_C &= \Delta p \end{aligned}$$

Bundan quyidagicha xulosa kelib chiqadi: *yopiq idishdagi suyuqlikka tashqaridan berilgan bosim suyuqlikning hamma nuqtalariga bir xil miqdorda (o'zgarishsiz) tarqaladi*. Bu Paskal qonuni sifatida ma'lum. Ko'pgina gidromashinalarning tuzilishi ana shu qonunga asoslangan (masalan, gidropress, domkratlar, hidroakkumulyatorlar, hajmiy hidroyuritma va hokazo).

Amaliy mashg'ulotlarni bajarishga doir ko'rsatma:

1- masala. Benzin bilan to'ldirilgan bak, quyoshda 50°C gacha harorati ko'tariladi. Agar bak absolyut qattiq deb qaralsa benzinning bosimi qanchaga o'zgaradi? Benzinning boshlang'ich harorati 20°C , hajmiy siqilish koeffitsiyenti

$$\beta_w = \frac{1}{1300} \frac{1}{\text{MPa}};$$

issiqlikdan kengayish harorat koeffitsiyenti.

$$\beta_t = 8 \cdot 10^{-5} \frac{1}{^\circ\text{C}}$$

Yechimi:

Siqilish va haroratdan kengayish formulalaridan foydalanib quyidagilarni yozamiz:

$$\beta_w = \frac{W_1}{W} \cdot \frac{1}{P_1} \rightarrow \frac{W_1}{W} = \beta_w P_1$$

$$\beta_t = \frac{W_1}{W} \cdot \frac{1}{t_1} \rightarrow \frac{W_1}{W} = \beta_t t_1$$

Tenglamaning o'ng tomonlarini tenglashtirib, o'zgargan bosim miqdorini aniqlaymiz:

$$\beta_w P_1 = \beta_t t_1$$

$$P_1 = \frac{\beta_t}{\beta_w} \cdot t_1 = 312 \cdot 10^5 \text{ Pa}$$

2- masala. Sisterna suyuqlik bilan to'ldirilgan. Agar sistema $x=3t^2+2t$ tenglama bilan harakatlanayotgan bo'lsa, $t=20$ sekunddan keyin oqim sathining gorizont bilan tashkil etgan burchakni aniqlang.

Yechish:

1. Sathining gorizont bilan tashkil etgan burchakni quyidagi formula bilan aniqlanadi:

$$\alpha = \arctg \frac{a}{g}$$

2. Sistemaning tezlanishini aniqlaymiz. Buning uchun yo'ldan harakat tenglamasidan ikkinchi tartibli hosila olish kerak.

$$a = (x)'' = (3t^2 + 2t)'' = 6 \frac{m}{s^2}$$

Yuqorida formulaga olib borsak, burchak quyidagiga teng bo'ladi:

$$\alpha = \arctg \frac{a}{g} = \arctg \frac{6}{9.81} \approx 31^\circ$$

3- masala. Diametri $D = 2,0 \text{ m}$ ga teng bo'lgan silindrsimon bakka $H = 1,5 \text{ m}$ gacha suv va benzin quyilgan. Pezometrdagi suv sathi benzin sathidan $h = 300 \text{ mm}$ past. Bakdag'i benzin og'irligini aniqlang, benzin zichligi $\rho_b = 700 \text{ kg/m}^3$

Yechimi:

1. Gidrostatikaning asosiy tenglamasiga asosan A nuqtadagi bosim

$$P_A = P_a + \rho_b gh_1 + \rho_b gh_2$$

$$P_a = P_a + \rho g (H - h)$$

Tenglamaning o'ng tomonlarini tenglashtirib, h ni aniqlaymiz:
 $\rho_b g h_1 + \rho g h_2 = \rho g (H - h)$

Ma'lumki,

$$h_1 + h_2 = H; \quad h_2 = H - h_1$$

u holda

$$h_1 (\rho_b g - \rho g) = \rho g h$$

$$h_1 = \frac{\rho g h}{\rho_b g - \rho g} = \frac{\rho h}{\rho_b - \rho} = \frac{1000 \text{ kg/m}^3 \cdot 0,3 \text{ m}}{300 \text{ kg/m}^3} = 1,0 \text{ m}$$

2. Bakdag'i benzin og'irligi:

$$G = \rho_b g W = \rho_b g \frac{\pi d^2}{4} \cdot h_1 = 22 \text{ kH}$$

4-masala. Agar simobli asbobning ko'rsatishi $h = 363$ mm, balandligi $h = 1,0$ m bo'lsa idishdagi havoning absolyut bosimini aniqlash kerak. Simobning zichligi $\rho_s = 13600 \text{ kg/m}^3$. Atmosfera bosimi 736 mm simob ustuniga teng

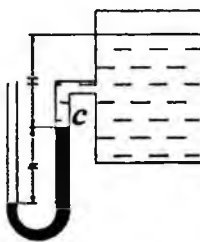
Yechimi:

1. (1.2) formuladan C nuqtadagi bosim

$$P_c = P_a - \rho_c g h$$

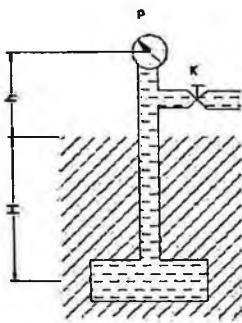
2. Suyuqlik sathidagi bosim

$$P_0 = P_c - \rho g H = P_a - \rho g h - \rho g H = 39952 \text{ kH/m}^2 \approx 40 \text{ kPa}$$



2.16-rasm.

5-masala. Agar $h = 1,7$ m balandlikda qo'yilgan vakuummetrning ko'rsatgichi $P_v = 0,12 \text{ mPa}$ bo'lib, atmosfera bosimi $h_a = 740 \text{ mm}$ simob ustuniga va benzin zichligi $\rho_b = 700 \text{ kg/m}^3$ bo'lsa, $H = 5 \text{ m}$ chuqurlikka o'rnatilgan rezervuardagi absolyut bosimni aniqlang.



2.17- rasm.

Yechimi:

1. Ma'lumki, vakuummetr vakuummetrik bosimni o'lchaydi, u holda absolyut bosim quyidagicha aniqlanadi:

$$p_A = p_a - p_v$$

$$p_A = p_a - p_v = 0,8 \text{ at} = 0,08 \text{ MPa}$$

2. C nuqtadagi absolyut bosimni quyidagi formula yordamida hisoblaymiz:

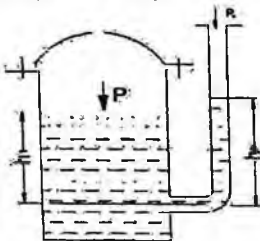
$$p_C = p_A + \rho g (H + h) = 1,26 \text{ at.}$$

Mustaqil yechishga doir masalalar:

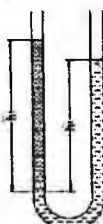
1. Idish tubidagi to'la gidrostatik bosimni toping. Idishning usti ochiq bo'lib, uning erkin sirtidagi bosim atmosfera bosimiga teng.

Aniqlangan gidrostatik bosimni har xil birliklarida ifodalang (1-jadvaldan foydalanib).

2. Yopiq idishga o'rnatilgan pezometrdagi suyuqlik sathini h_P toping. Suv sathidagi absolyut bosim: $p = 1,06 \text{ at}$; $h_1 = 60 \text{ sm}$; $p_a = 760 \text{ mm simob ustuniga teng}$. (2.21-rasm).



2.18-rasm.



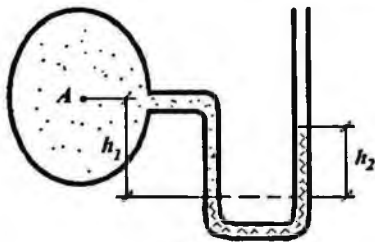
2.19-rasm.

3. Idishdagi suv sathidagi bosimni aniqlang. Pezometrdagi suyuqlik balandligi $h_p = 70$ sm, $h_1 = 40$ sm, $P_a = 100$ kPa (2.18-rasm).

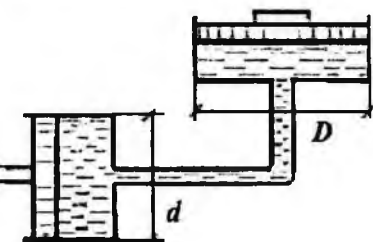
4. U – shakldagi idishga benzin va suv quyilgan. Agar $h_1 = 70$ sm; $h_2 = 50$ sm bo‘lsa, benzin zichligini aniqlang (2.19-rasm).

5. A quvurdagi suvning manometrik bosimini toping. Pezometrdagi simob ustuni balandligi $h_2 = 25$ sm va $h_1 = 40$ sm. (2.20- rasm).

6. Agar katta porshenga qo‘yilgan kuch $F_2 = 50$ kN, kichik porshenga qo‘yilgan kuch $F_1 = 20$ kN bo‘lsa, tizim muvozanatda bo‘lishi uchun h ni aniqlang. Naylar suv bilan to‘ldirilgan (2.21- rasm).



2.20-rasm.



2.21-rasm.

2.10. Tekis sirtga ta’sir qiluvchi bosim kuchi

a) Suyuqlikning tekis sirtga ta’sir etayotgan gidrostatik bosim kuchi.

Ixtiyoriy qiya tekislikka bo‘lgan bosim kuchini aniqlash kerak bo‘ladi. Xususiy holda shitlarga ta’sir qiluvchi kuchlarni aniqlash xuddi shunday masalaga olib keladi. Shitlardagi gidrostatik bosim kuchini hisoblash uchun quyidagi masalani ko‘ramiz. Suyuqlik bilan to‘ldirilgan idish olaylik. Uning gorizont bilan α burchak tashkil etgan qiya sirtida ω yuzaga tushadigan bosim kuchini aniqlaymiz. Oy o‘qini qiya sirt yo‘nalishi bo‘yicha, Ox o‘qini esa unga tik yo‘nalishda deb qabul qilamiz (2.22-rasm). Bu holda ω sirdagi kichik $d\omega$ sirtga ta’sir etayotgan gidrostatik bosim kuchi quyidagicha aniqlanadi:

$$dP = d\omega (\gamma h + p_0). \quad (2.18)$$

Bu yerda γh - suyuqlik ustunining bosimi; p_0 - erkin sirdagi bosim. U holda ω yuzaga ta’sir qilayotgan to‘la bosim quyidagi formula bilan aniqlanadi:

$$P_\omega = \int_{(\omega)} \gamma h d\omega + \int_{(\omega)} p_0 d\omega = \gamma \int_{(\omega)} h d\omega + p_0 \int_{(\omega)} d\omega,$$

agar

$$h = y \sin \alpha$$

ekanligini hisobga olsak:

$$P_{\omega} = \gamma \sin \alpha \int_{(\omega)} y d\omega + p_0 \int_{(\omega)} d\omega, \quad (2.19)$$

bu yerda $\int_{(\omega)} y d\omega$ – sirtning Ox o‘qiga nisbatan statik momenti.

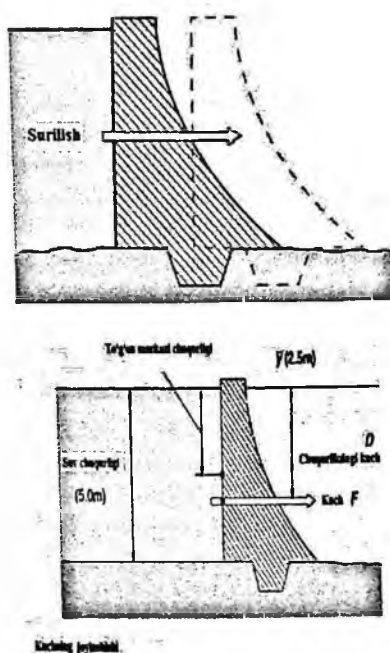
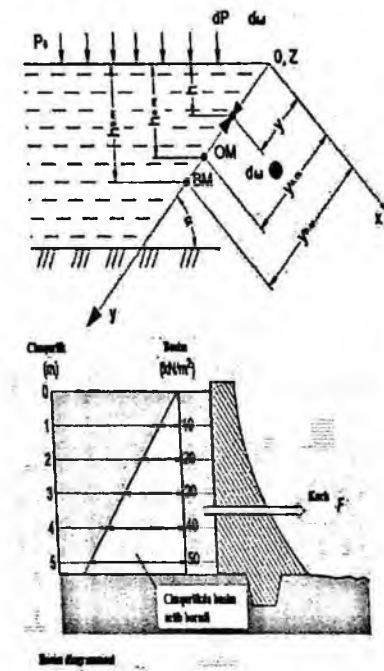
Statik moment haqidagi tushunchaga asosan

$$\int_{(\omega)} y d\omega = \omega y_{O.M.},$$

bu yerda y – og‘irlik markazining koordinatasi. Rasmdan ko‘rinib turibdiki,
 $y_{O.M.} \sin \alpha = h_{O.M.}$,

demak,

$$P_{\omega} = \omega (h_{O.M.} + p_0). \quad (2.20)$$



2.22-rasm. Tekis sirtga tushadigan bosimni hisoblashga doir chizma.
(Melvyn Kay, *Practical Hydraulics* (Taylor & Francis 2 Park Square, Milton Park, Abingdon, Oxon OX14 4RN) 2008.-253 pages)

Agar to'liq bosim kuchini atmosfera bosimi va chegirma bosimdan iborat desak

$$P_{\omega} = P_u + P_a$$

bo'ladi, bu yerda chegirma bosim kuchi quyidagiga teng:

$$P_u = \gamma h_{\omega} \omega \quad (2.21)$$

Demak, qiya yuzaga tushadigan bosim kuchi shu yuza sirti bilan uning og'irlik markaziga ta'sir qiluvchi bosimning ko'paytmasiga teng bo'lib, gidrostatik bosim kuchi

$$P_a = p_0 \omega$$

va chegirma bosim kuchi

$$P_u = \gamma h_{\omega} \omega$$

yig'indisiga teng bo'ladi. Birinchi kuch yuzaning og'irlik markaziga qo'yilgan bo'lib, ikkinchi kuch undan pastroqqa qo'yilgan bo'ladi.

b) Bosim markazini topish

Chegirma bosim teng ta'sir etuvchisining qo'yilish nuqtasi bosim markazi deb ataladi. Bu nuqtani topish shitlarning o'lchamlarini aniqlash uchun kerak bo'ladi. Shuning uchun bosim markazi koordinatasini topish shitlarni hisoblashda juda zarur. 2.22-rasmdan bosim markazining koordinatasi $y_{b.m}$ ga teng deb hisoblab, ω sirtga ta'sir qilayotgan momentni aniqlaymiz:

$$P \cdot y_c = \int_{(\omega)} dP y = \int_{(\omega)} \gamma h d\omega y \quad (2.22)$$

Rasmdan

$$h_{\omega} = y_{\omega} \sin \alpha, \quad h = y \sin \alpha$$

ekanligi ko'rinish turibdi. U holda (2.22) munosabatdan quyidagi kelib chiqadi:

$$\omega \cdot y_{b.m} \cdot y_{b.m} = \int_{(\omega)} y^2 d\omega = I_x \quad (2.23)$$

bu yerda $I_x = \int_{(\omega)} y^2 d\omega$ – ko'rilibayotgan sirtning Ox o'qqa nisbatan inertsiya momenti.

U holda (2.23) dan bosim markazini topamiz:

$$y_{b.m} = \frac{I_x}{\omega \cdot y_{b.m}}. \quad (2.24)$$

Inertsiya momentini quyidagicha ifodalash mumkin:

$$I_x = I_{o.m.} + \omega \cdot y_{o.m.}^2, \quad (2.25)$$

bu yerda $I_{o.m.}$ – ko'rilayotgan yuzaning uning og'irlik markazidan o'tuvchi o'qqa nisbatan inertsiya momenti.

U holda (2.25) ni (2.24) ga qo'yib, bosim markazini quyidagicha topamiz:

$$y_{b.m.} = y_{o.m.} + \frac{I_{o.m.}}{\omega \cdot y_{o.m.}} \quad (2.26)$$

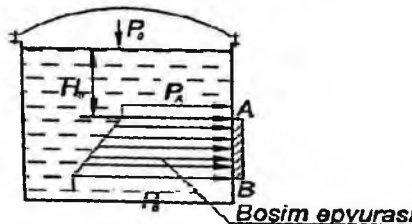
Bu tenglamadan ko'rindaniki, bosim markazi ko'rilayotgan qiya sirt og'irlik markazidan $\frac{I_{o.m.}}{\omega \cdot y_{o.m.}}$ miqdorda pastda joylashgan bo'lib, sirt gorizontal bo'lgan xususiy holdagina bu farq θ ga teng, (ya'ni, og'irlik markazi bilan bosim markazi ust tushadi).

2.11. Grafoanalitik usul

Bu usulni yuqoridagi masala asosida tushuntiramiz:

1. Masshtab bilan bosim epyurasini (2.23-rasm) chizamiz. A nuqtadagi bosim:

$$P_A = P_0 + \rho g H_0$$



2.23-rasm.

B nuqtadagi bosim

$$P_B = P_0 + \rho g (H_0 + a)$$

2. Gidrostatik bosim kuchi bosim epyurasining hajmiga teng:

$$P = W_{b.e.} = \omega_{b.e.} * b$$

Bu yerda: $\omega_{b.e.}$ – bosim epyurasining yuzasi, bizning misolda quyidagicha aniqlanadi:

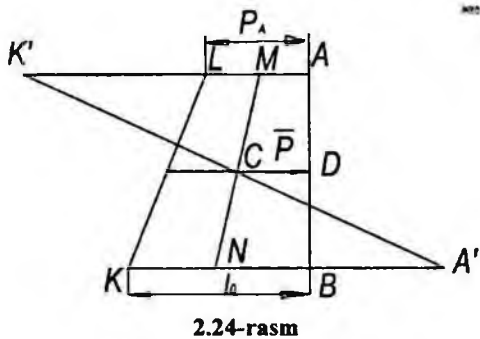
$$\omega_{b.e.} = \left(\frac{P_A + P_B}{2} \right)$$

u holda gidrostatik bosim kuchi

$$P = \left(\frac{P_A + P_B}{2} \right) \cdot a \cdot b = \left(\frac{190.5 \cdot 10^3 + 198.9 \cdot 10^3}{2} \right) \cdot 1.2 \cdot 1 = 233kN$$

1.1 Bosim markazini aniqlash

Grafoanalitik usulda bosim markazini aniqlashda bir qulaylik bor. Chunki gidrostatik bosim kuchi bosim epyurasining og'irlik markazidan o'tadi. Demak, bosim markazini aniqlash uchun bosim epyurasining og'irlik markazini aniqlash kifoya. Biz ko'rayotgan misolda nazariy mexanika kursidan ma'lum bo'lgan usuldan foydalaniib, bosim epyurasining og'irlik markazini aniqlaymiz. Yuqorida ko'rilgan misolda bosim epyurasi trapetsiya shaklida edi. Trapetsiyaning og'irlik markazini quyidagicha topamiz.



1. Masshtab bilan bosim epyurasi chiziladi (2.24-rasm).
2. BK –kesmasini olib, AL –kesmasini to'ldiramiz. AL –kesmasini olib, BK –kesmasini to'ldiramiz. Natijada AK' va KA' kesmalarini hosil qilamiz.
3. A' va K' nuqtalarni tutashtiramiz.
4. AL –kesmasining o'rtasi M nuqtani BK –kesmaning o'rtasi N –nuqtani aniqlab, bu nuqtalarni tutashtiramiz.

M nuqtani BK –kesmaning o'rtasi N –nuqtani aniqlab, bu nuqtalarni tutashtiramiz. A'K' va MN –chiziqlarning kesishgan nuqtasi – C bosim epyurasining og'irlik markazi bo'ladi. Gidrostatik bosim kuchi C nuqtadan o'tib AB tomon bilan D nuqtada kesishadi, ya'ni D nuqta bosim markazi bo'ladi.

2.12. Gidrostatik g'ayritabiylilik (paradoks)

Biror idishdagi suyuqlikning chuqurligi h bo'lsin, u holda ixtiyoriy nuqtadagi bosim uning suyuqlik ichida qancha chuqurlikda bo'lganiga bog'liq bo'ladi. A, B, C nuqtalardagi bosimlar quyidagilarga teng:

$$P_A = \gamma h_A; P_B = \gamma h_B; P_C = \gamma h_C.$$

Suyuqlik tubidagi bosim kuchi esa

$$P = \gamma h \omega$$

ga teng. Demak, suyuqlik tubidagi bosim kuchi suyuqlikning og'irligiga teng bo'lar ekan.

2.25-rasmida har xil shakldagi idishlar tasvirlangan va barcha idishlardagi suyuqlikning chuqurligi h ga, idish tubining sirti esa ω ga teng.

Bu holda idish tubiga bo'lgan bosim kuchi idishlarda

$$P_a = \gamma h \omega; P_b = \gamma h \omega; P_c = \gamma h \omega; P_e = \gamma h \omega \quad (2.27)$$

ya'ni, barcha idishlarda suyuqlik tubiga bo'lgan bosim kuchi idishning shakli va bosim hosil qilgan suyuqlikning miqdoridan qat'i nazar quyidagiga teng bo'ladi:

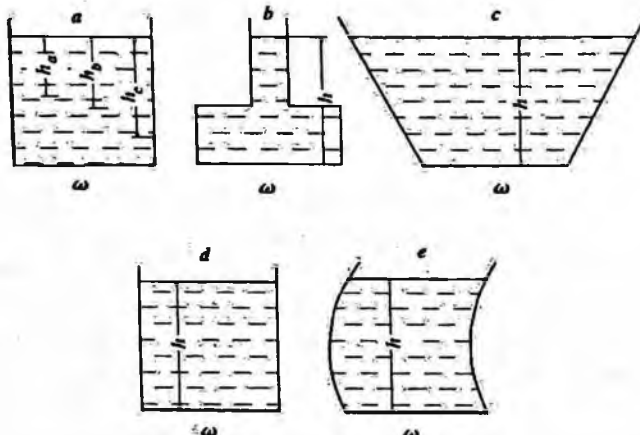
$$P = \gamma h \omega$$

Qanday qilib hajmi va og'irligi har xil suyuqliklarning idish tubidagi bosimi bir xil? Bu yerda fizikaning biror qonuni noto'g'ri talqin qilinayotgani yo'qmikan?

Gidravlika qonunlari bo'yicha suyuqlikdagi bosim uning shakliga bog'liq bo'lmay, uning chuqurligiga bog'liq.

Bu hodisa gidrostatik g'ayritabiylilik deb ataladi. Bu savolga javob olish uchun Paskal qonunini chuqurroq talqin qilish kerak. Masalan, 2.24, b va 2.24, c-rasmlarni tekshirsak, birinchi holda idishning yuqoridagi devorlarida bosim yuqoriga yo'nalgan bo'lib, reaksiya kuchlari pastga yo'nalgan, 2.24, c da esa aksincha.

Ana shu hodisalar gidrostatik g'ayritabiylilikning mohiyatini ochib beradi.

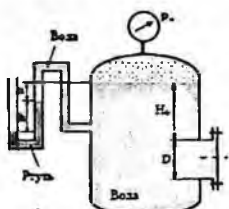


2.25-rasm. Gidrostatik paradoksga doir chizma

Amaliy mashg'ulotlarni bajarishga doir ko'rsatma:

1 – Masala. Rezervuar qopqog'iga ta'sir etayotgan GBK ni va bosim markazini quyidagi holatlarda aniqlang.

1. Diametri $D = 1\text{m}$. Manometr ko'rsatgichi $P_m = 0.08 \text{ MPa}$ $H_0 = 15\text{m}$.



Berilgan
 $H_0 = 1.5 \text{ m}$
 $D = 1 \text{ m}$
 $P_M = 80 \text{ kN/m}^2$
 $\gamma = 10 \text{ kN/m}^3$

2.26-rasm.

Yechish:

Birinchi holat uchun.

1) Qopqoqning og'irlilik markazidagi bosimni aniqlaymiz.

$$P_c = P_M + \gamma \cdot h_c = P_M + \gamma \cdot \left(H_0 + \frac{D}{2} \right) = 80 + 10 \cdot \left(1.5 + \frac{1}{2} \right) = 80 + 10 \cdot 2 \\ = \frac{100 \text{ kN}}{\text{m}^2}$$

2) Qopqoq yuzasini aniqlaymiz.

$$\omega = \frac{\pi \cdot d^2}{4} = 0.785 \cdot 1^2 = 0.785 \text{ m}^2$$

3) Ta'sir etayotgan GBK ni aniqlaymiz

$$F = P_c \cdot \omega = 100 \cdot 0.785 = 78.5 \text{ kN}$$

2. Qopqoq o'lchamlari $a = 1.0 \text{ m}$; $b = 1.2 \text{ m}$; suyuqlik zichligi $\rho = 700 \text{ kg/m}^3$ va rezervuarga o'rnatilgan manometrning ko'rsatishi $p_m = 0.08 \text{ MPa}$; $H_0 = 1.5 \text{ m}$.

Yeshimi:

1. Tekis shakl og'irlilik markaziga qo'yilgan bosimni aniqlaymiz:
 Formuladan ixtiyoriy nuqtadagi bosim:

$$P_c = p_0 + \rho g h_c$$

bu yerda: p_0 – tashqi bosim, $p_0 = p_m + p_a$

U holda

$$p_c = p_m + p_a + \rho g \left(H_0 + \frac{a}{2} \right)$$

2. Tekis shakl yuzasini aniqlaymiz:

$$\omega = ba$$

3. Gidrostatik bosim kuchini aniqlaymiz:

$$P = p_c \omega = \left[p_m + p_a + \rho g \left(H_0 + \frac{a}{2} \right) \right] ab$$

Berilgan qiymatlarni qo'yib, gidrostatik bosim kuchini hisoblaymiz:

$$P = p_c \omega = \left[0.08 * 10^6 \frac{N}{m^2} + 10^5 \frac{N}{m^2} + 700 \frac{kg}{m^3} * 9.81 \frac{m}{s^2} (1.5m + 0.5m) \right] * 1.2m^2 \\ = 232800N \approx 233kN$$

4. Bosim markazini aniqlaymiz:

$$h_d = h_c + \frac{J_0}{h_c \omega}$$

Bu yerda:

$$h_c = H_0 + \frac{a}{2}; \omega = ab; J_0 = \frac{ba^3}{12}$$

u holda, berilgan qiymatlarni qo'yib h_D ni aniqlaymiz:

$$h_d = \left(H_0 + \frac{a}{2} \right) + \frac{ba^3}{\left(H_0 + \frac{a}{2} \right) 12ba} = 2 + \frac{1}{24} = 2.06m$$

Endi bosim markazini aniqlashni boshqa hollarda ham ko'ramiz.

3. Yuqoridagi masalada idish devori burchak ostida joylashgan bo'lsa z_d ni aniqlaymiz:

bu yerda: $H_0 = 1,5$

$$a = 1,4 \text{ m}$$

$$b = 1,2 \text{ m}$$

$\alpha = 60^\circ$ bo'lib, bosim markazini aniqlash kerak bo'lsin:

$$z_d = z_c + \frac{J_0}{z_c \omega}$$

u holda

$$h_d = z_d \sin \alpha = 2.17m$$

Bunday hollarda bosim markazini aniqlashning bir qulay usuli bor (Mazkur usul mualliflar tomonidan taklif qilingan). Burchak ostida joylashgan tekis shakl vertikal tekislikka proyektsiyalanib, bosim markazi (2.37) formula bilan hisoblanadi:

$$h_d^x = h_c^x + \frac{J_0^1}{h_c^x \omega^1}$$

Bu yerda: J_0^1 – tekis shakl proyektsiyasining inertsiya momenti;
 ω^1 – tekis shaklning vertikal tekislikka proyektsiyasi.

U holda,

$$h_D = 2,17 \text{ m}$$

2– Masala. O‘lchamlari $L=2.5$; $B = 10 \text{ m}$ bo‘lgan darvoza (zatvor) chuqurligi $H = 2.3 \text{ m}$ bo‘lgan suvni to‘sib turibdi.

Aniqlansin:

- a) Trossdagi kuchlanish (zatvor og‘irligi hisobga olinmasin)
- b) Sharnirdagi reyaktsiya kuchi R.

Berilgan:

$$L = 2.5 \text{ m}$$

$$B = 10 \text{ m}$$

$$H = 2.3 \text{ m}$$

$$\gamma = 10 \text{ kN/m}^3$$

$$T = ? \quad R = ?$$

Yechish:

1) Zatvorning og‘irlik markazidagi bosimni aniqlaymiz.

$$p_c = \gamma \cdot h_c = \gamma \cdot \frac{H}{2} = 10 \cdot \frac{2.3}{2} = 10 \cdot 1.15 = 11.5 \frac{\text{kN}}{\text{m}^2}$$

2) Yuzani aniqlaymiz.

$$\omega = L \cdot B = 2.5 \cdot 10 = 25 \text{ m}^2$$

3) Ta’sir etayotgan GBK ni aniqlaymiz.

$$P = p_c \cdot \omega = 11.5 \cdot 25 = 287.5 \text{ kN}$$

4) Bosim markazini aniqlaymiz

$$Z_d = Z_c + \frac{J}{Z_c \cdot \omega}$$

$$Z_c = \frac{H}{2} \cdot \frac{L}{H} = \frac{2.5}{2} 1.25 \text{ m}$$

$$\omega = 2.5 \text{ m}^2$$

$$J = \frac{B \cdot L^2}{12} = \frac{10 \cdot 2.5^3}{12} = 13$$

5) Trossdagi kuchlanish T ni aniqlaymiz. $\Sigma M_0 = 0$

$$T \cdot L - P \cdot (L - Z_d) = 0$$

$$T = \frac{P \cdot (L - Z_d)}{L} = \frac{287.5 \cdot (2.5 - 1.66)}{2.5} = 96.6 \text{ kN}$$

6) Sharnirdagi R reaksiya kuchini aniqlaymiz.

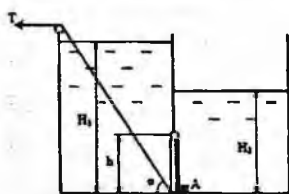
$$\sum M_A = 0$$

$$R \cdot L - F \cdot Z_d = 0$$

$$R = \frac{P \cdot Z_d}{L} = \frac{287.5 \cdot 1.66}{2.5} = 191 \text{ kN}$$

Javob: $T = 96.6 \text{ kN}$ $R = 191 \text{ kN}$

3 – Masala. Ikki qismga ajratilgan rezervuar o'ttasiga bo'yi $h = 0.4 \text{ m}$, eni $b = 0.8 \text{ m}$ bo'lgan shit o'rnatilgan. Suvning chuqurliklari $H_1 = 1.6 \text{ m}$, $H_2 = 1.0 \text{ m}$, $\alpha = 60^\circ$, $\rho = 1000 \text{ kg/m}^3$. Shitni ochish uchun kerak bo'lgan T kuchi va A tayanchdagagi reaksiya kuchini aniqlang.



Berilgan:

$$H_1 = 1.6 \text{ m}$$

$$H_2 = 1 \text{ m}$$

$$\alpha = 60$$

$$\gamma = 10 \text{ kN/m}^3$$

$$h = 0.4 \text{ m}$$

$$b = 0.8 \text{ m}$$

2.27-rasm.

$$T = ? \quad R_A = ?$$

Yechish:

1) Chap tomonidan shitning og'irlik markazidagi bosimni aniqlaymiz.

$$p_{c1} = \gamma \cdot h_c = \gamma \cdot \left(H_1 - \frac{h}{2} \right) = 10 \cdot \left(1.6 - \frac{0.4}{2} \right) = 10 \cdot 1.4 = 14 \frac{\text{kN}}{\text{m}^2}$$

2) Yuzasini aniqlaymiz.

$$\omega_1 = h \cdot b = 0.4 \cdot 0.8 = 0.32 \text{ m}^2$$

3) Ta'sir etayotgan GBK ni aniqlaymiz.

$$P_1 = p_{c1} \cdot \omega_1 = 14 \cdot 0.32 = 4.48 \text{ kN}$$

4) Bosim markazini aniqlaymiz.

$$h_{d1} = h_{c1} + \frac{J_1}{h_{c1} \cdot \omega_1}$$

$$h_{c1} = 1.4 \text{ m} \quad \omega_1 = 0.32 \text{ m}^2$$

$$J_1 = \frac{b \cdot h^3}{12} = \frac{0.8 \cdot 0.4^3}{12} = 0.0042$$

$$h_{d1} = 1.4 + \frac{0.0042}{1.4 \cdot 0.32} = 1.409 \text{ m}$$

5) O'ng tomonidan shitning og'irlik markazidagi bosimni aniqlaymiz.

$$p_{c2} = \gamma \cdot h_{c2} = \gamma \cdot \left(H_2 - \frac{h}{2} \right) = 10 \cdot \left(1 - \frac{0.4}{2} \right) = 10 \cdot 0.8 = 8 \text{ kN/m}^2$$

6) Yuzasini aniqlaymiz.

$$\omega_2 = h \cdot b = 0.4 \cdot 0.8 = 0.32 \text{ m}^2$$

7) Ta'sir etayotgan GBK ni aniqlaymiz.

$$P_2 = p_{c2} \cdot \omega_2 = 8 \cdot 0.32 = 2.56 \text{ kN}$$

8) Bosim markazini aniqlaymiz.

$$h_{d2} = h_{c2} + \frac{J}{h_{c2} \cdot \omega_2}$$

$$h_{c2} = 0.8 \text{ m} \quad \omega_2 = 0.32 \text{ m}^2$$

$$J_2 = \frac{b \cdot h^3}{12} = \frac{0.8 \cdot 0.4^3}{12} = 0.0042$$

$$h_{d2} = 0.8 + \frac{0.0042}{0.8 \cdot 0.32} = 0.816 \text{ m}$$

9) T kuchini aniqlash uchun sharnir turgan nuqtani 0 deb belgilab moment olamiz.

$$T \cdot h \cdot \cos\alpha - P_1 \cdot [h_{d1} - (H_1 - h)] + P_2 \cdot [h_{d2} - (H_2 - h)] = 0$$

$$T = \frac{P_1 \cdot [h_{d1} - (H_1 - h)] + P_2 \cdot [h_{d2} - (H_2 - h)]}{h \cdot \cos\alpha}$$

$$= \frac{14 \cdot [1.409 - (1.6 - 0.4)] - 8 \cdot [0.816 - (1 - 0.4)]}{0.4 \cdot 0.5}$$

$$= \frac{14 \cdot 0.209 - 8 \cdot 0.216}{0.2} = \frac{2.926 - 1.728}{0.2} = \frac{1.198}{0.2} = 6 \text{ kN}$$

10) A nuqtadagi reaksiya kuchini aniqlaymiz.

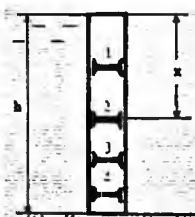
$$\sum M_0 = 0$$

$$R_A \cdot h - P_1 \cdot [h_{d1} - (H_1 - h)] + P_2 \cdot [h_{d2} - (H_2 - h)] = 0$$

$$R_A = \frac{P_1 \cdot [h_{d1} - (H_1 - h)] - P_2 \cdot [h_{d2} - (H_2 - h)]}{h} = \frac{2.926 - 1.728}{0.4} = \frac{1.198}{0.4} = 4.95 \text{ kN}$$

Javob: $T = 6 \text{ kN}$ $R_A = 4.95 \text{ kN}$

4 – Masala. Eni $b = 6 \text{ m}$ bo'lgan ikki qavat shit orasiga balkalar joylashtirilgan. Suvning chuqurligi va shitning balandligi $h = 4 \text{ m}$. Zo'riqish bir xilda taqsimlanishi uchun x qanday masofada bo'lishi kerak?



2.28-rasm.

Berilgan:

$$h = 4 \text{ m}$$

$$b = 6 \text{ m}$$

$$\gamma = 10 \text{ kN/m}^3$$

$$x = ?$$

Yechish:

1) Shitning og'irlilik markazidagi bosimni aniqlaymiz

$$p_c = \gamma \cdot h_c = \gamma \cdot \frac{h}{10} = 10 \cdot \frac{4}{2} = 20 \text{ kN/m}^2$$

2) Yuzasini aniqlaymiz.

$$\omega = h \cdot b = 4 \cdot 6 = 24 \text{ m}^2$$

3) Ta'sir etayotgan GBK ni aniqlaymiz.

$$P = p_c \cdot \omega = 20 \cdot 24 = 480 \text{ kN}$$

4) Bosim markazini aniqlaymiz.

$$h_d = h_c + \frac{J}{h_c \cdot \omega}$$

$$h_c = 2 \text{ m} \quad \omega = 24 \text{ m}^2$$

$$J = \frac{b \cdot h^3}{12} = \frac{6 \cdot 2^3}{12} = 4$$

$$h_d = 2 + \frac{4}{2 \cdot 24} = 2.083 \text{ m} \rightarrow h_d = X = 2.083 \text{ m}$$

Javob: $X = 2.083 \text{ m}$

5 – Masala. To'g'onning suv chiqish qismida eni $b = 6 \text{ m}$ bo'lgan shit o'rnatilgan. Yuqori byefda suv chuqurligi $h_1 = 23 \text{ m}$, pastki byefda esa $h_2 = 11.5 \text{ m}$, chiqish qismi balandligi $t = 17.25 \text{ m}$. Qiyalik $\alpha = 45^\circ$. Shit A o'qi atrofida aylanadi. Shitning og'irligi $G = 100 \text{ kH}$.

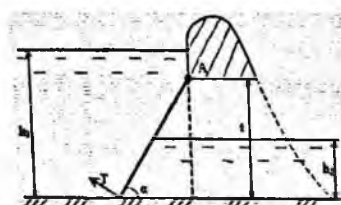
Aniqlanishi kerak.

a) Shitga ta'sir etayotgan GBK P_1 va P_2

b) Umumiy GBK P_{um}

c) Umumiy kuch bosim markazi.

d) Shitni qo'zg'atuvchi T kuchi.



2.29-rasm.

Berilgan

$$h_1 = 23 \text{ m}$$

$$h_2 = 11.5 \text{ m}$$

$$t = 17.25 \text{ m}$$

$$b = 6 \text{ m}$$

$$\alpha = 45^\circ$$

$$G = 100 \text{ Kn}$$

$$\gamma = 10 \text{ kN/m}^3$$

Yechish:

1) Yuqori byefdan shitning og'irlik markazidagi bosimni aniqlaymiz.

$$p_{c1} = \gamma \cdot h_{c1} = \gamma \cdot \left[(h_1 - t) + \frac{t}{2} \right] = 10 \cdot \left[(23 - 17.25) + \frac{17.25}{2} \right] = 10 \cdot 14.25$$

$$= 142.5 \text{ kN/m}^2$$

2) Yuzasini aniqlaymiz.

$$\omega_1 = \frac{t}{\sin\alpha} \cdot b = \frac{17.5}{0.707} \cdot 6 = 148.5 \text{ m}^2$$

3) Ta'sir etayotgan GBK ni aniqlaymiz.

$$P_1 = p_{c1} \cdot \omega_1 = 142.5 \cdot 148.5 = 21161.25 \text{ kN}$$

4) Pastki byefdan shitning og'irlik markazidagi bosimni aniqlaymiz.

$$p_{c2} = \gamma \cdot h_{c2} = \gamma \cdot \frac{h_2}{2} = 10 \cdot \frac{11.5}{2} = 57.5 \frac{\text{kN}}{\text{m}^2}$$

5) Yuzasini aniqlaymiz.

$$\omega_2 = \frac{h_2}{\sin\alpha} \cdot b = \frac{11.5}{0.707} \cdot 6 = 97.9 \text{ m}^2$$

6) Ta'sir etayotgan GBK ni aniqlaymiz.

$$P_2 = p_{c2} \cdot \omega_2 = 57.5 \cdot 97.6 = 5612 \text{ kN}$$

7) Shitga ta'sir etayotgan umumiy GBK ni aniqlaymiz.

$$\Sigma_x = P_{um} = P_1 - P_2 = 21161.25 - 5612 = 15549.25 \text{ kN}$$

8) Yuqori byefdag'i bosim markazini aniqlaymiz.

$$Z_{d1} = Z_{c1} + \frac{J_1}{Z_{c1} \cdot \omega_1}$$

$$Z_{c1} = \frac{h_{c1}}{\sin\alpha} = \frac{14.25}{0.707} = 20.15 \text{ m}$$

$$\omega_1 = 148.5 \text{ m}^2$$

$$J_1 = \frac{b}{12} \cdot \left(\frac{t}{\sin\alpha} \right)^3 = \frac{6}{12} \cdot \left(\frac{17.25}{0.707} \right)^3 = 0.5 \cdot 14524.7 = 7262.38$$

$$Z_{d1} = 20.15 + \frac{7262.38}{20.15 \cdot 148.5} = 22.57 \text{ m}$$

9) Pastki byefdag'i bosim markazini aniqlaymiz.

$$Z_{d2} = Z_{c2} + \frac{J}{Z_{c2} \cdot \omega_2} = 8.13 + \frac{2151.8}{8.13 \cdot 97.6} = 10.84 \text{ m}$$

$$Z_{c2} = \frac{h_{c2}}{\sin\alpha} = \frac{5.75}{0.707} = 8.13 \text{ m}$$

$$\omega_2 = 97.6 \text{ m}^2$$

$$I = \frac{b}{12} \cdot \left(\frac{h_2}{\sin \alpha} \right)^3 = \frac{6}{12} \cdot \left(\frac{11.5}{0.707} \right)^3 = 0.5 \cdot 4303.6 = 2151.8 \text{ m}$$

10) Umumiy ta'sir etayotgan GBK ning qo'yilish nuqtasini aniqlash uchun A nuqtaga nisbatan moment olamiz.

$$\Sigma M_0 = 0$$

$$P_{um} l = P_1 \cdot \left[Z_{d1} - \left(\frac{h_1 - t}{\sin \alpha} \right) \right] - P_2 \cdot \left[Z_{d2} + \left(\frac{t - h_2}{\sin \alpha} \right) \right]$$

$$l = \frac{F_1 \cdot \left[Z_{d1} - \left(\frac{h_1 - t}{\sin \alpha} \right) \right] - F_2 \cdot \left[Z_{d2} + \left(\frac{t - h_2}{\sin \alpha} \right) \right]}{F_{um}}$$

$$= \frac{21161.25 \cdot \left[22.57 - \left(\frac{23.5 - 17.25}{0.707} \right) \right] - 5612 \cdot \left[10.84 + \left(\frac{17.25 - 11.5}{0.707} \right) \right]}{15549.25}$$

$$= \frac{21161.25 \cdot 13.73 - 5612 \cdot 18.97}{15549.25} = \frac{184084.32}{15549.25} 11.83 \text{ m}$$

$$l = 11.83 \text{ m}$$

11) Shitni qo'zg'atuvchi T kuchni aniqlash uchun A nuqtaga nisbatan moment olamiz.

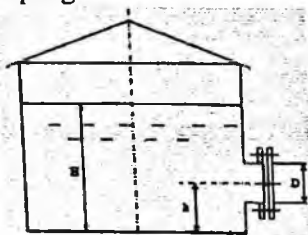
$$\Sigma M_0 = 0$$

$$T \cdot \frac{t}{\sin \alpha} - P_{um} \cdot l - G \cdot \frac{t}{2 \cdot \sin \alpha} = 0$$

$$T = \frac{P_{um} \cdot l - G \cdot \frac{t}{2 \cdot \sin \alpha}}{\frac{t}{\sin \alpha}} = \frac{15549.25 \cdot 11.83 - 100 \cdot \frac{17.25}{2 \cdot 0.707}}{\frac{17.25}{0.707}} \\ = \frac{183947.62 - 1219.94}{24.398} = 7489.4 \text{ kN}$$

$$\text{Javob: } P_1 = 21161.25 \text{ kN} \quad P_2 = 5612 \text{ kN}$$

6 – Masala. Rezervuarga zichligi $\rho = 860 \text{ kg/m}^3$ bo'lgan kerosin quyilgan. Kerosin chuqurligi $H = 8 \text{ m}$ rezervuar tubigacha. $h = 0.5 \text{ m}$. Qopqoq diametri $D = 0.75 \text{ m}$, va u $n = 12$ dona bolt bilan qotirilgan. Ruxsat etilgan kuchlanish $\sigma = 700 \text{ kg/m}^2 = 70 \text{ MPa}$ boltlar diametrini aniqlang.



2.30-rasm.

Berilgan:

$$H = 8 \text{ m}$$

$$h = 0.5 \text{ m}$$

$$\rho = 860 \text{ kg/m}^3$$

$$D = 0.75 \text{ m}$$

$$n = 12$$

$$\sigma = 700 \text{ kg/sm}^2$$

$$d = ?$$

1) Qopqoqning og'irlik markazidagi bosimni aniqlaymiz.

$$p_c = \gamma \cdot h_c = \gamma \cdot (H - h) = 8.6 \cdot (8 - 0.5) = 0.86 \cdot 7.5 = 64.5 \frac{kN}{m^2}$$

2) Yuzasini aniqlaymiz.

$$\omega = \frac{\pi d^2}{4} = 0.785 \cdot 0.75^2 = 0.44 m^2$$

3) Ta'sir etayotgan GBK ni aniqlaymiz.

$$P = p_c \cdot \omega = 64.5 \cdot 0.44 = 28.48 kN$$

4) Kuchni boltlarga taqsimlaymiz.

$$Q = \frac{P}{n} = \frac{28.48}{12} = 2.37 kN = 237 kgk$$

5) Cho'zilish va siqilish defarmatsiyasiga asosan, ruxsat etilgan kuchdan foydalanib boltlar diametrini aniqlaymiz.

$$6 = \frac{Q}{\omega_6} \leq [6]$$

$$\omega_6 = \frac{Q}{[6]} \quad \omega_6 = \frac{\pi d^2}{4}$$

$$d = \sqrt{\frac{Q}{[6]} \cdot \frac{4}{\pi}} = \sqrt{\frac{237}{700} \cdot \frac{4}{3.14}} = 0.65 sm$$

$$d \geq 0.65 sm = 6.5 mm$$

7 – Masala. Suvni to'sib turgan zatvoring o'lchamlari: bo'y $a = 4m$, eni $b = 2 m$ va qalinligi $c = 0.2 b$ chap tomonidagi suvning chuqurligi $h_1 = 3 m$, o'ng tomonidagi suvning chuqurligi $h_2 = 1.5 m$. Zatvor metaldan tayyorlangan $\gamma_m = 75 kN/m^3$. Ishqalanish koefitsiyenti $f = 0.4$. Suvning solishtirma og'irligi og'irligi $\gamma = 10 \text{ kg/m}^3$ bo'lsa zatvorni ko'taruvchi dastlabki kuch T ni aniqlang?

Berilgan:

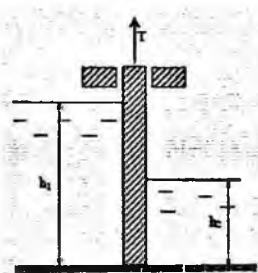
$$a = 4 m, b = 2 m, c = 0.2b$$

$$h_1 = 3 m, h_2 = 1.5,$$

$$\gamma_m = 75 kN/m^3$$

$$f = 0.4$$

$$T = ?$$



2.31-rasm.

1) Chap tomonidan zatvorning og'irlik markazidagi bosimni aniqlaymiz.

$$p_{c1} = \gamma \cdot h_{c1} = \gamma \cdot \frac{h_1}{2} = 10 \cdot \frac{3}{2} = 10 \cdot 1.5 = 1.5 \frac{kN}{m^2}$$

2) Yuzasini aniqlaymiz.

$$\omega_1 = h_1 \cdot b = 3 \cdot 2 = 6 m^2$$

3) Ta'sir etayotgan GBK ni aniqlaymiz.

$$P_1 = p_{c1} \cdot \omega_1 = 15 \cdot 6 = 90 kN$$

4) O'ng tomonidan shitning og'irlik markazidagi bosimni aniqlaymiz,

$$p_{c2} = \gamma \cdot h_{c2} = \gamma \cdot \frac{h_2}{2} = 10 \cdot \frac{1.5}{2} = 10 \cdot 0.75 = 7.5 \frac{kN}{m^2}$$

5) Yuzasini aniqlaymiz.

$$\omega_2 = h_2 \cdot b = 1.5 \cdot 2 = 3 m^2$$

6) Ta'sir etayotgan GBK ni aniqlaymiz.

$$P_2 = p_{c2} \cdot \omega_2 = 7.5 \cdot 3 = 22.5 kN$$

7) Zatvorning og'irlik kuchini aniqlaymiz.

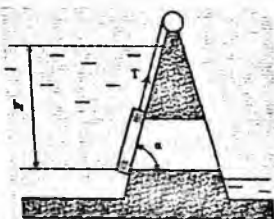
$$G = \gamma_m \cdot W = \gamma_m \cdot a \cdot b \cdot 0.2b = 75 \cdot 4 \cdot 2 \cdot 0.2 \cdot 2 = 75 \cdot 3.2 = 240 kN$$

8) Zatvorni ko'taruvchi T kuchni aniqlaymiz.

$$T \geq G + (F_1 + F_2) \cdot f = 240 + (90 + 22.5) \cdot 0.4 = 240 + 45 = 285$$

Javob : $T \geq 285 kN = 25.5 Tk$

8 – Masala. To'g'onda suvning chiqish qismini to'sib turuvchi shitning balandligi $a = 2 m$, eni $B = 1.6 m$, qalinligi $c = 0.25b$, $\alpha = 60^\circ$. Shitning pastki qismigacha bo'lgan chuqurlik $h_1 = 10 m$, shitning massasi $m = 2 t$, ishqalanish $f = 0.3$ suvning solishtirma og'irligi $\gamma = 10 kH/m^3$ bo'lsa shitni ko'taruvchi T kuchni aniqlang?



2.32-rasm.

Berilgan:

$$h_1 = 10 m, \quad a = 2 m, \quad b = 1.6 m, \quad c = 0.25b$$

$$\alpha = 60^\circ, \quad m = 2T, \quad f = 0.3, \quad \gamma = 10$$

$$kN/m^3 = 1Tk/m^3$$

$$T = ?$$

Yechish:

1) Shitning 0 og'irlik markazidagi bosimni aniqlaymiz.

$$P_c = \gamma \cdot h_c = \gamma \cdot \left(h_1 - \frac{a}{2} \right) = 1 \cdot \left(10 - \frac{3}{2} \right) = 1 \cdot 9 = 9 \cdot \frac{Tk}{m^2}$$

2) Yuzasini aniqlaymiz.

$$\omega = \frac{a}{\sin \alpha} \cdot b = \frac{2}{0.866} \cdot 1.6 = 3.7 m^2$$

3) Shitga ta'sir etayotgan GBK ni aniqlaymiz.

$$F = P_c \cdot \omega = 9 \cdot 3.7 = 33.25 Tk$$

4) Shitni ko'taruvchi kuch Arximed kuchini aniqlaymiz.

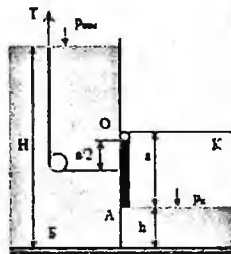
$$P_A = \gamma \cdot W = \gamma \cdot a \cdot b \cdot 0.25b = 1 \cdot 2 \cdot 1.6 \cdot 0.4 = 1.28 Tk$$

5) Shitni yuqoriga ko'taruvchi T kuchni aniqlaymiz.

$$T \geq m \cdot \cos \alpha + F - P_A = 2 \cdot 0.5 + 33.25 \cdot 0.3 - 1.28 = 1 + 9.975 - 1.28 \\ = 9.7 Tk$$

Javob: $T \geq 9.7 Tk = 97 kN = 97000 N$

9 – Masala. Ѕ Rezervuardan suvni chiqiarish uchun A zatvorni ochish uchun kerak bo'lgan T kuchni aniqlang. O'lchamlari: eni $b = 0.6 m$, balandligi $a = 1.2 m$. Suvning chuqurligi $H = 10 m$. Kameradagi bosim $P_K = 0.01 at = 1 kN/m^2$, $h = 0.8 m$



Berilgan

$$a = 1.2 m$$

$$b = 0.6 m$$

$$H = 10 m$$

$$h = 0.8 m$$

$$P_K = 0.01 at = 1 kN/m^2$$

$$\gamma = 10 kN/m^3$$

$$T = ?$$

2.33-rasm.

Yechish:

1) Zatvorning og'irlik markazidagi bosimni aniqlaymiz.

$$P_c = P_{at} + \gamma \cdot h_c = P_{at} + \gamma \cdot \left(H - h - \frac{a}{2} \right) = 100 + \left(10 - 0.8 - \frac{1.2}{2} \right) \\ = 100 + 10 \cdot 8.6 = 186 \frac{kN}{m^2}$$

2) Yuzasini aniqlaymiz.

$$\omega = ab = 1.2 \cdot 0.6 = 0.72 m^2$$

3) Ta'sir etayotgan GBK ni aniqlaymiz.

$$F = P_c \cdot \omega - P_K \cdot \omega = (P_c - P_K) \cdot \omega = (186 - 1) \cdot 0.72 = 185 \cdot 0.72 \\ = 133.2 kN$$

4) Bosim markazini aniqlaymiz.

$$h_d = h_c + \frac{J}{h_c \cdot \omega}$$

$$J = \frac{b \cdot a^3}{12} = \frac{0.6 \cdot 1.2^3}{12} = 0.0864$$

$$h_c = 8.6 \text{ m} \quad \omega = 0.72 \text{ m}^2$$

$$h_d = 8.6 + \frac{0.0864}{8.6 \cdot 0.72} = 8.61 \text{ m}$$

5) T kuchini aniqlash uchun 0 nuqtaga nisbatan moment olamiz.

$$\sum M_0 = 0$$

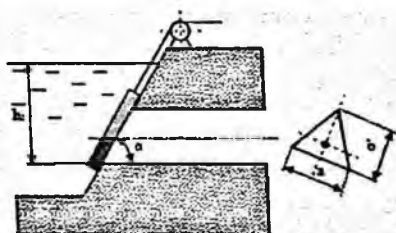
$$T \cdot \frac{a}{2} - F \cdot (h_d - H - h - a) = 0$$

$$T = \frac{F \cdot (h_d - H - h - a) \cdot 2}{a} = \frac{133.2 \cdot (8.61 - 8) \cdot 2}{1.2}$$

$$= \frac{133.2 \cdot 1.22}{1.2} = 135.42 \text{ kN}$$

Javob: $T \geq 135.4 \text{ kN} = 13.54 \text{ TK}$

10 – Masala. Uchburchak shaklidagi suv tashlama zatvorning asosi $a = 12 \text{ m}$, balandligi $b = 1.5 \text{ m}$, qiyaligi $\alpha = 45^\circ$, suvning chuqurligi $h = 9.5 \text{ m}$ $\rho = 1000 \text{ kh/m}^3$ bo‘lsa zatvorga ta’sir etayotgan GBK va bosim markazini aniqlang.



Berilgan

$$h = 9.5 \text{ m}$$

$$a = 1.2 \text{ m}$$

$$b = 1.5 \text{ m}$$

$$\alpha = 45^\circ$$

2.34-rasm.

$$\frac{\nu = 10 \text{ kN/m}^3}{F = ? \quad h_d = ?}$$

Yechish:

1) Zatvorning og‘irlik markazidagi bosimni aniqlaymiz.

$$P_c = \gamma \cdot \left(h - \frac{b}{3} \cdot \sin\alpha \right) = 10 \cdot \left(9.5 - \frac{1.5}{3} \cdot 0.707 \right) = 10 \cdot 9.14 = 91.4 \frac{\text{kN}}{\text{m}^2}$$

2) Yuzasini aniqlaymiz.

$$\omega = \frac{a \cdot b}{2} = \frac{1.2 \cdot 1.5}{2} = 0.9 \text{ m}^2$$

3) Ta’sir etayotgan GBK ni aniqlaymiz

$$F = P_c \cdot \omega = 91.4 \cdot 0.9 = 82.26 \text{ kN}$$

4) Bosim markazini aniqlaymiz.

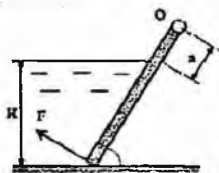
$$Z_d = Z_c + \frac{J}{Z_c \cdot \omega}$$

$$Z_c = \frac{h_c}{\sin \alpha} = \frac{0.14}{0.707} = 12.92 \text{ m}$$

$$\omega = 0.9 \text{ m}^2$$

Javob: $F = 82.26 \text{ kN}$

11 – Masala. O o‘q atrofida aylanuvchi shitni ko‘taruvchi kuch F ni aniqlang. Shitning og‘irligi hisobga olinmasin. Shitning eni $b=1.25 \text{ m}$, suvning chuqurligi $H=1.5 \text{ m}$, $a=0.2 \text{ m}$, $\alpha=60^\circ$.



2.35-rasm.

Yechish:

1) Shitning og‘irlilik markazidagi bosimni aniqlaymiz.

$$P_c = \gamma \cdot h_c = \gamma \cdot \frac{H}{2} = 10 \cdot \frac{1.5}{2} = 10 \cdot 0.75 = 7.5 \frac{\text{kN}}{\text{m}^2}$$

2) Yuzasini aniqlaymiz.

$$\omega = \frac{H}{\sin \alpha} \cdot b = \frac{1.5}{0.866} \cdot 1.25 = 2.16 \text{ m}^2$$

3) Ta’sir etayotgan GBK ni aniqlaymiz.

$$F = P_c \cdot \omega = 7.5 \cdot 2.16 = 16.2 \text{ kN}$$

4) Bosim markazini aniqlaymiz.

$$Z_d = h_c + \frac{J}{h_c \cdot \omega}$$

$$Z_c = 0.866 \text{ m} \quad \omega = 2.16 \text{ m}^2$$

$$J = \frac{b}{12} \cdot \left(\frac{H}{\sin \alpha} \right)^3 = \frac{1.25}{12} \cdot \left(\frac{1.5}{0.866} \right)^3 = 0.54$$

$$Z_d = 0.866 + \frac{0.54}{0.75 \cdot 2.16} = 1.21 \text{ m}$$

5) Q kuchni aniqlash uchun 0 nuqtaga nisbatan moment olamiz.

$$\Sigma m_0 = 0$$

$$Q \cdot \left(\frac{H}{\sin \alpha} \cdot a \right) - F \cdot (Z_d + a) = 0$$

$$Q = \frac{F \cdot (Z_d + a)}{\left(\frac{H}{\sin \alpha} \cdot a \right)} = \frac{16.2 \cdot (1.21 + 0.2)}{\left(\frac{1.5}{0.866} + 0.2 \right)} = \frac{22.84}{1.93} = 11.83 \text{ kN}$$

Berilgan:

$$\gamma = 10 \text{ kN/m}^3 \quad H = 1.5 \text{ m}$$

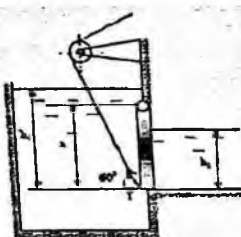
$$b = 1.25 \text{ m} \quad a = 0.2 \text{ m}$$

$$\alpha = 60^\circ$$

$$Q = ?$$

$$\text{Javob: } Q \geq 11.83 \text{ kN} = 1.18 \text{ Tk}$$

12 – Masala. Rezervuarda suvni to'sib turgan shitning o'lchamlari $a = 3m$, $b = 4m$. Chap tomonagi suvning chiqurligi $h_1 = 5m$, o'ng tomonda esa $h_2 = 2m$. Suvning solishtirma og'irligi $\gamma = 10 \text{ kN/m}^3$. Shit O nuqtadagi sharnir atrofida aylanadi. Shitni dastlabki ko'taruvchi kuch T ni aniqlang.



2.36-rasm.

Yechish:

- 1) Dastlabki rezervuarning chap tomonidan shitning og'irlilik markazidagi bosimni aniqlaymiz.

$$P_c = \gamma \cdot h_c = \gamma \cdot \left(h_1 - \frac{a}{2} \right) = 10 \cdot \left(5 - \frac{3}{2} \right) = 10 \cdot 3.5 = 35 \frac{\text{kN}}{\text{m}^2}$$

- 2) Yuzasini aniqlaymiz.

$$\omega = a \cdot b = 3 \cdot 4 = 12 \text{ m}^2$$

- 3) Ta'sir etayotgan GBK ni aniqlaymiz.

$$F_1 = P_c \cdot \omega = 35 \cdot 12 = 420 \text{ kN}$$

- 4) Bosim markazini aniqlaymiz.

$$h_{d1} = h_c + \frac{J_{ox}}{h_c \cdot \omega}$$

$$h_c = 3.5 \text{ m}$$

$$J_{ox} = \frac{b \cdot a^3}{12} = \frac{4 \cdot 3^3}{12} = \frac{108}{12} = 9$$

$$h_{d1} = 3.5 + \frac{9}{3.5 \cdot 12} = 3.71 \text{ m}$$

- 5) O'ng tomonidan shitning og'irlilik markazidagi bosimni aniqlaymiz.

$$P_c = \gamma \cdot h_c = \gamma \cdot \frac{h_2}{2} = 10 \cdot \frac{2}{2} = 10 \frac{\text{kN}}{\text{m}^2}$$

- 6) Yuzasini aniqlaymiz.

$$\omega = h_2 \cdot b = 2 \cdot 4 = 8 \text{ m}^2$$

- 7) Ta'sir etayotgan GBK ni aniqlaymiz

$$F_2 = P_c \cdot \omega = 10 \cdot 8 = 80 \text{ kN}$$

- 8) Bosim markazini aniqlaymiz.

Berilgan:

$$h_1 = 5 \text{ m}$$

$$h_2 = 2 \text{ m}$$

$$a = 3 \text{ m}$$

$$b = 4 \text{ m}$$

$$\gamma = 10 \text{ kN/m}^3$$

$$\alpha = 60^\circ$$

$$T?$$

$$h_{d2} = h_c + \frac{J_{ox}}{h_c \cdot \omega}$$

$$h_c = 1 \text{ m} \quad \omega = 8 \text{ m}^2$$

$$J_{ox} = \frac{b \cdot h_2^3}{12} = \frac{4 \cdot 8^3}{12} = \frac{32}{12} = 2.66$$

$$h_{d2} = 1 + \frac{2.66}{1 \cdot 8} = 1.33 \text{ m}$$

9) T kuchni aniqlash uchun sharnir turgan 0 nuqtaga nisbatan moment olamiz.

$$\Sigma M_0 = 0$$

$$T \cdot a \cdot \cos 60^\circ - F_1 \cdot [h_{d1} - (h_1 - a)] + F_2 \cdot [h_{d2} + (a - h_2)] = 0$$

Bundan:

$$T = \frac{F_1 \cdot [h_{d1} - (h_1 - a)] - F_2 \cdot [h_{d2} + (a - h_2)]}{a \cdot \cos 60^\circ}$$

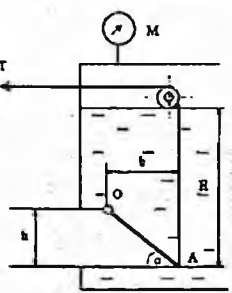
$$= \frac{420 \cdot [3.71 - (5 - 3)] - 80 \cdot [1.33 + (3 - 2)]}{3 \cdot 0.5}$$

$$= \frac{420 \cdot 1.71 - 80 \cdot 2.33}{1.5} = \frac{531.8}{1.5} = 354.53 \text{ kN}$$

Javob: $T = 354.53 \text{ kN}$

Mustaqil yechishga doir masalalar:

13 – Masala. Rezervuardan benzinni kvadrat quvur ($h = 0.3 \text{ m}$) ga chiqish qismida qiya joylashgan AO klapan to'sib turibdi. Qiyalik $\alpha = 45^\circ$. Benzin chuqurligi $H = 0.85 \text{ m}$, benzin zichligi $\rho = 700 \text{ kg/m}^3$, benzin rezervuaridagi manometrning ko'rsatgichi $M = 0.05 \text{ kg/m}^2 = 5000 \text{ Pa} = 50 \text{ kN/m}^2$. Trossdagi kuchlanish T ni aniqlang.



2.37-rasm.

Berilgan

$$H = 0.85 \text{ m}$$

$$h = 0.3 \text{ m}$$

$$\alpha = 45^\circ$$

$$P_M = 50 \text{ kN/m}^2$$

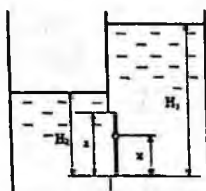
$$\gamma = 7 \text{ kN/m}^3$$

$$T - ?$$

Javob: $T = 4.55 \text{ kN}$

14 – Masala. Ikki qismga ajralgan rezervuar o'rtafiga kvadrat shakildagi $a \cdot a = 0.6 \times 0.6 \text{ m}^2$ shit(darvoza) quyilgan. O'ng tomonidagi suvning sathi $H_l = 2 \text{ m}$, ga etishi bilan shit avtomatik tarzda ochilishi uchun

sharnir berilgan o'qdan qancha masofada- x bo'lishi kerak? Chap tomondag'i suv sathi o'zgarmas $H_2 = 1m$. Sharnirdagi reaksiya kuchini Ro aniqlang.



Berilgan

$$H_1 = 2 \text{ m}$$

$$H_2 = 1 \text{ m}$$

$$\alpha = 0.6 \text{ m}$$

$$\gamma = 10 \text{ kN/m}^3$$

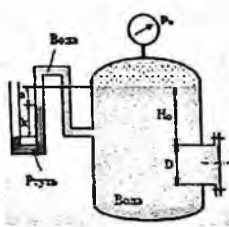
$$x = ? \quad R_0 = ?$$

2.38-rasm.

Javob: $X = 0.29 \text{ m}$; $R_0 = 3.6 \text{ kN}$

15 – Masala. Diametri $D = 1m$ bo'lgan qopqoqqa ta'sir etayotgan GBK ni quyidagi holatlarda aniqlang.

- a) Manometr ko'rsatgichi $P_m = 0.08 M\pi a$ $H_0 = 15 \text{ m}$.
 b) Vakuummetr simob ko'rsatgichi $h = 73.5 \text{ mm}$ $a = 1 \text{ m}$ $\rho_{sim} = 13600 \text{ kg/m}^3$
 $H_0 = 1.5 \text{ m}$.



Berilgan

$$H_0 = 1.5 \text{ m}$$

$$D = 1 \text{ m}$$

$$P_M = 80 \text{ kN/m}^2$$

$$\gamma = 10 \text{ kN/m}^3$$

2.39-rasm.

Javob: $F = 0$

2.13. Egri sirtlarga ta'sir qiluvchi bosim

Texnikada ba'zi hollarda egri sirtga tushadigan bosimni topish talab etiladi. Buni topish uchun 2.34-rasmdan foydalanamiz. Egri sirtga tushadigan bosim chegirma va gidrostatik bosim kuchlari yig'indisidan iborat:

$$p = p_e + p_0 \quad (2.28)$$

Uni hisoblash uchun egri sirtda kichkina $d\omega$ yuza olamiz. Koordinata o'qlarini rasmida ko'rsatilgandek yo'naltiramiz. U holda kichkina yuzaga tushadigan bosim dP, dP_x va dP_y proyektsiyalarga ega bo'ladi. $d\omega$ yuzaning xOz va yOz tekisliklarda proyektsiyalari esa $d\omega_x$ va $d\omega_y$ ga teng. Kichkina yuzaga tushadigan bo'lgan bosim yuqorida ko'rganimizdek quyidagicha ifodalanadi:

$$dP = \gamma h d\omega.$$

Uning gorizontal tashkil etuvchisi esa

$$dP_x = dP \cos \alpha = \gamma h d\omega \cos \alpha$$

Ikkinchchi tomonidan $d\omega$ sos a = $d\omega_y$ bo'lGANI uchun

$$dP_y = \gamma h d\omega_y,$$

Egri sirtga ta'sir etayotgan to'liq bosimning proyektsiyasini topish uchun S_y yuza bo'yicha integral olamiz:

$$P_x = \int_{(x)}^{} \gamma h d\omega_y = \gamma \int_{(x)}^{} h d\omega_y, \quad (2.29)$$

lekin $\int_{(x)}^{} h d\omega_y = -\omega$, yuzaning Oz o'qqa nisbatan statik momentidir.

Shuning uchun

$$\int_{(x)}^{} h d\omega_y = \omega_y h_0,$$

bu yerda ω_y - egri sirtning yOz o'qdagi proyektsiyasi; h_0 - ω yuza og'irlik markazining chuqurligi; $h_0 = \frac{h}{2}$. Shunday qilib, egri sirtga tushadigan bosimning gorizontal tashkil etuvchisi quyidagi formula bilan hisoblanadi:

$$P_x = \gamma \omega_y h_0. \quad (2.30)$$

Bu formula tekis sirtlarga tushadigan bosimni hisoblash formulasiga o'xshaydi va undan faqat ω_y yuza egri sirtning yOz tekislikdagi proyektsiyasi ekanligi bilan farq qiladi.

Endi, egri sirtga tushadigan bosimning vertikal tashkil etuvchisini topamiz.

2.47-rasmdan

$$dP_y = dP \sin \alpha = \gamma h \omega \sin \alpha.$$

Ammo $d\omega \sin \alpha = d\omega_x$ bo'lGANI uchun

$$dP_y = \gamma h d\omega_x.$$

Integrallash yo'li bilan P_y ni topamiz:

$$P_y = \int_{(x)}^{} \gamma h d\omega_x = \gamma \int_{(x)}^{} h d\omega_x = \gamma W,$$

bu yerda $W = \int_{(x)}^{} h d\omega_x$ - egri sirt, uning chegarasidagi vertikal va erkin sirtlar

orasidagi hajmdan iborat bo'lib, bosuvchi jism deb ataladi.

Shunday qilib, egri sirtga tushadigan bosimning vertikal tashkil etuvchisi bosuvchi jism hajmi bilan suyuqlik solishtirma og'irligining ko'paytmasiga teng, ya'ni

$$P_y = \gamma W. \quad (2.31)$$

Egri sirtga tushadigan bosimning gorizontal va vertikal tashkil etuvchilari orqali uning o'zini topish mumkin:

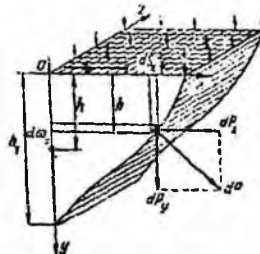
$$P = \sqrt{P_x^2 + P_y^2}. \quad (2.32)$$

Demak, egri sirtga tushadigan bosim uning tashkil etuvchilari P_x va P_y ning kvadratlari yig'indisidan olingan ildizga teng ekan. Egri sirtga tushadigan bosimning yo'nalishi quyidagi formulalar bilan aniqlanadi:

$$\cos\alpha = \frac{P_x}{P}, \text{ yoki } \sin\alpha = \frac{P_y}{P}$$

$$\operatorname{tg}\alpha = \frac{P_y}{P_x}.$$

Kuchning qo'yilish nuqtasi grafik usulda topiladi. U kuch yo'nalishi bilan egri sirtning kesishgan nuqtasida bo'ladi.



2.40- rasm. Egri sirtga tushadigan bosimni tushuntirishga doir chizma.

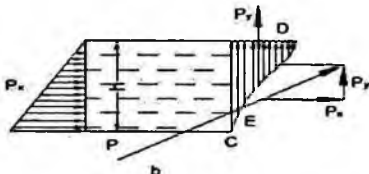
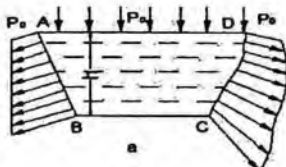
2.14. Bosim epyurasi

Biror sirt yoki kontur bo'yicha bosim taqsimlanishining grafik usulda ifodalanishi *bosim, epyurasi* deb ataladi.

a) **Tekis sirt.** Tekis sirtning erkin sirt bilan tutashgan yeridagi bosim erkin sirdagi bosimga teng (2.48-rasm). Uning qolgan nuqtalarida esa erkin sirdagi bosimga chegirma bosim qo'shiladi. Gidrostatikaning asosiy tenglamasiga asosan

$$P = P_0 + \gamma h$$

ya'ni sirtning eng pastki nuqtasida bosim eng katta miqdorga ega bo'ladi.



2.41-rasm. Bosim epyurasi.

AB sirtga tushadigan bosim epyurasini olish uchun A va B nuqtalarda bosimning miqdori va yo'nalishini qo'yib, uchlarini tutashtiramiz. Hosil bo'lgan shakl bosim epyurasi bo'ladi. Bosim vektorlari uchini tutashtiruvchi chiziqning bosim vektori bilan tashkil qilgan burchagi quyidagicha topiladi:

$$\operatorname{tg}\alpha = \frac{h}{y} = \frac{1}{r}.$$

Bosim epyurasi esa trapetsiya ko'rinishida bo'lib, to'g'ri to'rtburchak ko'rinishidagi tashqi bosim va uchburchak ko'rinishidagi chegirma bosim epyuralarining yig'indisidan iborat.

b) Egri sirtda bosim ikki tashkil etuvchiga ega bo'lib (2.48-rasm, b), P_x tashkil etuvchisi tekis sirdagi kabi epyuraga ega bo'ladi. P_y ning epyurasi esa egri sirt bilan erkin sirt orasidagi soha shakliga ega bo'ladi. Teng ta'sir etuvchi kuch yoki to'liq bosimning qo'yilish nuqtasi va kattaligini grafik usulda topish mumkin. Buning uchun P_x tashkil etuvchining yo'nalishini P_y ning yo'nalishi bilan kesishguncha davom ettiramiz. Kesishgan nuqtasiga esa P_x va P_y larni keltirib qo'yamiz va parallelogramm hosil qilamiz. Uning diagonali yo'nalishini egri sirt bilan kesishguncha davom ettirib, kesishish nuqtasiga suyuqlik tomondan hosil bo'lgan P kuchni keltirib qo'yamiz E nuqta bosim markazi yoki teng ta'sir etuvchi kuchning qo'yilishi nuqtasi bo'ladi.

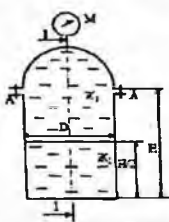
Texnikada uchraydigan sirtlar silindr, sfera va uning qismlaridan iborat bo'lishi mumkin.

Amaliy mashg'ulotlarni bajarishga doir ko'rsatma:

I - Masala. Vertikal holatda silindir sisterna yarimshar shaklidagi qopqoq bilan yopilgan va ichida ikki xil suyuqlik (γ_1, γ_2) ($\rho_1 = 1150 \text{ kg/m}^3$ va $\rho_2 = 1060 \text{ kg/m}^3$) quyilgan. Sisterna diametri $D = 2.6 \text{ m}$, silindr qismining balandligi $H = 4.5 \text{ m}$, γ_1 , suyuqlik chuqurligi $H/2$, manometrik ko'rsatgichi $P_m = 0.01 \text{ MPa}$.

Aniqlang:

A Boltdagi kuchlanish, 1 – 1 kesimdagagi GBK ning gorizontal tashkil etuvchisini.



Berilgan;

$$D = 2.6 \text{ m}$$

$$H = 4.5 \text{ m}$$

$$P_m = 10 \text{ kN/m}^2$$

$$\gamma_1 = 11.5 \text{ kN/m}^3$$

$$\gamma_2 = 10.6 \text{ kN/m}^3$$

$$R = 1.3 \text{ m}$$

$$P_x = ? \quad P_A = ?$$

2.42-rasm.

Yechish:

1) Yarim sfera qopqoqni yuqoriga ko'taruvchi kuchni aniqlaymiz.

$$F_z = P_m \cdot \omega = P_m \cdot \frac{\pi D^2}{4} = 10 \cdot \frac{3.14}{4} \cdot 2.6^2 = 10 \cdot 5.3 = 53 \text{ kN}$$

2) A boltdagi kuchlanishni aniqlaymiz

$$P_A = \frac{F_z}{2} = \frac{53}{2} = 26.5 \text{ kN}$$

3) 1 – 1 kesimdagagi gorizontal tashkil etuvchi P_x ni aniqlaymiz.

$$F_x = F_2 + F_1$$

$$\begin{aligned}
 F_2 &= P_c \cdot \omega = (P_m + \gamma_2 \cdot h_c) \cdot \omega = \left[P_m + \gamma_2 \cdot \left(\frac{\frac{H}{2} + R}{2} \right) \right] \cdot \left(D \cdot \frac{H}{2} + \frac{\pi R^2}{2} \right) \\
 &= \left[10 + 106 \cdot \left(\frac{2.25 + 1.3}{2} \right) \right] \cdot \left(2.3 \cdot 2.25 + \frac{3.14 \cdot 1.3^2}{2} \right) = 28.8 \cdot 8.5 \\
 &= 244.9 \text{ kN}
 \end{aligned}$$

$$\begin{aligned}
 F_1 &= P_c \cdot \omega = (P_M + \gamma_2 \cdot h + \gamma_1 h_c) \cdot \omega = \left[P_M + \gamma_2 \cdot \left(\frac{H}{2} + R \right) + \gamma_1 \cdot \frac{H}{2} \right] \cdot \left(D \cdot \frac{H}{2} \right) \\
 &= [10 + 10.6 \cdot (2.25 + 1.3) + 11.5 \cdot 1.125] \cdot 2.6 \cdot 2.25 = 60.25 \cdot 5.85 \\
 &= 354.5 \text{kN}
 \end{aligned}$$

$$F_x = P_2 + P_1 = 244.9 + 354.2 = 599 \text{ kN}$$

Javoblar: $F_x = 599 \text{ kN}$ $P_A = 26.5 \text{ kN}$

2 - Masala. Tubi yarim shar shaklidagi silindrik rezervuarga suv quyilgan. Agar $d = 4 \text{ m}$; $h_1 = 4 \text{ m}$; $h_2 = 2 \text{ m}$ bo'lsa:

- Rezervuar tubiga ta'sir etayotgan manometrik bosim kuchini aniqlang;
- ABC – devorga ta'sir etayotgan GBKni aniqlang.

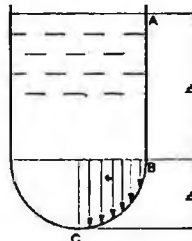
Yechish:

- Idish tubidagi manometrik bosimni aniqlaymiz.

$$P_2 = P_a + \rho \cdot g \cdot (h_1 + h_2)$$

$$P_{\text{zur}} = P_2 - P_a \rightarrow P_a + \rho \cdot g \cdot (h_1 + h_2) - P_a = \rho \cdot g \cdot (h_1 + h_2) = 1000 \cdot 9.81 \cdot (4 + 2) = 58860 \text{ Pa} = 0.6 \text{ atm}$$

- AB devorga ta'sir etayotgan GBKni aniqlaymiz.



2.43 rasm.

$$P_{AB} = P_{\text{obj}(AB)} \cdot \omega_{AB} = (P_a + \rho \cdot g \cdot h_1) \cdot h_1 \cdot d = (98100 + 1000 \cdot 9.81 \cdot 4) \cdot 4 \cdot 4 = 2.2 \text{ MN}$$

- BC devorga ta'sir etayotgan GBKni P_x tashkil etuvchisini aniqlaymiz.

$$P_{x(BC)} = \frac{1}{2} \cdot P_2 \cdot \frac{\pi \cdot d^2}{4} = \frac{1}{8} \cdot 156960 \cdot 3.14 \cdot 4^2 \approx 1 \text{ MN}$$

- BC devorga ta'sir etayotgan GBKni P_z tashkil etuvchisini aniqlaymiz.

$$P_{z(BC)} = W_{B.R.} = \frac{1}{3} \cdot \pi \cdot r^3 = \frac{1}{3} \cdot 3.14 \cdot 2^3 = 8.37 \text{ N}$$

- BC devorga ta'sir etayotgan GBK quyidagicha aniqlanadi:

$$P_{BC} = \sqrt{P_{x(BC)}^2 + P_{z(BC)}^2} = \sqrt{1000000^2 + 8.37^2} \approx 1 MN$$

6. ABC devorga ta'sir etayotgan GBK quyidagicha aniqlanadi:

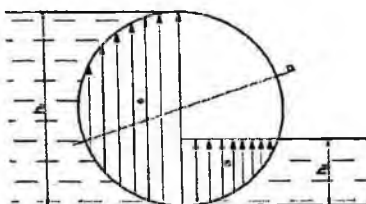
$$P_{ABC} = \sqrt{P_{AB}^2 + P_{BC}^2} = \sqrt{2.2^2 + 1.0^2} \approx 2.41 MN$$

3 - Masala. Diametri $D = 2$ m va uzunligi $L = 5$ m bo'lgan silindrik darvozaga ta'sir etayotgan kuchning miqdori va yo'nalishini aniqlang.

Agar:

$$h_1 = 3 \text{ m};$$

$$h_2 = 1 \text{ m}.$$



2.44 rasm.

Yechish:

1. P_{1x} ni quyidagicha aniqlaymiz.

$$P_{1x} = \frac{h_1 \cdot \gamma \cdot h_1}{2} = \frac{3 \cdot 9810 \cdot 3}{2} = 44145 N$$

2. P_{1z} ni quyidagicha aniqlaymiz.

$$P_{1z} = W_{B.T.} = \frac{2}{3} \cdot \pi \cdot r^2 = \frac{2}{3} \cdot 3.14 \cdot 1^3 = 2.1 N$$

3. P_1 ni qiyidagi formula bo'yicha aniqlaymiz.

$$P_1 = \sqrt{P_{1x}^2 + P_{1z}^2} = \sqrt{44145^2 + 2.1^2} = 44145 N \approx 44 kN$$

4. P_{2x} ni quyidagicha aniqlaymiz.

$$P_{2x} = \frac{h_2 \cdot \gamma \cdot h_2}{2} = \frac{1 \cdot 9810 \cdot 1}{2} = 4905 N$$

5. P_{2z} ni quyidagicha aniqlaymiz.

$$P_{2z} = W_{B.T.} = \frac{1}{2} \cdot \frac{1}{3} \cdot \frac{4}{3} \cdot \pi \cdot r^2 = \frac{2}{9} \cdot 3.14 \cdot 1^3 = 0.7 N$$

6. P_2 ni qiyidagi formula bo'yicha aniqlaymiz.

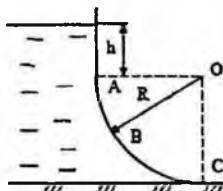
$$P_2 = \sqrt{P_{2x}^2 + P_{2z}^2} = \sqrt{4905^2 + 0.7^2} = 4905 N \approx 5 kN$$

7. Darvozaga ta'sir etayotgan GBKlarni qo'yilish nuqtasini aniqlaymiz.

$$\alpha_1 = \arctg \frac{P_{1z}}{P_{1x}} = \arctg \frac{2.1}{44145} \approx 1^\circ$$

$$\alpha_2 = \arctg \frac{P_{2z}}{P_{2x}} = \arctg \frac{0.7}{4905} \approx 1^\circ$$

4 – Masala. Silindr shaklidagi ABC egri sirtga ta'sir etayotgan GBK ning gorizonttal va vertikal tashkil etuvchilarini epyuralarini quring hamda GBK ni aniqlang. Bosim markazini aniqlang. Silindr radiusi $R = 1.2 \text{ m}$, uzunligi $L = 2.0 \text{ m}$, A nuqta suv sathidan $h = 0.7 \text{ m}$, chuqurlikda.



Berilgan

$$R = 1.2 \text{ m}$$

$$L = 2.0 \text{ m}$$

$$h = 0.7 \text{ m}$$

$$\gamma = 10 \text{ kN/m}^3$$

$$F = ? \quad \alpha = ?$$

2.45-rasm.

Yechish:

- 1) GBK ning gorizonttal tashkil etuvchisini aniqlash uchun egri sirtni vertikal proektsiyasida bosim epyurasini chizamiz.

$$P_A = \gamma \cdot h = 10 \cdot 0.7 = 7 \text{ kN/m}^2$$

$$P_c = \gamma \cdot (h + R) = 10 \cdot (0.7 + 1.2) = 10 \cdot 1.9 = 1.9 \text{ kN/m}^2$$

- 2) Gorizonttal tashkil etuvchi F_x bosim tanasi hajmiga teng

$$F_x = W_{ep} = \frac{P_A + P_c}{2} R \cdot L = \frac{7 + 1.9}{2} \cdot 1.2 \cdot 2 = 31.2 \text{ kN}$$

- 3) Vertikal tashkil etuvchi F_z ni aniqlaymiz.

$$P_z = \gamma \cdot W_{BR} = 10 \cdot 3.94 = 39.4 \text{ kN}$$

$$W_{BR} = \left(\frac{\pi R^2}{4} + h \cdot R \right) \cdot L = \left(\frac{3.14 \cdot 1.2^2}{4} + 0.7 \cdot 1.2 \right) \cdot 2 = 1.97 \cdot 2 = 3.94 \text{ m}^3$$

- 4) Egri sirtga ta'sir etayotgan GBK ni aniqlaymiz.

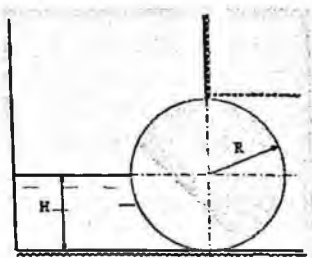
$$P = \sqrt{F_x^2 + F_z^2} = \sqrt{31.2^2 + 39.4^2} 50.25 \text{ kN}$$

- 5) Gorizontal tekislik bilan tashkil etgan burchagini aniqlaymiz.

$$\alpha = \arctg \alpha = \frac{F_z}{F_x} = \frac{39.4}{31.2} = 1.26 = 51.62^\circ$$

Javob: $F = 50.25 \text{ kN}$; $\alpha = 51.62^\circ$

5 – Masala. Radiusi $R = 3 \text{ m}$, eni $L = 2 \text{ m}$, bo‘lgan silindr shaklidagi zatvorga ta’sir etayotgan GBK ni aniqlang. Zatvor oldigagi suv chuqurligi $H = 3 \text{ m}$.



Berilgan

$$R = 3 \text{ m}$$

$$L = 2 \text{ m}$$

$$H = 3 \text{ m}$$

$$\gamma = 10 \text{ kN/m}^3$$

$$F = ?$$

2.46-rasm.

Yechish:

- 1) Zatvorga ta’sir etayotgan GBK ning gorizontal tashkil etuvchisi F_x ni aniqlaymiz.

$$F_x = P_c \cdot \omega = \gamma \cdot h \cdot \omega = \gamma \cdot \frac{H}{2} \cdot R \cdot L = 10 \cdot \frac{3}{2} \cdot 3 \cdot 2 = 15 \cdot 6 = 90 \text{ kN}$$

- 2) Vertikal tashkil etuvchi F_z kuchni aniqlaymiz.

$$F_z = \gamma \cdot W_{\text{БТ}}$$

$$W_{\text{БТ}} = \frac{\pi R^2}{4} \cdot L = \frac{3.14 \cdot 3^2}{4} \cdot 2 = 14.13 \text{ m}^3$$

$$F_z = 10 \cdot 14.13 = 141.3 \text{ kN}$$

- 3) Zatvorga ta’sir etayotgan umumiy GBK F ni abiqlaymiz.

$$F = \sqrt{F_x^2 + F_z^2} = \sqrt{90^2 + 141.3^2} = 167.5 \text{ kN}$$

- 4) Gorizontal tekislik bilan tashkil qiluvchi burchakni aniqlaymiz.

$$\alpha = \arctg \alpha = \frac{F_z}{F_x} = \frac{141.3}{90} = 1.57 = 57.5^\circ$$

Javob: $F = 167.5 \text{ kN}$

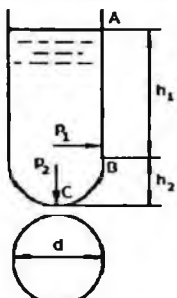
Mustaqil yechishga doir masalalar:

1. Tubi yarim shar shaklidagi silindrik rezervuarga neft quyilgan. Agar $d = 4,0 \text{ m}$; $h_1 = 4,0 \text{ m}$; $h_2 = 2 \text{ m}$ bo'lsa:

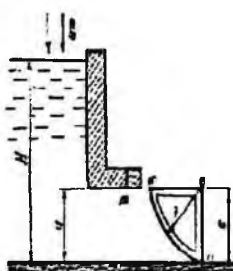
- a) Rezervuar tubiga ta'sir etayotgan manometrik bosim kuchini aniqlang;
- b) ABC- devorga ta'sir etayotgan gidrostatik bosim kuchini aniqlang (2.39-rasm).

2. Segmentli darvoza bilan oqim to'silgan. Darvoza oldidagi suv sathi $H = 7 \text{ m}$,

$a=3 \text{ m}$, darvoza eni $b = 4 \text{ m}$, radiusi $R = 4 \text{ m}$. Darvozagaga ta'sir etayotgan gidrostatik bosim kuchini aniqlang (2.40-rasm).



2.47-rasm.



2.48-rasm.

3. Benzin rezervuarining yon tomoniga o'rmatilgan qopqog'i yarim sfera shaklida Rezervuar qopqog'iga ta'sir etayotgan gidrostatik bosim kuchini hisoblash kerak, agar

$$H = 2,0 \text{ m}; d = 0,5 \text{ m}; \rho = 700 \text{ kg/m}^3; P_s = 102 \text{ kPa} \text{ bo'lsa.}$$

2.15. Arximed qonuni

Suyuqlikka tushirilgan jismrlarning qay yo'sinda harakat qilishi va qanday holatlarni qabul qilishini tekshirish uchun ularning suyuqlik bilan ta'sirlashish va muvozanat qonunlarini o'rganish kerak. Bu qonuniyatlar eramizdan 250 yil avval kashf qilingan Arximed qonuniga asoslanadi. Bu qonun asosida kemalar nazariyasi yaratilgan bo'lib, ular L. Eyler, S. A. Makarov va A. N. Krilov asarlarida ifodalangan. Arximed qonuni quyidagicha ifodalaniadi: *suyuqlikka botirilgan jasmga siqib chiqaruvchi*

kuch ta'sir qilib, bu kuchning kattaligi botirilgan jism siqib chiqargan suyuqlik og'irligiga teng bo'ladi.

Bu qoidani isbotlash qiyin emas. Suyuqlikka V hajmli jism botirilgan bo'lsin (2.40-rasm). Unga ta'sir etuvchi kuchlar quyidagilar bo'ladi:

1) jismga yuqoridan ta'sir etuvchi bosim kuchi

$$P_1 = \gamma H_1 \omega$$

2) jismga pastdan ta'sir etuvchi bosim kuchi

$$P_2 = \gamma H_2 \omega$$

3) pastga yo'nalgan og'irlik kuchi

$$G = \gamma_1 \Delta H \omega = \gamma_1 V$$

4) jismga yon tomonlaridan ta'sir etuvchi kuch P_H ; gidrostatikaning asosiy qonuniga asosan bu kuchlar teng va qarama-qarshi yo'nalgan bo'lib, o'zaro muvozanatlashadi (teng ta'sir etuvchi kuch nolga teng). Bu holda bosim kuchlarining teng ta'sir etuvchisi P_1 , va P_2 kuchlarning ayirmisiga teng bo'lib, yuqoriga yo'nalgan bo'ladi:

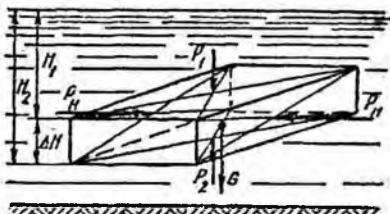
$$P = P_2 - P_1 = \gamma \omega (H_2 - H_1) = \gamma \omega \Delta H. \quad (2.33)$$

Bu yerda: γ va γ_1 – suyuqlik va jismning solishtirma og'irliklari; H_1 – jismning yuqori qismining chuqurligi; H_2 – jismning pastki qismining chuqurligi; ΔH – jismning balandligi; ω – jismning yuqori va pastki sirtlarining yuzasi.

Jismning hajmi $V = \Delta H \omega S$ bo'lgani uchun siqib chiqaruvchi kuch quyidagicha aniqlanadi:

$$P = \gamma V \quad (2.34)$$

Shunday qilib, jismni siqib chiqarishiga harakat qilayotgan kuch jism siqib chiqargan suyuqlikning og'irligiga teng ekanligi isbotlandi. Bu kuch botirilgan jismning qancha chuqurlikda bo'lishiga bog'liq emasligi (2.43) dan ko'rinish turibdi. Arximed qonuni yopiq va ochiq idishlarda suyuqlik sirtida suzib yuruvchi jismlar uchun ham, uning ichidagi jismlar uchun ham to'g'ridir. Faqat suyuqlik sirtidagi jismlar uchun uning suvga botirilgan qismiga qo'llaniladi.



2.49- rasm. Arximed qonuniga oid chizma.

2.16. Jismlarning suyuqlikda suzishi. Suzuvchanlik

Jismlarning suyuqlik sirtiga qalqib chiqishi yoki suyuqlik ichida suzib yurishi yuqorida aytilgan kuchlarning o‘zaro nisbatiga bog‘liq. Shuning uchun suyuqlikka botirilgan jismlarga ta’sir etuvchi kuchlarning (2.41-rasm) teng ta’sir etuvchisini topamiz:

$$R = -P_1 + P_2 - G = -\gamma H_1 \omega + \gamma H_2 \omega - \gamma_1 V$$

yoki

$$R = \gamma(H_2 - H_1)\omega - \gamma_1 V.$$

Bu kuchni ko‘taruvchi kuch deb ataladi.

$\Delta H = H_2 - H_1$ va $\Delta H \omega = V$ ekanligini hisobga olsak, teng ta’sir etuvchi ko‘taruvchi kuch

$$R = (\gamma - \gamma_1)V. \quad (2.35)$$

Oxirgi munosabatdan quyidagi xulosalar kelib chiqadi:

1. Agar $\gamma > \gamma_1$ bo‘lsa, ya’ni jismning solishtirma og‘irligi suyuqliknikidan kam bo‘lsa, ko‘taruvchi kuch R musbat bo‘ladi (yuqoriga yo‘nalgan). Bu holda jism suyuqlik sirtida qalqib yuradi.

2. Agar $\gamma = \gamma_1$ bo‘lsa, ya’ni jism bilan suyuqlik solishtirma og‘irliliklari teng bo‘lsa, u holda $R = 0$, ya’ni jism suyuqlik ichida suzib yuradi.

3. Agar $\gamma < \gamma_1$ bo‘lsa, u holda ko‘taruvchi kuch manfiy (pastga yo‘nalgan) bo‘ladi va jism suyuqlik tubigacha cho‘kadi.

(2.45) dan jismlarning suyuqlikda suzuvchanligi, ya’ni ma’lum yuk bilan suzib yurish qobiliyati to‘g‘risida xulosa chiqarish mumkin. Har qanday qalqib yuruvchi jism suzuvchanlik imkoniyatiga ega bo‘lib, bu uning suzib yurichidagi xavfsizligini ta’minlaydi. Suzuvchanlik imkoniyati

jismning suyuqlik sirtidan yuqori qismining hajmidagi suyuqlik og'irligiga teng.

Suzuvchanlik imkoniyati P_c bilan belgilanadi va quyidagicha topiladi:

$$P_c = \frac{R}{\gamma} = \frac{\gamma - \gamma_1}{\gamma} V. \quad (2.36)$$

Suzuvchi jismning qancha qismi suvgaga botib turishi va uning suzishiga taalluqli boshqa qonuniyatlar ma'lum bo'lib, biz ular haqida to'xtalib o'tishimizga hojat yo'q.

Suzib yuruvchi jism haqida yana quyidagi tushunchalarni keltiramiz.

1. *Suzish tekisligi* – jismni kesib o'tuvchi erkin sirt AB.

2. *Vater chiziq* – suzish tekisligi bilan jism sirtining kesishish chizig'i.

3. *Suzayotgan jismning og'irlilik markazi* (2.42-rasmida C nuqta).

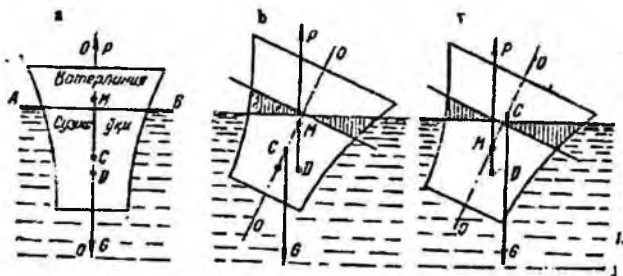
4. *Suv sig'imi markazi yoki bosim markazi* (2.42-rasmida D nuqta). Bu yerda suv sig'imi – jismning suvgaga botgan qismi. Suv sig'imi markazi jismning suyuqlikka botgan qismiga ta'sir etuvchi bosimning teng ta'sir etuvchisi qo'yilgan nuqta bo'lib, u suvgaga botgan qismning og'irlilik markaziga joylashgan.

5. *Suzish o'qi* – suzayotgan jism normal holatida uning o'rtasidan o'tgan O – O o'qi (2.41-rasm, a).

6. *Metamarkaz* – jismning qiya holatida teng ta'sir etuvchi bosim kuchi yo'naliishing suzish o'qi bilan kesishgan nuqtasi (2.42-rasm, b, v). Suzayotgan jismning og'irlilik markazi C u qiyalashganda ham o'zgarmaydi. Suv sig'imi markazi D esa jism qiyaligining har xil holatida har xil bo'ladi. Qiyalik burchagi 15° gacha bo'lganda D taxminan radiusi biror r ga teng bo'lgan aylana yoyi bo'yicha siljib boradi va bu radius D va M orasidagi masofaga teng bo'lib, metamarkaziy radius deyiladi. M va C orasidagi masofa metamarkaziy balandlik deyiladi va h harfi bilan belgilanadi.

Suyuqlikda suzayotgan jismning qiyalangandan keyin yana avvalgi holatiga, qaytishi *turg'unlik* deyiladi. Bu tushunchaning to'liq mazmunini tushuntirish uchun quyidagilarga to'xtalib o'tamiz.

Normal holatda (2.42-rasm, a) og'irlilik markazi va suv sig'imi markazi suzish o'qida yotadi. Og'irlilik kuchi G va bosim P esa suzish o'qi bo'yicha yo'naliyan bo'ladi. Suzayotgan jism qiyshayishi bilan G va P kuchlar moment hosil qiladi. Bu moment jism qiyalangan tomon yo'naliishida yoki unga teskari bo'lishi mumkin.



2.50- rasm. Suzib yuruvchi jismalarning turli holatlari.

Agar G va P kuchlarning momenti jism qiyalangan tomonga teskari yo‘nalgan bo‘lsa, u tiklovchi moment deyiladi. Bunday holat esa *turg‘un* holat deyiladi. Agar moment jism qiyalangan tomonga bo‘lsa, uni *ag‘daruvchi moment* deyiladi. Bu holda jism avvalgi holatiga qaytmaydi G va P kuchlar momentining yo‘nalishi bu kuchlarning qo‘yilish nuqtalari, ya’ni og‘irlik markazi C bilan suv sig‘imi markazi D ning o‘zaro holatiga bog‘liq. Bunda uch hol bo‘lishi mumkin:

1) agar metamarkaz og‘irlik markazidan yuqorida bo‘lsa (2.42-rasm, *b*), G va P kuchlarning momenti jismni normal holatga qaytaradi, ya’ni jism *turg‘un* holatda bo‘ladi;

2) agar metamarkaz og‘irlik markazidan pastda bo‘lsa (2.42-rasm, *b*), G va P kuchlarning momenti jismni ag‘darishga harakat qiladi, ya’ni jism noturg‘un holatda bo‘ladi;

3) agar metamarkaz og‘irlik markazi ustiga tushsa, u holda suyuqlikda suzayotgan jism holati turg‘unlikka bog‘liq bo‘lmaydi (masalan, shar uchun). Turg‘unlikka bog‘liq boshqa masalalar ustida to‘xtalib o‘tirmaymiz.

2.17. Nisbiy tinchlik

Biz yuqorida ko‘rganimizdek, suyuqlik og‘irlik kuchi ta’sirida muvozanatda turishi mumkin. Bu hol yerga nisbatan tinch turgan yoki to‘g‘ri chiziqli tekis harakat qilayotganda idishda muvozanatda bo‘lgan suyuqlikka tegishlidir. Gidrostatikadagi barcha masalalar shu hollar uchun ko‘rilgan.

Agar idish notekis yoki egri chiziqli harakat qilayotgan bo'lsa, u holda suyuqlik zarrachalariga og'irlik kuchidan tashqari nisbiy harakatning inertsiya kuchi yoki markazdan qochirma kuchlari ta'sir qiladi. Bu kuchlar vaqt davomida o'zgarmasa, ular ta'sirida suyuqlik muvozanat holatini qabul qiladi, ya'ni idish devorlariga nisbatan harakatsiz bo'lib qoladi. Suyuqliklarning bunday muvozanat holati nisbiy tinchlik deyiladi.

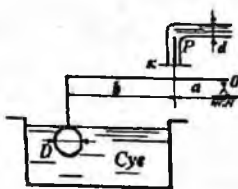
Nisbiy tinchlikda bosimi teng sirtlar va erkin sirt tinch turgan idishdagi gorizontal tekisliklar oilasidan iborat bo'lган bunday sirtlardan butunlay farq qiladi. Bu hollarda ta'sir etuvchi massa kuchlar bosimi teng sirtlarga tik yo'nalgan bo'ladi.

Nisbiy tinchlikda Eyler tenglamasining integrallarga bag'ishlangan paragrafdagi to'g'ri chiziqli va tekis tezlanuvchan idishdagi suyuqlik muvozanati (ikkinchi masala) va vertikal o'q atrofida aylanayotgan idishdagi suyuqlik haqidagi (uchinchi masala) qismlarini misol qilib olish mumkin.

Bu holda massa kuchlarning teng ta'sir etuvchisi inertsiya kuchi va og'irlik kuchining yig'indisidan iborat bo'ladi (ularning proektsiyalari yuqorida ko'rilgan).

Amaliy mashg'ulotlarni bajarishga doir ko'rsatma:

3. Quvurdagi manometrik bosim P miqdorining qaysi qiymatida K jo'mrak ochiladi, agar quvur diametri $d = 5$ mm, sharning diametri $D = 200$ mm bo'lib, $b = 6 a$ ga teng bo'lsa, shar og'irligi hisobga olinmasin (2.43-rasm)



2.50-rasm.

Yeshimi:

O nuqtaga nisbatan sistemaga ta'sir etayotgan kuchlardan kuch momentini olamiz:

$$F_1(a+b) - F_2 \cdot a = 0$$

Bu yerda F_1 – Arximed kuchi:

$$F_1 = \gamma \cdot W; F_2 = P \cdot \frac{\pi d^2}{4} = m \cdot 0,785d^2$$

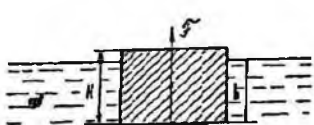
Aniqlangan hadlarni tenglamaga qo'yib, bosim miqdorini aniqlaymiz:

$$P = 146,496 \frac{\text{N}}{\text{m}^2}$$

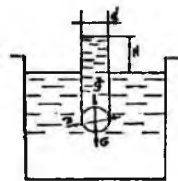
Mustaqil yechishga doir masalalar:

1. Suvdagi prizmasimon jismning hajmiy og'irligini aniqlang. Uning balandligi $H = 20$ sm va suyuqlikka cho'kkani qismi $h = 16$ sm (2.44- rasm).

2. Suvga to'la cho'kkani sharsimon klapan diametri $d = 100$ mm bo'lgan quvur teshigini berkitadi. Sharning diametri $D = 150$ mm va massasi $m = 0,5$ kg bo'lsa, qurvudagi suyuqlik sathining qaysi balandligida (H) klapan ochila boshlaydi (2.45 rasm).



2.51- rasm.



2.52- rasm.

3. Quyida o'lchami ko'rsatilgan brusning hajmiy og'irligini toping:

$b = 30$ sm, $h = 20$ sm, $l = 100$ sm, suyuqlikka cho'kkani qismi $y = 16$ sm.

4. Og'irligi 40 kN bo'lgan avtomobilni daryodan o'tkazish uchun cho'p g'o'lalardan sol qurildi. Agar g'o'lalarning diametri $d = 0,3$ m va uzunligi $l = 6$ m va zichligi $\rho_T = 800 \text{ kg/m}^3$ bo'lsa, avtomobilni soldan o'tkazish uchun necha dona g'o'la kerakligini aniqlang.

5. Temir-beton «plita» ning havodagi og'irligi 1500 kN, suvdagi og'irligi 800 kN bo'lganda, «plita»ning zichligini aniqlang.

6. O'lchamlari $60 \times 60 \times 20$ sm bo'lgan muz suvda suzmoqda. Muzning zichligi $\rho_T = 900 \text{ kg/m}^3$. Agar muz erisa, idishdagi suv sathi qanchaga o'zgaradi?

II bob bo'yicha nazorat savollari:

1. Tinch turgan suyuqlikdagi bosimning xossalarni tushuntiring.
2. Bosimi teng sirtlar. Erkin sirt.
3. Qanday kuchga gidrostatik bosim kuchi deyiladi?
4. Tekis sirtga ta'sir qiluvchi bosim.
5. Arximed qonuniga oid chizma.
6. Jismlarning suyuqlikda suzishi. Suzuvchanlik.
7. Gidrostatik mashinalarning qanday turlari mavjud?
8. Metamarkaz nuqta haqida tushuncha bering.

III BOB. SUYUQLIKLAR KINEMATIKASI VA DINAMIKASI ASOSLARI.

SUYUQLIKLarda HARAKAT TURLARI

Gidravlikaning suyuqliklar harakat qonunlari va ularning harakatlanayotgan yoki harakatsiz qattiq jismlar bilan o'zaro ta'sirini o'rganuvchi bo'limi gidrodinamika deyiladi.

Harakatlanayotgan suyuqlik vaqt va koordinata bo'yicha o'zgaruvchi turli parametrlarga ega bo'lgan harakatdagi moddiy nuqtalar to'plamidan iborat. Odatda suyuqliknin o'zi egallab turgan fazoni butunlay to'ldiruvchi tutash jism deb qaraladi. Bu degan so'z tekshirilayotgan fazoning istalgan nuqtasini olsak, shu yerda suyuqlik zarrachasi mavjuddir. Gidrostatikada asosiy parametr bosim edi, gidrodinamikada esa bosim va tezlikdir.

3.1. Gidrodinamikaning asosiy masalasi. Harakat turlari

Suyuqlik harakat qilayotgan fazoning har bir nuqtasida shu nuqtaga tegishli tezlik va bosim mavjud bo'lib, fazoning boshqa nuqtasiga o'tsak, tezlik va bosim boshqa qiymatga ega bo'ladi, ya'ni tezlik va bosim koordinatalar x , u , z ga bog'liq. Nuqtadagi suyuq zarrachaga ta'sir qilayotgan bosim va tezlik vaqt o'tishi bilan o'zgarib borishini tabiatda kuzatish mumkin.

Tezlik va bosim maydonlari. Suyuqlik harakat qilayotgan fazoning har bir nuqtasida hayolan tezlik va bosim vektorlarini ko'rib chiqsak, ko'rileyotgan harakatga mos keluvchi tezlik va bosim to'plamlarini ko'z oldimizga keltira olamiz. Ana shu usul bilan tuzilgan tezlik *to'plami tezlik maydoni* deyiladi. Shuningdek, bosim vektorlaridan iborat *to'plam bosim maydoni* deb ataladi. Tezlik va bosim maydonlari vaqt o'tishi bilan o'zgarib boradi. Gidrostatikadagi kabi gidrodinamikada ham gidrodinamik bosimni p bilan belgilaymiz va uni sodda qilib bosim deb ataymiz. Tezlikni esa u bilan belgilaymiz. U holda tezlikning koordinata o'qlaridagi proyektsiyalari u_x , u_y , u_z bo'ladi.

Yuqorida aytib o'tilganga asosan suyuqlik parametrlari funksiya ko'rinishida yoziladi

$$\begin{aligned} p &= f_1(x, y, z, t) \\ u &= f_2(x, y, z, t) \end{aligned} \tag{3.1}$$

tezlik proyektsiyalari ham funksiyalardir;

$$u_x = f_3(x, y, z, t)$$

$$u_y = f_4(x, y, z, t)$$

$$u_z = f_5(x, y, z, t)$$

Bu keltirilgan funksiyalarni aniqlash va ular o'rtasidagi o'zaro bog'lanishni topish gidrodinamikaning asosiy masalasi hisoblanadi.

Harakat turlari. Harakat vaqtida suyuqlik oqayotgan fazoning hap bir nuqtasida tezlik va bosim vaqt o'tishi bilan o'zgarib tursa, bunday harakat *beqaror harakat* deyiladi. Tabiatda daryo va kanallardagi suvning harakatlari, texnikada quvurlardagi suyuqlikning harakati va mexanizmlar qismlaridagi harakatlar asosan boshlanganda va ko'p hollarda butun harakat davomida beqaror bo'ladi. Agar suyuqlik oqayotgan fazoning har bir nuqtasida tezlik va bosim vaqt bo'yicha o'zgarmay faqat koordinatalarga bog'liq, ya'ni

$$\begin{aligned} p &= f_{11}(x, y, z) \\ u &= f_{21}(x, y, z) \end{aligned} \tag{3.2}$$

bo'lsa, u holda harakat *barqaror* deyiladi. Bu hol quvurlarda va kanallarda suyuqlik ma'lum vaqt oqib turganidan keyin yuzaga kelishi mumkin. Barqaror harakat ikki tur bo'lishi mumkin: *tekis* va *notekis harakatlar*. Suyuqlik zarrachasi harakat yo'nalishi bo'yicha vaqt o'tishi bilan harakat fazosining bir nuqtasidan ikkinchi nuqtasiga o'tganda tezligi o'zgarib borsa, harakat notekis harakat bo'ladi. Notekis harakat vaqtida suyuqlik ichida bosim va boshqa gidravlik parametrlar o'zgarib boradi. Notekis harakatni kesimi o'zgarib borayotgan shisha quvurda kuzatish juda qulaydir.

Bordiyu suyuqlik zarrachasi harakat yo'nalishi bo'yicha vaqt o'tishi bilan harakat fazosining bir nuqtasidan ikkinchi nuqtasiga o'tganda tezligini o'zgartirmasa, bunday harakat tekis harakat deyiladi. Tekis harakat vaqtida suyuqlikning gidravlik parametrlari o'zgarmaydi. Tekis harakatga kesimi o'zgarmaydigan quvurlardagi suyuqlikning va qiyaligi bir xil kanallardagi suv oqimi misol bo'la oladi.

Suyuqlik oqimining naporli va naporsiz harakati, gohida bu tushunchalar shartli bosimli va bosimsiz harakatlar deb ham qabul qilingan.

Naporli harakat vaqtida suyuqlik har tomonidan devorlar bilan o'ralgan bo'lib, erkin sirt bilan chegarasi bo'lmaydi. Bunday harakatga naporli idishdan quvurga o'tayotgan suyuqlik harakati misol bo'ladi.

Naporsiz harakat vaqtida suyuqlik faqat og'irlik kuchi ta'sirida harakat qilib erkin sirtga ega bo'ladi. Bunday harakatga daryolardagi, kanallardagi suvning va quvurlardagi to'lmasdan oqayotgan suyuqlikning harakatlari misol bo'la oladi.

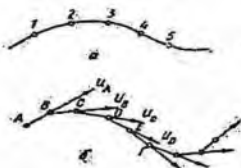
Struyali harakat. Struyali harakat vaqtida suyuqlik faqat havo bilan chegaralangan buladi.

3.2. Oqimchali harakat haqida asosiy tushunchalar. Oqim chizig'i, oqim naychasi va oqimcha. Suyuqlik oqimlari

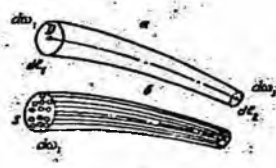
Odatda, biror voqeа yoki hodisani tekshirishda uni butunligicha tekshirib bo'limgani uchun biror soddalashtirilgan sxema qabul qilinadi va ana shu sxema tekshiriladi. Gidravlikada suyuqlik harakati qonuniyatlarining tabiatini eng yaxshi ifodalab beruvchi sxema suyuqlik oqimini elementar oqimchalardan iborat deb qarovchi sxema hisoblanadi. Buni gidravlikada "suyuqlik harakatining oqimchali modeli" deb ataladi. Bu model asosida oqim chizig'i, oqim naychasi va oqimcha tushunchalari yotadi.

a) **Oqim chizig'i** – suyuqlik harakat qilayotgan fazoda suyuqlikning biror zarrachasining harakatini kuzatsak, uning vaqt o'tishi bilan fazoda oldinma-keyin olgan holatlarini 1, 2, 3... (3.1-rasm, a) nuqtalar bilan ifodalash mumkin va bu nuqtalarda harakatdagi zarracha (3.1) va (3.2) ga asosan har xil tezlik va bosimlarga ega bo'ladi. Shu nuqtalarni o'zarotutashirsak, suyuqlik zarrachasiniig trayektoriyasi hosil bo'ladi.

Endi, suyuqlik zarrachasining tezligini kuzatamiz. Zarrachaning A nuqtadagi tezlik vektori u_A ni ko'rileyotgan vaqt uchun quramiz, shu vektorning davomida kichik dl_1 masofadagi B nuqtada harakatdagi suyuqlik zarrachasining B nuqtaga tegishli tezlik vektori u_B ni quramiz. Hosil bo'lган yangi vektorning davomida kichik dl_2 masofadagi C nuqtada shu nuqtaga tegishli zarracha tezligining vektori u_C ni quramiz. u_S vektorining davomida dl_3 masofadagi D nuqtada shu nuqtaga tegishli zarracha tezligining u_D vektorini quramiz va h. k. Natijada ABCDE (3.2-rasm, b) siniq chiziqni hosil qilamiz. Agar dl_1 , dl_2 , dl_3 larni cheksiz kichraytirib borib, nolga intiltirsak, ABCDE o'mida biror egri chiziqni olamiz. Bu egri chiziq oqim chizig'i deb ataladi



3.1-rasm. Oqim chizig'ini tushuntirishga oid chizma.



3.2- rasm. Oqim naychasi. elementar oqimcha va oqim.

Demak, suyuqlik harakatlanayotgan fazoda olingan va berilgan vaqtida har bir nuqtasida unga o'tkazilgan urinma shu nuqtaga tegishli tezlik vektori yo'naliishiga mos keluvchi egri chiziq oqim chizig'i deb ataladi. Beqaror harakat vaqtida tezlik va uning yo'naliishi vaqt davomida o'zgarib turgani uchun trayektoriya bilan oqim chizig'i bir xil bo'lmaydi. Barqaror harakat vaqtida esa tezlik vektorining nuqtalardagi holati vaqt o'tishi bilan o'zgarmagani uchun trayektoriya bilan oqim chizig'i ustma-ust tushadi.

Oqim naychasi va elementar oqimcha. Endi, suyuqlik harakatlanayotgan sohada, biror D nuqta olib, shu nuqta atrofida cheksiz kichik $d\ell$ kontur olamiz va shu konturning har bir nuqtasidan oqim chizig'i o'tkazamiz. U holda oqim chiziqlari oqim naychasi, deb ataluvchi naycha hosil qiladi (3.1-rasm, a). Oqim naychasi ichida oqayotgan suyuqlik oqimi elementar oqimcha deb ataladi, Elementar oqimchalar barqaror harakat vaqtida quyidagi xususiyatlarga ega.

1. Oqim chiziqlari vaqt o'tishi bilan o'zgarmagani uchun ulardan tashkil topgan elementar oqimcha o'z shaklini o'zgartirmaydi.

2. Bir oqimchada oqayotgan suyuqlik zarrachasi boshqa yonma-yon oqimchalarga o'ta olmaydi. Shuning uchun elementar oqimchalarning yon sirti oqimcha ichidagi zarrachalar uchun ham, tashqaridagi zarrachalar uchun ham o'tkazmas sirt bo'ladi.

3. Elementar oqimcha ko'ndalang kesimi cheksiz kichik bo'lgani uchun bu kesimdagи barcha nuqtalarda suyuqlik zarrachalarining tezligi o'zgarmasdir.

Endi biror ω yuza olib, uni cheksiz ko'p $d\omega_1, d\omega_2, d\omega_3$ elementar yuzalarga ajratish mumkin (3.2-rasm, b). Shuning uchun yuzadan oqib o'tayotgan suyuqlik oqmasi cheksiz ko'p elementar oqimchalardan tashkil topgan bo'ladi va har bir elementar oqimchada suyuqlik tezligi boshqa elementar oqimchalardagidan farq qiladi.

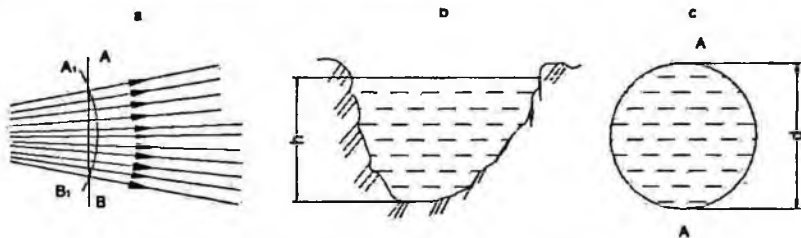
3.3. Oqimning asosiy gidravlik elementlari

Suyuqlik oqimini tekshirishda oqish qonunlarini matematik ifodalash uchun uni gidravlik va geometrik nuqtai nazardan xarakterlovchi; 1) harakat kesimi; 2) suyuqlik sarfi; 3) o'rtacha tezlik; 4) ho'llangan perimetр; 5) gidravlik radius kabi tushunchalar kiritiladi.

Harakat kesimi deb shunday sirtga aytildiği, uning har bir nuqtasida oqim chizig'i normal bo'yicha yo'nalgan bo'ladi. Umumiyl holda harakat

kesimi egri sirt bo'lib (3.3- rasm *a*), parallel oqimchali harakatlar uchun tekislikning bo'lagidan iborat (ya'ni tekis sirtdir) (3.3-rasm, *b*, *c*).

Masalan, radial tarqalayotgan suyuqlik oqimi uchun harakat kesimi sferik sirt bo'lsa (3.3-rasm, *a*) o'zanda va quvurda harakat qilayotgan oqimning harakati kesimi tekis sirtdir (3.3- rasm, *b*, *c*). Shunga asosan parallel oqimchali harakatga ega bo'lgan oqimlarning harakat kesimi uchun quyidagicha ta'rif berish mumkin: *oqimning umumiyoqim yo'naliishiga normal bo'lgan ko'ndalang kesimi harakat kesimi deb ataladi*. Oqim harakat kesimining yuzi ω harfi bilan belgilanadi.



3.3- rasm. Harakat kesimiga oid chizma.

Vaqt birligida oqimning berilgan harakat kesimi orqali oqib o'tayotgan suyuqlik miqdori suyuqlik sarfi deb ataladi. Sarf Q harfi bilan belgilanadi va l/s , m^3/s , sm^3/s larda o'lchanadi. Elementar yuza bo'yicha sarfni dQ bilan, birlik yuza bo'yicha sarfni q bilan belgilanadi. 3.4-rasmida quvurdagi (*a*) va kanaldagi (*b*) oqimlar uchun tezlik epyuralari keltirilgan. Tezlik suyuqlik oqayotgan idish devorlarida nolga teng bo'lib, devordan uzoqlashgan sari kattalashib borishi rasmdan ko'rinish turibdi. Quvurda tezlikning eng katta qiymati uning o'rtasida bo'lsa, kanalda erkin sirtga yaqin yerda bo'ladi. Ixtiyoriy elementar oqimcha uchun elementar sarf $dQ = u d\omega$ ga teng. Oqim cheksiz ko'p elementar oqimchalardan tashkil topgani uchun elementar sarflarning yig'indisi, ya'ni butun oqimning sarfi integral ko'rinishda ifodalanadi:

$$Q = \int u d\omega, \quad (3.3)$$

bu yerda ω – harakat kesimi; $d\omega$ – harakat kesimining elementar oqimchaga tegishli bo'lagi.

Suyuqlik zarrachalarining hammasi bir xil tezlik bilan harakatlanganda bo'ladigan sarf, haqiqiy harakat vaqtidagi sarfga teng bo'ladigan tezlik o'rtacha tezlik deb ataladi. 3.4-rasm, *a*, *b* larda haqiqiy

tezlik epyurasi punktir chiziq bilan chizilib, punktirli strelkalarning uchini birlashtiradi. O'rtacha tezlik epyurasi tutash chiziqlar bilan chizilgan bo'lib, tutash strelkalar uchini birlashtiradi. O'rtacha tezlik ϑ harfi bilan belgilanadi va sarfni harakat kesimiga bo'lish yo'li bilan topiladi:

$$\vartheta = \frac{Q}{\omega} = \frac{\int u d\omega}{\omega}. \quad (3.4)$$

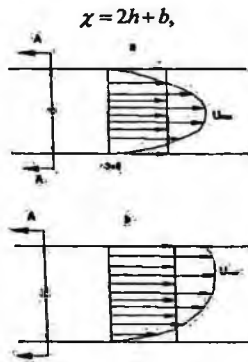
Bunda suyuqlik sarfi o'rtacha tezlik orqali quyidagicha ifodalaniladi:

$$Q = \vartheta \cdot \omega. \quad (3.5)$$

Oqma ko'ndalang kesimini (erkin sirtni hisobga olmaganda) uni chegaralovchi devorlar bilan tutashtiruvchi chiziq perimetri ho'llangan perimetreb ataladi. Oqim ko'ndalang kesimining ho'llanmagan qismi ho'llangan perimetrga kirmaydi va uni hisoblashda chiqarib tashlanadi. Ho'llangan perimetrx harfi bilan belgilanadi.

Turli shakldagi nov (kanal) lar va quvurlar uchun ho'llangan perimetr quyidagicha hisoblanadi:

to'g'ri to'rburchak nov uchun (3.4-rasm, a):



3.4-rasm. Suyuqlik sarfi va o'rtacha tezlikka doir chizma.

bu yerda h – suyuqlik chuqurligi; b - nov (kanal)ning kengligi: trapetsiadal nov uchun (3.4-rasm, b).

$$\chi = b + 2h\sqrt{1+m^2}.$$

bu yerda $m = \operatorname{ctg}\alpha$ – qiyalik koeffitsiyenti;

uchburchak novlar uchun (1.32-rasm, v):

$$\chi = 2h\sqrt{1+m^2}$$

silindrik quvurlar uchun (1.32-rasm g) suyuqlik to'lib oqqanda

$$\chi = \pi d = 2\pi r;$$

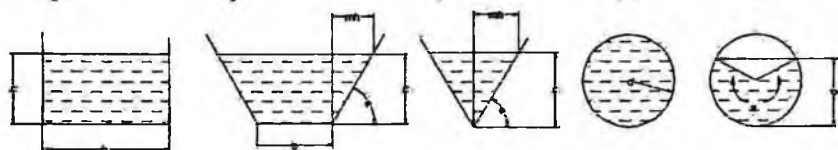
suyuqlik to'lmay oqqanda (1.32-rasm, d)

$$\chi = \frac{\varphi \pi d}{360},$$

bu yerda φ – markaziy burchak; d - quvurning ichki diametri; r - quvurning ichki radiusi.

Oqim harakat kesimi ω ning ho'llangan perimetri χ ga nisbati gidravlik radiusi deb ataladi va R bilan belgilanadi, ya'ni:

$$R = \frac{\omega}{\chi} \quad (3.6)$$



3.5- rasm. Ho'llangan perimetrga doir chizma.

To'g'ri to'rtburchak novlar uchun:

$$R = \frac{\omega}{\chi} = \frac{hb}{2h+b}; \quad (3.7)$$

Trapetsiadal novlar uchun

$$R = \frac{\omega}{\chi} = \frac{h(mh+b)}{b+2h\sqrt{1+m^2}}. \quad (3.8)$$

Uchburchak novlar uchun

$$R = \frac{\omega}{\chi} = \frac{mh^2}{2h\sqrt{1+m^2}} = \frac{mh}{2\sqrt{1+m^2}}. \quad (3.9)$$

Silindrik quvurlar uchun:

$$\text{suyuqlik to'lib oqqanda} \quad R = \frac{\omega}{\chi} = \frac{\pi d^2}{4} : \pi d = \frac{r}{2}, \quad (3.10)$$

suyuqlik to'lmay oqqanda

$$R = \frac{\omega}{\chi} = \frac{\frac{d^2}{8} \left(\frac{\varphi \pi}{180} - \sin \varphi \right)}{\frac{\varphi \pi d}{360}} = \frac{d}{4} \left(1 - \frac{180 \sin \gamma}{\varphi \pi} \right) \quad (3.11)$$

3.4. Suyuqlikning barqaror harakati uchun uzilmaslik tenglamasi

Yuqorida aytib o'tilganidek, gidravlikada suyuqliklar tutash muhitlar deb qaraladi (ya'ni harakat fazosining istalgan nuqtasida suyuqlik zarrachasini topish mumkin). Elementar oqimcha va oqim uchun uzilmaslik tenglamasi suyuqlikning tutash oqimi (ya'ni har bir harakatdagi zarrachaning oldida va ketida cheksiz yaqin masofada albatta yana biror zarracha mavjudligi) ning matematik ifodasi bo'lib xizmat qiladi. Suyuqlikning barqaror harakatini ko'ramiz.

Elementar oqimcha uchun uzilmaslik tenglamasini chiqaramiz. Oqimda harakat o'qi I - I bo'lgan elementar oqimcha olamiz va uning 1 - 1 va 2 - 2 kesimlari orasidagi bo'lagini tekshiramiz (3.6-rasm). 1-1 kesimdagi yuza $d\omega_1$, tezlik u_1 , 2-2 kesimdagi yuza $d\omega_2$, tezlik u_2 bo'lsin va bu kesimlarda tegishli elementar sarflar $q_1 = u_1 d\omega_1$ va $q_2 = u_2 d\omega_2$ ga teng bo'lsin.

Bu holda 1-1 va 2 - 2 kesimlar orqali o'tuvchi elementar sarflar teng bo'ladi:

$$q_1 = q_2 \quad (3.12)$$

Buni isbotlash uchun quyidagi ikki holni ko'ramiz:

1). $q_1 > q_2$ bo'lsin. Bu holda 1-1 va 2-2 kesimlar o'rtaida suyuqlik to'planishi yoki elementar oqimcha devorlari orqali tashqariga chiqishi mumkin degan xulosa chiqadi. Biroq yuqorida aytiganidek, elementar oqimcha devorlaridan suyuqlik o'tmaydi va uning ko'ndalang kesimlari o'tkazmasdir.



3.6. rasm. Elementar oqimcha uchun uzilmaslik tenglamasini chiqarishga oid chizma.

Demak, bunday taxmin noto'g'ri ekanligi ko'riniib turibdi.

2) $q_1 < q_2$ bo'lsin. Bu holda 1-1 va 2-2 kesimlari orasida qayerdandir suyuqlik qo'shilib turishi yoki elementar oqimcha devorlari orqali ichkariga

o'tib turishi kerak. Yuqoridagiga asosan bunday taxmin ham noto'g'ri ekanligi ko'rindi. Shunday qilib, (3.12) tenglik to'g'ri ekanligi isbotlandi.

Elementar sarflar tengligidan quyidagi kelib chiqadi:

$$u_1 d\omega_1 = u_2 d\omega_2 \quad (3.13)$$

1-1 va 2-2 kesimlar ixtiyoriy tanlab olinganligi uchun elementar oqimchaning xohlagan kesimi uchun elementar sarf teng bo'ladi, ya'ni

$$u_1 d\omega_1 = u_2 d\omega_2 = u_3 d\omega_3 \dots u_n d\omega_n = const$$

(3.13) tenglama elementar oqimcha uchun uzilmaslik tenglamasi deb ataladi. Bu tenglamadan ko'rini turibdiki, elementar oqimchaning barcha kesimlarida elementar sarf bir xildir. (3.13) tenglamani quyidagicha yozish mumkin

$$\frac{u_1}{u_2} = \frac{d\omega_2}{d\omega_1}.$$

Bundan elementar oqimchaning ixtiyoriy ikkita kesimidagi tezliklar bu kesimlar yuzasiga teskari proportsional ekanligi kelib chiqadi.

Oqim uchun uzilmaslik tenglamasini chiqaramiz. Buning uchun elementar oqimcha uchun olingan uzilmaslik tenglamasidan foydalananamiz. Oqim sarfi cheksiz ko'p oqimchalar sarfining yig'indisidan iborat ekanligini (3.6-rasm) nazarga olib, (3.13) tenglamaning chap va ung qismini ω_1 va ω_2 yuzalar bo'yicha olingan integrallar bilan almashtiramiz

$$\int_{\omega_1} u_1 d\omega_1 = \int_{\omega_2} u_2 d\omega_2.$$

(3.3) tenglamaga asosan

$$\int_{\omega_1} u_1 d\omega_1 = g_1 \omega_1; \quad \int_{\omega_2} u_2 d\omega_2 = g_2 \omega_2$$

bo'ladi. Shuning uchun

$$g_1 \omega_1 = g_2 \omega_2 \quad (3.14)$$

Tanlab olingan 1-1 va 2-2 kesimlar ixtiyoriy bo'lgani uchun

$$g_1 \omega_1 = g_2 \omega_2 = g_3 \omega_3 = \dots = g_n \omega_n = const$$

Bu oqim uchun uzilmaslik tenglamasidir. Undan ko'rindaniki, oqimning yo'nalishi bo'yicha ko'ndalang kesimlarning yuzasi va tezligi o'zgarib borishi mumkin. Lekin sarf o'zgarmaydi. (3.14) tenglamani quyidagicha ta'riflash va yozish mumkin, ya'ni *oqimning kesimlaridagi o'rtacha tezliklar tegishli kesimlarning yuzalariga teskari proportsionaldir*:

$$\frac{g_1}{g_2} = \frac{\omega_2}{\omega_1}$$

3.5. Ideal suyuqliklar uchun harakat tenglamasi. Suyuqlik harakati uchun Eyler tenglamasi

Yuqorida biz ideal va real suyuqliklar tushunchasi haqida to'xtalib, ularning bir-biridan farqini ko'rsatuvchi asosiy kattalik ichki ishqalanish kuchi ekanligini aytib o'tdik. Keyinchalik ichki ishqalanish kuchi tezlik gradiyentiga bog'liq bo'lishini ta'kidladik.

Gidrostatika bo'limida suyuqliklar muvozanat holatining tenglamasini chiqarganimizdek, ularning harakati uchun ham umumiylashgan tenglama chiqarishimiz mumkin. Quyida biz ideal suyuqliklar uchun shunday tenglama chiqarish bilan shug'ullanamiz. Suyuqlik harakat qilayotgan fazoda tomonlari dx , dy , dz bo'lgan elementar hajm ajratib olamiz (3.6-rasmga qarang). U holda hajmga Ox , Oy , Oz o'qlari yo'nalishida ta'sir etuvchi kuchlar gidrostatikada suyuqliklar asosiy tenglamasini chiqarganimizdagidek ifodalanadi. Bu yerda farq suyuqlik harakatda bo'l-ganligi uchun bosim kuchlaridan tashqari inertsiya kuchlari ham mavjudligidir. Shuning uchun gidrostatikada suyuqlikning muvozanat shartlaridan foydalangan bo'lsak, bu yerda Dalamber prinsipidan foydalananamiz. U holda birlik massaga ta'sir etuvchi inertsiya kuchlarining teng ta'sir etuvchisi x , y va z o'qlariga quyidagi proektsiyalarga ega bo'ladi:

$$\alpha_x = \frac{du_x}{dt}; \quad \alpha_y = \frac{du_y}{dt}; \quad \alpha_z = \frac{du_z}{dt} \quad (3.15)$$

Birlik massaga ta'sir etuvchi bosim kuchlarining teng ta'sir etuvchilarini

$$-\frac{1}{\rho} \frac{\partial p}{\partial x}, \quad -\frac{1}{\rho} \frac{\partial p}{\partial y}, \quad -\frac{1}{\rho} \frac{\partial p}{\partial z} \quad (3.16)$$

bo'ladi. Shuningdek, og'irlik kuchlari uchun x , y va z o'qlaridagi proektsiyalar

$$X, Y, Z. \quad (3.17)$$

Endi x , y va z o'qlari bo'yicha Dalamber prinsipini qo'llasak quyidagi differensial tenglamalar sistemasiga ega bo'lamiz:

$$\begin{aligned} \frac{du_x}{dt} &= X - \frac{1}{\rho} \frac{\partial p}{\partial x} \\ \frac{du_y}{dt} &= Y - \frac{1}{\rho} \frac{\partial p}{\partial y} \\ \frac{du_z}{dt} &= Z - \frac{1}{\rho} \frac{\partial p}{\partial z} \end{aligned} \quad (3.18)$$

Bu tenglamalar sistemasi ideal suyuqliklar harakatining differensial tenglamasi deyiladi. U birinchi marta Eyler tomonidan suyuqliklar

harakatini tekshirish uchun taklif qilingani uchun (1755 y) Eyler tenglamasi deb ham yuritiladi.

Yuqoridagi sistema uchta differensial tenglamadan iborat bo'lib, noma'lumlar soni to'rtga: u_x , u_y , u_z , p . Matematikada ko'rsatilishicha bunday holda yana bitta tenglama kerak bo'ladi. Ana shu to'rtinchida tenglama sifatida suyuqliklar harakatining uzilmaslik tenglamasini differensial shaklda yoziladi va u siqilmaydigan suyuqliklar uchun quyidagi ko'rinishga ega bo'ladi:

$$\frac{\partial u_x}{\partial x} + \frac{\partial u_y}{\partial y} + \frac{\partial u_z}{\partial z} = 0 \quad (3.19)$$

Oliy matematika kursidan ma'lumki, ixtiyoriy vektor proyektsiyalarining tegishli koordinatalar bo'yicha hosilalari yig'indisi divergentsiya deyiladi. U holda,

$$\frac{\partial u_x}{\partial x} + \frac{\partial u_y}{\partial y} + \frac{\partial u_z}{\partial z} = \operatorname{div} \vec{U}$$

Buni nazarga olsak, (3.19) qisqacha quyidagicha yoziladi:

$$\operatorname{div} \vec{U} = 0$$

Murakkab funksiyaning to'liq differensiali haqidagi qoidaga asosan

$$\frac{du_x}{dt} = \frac{\partial u_x}{\partial x} + u_x \frac{\partial x}{\partial t} + \frac{\partial u_x}{\partial y} \frac{\partial y}{\partial t} + u_x \frac{\partial u_x}{\partial z} \frac{\partial z}{\partial t}, \quad (3.20)$$

lekin koordinatalardan vaqt bo'yicha hosilalar tezlik proyektsiyalarini beradi, ya'ni

$$\frac{\partial x}{\partial t} = u_x; \quad \frac{\partial y}{\partial t} = u_y; \quad \frac{\partial z}{\partial t} = u_z. \quad (3.21)$$

Buni nazarda tutgan holda (3.20) ni quyidagicha yozish mumkin

$$\frac{du_x}{dt} = \frac{\partial u_x}{\partial x} + u_x \frac{\partial u_x}{\partial x} + U_y \frac{\partial u_x}{\partial y} + u_z \frac{\partial u_x}{\partial z}. \quad (3.22)$$

Shuningdek, u_y, u_z funksiyalarining vaqt bo'yicha to'liq hosilalarini ham quyidagicha ifodalash mumkin:

$$\frac{du_y}{dt} = \frac{\partial u_y}{\partial t} + u_x \frac{\partial u_y}{\partial x} + u_y \frac{\partial u_y}{\partial y} + u_z \frac{\partial u_y}{\partial z}, \quad (3.23)$$

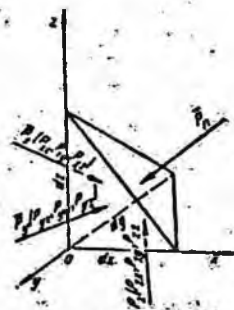
$$\frac{du_z}{dt} = \frac{\partial u_z}{\partial t} + u_x \frac{\partial u_z}{\partial x} + u_y \frac{\partial u_z}{\partial y} + u_z \frac{\partial u_z}{\partial z}. \quad (3.24)$$

(3.22), (3.23), (3.24) larni (3.18) tenglamaga qo'yib, ideal suyuqliklar differensial tenglamasini quyidagicha yozish mumkin:

$$\begin{aligned}\frac{\partial u_x}{\partial t} + u_x \frac{\partial u_x}{\partial x} + u_y \frac{\partial u_x}{\partial y} + u_z \frac{\partial u_x}{\partial z} &= X - \frac{1}{\rho} \frac{\partial p}{\partial x} \\ \frac{\partial u_y}{\partial t} + u_x \frac{\partial u_y}{\partial x} + u_y \frac{\partial u_y}{\partial y} + u_z \frac{\partial u_y}{\partial z} &= Y - \frac{1}{\rho} \frac{\partial p}{\partial y} \\ \frac{\partial u_z}{\partial t} + u_x \frac{\partial u_z}{\partial x} + u_y \frac{\partial u_z}{\partial y} + u_z \frac{\partial u_z}{\partial z} &= Z - \frac{1}{\rho} \frac{\partial p}{\partial z}\end{aligned}\quad (3.25)$$

3.6. Real suyuqliklarda ichki kuchlar. Nave-Stoks tenglamasi

Real suyuqliklarda gidrodinamik bosim mavjud bo'lib, harakat yo'q bo'lgan holda u gidrostatik bosimga aylanadi. Gidrodinamik bosimning xossalari gidrostatik bosim xossalariiga qaraganda umumiyoqdir. Gidrodinamik bosim suyuqlikdagi ichki kuchlarni ifodalovchi va zo'riqish kuchlari deb ataluvchi kuchlar tarkibiga kiradi. Suyuqlik ichida joylashgan biror elementar hajmni kuzatsak, unga tashqaridagi suyuqlik massasi ma'lum bir kuch bilan ta'sir qiladi. Ana shu kuch zo'riqish kuchi deyiladi. Bu kuchni to'laroq ko'z oldimizga keltirish uchun tomonlari dx , dy , dz ga teng bo'lgan tetraedr ko'rinishidagi elementar hajm ajratib olamiz (3.7-rasm). U holda tetraedrning qiya sirtiga tashqaridagi suyuqlik \bar{p} , kuch bilan ta'sir qiladi. Olingan elementar hajm harakat vaqtida o'z holatini saqlashi uchun unga teng ta'sir etuvchisi \bar{p} , kuchiga teng va qarama-qarshi yo'nalgan quyidagi uchta kuch ta'sir qiladi: tetraedrning yOz tekislikda yotgan yuzasi bo'yicha \bar{p}_x kuchi, xOz tekisligida yotgan yuzasi bo'yicha \bar{p}_y , kuchi.



3.7- rasm. Real suyuqliklarda zo'riqish tenzorini tushuntirishga doir chizma.

Bu kuchlarning har biri x , y va z o'qlari bo'yicha proyektsiyaga ega:

$$\begin{aligned}\bar{P}_x & \left\{ P_{xx}, P_{xy}, P_{xz} \right\} \\ \bar{P}_y & \left\{ P_{yx}, P_{yy}, P_{yz} \right\} \\ \bar{P}_z & \left\{ P_{zx}, P_{zy}, P_{zz} \right\}\end{aligned}$$

Shunday qilib, P kuchni to'qqizta kuch bilan almashtirish mumkin bo'ladi. Bunday xususiyatga ega bo'lgan kattaliklar tenzor deb ataladi va quyidagicha yoziladi:

$$\begin{aligned}\bar{P}_x & \left\{ P_{xx}, P_{xy}, P_{xz} \right\} \\ \bar{P}_y & \left\{ P_{yx}, P_{yy}, P_{yz} \right\} \\ \bar{P}_z & \left\{ P_{zx}, P_{zy}, P_{zz} \right\}\end{aligned} \quad (3.26)$$

Bu kuchlardan uchtasi p_{xx} , p_{yy} , p_{zz} tetraedr yon sirtlariga normal bo'yicha yo'nalgan bo'lib, ular zo'riqish tenzorining normal tashkil etuvchilari deyiladi. Tenzorning qolgan oltita tashkil etuvchisi sirtlarga urinma bo'yicha yo'nalgan bo'lib, zo'riqish tenzorining urinma tashkil etuvchilari deyiladi. Urinma tashkil etuvchilar quyidagi xossaga ega bo'ladi:

$$P_{yy} = P_{yx}, P_{xz} = P_{zx}, P_{yz} = P_{zy}$$

Shuning uchun, p tenzori simmetrik tenzor deb ataladi. Bu xossaning isboti maxsus kurslarda keltirilgan bo'lib, biz u to'g'risida to'xtalib o'tirmaymiz. Shuningdek, tenzorning komponentlarini tushuntirishlarsiz, tezlik va qovushqoqlik koeffitsiyenti orqali ifodasini keltiramiz:

$$\begin{aligned}P_{xx} &= -p + 2\mu \frac{\partial u_x}{\partial x}, \\ P_{yy} &= -p + 2\mu \frac{\partial u_y}{\partial y}, \\ P_{zz} &= -p + 2\mu \frac{\partial u_z}{\partial z}, \\ P_{xy} = P_{yx} &= \mu \left(\frac{\partial u_y}{\partial x} + \frac{\partial u_x}{\partial y} \right), \\ P_{xz} = P_{zx} &= \mu \left(\frac{\partial u_z}{\partial x} + \frac{\partial u_x}{\partial z} \right), \\ P_{yz} = P_{zy} &= \mu \left(\frac{\partial u_y}{\partial z} + \frac{\partial u_z}{\partial y} \right),\end{aligned} \quad (3.27)$$

bu yerda p – gidrodinamik bosim.

Bu yerda biz \bar{P}_x tenzori komponentalarini siqilmaydigan suyuqliklar uchun yozdik. Bu ifodalarni ilgari aytib o'tilgan Nyuton gipotezasiga qiyoslab, umumlashgan Nyuton gipotezasi deb ataladi. Bu holda avvalgi paragrafdagi kabi harakat tenglamasini tuzish mumkin bo'ladi. Tomonlari dx , dy , dz ga teng bo'lgan parallelepiped ko'rinishida elementar hajm olsak

(3.7-rasmga q.) U holda Ox , Oy , Oz yo‘nalishida og‘irlik va inertsiya kuchlarini hisobga olmaganimizda, uchta kuch ta’sir qiladi:

Ox bo‘yicha p_{xx} , p_{yx} , p_{zx}

Oy bo‘yicha p_{xy} , p_{yy} , p_{zy}

Oz bo‘yicha p_{xz} , p_{yz} , p_{zz} .

Demak, parallelepipedning (3.7-rasmga q.) Ox o‘qiga tik bo‘lgan yon yoqlari bo‘yicha ta’sir qiluvchi kuchlarning teng ta’sir etuvchisi quyidagiga teng:

$$\frac{\partial p_{xx}}{\partial x} + \frac{\partial p_{yx}}{\partial y} + \frac{\partial p_{zx}}{\partial z}$$

Oy o‘qiga tik bo‘lgan yon yoqlari bo‘yicha

$$\frac{\partial p_{xy}}{\partial x} + \frac{\partial p_{yy}}{\partial y} + \frac{\partial p_{zy}}{\partial z}$$

Oz o‘qiga tik bo‘lgan yon yoqlari bo‘yicha

$$\frac{\partial p_{xz}}{\partial x} + \frac{\partial p_{yz}}{\partial y} + \frac{\partial p_{zz}}{\partial z}$$

Endi, oldingi paragrafdagi kabi Dalamber prinsipidan foydalanib harakat tenglamasini tuzamiz. U quyidagi ko‘rinishga ega bo‘ladi:

$$\begin{aligned} \frac{du_x}{dt} &= X + \frac{1}{\rho} \left(\frac{\partial p_{xx}}{\partial x} + \frac{\partial p_{yx}}{\partial y} + \frac{\partial p_{zx}}{\partial z} \right) \\ \frac{du_y}{dt} &= Y + \frac{1}{\rho} \left(\frac{\partial p_{xy}}{\partial x} + \frac{\partial p_{yy}}{\partial y} + \frac{\partial p_{zy}}{\partial z} \right) \\ \frac{du_z}{dt} &= Z + \frac{1}{\rho} \left(\frac{\partial p_{xz}}{\partial x} + \frac{\partial p_{yz}}{\partial y} + \frac{\partial p_{zz}}{\partial z} \right) \end{aligned} \quad (3.28)$$

Olingen tenglamaga (3.22), (3.23), (3.24) va (3.25) munosabatlarni kirmsak, real suyuqliklarning harakat tenglamasi quyidagi ko‘rinishga ega bo‘ladi:

$$\begin{aligned} \frac{\partial u_x}{\partial t} + u_x \frac{\partial u_x}{\partial x} + u_y \frac{\partial u_x}{\partial y} + u_z \frac{\partial u_x}{\partial z} &= X - \frac{1}{\rho} \frac{\partial p}{\partial x} + \nu \left(\frac{\partial^2 u_x}{\partial x^2} + \frac{\partial^2 u_x}{\partial y^2} + \frac{\partial^2 u_x}{\partial z^2} \right) \\ \frac{\partial u_y}{\partial t} + u_x \frac{\partial u_y}{\partial x} + u_y \frac{\partial u_y}{\partial y} + u_z \frac{\partial u_y}{\partial z} &= Y - \frac{1}{\rho} \frac{\partial p}{\partial y} + \nu \left(\frac{\partial^2 u_y}{\partial x^2} + \frac{\partial^2 u_y}{\partial y^2} + \frac{\partial^2 u_y}{\partial z^2} \right) \\ \frac{\partial u_z}{\partial t} + u_x \frac{\partial u_z}{\partial x} + u_y \frac{\partial u_z}{\partial y} + u_z \frac{\partial u_z}{\partial z} &= Z - \frac{1}{\rho} \frac{\partial p}{\partial z} + \nu \left(\frac{\partial^2 u_z}{\partial x^2} + \frac{\partial^2 u_z}{\partial y^2} + \frac{\partial^2 u_z}{\partial z^2} \right) \end{aligned} \quad (3.29)$$

Bu hosil bo‘lgan tenglamalar sistemasi siqilmaydigan suyuqliklar uchun Nave-Stoks tenglamasi deyiladi. (3.29) sistema uchta tenglamadan iborat bo‘lib noma’lumlar soni to‘rtta; u_x , u_y , u_z , p . Shuning uchun real

suyuqliklar harakatini tekshirishda bu sistemaga (3.19) tenglamani qo'shib yechiladi.

Amaliy mashg'ulotlarni bajarishga doir ko'rsatma:

Masala. Siqilmaydigan suyuqlikning tezlik maydoni quyidagi potentsialga:

$$\varphi = 4(x^2 - u^2) \text{ ega bo'lishi mumkinmi?}$$

Yeshimi: suyuqlikning tezlik maydoni potentsialga ega bo'lishi uchun Laplas tenglamasidan foydalanamiz:

$$\nabla^2 \varphi = \frac{\partial^2 \varphi}{\partial x^2} + \frac{\partial^2 \varphi}{\partial y^2} = 0$$

U holda

$$\begin{aligned}\varphi &= 4(x^2 - y^2); \quad \frac{\partial^2 \varphi}{\partial x^2} = 8 \\ \varphi &= 4(x^2 - y^2); \quad \frac{\partial^2 \varphi}{\partial y^2} = 8\end{aligned}$$

$$\text{Bu yerda } \nabla^2 \varphi = 8 - 8 = 0$$

Demak, tezlik maydoni berilgan potentsialga ega bo'lishi mumkin.

Mustaqil yechishga doir masalalar:

1. Agar kesimlardagi harakat kesimining yuzasi $\omega_1 = 0,5 \text{ m}^2$; $\omega_2 = 0,7 \text{ m}^2$ va $\omega_3 = 0,4 \text{ m}^2$ bo'lib, $V_3 = 0,8 \text{ m/s}$ bo'lganda, oqim sarfi va o'rtacha tezligini aniqlang.

2. To'g'ri burchakli to'rburchak shaklidagi ketma-ket ulangan quvurlarning gidravlik elementlarini (sarfl, o'rtacha tezlik, gidravlik radius, ho'llangan perimetrlari) aniqlang: $h_1 = 1,0 \text{ m}$; $b_1 = 1,5 \text{ m}$; $h_2 = 1,2 \text{ m}$; $b_2 = 1,8 \text{ m}$, $V_2 = 0,5 \text{ m/s}$ bo'lsin.

3. Oqim harakat tezligining proyektsiyasi berilgan: $u_x = 8 \text{ m/s}$; $u_u = -8 \text{ m/s}$. Oqim chizig'ining trayektoriyasini toping.

4. Oqim trayektoriyasi tenglama orqali berilgan bo'lsa, uning 10 sekunddan keyingi tezligini aniqlang.

5. Tajribalar asosida olingan tezlik proyektsiyasi quyidagi ko'rinishda bo'ldi: $u_x = 5xy + 2$; $u_y = 2x - 5xy$. Tajriba to'g'ri o'tkazilganmi?

3.7. Elementar oqimcha uchun Bernulli tenglamasi

Yuqorida keltirilgan Eyler va Nave-Stoks tenglamalar sistemalarini yechish yo'li bilan suyuqlik harakatlanayotgan fazoning har bir nuqtasidagi tezlik va bosimni topish mumkin. Lekin bu sistemalarni yechish katta qiyinchiliklar bilan amalga oshiriladi, ko'p hollarda esa hatto yechish mumkin emas. Shuning uchun gidravlikada, ko'pincha, o'rtacha tezlikni topish bilan chegaralanishga to'g'ri keladi. Buning uchun, odatda, Bernulli tenglamasidan foydalaniлади. Biz bu yerda Bernulli tenglamasini ikki xil usulda chiqarishni ko'rsatamiz.

Birinchi usul Eyler tenglamasidan foydalananish yo'li bilan amalga oshiriladi. Buning uchun (3.18) sistemaning birinchi tenglamasini dx ga, ikkinchi tenglamasini dy ga, uchinchi tenglamasini dz ga ko'paytiramiz va hosil bo'lgan uchta tenglamani qo'shamiz. Natijada quyidagi tenglamaga ega bo'lamiz:

$$\frac{du_x}{dt} dx + \frac{du_y}{dt} dy + \frac{du_z}{dt} dz = Xdx + Ydy + Zdz - \frac{1}{\rho} \left(\frac{\partial p}{\partial x} dx + \frac{\partial p}{\partial y} dy + \frac{\partial p}{\partial z} dz \right) \quad (3.30)$$

(3.21) munosabatdan ko'rinish turibdiki,

$$dx = u_x dt, \quad dy = u_y dt, \quad dz = u_z dt$$

Shu munosabatdan foydalanim. (3.30) tenglamaning chap tomonini quyidagi ko'rinishga keltiramiz:

$$\frac{\partial u_y}{\partial t} u_x dt + \frac{\partial u_y}{\partial t} u_y dt + \frac{\partial u_z}{\partial t} u_z dt = u_x du_x + u_y du_y + u_z du_z = \frac{1}{2} d(u_x^2 + u_y^2 + u_z^2) \quad (3.31)$$

lekin

$$u^2 = u_x^2 + u_y^2 + u_z^2$$

bo'lgani uchun (3.30) tenglama chap tomonining ko'rinishi quyidagicha bo'ladi:

$$\frac{1}{2} d(u_x^2 + u_y^2 + u_z^2) = \frac{1}{2} d(u^2) \quad (3.32)$$

(3.30) ning o'ng tomonidagi $Xdx + Ydy + Zdz$ biror kuch potentsialining to'liq differensialidir. Agar shu potentsialni $F = f(x, y, d)$ bilan belgilasak, u holda quyidagiga ega bo'lamiz

$$Xdx + Ydy + Zdz = dF \quad (3.33)$$

Odatda, suyuqlikka ta'sir qiluvchi massa kuch og'irlik kuchidir. Bu holda dekart koordinatalar sistemasida quyidagicha bo'ladi:

$$F = -gz \quad (3.34)$$

(3.30) tenglamaning o'ng tomonida yana bosim bilan ifodalangan munosabat bo'lib, u bosimning to'liq differentislini ifodalaydi, ya'ni

$$\frac{\partial p}{\partial x} dx + \frac{\partial p}{\partial y} dy + \frac{\partial p}{\partial z} dz = dp \quad (3.35)$$

(3.32), (3.33), (3.34) va (3.35) larni (3.30) tenglamaga qo'ysak, u quyidagi ko'rinishga keladi

$$\frac{1}{2} d(u^2) + \frac{1}{\rho} dp + d(gz) = 0$$

Hosil bo'lgan tenglamani elementar oqimchaning 1-1 kesimidan (3.8-rasmga q.) 2-2 kesimigacha integrallasak, quyidagi tenglamaga ega bo'lamiz:

$$\frac{u_1^2}{2} + \frac{p_1}{\rho} + gz_1 = \frac{u_2^2}{2} + \frac{p_2}{\rho} + gz_2 \quad (3.36)$$

Bu tenglikdagi har bir had massa birligiga keltirilgan. Agar uni kuch birligiga keltirsak, ya'ni g ga ikki tomonini bo'lib yuborsak, u holda $\rho g = \gamma$ ni hisobga olib, quyidagini olamiz:

$$\frac{u^2}{2g} + \frac{p}{\gamma} + z = \text{const} \quad (3.37)$$

Oxirgi tenglama 1738 y. Bernulli tomonidan olingen bo'lib, uning nomi bilan ataladi va gidravlikada harakatning asosiy tenglamasi bo'lib xizmat qiladi. Bu tenglama ixtiyoriy ikkita kesim uchun olingen bo'lib, bu kesimlarning elementar oqimcha yo'nalishi bo'yicha qayerda olinishining ahamiyati yo'q. Shuning uchun Bernulli tenglamasini quyidagi ko'rinishda ham yozish mumkin:

$$\frac{u^2}{2g} + \frac{p}{\gamma} + z = \text{const} \quad (3.38)$$

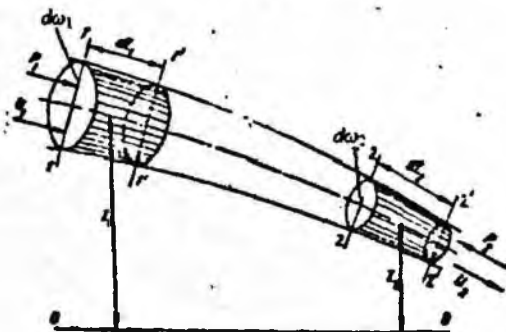
Ko'rinib turibdiki, Bernulli tenglamasida asosan $z, \frac{p}{\gamma}, \frac{u^2}{2g}$ kattaliklarning yig'indisi o'zgarmas ekan. Shunday qilib, bu tenglama tezlik u , bosim p , zichlik ρ o'rtaсидаги munosabatni ifodalaydi.

D. Bernullining o'zi yuqoridagi tenglamani kinetik energiyaning o'zgarishi qonunidan keltirib chiqqagan bo'lib, biz keltirgan usul esa Eyler tomonidan qo'llanilgan.

Ikkinci usul kinetik energiyaning o'zgarish qonunidan foydalanim bajariladi. Harakat o'qi 1-1 bo'lgan biror elementar oqimchaning 1-1 va 2-

2 kesimlar bilan ajratilgan bo'lagini olamiz. U holda bu bo'lak dt vaqtida harakat qilib, 1' - 1' va 2' - 2' kesmalari orasidagi holatga keladi (3.8-rasm). 1-1 kesimning yuzasi $d\omega_1$ bu yuzaga ta'sir qiluvchi kuch P_1 va tezlik u_1 bo'lsin. 2-2 kesimning yuzasi esa $d\omega_2$, unga ta'sir qiluvchi kuch P_2 , tezlik esa u_2 bo'lsin. Kinetik energiyaning o'zgarish qonunini elementar oqimchaning ana shu harakatagi bo'lagiga tatbiq qilamiz. Bu qonun bo'yicha biror jism harakati vaqtida uning kinetik energiyasining o'zgarishi, shu jismga ta'sir qilayotgan kuchlarning bajargan ishlarining yig'indisiga tengdir. Bu gapning matematik ifodasi quyidagicha bo'ladi:

$$d\left(\frac{m_1 u_1^2}{2}\right) = \sum P I \quad (3.39)$$



3.8- rasm. Bernulli tenglamasini keltirib chiqarishga doir chizma.

bu yerda $d\left(\frac{mu^2}{2}\right)$ – kinetik energiyaning dt vaqtida o'zgarishi; $\sum PI$ – barcha kuchlar bajargan ishlarining yig'indisi. Endi elementar oqimcha bo'lagining dt vaqt ichida 1-1 va 2-2 kesimlar orasidagi holatdan 1'-1' va 2'-2' kesimlar orasidagi holatga kelgandagi kinetik energiyasining o'zgarishini ko'ramiz. Harakat barqaror bo'lgani uchun bu o'zgarish 1 - 1 va 1' - 1' orasidagi bo'lak bilan 2 - 2 va 2' - 2' orasidagi bo'lak kinetik energiyalari ayirmasiga teng.

1 - 1 va 1' - 1' orasidagi bo'lakning kinetik energiyasi (uning massasi m_1 bo'lsa) $\frac{m_1 u_1^2}{2}$ ga teng bo'ladi. 2-2 va 2'-2' orasidagi bo'lakning kinetik energiyasi esa $\frac{m_2 u_2^2}{2}$ ga teng. Demak ko'rيلайотган 1 - 1 va 2 - 2 orasidagi bo'lakning kinetik energiyasi dt vaqtida quyidagi miqdorga o'zgarar ekan:

$$\frac{m_2 u_2^2}{2} - \frac{m_1 u_1^2}{2} \quad (3.40)$$

Ikkinchisi tomondan, 1 - 1 va 1' - 1' orasidagi bo'lakning massasi uning hajmi dS_{1d} ning zichlikka ko'paytmasiga teng, ya'ni

$$m_1 = \rho d\omega_1 dl_1.$$

Shuningdek, 2-2 va 2' - 2' orasidagi bo'lakning massasi

$$m_2 = \rho d\omega_2 dl_2.$$

dl_1 va dl_2 – dt vaqt ichida 1 - 1 va 2 - 2 kesimlarining yurgan yo'lini ko'rsatadi, shuning uchun

$$dl_1 = u_1 dt, \quad dl_2 = u_2 dt \quad (3.41)$$

u holda m_1 va m_2 uchun quyidagi munosabatni olamiz;

$$m_1 = \rho d\omega_1 u_1 dt, \quad m_2 = \rho d\omega_2 u_2 dt$$

Bu munosabatni (3.40) ga qo'yساқ va uzilmaslik tenglamasidan $q = u_1 d\omega_1 = u_2 d\omega_2$ ekanligini nazarga olsak, kinetik energiyaning o'zgarishi quyidagicha ifodalanadi:

$$\frac{m_2 u_2}{2} - \frac{m_1 u_1}{2} = \rho \frac{q dt u_2^2}{2} - \rho \frac{q dt u_1^2}{2} = \rho q dt \left(\frac{u_2^2}{2} - \frac{u_1^2}{2} \right) \quad (3.42)$$

Endi, bajarilgan ishlarni tekshiramiz. Ular 1-1 va 2-2 kesimlarga ta'sir qiluvchi gidrodinamik kuchlarning va og'irlik kuchining bajargan ishlardir. Elementar oqimchaning yon sirtlariga ta'sir qiluvchi bosim kuchining bajargan ishi esa nolga teng ekanligi harakatning barqarorligidan ko'rindi.

1-1 kesimga ta'sir etuvchi p_1 bosimning bajargan ishini A_1 2-2 kesimga ta'sir etuvchi p_2 bosimning bajargan ishini A_2 bilan belgilaymiz. U holda, 1. 35- rasmdan ko'rinish turibdiki,

$$A_1 = p_1 d\omega_1 dl_1$$

$$A_2 = p_2 d\omega_2 dl_2$$

(3.41) nazarga olsak va uzilmaslik tenglamasidan foydalansak, quyidagi munosabat kelib chiqadi:

$$A_1 = p_1 q dt, \quad A_2 = p_2 q dt \quad (3.43)$$

Og'irlik kuchi bajargan ishni A_3 deb belgilaymiz. Bu ish (1-1 va 2-2 kesimlar orasidagi bo'lak o'z holatini saqlaganini uchun) 1-1 va 1' - 1' orasidagi bo'lak bilan 2-2 va 2'-2' orasidagi bo'laklar og'irliklarini ular markazlarining vertikal o'qi bo'yicha holatlari z_1 va z_2 ning ayirmasiga ko'paytirilganiga teng, ya'ni

$$A_3 = G(z_1 - z_2),$$

lekin

$$G = \gamma d\omega_1 dl_1 = \gamma d\omega_1 u_1 dt = \gamma q dt$$

bo'lgani uchun

$$A_3 = \gamma q dt (z_1 - z_2). \quad (3.44)$$

Endi, (3.42), (3.43) va (3.44) larni (3.39) ga qo'ysak, elementar oqimcha uchun kinetik energiyaning o'zgarish qonunini olamiz

$$\rho q dt \left(\frac{u_2^2}{2} - \frac{u_1^2}{2} \right) = p_1 q dt - p_2 l dt + \gamma q dt (z_1 - z_2)$$

bu yerda p_2 kuch suyuqlik harakatiga teskari yo'nalgan bo'lgani uchun tenglamaning o'ng tomonidagi ikkinchi had (ya'ni A_2) manfiy ishora bilan olindi. Oxirgi tenglamaning ikki tomonini $\gamma q dt$ ga bo'lsak:

$$\frac{u_2^2}{2} - \frac{u_1^2}{2} = \frac{p_1}{\gamma} - \frac{p_2}{\gamma} + z_1 - z_2.$$

Bir xil indeksli hadlarni gruppalab joylashtirsak, Bernulli tenglamasi hosil bo'ladi:

$$\frac{u_1^2}{2g} + \frac{p_1}{\gamma} + z_1 = \frac{u_2^2}{2g} + \frac{p_2}{\gamma} + z_2. \quad (3.45)$$

Shunday qilib, elementar oqimcha uchun Bernulli tenglamasi kinetik energiyaning o'zgarish qonunini ifodalar ekan.

3.8. Bernulli tenglamasining geometrik, energetik va fizik mazmunlari

Bernulli tenglamasining har bir hadi o'zinnng geometrik va energetik mazmunlariga ega. Buni aniqlash uchun biror elementar oqimcha olib, uning 1-1, 2-2 va 3-3 kesimlarini ko'ramiz (3.9-rasm). Bu kesimlarning og'irlik markazi biror 0-0 tekislikdan z_1 , z_2 va z_3 masofalarda bo'lsin. Bular qiyosiy tekislik 0-0 dan elementar oqimchaning geometrik balandliklarini ko'rsatadi. Endi olingan 1-1, 2-2 va 3-3 tekisliklar markazida pezometr (to'g'ri shisha naycha) va uchi egilgan shisha naychalar o'rnatamiz. Bu holda pezometrlarda suyuqlik kesimlar og'irlik markaziga nisbatan ma'lum balandliklarga ko'tariladi. Bu ko'tarilish gidrostatika qismida ko'rganimizdek kesimlarda

$$h_1 = \frac{p_1}{\gamma}, \quad h_2 = \frac{p_2}{\gamma}, \quad h_3 = \frac{p_3}{\gamma}$$

ga teng bo'ladi.

h_1 , h_2 , h_3 lar pezometrik balandliklar deb ataladi. Odatta, pezometrlar yordamida quvurlar va suyuqlik harakat qilayotgan boshqa idishlarda gidrodinamik bosim o'chanadi.

Uchi egilgan shisha naychalarda suyuqlik pezometrlardagiga qaraganda balandroqqa ko'tariladi. Buning sababi shundaki, uchi egilgan shisha naylarda uning egilgan uchi suyuqlik harakati yo'nali shida bo'lib,

gidrodinarnik bosimga qo'shimcha suyuqlik tezligiga bog'liq bo'lgan, bosim paydo bo'ladi. Bunda suyuqlik zarrachalarining inertsiya kuchi qo'shimcha bosimga sabab bo'ladi. Uchi, egilgan shisha naychalardagi balandlik quyidagilarga teng:

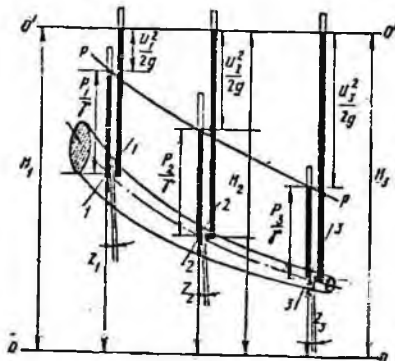
$$h_1 = \frac{P_1}{\gamma} + \frac{u_1^2}{2g}; \quad h_2 = \frac{P_2}{\gamma} + \frac{u_2^2}{2g}; \quad h_3 = \frac{P_3}{\gamma} + \frac{u_3^2}{2g}$$

Pezometrdagi suyuqlik balandligi bilan uchi egilgan shishalardagi balandlik farqi

$$h_1 - h_1 = \frac{u_1^2}{2g}; \quad h_2 - h_2 = \frac{u_2^2}{2g}; \quad h_3 - h_3 = \frac{u_3^2}{2g}$$

larga teng bo'ladi va tezlik naporini (balandligi) deyiladi.

Shunday qilib, geometrik nuqtai nazardan Bernulli tenglamarasining hadlari quyidagicha ataladi:



3.9-rasm. Bernulli tenglamarasining geometrik, energetik va fizik mazmunlariga doir chizma

$\frac{u^2}{2g}, \frac{u^2}{2g}, \frac{u^2}{2g}$ – suyuqlikning tegishli kesimlaridagi tezlik naporini (balandligi):

$\frac{P_1}{\gamma}, \frac{P_2}{\gamma}, \frac{P_3}{\gamma}$ – pezometrik balandliklar;

z_1, z_2, z_3 – geometrik balandliklar, tegishli kesimlarning og'irlik markazi 0-0 – tekisligidan (taqqoslash tekisligidan) qancha balandlikda turishini ko'rsatadi.

$\frac{u^2}{2g}, \frac{P}{\gamma}, z$ larning birliklari uzunlik birliklariga tengdir.

Pezometrlardagi suyuqlik balandliklarini birlashtirsak, hosil bo'lgan chiziq, pezometrik chiziq deyiladi.

Bernulli tenglamasidan tezlik (napori) balandligi, pezometrik va geometrik balandliklarining umumiy yig'indisi o'zgarmas miqdor bollib, u 1.36-rasmida 0'-0' shizig'i bilan belgilanadi va suyuqlikning napor (dam) tekisligi deb ataladi.

Gidrodinamikada bu uchta balandliklar $\frac{u^2}{2g}, \frac{P}{\gamma}, z$ ning yig'indisi suyuqlikning to'liq napori (dami) deb ataladi va H bilan belgilanadi:

$$H = \frac{u^2}{2g} + \frac{P}{\gamma} + z = \text{const.}$$

Bular ideal elementar oqimchalar uchun Bernulli tenglamasining geometrik ma'nosini bildiradi. Uning energetik ma'nosi kinetik energiyaning o'zgarish qonuni bo'yicha chiqarilishiga asoslangan. Boshqacha aytganda, Bernulli tenglamasi suyuqliklar uchun energiyaning saqlanish qonunidir. Bernulli tenglamasi (3.45) ning chap tomoni elementar oqimchaning 1-1 kesimidagi to'liq solishtirma energiya bo'lib, u 2-2 kesimdagi to'liq solishtirma energiyaga teng yoki umuman o'zgarmas miqdordir.

Bu yerda *solishtirma energiya* deb og'irlik birligiga to'g'ri kelgan energiya miqdoriga aytamiz. Bu aytilganlarga asosan Bernulli tenglamasi hadlarining energetik yoki fizik ma'nosi quyidagicha bo'ladi:

$\frac{u_1^2}{2g}, \frac{u_2^2}{2g}, \frac{u_3^2}{2g}$ – elementar oqimchaning 1-1, 2-2, 3-3 kesimlarga tegishli solishtirma kinetik energiyasi;

$\frac{P_1}{\gamma} + z_1, \frac{P_2}{\gamma} + z_2, \frac{P_3}{\gamma} + z_3$ – elementar oqimcha kesimlari uchun solishtirma potentsial energiya;

$\frac{P_1}{\gamma}, \frac{P_2}{\gamma}, \frac{P_3}{\gamma}$ – kesimlarga tegishli bosim bilan ifodalanuvchi solishtirma energiya;

z_1, z_2, z_3 – 1-1, 2-2, 3-3 kesimlarga tegishli og'irlik bilan ifodalanuvchi solishtirma energiya.

Suyuqlik harakati vaqtida mexanikaning qonunlariga asosan, ish bajariladi. Shu bajarilgan ishlar bo'yicha Bernulli tenglamasini quyidagicha sharhlash mumkin: ikkita kesim uchun yozilgan Bernulli tenglamasi (3.45) shu ikki kesimda tegishli hadlarining ayirmalaridan tashkil topadi:

$\frac{u_1^2 - u_2^2}{2g}$ – kinetik energiyaning birlik og‘irlilik uchun o‘zgarishi;

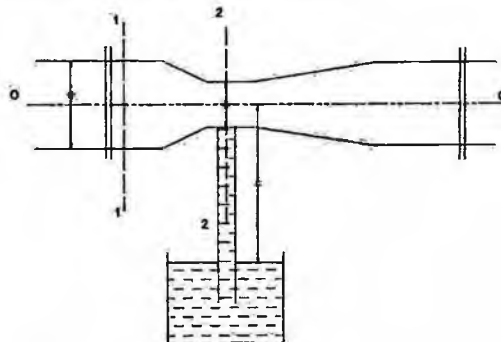
$\frac{P_1 - P_2}{\gamma}$ – bosim kuchi bajargan ishning birlik og‘irlilikka tegishli qismi.

$z_1 - z_2$ – og‘irlilik kuchi bajargan ishning birlik og‘irlilikka tegishli qismi.

Demak, suyuqlik harakat qilayotganda solishtirma kinetik va solishtirma potentsial energiyalar harakat davomida o‘zgarib boradi, lekin to‘liq solishtirma energiya o‘zgarmas bo‘ladi.

Amaliy mashg‘ulotlarni bajarishga doir ko‘rsatma

Masala. Struyali nasos yordamida suv $h = 0,5$ m chuqurlikdan ko‘tarilmoqda. Agar quvur diametri $d = 100$ mm, 1-1 kesimdagи bosim $P_M = 40$ kPa, suv tezligi $s_1 = 1,12$ m/s bo‘lsa, kameradagi quvur diametrini d_2 aniqlang Suv ideal deb qaralsin.(3.10-rasm).



3.10-rasm.

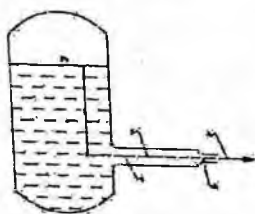
Yeshimi: 1-1 va 2-2 kesimlar uchun Bernulli tenglamasini yozamiz.
Taqqoslash tekisligini quvur o‘qi bo‘ylab o‘tkazamiz.

U holda d_2 ni quyidagicha aniqlaymiz:

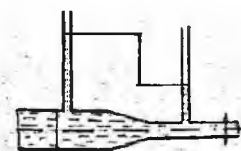
$$d_2 = \sqrt{\frac{4Q}{\pi V^2}} = 0,05 \text{ m}$$

Mustaqil yechishga doir masalalar:

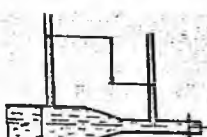
1. Rezervuardan suv diametri $d = 30$ mm bo'lgan quvur orqali atmosferaga oqib chiqmoqda, agar rezervuardagi manometrik bosim $P_M = 0,2$ atmosfera bo'lib, dam (napor) i $H = 1,5$ bo'lsa, quvurdagi suv sarfini aniqlang (3.11-rasm).
2. Suyuqlik ketma-ket ulangan har xil diametrlı quvurlar orqali atmosferaga chiqmoqda. Agar ikkinchi quvurdagi tezlik $s_2 = 0,8$ m/s bo'lsa, birinchi quvurdagi tezlik $s_1 = 2$ m/s bo'lishi uchun, birinchi quvurdagi bosim qanday bo'lishi kerak (3.12-rasm).
3. Quvurdagi suv sarfini aniqlash uchun Venturi naychasidan foydalaniladi.
4. Agar naychaning diametri $d = 5$ sm, quvurning diametri $D = 100$ mm va quvurdagi bosim $P_1 = 0,4$ at bo'lsa, naychaga ulangan quvurda suv qaysi balandlikka ko'tariladi? (3.14-rasm)



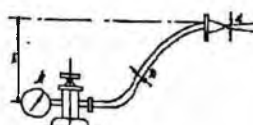
3.11-rasm.



3.12-rasm.



3.13-rasm.



3.14-rasm.

3.9. Real suyuqliklar elementar oqimchasi uchun Bernulli tenglamasi

Endi real suyuqlik elementar oqimchasi uchun Bernulli tenglamasining grafigini chizamiz Buning uchun harakat o'qi S - S, 1 - 1, 2 - 2 va 3 - 3 kesimlardagi tezliklar u_1 , u_2 , u_3 , bosimlari p_1 , p_2 , p_3 bo'lgan elementar oqimcha olamiz. Bu oqimcha uchun kesimlarda pezometr va uchi egilgan shisha naycha olamiz. Pezometrlardagi suyuqlik balandliklarini tutashtirib, pezometrik chiziq ($P-P$) ni hosil qilamiz. Uchi egik naychalarda suyuqlik balandliklarini tutashtirib, suyuqlik bosimi (dami) shizig'i ($H-H$) ni hosil qilamiz. Qurilgan grafikni ideal suyuqlik elementar oqimchasi uchun olingan grafik (3.15-rasm) bilan solishtiramiz. Natijada ideal suyuqliklar uchun oqimchaning birinchi kesimidagi gidrodinamik bosimi H_1 ikkinchi va uchinchi kesimlardagi gidrodinamik bosimlarga tengligini, ya'ni $H_1 = H_2 = H_3 = \text{const}$ ekanligini real suyuqlik uchun birinchi kesimidagi gidrodinamik bosim H_1 ikkinchi va uchinchi kesimlardagi bosimlarga tengmasligini, ya'ni $H_1 \neq H_2 \neq H_3$ ekanligini ko'ramiz. 3.15-rasmga muvofiq bu tengsizlik quyidagicha ifodalanadi:

$$H_1 > H_2 > H_3$$

Demak, real suyuqlikning elementar oqimchasi harakat qilganda solishtirma energiyaning ma'lum bir qismi yo'qotilar ekan; birinchi va ikkinchi kesimlar orasidagi bu yo'qotishni h_{1-2} bilan belgilaymiz. Bunda indeks orasida yo'qotish bo'layotgan kesimlar nomerini ko'rsatadi. Masalan, ikkinchi va uchinchi kesim orasida yo'qotish h_{2-1} , birinchi va uchinchi kesim orasidagi yo'qotish h_{1-3} va hokazo. Aytilgan yo'qotishning mohiyatini quyidagicha izohlash mumkin. Real suyuqlik elementar oqimchasi harakat qilayotganda ichki ishqalanish kuchi natijasida gidravlik qarshilik paydo bo'ladi va uni yengish uchun albatta ma'lum bir miqdorda energiya sarflash kerak. Bu sarflangan energiya ko'rيلayotgan harakat uchun tiklanmaydi. Yuqorida keltirilgan tengsizlik ana shu yo'qotilgan energiya hisobiga bo'ladi. Birinchi va ikkinchi kesimlar orasidagi yo'qotilgan solishtirma energiya gidravlik bosimlar farqiga teng:

$$h_{1-2} = H_1 - H_2.$$

Yuqorida ko'rileganga asosan

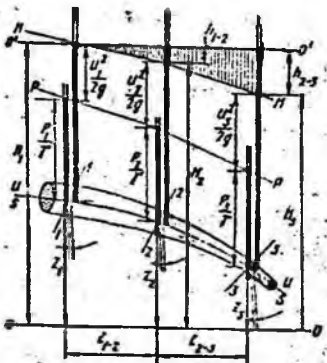
$$H_1 = \frac{u_1^2}{2g} + \frac{p_1}{\gamma} + z_1; \quad H_2 = \frac{u_2^2}{2g} + \frac{p_2}{\gamma} + z_2,$$

bundan

$$h_{1-2} = \left(\frac{u_1^2}{2g} + \frac{p_1}{\gamma} + z_1 \right) - \left(\frac{u_2^2}{2g} + \frac{p_2}{\gamma} + z_2 \right)$$

natijada quyidagi tenglamani olamiz:

$$\frac{u_1^2}{2g} + \frac{P_1}{\gamma} + z_1 = \frac{u_2^2}{2g} + \frac{P_2}{\gamma} + z_2 + h_{1-2}. \quad (3.46)$$



3.15-rasm. Real suyuqliklar uchun Bernulli tenglamasining geometrik ma'nosi.

Olingen tenglama real suyuqliklar elementar oqimchasi uchun Bernulli tenglamasıdir. Bu tenglama ideal suyuqlik elementar oqimchasidan o'ng tomonagi to'rtinchi hadi h_{1-2} bilan farq qiladi. Bu had 1-1 va 2-2 kesimlar orasida bosimning kamayishini ko'rsatadi. Ideal suyuqliklarda ichki ishqalanish kuchi hisobga olinmagani uchun yuqorida aytilgan had bo'lmaydi.

3.10. Real suyuqliklar oqimi uchun Bernulli tenglamasi. Koriolis koeffitsiyenti

Oqim cheksiz ko'p elementar oqimchalardan tashkil topganligidan shu oqimchalar energiyalarining harakat kesimi bo'yicha integralini olish yo'li bilan oqim uchun Bernulli tenglamasini hosil qilish mumkin:

$$\int_{a_1}^{u_1^2} \frac{du}{2g} + \int_{a_1}^{P_1} \frac{dP}{\gamma} + \int_{z_1}^{z_1} dz = \int_{a_2}^{u_2^2} \frac{du}{2g} + \int_{a_2}^{P_2} \frac{dP}{\gamma} + \int_{z_2}^{z_2} dz + \int_{a_1}^{h_{1-2}} dw. \quad (3.47)$$

Oqimning har bir elementar oqimchasi tezlikni hisoblash qiyin bo'lgani uchun (3.47) tenglamadagi integralarni hisoblash ham juda qiyinlashadi. Shuni nazarga olib, oqim uchun Bernulli tenglamasida tezliklarni o'rtacha tezlik ϑ bilan almashtiriladi. Bu esa Bernulli tenglamasi foydalilanidigan hisoblash ishlarida katta qulaylik tug'diradi. Bu holda elementar oqimcha geometrik balandligi bo'yicha integral oqimning harakat kesimi og'irlik markazining geometrik balandligiga, bosim bo'yicha

integral esa ana shu geometrik balandlikdagi nuqtaga qo'yilgan bosimga aylanadi. Elementar oqimchaning 1-1 va 2-2 kesimlarda bosimning kamayishi bo'yicha integral ham oqim uchun bosimning o'rtacha kamayish miqdoriga aylanadi. Solishtirma kinetik energiyaning integralini tezlikning o'rtacha qiymati bo'yicha kinetik energiya bilan almashtirsak, uning miqdori kamayib qoladi. Integral cheksiz ko'p miqdorlarning yig'indisi bo'lGANI uchun buni yig'indilar kvadratlarining misolida ko'ramiz. Masalan, $u_1 = 10 \text{ m/s}$, $u_2 = 11 \text{ m/s}$, $u_3 = 9 \text{ m/s}$, $u_4 = 12 \text{ m/s}$, $u_5 = 8 \text{ m/s}$ bo'lsin. U holda o'rtacha tezlik:

$$g = \frac{u_1 + u_2 + u_3 + u_4 + u_5}{5} = 10 \text{ m/s},$$

tezliklar kvadratlarining o'rtacha qiymati

$$\frac{u_1^2 + u_2^2 + u_3^2 + u_4^2 + u_5^2}{5} = \frac{510}{5} = 102 \text{ m}^2/\text{s}^2,$$

o'rtacha tezlikning kvadrati esa $v^2 = 100 \text{ m}^2/\text{s}$. Bundan ko'rinish turibdiki, tezliklar kvadratlarining yig'indisi o'rtacha tezlik kvadratidan katta ekan. Shunday qilib, quyidagi tengsizlik to'g'ri ekanligini ko'rish mumkin:

$$\int \frac{u^2}{2g} d\omega > \frac{u^2}{2g} \omega.$$

Bu tengsizlikni integrallash yo'li bilan ham isbotlash mumkin. (Bunday isbotni talabalarning o'zları bajarishini taklif qilamiz). Bu xatoni tuzatish uchun Bernulli tenglamasining birinchi hadiga α koeffitsiyentini kiritamiz. Bu koeffitsiyent tezlikning bir tekis miqdorda bo'lmashagini ifodalaydi va Koriolis koeffitsiyenti deb ataladi. U holda

$$\alpha = \frac{\int \frac{u^2}{2g} d\omega}{\frac{v^2}{2g} \omega}.$$

Shunday qilib, yuqorida aytildiganlarga asosan (3.47) tenglama quyidagi ko'rinishga keladi:

$$\frac{\alpha_1 u_1^2}{2g} + \frac{P_1}{\gamma} + z_1 = \frac{\alpha_2 u_2^2}{2g} + \frac{P_2}{\gamma} + z_2 + H_{1-2}, \quad (3.48)$$

bu yerda α_1, α_2 – birinchi va ikkinchi kesimlarda tezlikning notekis tarqaganini hisobga oluvchi koeffitsiyent; H_{1-2} – birinchi va ikkinchi kesimlar orasida naporning (bosimning) kamayishi.

Oqim uchun Bernulli tenglamasida qolgan boshqa hadlar elementar oqimcha uchun Bernulli tenglamasida qanday atalsa, bu yerda ham shunday ataladi. Bu tenglama gidrodinamika masalalarini hal qilishda eng muhim

tenglama bo'lib, u barqaror harakatlar uchun yozilgan va tezlik harakat kesimi bo'yicha qancha kam o'zgarsa, shuncha kam xatolik beradi.

3.11. Real gazlar oqimi uchun Bernulli tenglamasi

Odatda, harakat yo'nalishi bo'yicha bosim kamayib boradi. Suyuqliklarda hajmiy siqilish koeffitsiyenti β , juda kichik bo'lgni uchun bu o'zgarish suyuqliknинг fizik xossalariга ta'sir qilmaydi. Lekin gazlarda bosimning ozgina o'zgarishi ham uning parametrlariga ta'sir qiladi. Bundan tashqari, gazlarda suyuqliklarga qaraganda tezlik bir necha o'n baravar katta bo'ladi. Bu esa bosimga va gazning fizik xossalariга, birinchi galda uning solishtirma og'irligiga ta'sir qiladi. Ammo gaz oqimining ko'ndalang kesimi bo'yicha tezlik deyarli o'zgarmaydi. Shuning uchun gazlarda $\alpha \approx 1$ bo'ladi. Gazlar uchun tezlik, bosim, solishtirma og'irlilik tez o'zgaradi uchun birinchi va ikkinchi kesim (3.16-rasm) orasidagi masofani cheksiz kichik Δ deb olamiz. U holda Bernulli tenglamasi differensial ko'rinishda quyidagicha yoziladi:

$$d\left(\frac{g^2}{2g}\right) + \frac{dp}{\gamma} + dz - dh_{l-2} = 0 \quad (3.49)$$

bu yerda

$$\begin{aligned} d\left(\frac{g^2}{2g}\right) &= \lim_{\Delta \rightarrow 0} \left(\frac{g_2^2 - g_1^2}{2g} \right) \\ d\left(\frac{p}{\gamma}\right) &= \lim_{\Delta \rightarrow 0} \left(\frac{p_2 - p_1}{\gamma} \right) \\ dz &= \lim_{\Delta \rightarrow 0} (z_2 - z_1). \end{aligned}$$

Endi (3.49) tenglamadan integral olamiz. U holda (3.49) quyidagi ko'rinishga ega bo'ladi:

$$\int d\left(\frac{g^2}{2g}\right) + \int \frac{dp}{\gamma} + \int dz - \int dh_{l-2} = const \quad (3.50)$$

Bu tenglikda birinchi, uchinchi va to'rtinchi integrallarni hisoblash oson:

$$\int d\left(\frac{g^2}{2g}\right) = \frac{g^2}{2g}; \quad \int dz = z; \quad \int dh_{l-2} = h_{l-2}.$$

Uchinchi integralni hisoblashda solishtirma og'irlilik bosimga bog'liq ekanligini nazarga olish kerak bo'ladi. Jarayonni politropik deb qarasak, u holda

$$\frac{p}{\gamma^n} = \frac{p_0}{\gamma_0^n}$$

bo'ladi. Bu tenglikdan

$$\gamma = p^n \frac{\gamma_0}{\frac{1}{p_0^n}}, \quad (3.51)$$

bu yerda n - politropiya ko'rsatkichi; γ_0 - boshlang'ich holatdagi solishtirma og'irlilik; p_0 - boshlang'ich holatdagi bosim. Oxirgi munosabatdan foydalanimiz va γ_0 , p_0 o'zgarmas ekanligini hisobga olib, ikkinchi integralni quyidagicha hisoblaymiz:

$$\int \frac{dp}{\gamma} = \int \frac{\frac{1}{\gamma}}{\gamma_0} = \frac{p_0^n}{\gamma_0} \int \frac{dp}{\frac{1}{p^n}} = \frac{p_0^n}{\gamma_0} \frac{p^{1-\frac{1}{n}}}{1-\frac{1}{n}}.$$

(3.51) dan yana bir marta foydalansak, quyidagini olamiz:

$$\int \frac{dp}{\gamma} = \frac{p_0^n}{\gamma} \frac{p^{1-\frac{1}{n}}}{1-\frac{1}{n}}.$$

Natijada (3.40) tenglama quyidagi ko'rinishga ega bo'ladi:

$$\frac{g^2}{2g} + \frac{n}{n-1} \frac{p}{\gamma} + z - h_n = \text{const} \quad (3.52)$$

Tenglamani ikkita kesim uchun yozamiz:

$$\frac{g_1^2}{2g} + \frac{n}{n-1} \frac{p_1}{\gamma_1} + z_1 = \frac{g_2^2}{2g} + \frac{n}{n-1} \frac{p_2}{\gamma_2} + z_2 + h_{n-2}. \quad (3.53)$$

Bu tenglama real gazlar oqimi uchun Bernulli tenglamasıdir. Suyuqlik uchun Bernulli tenglamasi uchta qiymat ϑ , p , z ni bog'lagan bo'lsa, bu tenglama to'rtta qiymat ϑ , p , z , γ ni bog'laydi. Shuning uchun gazlar harakati tekshirilganda Bernulli tenglamasi (3.21) bilan birlgilikda foydalaniлади.

3.12. Gidravlik va pezometrik qiyaliklar haqida tushuncha

Gidravlikada hisoblash ishlarini bajarishda gidravlik I va pezometrik I_p qiyaliklardan foydalaniлади.

Bosim chizig'inining uzunlik birligiga to'g'ri kelgan pasayishi gidravlik qiyalik deb ataladi.

1.38-rasmda oqim uchun bosim va pezometrik chiziqlar keltirilgan. Bu chiziqlar umumiy holda egri chiziq bo'lib, rasmda to'g'ri chiziq ko'rinishda tasvirlangan. Gidravlik qiyalikning ta'rifidan ko'rinish turibdiki, uning o'rtacha qiymati 1-1 va 2-2 kesimlar orasidagi qiyalik orqali quyidagicha aniqlanadi:

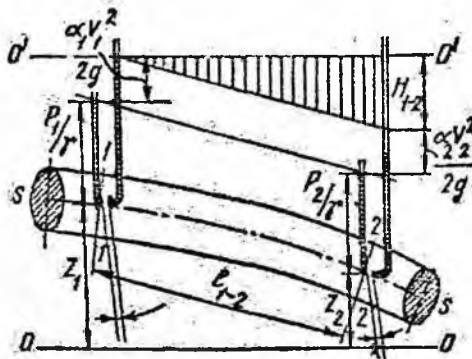
$$I_{l_{1-2}} = \frac{\left(\frac{\alpha_1 g_1^2}{2g} + \frac{p_1}{\gamma} + z_1 \right) - \left(\frac{\alpha_2 g_2^2}{2g} + \frac{p_2}{\gamma} + z_2 \right)}{l_{1-2}} = \frac{H_{1-2}}{l_{1-2}} \quad (3.54)$$

bu yerda l_{1-2} – birinchi va ikkinchi kesimlar orasidagi masofa; H_{1-2} – shu masofa orasida dam (bosim) ning pasayishi.

Agar bosim chizig‘i egri chiziq bo‘lsa, u holda gidravlik qiyalik differensial ko‘rinishda yoziladi:

$$I = \frac{dH}{dl} = \frac{d\left(\frac{\alpha g^2}{2g} + \frac{p}{\gamma} + z\right)}{dl}.$$

Pezometrik chiziqning uzunlik birligiga to‘g‘ri kelgan pasayishi pezometrik qiyalik deb ataladi. Birinchi va ikkinchi kesim orasidagi (3.15-rasm) o‘rtacha pezometrik qiyalik quyidagicha aniqlanadi:



3.16-rasm. Gidravlik va pezometrik nishabliklar.

$$I_{p_{1-2}} = \frac{\left(\frac{p_1}{\gamma} + z_1 \right) - \left(\frac{p_2}{\gamma} + z_2 \right)}{l_{1-2}}. \quad (3.55)$$

Pezometrik qiyalik I_p pezometrik chiziq egri chiziq bo‘lganda differensial ko‘rinishda aniqlanadi:

$$I_p = - \frac{d\left(\frac{p}{\gamma} + z\right)}{dl}.$$

Tekis harakat vaqtida tezlik o‘zgarmaganligi ($\vartheta_1 = \vartheta_2$) uchun gidravlik va pezometrik qiyaliklar teng bo‘ladi.

3.13. Gidravlik yo'qotish haqida tushuncha. Gidravlik yo'qotishning turlari

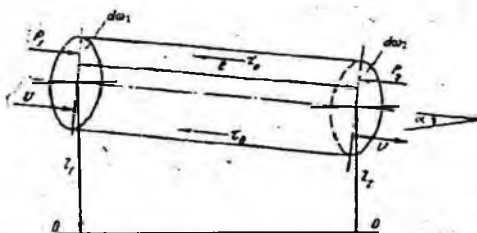
Real suyuqliklarda ikki kesim orasida energiya yo'qotilishini H_{1-2} bilan belgiladik. Bu yo'qotish suyuqliklardagi qovushqoqlik kuchi hisobiga bo'ladi, ya'ni u shu kuchni yengishga sarf bo'ladi.

Quvurlardagi harakatni tekshirganimizda masala asosan ishqalanish kuchini yengish uchun sarf bo'lgan yo'qotishni hisoblashga keladi. Bu holda quvurning 1-1 va 2-2 kesimlarining sirti teng bo'lgani uchun tezliklari ham teng bo'ladi (3.17-rasm), ya'ni harakat tekis bo'ladi. 1-1 va 2-2 kesimlar orasidagi suyuqlik ustuniga ta'sir qiluvchi kuchlar:

- 1) $P_1 = p_1$ va $P_2 = p_2 \omega$ - bosim kuchlari;
- 2) $G = \gamma \omega_1 - \text{og'irlilik kuchi};$
- 3) $T = \pi \tau Dl$ - ishqalanish kuchidir.

1-1 va 2-2 kesimlar orasidagi suyuqlikning muvozanat holati tenglamasi unga ta'sir qilayotgan kuchlar orqali quyidagicha yoziladi:

$$P_1 - P_2 + G \sin \alpha - T = 0.$$



3.17- rasm. Gidravlik yo'qotish tushunchasiga doir chizma.

$\sin \alpha = \frac{z_1 - z_2}{l}$ ekanligini hisobga olsak, yuqoridagi tenglama quyidagi ko'rinishiga keladi:

$$p_1 \omega - p_2 \omega + \gamma \omega l \frac{z_1 - z_2}{l} + \pi \tau Dl = 0$$

Bundan tekis harakat uchun Bernulli tenglamasi kelib chiqadi:

$$\frac{p_1}{\gamma} + z_1 = \frac{p_2}{\gamma} + z_2 + \frac{\tau \pi Dl}{\gamma \omega}.$$

Bu tenglamani (3.48) tenglama bilan solishtirsak va uni tekis harakat ($v_1 = v_2$) uchun qo'llasak, gidravlik yo'qotish uchun quyidagi munosabatni olamiz:

$$h_{1-2} = \frac{\tau \pi Dl}{\gamma \omega} \quad (3.56)$$

bu yerda l – oqim uzunligi; D – quvur diametri. Gidravlik yo'qotish, odatda, ikki turga ajratiladi:

1. Uzunlik bo'yicha (ishqalanish kuchiga sarf bo'lgan) yo'qotish oqim uzunligi bo'yicha harakat hisobiga vujudga keladi, va uning uzunligiga bog'liq bo'ladi. Bu yo'qotish (3.56) formula ko'rinishida ifodalanadi.

2. Mahalliy qarshilik oqimning ayrim qismlarida notejis harakat hisobiga vujudga keladi. Notejis harakatni vujudga keltiruvchi qismlar quvur yoki o'zanning kesim shakkari, o'zgargan joylari (tirsaklar, to'siqlar, keskin kengayishlar, keskin torayishlar, kranlar va h.) bo'lib, bu yerdagi gidravlik yo'qotish uzunlikka bog'liq emas.

Umumiyoq gidravlik yo'qotish bu ikki yo'qotishning yig'indisiga teng
$$H_u = H_l + H_m \quad (3.57)$$

bu yerda H_l – uzunlik bo'yicha yo'qotish; H_m – mahalliy qarshilik.

Gidravlik yo'qotish suyuqlikning kinetik energiyasiga bog'liq bo'lib, energiya ortishi bilan ortadi, kamayishi bilan esa kamayadi. Shuning uchun gidravlik yo'qotishni suyuqlik kinetik energiyasiga proporsional qilib olinadi.

3.14. Tezlik va sarf o'lchanash usullari hamda asboblari

Suyuqlik sarfini va tezligini o'lchanashning eng oson usuli hajmiy va og'irlilik usullaridir.

1. Hajmiy usulda tekshirilayotgan oqimdan suyuqlik maxsus darajalangan idish (menzurka) ga tushadi. Idishning to'lishi vaqtin sekundomer yordamida aniq o'lchanadi. Agar idishning hajmi V , o'lchanash vaqt T bo'lsa, hajmiy sarf quyidagiga teng bo'ladi:

$$Q = \frac{V}{T}$$

Oqimning harakat kesimi ma'lum bo'lsa, uning tezligi (3.4) formula bilan aniqlanadi.

2. Og'irlilik usulida biror idishga oqimdan suyuqlik tushiriladi. Tarozida o'lchanash yo'li bilan idishdagi suyuqlikning og'irligi topiladi. Idishning to'lishi vaqtin T bo'lsa, og'irlilik sarfi quyidagiga teng:

$$G = \frac{GV}{T}$$

Suyuqlikning hajmiy sarfi og'irlilik bo'yicha sarfini solishtirma og'irlikka bo'lish yo'li bilan aniqlanadi:

$$Q = \frac{G}{\gamma}$$

Bu usullar, albatta, kichik miqdordagi sarflarni o'lchash uchun qo'llaniladi. Katta sarflarni o'lchash uchun esa juda katta o'lchov idishlari kerak bo'лади. Ikkinchidan, quvur va kanallarda sarfnii yuqoridagi usul bilan o'lchaganda oqimning tuzilishi o'zgaradi va o'lchash natijasi katta xatolar bilan chiqadi. Shuning uchun ko'pincha quvurlar va kanallardagi sarf boshqa usullar bilan o'lchanadi.

3. Venturi suv o'lchagichi maxsus quvurdan suv o'tishiga asoslangan bo'lib, tuzilishi sodda va harakatlanuvchi qismlari yo'qdir (3.18-rasm). Bu asbob talabga qarab vertikal yoki gorizontal joylashtiriladi. Uning gorizontal holdagisini ko'ramiz.

Venturi suv o'lchagichi ikkita bir xil d_1 diametrli 1 va 2 quvur bo'laklaridan tashkil topgan bo'lib, ular 3 va 4 diffuzorlar hamda kichik d_2 diametrli quvur bo'lagi (patrubok) orqali tutashtirilgandir. Uning 1-1 va 2-2 kesimlariga pezometrik naychalar o'rnatilgan bo'lib, ular shu kesimlardagi bosimlar farqi h ni ko'rsatadi. Quvur gorizontal bo'lgani uchun ($z_1 = z_2$), 1-1 va 2-2 kesimlariga Bernulli tenglamasi quyidagicha yoziladi:

$$\frac{g_1^2}{2g} + \frac{P_1}{\gamma} = \frac{g_2^2}{2} + \frac{P_2}{\gamma},$$

bundan

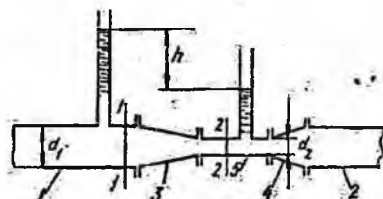
$$\frac{P_1}{\gamma} - \frac{P_2}{\gamma} = \frac{u_2^2}{2g} - \frac{u_1^2}{2g}$$

lekin $\frac{P_1}{\gamma} - \frac{P_2}{\gamma} = h$ bo'lgani uchun

$$h = \frac{g_2^2}{2g} - \frac{g_1^2}{2g}$$

Uzilmaslik tenglamasi (3.14) ga asosan

$$g_1 = g_2 \frac{\omega_2}{\omega_1},$$



3.18- rasm. Venturi suv o'lchagichi.

u holda

$$h = \frac{g_2^2}{2g} \left[1 - \left(\frac{\omega_2}{\omega_1} \right)^2 \right].$$

bundan 2-2 kesimdagи tezlikni topamiz:

$$\vartheta_2 = \sqrt{\frac{2gh}{1 - \left(\frac{\omega_2}{\omega_1}\right)^2}} \quad (3.58)$$

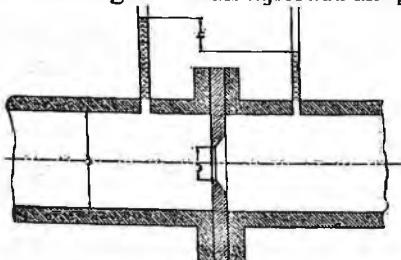
U holda suyuqlik sarfi quyidagicha aniqlanadi:

$$Q = \vartheta_2 \omega_1 = \omega_2 \sqrt{\frac{2gh}{1 - \left(\frac{\omega_2}{\omega_1}\right)^2}} \quad (3.59)$$

Bu formula ideal suyuqlik uchun chiqarilgan. Haqiqatda ikki kesim o'rtaida bosim pasayishi va tezliklarning kesim bo'yicha bir tekis tarqalmaganligi uchun yuqoridagi formula bo'yicha olingan natija haqiqiy sarfdan farq qiladi. Shuning uchun sarf formulasiga tuzatma koeffitsiyent m ni kiritamiz:

$$Q = m \omega_2 \sqrt{\frac{2gh}{1 - \left(\frac{\omega_2}{\omega_1}\right)^2}}$$

m koeffitsiyenting qiymati turli suv o'lchagichlar uchun har xil bo'lib, ular tegishli suv o'lchagich uchun tajribada aniqlab



3.19- rasm Suv o'lchagich shayba.

qo'yiladi. Hisoblash ishlarida sarf, odatda, quyidagi soddalashtirilgan formula bilan hisoblanadi:

$$Q = c \sqrt{h}, \quad (3.60)$$

bu yerda

$$c = m \omega_2 \sqrt{\frac{2g}{1 - \left(\frac{\omega_2}{\omega_1}\right)^2}}$$

koeffitsiyent suv o'lshagich doimiysi deb ataladi va har bir berilgan suv o'lchagich uchun hisoblab qo'yiladi.

4. Suv o'lchagich shayba (diafragma) ikki quvur bo'lagi o'rtasiga o'matilgan halqadan iborat bo'lib (3.19- rasm) uning ichki aylanma teshigining chekkalari 45° burchak ostida qiyalangan yoki oqib o'tuvchi oqimcha shaklida silliqlashgan (soplo ko'rinishda) bo'ladi. Halqaning ikki tomoniga ikki pezometr yoki differensial manometr o'rnatilgan bo'lib, ular diafragmaning ikki tomonidagi bosimlar farqini aniqlashga yordam beradi.

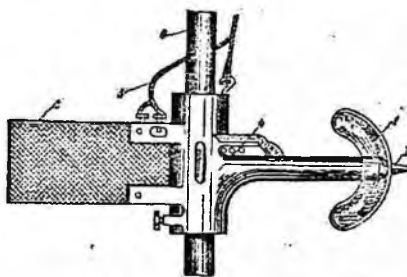
Sarf pezometrlardagi suyuqlik sathlarining farqi orqali, quyidagi formula yordamida aniqlanadi:

$$Q = c_1 \sqrt{h}. \quad (3.61)$$

s_1 koeffitsiyent har bir diafragma uchun tajriba asosida aniqlanadi.

5. Vertushka (pirildoq) va 1 2 ga o'rnatilgan aylanma kurakchalar 1 ga ega bo'lgan g'ildirak bo'lib, asosiy korpusga mahkamlanadi (3.20-rasm). Vertushka suv oqimiga to'g'ri yo'naltirilishi uchun korpus 4 ga qanotcha o'rnatilgan. Vertushkadan o'tkazgichlar 3 elektr qo'ng'iroq tortilgan bo'lib, kurakchalar aylanganda elektr zanjirini tutashtiradi va qo'ng'iroq jiringlaydi yoki maxsus schyotchik aylanish sonini avtomatik hisoblaydi. Suvga tushirilgan vertushkalarning kurakchalari suvning tezligiga qarab sekinroq yoki tezroq aylanadi. Shuning uchun suyuqliknинг tezligi schyotchikning ko'rsatkichi yoki vaqt birligida qo'ng'iroqning jiringlash soniga qarab aniqlanadi. Kanallarda suyuqlik sarfini topish uchun ularning ko'ndalang kesimini $\Delta\omega_1, \Delta\omega_2, \Delta\omega_3, \dots$ elementar yuzalarga bo'lib chiqamiz (3.20-rasm). Bu yuzalarning geometrik markazlarida tezliklarni vertushka yordamida o'lchab, ularni yuzalarga ko'paytirsak, har bir kesim bo'yicha sarf kelib chiqadi:

$$q_1 = \Delta\omega_1 \vartheta_1; \quad q_2 = \Delta\omega_2 \vartheta_2; \dots \dots \dots \quad q_n = \Delta\omega_n \vartheta_n$$



3.20- rasm. Pirildoq.

Kanalda oqayotgan suyuqlik sarfi bu sarflarning yig'indisiga tengdir;

$$Q = \sum_{i=1}^n q_i - \Delta\omega_1 \vartheta_1 + \Delta\omega_2 \vartheta_2 + \Delta\omega_3 \vartheta_3 + \dots + \Delta\omega_n \vartheta_n \quad (3.62)$$

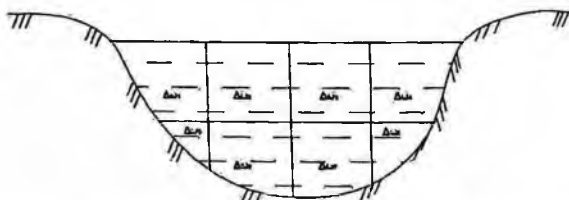
Bu usul gidrometrik o'lhashlarda eng ko'p qo'llaniladigan usuldir.

6. Pito naychasi uchi to'g'ri burchak hosil qilib egilgan naycha bo'lib, uning egilgan uchi suyuqlik oqimi yo'nalishiga qarama-qarshi qilib qo'yiladi. Naychaning ikkinchi uchi suyuqlikdan tashqariga chiqib turadi. (3.21-rasm a). Bu holda ozod sirtda va naychadagi suyuqlik sathida bosim atmosfera bosimga teng. Shuning uchun naychadagi suyuqlikning balandligi h oqimning tezlik bosimini beradi, ya'ni

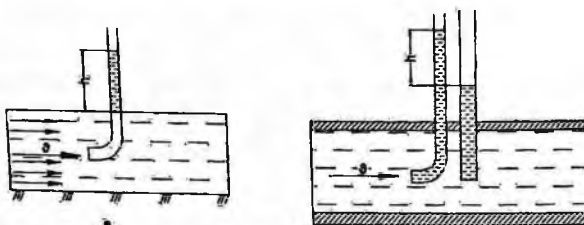
$$h = \frac{g^2}{2g}$$

Bundan tezlikni topish formulasi kelib chiqadi:

$$\theta = \sqrt{2gh} \quad (3.63)$$



3.21-rasm. Kanallarning kesimini elementar yuzalarga bo'lish.



3.22- rasm. Tezlik o'lchagich naychalar.

Tezlikning haqiqiy miqdori (suyuqlik tushirilgan naycha harakat tartibini buzganligi uchun) oxirgi formula bilan hisoblangan miqdorga to'g'ri kelmaydi. Shuning uchun bu formulaga tuzatish koeffitsiyenti α kiritiladi:

$$\theta = \alpha \sqrt{2gh} \quad (3.64)$$

bu yerda α – koeffitsiyent; u har bir naycha uchun tajriba yo'li bilan aniqlab qo'yiladi.

Pito naychasi ochiq sirtli oqimlarda tezlikni o'lchach uchun qo'llaniladi.

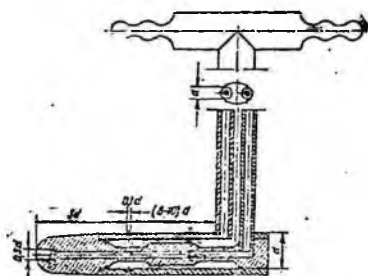
Prandtl naychasi Pito naychasining qulaylashtirilgani bo'lib, u quvurlardagi tezliklarni o'lhash uchun qo'llaniladi (3.22-rasm, b) va ikkita

naychadan iborat bo'ladi. Ulardan biri Pito naychasi va ikkinchisi pezometrdir. Pezometrdagi suyuqlik balandligi pezometrik bosimni bersa, Pito naychasidagi suyuqlik balandligi to'liq bosim $\frac{P}{\gamma} + \frac{\theta^2}{2g}$ ni beradi. Shuning uchun bu ikki naychadagi balandliklar farqi tezlik bosimini beradi va uning yordamida tezlik topiladi:

$$\theta = \alpha \sqrt{2gh} \quad (3.65)$$

Hozirgi mavjud asboblarda bu ikkita naycha bitta katta naycha ichiga joylashtirilgan (3.22-rasm) bo'lib, ularning uchlari mikromanometr yoki differensial manometrlarga tutashtirilgan. Agar manometrlardagi suyuqlik oqayotgan suyuqlikdan farq qilsa, Prandtl naychasing uchi tushirilgan nuqtadagi tezlik quyidagi formula bilan topiladi:

$$\theta = \alpha \sqrt{2gh \left(\frac{\gamma_1}{\gamma} - 1 \right)} \quad (3.66)$$



3.23- rasm. Prandtl naychasi.

bu yerda h – difmanometr naychalaridagi sathlar farqi; γ_1 va γ – difmanometrdagi va tekshirilayotgan (oqayotgan) suyuqliklar solishtirma og'irliliklari; α – tajribadan topiladigan qiymati 1 dan 1,04 gacha o'zgaruvchi koefitsiyent. Prandtl naychasi yordamida suyuqlik oqimi kesimining har xil nuqtalarida tezlikni o'lchab, bu kesim bo'yicha tezlikning o'zgarishini va sarfini topish mumkin.

III bob bo'yicha nazorat savollari:

1. Bosimi teng sirtning tenglamasini ko'rsating.
2. Qanday kuch zo'riqish kuchi deyiladi?
3. Tezlik va sarf o'lchash usullarining qanday turlari mavjud?
4. Gidravlik yo'qotishning turlari.
5. Tezlik va sarf o'lchash usullari.
6. Pitonaychasi.

IV BOB. SUYUQLIK HARAKATINING TARTIBLARI VA GIDRODINAMIK O'XSHASHLIK ASOSLARI

Amalda ko'p hollarda turli quvurlar sistemasini hisoblashga to'g'ri keladi. Bunday hisoblashlar kimyo, to'qimachilik, neft sanoatida, gidrotexnika inshootlarida va boshqa ko'pgina joylarda uchraydigan turli gidromashinalarning qismlari, vodoprovodlar, issiqlik almashtirgichlar kabi sistemalar uchun qo'llaniladi. Bu sistemalarni hisoblash ularda suyuqlikning qanday tezlikda va qanday sharoitda oqishiga bog'liq. Shunga asosan suyuqliklar harakatining turli tartiblari tekshiriladi va harakat tartibiga qarab turlicha hisoblash ishlari olib boriladi.

4.1. Suyuqlik harakatining ikki tartibi. Reynolds kritik soni

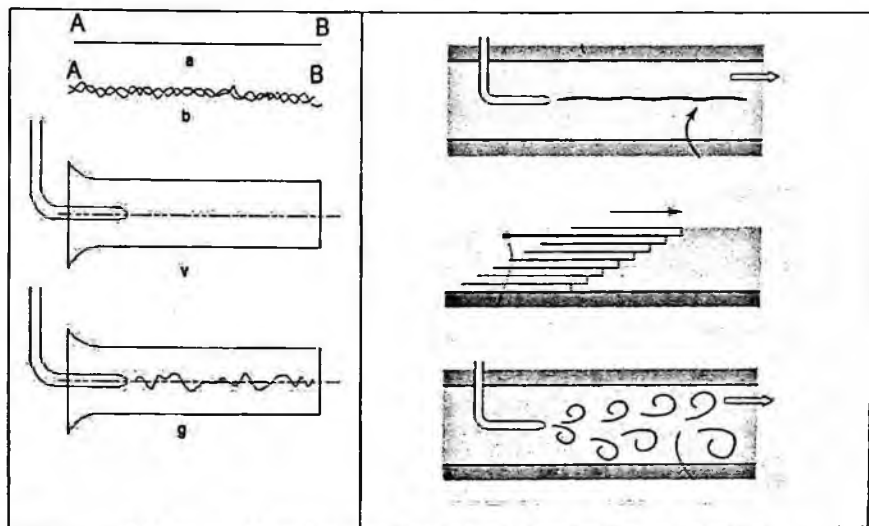
Ko'p hollarda quvurlardagi suyuqlik tekis harakatda bo'ladi, ya'ni tezlik oqim yo'nalishi bo'yicha o'zgarmaydi. Bu holda harakatning qanday bo'lishiga, asosan, ichki ishqalanish kuchi ta'sir qiladi. Bu holda uning ikki kesimidagi bosimlar farqi ishqalanish kuchining va geometrik balandliklar farqining katta yoki kichikligiga bog'liq bo'ladi. Bu kuchlarning ta'sirida quvurlardagi harakat tezligi har xil bo'lishi mumkin. Tezlikning kattakichikligiga qarab suyuqlik zarrachalari batartib yoki betartib harakat qiladi. Bu harakatlar, odatda, asosan ikki tartibli harakatga ajratiladi: laminar harakat va turbulent harakat.

Laminar harakat vaqtida suyuqlik zarrachalari qavat-qavat bo'lib joylashadi va ular bir qavatdan ikkinchi qavatga o'tmaydi. Boshqacha aytganda, suyuqlik zarrachalari oqimlar harakatiga ko'ndalang yo'nalishda harakatlanmaydi va uni quyidagicha ta'riflash mumkin.

Agar harakat fazosida biror A nuqta tanlab olsak, shu nuqtada albatta suyuqlikning biror zarrachasi bo'ladi. Harakat natijasida shu zarracha *A* nuqtadan siljib uning o'rmini boshqa zarracha egallaydi. Ikkinchi zarracha ham *A* nuqtada to'xtab turmaydi va uning o'rmini uchinchi zarracha egallaydi va hokazo. Endi *A* nuqtaga birinchi kelgan zarracha harakatlanib, biror *B* nuqtaga *AB* chizigi (4.1-rasm, a) bo'yicha kelsa, uning ketidan kelgan ikkinchi zarracha ham *A* nuqtadan *B* nuqtaga *AB* chizig'i bo'yicha kelsa, uchinchi zarracha ham aniq *AB* chizig'i bo'yicha yursa va *A* nuqtaga kelgan boshqa zarrachalar ham *AB* chizig'i orqali *B* nuqtaga kelsa, bunday harakat *laminar harakat* deyiladi. Ba'zi vaqtida laminar harakatning bunday tartibi *parallel oqimli* yoki *tinch harakat* deb ataladi.

Laminar harakatni tajribada kuzatish uchun suyuqlik oqayotgan shisha quvurning boshlang'ich kesimiga shisha naycha orqali rangli suyuqlik keltirib qo'shib yuborsak, rang suyuqlikda aralashmasdan to'g'ri chiziq bo'yicha oqim ko'rinishida ketadi (4.1-rasm, v).

Agar suyuqlikning tezligini oshirib borsak, harakat tartibi o'zgarib boradi. Tezlik ma'lum bir chegaradan o'tganidan keyin, zarrachalar kinetik energiyasi ko'payib ketishi natijasida, ular ko'ndalang yo'nalishda ham harakat qila boshlaydi. Natijada zarrachalar o'zi harakat qilayotgan qavatdan qo'shni qavatga o'tib, energiyasining bir qismini yo'qotib, o'z qavatiga qaytib keladi. Oqim tezligi juda oshib ketsa, zarrachalar bir qavatdan ikkinchi qavatga tez o'ta boshlaydi. Natijada suyuqlik harakatining tartibi buziladi. Bunday harakat turbulent harakat deyiladi.



4.1. rasm. Laminar va turbulent harakatga oid chizma

Yuqorida aytganimizdek, A nuqtadan o'tayotgan zarrachalarni ko'rsak, birinchi zarracha B nuqtaga tekis chiziq bilan emas, qandaydir egribugri chiziq bo'yicha keladi. Hatto u nuqtaga aniq kelmasligi mumkin. Birinchining ketidan kelayotgan ikkinchi zarracha ham A dan B ga egribugri chiziq bilan keladi. Lekin bu chiziq birinchi zarracha yurgan chiziqdan farq qiladi. Uchinchi zarracha esa A dan B ga uchinchi egri-bugri chiziq bilan keladi. Shunday qilib turbulent harakatda ixtiyoriy A nuqtadan o'tuvchi har bir suyuqlik zarrachasi B nuqtaga o'ziga xos egri chiziq bilan keladi (4.1-rasm, b), ba'zi zarrachalar B nuqtaga kelmasligi ham mumkin.

Yuqorida aytilgan usul bilan quvurda oqayotgan suyuqlik oqimining boshlang'ich kesimida rang qo'shib yuborsak, u tezlikning ma'lum bir miqdordan boshlab egrи chiziq bo'yicha ketadi (4.1-rasm, g). Tezlikni oshirishni davom ettirsak, rang suyuqlikda butunlay aralashib ketadi. Bundan ko'rindiki, suyuqlikning parallel oqimli tartibi buziladi. Suyuqlik harakatining bu ikki tartibini ingliz olimi O. Reynolds tajribada har tomonlama tekshirgan va natijalarini 1883 yilda e'lon qilgan. Reynolds suyuqliklar harakatining muhim qonuniyatini kashf qildi. Suyuqlik harakatini tezlikning oqim o'lchamiga ko'paytmasining qovushqoqlik kinematik koeffitsiyentiga nisbatidan iborat o'lchovsiz miqdor xarakterlar ekan. Bu miqdor olimning hurmatiga *Reynolds soni* deb ataladi va formulalarda Re bilan belgilanadi. Silindrik quvurlardagi oqim uchun Reynolds soni quyidagicha qisoblanadi:

$$Re = \frac{9d}{v} \quad (4.1)$$

Turli shakldagi nosilindrik quvurlar va o'zanlardagi oqimlar uchun Reynolds soni quyidagicha o'lchanadi:

$$Re = \frac{9d_{ekv}}{v} = \frac{49R}{v} \quad (4.2)$$

bu yerda d – quvurning ichki diametri; d_{ekv} – o'zan yoki nosilindrik quvurning ekvivalent diametri: $d_{ekv} = 4R$; R – gidravlik radius.

Reynolds aniqlashicha, yuqorida aytilgan o'lchovsiz miqdorning kichik qiymatlarida laminar harakat bo'lib, uning oshib borishi natijasida u turbulent harakatga aylanadi. (4.1) dan ko'rinish turibdiki, Reynolds soni Re oshishi uchun yo tezlik, yoki quvur diametri ortish, yoki bo'limsa qovushqoqlik kinematik koeffitsiyenti kamayishi kerak. Suyuqlikning laminar harakatdan turbulent harakatga, o'tishini Reynolds soni Re ning ma'lum kritik miqdori bilan aniqlanadi va u Reynolds soni kritik soni deb atalib, Re_{kr} bilan belgilanadi. Bu son silindrik quvurlar uchun $Re_{kr}=2320$.

Agar oqimni juda silliq quvurda, har qanday eng kuchsiz turki va tebranishlardan holi bo'lган sharoitda tekshirsak, Reynolds kritik soni 2320 dan ortiq, hatto bir necha marotaba ortiq bo'lishi mumkin. Lekin Reynolds soni ma'lum bir qiymatdan o'tganidan keyin harakat, qanday ehtiyyot choralarini ko'rilmasin, albatta turbulent bo'ladi. Bu son Reynolds yuqori kritik soni deb ataladi va $Re_{kr,yu} = 10000$ ga teng bo'ladi. Bu songa qiyos qilib, yuqorida keltirilgan kritik son Reynolds quiyi kritik soni $Re_{kr,q} = 2320$ deb ataladi. Reynolds soni $Re_{kr,q}$ dan kichik bo'lгanda barqaror laminar harakat bo'ladi, u $Re_{kr,yu}$ dan katta bo'lгanda esa turbulent harakat barqarorlashgan bo'ladi. Agar Reynolds soni bu ikki miqdor o'rtasida, ya'ni

$Re_{kr,q} > Re > Re_{kr,yu}$ bo'lsa, turbulent harakat beqaror bo'lib, bu holatni o'tkinchi tartib deyiladi. Shunday qilib, suyuqlik harakatida asosan ikki tartib laminar va turbulent tartib mavjud. Bu tushunchani yana aniqroq ifodalasak, u holda uch xil tartib mavjud bo'lib, ular Reynolds soniga bog'liq:

- 1) laminar tartib $Re < 2320$ da;
- 2) o'tkinchi tartib $2320 > Re > 10000$ da;
- 3) barqarorlashgan turbulent tartib $Re > 10000$ da.

Suyuqlik harakatini tekshirishda va turli gidrosistemalarni hisoblashda harakat tartibining qanday bo'lishiga qarab foydalaniladigan formulalar va miqdorlar turlicha bo'ladi. Shuning uchun turli hisoblashlarni bajarishdan oldin harakatning laminar yoki turbulent tartibda ekanligini (4.1) formula yordamida aniqlab olish zarur bo'ladi.

Suyuqliklarda ichki qarshiliklar ham harakat tartibiga qarab har xil hisoblanadi. Tajribalarning ko'rsatishicha, laminar harakat vaqtida bosimning pasayishi o'rtacha tezlikning birinchi darajasiga

$$H_{1-2} = k_L g,$$

turbulent harakatda esa uning n – darajasiga proporsional bo'ladi.

$$H_{1-2} = k_T g^n$$

bu yerda K_L , K_T – laminar va turbulent harakat uchun proporsionallik koeffitsiyentlari; n - daraja ko'rsatkichi; u 1,75 va 2 orasida o'zgaradi. Reynolds soni ortishi bilan daraja ko'rsatkichi n ortib boradi. Barqaror turbulent harakat bo'lganda $n = 2$ bo'ladi.

4.2. Gidrodinamik o'xshashlik asoslari. Gidrodinamik hodisalarni modellash

Texnikada gidravlik qurilmalarini yaratish yoki tabiatdagi biror voqeani tekshirish uchun laboratoriya sharoitida uning kuchaytirilgan modellarida tajribalar o'tkaziladi va bu tajribalar natijasiga qarab asosiy qurilma yoki hodisa haqida xulosa chiqariladi. Modellarni yasash va ularda olingan natijalarni rostakam nusxaga o'tkazish uchun model bilan rostakam hodisani bir-biri bilan bog'lovchi qonuniyatlarni bilish zarur bo'ladi. Rostakam nusxa bilan model o'rtaсидаги bu qonuniyatlar o'xshashlik qonuniyatları deb ataladi va ularni o'xshashlik va modellash nazariyasi tekshiradi.

Ikki fizik jarayon o'xshash bo'lishi uchun uning barcha parametrlari ma'lum bir munosabatda bo'lishi kerak va bu munosabatlari turli parametrlar uchun turlicha bo'ladi.

Ikki xil voqeani bir-biriga o'xhash bo'lishi uchun birinchidan uning geometrik parametrlari o'xhash bo'lishi, ikkinchidan kinematik va dinamik parametrlari o'xhash bo'lishi kerak.

Misol uchun suvning tabiatda va texnikada kuzatilayotgan harakatda kavitsatsiya hodisasi mavjud bo'lsa, uning modelida geometrik va kinematik o'xhashlik bo'lishidan tashqari xuddi shunday kavitsatsiya hodisasi mavjud bo'lishi kerak. Hodisalarning o'xhashligi fizik o'xhashlik, vaqt o'xhashligi chegaraviy shartlarni o'xhashligini ham o'z ichiga olish kerak. Bular ikki o'xhash hodisalar uchun bir ismli miqdorlarning nisbatlari bir xil qiymatga ega bo'lishini taqozo qiladi. Masalan, bir hodisa uchun uzunlik o'lchamlari $L_1, L_2, L_3, \dots, L_n$ bo'lsin, birinchiga o'xhash ikkinchi hodisaning uzunlik o'lchamlari esa $l_1, l_2, l_3, \dots, l_n$ bo'lsin. U holda agar

$$\frac{L_1}{l_1} = \frac{L_2}{l_2} = \frac{L_3}{l_3} = \dots = \frac{L_n}{l_n} = \text{const} \quad (4.3)$$

bo'lsa bu hodisalar geometrik o'xhash bo'ladi. Xususan, l_1, l_2, \dots, l_n quvurning uzunligi, diametri, tezlik yoki boshqa parametrni o'lchanayotgan nuqtaning koordinatalari va hokazo bo'lishi mumkun. Yuqorida aytigan hodisalar uchun tezlik o'lchamlari $\vartheta_1, \vartheta_2, \vartheta_3, \dots, \vartheta_n$ va $\vartheta'_1, \vartheta'_2, \vartheta'_3, \dots, \vartheta'_n$ bo'lsin.

Agar

$$\frac{\vartheta_1}{\vartheta'_1} = \frac{\vartheta_2}{\vartheta'_2} = \frac{\vartheta_3}{\vartheta'_3} = \dots = \frac{\vartheta_n}{\vartheta'_n} = \text{const} \quad (4.4)$$

bo'lsa, bu hodisalar kinematik o'xhash bo'ladi. Xususan $\vartheta_1, \vartheta_2, \dots, \vartheta_n$ o'lchash olib borilayotgan nuqtalardagi tezliklardir.

Mazkur ikki hodisa uchun:

$$\frac{t_1}{t'_1} = \frac{t_2}{t'_2} = \frac{t_3}{t'_3} = \dots = \frac{t_n}{t'_n} = \text{const} \quad (4.5)$$

bo'lsa, ularda vaqt o'xhashligi mavjud.

Yuqorida keltirilgan (4.3), (4.4) va (4.5) nisbatlarning tenligini ifodalovchi o'zgarmas miqdorlar o'xhashlik doimiysi deb ataladi va uzunlik uchun α_t tezlik uchun α_τ vaqt uchun at belgilarni belgilanadi. Shuningdek, tezlanish uchun α_a zichlik uchun α_ρ qovushqoqlik uchun α_μ va hokazo o'xhashlik doimiyarini kirtish mumkin. O'xhashlik nazariyasida yuqorida keltirilgan o'xhashlik doimiyari ikki o'xhash hodisa uchungina bo'lmay, bir qancha o'xhash hodisalar uchun bo'lsa, u holda ular o'xhashlik aniqllovchisi deyiladi. O'xhashlik aniqlovchilarning

o'xshashlik doimiyidan yana bir farqi ular bir qancha turli o'lchamlar kombinatsiyasining nisbati sifatida qurilishi mumkin.

Masalan,

$$\frac{g_1 l_1 v_1}{g'_1 l'_1 v'_1} = \frac{g_2 l_2 v_2}{g'_2 l'_2 v'_2} = \dots = \frac{g_n l_n v_n}{g'_n l'_n v'_n} = const$$

Agar o'xshashlik aniqlovchisi oddiy o'lchamlar nisbati bilan ifodalansa, ular *simplekslar* deyiladi. Agar o'xshashlik aniqlovchisi o'lchamlar murakkab kombinatsiyalarining nisbati sifatida ifodalansa, u holda *o'xshashlik kriteriyalari* deyiladi. Misol sifatida Nyuton ikkinchi qonunini ko'ramiz. Birinchi hodisa uchun

$$F_1 = m_1 \frac{d\vartheta_1}{dt_1} \quad (4.6)$$

Ikkinci hodisa uchun esa

$$F_2 = m_2 \frac{d\vartheta_2}{dt_2} \quad (4.7)$$

Ikkinci hodisa uchun o'xshashlik doimiyilar a_f , a_m , a_v , a_t larni kirlitsak, (4.7) birinchi hodisa parametrлари orqali quyidagicha ifodalanadi.

$$\alpha_f F_1 = \alpha m_1 \frac{ad}{at} m_1 \frac{d\vartheta_1}{dt_1}$$

yoki

$$\frac{\alpha_f \alpha_t}{\alpha_m \alpha_v} F_1 = m_1 \frac{d\vartheta_1}{dt_1} \quad (4.8)$$

(4.6.) bilan (4.8) lar ikki o'xshash hodisalar uchun yozilganligi sababli ular bir xil bo'lishi kerak. Buning uchun o'xshashlik doimiyalaridan tashkil topgan quyidagi o'zgarmas miqdor birga teng bo'lishi kerak.

$$C = \frac{\alpha_f \alpha_t}{\alpha_m \alpha_v} = 1$$

bundan

$$\begin{aligned} \frac{F_1 t_1}{F_2 t_2} &= 1 \text{ ёки } \frac{F_1 t_1}{m_1 \vartheta_1} = \frac{F_2 t_2}{m_2 \vartheta_2} \\ \frac{m_1 \vartheta_1}{m_2 \vartheta_2} & \end{aligned}$$

Bu munosabat bir necha o'xshash hodisalar uchun umumlashtirsak, quyidagi o'xshashlik aniqlovchisini olamiz

$$Ne = \frac{Ft}{mg} = const$$

bunga *Nyuton mezoni* deyiladi.

Gidrodinamik o'xshashlikni quyidagi kriterial miqdorlar aniqlaydi .

Struxal mezoni yoki *gomoxronlik mezoni*

$$Sh = \frac{l}{gt} \quad (4.9)$$

Reynolds mezoni

$$Re = \frac{gl}{\nu} \quad (4.10)$$

Eyler mezoni

$$Eu = \frac{P}{\rho g^2} \quad (4.11)$$

Frud mezoni

$$Fr = \frac{g^2}{gl} \quad (4.12)$$

Bu kriterial miqdorlar yuqorida keltirilgan usulni Nave-Stoks tenglamasiga qo'llash yo'li bilan olinadi.

Birinchi hodisa uchun Nave-Stoks tenglamalar sistemasidan birinchi tenglamani yozamiz:

$$\frac{\partial u_x}{\partial t} + u_x \frac{\partial u_x}{\partial x} + u_y \frac{\partial u_x}{\partial y} + u_z \frac{\partial u_x}{\partial z} = -\frac{1}{\rho} \frac{\partial p}{\partial x} + \nu \left(\frac{\partial^2 u_x}{\partial x^2} + \frac{\partial^2 u_x}{\partial y^2} + \frac{\partial^2 u_x}{\partial z^2} \right) + g \cos \alpha_x, \quad (4.13)$$

bu yerda $g \cos \alpha$ og'irlik kuchining O_x o'qidagi proyektsiyasi. Bu tenglamaga (4.7) va (4.8) lardagi kabi o'xshashlik doimiyisini kiritsak, u quyidagi ko'rinishga keladi

$$\frac{\alpha_v}{\alpha_t} \frac{\partial u_x}{\partial t} + \frac{\alpha_v^2}{\alpha_1} \left(u_x \frac{\partial u_x}{\partial x} + u_y \frac{\partial u_x}{\partial y} + u_z \frac{\partial u_x}{\partial z} \right) = -\frac{\alpha_p}{\alpha_p \alpha_t} \frac{1}{\rho} \frac{\partial p}{\partial x} + \frac{\alpha_v \alpha_r}{\alpha_t^2} \nu \left(\frac{\partial^2 u_x}{\partial x^2} + \frac{\partial^2 u_x}{\partial y^2} + \frac{\partial^2 u_x}{\partial z^2} \right) + \alpha_x g \cos \alpha_x,$$

tenglamaning ikki tomoni $\frac{\alpha_v^2}{\alpha_t}$ ga bo'lsak, u quyidagi ko'rinishni oladi:

$$\frac{\alpha_v}{\alpha_t} \frac{\partial u_x}{\partial t} + U_x \frac{\partial u_x}{\partial x} + U_y \frac{\partial u_x}{\partial y} + U_z \frac{\partial u_x}{\partial z} = -\frac{\alpha_p}{\alpha_p \alpha_t^2} \frac{1}{\rho} \frac{\partial p}{\partial x} + \frac{\alpha_v}{\alpha_t \alpha_r} \nu \left(\frac{\partial^2 u_x}{\partial x^2} + \frac{\partial^2 u_x}{\partial y^2} + \frac{\partial^2 u_x}{\partial z^2} \right) + \frac{\alpha_x \alpha_t}{\alpha_t^2} g \cos \alpha_x, \quad (4.14)$$

Ikki hodisa o'xshash bo'lsa, ularni ifodalovchi tenglamalar bir xil bo'ladi. Ikki hodisa o'xshashligidan (4.13) va (4.14) tenglamalar bir xil bo'lishi kerakligi kelib chiqadi. Bundan ko'rindaniki

$$1) \frac{\alpha_t}{\alpha_p \alpha_t^2} = 1; 2) \frac{\alpha_p}{\alpha_p \alpha_t^2} = 1; 3) \frac{\alpha_t}{\alpha_v \alpha_t} = 1; 4) \frac{\alpha_x \alpha_t}{\alpha_t^2} = 1.$$

Birinchi kombinatsiyadagi o'xshashlik doimiyalarini o'z o'mniga qo'ysak

$$\frac{\frac{1}{\alpha_p}}{\frac{1}{\alpha_p \alpha_t^2}} = 1, \text{ ya'ni } \frac{\frac{1}{\alpha_p}}{\frac{\alpha_t}{\alpha_v \alpha_t}} = \frac{\frac{1}{\alpha_p}}{\frac{\alpha_t}{\alpha_v}},$$

Gidrodinamik o'xshash voqealar uchun Struxal mezoni bir xil bo'lishi kerak:

$$Sh = \frac{1}{\frac{g_t}{\alpha_t}} = const$$

Ikki kombinatsiyadan

$$\frac{\frac{p_1}{p_2}}{\frac{\rho_1 g_1^2}{\rho_2 g_2^2}} = 1; \frac{\frac{p_1}{\rho_1 g_1^2}}{\frac{p_2}{\rho_2 g_2^2}} = \frac{p_2}{\rho_2 g_2}$$

Demak, gidrodinamik o'xshash voqealar uchun Eyler mezoni bir xil bo'lishi kerak:

$$Eu = \frac{p}{\rho g^2} = const$$

To'rtinchini kombinatsiyadan

$$\frac{\frac{v_1}{v_2}}{\frac{g_1 l_1}{g_2 l_2}} = 1; \frac{\frac{g_1 l_1}{v_1}}{\frac{g_2 l_2}{v_2}} = \frac{g_1 l_1}{v_2}$$

O'xshash voqealar uchun yuqoridagilardan tashqari Reynolds mezoni ham bir xil bo'lishi kerak:

$$Re = \frac{gl}{\nu} = const$$

To'rtinchini kombinatsiyadan

$$\frac{\frac{g_1 l_1}{g_2 l_2}}{\frac{g_1^2}{g_2^2}} = 1; \frac{\frac{g_1^2}{g_1 l_1}}{\frac{g_2^2}{g_2 l_2}} = \frac{g_1^2}{g_2 l_2}$$

Gidrodinamik hodisalar o'xshash bo'lishi Frud mezonining ham bir xil bo'lishini taqozo qiladi:

$$Fr = \frac{g^2}{gl} = const$$

Yuqorida ko'rib o'tilganlardan gidrodinamik o'xshashlik to'rtta tenglikni bajarilishi bilan ta'minlanadi. Bundan kelib chiqadiki, bu kriterial miqdorlar o'rtaida qandaydir munosabat mavjud bo'lib u

$$\varphi_1(Sh, Eu, Re, Fr) = 0 \quad (4.15)$$

ko'rinishda ifodalanadi.

Agar harakat barqaror bo'lsa u holda (4.15) ning o'miga

$$\varphi_2(Eu, Re, Fr) = 0 \quad (4.16)$$

munosabatdan foydalamiz.

(4.15) va (4.16) munosabatlar kriterial tenglamalar deb ataladi va Nave - Stoks tenglamasini yechib bo'lmaydigan hollarda ulardan foydalilanadi. Bu munosabatlarning Nave-Stoks tenglamasidan farqi shundaki, ular kriterial miqdorlar o'rtaisdagi bog'lanishni noaniq ko'rinishda ifodalaydi. Nave-Stoks teglamasi esa harakat parametrlari orasidagi bog'lanishni aniqlangan ko'rinishda beradi, lekin ko'p hollarda bu tenglamani yechish qiyin, ba'zan esa yechish mumkin emas.

Kriterial tenglamalardan foydalanish uchun tekshirilayotgan voqeanning modelini laboratoriya sharoitida yaratib, unda tajriba o'tkazamiz. Tajribadan olingan natijalarни esa (4.15) yoki (4.16) tenglamani aniqlangan ko'inishga keltirish uchun foydalanamiz. Ko'p hollarda (4.16) tenglamani ham soddalashtirib, og'irlilik kuchi harakatga kam ta'sir etadigan hollarga

$$\varphi_3(Eu, Re) = 0 \quad (4.17)$$

ko'inishida qo'llaymiz. Oxirgi tenglama yuqori bosim ostida bo'ladigan hodisalar uchun yaqin keladi.

IV bob bo'yicha nazorat savollari:

- 1.Suyuqlik harakatinig tartiblari.
2. Suyuqlikning barqaror harakati uchun uzilmaslik tenglamasi.
- 3.Laminar harakat tartibining xususiyatlari.
- 4.Reynolds soni.

V BOB. SUYUQLIKLARNING LAMINAR HARAKATI

5.1. Tezlikning silindirik quvur kesimi bo'yicha taqsimlanishi

Qovushoq suyuqliklar quvurda laminar harakat qilganda uning oqimchalari bir-biriga parallel harakat qiladi. Quvur devorlari esa unga yopishib qolgan suyuqlik zarrachalari bilan qoplanadi. Shunday qilib, quvur devoridagi suyuqlik zarrachalarining tezligi nolga teng. Suyuqlikning devorga yopishgan qavatidan keyingi qavati esa suyuqlik zarrachalari bilan qoplangan quvur devori ustida sirpanib boradi. Agar quvur ichidagi suyuqliknini xayolan cheksiz ko'p yupqa qavatlarga ajratsak, u holda har bir qavat o'zidan oldingi qavat sirtida siljib boradi. Yuqorida aytilganga ko'ra quvur devori sirtidagi qavatning tezligi nolga teng bo'lib, quvur o'qiga yaqinlashgan sari tezlik oshib boradi. O'qda esa tezlik maksimal qiymatga ega bo'ladi. Shuning uchun quvur ichidagi ishqalanish kuchi Nyuton qonuni bilan ifodalanadi:

$$\tau = -\mu \frac{du}{dr}$$

Quvur ichida uzunligi l va radiusi r bo'lgan elementar naycha ajratib olamiz (5.1-rasm). Bu naychaning yuzalari $d\omega$ bo'lgan 1-1 kesimi bo'yicha p_1 bosim, 2-2 bo'lgan kesim bo'yicha esa p_2 bosim ta'sir qilsin. Radusi R bo'lgan tekshirilayotgan quvurdagi harakat gorizontal va tekis bo'lsin. U holda elementar naychaga ta'sir qilayotgan kuchlar

1-1 kesimdagagi bosim kuchi

$$P_1 = p_1 d\omega$$

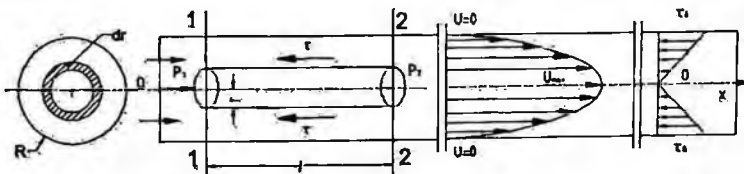
2-2 kesimdagagi bosim kuchi

$$P_2 = p_2 d\omega$$

ishqalanish kuchi

$$T = \tau 2\pi r l = -\mu 2\pi r l \frac{du}{dr}$$

dan iborat.



5.1-rasm. Laminar harakatda tezlikning quvur kesmi bo'yicha taqsimlanishi.

U holda elementar naychaning muvozanat shartidan quyidagini yoza olamiz.

$$P_1 - P_2 - T = 0 \quad (5.1)$$

Elementar naycha kesimi $dS = \pi r^2$ ekanligini nazarda tutib, (5.1) dan quyidagi tenglamani keltirib chiqaramiz:

$$\pi r^2 p_1 - \pi r^2 p_2 + \mu 2\pi r l \frac{du}{dr} = 0$$

Bu tenglamadan ushbu differensial tenglamani keltirib chiqaramiz:

$$\frac{du}{dr} = -\frac{r}{2\mu l} \frac{p_1 - p_2}{l} \quad (5.2)$$

Oxirgi tenglamaning o'zgaruvchilarini ajratamiz

$$du = -\frac{p_1 - p_2}{2\mu l} r dr$$

va chap tomoni u dan 0 gacha, o'ng tomonini esa r dan R gacha integrallab, tezlik uchun munosabat keltirib chiqaramiz:

$$u = -\frac{p_1 - p_2}{4\mu l} (r^2 - R^2) \quad (5.3)$$

Hosil qilingan tenglama parabola tenglamasi bo'lib, u tezlikning silindrik quvur kesimi bo'yicha taqsimlanishini ko'rsatadi. (5.3) dan ko'rinish turibdiki, quvurdagi harakat tezligi $r = 0$ da maksimumga erishadi

$$u_{\max} = \frac{p_1 - p_2}{4\mu l} R^2 \quad (5.4)$$

Demak, silindrik quvurda laminar harakat tezligi ko'ndalang kesimda parabola qonuni bo'yicha taqsimlangan bo'ladi. Tezlikning maksimal qiymati esa quvurning o'qi bo'yicha yo'nalgan bo'ladi. Endi quvurda oqayotgan suyuqlikning sarfini topamiz. Eni dr ga teng bo'lган halqa bo'yicha oqayotgan (5.1-rasm) elementar sarf quydagiga teng bo'ladi:

$$dQ = 2\pi r dr$$

Oxirgi tenglikka (5.3) dan tezlikning formulasini qo'ysak, quyidagini olamiz:

$$dQ = -2\pi \frac{p_1 - p_2}{4\mu l} (r^2 - R^2) dr.$$

Bu tenglikning chap tomonini Odan Q gacha o'ng tomonini esa Odan R gacha integrallab

$$Q = -\int_0^R 2\pi \frac{p_1 - p_2}{4\mu l} (r^2 - R^2) dr = -\pi \frac{p_1 - p_2}{2\mu l} \int_0^R (r^2 - R^2) r dr = \pi \frac{p_1 - p_2}{2\mu l} \left(\frac{R^4}{2} - \frac{R^4}{4} \right) = \frac{\pi R^4}{8\mu l} \frac{p_1 - p_2}{l} \quad (5.5)$$

munosabatni olamiz.

Bu holda o'rtacha tezlikni shunday topamiz:

$$g = \frac{Q}{\omega} = \frac{Q}{\pi R^2} = \frac{\pi R^4 (p_1 - p_2)}{8\mu l \pi R^2} = \frac{p_1 - p_2}{8\mu l} R^2 \quad (5.6)$$

(5.6) va (5.4) munosabatlarni solishtirib quvurda laminar harakat vaqtida o'rtacha tezlik bilan maksimal tezlik orasidagi munosabatni topamiz:

$$g = \frac{u_{\max}}{2} \quad (5.7)$$

Demak, silindrik quvurda laminar harakat vaqtida o'rtacha tezlik maksimal tezlikdan ikki marotaba kichik ekan.

5.2. Quvur uzunligi bo'yicha energiyaning yo'qolishi (Puazeyl formulasi)

Endi quvurda oqayotgan suyuqlik enegiyasining ishqalanishni yengishga sarflanishini tekshiramiz. Avval quvur kesimi bo'yicha ishqalanish kuchining taqsimlanishini ko'ramiz. Buning uchun Nyuton qonuni formulasiga tezlik formulasi (5.3) ni qo'yamiz.

U holda,

$$\tau = -\mu \frac{du}{dr} = \frac{p_1 - p_2}{2l} r \quad (5.8)$$

Bu formuladan ko'rinish turibdiki, ishqalanish kuchi quvur o'qida nolga teng bo'lib, uning o'qidan devorlariga qarab chiziqli ortib boradi va devor sirtida eng katta qiymatga erishadi (5.1-rasm) (3.56) tenglamada silindrik quvurdagi uzunlik bo'yicha gidravlik yo'qotishni ishqalanish kuchi orqali berilgan edi. Endi bu formulaga (5.8) munosabatni qo'ysak.

$$H_e = \frac{p_1 - p_2}{\gamma 2l} R \frac{2RJ}{\pi R^2} = \frac{p_1 - p_2}{\gamma} .$$

Kesimlardagi bosim farqi ($p_1 - p_2$) ni (5.6) formuladan o'rtacha tezlik orqali ifodalasak:

$$p_1 - p_2 = \frac{2\mu l}{R^2} g = \frac{32\mu l}{D^2} g$$

va gidravlik yo'qotish formulasiga qo'ysak, quyidagi munosabatni olamiz:

$$H_e = \frac{8\mu l}{D^2} g \quad (5.9)$$

U holda gidravlik qiyalik uchun formula chiqarish qiyin emas. Buning uchun (5.9) ning ikki tomonini l ga bo'lamiz

$$\frac{H_e}{l} = \frac{32\nu}{gD^2} g \quad (5.10)$$

va oxirgi tenglikni quyidagicha yozamiz:

$$J = \frac{232\nu}{gD^2 g} g^2 = \frac{64\nu}{9D^2 g D} g^2$$

Silindrik quvurlar uchun Reynolds soni

$$Re = \frac{9D}{\nu}$$

ko'rinishda yozilgani uchun

$$J = \frac{64}{R_s 2gD} g^2$$

Demak, laminar harakat vaqtida gidravlik qiyalik va bosimning pasayishi Reynolds soniga bog'liq ekan. $\frac{64}{Re}$ ko'rinishdagi miqdorni gidravlikada λ bilan belgilanadi:

$$\lambda = \frac{64}{Re} \quad (5.11)$$

va ishqalanish qarshiligi koeffitsiyenti deb ataladi. U holda energiyaning yo'qolishi va gidravlik qiyalik uchun quyidagicha Darsi - Veysbax formulasini olamiz.

$$H_e = \lambda \frac{l}{D} \frac{\dot{g}^2}{2g} \quad (5.12)$$

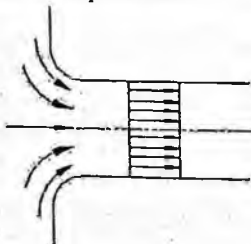
$$J = \lambda \frac{l}{D} \frac{\dot{g}^2}{2g}$$

Shunday qilib, laminar harakat vaqtida quvur uzunligi bo'yicha bosimning pasayishi va gidravlik qiyalik solishtirma kinetik energiyaga chiziqli bog'liq ekan.

5.3. Oqimning boshlang'ich bo'lagi

Yuqorida aytib o'tilgan harakat qonunlari quvurdagi barqarorlashgan laminar oqimlar uchun to'g'ridir. Haqiqatda esa, quvurga endi kirgan suyuqlik boshlang'ich kesimdan boshlab ma'lum masofa o'tgandan keyingina laminar harakatga doir bo'lgan parabolik qonun bo'yicha taqsimlangan bo'ladi.

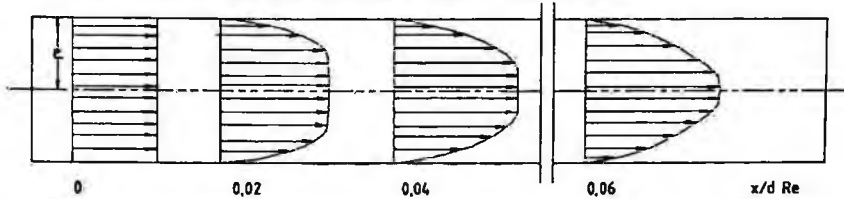
Laminar harakatning quvurda rivojlanishini quyidagicha tasavvur qilish mumkin. Hajmi juda katta idishdan suyuqlik quvurga kirsin va quvur kirish qismining chekkalari yaxshilab dumaloqlangan bo'lsin. Bu holda boshlang'ish kesimda tezlik deyarli o'zgarmas bo'ladi. Bu qonun faqat *chegara* (yoki devoroldi) qatlama deb ataluvchi devor ustidagi yupqa qavatdagina buziladi. Bu qavatda suyuqlikning devorga yopishishi natijasida tezlik keskin kamayib, devorda nolga tenglashadi. Shuning uchun kirish qismida tezlik chizig'i to'g'ri chiziq kesmasi (5.2-rasm) bilan aniq ifodalanadi.



5.2-rasm. Naycha kirishidagi tezlik taqsimotiga doir.

Kirish qismidan uzoqlashgan sari devorlardagi ishqalanish kuchi ta'sirida chegara qatlamga yaqin qavatlarda harakat sekinlashib boradi va natijada bu qatlamning qalinligi oshib boradi harakat esa sekinlashib boradi. Oqimning ishqalanish kuchi hali ta'sir qilmagan markaziy qismi esa bir butun harakat qilishni davom ettiradi, ya'ni boshqacha aytganda markaziy qavatlarda tezlik deyarli bir xil bo'lgani holda (oqayotgan suyuqlikning harakat miqdori o'zgarmas bo'lgani uchun) chegara qatlamda tezlik kamaygani sababli yadroda tezlik oshadi.

Shunday qilib, quvurning o'rta qismida (yadroda) tezlik oshib boradi, devor yaqinida o'sib boruvchi chegara qatlamda kamayadi. Bu jarayon chegara qatlam oqim kesimini butunlay egallab olmaguncha va yadro butunlay yo'q bo'lib ketguncha davom etadi (5.3-rasm).



5.3-rasm. Laminar harakatning quvurda rivojlanib borishiga doir chizma.

Shundan keyin oqimning rivojlanishi tugab, tezlik chizig'i odatdag'i laminar oqimga xos parabolik shaklni qabul qiladi. Quvurning boshlang'ich kesimidan doimiy parabolik tezlik vujudga kelguncha bo'lgan bo'lagi laminar harakatning boshlang'ich bo'lagi deb ataladi. Bu bo'lakning uzunligi quyidagi formula bilan aniqlanadi:

$$L_{\text{diam}} = 0,028R_c D \quad (5.13)$$

Bu formuladan ko'rindaniki, boshlang'ich bo'lak Reynolds soniga va quvurning diametriga proportional ekan. Gidrotexnika kursida bu masalani nazariy usul bilan hal qilingan bo'lib, olingan formulalar tajribada qiymatlarga juda yaqin keladi.

5.4. Tekis va halqasimon tirqishlarda suyuqlikning laminar harakati

Yuqorida biz laminar harakatning eng sodda turlaridan biri silindrik quvurdagi tekis harakatni ko'rgan edik. Texnikada esa murakkab harakatlar ko'p ushraydi. Bularga tekis va halqasimon tirqishlardagi harakatlarni misol qilib keltirish mumkin. Bunday harakatlar gidravlik mashinalar va agregatlarni germetiklash, ularning harakatlanuvchi elementlarini

mustahkam berkitish ishlari orada tirqish qoldirib bajariladi. Porshenli nasoslar va gidrouzatmalarda plunjер bilan silindr orasidagi tirqish ham yuqoridagi aytilgan harakatlarga misol bo'la oladi.

Uzunligi l , eni b , balandligi c bo'lgan tekis tirqishdagi laminar, bir tekis harakatni ko'ramiz (5.4-rasm).

Ko'rileyotgan tirqishda uzunligi l , eni b va balandligi y bo'lgan parallelepiped ajratamiz. Bu parallelepipedga $I-I$ kesimi bo'yicha Ox o'qi yo'nalishida

$$P_1 = p_1 b y$$

2-2 kesimi bo'yicha

$$P_2 = p_2 b y$$

bosim kuchlari ta'sir etadi.

Parallelepipedning ustki sirtiga

$$T_1 = \tau b l = -\mu \frac{du}{dy} b l$$

va ostki sirtiga

$$T_2 = \tau_0 b l$$

ishqalanish kuchlari ta'sir etadi va ular ham Ox o'qi bo'yicha yo'naligan bo'ladi. Ko'rileyotgan hajmdagi suyuqlikning muvozanatda bo'lishi sharti bo'yicha yuqorida keltirilgan kuchlardan quyidagi tenglama hosil qilinadi.

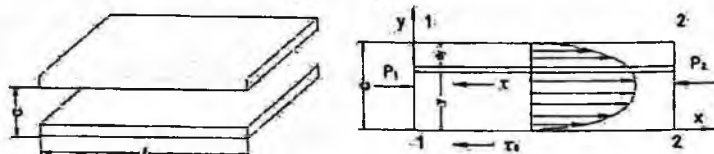
$$P_1 - P_2 - T_1 - T_2 = 0 \quad (5.14)$$

Bu tenglama quyidagi ko'rinishga keladi.

$$\frac{du}{dy} = -\frac{P_1 - P_2}{\mu l} y + \frac{\tau_0}{\mu} \quad (5.15)$$

Suyuqlikning qovushqoqlik shartiga asosan tirqishning pastki devorida ($y=0$) tezlik nolga teng. (5.15) tenglamaning chap tomonini 0 dan u gacha, o'ng tomoni 0 dan y gacha integrallab, quyidagi formulani olamiz.

$$u = -\frac{P_1 - P_2}{2\mu l} y^2 + \frac{\tau_0}{\mu} y \quad (5.16)$$



5.4-rasm. Tekis tirqishda suyuqlikning laminar harakatiga doir chizma.

Ikkinchi devorda ($y=c$) ham tezlik nolga teng. Bu shartdan foydalanim ushbu tenglikni yozamiz.

$$O = \frac{P_1 - P_2}{2\mu l} c^2 + \frac{\tau_0}{\mu} c.$$

Oxirgi tenglikdan τ_0 ni topamiz.

$$\tau_0 = \frac{P_1 - P_2}{2l} c$$

va (5.16) ga qo'yamiz. Natijada tezlik uchun quyidagi formulani olamiz.

$$u = -\frac{P_1 - P_2}{2\mu l} y(y - c) \quad (5.17)$$

Bu formuladan ko'rinish turibdiki, tekis tirqishdagi tezlik parabolik qonunga bo'ysunar ekan. Tezlik $y = \frac{c}{2}$ da maksimal qiymatga erishadi, ya'ni:

$$u_{\max} = \frac{P_1 - P_2}{8\mu l} c^2 \quad (5.18)$$

Suyuqlik sarfini topish uchun qalinligi dy ga teng bo'lган elementar qavat olib, uning ko'ndalang kesimidan oqayotgan suyuqlikning sarfini topamiz.

$$dQ = bdyu$$

U holda suyuqlik sarfi quyidagicha aniqlanadi.

$$Q = \int dQ = b \int dy = b \int \frac{P_1 - P_2}{2\mu l} (c - y) y dy = b \frac{P_1 - P_2}{2\mu l} \int (c - y) y dy = \frac{P_1 - P_2}{2\mu l} b \left(\frac{c^2}{2} - \frac{c^3}{3} \right) = \frac{P_1 - P_2}{12\mu l} c^3 b \quad (5.19)$$

Bu formula yordamida tirqishdan oqib ketayotgan suyuqlik miqdorini aniqlash mumkin.

O'rtacha tezlikni topish uchun sarfni oqimning kesimiga bo'lamic, ya'ni

$$g = \frac{Q}{\omega} = \frac{P_1 - P_2}{12\mu l} \frac{c^3 b}{cb} = \frac{P_1 - P_2}{12\mu} c^2 \quad (5.20)$$

(5.18) va (5.20) tenglamalarni o'zaro taqqoslab, o'rtacha tezlik bilan maksimal tezlik o'rtasidagi bog'lanishni topamiz: $g = \frac{2}{3} u_{\max}$. Bundan ko'rinishdiki, ko'rilib yotgan holda maksimal tezlik o'rtacha tezlikdan bir yarim marta katta ekan.

Tekis tirqishdan oqayotgan suyuqlik uchun gidravlik yo'qotishni topamiz.

$$H_s = \frac{P_1 - P_2}{\gamma}$$

(5.20) dan $(P_1 - P_2)$ ni o'rtasha tezlik orqali quyidagicha ifodalab

$$P_1 - P_2 = \frac{12\mu l}{c^2} g.$$

uni gidravlik yo'qotish formulasiga qo'ysak, ushbu munosabat hosil bo'ladi.

$$H_s = \frac{12\mu l}{\gamma c^2} g$$

Tirqishning gidravlik radiusi

$$R = \frac{\omega}{\chi} = \frac{lb}{2(c+b)} \approx \frac{c}{2}$$

bo'lishni va Reynolds soni $R_e = \frac{94R}{v}$ ni nazarga olib, gidravlik yo'qotishni quyidagicha yozamiz:

$$H_s = \frac{12M}{gc^2} g = \frac{24l}{\frac{94R}{c}} \frac{g^2}{2g} = \frac{96}{Re} \frac{l}{Re} \frac{g^2}{2g}. \quad (5.21)$$

Agar silindrik quvurdagi laminar harakat tekshirilgandagi kabi

$$\lambda = \frac{96}{Re} \quad (5.22)$$

belgilashni kirlitsak, ushbu munosabatni olamiz.

$$H_s = \lambda \frac{l}{4R} \frac{g^2}{2g} \quad (5.23)$$

Oxirgi munosabatdan foydalanimidagi hidravlik qiyalikni hisoblash formulasini olamiz.

$$J = \frac{H_s}{l} = \lambda \frac{l}{4R} \frac{g^2}{2g} \quad (5.24)$$

Bu olingan formulalar ma'lum hollarda kontsentrik halqasimon tirkishlardagi laminar harakat uchun ham qo'llanilishi mumkin.

Masalan, plunjerning diametri d_1 , tirkishning qalinligidan juda katta bo'lsa ($d_1 > c$), plunjer bilan silindr orasidagi halqasimon tirkish uchun qo'llaniladi. Bu holda suyuqlik sarfini hisoblash uchun (5.19) dagi b o'rniga d_1 qo'yish kerak. Ekstsentrik halqasimon tirkishlar uchun sarfini hisoblashda esa (5.19) dagi b o'rniga $\frac{d_1 + d_2}{2} = \pi(d_1 + c)$ ni qo'yish kerak; bu yerda e – plunjer va silindr o'qlari orasidagi ekstsentrisitet. Agar tirkishning qalinligi plunjer diametriga yaqin miqdorlarda o'chanadigan bo'lsa, u holda halqasimon tarqishdagi harakat uchun boshqacha formulalar chiqarish kerak bo'ladi.

Diametrlari d_1 va d_2 , uzunliklari l bo'lgan plunjer va silindr orasidagi tirkishda (5.5-rasm) laminar harakat qilayotgan suyuqlik oqimini tekshiramiz. Radiusi r_1 va r bo'lgan ikki silindr orasidagi suyuqlik muvozanatini ko'ramiz.

1-1 kesim yuzasi bo'yicha Ox o'qi yo'nalishida

$$P_1 = p_1 \pi (r^2 - r_1^2)$$

kuch, 2-2 kesim yuzasi bo'yicha

$$P_2 = p_2 \pi (r_2^2 - r_1^2)$$

kuch ta'sir qiladi.

Ichki silindr sirti bo'yicha

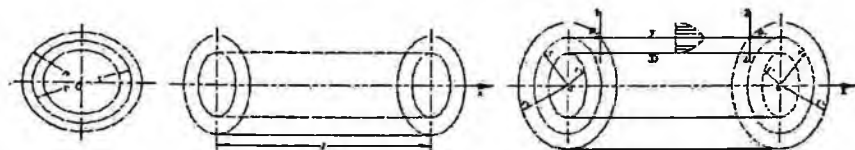
$$T_1 = r_0 2\pi r_1 /$$

Tashqi silindr sirti bo'yicha esa

$$T_2 = \tau 2\pi l = \mu \frac{du}{dr} 2\pi l$$

kuchlar ta'sir qiladi. Bu holda avvalgi masaladagi kabi suyuqlik hajmining muvozanat sharti bo'yicha quyidagi tenglamani olamiz.

$$\frac{du}{dr} = -\frac{P_1 - P_2}{2\mu l} \frac{r^2 - r_1^2}{r} + \frac{r_0}{\mu r}$$



5.5-rasm. Halqasimon tirqishda suyuqlikning laminar harakatiga doir chizma.

Suyuqlikning tezligi $r = r_1$ da nolga teng bo'ladi. Shuning uchun (5.25) tenglanamaning chap tomonini O dan u gacha, o'ng tomonini r_1 dan r gacha integrallab, ushbu munosabatni olamiz.

$$u = -\frac{P_1 - P_2}{4\mu l} \left[(r^2 - r_1^2) - 2 \ln \frac{r}{r_1} \right] + \frac{r_0}{\mu} \ln \frac{r}{r_1}$$

Silindrning sirtida ($r = r_2$) ham tezlik nolga teng.

Shuning uchun

$$u = -\frac{P_1 - P_2}{4\mu l} \left[(r_2^2 - r_1^2) - 2 \ln \frac{r_2}{r_1} \right] - 2 \ln \frac{r_2}{r_1} + \frac{r_0}{\mu} \ln \frac{r_2}{r_1}$$

Bu tenglikdan $\frac{r_0}{\mu}$ ni topamiz.

$$\frac{r_0}{\mu} = \frac{P_1 - P_2}{4\mu l} \left[(r_2^2 - r_1^2) \frac{1}{\ln \frac{r_2}{r_1}} - 2 \right]$$

va (5.26) ga qo'yamiz. Shunday qilib, tezlikning kesim bo'yicha taqsimlanishi uchun ushbu munosabatni olamiz.

$$u = \frac{P_1 - P_2}{4\mu l} \left[(r_2^2 - r_1^2) \frac{\ln \frac{r}{r_1}}{\ln \frac{r_2}{r_1}} - (r^2 - r_1^2) \right]$$

$r_2 - r_1 = c$ ning miqdori r_1 dan juda kichik bo'lganda bir qancha amallardan keyin (5.27) dan (5.17) ni keltirib chiqarish mumkin. Bu esa yuqorida aytilgan fikrlarni yana bir bor tasdiqlaydi. Halqasimon tirqishdan oqayotgan

suyuqlikning maksimal tezligi avvalgidek tirqish balandligining o'rta qismiga to'g'ri kelmaydi. Maksimal tezlikni topish ancha murakkab bo'lgani uchun biz uni keltirmaymiz.

Halqasimon tirqishdan oqayotgan suyuqlikning sarfi quyidagicha hisoblanadi:

$$Q = 2\pi \int_{r_1}^{r_2} ur dr = \frac{P_1 - P_2}{8\mu l} \pi (r_2^2 - r_1^2) \left[r_2^2 + r_1^2 - \frac{r_2^2 - r_1^2}{\ln \frac{r_2}{r_1}} \right]. \quad (5.25)$$

U holda o'rtacha tezlikni topish uchun sarfni kesim $-\omega = \pi(r_2^2 - r_1^2)/l$ ga bo'lamiz.

$$\omega = \frac{P_1 - P_2}{8\mu l} (r_2^2 + r_1^2) - \left(\frac{r_2^2 - r_1^2}{\ln \frac{r_2}{r_1}} \right) \quad (5.26)$$

Gidravlik yo'qotish esa quyidagicha hisoblanadi.

$$H_e = \frac{P_1 - P_2}{\gamma} = \frac{\frac{8\mu l \ln \frac{r_2}{r_1}}{(r_2^2 + r_1^2) \ln \frac{r_2}{r_1}} - g}{(r_2^2 + r_1^2) \ln \frac{r_2}{r_1} - (r_2^2 - r_1^2)} \quad g.$$

Gidravlik radius

$$R = \frac{\omega}{\chi} = \frac{\pi(r_2^2 - r_1^2)}{2\pi(r_2 - r_1)} = \frac{r_2 - r_1}{2}$$

Demak, Reynolds soni

$$Re = \frac{94R}{\nu} = \frac{92(r_2 - r_1)}{\nu}$$

Buni nazarda tutsak,

$$He = \frac{\frac{64(r_2^2 - r_1^2) \ln \frac{r_2}{r_1}}{r_1} - g^2}{Re \left[\frac{(r_2^2 + r_1^2) \ln \frac{r_2}{r_1} - (r_2^2 - r_1^2)}{r_1} \right] \frac{2(r_2 - r_1)}{2g}} \quad g^2$$

Avvalgi hollarda belgilashni kiritamiz.

$$\lambda = \frac{64}{Re} \frac{(r_2^2 - r_1^2) \ln \frac{r_2}{r_1}}{(r_2^2 + r_1^2) \ln \frac{r_2}{r_1} - (r_2^2 - r_1^2)}.$$

U holda

$$H_e = \lambda \frac{l}{2(r_2 - r_1)} \frac{g^2}{2g} \quad (5.27)$$

Gidravlik nishablik uchun esa

$$J = \frac{H_e}{l} = \lambda \frac{1}{2(r_2 - r_1)} \frac{g^2}{2g}. \quad (5.28)$$

Ekstsentrif halqasimon tirqishlar uchun hisoblash formulalari murakkab bo'lgani uchun ularni ushbu kitobga kiritmadik.

5.5. Laminar oqimning maxsus turlari (o'zgaruvchan qovushqoqlik, obliteratsiya)

Mashinalar gidravlikasini yaratish rus olimlari A.A.Sablukov, V.A.Pusheshnikov, V.G. Shuxov va boshqalarning nomlari bilan bog'langan.

Gidrodinamikada mashinalarni moylash (boshqacha aytganda suyuqliklar yordamida qarshilikni kamaytirish) ustida ko'p olimlar ishlagan. Bu ishlarning asoschisi mashhur rus olimi N.P. Petrovdir. U o'z ishlarida moylash masalalarini hal etishda Nyuton gipotezasini qo'llash mumkin ekanligiga katta ahamiyat bergen edi. Petrov bu ishlarda sharchalarning podshipniklar o'tasidagi harakatini bir o'qli silindrlar orasidagi laminar harakat masalasi sifatida ko'rish mumkin ekanligini ko'rsatdi. N.P. Petrov o'tkazgan juda ko'p tajribalar uning nazariyasini tasdiqlabgina qolmay, o'sha davrida mineral moylar harakatiga doir ko'pgina masalalarning hal etilishiga yordam beradi.

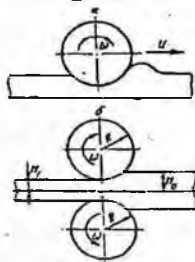
N.P. Petrov o'z nazariyasini yaratishda va tajribalarida podshipnik halqalari tez aylangani sari suyuqlik ularga oz-ozdan ta'sir qilib borishini ko'rsatdi. Bu ta'sir natijasida podshipnik ichki va tashqi halqalarning o'qi podshipnik o'qidan og'adi, lekin bu og'ish juda ham kam. Bu aytiganlarga asosan u moylovchi qavat uchun harakat tenglamasining soddalashtirilgan ko'rinishini keltirib chiqardi. Podshipnik halqalarining sezilarsiz darajada ekstsentrif joylashuvi qo'shimcha kuchlarni vujudga keltiradi va u valdag'i zo'riqishlarni muvozanatlaydi. N.P. Petrov bu masalani ikki egi sirt orasidagi suyuqlik harakati sifatida ko'radi. Bu nazariyani davom ettirib N.E. Jukovskiy va S.A.Shapliginlar ship va podshipnikning ekstsentrif joylashgan holati nazariyasini yaratdilar.

Yuqorida keltirilgan ikki tekis sirtlar orasidagi tirqishda suyuqliklar harakatini N.P. Petrov yechgan masalaning juda soddalashtirilgan ko'rinishi deb qarash mumkin, lekin bu soddalashtirish shunchalik kuchlik, olingan natijalar podshnipnikdagi moyning harakatini ifodalab bera olmaydi.

N.P. Petrov nazariyasi boshqa bir qancha masalarni yechishga yordam beradi. Bularga qovushqo suyuqlikning yupqa qavati bilan qoplangan sirt ustida silindirning dumalashi (5.6-rasm) masalasi kiradi. Bu masalaning yechilish usuli qizdirilgan metallni prokatlash ishlarida ham qo'llaniladi. Bu holda tajribalar shuni ko'rsatdiki, qizdirib prokatlanayotgan metall juda

qovushoq suyuqlikka o'xshash xossaga ega bo'ladi. Bu hodisani birinchi bo'lib I.V. Meshsherskiy tekshiradi. Uning yechimlari S.M. Targning monografiyasida keltirilgan.

Avvalgi paragrafda keltirilgan tekis va silindrik sirtlar orasidagi tirkishda harakat qilayotgan suyuqlik harakati masalalari plunjerning silindr ichidagi harakatiga yana ham yaqinroq bo'lish uchun bu sirtlarning birini biror V tezlik bilan harakatlanayotgan deb qarash kerak bo'ladi. Bu masalalarning yuqorida keltirilgan yechimlarida yana bir narsa hisobga olinmagan. Pulunjer silindr ichida harakat qilgan vaqtida ishqalanish kuchining ta'sirida qizib ketishi mumkin. Natijada ikki silindr orasidagi tirkishda oqayotgan suyuqlik ham qiziydi. Bunday hodisa sharikli podshipniklarda ham bo'ladi. Moylovchi suyuqlik qizishi bilan uning qovushqoqlik koeffitsiyenti o'zgaradi. Biz qovushqoqlik koeffitsiyentining temperaturaga bog'liqligini kinematik qovushqoqlik koeffitsiyentiga bag'ishlangan paragrafda ko'rgan edik va temperatura ortishi bilan qovushqoqlikning kamayishi haqida to'xtalib o'tgan edik. Qovushqoqlikning temperaturaga bog'liqligi haqidagi masalalar akademik L.S. Leybenzon va akademik M.A. Mixeyevlar tomonidan yechilgan bo'lib, tirkishlarda suyuqlikning harakati qovushqoqlik koeffitsiyentining o'zgaruvchanligiga bog'liqligi hisobga olib ko'rildi.



5.6 -rasm. N.P. Petrov nazariyasini izoblashga oid rasm.

Qovushqoqlikning temperaturaga bog'liqligi suyuqlik tashqi muhit bilan issiqlik almashganda ishqalanish qarshiligining o'zgarishiga olib keladi. Agar tashqi muhit suyuqlikka qaratganda sovuqroq bo'lsa, uning tashqi muhitga issiqlik berishi natijasida suyuqlikning quvur devoriga yaqinroq qavatlarda qovushqoqlik ortadi. Natijada bu qavatlardagi harakatning sekinlanishi tezkor bo'ladi, bu esa tezlik gradienteining kamayishiga olib keladi.

Tashqi muhit issiqroq bo'lsa, aksincha, suyuqlikning quvur devoriga yaqin qavatlari tashqaridan issiqlik olib, uning qovushqoqligi kamayadi.

Natijada devor yonida tezlik gradiyenti ortadi. Shunday qilib, suyuqlik tashqi muhit bilan issiqlik almashgan hollarda uning qovushqoqligi quvur kesimi bo'yicha o'zgaruvchan bo'lib, tezlik taqsimoti ham o'zgarmas temperaturadagidan boshqacha bo'ladi. Xususan, qizdirishli oqim vaqtida yadrosgagi tezlik ortib, tezlik taqsimoti chizig'i cho'ziqroq bo'ladi, aksincha, sovutishli oqimlar holida esa bu chiziq qisqaradi.

Laminar harakat issiqlik berish (sovutish) bilan amalga oshirilsa, temperatura o'zgarmagan holga qaraganda qarshilik ortadi, issiqlik kelishi (qizdirish) bilan amalga oshsa, qarshilik kamayadi. Bu yuqorida aytiganidek, quvur devori atrofida qovushqoqlik o'rtacha qovishqoqlikka qaraganda kam bo'lishi natijasida yuz beradi. Bu holda ishqalanish qarshiligi koeffitsiyenti uchun, amaliy hisoblashlarda, taqrifiy formulalardan foydalaniladi:

$$\lambda = \frac{64}{Re} \sqrt{\frac{v_s}{v_e}},$$

bu yerda Re – o'rtacha qovushqoqlik uchun hisoblangan Reynolds soni v_g - quvur devori yonidagi suyuqlikning qovushqoqligi, v_s – suyuqlikning o'rtacha qovushqoqligi. Aniqroq hisoblashlar uchun akad. M.A. Mixeyevning kichik Reynolds sonlari bilan hisoblashga chiqargan formulasidan foydalanish mumkin.

Ikki sirt orasidagi tor tirkishda suyuqlik harakat qilayotgan vaqtida qattiq jism va suyuqlik chegarasida molekulalararo o'zaro ta'sir kuchi natijasida, qutblangan suyuqlik molekulalarning adsorbsiyalanish hodisisi vujudga keladi. Natijada devorlar sirtida, siljituvchi kuchga qarshi ma'lum qattiqlik va mustahkamlik xususiyatiga ega bo'lgan, harakatsiz suyuqlik qavati hosil bo'ladi. Bu esa tirkish harakat kesimining kichrayishiga sabab bo'ladi. Tirkishning bunday kichrayish hodisasi oblitteratsiya deyiladi.

Oblitteratsiya qavati cheklangan bo'lib, tirkish devoridan uzoqlashgan sari uning mustahkamligi kamayib boradi, molekulalar orasidagi bog'lanish susayib, suyuqlik zarrachalari qavat sirtidan ajraladi va harakatga keladi.

Oblitteratsiya intensivligi suyuqlikning turiga, tirkishdag'i bosimning kamayib borishiga va boshqa sabablarga bog'liq. Bosim kamayishi ortsa, bu hodisa kuchayadi. Molekular tarkibi murakkab bo'lgan moylarda oblitteratsiya hodisasi kuchliroq bo'ladi. Bunday moylarga gidrouzatmalarda ishlataladigan neft moylari kiradi. Oblitteratsiya qavati juda yupqa (odatda, bir necha mikrondan oshmaydi) bo'lishiga qaramay, juda tor (kapillyar) tirkishlarida uning ko'ndalang kesimining anchagina qismini egallab oladi. Natijada tirkishning qarshiligi ortadi va tirkishdag'i suyuqlikning sarfi kamayadi.

Bu hodisa suyuqlikning ifloslanganligiga ham bog'liq bo'lib, uni ifloslovchi modda zarrachalari tirkish o'lchamlariga yaqin bo'lsa, obliteratsiya tezroq bo'ladi. Lekin suyuqlikning ifloslanganligi obliteratsiya hodisasida asosiy faktor bo'la olmaydi. Masalan, juda yaxshi tozalangan distillangan suv va benzinda obliteratsiya bo'lmaydi, ammo juda yaxshi tozalangan AMG-10 moyi 10 mikronli tirkishdan qisqa vaqt oqishi bilan tirkish butunlay bekilib qoladi.

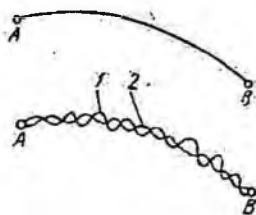
Odatda, juda kichik tirkishlarda (o'lchami 6-8 mk) obliteratsiya hodisasi tirkishni butunlay berkitib qo'yishi mumkin.

V bob bo'yicha nazorat savollari:

1. Laminar harakat ta'rifini keltiring.
2. Laminar harakatdagи gidravlik qarshilaklar.
3. Reynolds tajribalari.
4. Laminar oqimning maxsus turlari.
5. Oqimning boshlang'ich bo'lagi.

VI BOB. SUYUQLIKLARNING TURBULENT HARAKATI

Suyuqliklarning turbulent harakati tabiatda va texnikada keng tarqalgan bo'lib, gidravlik hodisalar ichida eng murakkabлari qatoriga kiradi. Bu harakat juda ko'p tekshirilgan bo'lishiga qaramay hozirgacha harakatning turbulent turi uchun umumlashgan nazariya yaratilgan emas. Shuning uchun ham turbulent oqimlarini hisoblashda yarimempirik nazariyalardan foydalanish bilan bir qatorda, ko'p hollarda tajriba natijalari va empirik formulalardan foydalanishga to'g'ri keladi.



6.1-rasm. Turbulent harakatining xususiyati

6.1. Suyuqlik turbulent harakatining xususiyatlari

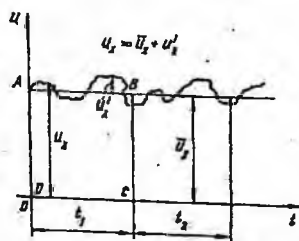
Turbulent harakatda suyuqliknинг har bir zarrachasi juda ham murakkab egri chiziqli trayektoriya bo'yicha harakat qiladi va har qanday ikki zarrachaning trayektoriyalari bir-biriga o'xshamaydi. Buni ko'z oldimizga keltirish uchun biror *A* nuqtadan ketma-ket o'tayotgan zarrachalarning *B* nuqtaga (6.1-rasm) qanday trayektoriya bo'yicha yetib kelishini ko'z oldimizga keltiraylik. Laminar harakat vaqtida *A* nuqtadan chiqqan *I* zarracha biror silliq egri chiziq bo'yicha *B* nuqtaga kelsa, *II* zarracha ham, *III* zarracha ham va ulardan keyin keladigan barcha zarrachalar ham huddi shu egri chiziq bo'yicha harakat qiladi.

Turbulent harakat vaqtida esa *A* nuqtadan chiqqan birinchi zarracha murakkab egri-bugri chiziq bo'yicha *B* nuqtaga keladi. Ikkinci zarracha esa birinchi zarrachaning trayektoriyasidan tamomila boshqacha bo'lgan ikkinchi egri-bugri chiziq bo'yicha keladi. Shunda ham u birinchi zarracha kelgan *B* nuqtaning aniq o'ziga kelmay, uning atrofidagi biror boshqa nuqtaga kelishi mumkin. Uchinchi zarracha esa birinchi zarrachaning ham, ikkinchi zarrachaning ham trayektoriyasiga o'xshamagan uchinchi egri-bugri chiziq bo'yicha kelib, avvalgi zarrachalar kelgan nuqtaning

birortasiga ham kelmay, B nuqta atrofidagi boshqa bir nuqtaga keladi. Bu hodisa A nuqtadan o'tayotgan barcha zarrachalarga tegishlidir. Shunday qilib, turbulent harakat qilayotgan suyuqlik zarrachalarning harakatini biror formula bilan ifodalash g'oyatda mushkul ishdir. Lekin hamma zarrachalar bir tarafga A nuqtadan B nuqta tarafiga harakat qiladi. Shunga asosan bir qarashda betartib harakat qilayotgandek ko'ringan zarrachalar harakatida qandaydir umumiylilikni aniqlash mumkin. Hatto bu umumiylilikni faqtgina sifat o'xhashligi ko'rinishda emas, balki miqdor o'xhashligi ko'rinishida ham ifodalash mumkin. Ana shu o'xhashliklar asosida turbulent harakatning qonuniyatlarini yuzaga keltirib chiqariladi.

6.2. Tezlik va bosim pulsatsiyalari

Turbulent harakat qilayotgan suyuqlik biror nuqtadagi tezligining koordinata o'qlaridagi proektsiyalarini tekshiramiz. Misol uchun tezlikning oqim yo'nalihsidagi proyektsiyasi u_x bo'lsin. U holda u_x ning miqdori vaqt davomida ortib va kamayib boradi. Bu o'zgarishni grafik ko'rinishda ifodalasak, u 6.2-rasmda tasvirlangan grafikka o'xshaydi va tezlik u_x proyektsiyasining pulsatsiyasi deb ataladi. Tezlikning boshqa o'qlaridagi proyektsiyalari (u_y, u_z) uchun ham xuddi shunday pulsatsiya grafiklari tuzish mumkin. Shunday qilib, tezlik pulsatsiyasi uning biror yo'nalihsidagi proyektsiyasining vaqt davomida ortib va kamayib borish hodisasidan iborat. Uni tajribada tezlikni o'Ichovchi asboblar yordamida (masalan, Pito trubkasidagi suyuqlik sathining o'zgarishini) kuzatish mumkin. Oqayotgan suvda suv o'tlari novdalarining to'xtovsiz tebranma harakat qilishi ham bizga pulsatsiya



6.2-rasm. Tezlik pulsatsiyasiga doir chizma.

hodisasini ko'rsatadi. Tezlikning oniy miqdori doimo o'zgarib turgani uchun gidrodinamikada tenglashtirilgan tezlik tushunchasi kiritiladi va u ancha uzoq vaqt ichida tezlik qabul qilgan qiyatlarning o'rtachasi bo'ladi.

Tenglashtirilgan tezlik tushunchasini ko'z oldimizga keltirish uchun 1.54-rasmdan foydalananiz. Grafikda tezlikning o'zgarishni to'liq xarakterlash uchun yetarli bo'lgan t_1 vaqt intervalini olamiz va grafikda vaqt o'qiga parallel qilib, shunday AB chiziq o'tkazamizki, hosil bo'lagi $ABCD$ to'rtburchakning yuzi ω_{ABCD} pulsatsiya grafigining t_1 oraliqdagi bo'lagi bilan DC chizig'i orasidagi yuza $\omega_{ABC'D'}$ ga teng bo'lsin. U holda $ABCD$ to'rtburchakning balandligi tenglashtirilgan tezlikka teng bo'ladi va \bar{u} , bilan belgilanadi.

Yuqorida aytib o'tilganlar turbulent harakatining beqaror harakat ekanligini ko'rsatadi. Agar biz pulsatsiya grafigida t_1 interval davomida yetarli darajada uzun t_2 interval olsak va bu interval tenglashtirilgan tezlikni topsak t_2 davomida avvalgidek uchinchi interval olib, yana tenglashtirilgan tezlikni topsak va bu ishni davom ettirib borsakda, barcha intervallar uchun olingan tenglashtirilgan tezliklar teng bo'lsa, bunday harakat turbulent harakat uchun barqaror harakat bo'ladi.

Oqayotgan suyuqlikda biror elementar yuza $d\omega$ olib, shu yuzadan vaqt ichida oqib o'tgan suyuqlikning hajmi $d\vartheta$ ni aniqlasak, barqaror harakat vaqtidagi tenglashtirilgan tezlik quyidagicha aniqlanadi.

$$\bar{u} = \frac{d\vartheta}{\Delta t d\omega} \quad (6.1)$$

6.2-rasmdan ko'rinish turibdiki, tenglashtirilgan o'rtacha tezlik oniy tezlikdan farq qilib, bu farqni hisoblaganda quyidagicha ifodalanadi.

$$u_x = \bar{u}_x + u'_x \quad (6.2)$$

Oniy va tenglashtirilgan tezliklar orasidagi farqlar manfiy yoki musbat bo'lishi mumkin va tezlik pulsatsiyasi deb ataladi. Ko'rinish turibdiki, tezlik pulsatsiyalarining yetarli katta t_1 intervaldagagi yig'indisi yoki integrali nolga teng bo'lar ekan.

$$\sum u'_x \Delta t = 0 \text{ yoki } \int u'_x dt = 0$$

Endi suyuqlikning oqimiga ko'ndalang yo'nalishdagagi tezliklarni tekshirsak, bu tezliklar bilan oqimning bir tomoniga qancha suyuqlik harakat qilsa, ikkinchi tomoniga ham shuncha suyuqlik harakat qiladi. Natijada suyuqlikning tenglashtirilgan tezlikning yo'nalishi doimo oqim yo'nalishiga mos kelar ekan. Shuning uchun turbulent harakat uchun Bernuli tenglamasini yozar ekanmiz, bu tenglamadagi o'rtacha tezlik tenglashtirilgan tezlikning o'rtacha qiyamatini bildiradi. Tezlik miqdori

doimo o‘zgarib turgani sababli bosim ham o‘zgarib turadi yoki boshqacha aytganda bosim ham pulsatsiyaga ega bo‘ladi. Xuddi tezlikka o‘xshab, bosim p uchun ham tenglashtirilgan bosim tushunchasini kiritish mumkin.

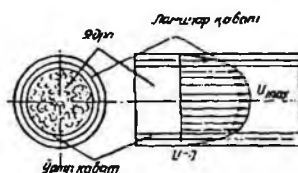
6.3. Tenglashtirilgan tengsizliklarning kesim bo‘yicha taqsimlanishi

O. Reynolds (1895) va J. Bussenesk (1897) turbulent oqimini zarrachalarining tezliklari va bosimlari tenglashtirilgan tezliklar va bosimlar bilan almashtirilgan shartli oqim bilan almashtirishni taklif qiladilar. Bunday shartli oqim *tenglashtirilgan oqim* yoki turbulent oqimning *Reynolds modeli* deb ataladi. Tabiiyki, bunday oqimni tekshirishda tezlik pulsatsiyalarini hisobga olmaymiz. Beqaror harakat vaqtida Reynolds modeliga ko‘ra π lar vaqt bo‘yicha o‘zgarib boradi, barqaror harakat vaqtida esa ular vaqtga bog‘liq emas. Shunday qilib, tekshirilayotgan turbulent oqim uchun Reynolds modeli bo‘yicha hisoblash ishlarida π va p lardan foydalanamiz. Turbulent oqimiga Bernulli tenglamasini qo‘llaganimizda tezlik va bosimlar deganda tenglashtirilgan tezlik va bosimlarni tushunamiz, yozuvda esa soddalashtirish uchun chiziqlarni tushirib qoldiramiz. L. Prandtlning va boshqa olimlarning tekshirishlari shuni ko‘rsatdiki, turbulent harakat vaqtida oqimning asosiy qismi uning yadrosi, ya’ni markaziy qismini tashkil qiladi. Yadroda suyuqlik turbulent harakat qilib, uning tezliklari yadro kesimi bo‘yicha deyarli bir xil bo‘ladi va markazdan quvur devoriga yaqinlashgan sari bir oz kamayib boradi. Devor yonidagi suyuqlik zarrachalari esa (devorning mavjudligi oqimga ko‘ndalang harakatga yo‘l qo‘ymagani uchun) devor bo‘yicha harakat qilib, uning trayektoriyasi sezilarsiz tebranishga ega bo‘ladi. Shuning uchun devor yonidagi zarrachalar laminar harakat qiladi. Ana shu laminar harakat qilayotgan zarrachalar yupqa qavat ichida bo‘lib, uni laminar qavat deb ataladi. Laminar qavat bilan yadro o‘rtasida yana bir yupqa qavat bo‘lib, uni o‘rtalik qavat deb ataladi. Bu qavatda suyuqlik turbulent harakat qiladi.

Juda katta aniqlik va e’tibor bilan o‘tkazilgan tajribalar laminar qavatning qalinligini aniqlashga imkon beradi. Uning qalinligi millimetrnинг bo‘laklariga teng bo‘lib, Reynolds soniga bog‘liq va uning ortishi bilan laminar qavatning qalinligi kamayadi. Shunday qilib, turbulent harakatdagi tenglashtirilgan tezlikning taqsimlanishi (6.3-rasm), laminar haratdagi tezlikning taqsimlanishidan tamomila farq qiladi va u yadroda deyarli o‘zgarmagan holda quvur devori yaqinida juda tez kamayadi va devor ustida nolga teng bo‘lib qoladi, ya’ni tenglashtirilgan tezlik asosan

laminar va o'rtacha qavatlarda o'zgaradi. Buni ko'z oldimizga keltirish uchun 6.3-rasmda silindrik quvurda turbulent oqim uchun (tutash chiziq) va laminar oqim uchun (punktir chiziq) tezlik chizig'i keltirilgan.

Hozirgi zamон gidravlikasida tezlikning kesim bo'yicha taqsimlanish qonuni nazariya va tajribalar natijasida quyidagicha ifodalanadi:



6.3-rasm. Turbulent harakatda laminar qavat va yadro.

$$n = u_{\max} - \frac{u_*}{\chi} \ln \frac{R}{R-r} \quad (6.3)$$

$$u_* = \sqrt{\frac{\tau_0}{\rho}}$$

bu yerda τ_0 -quvur devoridagi urinma zo'riqish; χ - tajribadan aniqlangan koeffitsiyent bo'lib, u 0,4 ga teng; R - quvurning radiusi; r - quvurning o'qidan boshlab hisoblangan masofa. (6.3) tenglamadagi u^* ning o'lchov birligi tezlik o'lchov birligi bilan bir xil bo'lib, u odatda dinamik tezlik deyiladi.

Silliq quvurlar uchun tezlik formulasi ushbu ko'rinishda yoziladi.

$$u = u_* (5,75 \lg \frac{r u}{\nu} + 5,5). \quad (6.4)$$

G'adir-budir quvurlar uchun esa

$$u = u_* (5,85 \lg \frac{r}{\Delta} + 8,5). \quad (6.5)$$

Bu formulada Δ quvur devorining g'adir-budirligini xarakterlovchi miqdor bo'lib, u "absolyut g'adir-budirlilik" deyiladi.



6.4-rasm. Turbulent va laminar harakatda tezlik epyuralari.

Amalda tezlik taqsimlanishini darajali qonunlar bilan ifodalovchi formulalari qulaydir.

Karman nazariy tekshirishlar natijasida silliq quvurlar uchun bu qonunni quyidagi ko'rinishda yozishni taklif qilgan.

$$u = u_{\max} \left(1 - \frac{r}{R}\right)^{\frac{1}{n}} \quad (6.6)$$

bu yerda m – tajribada aniqlanadigan koeffitsiyent bo'lib, u Re soniga bog'liqdır. Xuddi laminar oqimdagı kabi turbulent oqimda ham tezlikning yuqoridagi tenglamalar bilan ifodalangan qonun bo'yicha taqsimlanishi quvurning boshlang'ich kesimidan ma'lum masofada vujudga keladi. Bu masofa turbulent harakatining boshlang'ich bo'lagi deb ataladi va ushbu formula bilan hisoblanadi:

$$L_{\text{turb}} = 0,639 Re^{0.25} D \quad (6.7)$$

Turbuleti oqimida o'rtacha tezlikning maksimal tezlikka nisbati 0,75 ga teng, ya'ni

$$\frac{V}{u_{\max}} = 0,75$$

Laminar oqimda esa bu nisbat 0,5 ga teng edi. Reynolds soni ortib borgan sari turbulent qorishuv tezlashib boradi va o'rtacha tezlik bilan maksimal tezlikning nisbati 1 ga intiladi.

6.4. Turbulent harakatda urinma zo'riqish

Turbulent harakatning Reynolds modelida biz pulsatsiyalarni hisobga olmagan holda tenglashtirilgan oqim olamiz. Lekin tenglashtirilgan tezlik bo'yicha hisoblangan oqimning energiyasi oniy tezlik bo'yicha hisoblangan oqimning energiyasidan kam bo'ladi. Buni quyidagicha ko'rsatish mumkin. Oniy va tenglashtirilgan tezliklar kvadratini tekshiramiz.

$$u_x^2 = (\bar{u}_x + u'_x)^2$$

U holda oniy tezlik kvadratinining o'rtacha qiymati quyidagicha hisoblanadi.

$$\bar{u}_x^2 = \bar{u}_x^2 + 2\bar{u}_x \bar{u}'_x + \bar{u}'_x^2.$$

Tezlik pulsatsiyasining o'rtacha qiymati nolga tengligidan o'ng tomondagi ikkinchi had nolga teng. Tezlik pulsatsiyasi vaqt o'qi bo'yicha musbat va manfiy qiymatlari qabul qilgani bilan uning kvadrati doimo musbat. Bularga asosan

$$\bar{u}_x^2 = \bar{u}_x^2 + \bar{u}'_x^2.$$

Bu tenglikdan ko'rindik, keltirilgan kinetik energiya uchun quyidagi tengsizlik mavjud:

$$\frac{u_x^2}{2g} > \frac{\bar{u}_x^2}{2g}.$$

Bu qo'shimcha energiya turbulent harakat qilayotgan suyuqlik zarralarning oqimdag'i bir qavatdan ikkinchi qavatga tartibsiz o'tib turishi uchun sarflanadi. Shunday qilib, qavatlar orasida energiya almashinuvni natijasida tezlik pulsatsiyalari ma'lum miqdorda ish bajaradi. Bu bajarilgan ish suyuqlik qavatlari orasida qo'shimcha urinma zo'riqish sifatida namoyon bo'ladi. Hosil bo'lgan qo'shimcha urinma zo'riqish turbulent urinma zo'riqish deyiladi. Bu zo'riqish Bussensk formulasida Nyuton qonuniga o'xshash qabul qilingan bo'lib, ushbu ko'rinishda ifodalanadi:

$$\tau_T = \mu_T \frac{du}{dn}, \quad (6.8)$$

bu yerda μ_T - turbulent dinamik qovushqoqlik koeffitsiyenti yoki turbulent almashuv koeffitsiyenti deb ataladi. L.Prantl koeffitsiyentini tezlik gradiyentiga proportional deb qabul qilingan bo'lib, u shunday ifodalanadi:

$$\mu_T = \rho l \frac{du}{dn} \quad (6.9)$$

bu yerda l ni aralashuv yo'l uzunligi deb ataladi. Turli mualliflar bu qiymatning fizik mazmunini turlicha izohlaydilar. Odatda, u shunday aniqlanadi:

$$l = xy, \quad (6.10)$$

bu yerda y - harakatlanayotgan zarrachaning idish devoridan boshlab hisoblangan koordinatasi; x - Prandtl universal doimiysi. Nikuradze tajribalarida aniqlanishicha silindrik quvur uchun $\chi \approx 0.4$. (177) dan ko'rinish turibdiki, dinamik qovushqoqlik turbulent koeffitsiyenti μ_T tezlik gradiyentiga proportional bo'lib, molekulyar qovushqoqlik koeffisienti μ dan harakatning xususiyatiga bog'liqligi bilan farq qiladi. Bu koeffitsiyentdan, (1.13) ni qiyos qilib, turbulent kinematik qovushqoqlik koeffitsiyentini yozamiz:

$$\nu_T = \frac{\mu_T}{\rho} = l^2 \frac{du}{dn} \quad (6.11)$$

Yuqorida keltirilganlarni hisobga olib, turbulent harakat uchun urinma zo'riqishni quyidagicha yoziladi.

$$\tau = \tau_s + \tau_T = \mu \frac{du}{dn} + \mu_T \frac{du}{dn} = \mu \frac{du}{dn} + \rho l^2 \left(\frac{du}{dn} \right)^2 \quad (6.12)$$

Laminar harakat vaqtida bu yig'indining ikkinchi hadi nolga teng bo'lib, faqat laminar qovushqoqlik urinma zo'riqishi τ_l qoladi. Reynolds sonining katta qiymatlarida turbulent harakat uchun τ_t , τ_l ga qaraganda juda katta

bo'lib, (6.12) dagi yig'indining birinchi hadini tashlab yuborish mumkin (ya'ni $\tau \approx \tau_t$). Bu holda τ tezlik gradiyentining ikkinchi darajasiga proporsional bo'ladi. Silindrik quvurda tekis harakat qilayotgan suyuqlikning turbulent tartibi uchun (5.1) dagidek muvozanat tenglamasidan quyidagi tenglik kelib chiqadi:

$$\pi r^2 (p_1 - p_2) = 2\pi r l \tau. \quad (6.13)$$

Reynolds sonining katta qiymatlarida $\tau >> \tau_t$ ekanligini hisobga olib, (6.13) da laminar urinma zo'riqishini kichik miqdor sifatida tashlab yuboramiz. Natijada (6.12) dan foydalanib, ushbu tenglamani chiqaramiz:

$$\frac{p_1 - p_2}{2l} = \frac{\tau_t}{r}. \quad (6.14)$$

Lekin turbulent urinma zo'riqish uchun (6.8) formuladan foydalanib, quyidagi munosabatni yozamiz.

$$\sqrt{\frac{\tau}{\rho}} = \chi r \frac{du}{dr}. \quad (6.15)$$

Biroq quvur devori yaqinda o'zgaruvchan urinma zo'riqish (τ) ni o'zgarmas urinma zo'riqish τ_0 ko'rinishida ifodalash mumkinligini hisobga olib, (6.15) dan ushbu tenglikni keltirib chiqaramiz:

$$du = \frac{1}{\chi} \sqrt{\frac{\tau_0}{\rho}} \frac{dr}{r}. \quad (6.16)$$

Tekis harakat uchun pezometrik qiyalik $I = \frac{p_1 - p_2}{l}$ ekanligini hisobga olsak, (6.14) va (6.16) dan

$$\tau_0 = \rho R \frac{l}{2} \quad (6.17)$$

ekanligiga ishonch hosil qilamiz. $\sqrt{\frac{\tau_0}{\rho}}$ ni u bilan belgilaymiz va (6.14) ning chap tomonini u_{max} dan u gacha, o'ng tomonini $R-r$ dan r gacha integrallab, tezlik uchun quyidagi tenglamani olamiz:

$$u - u_{max} = \frac{u}{\chi} \lg \frac{r}{R-r},$$

bu tenglik avvalgi paragrafda keltirilgan turbulent tartibli harakat tenglamasi (6.3) ga osonlikcha keltiriladi.

Amaliy mashg'ulotlarni bajarishga doir ko'rsatma:

Masala. Moy (IC-30) nasos yordamida quvur orqali gidrosilindrga uzatiladi. Agar quvur diametri $d = 24$ mm, moyning harorati $t = 20^\circ C$

bo'lib, nasosning sarfi $Q = 20 \text{ m}^3/\text{s}$ bo'lganda suyuqlikning harakat rejimini va qaysi haroratda turbulent rejimiga o'tishini aniqlang.

Yechimi: Suyuqlikning harakat rejimi Reynolds soni orqali ifodalanadi;

Damli (naporli) harakatda Reynolds soni (4.1) formula orqali aniqlanadi:

Agar Reynolds soni qandaydir kritik Reynolds sonidan yuqori bo'lsa ($\text{Re} > \text{Re}_{kr}$), harakat rejimi turbulent deyiladi, agar Reynolds soni kritik Reynolds sonidan kichik bo'lsa ($\text{Re} < \text{Re}_{kr}$) harakat rejimi laminar deyiladi.

Aylana shaklidagi damli quvurlar uchun kritik Reynolds soni $\text{Re}_{kr} = 2000 \div 3000$ va damsiz oqimlar harakati uchun $\text{Re}_{kr} = 300 \div 580$ gacha qabul qilingan.

Demak, qo'yilgan masalani yechish uchun Reynolds sonini aniqlash kerak.

Quvurdagi oqim tezligi

$$g = \frac{4Q}{\pi d^2} = \frac{4 \cdot 20}{3,14 \cdot 2,4^2} = 4,42 \text{ sm/s}$$

$t = 20^\circ\text{C}$ da moyning (IS-30) kinematik yopishqoqlik koeffitsiyenti

$$\nu = 150 \text{ mm}^2/\text{s} = 1,5 \text{ sm}^2/\text{s}$$

Reynolds soni:

$$\text{Re} = \frac{\nu \cdot d}{\nu} = \frac{4,42 \cdot 2,4 \cdot 10^2}{1,5} = 700;$$

$$\text{Re}_{kr} = 2000:$$

$\text{Re} < \text{Re}_{kr}$ demak suyuqlik harakat rejimi laminar.

Laminar harakatdan turbulent harakatga o'tish uchun $\text{Re} > \text{Re}_{kr}$.

$\text{Re}_{kr} = 2000$, u holda:

$$\text{Re}_{kr} = \frac{\nu \cdot d}{\nu}; \quad \nu = 0,53 \text{ sm}^2/\text{s} = 53 \text{ mm}^2/\text{s}.$$

ν va t° ning bog'liqlik jadvalidan industrial moy uchun (IS-30) $\nu = 53 \text{ mm}^2/\text{s}$ ga mos keladigan t° harorat miqdori $t = 50^\circ\text{C}$.

Demak, suyuqlik harorati yuqoridagi miqdorga yetganda suyuqlik laminar harakat rejimidan turbulent harakat rejimiga o'ta boshlaydi.

Mustaqil yechishga doir masalalar

1. Uzunligi $l=4 \text{ m}$ bo'lgan quvurdan harorati 10°C ($\nu = 0,4 \text{ sm}^2/\text{s}$) bo'lgan neft oqib o'tmoqda. Kesimlar orasidagi bosimlar farqi $\Delta P = 5 \text{ mPa}$ va neft sarfi $Q = 0,5 \text{ l/s}$ bo'lganda suyuqlikning harakat rejimini aniqlang.

2. Diametri $d = 50$ mm li quvur orqali sarfi $Q = 0,5$ l/s bo'lgan benzin oqib kelmoqda. Agar benzin harorati 6°C dan 40°C gacha o'zgarsa suyuqlik harakat rejimi qanday o'zgaradi?

3. $d = 100$ mm bo'lgan quvurda suyuqlik laminar rejimda harakat qilmoqda. Agar quvur o'qidagi tezlik $u_{max} = 20$ sm/s bo'lsa, tezlik taqsimotining grafigini chizing.

4. Laboratoriya da diametri $d = 25$ mm bo'lgan quvurda tajribalar o'tkazib quyidagi qiymatlar o'lchandi: a) suvning harorati $t = 10^{\circ}\text{C}$, tezligi $V = 20$ sm/s; b) benzin harorati 20°C , tezligi $V = 25$ sm/s; v) neft harorati 18°C , tezligi $V = 18$ sm/s. Suyuqliklarning harakat rejimlarini va sarfini aniqlang.

5. Yuqorida tajribalarning kesimi to'g'ri to'rtburchak shaklidagi ($a = 6$ sm, $b = 4$ sm) quvurda o'tkazilsa, suyuqliklarning harakat rejimlari qanday o'zgaradi?

6.5. Quvurlarda naporaning (bosimning) kamayishi (yo'qolishi)

Real suyuqliklar uchun Bernulli tenglamasida keltirilgan naporaning yoqolishini (bosimning pasayishi) h_{1-2} ni hisoblash quvurlar va quvurlar sistemasini hisoblashda asosiy masala hisoblandi.

Naporaning yoqolishini (**Bosimning pasayishi**) (h_{1-2}) ni hisoblashning muhimligi shundaki, bu ish suyuqlik quvurlarda harakatlanganida quvurdagi qarshiliklarni yengish uchun sarf bo'lgan energiyani hisoblashga va shu hisobga asosan loyihalanayotgan quvur (yoki quvurlar sistemasida) suyuqliknini uzatish uchun qancha energiya kerak ekanligini aniqlashga imkon beradi. Quvurlarda bosimning kamayishi ishqalanish qarshiligi va mahalliy qarshilikka bog'liq.

Ishqalanish qarshiligi real suyuqliklar ichki qarshiligiga bog'liq bo'lib, quvurlarning hamma uzunligi bo'yicha ta'sir qiladi. Uning miqdoriga suyuqlik oqimining tartibi (laminarlik, turbulentlik, turbulentlik darajasi) ta'sir qiladi. Yuqorida aytilgandek, turbulent tartib vaqtida odatdagi qovushqoqlikka qo'shimcha ravishda, turbulent qovishqoqlikka bog'liq bo'lgan va suyuqlik harakati uchun qo'shimcha energiya talab qiladigan kuch paydo bo'ladi.

Mahalliy qarshilik tezlikning suyuqlik harakat qilayotgan quvurning shakli o'zgarishiga bog'liq bo'lgan har qanday o'zgarishi vaqtida paydo bo'ladi. Bularga bir quvurdan (yoki idishdan) ikkinchi quvurga o'tish joyi, quvurlarning kengayishi yoki birdan kengayib birdan torayishi, tirsaklar, oqim yo'nalishini o'zgartiruvchi qurilmalar (kran, ventil, va h.k.) kiradi.

Shunday qilib yo'qolgan bosim (3.57) formula bo'yicha ikki yig'indidan tashkil topgan bo'ladi:

$$H_n = H_l + H_M \quad (6.18)$$

bu yerda H_l - ishqalanish qarshiligi yoki uzunlik bo'yicha napor yo'qotish, H_M - mahalliy qarshilikda yo'qotilgan napor. Laminar tartib vaqtida ishqalanish qarshiligi yuqorida keltirilgan (5.9) va (5.12) formulalardagi kabi nazariy usul bilan aniqlanishi mumkin:

$$H_l = \frac{32\mu l}{D^2} g = \lambda \frac{l}{D} \frac{g^2}{2g}$$

Bu ifodadagi $\lambda = \frac{64}{Re}$ ni ishqalanish qarshiligi koeffitsiyenti deb atagan edik.

Ko'pincha uni soddarroq qilib gidravlik ishqalanish koeffitsiyenti deyiladi. Silindrik quvurlarda bu formula Reynolds soni 2320 dan kichik bo'lgan laminar harakatlar uchun tajribada olingan natijalarda juda yaqin keladi. Turbulent harakat uchun ishqalanish qarshiligi tajriba yo'li bilan aniqlandi. Uni nazariy aniqlab bo'lmaydi.

6.6. Darsi formulasi va gidravlik ishqalanish koeffitsiyenti (Darsi koeffitsiyenti)

Turbulent harakat ustida olib borilgan tajribalar ishqalanish qarshiligining solishtirma energiyaga proportsional ekanligini ko'rsatadi, ya'ni

$$H_l = \zeta \frac{g^2}{2g} \quad (6.19)$$

Bu formuladagi proportsionallik koeffitsiyenti bir qancha miqdorlarga bog'liq bo'lib, uni tekshirish uchun quyidagi xulosadan foydalanamiz.

Juda ko'p tajribalar yuqorida keltirilgan $\frac{\tau_0}{\rho}$ miqdorning tezlik bosimi yoki solishtirma kinetik energiya orqali quyidagicha ifodalanishini ko'rsatadi;

$$\frac{\tau_0}{\rho} = \frac{\lambda}{4} \frac{g^2}{2g}.$$

u tenglikni (6.17) munosabat bilan taqqoslab ko'rsak:

$$RJ = \frac{\lambda}{4} \frac{g^2}{2g}.$$

ekanligiga ishonch hosil qilamiz. Bu yerda $I = \frac{l}{l}$ ekanligini hisobga olib, tekis barqaror harakat uchun uzunlik bo'yicha ishqalanishga yo'qotish yoki bosimning pasayishi uchun formula olamiz

$$H_e = \lambda \frac{l}{4R} \frac{g^2}{2g} \quad (6.20)$$

bu yerda l -quvurning uzunligi; R - gidravlik radius. Silindirik quvurlar uchun $D = 4R$ ekanligini hisobga olsak, oxirgi formula quyidagi ko'rinishda yoziladi:

$$H_e = \lambda \frac{l}{D} \frac{g^2}{2g} \quad (6.21)$$

(6.21) formula *Darsi - Veysbax formulasi* yoki qisqacha Darsi formulasi deyiladi. Bu formulaga kiruvchi koefitsiyent λ gidravlik ishqalanish koefitsiyenti yoki Darsi koefisienti deyiladi.

Bundan ko'rindaniki, (6.19) dagi koefisient Darsi koefitsiyentiga bog'liq bo'lib, ya'ni

$$\zeta = \frac{l}{D} \lambda, \quad (6.22)$$

u quvurning uzunligiga to'g'ri proportsional, diametiriga teskari proportsional ekan. Suyuqlikning quvurdagi laminar harakati uchun yuqorida nazariy formula (5.11) olingan edi. Turbulent harakat vaqtida esa bunday munosabatni nazariy usul bilan chiqarib bo'limgani uchun, uni emperik yoki yarim emperik usullarda aniqlanadi.

Hozirgi zamon gidravlikasida Darsi koefitsiyenti λ umumiy Holda Reynolds soniga va quvur devorlarining g'adir-budirligiga bog'liq deb hisoblanadi. λ ni Hisoblash uchun juda ko'p empirik formulalar mavjud bo'lib, ular ichida eng mashhurlari quyidagilar.

Blazius formulasi 1913 yili juda ko'p mualliflarning tajribalarini analiz qilish natijasida olingan.

$$\lambda = \frac{0,3164}{\sqrt[4]{Re}} = \frac{0,3164}{Re^{0,25}} \quad (6.23)$$

Bu formula Reynolds soni $Re < 10^5$ bo'lganda tajribalarga yaxshi mos keladi. Reynolds sonning kattaroq diapazonlari (Re ning $3 \cdot 10^6$ gacha miqdorlari) uchun P.K.Konakov formulasidan foydalanish mumkin.

$$\lambda = \frac{1}{(1,81 \lg Re - 1,5)^2} \quad (6.24)$$

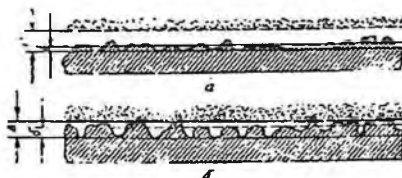
1932 yili L. Prandtl quyidagi formulani keltirib chiqardi:

$$\frac{1}{\sqrt{\lambda}} = 2 \lg(Re \sqrt{\lambda} - 0,8). \quad (6.25)$$

Keltirilgan formulalar silliq quvurlar uchun chiqarilgan bo'lib, g'adir-budir quvurlar uchun ulardan foydalanib bo'lmaydi.

6.7. Quvur devorining g'adir-budirligi. Absolyut va nisbiy g'adir-budirlilik

Quvurlar, kanallar va novlarning devorlari ma'lum darajada g'adir-budirlikka ega bo'ladi. Bu g'adir-budirlik quvurlarning qanday materialdan qilingani va qay darajada sillqlanganiga qarab ularning devor sirtidagi turlicha kattalikdagi yoki juda ham kichik pastlik-do'ngliklar bilan xarakterlanadi. G'adir-budirlikni xarakterlash uchun quvur sirtidagi do'ngliklarning o'rtacha balandligi qabul qilinib, u absolyut g'adir-budirlik deyiladi va Δ bilan belgilanadi (6.5-rasm). Agar absalyut g'adir-budirlik laminar chegaraviy qavatning qalinligi σ dan kichik bo'lsa, bu quvur gidravlik silliq quvur deyiladi. (6.5-rasm, a).



6.5 rasm. Gidravlik silliq va g'adir-budir quvurlarni tushintirishga doir chizma.

Bordiyu, Δ laminar qavat qalinligi δ dan katta bo'lsa, bu quvurlar gidravlik g'adir-budir quvurlar deyiladi (6.5-rasm, b).

Birinchi holda ($\Delta > \delta$) quvur sirtidagi do'ngliklar laminar qavat ichida qoladi va gidravlik qarshilikka sezilarli ta'sir qilmaydi. Ikkinci holda ($\Delta < \delta$) esa do'ngliklar laminar qavatdan chiqib qoladi va quvur devori atrofидаги оqим xususiyatiga ta'sir qilib, gidravlik qarshilikni oshiradi.

Quvurlarning g'adir-budirligini aniqlash ancha murakkab ish bo'lib, uni hisoblash gidravlik qarshilikni hisoblashni qiyinlashtiradi. Shuning uchun hisoblash ishlarini osonlashtirish maqsadida ekvivalent g'adir-budirlik Δ_e degan tushunchani kiritiladi. U quvurlarni gidravlik sinash yo'li bilan aniqlanib, gidravlik yo'qotishni hisoblashda absalyut g'adir-budirlilik uchun qanday qiymat olinsa, ekvivalent g'adir-budirlik uchun ham shunday qiymat olinadigan qilib tanlab olinadi.

5.1-jadval. Quvurlar uchun absolyut g'adir-budirlik qiymatlari

Quvurlar	Δ , mm
Yangi metall va sopol quvurlar tekis joylangan va tutashtirilgan holda	0,01-0,15
Yaxshi holatda ishlab turgan vodoprovod quvurlari va juda yaxshi holatdagi beton quvurlar	0,2-0,3
Ozroq ifloslangan vodoprovod quvurlari yaxshi holatdagi beton quvurlar	0,3-0,5
Ifloslangan va ozroq zanglagan vodoprovod quvurlar	0,5-2,0
Yangi cho'yan quvurlar	0,3-0,5
Ko'p foydalilanilgan cho'yan quvurlar	1,0-3,0

Ma'lumki, laminar qavatning qalinligi Reynolds soniga bog'liq bo'lib, uning ortishi bilan kamayib boradi. Shuning uchun Reynolds sonining kichikroq qiymatlarida gidravlik silliq quvurlar uning ortishi bilan "g'adir-budir" quvur sifatida ko'riladi. Shuning uchun absolyut g'adir-budirlik quvur devorining oqim harakatiga ta'sirini to'liq ifodalay olmaydi. Shuningdek, quvur g'adir-budirligi uning diametri katta yoki kichik bo'lishiga qarab, suyuqlik oqimiga turlichcha ta'sir ko'rsatishi mumkin.

Bularni hisobga olish maqsadida o'xshashlik qonunlarini bajaradigan va oqim gidravlikasiga g'adir-budirlikning ta'sirini to'laroq ifodalaydigan nisbiy g'adir-budirlik tushunchasi kiritiladi va u absolyut g'adir-budirlikning quvur diametriga nisbatiga teng deb olinadi:

$$\varepsilon = \frac{\Delta}{D} \quad (6.26)$$

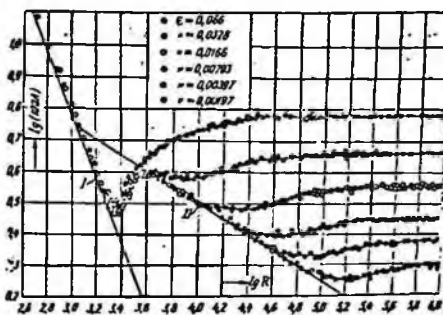
Nisbiy g'adir-budirlikdan foydalinish quvurlardagi ishqalanish qarshiligini hisoblashda ancha qulaylik tug'diradi.

6.8. Nikuradze va Murin grafiklari

Ishqalanish qarshiligi koeffitsiyenti λ ning Reynolds soniga bog'liqligini juda ko'p olimlar (Bazius, Prandtl, Karman, Konakov va brshqalar) tekshirib, empirik formulalar chiqardilar. Bu koeffitsiyentning xususiyatlari haqida eng to'liq ma'lumot olishga va uning g'adir-budirlikka bog'liqligini aniqlashga I. Nikuradze tajribalarining natijalari imkoniyat berdi. U 1933 y quvur devoriga qum zarrachalarini yelimlab yopishtirib, sun'iy g'adir-budirlik hosil qildi va bu quvurlarda tezlikni o'zgartirish yo'li bilan Reynolds sonining turli qiymatlarida gidravlik yo'qotishni aniqlashga

muvaffaq bo'ldi. So'ngra Darsi formulasidan foydalanib, ishqalanish koefitsiyentini aniqladi. Nikuradze o'z tajribalarining natijasini maxsus grafik ko'rinishida ifodaladi. Bu grafikda koordinata o'qlari bo'yicha $lg(100\lambda)$ va $lg Re$ miqdorlarini qo'yib keltirilgan turli nisbiy g'adir-budurliklar uchun tajriba natijalaridan 6.6-rasmida keltirilgan egi chiziqlarni oladi. Bu grafikdan ko'rinish turibdiki, λ va Re bog'lanishi sohasida uchta zona mavjud.

Birinchi zona *laminar tartib zonasasi* bo'lib, tajriba nuqtalari (5.11) formula asosida chizilgan I to'g'ri chiziq ustiga tushadi va g'adir-budirlikning turli qiymatlari uchun barcha tajriba nuqtalari shu to'g'ri chiziqda yotadi. Bu natijada laminar zonada ishqalanish koefitsiyenti g'adir-budirlikka bog'liq emasligi ko'rindi. Bu zona uchun quyidagi xulosalarni chiqarish mumkin:



6.6-rasm. Nikuradze grafigi.

- a) Reynolds soni Re nisbatan kichik bo'lib, 1000 dan 2300 gacha o'zgaradi;
- b) bosimning pasayishi H_1 g'adir-budirlikka bog'liq emas;
- v) H_e tezlikka to'g'ri proportional bo'lib, Puazeyl formulasi tajribalarini yaxshi ifodalarydi;
- g) λ ni (5.11) formula bilan hisoblash mumkin.

Ikkinci zona turbulent tartibga to'g'ri keladi va tajriba nuqtalari Blazius formulasi (6.23) bo'yicha chizilgan 2 to'g'ri chiziq ustiga tushadi va g'adir-budirlikka bog'liq emas.

Bu zonada turbulent tartib qat'iy bo'lmagani uchun uni noqat'iy yoki o'tkinchi zona deyiladi (ya'ni uning ichida turbulent tartib laminar tartibga va aksincha, laminar tartib turbulentga o'tish hodisasi yuz beradi).

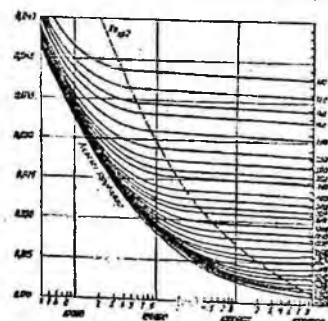
Bu zonada

- a) Reynolds soni 2300 dan taxminan 10000 gacha o'zgaradi;

- b) suyuqliklar quvurda harakat qilganda ayrim qismlarda turbulent tartib paydo bo'ladi va rivojlanib borib, yo'q bo'ladi va yana paydo bo'ladi;
 v) λ quvurning g'adir-budirligiga bog'liq emas.

Uchinchi zona – turbulent tartibga tegishli bo'lib, barqarorlashgan turbulentlik mavjud bo'ladi. Bu zonada ishqalanish koeffitsiyenti Reynolds soni Re ga ham, g'adir-budirlik ε ga ham bog'liqdir.

1938 y. A.P. Zegjda Nikuradze tomonidan kashf qilingan qonuniyatlar kanallar uchun ham to'g'ri ekanligini ko'rsatadi. Ko'rinish turbdiki, Nikuradzening tajribalari sun'iy bir tekis g'adir-budirlikka ega bo'lgan quvurlar uchun o'tkazilgan. Shuning uchun uning natijalari sanoatda va texnikada qo'llaniladigan tabiy g'adir-budir quvurlar uchun to'g'rimi, bu quvurlar uchun g'adir-budirlikning qiymati qanday miqdorga teng ekanligi aniqlanmagan edi. Bu masalani hal qilishga Kolbruk, I.A.Isayev, G.A.Murin, F.A.Shevlevlarning ishlari bag'ishlangan edi. Bu ishlar ichida Murinning sanoatdag'i po'lat quvurlarning gidravlik qarshiligini aniqlash bo'yicha o'tkazgan tajribalari to'liq bo'lib, u 1948 yili yakunlandi. Murin tajribalarining natijasi 6.7-rasmda keltirilgan bo'lib, λ ning Reynolds soniga bog'liqligi turli g'adir-budirlikka ega bo'lgan, po'lat quvurlar uchun grafik ko'rinchida ifodalangan. Murin tajribalari tabiiy quvurlar uchun Nikuradze kashf qilgan qonuniyatlarini to'g'ri ekanligini tasdiqlash bilan bir qatorda, yangi qonuniyatri, ya'ni tabiiy g'adir-budir quvurlarda ishqalanish koeffisiyenti λ o'tkinchi zonada barqarorlashgan turbulentlik zonasiga qaraganda kattaroq qiymatga ega ekanligini ko'rsatdi (Nikuradze tajribalari buning aksini ko'rsatadi). Bundan xulosa shuki, su'niy g'adir-budir quvurlarda λ Reynolds soni ortib borishi bilan ortib o'tkinchi zonada barqororlashgan turbulentlik zonasiga qaraganda kam bo'lsa λ tabiiy g'adir-budir quvurlarda Re ning ortishi bilan kamayib boradi.



6.7-rasm. Murin grafigi.

6.9. Gidravlik silliq va g'adir-budir quvurlar

Darsi va Puazeyl formulalarida gidravlik qarshilik tezlikning ikkinchi va birinchi darajalar bilan ifodalanganligidan uni umumiy holda quyidagi formula bilan ifodalash mumkin:

$$H_e = BV^m \quad (6.27)$$

Laminar harakat uchun chiziqli qarshilik qonuni o'rinni bo'lib, (6.27) da $m = 1$ bo'ladi, ya'ni $H_e = B_1 V$.

Turbulent harakatda qarshilik qonuni butunlay boshqacha bo'lib, gidravlik silliq g'adir-budir quvurlar uchun turlichadir. Silliq quvurlar uchun $m = 1,75$ va $H_e = B_2 V^{1,75}$, g'adir-budir quvurlar uchun esa $m = 2$ va $H_e = B_3 V^2$ (gidravlik qarshilikning kvadratik qonuni deyiladi).

Bu qonunlarning qo'llanilishiga qarab Nikuradze grafigidagi uchinchi zona quyidagi sohalarga ajraladi.

Birinchi soha "gidravlik silliq quvurlar sohasi" bo'lib, bu sohada Reynolds soni 100000 dan kichik bo'lganda λ II to'g'ri chiziq bilan ifodalanadi, $Re > 100000$ da egri chiziq bilan ifodalanib, II to'g'ri chiziqning davomi sifatida ko'rindi. Murin grafigida bu egri chiziq eng pastki chiziqqa to'g'ri keladi.

Birinchi sohada:

a) Re ning 100000 gacha qiymatlarida tezlik ϑ ning 1,75 ($m = 1,75$) darajasiga proporsional;

b) He barcha chiziqlar bitta to'g'ri chiziq bilan birlashib ketgani uchun g'adir-budirlikka bog'liq emas (ya'ni quvur devoridagi do'ngliklir laminar qavat ichida qoladi);

v) H_e , shuningdek, λ Blazius yoki Prandtl formulasidagi kabi faqat Reynolds soniga bog'liq, ya'ni $\lambda = f(Re)$.

Ikkinci soha g'adir-budir quvurlarning gidravlik qarshiliklari uchun kvadratgacha qarshilik sohasi deyiladi. II to'g'ri chiziqdan ajralib chiqa boshlagan chegarada $m = 1,75$ bo'lib, punktir chiziqdan o'ngda $m = 2$ bo'ladi. Bu oraliqdagi chiziqning 1,75 va 2 orasidagi qiymatlarga mos kelib, bir tekis g'adir-budirlikka ega bo'lgan quvurlar uchun maksimumga ega bo'lishi mumkin. Tabiiy quvurlar uchun esa m ning qiymati, yuqorida aytigan oraliqda, $m = 1,75$ dan $m = 2$ ga tekis o'zgarib boradi.

Shuning uchun ikkinchi sohada λ Reynolds soniga ham nisbiy g'adir-budirlikka ham bog'liq bo'ladi.

$$\lambda = f(Re, \varepsilon) \quad (6.28)$$

Uchinchi soha g'adir-budir quvurlarning kvadratik qarshilik sohasi bo'lib, u punktir chiziqdan o'ng tomonida joylashadi, turli g'adir-

budirliklar uchun tuzilgan tajriba chiziqlarining barchasi $lgRe$ o'qiga parallel joylashadi.

Bu sohada:

- a) bosimning pasayishi tezlik kvadratiga proportional;
- b) λ koeffitsiyent Reynolds soniga bog'liq emas;
- v) H_e va faqat nisbiy g'adir-budirlikka bog'liq.

6.10. Darsi koeffitsiyentini aniqlash uchun formulalar va ularning qo'llanish sohalari

Darsi koeffitsiyenti λ ning Reynolds Re sonining ortishiga qarab qanday o'zgarib borishini yuqorida, Nikuradze va Murin grafiklari asosida ko'rib chiqdik. Ko'rib o'tilgan sohalarda λ ning o'zgarish qonunini emperik formulalar bilan ifodalashga juda ko'p mualliflarning ishlari bag'ishlangan. Misol uchun silliq quvurlar sohasida Blazius (6.23), P.K.Konakov (6.24) va L. Prandtl (6.25) formulalari keltirilgan va ularning qo'llanish sohalari haqida to'xtalib o'tgan edik. 1938 yili Kolburk o'zining va boshqa mualliflarning tajribalari asosida texnik quvurlarni hisoblash uchun turbulent tartibning barcha zonalariga umumiy bo'lgan formulani taklif qiladi.

$$\frac{1}{\sqrt{\lambda}} = -2 \lg \left(\frac{2,5}{Re} \frac{1}{\sqrt{\lambda}} + \frac{\varepsilon}{3,7} \right) \quad (6.29)$$

Bu formulani g'adir-budir quvurlarning kvadratik qarshilik sohasi uchun soddallashtirsak, g'adir-budir quvurlar uchun Prandtl formulasi ko'rinishiga keladi:

$$\lambda = \frac{0,25}{\left(\lg \frac{\varepsilon}{3,7} \right)^2} \quad (6.30)$$

Kvadratik qarshilik sohasi uchun eng ko'p tarqalgan formulalardan biri Nikuradze formulasi hisoblanadi:

$$\lambda = \frac{1}{(1,74 - 2 \lg \varepsilon)^2} \quad (6.31)$$

Turbulent tartibning barcha sohalarida o'z ichiga oluvchi va hisoblash ishlarida (6.29) ga ko'ra qulayroq formulani A.D. Altshul tajribalariga asoslanib, λ ning keng sohasi uchun o'rini formula taklif qildi.

$$\lambda = 0,1 \left(\varepsilon + \frac{68}{Re} \right)^{0,25}, \quad (6.32)$$

Bu formula nazariy asosga ham ega va A.D. Altshul tajribalariga asosan xususiy hollarda sodda ko'rinishlarga keladi:

1) $\text{Re} < \frac{10}{\varepsilon}$ bo'lganda, silliq quvur bo'ladi va (6.32) Blazius formulasiga aylanadi:

$$\lambda = 0,11 \left(\frac{68}{\text{Re}} \right)^{0,25} = \frac{0,3164}{R_t^{0,25}}.$$

2) $\frac{10}{\varepsilon} < \frac{500}{\varepsilon}$ bo'lganda, λ ga Re ham, ε ham ta'sir ko'rsatadi va kvadratgacha qarshilik sohasiga to'g'ri keladi. Bu holda (6.32) soddalashmaydi.

3) $\text{Re} > \frac{500}{\varepsilon}$ bo'lganda, esa kvadratik qarshilik sohasi bo'lib, (6.52) Shifrson formulasi deb ataluvchi quyidagi formulaga aylanadi:

$$\lambda = 0,11 \sqrt[4]{\varepsilon}. \quad (6.33)$$

Bu formula bo'yicha hisoblangan λ ning qiymatlari uning Nikuradze formulasi bo'yicha hisoblangan qiymatlariga yaqin keladi.

Prof. Q.Sh. Latipov tomonidan olingan quyidagi formula Nikuradze grafigini to'liq ifodalaydi (1.60-rasm).

$$\lambda = \frac{8}{\text{Re}} \frac{\chi I_0(x)}{I_2(x)}; 0 \leq \text{Re} \leq 10^6, \quad (6.34)$$

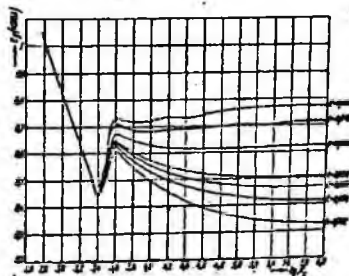
bu yerda I_0, I_2 - mavhum argumentli Bessel funksiyalari

$$x^2 = 0,0025 \frac{1+b \text{Re}}{1+a \text{Re}} \left[1 - \frac{1}{\sigma \sqrt{2\pi}} e^{-\frac{(y-y_0)^2}{2x^2}} \right]$$

$$a = 10^{-4}, b = \left(\frac{\varepsilon}{\varepsilon_0} \right)^{0,2974} 10^{-4}, \sigma = 0,43$$

$$y = \left(\frac{\text{Re}}{a_n} \right)^n; y_0 = \left(\frac{\text{Re}_{*}}{a_n} \right)^n;$$

$$a_n = 3500; n = 3$$



6.8-rasm. λ ning (6.34) formula bo'yicha hisoblangan grafigi.

6.11. Nosilindrik quvurlardagi harakatlar

Nosilindrik quvurlarda suyuqlik harakat qilgandagidek hollar uchun ham bosimning kamayishi Darsi formulasi bo'yicha hisoblanadi. Lekin, bu holda hisoblash quvur diametri D bo'yicha emas, balki gidravlik radius bo'yicha hisoblanadi. Bu holda Darsi formulasi (6.20) ko'rinishida yoziladi.

$$H_s = \lambda \frac{l}{4R} \frac{g^2}{2g}.$$

Nosilindirik quvurlarda harakat tartibi ham gidravlik radius orqali ifodalangan Reynolds soni

$$R'e = \frac{94R}{\nu}$$

yoki aytilgan quvurlar uchun qabul qilingan Reynolds soni

$$Re = \frac{Re_\infty}{4} = \frac{gR}{\nu}$$

bo'yicha hisoblanadi. Bu holda yangi turdag'i Reynolds sonining kritik qiymati quyidagicha bo'ladi:

$$Re_{\infty} = \frac{Re_\infty}{4} = 575$$

Bu holda, laminar harakat uchun qarshilik koeffitsiyenti yangi Reynolds soniga mos ravishda o'zgaradi.

Nosilindirik quvurlarga misol sifatida quyidagilarni ko'rsatish mumkin.

1) halqasimon quvur.

a) harakat kesim

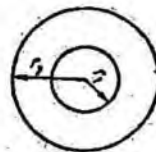
$$\omega = \pi(r_2^2 - r_1^2);$$

b) ho'llangan perimetr

$$x = 2\pi(r_2 + r_1);$$

v) gidravlik radius

$$R = \frac{\omega}{x} = \frac{r_2 - r_1}{2};$$



6.9-rasm. Halqasimon quvurning kesimi.

2) teng tomonli uchburchak quvur

a) harakat kesimi

$$\omega = \frac{a^2 \sqrt{3}}{4};$$

b) ho'llangan perimetr $x = 3a;$



6.10-rasm. Teng tomonli uchburchak quvurning kesimi

v) gidravlik radius $R = \frac{\omega}{x} = \frac{a}{4\sqrt{3}};$

3) to‘g‘ri to‘rtburchak quvur

a) harakat kesimi

$$\omega = ab$$

b) ho‘llangan perimeter

$$x = 2(a+b)$$

v) gidravlik radius

$$R = \frac{\omega}{x} = \frac{ab}{2(a+b)}$$

Nosilindrik quvurda turbulent harakat qilayotgan suyuqlik uchun Darsi koeffitsiyenti yuqorida keltirilgan formulalar bo‘yicha hisoblanib, Reynolds soni Re o‘rniga unga teng bo‘lgan $4R^e$ miqdor qo‘yiladi. Nisbiy g‘adir-budirlig esa $\epsilon = \frac{\Delta}{D} = \frac{\Delta}{4R}$ bo‘yicha hisoblanadi. Bundan ham soddarot qilib aytganda, ekvivalent diametr $d_{ek} = 4R$ tushunchasi kiritilib, avvalgi keltirilgan Darsi formulasi Reynolds soni va λ uchun formulalarga D o‘rniga d_{ek} qo‘yib, avvalgidek hisoblanadi.

Amaliy mashg‘ulotlarni bajarishga doir ko‘rsatma

Masala: Gidrotizim uchlariga o‘rnatilgan manometrlarning ko‘rsatishlari $P_1 = 4$ kPa va $P_2 = 0,5$ kPa bo‘lib, gidrotizim uzunligi $l = 500$ sm va diametri $d = 20$ mm bo‘lsa, gidrotizimdagi harorati $t = 50^\circ\text{C}$ bo‘lgan motor moyining sarfini aniqlang ($\rho = 950 \text{ kg/m}^3$)

Yechimi: Jadvaldan harorati $t = 50^\circ\text{C}$ bo‘lgan motor moyining kinematik yopishqoqlik koeffitsiyentini $v = 30 \text{ mm}^2/\text{s}$ deb olamiz.

Suyuqlik sarfini u holda quyidagicha aniqlaymiz:

Suyuqlik harakat rejimi laminar ekanligini inobatga olib, Puazeyl qonuni asosida bosimning kamayishini aniqlaymiz:

$$\frac{\Delta P}{\rho g} = \frac{128 v \ell Q}{\pi d^4}$$

$$Q = \frac{\Delta P \pi d^4}{128 v \rho \ell} = \frac{(3,5 \cdot 10^6 \text{ Па} \cdot 3,14 \cdot (0,020 \text{ м})^4)}{128 \cdot 0,3 \cdot 10^4 \cdot 890 \cdot 50} = 0,49 \cdot 10^{-9} \text{ м}^3/\text{с}$$

Mustaqil yechishga doir masalalar

1. Suv quvurining diametri $d = 200$ mm, suv harorati $t = 18^\circ\text{C}$ bo‘lganda gidravlik ishqalanish koeffitsiyentining Reynolds soniga bog‘liqlik grafigini yasang. Sarf o‘zgarishini quyidagi miqdorda qabul qiling: $Q = 1 \dots 40 \text{ l/s}$. Quvurning g‘adir-budirligi $\Delta = 0,1$ mm.

6.11-rasm. To‘g‘ri to‘rtburchak quvurning kesimi

2. Sug'orish tizimlarida polietilen (yelim) quvurlar ishlataladi. Quvurning uzunligi $l=500$ m, diametri $d = 150$ mm, suvning sarfi $Q = 30$ l/s va harorati $t = 18^\circ\text{C}$ bo'lganda quvurda yo'qolgan damni aniqlang.

VI bob bo'yicha nazorat savollari:

1. Gidravlik ishqalanish koeffitsiyenti?
2. Absolyut va nisbiy g'adir-budirlik?
3. Nikuradze va Murin grafiklari?
4. Darsi koeffitsiyentini aniqlash uchun formulalarning qo'llanish sohalari?
5. Nosilindrik quvurlardagi harakatlar?

VII BOB. MAHALLIY GIDRAVLIK QARSHILIKLAR

Suyuqlik quvurlarda harakat qilganda, turli to'siqlarni aylanib o'tish uchun energiya sarflaydi. Ana shu sarflangan energiya suyuqlik bosimining pasayishiga sabab bo'ladi. Quvurlarda turli to'siqlar bo'lib, ularni aylanib o'tish uchun sarf etiladigan energiya bu to'siqlarning soniga va turlariga bog'liq.

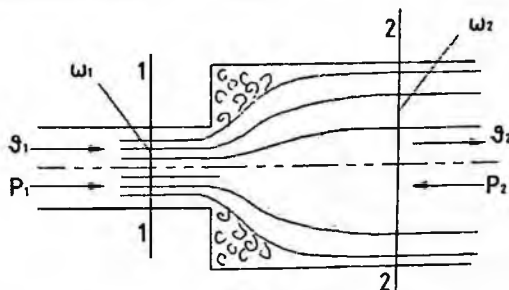
7.1. Mahalliy qarshilikning asosiy turlari. Mahalliy qarshilik koefitsiyenti

Mahalliy qarshilikning juda ko'p turlari mavjud bo'lib, bularning har biri uchun bosimning pasayishi turlichadir. Amaliy hisoblashlarda mahalliy qarshiliklarda bosimning pasayishini solishtirma kinetik energiyaga proportional qilib olinadi:

$$H_M = \zeta \frac{g^2}{2g}$$

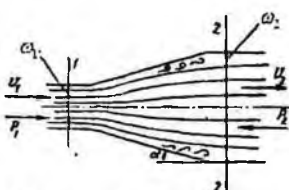
Proportionallik koefitsiyenti ζ mahalliy qarshilik koefitsiyenti deb ataladi va asosan tajriba yo'li bilan aniqlanadi. Mahalliy qarshiliklarning asosiy turlari haqida to'xtalib o'tamiz.

1) Keskin kengayish (7.1-rasm). Mahalliy qarshilikning bu turida ζ koefitsiyent kesimlarning o'zgarishiga bog'liq bo'lib, kesimlar - $\frac{\omega_1}{\omega_2}$ qancha kichik bo'lsa, u shuncha katta bo'ladi. Bu holda, mahalliy qarshilik koefitsiyentini nazariy hisoblasak ham bo'ladi (bu to'g'rida keyinroq to'xtalamiz). Keskin kengayishda 2-2 kesimda 1-1 kesimga nisbatan bosim ortib ($p_2 > p_1$), tezlik kamayadi ($V_2 < V_1$).



7.1-rasm. Keskin kengayish.

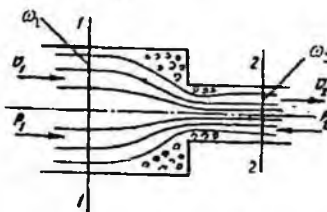
2) Tekis kengayish (7.2-rasm). Mahalliy qarshilik koeffitsiyenti kesimning o'zgarishiga va konuslik burchagi α ga bog'liq bo'lib, kesimlar nisbati $\frac{\omega_1}{\omega_2}$ ning kamayishi va α ning ortishiga qarab ortadi.



7.2-rasm. Tekis kengayish.

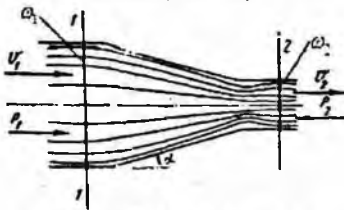
Avval ko'rildigandagi kabi 2-2 kesimda 1-1 kesimdagiga nisbatan bosim ortadi ($p_2 > p_1$) va tezlik kamayadi ($\vartheta_2 < \vartheta_1$).

3) Keskin torayish (7.3-rasm). Mahalliy qarshilik koeffitsiyenti ξ kesimlar o'zgarishiga bog'liq bo'lib, ularning nisbati ortishi bilan ortadi. Bu holda energiyaning sarf bo'lishi keskin kengayishiga nisbatan kam bo'ladi.



7.3-rasm. Keskin torayish.

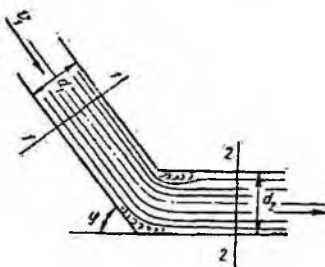
4) Tekis torayish (7.4-rasm). Mahalliy qarshilik koeffitsiyenti kesimlar nisbati $\frac{\omega_1}{\omega_2}$ ning va konuslik burchagini ortishi bilan ortadi. Keskin torayishda ham, tekis torayishda ham 2-2 kesimda 1-1 kesimga nisbatan bosim kamayib ($p_2 < p_1$), tezlik ortadi ($V_2 > V_1$).



7.4-rasm. Tekis torayish.

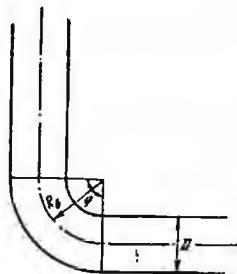
5) **Tirsak** (7.5-rasm). Mahalliy qarshilik koeffitsiyenti ikki quvurning tutashish burchagiga bog'liq bo'lib, bu burchakning ortishi bilan ortadi.

ξ ning φ ga bog'liqligi asosan tajribada tekshirilgan bo'lib, ba'zi sodda hollari oqimchalar nazariyasida ko'rilgan.



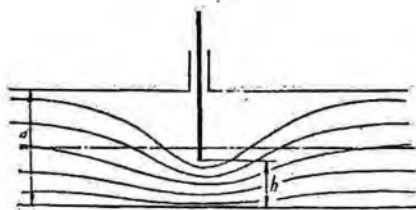
7.5-rasm. Tirsak.

6) **Burilish** (7.6-rasm). Mahalliy qarshilik koeffitsiyenti burilish burchagi φ va quvur diametrining burilish radiusi R_b ning nisbatiga bog'liq bo'ladi. Burilishda ξ quvur diametirining burilish radiusiga nisbati $\frac{D}{R_b}$ ortishi bilan ortib boradi.



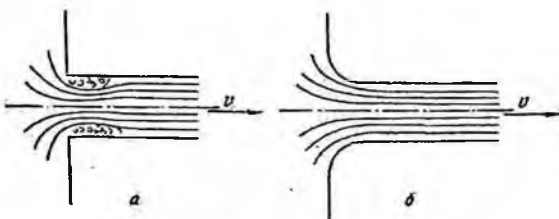
7.6-rasm. Burilish.

7) **Quvurga kirish** (7.7-rasm). Agar quvur biror suyuqlik bilan to'la idishga tutashtirilgan bo'lsa, u holda kirishdagi o'tkir burchaklarini (7.7-rasm, a) aylanib o'tish uchun suyuqlik energiyasi sarf bo'ladi. Bu holda mahalliy qarshilik koeffitsiyentining qiymati: $\xi = 0,5$. Kirishdagi o'tkir burchaklar silliqlanib, quvurga suyuqlik kirishiga kam qarshilik ko'rsatadigan shakl berilgan bo'lsa, ξ ning miqdori kirishning silliqlik darajasiga qarab $\xi = 0,04 \div 0,10$ oraliq'ida bo'ladi (ko'p hollarda o'rtacha $\xi = 0,08$ qabul qilinadi).



7.7-rasm. Quvurga kirish.

8) Diafragma. Quvurga o'matiladigan va suyuqlik sarfini o'hash uchun ishlataladigan o'rtasi teshik disk diafragmaga aytildi (7.8-rasm). Bu holda mahalliy qarshilik koeffitsiyenti quvurning kesimi S_1 va diafragma teshigi kesimi ω_0 ning nisbati $\frac{\omega_0}{\omega_1}$ ga bog'liq bo'ladi va bu nisbatning ortishi bilan kamayib boradi (7.1-jadval).



7.8-rasm. Berkitgich.

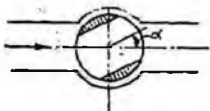
7.1-jadval. Diafragma uchun qarshilik koeffitsiyentining o'zgarishi

$\frac{\omega_0}{\omega_1}$	0,1	0,2	0,3	0,4	0,5	0,6	0,7	0,8	0,9	1,0
Z	226	47,8	17,5	7,80	3,75	1,80	0,80	0,29	0,06	0,00

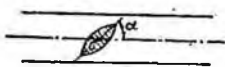
9) Berkitgich (zadvijka). Mahalliy qarshilik koeffitsiyenti eshikchaning (7.8-rasm) ochilish darajasiga bog'liq bo'lib, uning ochilishi kattalashishi bilan kamayib boradi. Uning o'rtacha ochilishiga $\xi = 2,0$ to'g'ri keladi.

10) Drossel klapan (7.9-rasm) va tiqin-jo'mrak (7.10-rasm). Bu hollarda mahalliy qarshilik koeffitsiyenti drossel klapanning va tiqin jo'mrakning ochilish burchagiga bog'liq bo'lib, $\alpha=20^\circ$ dan 50° gacha bo'lganda ξ ning qiymatlari:

Drossel klapan uchun $\xi = 2 \div 53$.



7.9-rasm. Drossel klapan.



7.10-rasm. Tiqin jo'mrak.

Tiqin-jo'mrak uchun $\xi = 2 \div 33$ atrofida bo'ladi. Bulardan tashqari, ventillar, jo'mraklar va boshqalarda ham mahalliy qarshilikning kamayishini kuzatish mumkin.

7.2. Reynolds sonining katta qiymatlari uchun mahalliy qarshilik koeffitsiyenti

Biz mahaliy qarshiliklarni vujudga keltiruvchi to'siqlarning turlari to'g'risda to'xtalib o'tdik. Bu to'siqlarda oqimning turbulent tartibga xos bo'lgan hollaridagi qarshilik koeffitsiyentining o'zgarishini ko'rgan edik. Turbulent harakat vaqtida ξ koeffitsiyenti qarshilik ko'rsatuvchi to'siq shakliga, kattaligiga, to'siqlarning ochilish darajasiga bog'liq bo'lishidan tashqari, suyuqlik harakatining tartibiga, ya'ni Reynolds soniga ham bog'liq bo'ladi. Tajribalar ko'rsatishicha, Reynolds sonining katta qiymatlarida harakat tartibi turbulent bo'lsa, mahalliy qarshilik koeffitsiyenti ξ ning Re soniga bog'liqligi juda ham sezilarsiz darajada bo'lib, bu bog'liqliknki to'siqlar shakli, turi va ochilish darajasining ta'siriga nisbatan hisobga olmaslik mumkin. Quyida biz turbulent oqim uchun mahalliy qarshilikning asosiy turlarida ξ koeffitsiyentni hisoblash ustida to'xtalib o'tamiz.

7.3. Quvurning keskin kengayishi (Bord teoremasi)

Quvurning keskin kengayishi va bunda oqimning taxminiy sxemasi 7.1-rasmda keltirilgan. Ko'rinish turibdiki, oqim quvurning tor kesimidan keng kesimga o'tganda burchaklarda suyuqlik quvur sirtida ajraladi. Natijada oqim keskin kengayadi va oqim sirti bilan quvur devori orasidagi halqasimon oraliqda aylanma (uyurmali) harakat vujudga keladi. Kuzatishlar shuni ko'rsatadiki, asosiy oqim hamda aylanayotgan suyuqlik o'rtasida zarrachalar u tomondan bu tomonga o'tib turadi. Quvurning keskin kengayishida mahalliy qarshilik koeffitsiyenti ξ ni nazariy usul bilan hisoblash mumkin. Buning uchun quvurning tor qismida 1-1 kesim olamiz. Quvurning kengaygan qismida esa keskin kengayishdan keyin oqim kengayib bo'lib, barqarorlashgan qismida 2-2 kesim olamiz. 1-1 kesimda tezlik v_1 , bosim p_1 2-2 kesimda esa tezlik v_2 va bosim p_2 bo'lsin. Bu

kesimlarga pezometr o‘rnatsak, $p_2 > p_1$ bo‘lgani uchun 1-1 kesimdag‘i pezometrda suyuqlik sathi 2-2 kesimdag‘i pezometrdagi suyuqlik sathidan h qadar past bo‘ladi. Agar kesimning kengayishi hisobiga gidravlik yo‘qotish bo‘lmaganda edi, bu farq Δh miqdorda ko‘proq bo‘lardi. Ana shu ikkinchi pezometrdagi suv sathining Δh qadar pasayib qolishi mahalliy gidravlik yo‘qotishdan iboratdir.

1-1-kesimning sirti ω_1 2-2 kesimning sirti esa S_2 bo‘lsin. U holda bu kesimlar yuzasi bo‘yicha tezlik bir xil (ya’ni $\alpha_1 \approx \chi_2 \approx 1$) deb hisoblasak, Bernulli tenglamasi shunday yoziladi

$$\frac{p_1}{\gamma} + \frac{\vartheta_1^2}{2g} = \frac{p_2}{\gamma} + \frac{\vartheta_2^2}{2g} + h_{\text{long}} \quad (7.2)$$

Endi, 1-1 va 2-2 kesimlar o‘rtasidagi suyuqlikning silindrik hajmi uchun harakat miqdorining o‘zgarishi teoremasini qo‘llaymiz. Buning uchun yon sirtlardagi urinma zo‘riqishni taxminan nolga teng deb olib, aytilgan hajmga ta’sir qilayotgan tashqi kuchlar impulsini hisoblaymiz. 1-1 kesimni quvur kengayish kesimining ustida olingan deb qarash mumkin. U holda silindr asoslarining yuzalari tengligidan ularga ta’sir qiluvchi impul’s o‘zgarishi shunday yoziladi

$$(p_1 - p_2)\omega_2$$

1-1 kesimdag‘i harakat miqdori $\rho Q \vartheta_1$ va 2-2 kesimdag‘i harakat miqdori $\rho Q V_2$ bo‘lgani uchun ular orasidagi harakat miqdorining o‘zgarishi quyidagi teng bo‘ladi.

$$\rho Q(\vartheta_2 - \vartheta_1).$$

Bu ikki miqdorni tenglashtirib, ushbu tenglamani olamiz:

$$(p_1 - p_2)\omega_2 = \rho Q(\vartheta_2 - \vartheta_1).$$

Tenglamaning ikki tomonini ω_2 γ ga bo‘lsak u holda $Q = \omega_2 \vartheta_2$ ni hisobga olib, ushbu tenglamani olamiz:

$$\frac{p_1 - p_2}{\gamma} = \frac{\rho Q}{\gamma \omega_2} (\vartheta_2 - \vartheta_1) = \frac{\vartheta_2}{g} (\vartheta_2 - \vartheta_1). \quad (7.3)$$

Oxirgi tenglamaning $\frac{1}{2}(\vartheta_2 - \vartheta_1)$ hadi ustida quyidagi amallarni bajaramiz

$$\vartheta_2(\vartheta_2 - \vartheta_1) = \frac{\vartheta_2^2}{2} - \vartheta_2 \vartheta_1 = \frac{\vartheta_2^2}{2} + \frac{\vartheta_2^2}{2} - \frac{2\vartheta_2 \vartheta_1}{2} + \frac{\vartheta_1^2}{2} - \frac{\vartheta_1^2}{2}$$

U holda (7.3) tenglama ushbu ko‘rinishga keladi

$$\frac{p_1 - p_2}{\gamma} = \frac{\vartheta_2^2}{2g} - \frac{\vartheta_1^2}{2g} - \frac{2\vartheta_2 \vartheta_1}{2g} + \frac{\vartheta_1^2}{2g} + \frac{\vartheta_1^2}{2g} + \frac{(\vartheta_1 - \vartheta_2)^2}{2g}.$$

Oxirgi tenglama hadlarini bir xil indekslar bo‘yicha guruhlasak,

$$\frac{p_1}{\gamma} + \frac{\vartheta_1^2}{2g} = \frac{p_2}{\gamma} + \frac{\vartheta_1^2}{2g} + \frac{(\vartheta_1 - \vartheta_2)^2}{2g}.$$

Bu tenglamani (7.2) bilan solishtirsak, quyidagi kelib chiqadi

$$H_M = h_{\text{long}} = \frac{(\vartheta_1 - \vartheta_2)^2}{2g} \quad (7.4)$$

Olingan (7.4) formula *Bord formulasi* deyiladi.

Bu formulaga asosan bosimning keskin kengayishdagi pasayishi tezlik kamayishi kvadratining ikkilangan erkin tushish tezlanishiga nisbatiga teng (*Bord teoremasi*).

Endi, (7.4) formulaga uzilmaslik tenglamasi

$$\vartheta_1 \omega_1 = \vartheta_2 \omega_2, \text{ ёки } \vartheta_2 = \frac{\omega_1}{\omega_2} \vartheta_1$$

ni qo'llasak, quyidagi ko'rinishda yoziladi

$$H_M = \left(\vartheta_1 - \frac{\omega_1}{\omega_2} \vartheta_1 \right)^2 \frac{1}{2g} = \left(1 - \frac{\omega_1}{\omega_2} \right)^2 \frac{\vartheta_1^2}{2g}$$

Bu munosabatni (7.1) ga solishtirib, keskin kengayish uchun mahalliy qarshilik koeffitsiyenti formulasi ushbu ko'rinishda yoziladi:

$$\zeta = \left(1 - \frac{\omega_1}{\omega_2} \right)^2. \quad (7.5)$$

Bu olingan munosabat (tajribalarda tasdiqlanishicha) turbulent oqimlar uchun olingan tajriba natijalariga juda yaqin keladi. Shuning uchun u ko'rilgan hollarda hisoblash ishlarida keng qo'llaniladi. Quvurning kengaygan kesimi avvalgi kesimdan juda keng bo'lsa ($\omega_2 \gg \omega_1$), u holda $\zeta \approx 1$ bo'ladi

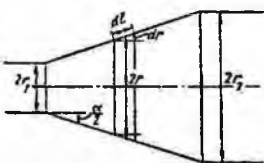
$$H_M = \frac{\vartheta_1^2}{2g}.$$

Bu xususiy holda oqimning butun kinetik energiyasi mahalliy qarshilikning yengish uchun sarf bo'ladi.

Shuni aytish kerakki, ko'rilgan holdagi energiyaning hammasi quvurning keskin kengaygan qismida oqimning quvur sirtidan ajrashi hisobiga hosil bo'lgan aylanma harakatning vujudga kelishiga va uning yangilanib turishiga sarf bo'ladi.

7.4. Diffuzorlar

Tekis kengayib boruvchi quvurlar (7.11-rasm) diffuzorlar deyiladi. Diffuzorlarda harakat tezligi kamayadi va bosim ortib boradi. Suyuqlik zarrachalari ortib borayotgan bosimni yengish uchun o'z kinetik enegiyasini sarflaydi, natijada diffuzorlarning kengayish yo'nalishida kinetik energiya kamayib boradi. Suyuqliknинг devor yonidagi qavatlarining energiyasi shunchalik kamayadiki, ortib borayotgan bosim kuchini yenga olmay qoladi va natijada harakatdan to'xtaydi yoki teskari yo'nalishda harakat qila boshlaydi. Asosiy oqim ana shu teskari harakatlanayotgan oqim bilan to'qnashishi natijasida uyurmali harakat vujudga kelib, oqimning quvur sirtidan ajralish hodisasi yuz beradi. Bu hodisaning tezkorligi diffuzorning konuslik burchagi ortishi bilan kuchayib boradi va uyurmali harakat hosil qilishga sarf bo'layotgan energiya ham ortadi. Bundan tashqari diffuzorda ishqalanish kuchini ham hisobga olish mumkin.



7.11-rasm. Diffuzorlarda bosimning kamayishini hisoblashga doir chizma.

Shunday qilib, diffuzorlarda bosimning pasayishi ikki yig'indidan iborat deb qaraladi

$$h_{\text{ay}} = H_M = h_i + h_{\text{keng}},$$

bu yerda h_i - bosimning ishqalanish hisobiga pasayishi; h_{keng} - bosimning kengayish hisobiga pasayishi. Bosimning ishqalanish hisobiga pasayishini taxminan hisoblash mumkin. Buning uchun diffuzorni diametri $2r$, yon sirti diffuzor sirti bilan $\frac{\alpha}{2}$ burchak tashkil qilgan va radiuslari r_1 dan r_2 gacha o'zgarib boruvchi uzunligi d bo'lган elementar silindrik naychalardan tashkil topgan deymiz (7.11-rasm). U holda har bir elementar naycha uchun quyidagiga ega bo'lamiz:

$$dh_i = \lambda_i \frac{dl}{2r} \frac{\theta^2}{2g}$$

V - ixtiyoriy ko'rيلayotgan kesimdagи о'rtacha tezlik va ixtiyoriy kesim yuzasi $S = \pi r^2$ ga teng desak;

$$dl = \frac{dr}{\sin \frac{\alpha}{2}} \text{ va } g = \frac{\omega_1}{\omega_2} g_1 = \left(\frac{r_1}{r} \right)^2 g_1$$

ni hisobga olib

$$dh_1 = \lambda_1 \frac{dr}{2r \sin \frac{\alpha}{2}} \left(\frac{r_1}{r} \right)^2 \frac{g_1^2}{2g}$$

formulani keltirib chiqaramiz.

Bu tenglikda dr (ya'ni dl) ni nolga intiltirib borsak, bosimning ishqalanish hisobiga kamayishini tenglikning chap tomonidan 0 dan h_i gacha, o'ng tomonidan r₁ dan r₂ gacha integral olish yo'li bilan hisoblaymiz:

$$h_1 = \lambda_1 \frac{r_1^4 - g_1^2}{2 \sin \frac{\alpha}{2} g} \int_{r_1}^{r_2} \frac{dr}{r^3} = \frac{\lambda_1}{8 \sin \frac{\alpha}{2}} \left[1 - \left(\frac{r_1}{r_2} \right)^4 \right] \frac{g_1^2}{2g}. \quad (7.6)$$

Kengayish hisobiga bosimning pasayishini hisoblash uchun keskin kengayishdagi (7.4) formuladan foydalanamiz va bunda diffuzor keskin kengayishini taxminiy ifodalangani uchun k koefitsiyent kiritamiz. U holda

$$h_{avg} = k \frac{(g_1 - g_2)^2}{2g} = k \left[1 - \left(\frac{r_1}{r_2} \right)^2 \right] \frac{g_1^2}{2g}. \quad (7.7)$$

k – tajribada aniqlanadigan koefitsiyent bo'lib, 5 – 20° konuslik burchagiga ega bo'lgan diffuzorlar uchun I.E. Idelshikning tajribadan aniqlangan formulasi bo'yicha

$$k = 3,2 t g \frac{\alpha}{2} \sqrt{\lg \frac{\alpha}{2}}.$$

Flingerning taxminiy formulasi bo'yicha

$$k = \sin \alpha$$

ga teng. Buni hisobga olib (7.6) va (7.7) yig'indisidan quyidagini olamiz:

$$H_M = h_{avg} = \left[\frac{\lambda_1}{8 \sin \frac{\alpha}{2}} \left(1 - \frac{1}{n^2} \right) + \sin \frac{\alpha}{2} \left(1 - \frac{1}{n} \right)^2 \right] \frac{V_1^2}{2g} = \zeta_{avg} \frac{V_1^2}{2g}, \quad (7.8)$$

bu yerda $n = \left(\frac{r_2}{r_1} \right)^2$ belgilash kiritilgan bo'lib, u diffuzoring kengayish darjasini deyiladi.

Shunday qilib, diffuzor uchun mahalliy qarshilik koefitsiyenti quyidagi formula bo'yicha aniqlanadi:

$$\zeta_{avg} = \frac{\lambda_1}{8 \sin \frac{\alpha}{2}} \left(1 - \frac{1}{n^2} \right) + \sin \frac{\alpha}{2} \left(1 - \frac{1}{n} \right)^2. \quad (7.9)$$

Bu formuladan ko‘rinadiki, mahalliy qarshilik koeffitsiyenti λ_u konuslik burchagi va kengayish darajasiga bog‘liq ekan.

(7.9) dan ko‘rinib turibdiki, α ning n ning ortishi bilan (λ_u o‘zgarmas bo‘lganda) yig‘indining birinchi hadi kamayadi, ya’ni ishqalanish kuchining ta’siri kamayib, diffuzor kaltalashadi va uyurmalarining ta’siri ko‘payadi, α kamayganda esa (o‘zgarmas kengayish darjasasi n da) ishqalanish kuchi ortib, uyurmalar kamayadi.

Hisoblashlarda odatda $\lambda_i = 0,015 \div 0,025$ deb olinadi. Bu holda, eng qulay diffuzor uchun nazariy yo‘l bilan kengayish darjasasi $n = 2 : 4$ ni keltirib chiqaramiz. Bu konuslik burchagi $\alpha = 6^\circ$ ga to‘g‘ri keladi.

Amalda diffuzorning uzunligini kamaytirish uchun n va α biroz kattaroq qilib, $\alpha = 7^\circ \div 9^\circ$ atrofida olinadi.

7.5. Quvurlarning torayishi

Keskin torayishda (7.3-rasm) kesimlar nisbati bir xil bo‘lgan keskin kengayishga nisbatan kamroq energiya sarf bo‘ladi. Bu holda energiyaning sarf bo‘lishiga tor quvurga kirishdagi ishqalanish kuchi va uyurmalar paydo bo‘lish sababdir. Uyurmalarning paydo bo‘lishi esa oqimning tor quvurga kirish oldidagi burchakni aylanib o‘ta olmay, keng quvur sirtidan ajralishiga va torayishiga, natijada quvur devori va oqim orasida juda sekin harakatlanuvchi uyurmali oqim paydo bo‘lishiga olib keladi. Oqimning torayishi u tor quvurga kirganda ham davom etadi va so‘ngra kengayadi. Bu davrda gidravlik yo‘qotish keskin kengayishdagi kabi aniqlanadi. Shunday qilib, bosimning to‘liq pasayishi quyidagiga teng bo‘ladi:

$$H_M = h_{\text{tor}} = \zeta_0 \frac{\vartheta_1^2}{2g} + \frac{(\vartheta_1 - \vartheta_2)^2}{2g} = \zeta_{\text{tor}} \frac{\vartheta_1^2}{2g}, \quad (7.10)$$

bu yerda: ζ_0 – tor quvurga kirishdagi ishqalanishni aniqlovchi qarshilik koeffitsiyenti; V_t – toraygandagi tezlik.

Keskin torayishning qarshilik koeffitsiyenti torayish darjasasi $n = \frac{\omega_1}{\omega_2}$ ga bog‘liq va I.E. Idelshik tomonidan taklif qilingan quyidagi yarim empirik formula bilan aniqlanishi mumkin:

$$\zeta_{\text{tor}} = \frac{1}{2} \left(1 - \frac{\omega_1}{\omega_2} \right) = \frac{1}{2} \left(1 - \frac{1}{n} \right) \quad (7.11)$$

Formulalardan ko‘rinib turibdiki, $\frac{1}{n} \approx 0$ deb hisoblash mumkin bo‘lsa, ya’ni katta idishdan quvurga kirish holida, agar kirish burchagi silliqlangan

bo'Imasa, qarshilik koeffitsiyenti (1.70-rasm) $\zeta_{tr} = 0,5$ bo'ladi. Kirish burchagi (kirish qirrasi) silliqlangan bo'lsa, qarshilik kuchi kamayadi.

Tekis torayish (7.11-rasm) konfuzor deb ataladi. Konfuzorda suyuqlik oqayotganda tezlik ortib, bosim kamayib boradi. Suyuqlik katta bosimli sohadan kichik bosimli sohaga qarab harakat qilgani uchun uyurmalar paydo bo'lishi va diffuzordagi kabi oqimning sirtdan ajralishiga hech qanday sabab yo'q. Shuning uchun konfuzorda energiya faqat ishqalanishga sarf bo'ladi. Shunday qilib, konfuzordagi qarshilik kuchi xuddi shunday diffuzordagiga qaraganda kichik bo'ladi.

Konfuzordagi bosimning pasayishini diffuzordagi kabi elementar bo'laklarga bo'lib, so'ngra integrallab hisoblash mumkin. Shu usul bilan quyidagi formulani olamiz:

$$H_M = \frac{\lambda}{8\sin\alpha} \left(1 - \frac{1}{n^2}\right) \frac{g_2^2}{2g} \quad (7.12)$$

bu yerda n - torayish darajasi.

Tor quvurga kirishda oqimning devordan ajralishi va ozroq uyurma hosil bo'lishi kuzatiladi. Bu uyurmani yo'qotish uchun ba'zan konussimon quvurning silindrik quvurga tutashgan joyiga ma'lum shakli berilib, silliq tutashtiriladi. Bunday tutashtirilgan quvurlar soplo deyiladi.

7.6. Tirsaklar

Quvurlarning keskin burilishi yoki tirsaklarda (7.5-rasm), odatda anchagini miqdorda energiya sarf bo'ladi. Tirsaklarda energiya sarfiga oqimning (quvur sirtidan) ajralishi va uyurmalar yuzaga kelishi sabab bo'lib, φ burchak qancha katta bo'lsa, sarf ham shuncha ko'p bo'ladi.

Silindrik quvurlardagi tirsaklarda mahalliy qarshilik koeffitsiyenti ζ_{tr} burchak ning o'sishi bilan juda keskin o'sib, $\varphi = 90^\circ$ da 1 ga teng bo'ladi. Kichik diametrali quvurlardagi tirsaklar uchun qarshilik koeffitsiyentini ushbu formula yordamida hisoblash mumkin:

$$\zeta_{tr} = 0,946 \sin^2 \frac{\varphi}{2} + 2,047 \sin^4 \frac{\varphi}{2} \quad (7.13)$$

Energiya sarfi katta bo'lgani uchun keskin burilishli tirsaklarni quvurlarda qo'llash tavsiya etilmaydi.

Quvurlardagi burilishlarni (7.6-rasm) ham, odatda, tirsaklar deb atash mumkin. Bunday burilishli tirsaklarda uyurmalar kamroq paydo bo'ladi. Bu holda qarshilik koeffitsiyenti ζ_b ni hisoblash uchun ushbu formuladan foydalilaniladi:

$$\zeta_b = \left[0,131 + 0,163 \left(\frac{D}{R_b} \right)^{0.5} \right] \frac{\varphi}{90^\circ}. \quad (7.14)$$

$\varphi = 90^\circ$ va $\frac{R_b}{D} \geq 1$ bo'lganda, tajribadan olingan quyidagi formuladan foydalinish mumkin:

$$\zeta_b \approx \zeta'_b \approx 0,051 + 0,19 \frac{D}{R_b} \quad (7.15)$$

Burchak $\varphi \leq 70$ bo'lganda, qarshilik koeffitsiyenti

$$\zeta_b \approx 0,9 \sin \varphi \zeta'_b$$

Ga, $\varphi \geq 100$ da esa quyidagiga teng.

$$\zeta_b = \left(0,7 + \frac{\varphi 0,35}{90^\circ} \right) \zeta'_b \quad (7.16)$$

Burilishdagi bosimning pasayishi qarshilik koeffitsiyenti aniqlashga keladi

$$H_M = h_b = \zeta_b \frac{g^2}{2g}$$

va u to'liq gidravlik yo'qotish bilan ishqalanishga, yo'qotishning ayirmasiga teng, ya'ni quvur egriligi hisobiga paydo bo'lgan qarshiliknigina ifodalaydi.

Tirsaklarda qarshilik qurvuring shakliga bog'liq bo'lib, u oqimning uyurmalar hosil qilishiga ta'sir qiladi. Bu masalalar ustida juda ko'p nazariy tekshirishlar va tajribalar mavjud bo'lib, biz ular to'g'risida to'xtalib o'tirmaymiz.

7.7. Reynolds sonining kichik qiymatlarida mahalliy qarshilik koeffitsiyenti

Yuqorida aytganimizdek, Reynolds sonining katta qiymatlarida (agar harakat turbulent bo'lsa) mahalliy qarshilikning Re ga bog'liqligi shunchalik kichikki, uning ta'sirini hisobga olmasa ham bo'ladi. U holda, yuqorida keltirilgan usullar bilan turli qarshilik koeffitsiyentlarini hisoblash mumkin.

Laminar harakat vaqtida esa umumiyligi qarshilik ishqalanish kuchi va uyurmalar yuzaga kelishi hisobiga paydo bo'lgan qarshiliklar yig'indisiga teng. Buni hisobga olib, o'tkazilgan tajribalar mahalliy qarshilik koeffitsiyentini quyidagi ko'rinishda ifodalashga imkon beradi:

$$\zeta = \frac{A}{Re} + B \quad (7.17)$$

Keyinchalik o'tkazilgan A.D. Altshul, V.N.Karayev va N.Z. Frenkellarning tajribalari Reynolds sonining kichik qiymatlarida ($Re < 9$)

mahalliy qarshilik koeffitsiyentini Re ga teskari proporsional ko'rinishda olish mumkin ekanligini ko'rsatadi:

$$\zeta = \frac{A}{Re}$$

Demak, Reynolds sonining juda kichik qiymatlarida qarshilik koeffitsiyenti mahalliy qarshilikning shakliga bog'liq bo'lmay, faqat Re soniga bog'liq bo'lar ekan.

Laminar tartibli oqimlar uchun Reynolds sonining kattaroq qiymatlarida esa mahalliy qarshilik (2.17) ka qaraganda biroz murakkabroq ko'rinishda ifodalanishi mumkin:

$$\zeta = \frac{C}{Re^m} \quad (7.18)$$

bu yerda: C va m - mahalliy qarshilikning qaysi ko'rinishida bo'lishiga bog'liq koeffitsiyentdir.

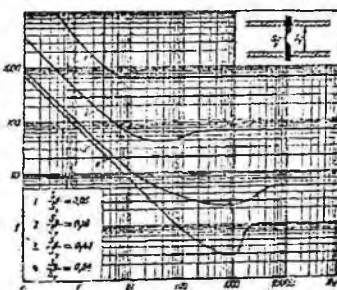
F.P.Tolstolessovning tajribalari bo'yicha $m = 0,285$ bo'lib,

$$\zeta = \frac{C}{Re^{0,285}}.$$

"Azneftekombinat"ning gidravlik laboratoriyasida o'tkazilgan tajribalar bo'yicha $m = 0,25$ bo'ladi:

$$\zeta = \frac{C_1}{Re^{0,25}}$$

Tajriba natijalaridan ko'rindiki, Reynolds sonining kattaligi ortishi bilan mahalliy qarshiliklar shaklining ta'siri ortib boradi, $Re > 3500$ bo'lganda, xususan turbulent tartibga o'tganda, bu ta'sir hal qiluvchi rol o'ynaydi.



7.12-rasm. Kichik Re da mahalliy qarshilik.

Misol sifatida 7.12-rasmida diafragmalar uchun mahalliy qarshilik koeffitsiyentining Re ning o'zgarishi bo'yicha o'zgarib borishini to'rtta diafragma uchun keltirilgan.

Bu rasmdan Reynolds sonining kichik qiymatlarida $\lg \zeta, \lg Re$ ga chiziqli bog'liq bo'lib, mahalliy qarshilik koeffitsiyenti uchun (2.17) formulaning to'g'ri ekanligi ko'rindi. Reynolds soni kattalashgan sari bu qonuniyat o'zgarib boradi.

Mahalliy qarshiliklarda Re soni kichik bo'lgan hollarda amaliy hisob ishlari uchun gidravilik yo'qotishni quvurning ekvivalent uzunligi bilan almashtiriladi. Ekvivalent uzunlik deb ko'rilib yotgan quvurning shunday uzunligi olinadiki, undagi ishqalanish qarshiligi mahalliy qarshilikka teng. Bu holda:

$$H_M = \zeta_M \frac{g^2}{2g} = \lambda \frac{l_{\infty}}{D} \frac{g^2}{2g} \quad (7.19)$$

Bundan ekvivalent uzunlik uchun formula chiqaramiz:

$$l_{\infty} = \zeta_M \frac{D}{\lambda} \quad (7.20)$$

Ekvivalent uzunlikni turli mahalliy qarshiliklar uchun, odatda, tajriba yo'li bilan aniqlanadi.

7.8. Mahalliy gidravlik qarshiliklarda kavitatsiya hodisasi

Suyuqliklarda gazlarning erishi haqida so'z yuritilgan 8-§ da biz kavitatsiya hodisasi ustida to'xtalib o'tdik va kavitatsiya hodisasi suyuqliklarda agregat holatining o'zgarishi bilan bog'liq ekanligi ko'rsatiladi. Unda kavitatsiya hodisasi bosimning kamayishi yoki temperaturaning ortishiga bog'liq ekanligi aytilgan edi. Mahalliy qarshiliklarda temperatura o'zgarmay, oqim kesimining o'zgarishi natijasida suyuqlikda erigan gazlarning miqdori o'zgaradi. Suyuqliklarning zichligi (yoki solishtirma hajmi) deyarli o'zgarmagani uchun unda erigan gazlarga Boyl-Mariot qonunini qo'llash mumkin bo'ladi.

$$pV = RT$$

bu yerda p - bosm, V - solishtirma hajm, T - absolyut temperatura, R - gaz doimiysi.

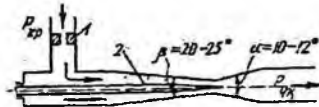
Suyuqlik oqimlarida temperatura o'zgarmagani va ko'ndalang kesim kichrayganda bosim ortib, kesim kattalashganda bosim kamaygani uchun mahalliy torayish mavjud joylarda tezlik ortib, bosim kamayadi (masalan, keskin torayish, konfuzor, jo'mraklar, teshikchalar, diafragmalar va h. k.). Agar bu yerda absolyut bosim suyuqlikning to'yingan bug'larining shu temperaturadagi portsial bosimga teng bo'lsa, u holda bug'lanish va erigan gazlarning ajralish hodisasi yoki mahalliy qaynash hodisasi ro'y beradi. Torayishdan keyin kengayish boshlanishi bilan bosim ortib, qaynash to'xtaydi va ajralgan bug'lar kondensatsiyalani, gazlar eriydi, ya'ni

kavitatsiya hodisasi yuz beradi. Kavitatsiya hodisasi yuqori chastotali mahalliy kichik gidravlik zarbalarining kelib chiqishiga sabab bo'ladi. Bu hodisa gidrosistemalarda odatdagagi tartibning buzilishiga, ayrim hollarda esa, uning qismalarining ishdan chiqishiga sabab bo'ladi, quvurlarda qarshilikning ortishiga olib keladi.

Shuning uchun mahalliy qarshiliklarda kavitatsiyaning kelib chiqishiga qarshi kurash olib boriladi. Bunday usullardan biri mahalliy qarshilikning bosim kamayuvchi qismida klapanlar yordamida bosimni ko'tarishdan iborat. Lekin bu usul bosimning pasayish darajasi yuqori bo'lganda ko'p foyda bermaydi, ammo kavitatsiyaning zararli ta'sirini kamaytirishga yordam beradi.

7.9. Kavitatsiyadan amalda foydalanish

Kavitatsiya hodisasidan amalda foydalanish ham mumkin. Xususan bu hodisani sarfini stabillash maqsadida Venturi soplolaridan foydalanishda ko'rish mumkin (7.13-rasm). Kirishdagi bosim p_{in} o'zgarmagan holda, chiqishdagi bosim p_{out} kamayishi



7.13-rasm. Kavitatsiya hodisasidan sarfni barqarorlashda foydalanish uchun qurilma.

bilan oqimning tezligi va sarfi ortadi. Lekin tezlik ortishi bilan soploning toraygan qismida bosim kamayadi. Bu bosim kavitatsiyaning boshlanishiga olib keluvchi bosim miqdoriga tenglashsa yoki undan kamaysa, bug' va erigan gazlarning ajralib chiqishi natijasida suyuqlik qaynay boshlaydi. Bosimning bundan keyingi kamayishi kavitatsiya hodisasi tezkorligining ortishiga va natijada qarshilikning ortishiga, suyuqlik qaynashi boshlanishidan keyin, chiqishdagi bosimning kamayib borishiga qaramay, suyuqlik sarfining o'zgarmasdan qolishiga sabab bo'ladi. p_{out} ning kamayishi faqatgina diffuzorda kavitatsiya zonasining kengayib borishiga olib keladi. Bu voqealardan gidrosistemalarning chiqish qismida bosim miqdorining o'zgarib turishi hollarida suyuqlik sarfini stabillash uchun kerak bo'ladi.

Ko'rيلотган qurilmada (7.13-rasm) sarfni o'lchash bo'lib, u sarf o'zgarishining katta diapazonlarida $\frac{Q_{\text{out}}}{Q_{\text{in}}} \geq 10$ uni boshqarishga yordam beradi.

beradi. Bu holda kavitsiya natijasida gidrosistema qismlarining buzilishi holi bo'lmaydi.

7.10. Mahalliy qarshiliklarning o'zaro ta'siri

Gidravlik sistemalarda umumiylar qarshilik uning qismlaridagi ayrim qarshiliklarning yig'indisidan iborat. Masalan, quvurda bir qancha mahalliy qarshiliklar (tirsak, jo'mrak, diafragma, eshikcha va h.k.) bo'lib, ularni xarakterlovchi mahalliy qarshilik koefitsiyentlari $\zeta_1, \zeta_2, \zeta_3, \dots, \zeta_n$ bo'lsin. Agar quvurning uzunligi z , diametri D va sarfi Q bo'lsa, undagi ishqalanish qarshiligi

$$H_s = \lambda \frac{Z \frac{g^2}{2g}}{D},$$

mahalliy qarshiliklar quyidagicha bo'ladi:

$$H_{M1} = \zeta_1 \frac{g^2}{2g}$$

$$H_{M2} = \zeta_2 \frac{g^2}{2g}$$

$$H_{M3} = \zeta_3 \frac{g^2}{2g}$$

.....

$$H_{Mn} = \zeta_n \frac{g^2}{2g}$$

Bularni qo'shib, umumiylar qarshilikni topamiz:

$$H = \left(\zeta_1 + \zeta_2 + \zeta_3 + \dots + \zeta_n + \lambda \frac{Z}{D} \right) \frac{g^2}{2g} \quad (7.21)$$

Oxirgi munosabatda qavs ichidagi qiymat quvurdagi ishqalanish kuchi, qarshilik va mahalliy qarshilik koefitsiyentlari yig'indisidan iborat bo'lib, sistemaning qarshilik koefitsiyenti deyiladi:

$$\zeta_{sif} = \zeta_1 + \zeta_2 + \zeta_3 + \dots + \zeta_n + \lambda \frac{Z}{D} \quad (7.22)$$

Bu holda sistema uchun

$$H = \zeta_{sif} \frac{g^2}{2g}$$

Qarshiliklarni bunday qo'shish uchun mahalliy qarshiliklar bir-biridan ma'lum masofada bo'lishi kerak, ya'ni har bir mahalliy qarshilik avvalgisidan shunday masofada bo'lishi keraki, unga kelayotgan oqim avvalgi mahalliy qarshilikdan o'tishdagini hosil bo'lgan turli o'zgarishlar ta'siridan holi bo'lgan (turg'unlashgan) bo'lishi kerak. Masalan, turbulent tartibda oqayotgan suyuqlik, laminar oqimli quvurga kirgandan keyin shunday masofani o'tishi kerakki, bunda tezlikning laminar oqimga tegishli

taqsimlanishi vujudga kelishi kerak. Shuningdek, biror mahalliy qarshilikdan o'tayotganda buzilgan laminar oqimning yana turg'unlashuvi biror masofadan o'tganidan so'ng sodir bo'ladi.

Masalan, quvurlarning burilishlaridagi tartibning buzilishi quvur diametridan 50 marta katta masofada ham saqlanadi.

Turg'unlashuv masofasi l_{cr} quyidagi formula bo'yicha hisoblanishi mumkin:

$$l_{cr} = 0,693 \text{Re}^{0,25} D$$

bu yerda D - quvurning ichki diametri

Quvurning kirish qismi juda yaxshi silliqlanganda laminar oqimning turg'unlashuv qismi $0,29 \text{ Re}D$ gacha kamayadi.

Amalda mahalliy qarshiliklarni bir-biridan to'g'ri chiziqli bo'lak bilan ajratib, ular orasidagi masofani $l \leq (10 \div 20)D$ ga tenglashtirishga harakat qilinadi.

Odatda, gidrosistemalarda mahalliy qarshiliklar bizning ixtiyorimizga bog'liq bo'lмаган holda turli masofalarga o'rnatilgani uchun ularning o'zaro ta'sirini hisobga olib bo'lmaydi va mahalliy qarshiliklardagi energiya sarfi taxminiy hisoblanadi. Boshqacha aytganda, mahalliy qarshiliklarning o'zaro ta'siri kichik miqdor sifatida nazarga olinmaydi. Umumiy qarshilik oldida bu kuchlar juda kichik bo'lgani uchun hisoblash natijalariga sezilarli ta'sir ko'rsatmaydi.

Amaliy mashg'ulotlarni bajarishga doir ko'rsatma

Masala: Uzunligi $l=1,5$ km va diametri $d = 250$ mm li quvurda benzin oqib o'tmoqda. Benzinning harorati $t = 20^\circ\text{C}$, sarfi $Q = 0,026 \text{ m}^3/\text{s}$. Quvurda yo'qolgan dam (napor)ni aniqlang. Agar quvurning diametrini 20% kamaytirsak yo'qolgan dam (napor) miqdori qanchaga o'zgaradi? Quvurning g'adir-budurligi $\Delta=0,2$ mm.

Yechimi: L Quvurdagi oqim tezligi:

$$\theta = \frac{4Q}{\pi d^2} = 0,53 \text{ m/s}$$

Suyuqlikning harakat rejimini aniqlaymiz: jadvaldan $t = 20^\circ\text{C}$ haroratdagи benzinning kinematik yopishqoqlik koeffitsiyenti $v = 0,75 \text{ mm}^2/\text{s}$.

Reynolds soni:

$$\text{Re} = \frac{\rho d}{\nu} = 177 * 10^3$$

demak, harakat rejimi turbulent.

U holda gidravlik ishqalanish koefitsiyentini Altshul formulasi yordamida aniqlaymiz:

$$\lambda = 0,11 \left(\frac{\Delta}{d} + \frac{68}{Re} \right)^{0.25} = 0,02.$$

Bosimning yo'qolishi: $\Delta P = \frac{\lambda \cdot l}{d} \cdot \frac{\rho V^2}{2} = 11,8 \cdot 10^3 \text{ Pa}$

II. Quvur diametrini 20% ga kamaytirsak:

$$d_1 = 0,8d = 200 \text{ mm}$$

U holda yo'qolgan bosim miqdori:

Demak, quvur diametrini 20% ga kamaytirsak, bosimning kamayishi (yo'qolgan napor) 3,2 marta oshar ekan.

Mustaqil yechishga doir masalalar

1. Uzunligi $l=5 \text{ km}$, diametri $d = 20 \text{ sm}$ bo'lgan po'lat qurvurdan harorati $t = 20^\circ\text{C}$ bo'lgan suv oqib chiqmoqda. Agar qurvurdan o'tayotgan suv sarfi $Q = 20 \text{ l/s}$ bo'lsa, gidravlik ishqalanish koefitsiyentini aniqlang.

2. Yuqoridagi masalada suv o'miga neft oqib o'tayotgan bo'lsa, gidravlik ishqalanish koefitsiyenti qanday bo'ladi?

3. Laboratoriya sharoitida po'lat qurvuring gidravlik ishqalanish koefitsiyentini aniqlash uchun, yangi po'lat qurvurda tajribalar o'tkazadilar. Buning uchun uzunligi $l=6 \text{ m}$, diametri $d = 200 \text{ mm}$ bo'lgan qurvurga pezometr ulanib, ma'lum miqdor sarfni o'tkazadilar. Agar suv sarfi $Q = 10 \text{ l/s}$ bo'lib, pezometrlardagi suyuqliklar sathining farqi $\Delta h = 200 \text{ mm}$ bo'lganda gidravlik ishqalanish koefitsiyentini aniqlang.

4. Agar po'lat qurvuni a) cho'yan; b) polietilen; v) asbestotsement quvurlar bilan almashtirsak pezometrdagi suyuqliklar sathining farqi o'zgaradimi?

VII bob bo'yicha nazorat savollari:

1. Mahalliy qarshilikning asosiy turlari.
2. Mahalliy qarshilik koefitsiyenti.
3. Bord teoremasi ta'rifi.
4. Tirsaklar.
5. Kavitsiya hodisasi.
6. Mahalliy qarshiliklarning o'zaro ta'siri.

VIII BOB. SUYUQLIKLARNING TESHIK VA NAYCHALARDAN OQISHI

Texnikada juda ko'p hollarda suyuqliklarning tor va kalta naychalardan hamda teshiklardan oqish hollarini uchratish mumkin. Bu holning o'ziga hos hususiyati shundan iboratki, biror katta idishdagi suyuqliklarning potentsial energiyasi teshikdan chiqishda oqimchaning kinetik energiyasiga aylanadi. Albatta bu holda energiyaning bir qismi qarshiliklarni yengishga sarf bo'ladi. Bunday voqeani gidrouzatmalarda moylarning gidrosilindrlardan bosim ostida oqib chiqishi, yoqilg'inining yonish kamerasiga oqib o'tish va hokazolarda uchratish mumkin. Odatda bu masalalarni yechishda oqim fizikasiga bog'liq shartlar kiritiladi.

8.1. Suyuqlikning yupqa devordagi teshikdan o'zgarmas bosimda oqishi

Biror katta idishda suyuqlik p_1 bosim ostida saqlanayotgan bo'lib, u ozod sirtidan H_a masofadagi kichik teshikdan oqayotgan bo'lsin (8.1-rasm, a). Diametri idish o'lchamlariga qaraganda juda kichik bo'lgan teshik kichik teshik deb ataladi. Yupqa devor deb oqayotgan suyuqlik teshikning faqat ichki qirrasiga tegib, uning yon sirtiga tegmagan holga aytildi. Bunday hol devor qaliligi teshik diametridan bir necha barobar kichik bo'lsa yoki teshik kesimining ichki qirrasidan tashqariga kengayib borsagina (8.1-rasm, b) o'rini bo'ladi.

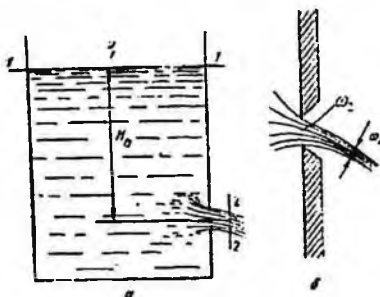
Bu holda suyuqlik zarrachalari teshik atrofidagi hajmdan tashqariga qarab harakat qiladi va teshikka yaqinlashgan sari tezlashib boradi. Shu bilan birga suyuqlikning oqayotgan zarrachalarning barchasi uchun bir xil sharoit bo'lib, ular silliq trayektoriya bo'yicha harakat qiladi va teshik qirrasida idish devoridan ajraladi. Bunday keyingi oqish davomida oqimchaning kesimi bir oz torayadi va silindrik shakl qabul qiladi. Ko'rيلayotgan holda asosiy masala teshikdan iborat. Suyuqlikka to'ldirilgan idishda (8.1-rasm, a) yuzasi ω_1 bo'lgan 1-1 (erkin sirt) va ω_2 bo'lgan 2-2 oqayotgan suyuqlik oqimchasining teshik oldidagi kesimlari uchun Bernulli tenglamasini yozamiz:

$$\frac{g^2}{2g} + \frac{P_1}{\gamma} + z_1 = \frac{g^2}{2g} + \frac{P_2}{\gamma} + z_2 + \zeta \frac{g^2}{2g}. \quad (8.1)$$

Bundan teshik uchun mahalliy qarshilik koefitsiyenti nolga teng bo'lgan holda $z_1 - z_2 = H$ va $\vartheta_1 \omega_1 = \vartheta_2 \omega_2$ ekanligini hisobga olsak, ushu tenglamani olamiz:

$$\left[1 - \left(\frac{\omega_2}{\omega_1}\right)^2\right] \frac{g_2^2}{2g} = \frac{p_2 - p_1 + H}{\gamma},$$

bu tenglamadan oqimchaning nazariy hisoblangan tezligi uchun quyidagi munosabat kelib chiqadi:



8.1-rasm. Suyuqlikning teshiklaridan oqib ketishiga doir chizma.

$$g_n = g_2 \sqrt{\frac{2g \frac{p_2 - p_1 + H}{\gamma}}{1 - \left(\frac{\omega_2}{\omega_1}\right)^2}}. \quad (8.2)$$

Agar idishning kesimi ω_1 ga qaraganda teshikning kesmi ω_2 juda kichik bo'lsa, u holda

$$g_n = g_2 \sqrt{2g \left(\frac{p_2 - p_1 + H}{\gamma} \right)}$$

Idishdagi suyuqlik sirtida ham, teshik tashqarisida ham atmosfera bosimi bo'lsa yoki $p_1 = p_2$ bo'lsa, u holda

$$g_n = g_2 = \sqrt{2gH}. \quad (8.3)$$

Bu formula Torichelli formulasi deb ataladi, u suyuqlikning tor teshikdan oqishi tezlikni hisoblash uchun nazariy formuladir.

Suyuqlikning teshikdan oqish tezligi ma'lum bo'lgan holda sarfni hisoblash qiyin emas

$$Q_n = g_2 \omega_2. \quad (8.4)$$

Lekin amalda oqimcha teshikdan chiqayotganda uning kesimining torayishi sababli ko'rيلayotgan masala biz ko'rgandagiga qaraganda murakkabroq. Shuning uchun biz chiqargan tezlik formulalari tezlik va sarfni nazariy tekshirish uchun qo'llanib, amalda esa ularga ma'lum tuzatishlar kiritiladi.

8.2. Siqilish, tezlik va sarf koeffitsiyentlari

Biz yuqorida suyuqlikning teshikdan oqishini ko'rganimizda oqimchaning teshikdagi kesimini olganimiz uchun oqimchaning va teshikning kesimini bir xil deb qaradik. Aslida esa suyuqlik teshikka uning atrofidagi hajmdan har tomonlama oqib kelgani uchun tezligi oshib boradi. Suyuqlik oqimi teshikka yaqinlashgan sari torayib boradi va bu jarayon suyuqlik teshikdan o'tgandan keyin ham inertsiya kuchi ta'sirida ma'lum masofagacha davom etadi. So'ngra esa torayish to'xtab, oqim o'zgarmas ω_c kesimli oqimcha ko'rinishida harakat qiladi. Oqimchaning torayishi taxminan teshik diametriga teng masofada to'xtaydi. Torayishni hisoblash uchun, odatda siqilish koeffitsiyenti ε kiritiladi

$$\varepsilon = \frac{\omega_c}{\omega_2} \quad (8.5)$$

Bu koeffitsiyent yuqorida aytilganlarga asosan biridan kichik va tajribalarda aniqlanishicha $\varepsilon = 0,61 \div 0,64$ atrofida bo'ladi.

Biz teshikdan oqayotgan suyuqlik tezligi uchun formula chiqarishda $\zeta = 0$ deb qabul qilgan edik. Amaldagi tezlikni hisoblash uchun esa (8.1) dagi mahalliy qarshilik koeffitsiyenti ζ ni hisobga olgan holda quyidagi formulani olamiz

$$\vartheta_a = \sqrt{\frac{2g \left(\frac{p_2 - p_1 + h}{\gamma} \right)}{1 + \zeta - \left(\frac{\omega_2}{\omega_1} \right)^2}}.$$

Tor teshiklar uchun esa $\frac{\omega_2}{\omega_1} \ll 1$ bo'lganda sababli $\left(\frac{\omega_2}{\omega_1} \right)^2 \approx 0$ deb hisoblab, quyidagini olamiz:

$$\vartheta_a = \sqrt{\frac{2g \left(\frac{p_2 - p_1 + h}{\gamma} \right)}{1 + \zeta}}.$$

Yuqorida ko'rganimizdek, $p_1 = p_2$ hol uchun

$$\vartheta_a = \frac{1}{\sqrt{1 + \zeta}} \sqrt{2gH}. \quad (8.6)$$

Bu formulani (8.3) bilan solishtirsak, amaliy va nazariy tezliklar o'rtaida quyidagi munosabatni olamiz

$$\vartheta_a = \frac{1}{\sqrt{1 + \zeta}} \vartheta_s. \quad (8.7)$$

Bundan ko'rindiki, amaliy tezlik nazariy tezlikdan kichik ekan. Odatda, amaliy tezlikning nazariy tezlikka nisbatini tezlik koeffitsiyenti deb ataladi va φ bilan belgilanadi:

$$\varphi = \frac{\vartheta_n}{\vartheta_a} \quad (8.8)$$

(8.8) ni (8.7) bilan solishtirish natijasida tezlik koeffitsiyentini hisoblash uchun ushbu formulaga ega bo'lamiz:

$$\varphi = \frac{1}{\sqrt{1 + \zeta}}. \quad (8.9)$$

Ko'rinib turibdiki, $\varphi < 1$. Ideal suyuqliklar oqqanda esa $\zeta = 0$, $\varphi = 1$ bo'lib, oqish tezligi uchun nazariy formulani olamiz. Tajribalarning ko'rsatishicha suv uchun $\zeta \approx 0,06$, $\varphi \approx 0,97 \div 0,98$ bo'ladi.

Teshikdan oqayotgan suyuqlikning amaliy sarfi quyidagicha hisoblanadi:

$$Q_a = \vartheta_a \omega_c$$

(8.5) dan $\omega_c = \epsilon \omega_2$ bo'lgani uchun (8.8) ni hisobga olib, oxirgi tenglikdan ushbu munosabatni olamiz:

$$Q_a = \varphi \vartheta_n \epsilon \omega_2 = \varphi \epsilon \vartheta_n \omega_2$$

Bu so'nggi formulani (8.4) bilan solishtirib, nazariy va amaliy sarflar uchun quyidagi bog'lanishni olamiz:

$$Q_a = \varphi \epsilon Q_n = m \vartheta_n \omega_2. \quad (8.10)$$

(8.10) dagi $\varphi \epsilon$ ko'paytmani m bilan belgilaymiz va sarf koeffitsiyenti deb ataymiz

$$m = \varphi \epsilon \quad (8.11)$$

Bunday xulosa qilib, sarf koeffitsiyenti amaliy sarfning nazariy sarfga nisbatiga teng ekanligini ko'ramiz:

$$m = \frac{Q_a}{Q_n}$$

Yuqorida φ va ϵ uchun keltirilgan tajriba miqdorlaridan $m \approx 0,60 \div 0,63$ ekanligi ma'lum. ϵ , φ , m larning keltirilgan qiymatlari Reynolds sonining katta miqdorlari uchun to'g'ri. Aslini olganda bu koeffitsiyentlar Re ning funksiyasidir.

8.3. Suyuqlikning silindrik naychadan oqishi

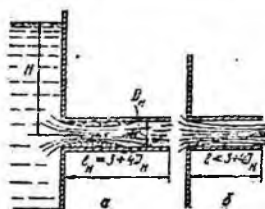
Idish devoridagi teshikka o'matilgan kalta quvurlar *naychalar* deb ataladi. Odatda, naychalardan sarfini ko'paytirish yoki ixcham oqimchalar olish uchun foydalilaniladi. Ko'p hollarda idish devori qalin bo'lib, u parma bilan teshilganda naycha shaklida teshik paydo bo'ladi.

Naychalardan oqadigan suyuqlikni hisoblashda yuqorida keltirilgan tezlik va sarf formulalardan foydalanamiz, lekin ϵ , φ , m koeffitsiyentlarning qiymatlari boshqacha bo'ladi.

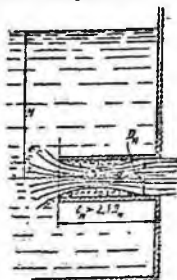
Silindrik naychalardan suyuqlik oqayotganda kirishda u devordan ajraladi va torayadi. Bu hodisa xuddi yupqa devordagi teshikdan oqish holidagi kabi bo'ladi. Lekin bu torayish to'xtab, toraygan oqimcha bilan naycha devori orasida uyurmali harakat vujudga kelganligi sababli kengayish boshlanadi va oqim naychaning butun kesimini egallab olguncha davom etadi. Natijada oqimcha naychaning ko'ndalnag kesimiga teng kesimda chiqib ketadi. Bu hodisa naychaning uzunligi l uning diametridan $3\div 4$ marta katta bo'lganda to'liq amalgalashadi (8.2-rasm, a).

Bu holda oqimcha diametri naycha diametriga teng bo'lgani uchun siqilish koeffitsiyenti $\epsilon = 1$, binobarin, $m = \varphi$ bo'ladi.

Agar naycha $l_n = (3\div 4)D_n$ dan kalta bo'lsa, bu holda toraygan oqimcha naycha kesimigacha kengayib ulgurmaydi va oqim teshikdan oqayotgan suyuqlik kabi bo'ladi (8.2-rasm, b). Naycha uzunligining uning diametriga nisbati $\frac{l}{D_n}$ va Reynolds soni tezlik hamda sarf koeffitsiyentlariga ta'sir ko'rsatadi. Bu ta'sirni tajribalarda ko'p tekshirilgan bo'lib, φ , m va ζ larning o'rtacha qiymatlari silindrik naychalar uchun quydagicha bo'ladi:



8.2-rasm. Naychadan oqish.



8.3-rasm. Ichki silindrik naycha.

Yupqa devordagi teshikdan oqish holi bilan solishtirish natijasi shuni ko'rsatadiki, silindrik naychalardan oqishda oqimchaning siqilishi bo'lmagani uchun sarf ortadi, lekin qarshilik katta bo'lgani uchun tezlik kamroq bo'ladi. Ba'zi hollarda ichki silindrik naychalar qo'llanilib, ular idish devoridagi teshikka ichkari tomonidan kavsharlangan juda kichik quvur ko'rinishida bo'ladi. Bunday naychalarda oqimcha kirishdagi torayishdan keyin $l_n > 2,5D_n$ ga teng uzunlikda to'liq kengayadi (8.3-rasm). Bu holda ham $\epsilon = 1$ bo'lib, $m = \varphi = 0,70$ bo'ladi $l_n \leq 1,5D$ da esa oqim to'liq kengayishiga ulgurmeydi, natijada sarf kamayib ketadi.

8.4. Turli xil naychalar

Silindrik naychalarning kamchiliklari shulardan iboratki, ularning uzunligi yetarli bo'lib, oqimcha to'liq kengayishga ulgursa (8.3-rasm a), u holda qarshilik ortib ketadi. Agar u kaltaroq bo'lsa, oqimcha to'liq kengaymasligi (8.3-rasm, b) natijasida sarf koeffisieti kamayib ketadi. Shuning uchun, odatda, boshqa xildagi naychalar ham qo'llaniladi. Ular konussimon kengayuvchi (8.4-rasm, a), konussimon torayuvchi (8.4-rasm, b) va konoidal (8.4-rasm, v) naychalardir.

Konussimon kengayuvchi naychalarda (diffuzorlarda) kirishda oqimcha juda ko'p torayadi, so'ngra esa tez kengaya boshlaydi va naychani butunlay to'ldiradi. Shuning uchun siqilish koeffitsiyenti $\epsilon=1$. Konuslik burchagi $\Theta > 8^0$ bo'lganda esa oqimcha to'liq kengaya olmaydi va natijada naycha devorlariga tegmay oqadi. Bu holda oqish yupqa devordagi teshikdan oqish holidan farq qilmaydi.

Kengayuvchi naychalarda tezlik, siqilish va sarf koeffitsiyentlari ($\Theta > 8^0$ da) konussimon kengayish burchagiga bog'liq bo'lib, ularning qiymatlari o'rtacha $m = \varphi = 0,45$ bo'ladi. Bunday naychalarda tezlik kamayib ketadi. Bunga sabab naychada oqimcha torayishi va so'ngra tez kengayishi natijasida qarshilik ko'payib ketishidir. Shunga qaramay suyuqlik sarfi ancha ko'payadi. Albatta, sarf koeffitsiyentidan buning aksi ko'rinati, lekin bu koeffitsiyent kengaygan chiqish kesimiga tegishli ekanini hisobga olsak, sarfning ko'payishi tushunarli bo'ladi. Konussimon kengayuvchi naychalarda oqimcha toraygan yerda vakuum paydo bo'ladi va u so'risht effektini vujudga keltiradi. Bu effekt silindrik naychalarda ham bo'ladi, lekin kengayuvchi naychalarda kuchli. Bunday naychalar past bosimlarda yaxshi natija beradi.

Konussimon torayuvchi naychalarda ham φ , m , ϵ koeffitsiyentlar konuslik burchagi Θ ga bog'liq. Bunday naychalarda kirishda oqimcha torayadi (bu hodisa silindrik naychaldagiga qaraganda kamroq bo'ladi) va so'ng

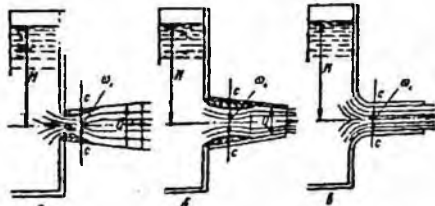
kengayadi. Naychadan chiqishda esa, uning kesimi torayishda davom etgani uchun, oqimcha uchun ikkinchi (tashqi) torayish yuz beradi. Bu naychalarda ichki torayish kam bo'lgani uchun unga sarf bo'lgan energiya ham kam bo'ladi. Tajribadan ma'lumki torayuvchi naychalarda tezlik koeffitsiyenti konuslik burchagi ortishi bilan ortib boradi: sarf koeffitsiyenti esa avval ortib borib, $\Theta = 13^\circ$ da eng katta qiymatga ($m = 0,946$) erishadi, so'ngra esa kamayadi. Shuni aytilish keraki sarf koeffitsiyenti ortganiga qaramay torayuvchi naychalarda sarf kamayadi, shunki barcha koeffitsiyentlar chiqish qismiga nisbatan olingan. Bu naychalarda chiqish kesimi kirish kesmiga nisbatan toraygani uchun katta tezliklar olish mumkin.

Konoidal naychalarning shakli yupqa devordagi teshikdan oqayotgan suyuqlik oqimi shakliga o'xshash bo'ladi. Shuning uchun ularda ichki torayish boshqa naychalarga qaraganda juda kichik bo'lib, qarshilik ham kam bo'ladi. Demak tezlik sarf va siqilish koeffitsiyentlari eng katta bo'ladi. Tajribalarning ko'rsatishicha bu holda $m = \varphi = 0,97$, $\varepsilon = 1$ bo'ladi naycha devorlari juda silliqlanganda esa $m = \varphi = 0,995$ gacha yetadi. Konoidal naychalar eng katta tezlik va sarf beradi, lekin ularni yasash qiyin bo'lgani uchun amalda juda kam qo'laniladi.

Turli naychalarda suv uchun oqish koeffitsiyentlarining qiymatlari 8.1-jadvalda keltirilgan. Turli naychalar aktiv turbinalarning sopolarida gidravlik turbinalarning so'rvuchi quvurlarida, fontanlarning sopolarida, brandspoyt, gidromonitorlarda turli suyuqliknki so'rvuchi va sochuvchi va boshqa turli qurilmalarda ishlatalidi.

Naychalar katta idish devoriga emas, balki quvurning uchiga o'matilgan bo'lsa, (8.8) va (8.10) fromulalarda kirishdagi tezlik V_1 ni hisobga olish kerak bo'ladi. Bu holda sarf formulasi quyidagicha yoziladi:

$$Q = m \frac{\pi D_n^2}{4} \sqrt{\frac{2gH}{1 - \left(\frac{D_n}{D_T}\right)^2}}, \quad (8.12)$$



8.4-rasm. a - konussimon kengayuvchi naycha, b - konussimon torayuvchi naycha, v - konoidal naycha.

8.1-jadval. Har xil shakldagi naychalar va dumaloq teshik uchun siqilish, tezlik va sarf koefitsiyentlari

No	Naychalar turi va teshiklar	Rasmlar	E	φ	m	ζ
1	Yupqa devordagi dumaloq teshik	77	0,64	0,97	0,62	0,06
2	Tashqi silindrik naycha	78	1	0,82	0,82	0,5
3	Ichki silindrik naycha	79	1	0,71	0,71	1,0
4	Konussimon kengayuvchi naycha $\Theta = 7^0$ bo'lganda	80-a	1	0,45	0,45	3+4
5	Konussimon torayuvchi naycha $\Theta = 13^0 24''$ bolganda	80-6	0,982	0,963	0,946	0,09
6	Konoidal naycha	80-c	1	0,97	0,97	0,04

bu yerda D_n va D_t - naycha va quvur diametrlari.

Ba'zi hollarda katta sarf yoki tezlik olish uchun ikki xil naychani ketma-ket qo'yiladi. Masalan, brandspoytlarda quvurning uchiga oxiri silindrik naycha bilan tugaydigan konussimon torayuvchi naycha qo'yiladi.

8.5. Suyuqliklarning teshikdan o'zgaruvchan naporda (bosimda) oqishi

O'zgaruvchan bosimda oqish yoki idishlarning teshikdan yoki naychadan oqish hisobiga bo'shashi masalasini ko'ramiz. Idishning tubida teshik yoki naycha bo'lib, undan suyuqlikning oqish hisobiga bosim kamayib boradi. Natijada oqish tezligi ham kamayib boradi. Shuning uchun bu masala beqaror harakatga misol bo'ladi. Lekin bosim ham, tezlik ham vaqt davomida sekin o'zgargani uchun harakatni qisqa vaqt oraliqlarda barqaror harakatdek ko'rish mumkin. Bu holda masalani yechish uchun Bernulli tenglamasidan foydalansak bo'ladi.

Idishdagi suyuqlikning o'zgaruvchan balandligini H , shu balandlikdagi suyuqlik kesimi yuzini ω , teshikning yuzini ω_0 bilan belgilaymiz (8.5-rasm). Kichik vaqt oralig'i dt davomida idishdagi suvning sathi (teshikdan oqish hisobiga) dH ga o'zgaradi. Bu vaqt ichida oqib ketgan suyuqlik miqdori idishdagi suyuqlikning kamayishi Qdt ga teng, ya'ni

$$\omega dH = -Qdt \quad (8.13)$$

Bu yerda manfiy ishora idishdagi suyuqlikning kamayganini bildiradi. Ko'rilayotgan vaqt oralig'ida (yuqorida aytilganidek) Bernulli tenglamasidan foydalinish mumkin bo'lgani uchun sarf (8.10) formula bilan hisoblanadi. U holda (8.13) quyidagicha yoziladi

$$\omega dH = -m\omega_0 \sqrt{2gH} dt.$$

oxirgi tenglikdan ko'rindikni,

$$dt = -\frac{\omega dh}{m\omega_0 \sqrt{2gH}}. \quad (8.14)$$

Agar sarf koeffitsiyenti m ni idish bo'shashi davomida o'zgarmaydi desak, u holda idishning bo'shash vaqtini quyidagicha hisoblanadi

$$t = -\frac{1}{m\omega_0 \sqrt{2g}} \int_{H_0}^H \omega \frac{dH}{\sqrt{H}}. \quad (8.15)$$

Vaqt davomida suyuqlik sirti yoki idish kesimi yuzi ω ning sati H ning o'zgarishiga qarab qanday o'zgarishi $\omega = f(H)$ ma'lum bo'lsa, u holda (8.15) tenglikning o'ng tomonidan integralini hisoblash mumkin. Prizmatik idishlar uchun $\omega = \text{const}$ ekanligini nazarda tutib idishning ixtiyoriy sati suyuqlikdan bo'shash vaqtini hisoblaymiz.

$$t = -\frac{\omega}{m\omega_0 \sqrt{2g}} \int_{H_0}^H \frac{dH}{\sqrt{H}}.$$

yoki

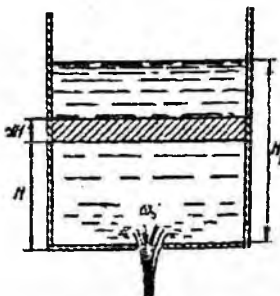
$$t = \frac{2\omega}{m\omega_0 \sqrt{2g}} \sqrt{H} = \frac{2\omega H}{m\omega_0 \sqrt{2gH}} \quad (8.16)$$

Idishdagi suyuqlikning dastlabki sathini H_d desak, dastlabki hajm $V_d = \omega H_d$ bo'ladi. U holda idishning dastlabki sathi H_d suyuqlikdan bo'shash vaqtini bilan quyidagicha bog'lanadi

$$t = \frac{2g_d}{Q}$$

Bu formuladan ko'rindiki, o'zgaruvchan bosimda idishning bo'shash vaqtini shu bo'shangancha hajmli suyuqlikning o'zgarmas H_d bosimda oqib ketishi uchun ketgan vaqtga qaraganda ikki baravar ko'p ekan. Bunday masalalar benzin baklarning bo'shab borishini hisoblashda kerak bo'ladi. Masalan, (8.15) tenglamadan suyuqlik sathining H_1 dan H_2 gacha o'zgarishi uchun ketgan vaqtini quyidagicha hisoblash mumkin.

$$t = \frac{2\omega}{m\omega_0 \sqrt{2g}} (\sqrt{H_1} - \sqrt{H_2}) \quad (8.17)$$



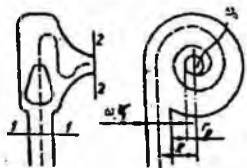
8.5-rasm. Idishning suyuqlikdan bo'shashiga doir chizma.

Shuningdek, o'xshash yopiq idishlarning kichik diametrali teshiklardan oqishi hisobiga bo'shashi masalasini ham ko'rish mumkin. Suyuqlikning bosimi ko'p idishdan bosimi kam idishga o'tishi masalasini ham xuddi shunday ko'rish mumkin.

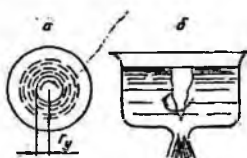
8.6. Oqimcha texnikasi haqida tushuncha

Yuqorida aytib o'tilgandek, oqimchali harakatlar (xususan suyuqliklarning teshik va naychalardan oqishi) texnikaning turli sohalarida qo'llaniladi. Bularga misol sifatida forsunkalar, bosimni boshqaruvchi apparatlar, tashqi zARBani susaytiruvchi qurilmalar, sopolar va boshqalarni ko'rish mumkin. Ulardan ba'zilari haqida qisqacha to'xtalib o'tamiz.

Forsunkalar suyuqlikni changitish, ya'ni suyuqlik atmosferaga (yoki yuqori bosimli gaz bilan to'la fazoga) oqib chiqishi bilan uning oqimchasining mayda zarrachalarga parchalanib ketishini vujudga keltirish uchun ishlatiladigan maxsus naychalaridir. Bunday forsunkalar yonish kameralariga yoqilg'ini yuqorida aytilgan usul bilan yetkazib berib, u yerda uning yonishiga yordam beradi. Ularning ishlash prinsipi quyidagicha avval suyuqlikning uyurma harakati vujudga keltiriladi, so'ngra esa hosil bo'lgan oqim toraytiriladi (8.6-rasm).



8.6-rasm. Forsunka kesiminining sxemasi.



8.7-rasm. Forsunka uyurmali oqimchaning hosil bo'lish sxemasi.

Suyuqlik forsunka ichiga urinma bo'yicha kiritilishi natijasida uning harakat miqdori momenti deyarli o'zgarmaydi, ammo oqimning torayishi natijasida aylanma tezlik ortib borib, markazdan qochma kuchning ortishiga sabab bo'ladi. Bu kuch suyuqlikni chiqishida devorga shunday siqadiki, natijada uning yupqa qavati vujudga kelib, forsunkadan chiqishda mayda tomchilarga aylanib ketadi. Bu harakat vaqtida forsunkaning o'qi bo'yicha sirdagi bosim bir atmosferaga teng havo (gaz) uyurmasi vujudga keladi (8.7-rasm,a). Bu uyurma idishlarning bo'shashidagi uyurma varonkasi (8.7-rasm,b) ga o'xshaydi, lekin forsunkada tezkorroq bo'ladi. Forsunkada suyuqlik sarfi formulasi (8.10) quyidagicha yoziladi:

$$Q = m\omega_0 \sqrt{2g \frac{P}{\gamma}}$$

bu yerda p - forsunka ichida suyuqlikning bosimi m - sarf koeffitsiyenti, γ maxsus formula bilan topiladi. ω_0 forsunkadan chiqishdagi kesim yuzi. Prof. G.N. Abramovich yaratgan nazariya bo'yicha sarf koeffitsiyenti m forsunkaning o'lchamlari va shakliga bog'liq bo'lib, quyidagicha hisoblanadi:

$$\begin{aligned} m &= \frac{\varepsilon}{\sqrt{1 + \frac{A^2 - \varepsilon^2}{1 - \varepsilon}}} \\ A &= \frac{\omega_0 R}{\omega_1 r_0} \end{aligned} \quad (8.18)$$

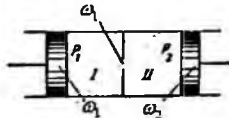
Bu yerda ω_1 - forsunkaga kirishdagi kesim yuzi R - kirishdagi oqimning aylanish radiusi r_0 - chiqishdagi kesim radiusi.

Oqimchaning siqilish ε va tezlik koeffitsiyentlari ϕ uchun quyidagi formulalari chiqarilgan:

$$\varepsilon = 1 - \frac{r^2 y}{r_0^2} \quad (8.19)$$

$$\phi = \frac{1}{\sqrt{1 + \frac{A^2 \varepsilon^2}{1 - \varepsilon}}}$$

bu yerda r_y - havo uyurmasining tashqi radiusi.



8.8-rasm. Drossellarni tushuntirishga oid chizma.

Shunday qilib, prof. G.N. Abramovich nazariyasini bo'yicha sarf Q va forsunkadan chiqishdagi o'q bo'yicha tezlik V quyidagicha hisoblanadi

$$Q = \frac{\varepsilon \omega_0}{\sqrt{1 + \frac{A^2 \varepsilon^2}{1 - \varepsilon}}} \sqrt{2gH} \quad (8.20)$$

$$g = \frac{1}{\sqrt{1 + \frac{A^2 \varepsilon^2}{1 - \varepsilon}}} \sqrt{2gH} \quad (8.21)$$

Suyuqlik reaktiv dvigatellaridagi forsunkalardan uyurma harakat suyuqlikni urinma bo'yicha keltirish o'miga, vintli uyurma hosil qiluvchi qurilma yordamida vujudga keltiriladi.

Drossellar va klapanlar (gidrouzatmalarda) bosim ma'lum chegaradan ortib ketganda uni kamaytirish uchun ishlataladi. Bularning turlari juda ko'p bo'lib, ular to'g'risida maxsus bo'limlarda to'xtalib o'tiladi. Biz quyidagi drosselni soddalashtirilgan shaklda keltiramiz (8.8-rasm). Bu holda bosimlari p_1 va p_2 bo'lgan bo'limlar teshik (yoki jikler deb ataluvchi tor bo'g'izcha) orqali tutashtirilgan bo'lib, birinchi bo'lmada bosim oshib ketganida suyuqlik ikkinchi bo'lmaga oqib o'tadi. Bu jarayon ikkala bo'lmada bosim tenglashguncha davom etadi. Bunday qurilmalarda suyuqlik tezligi va sarfi quyidagicha hisoblanadi:

$$\vartheta = \varphi \sqrt{2g\Delta p / \gamma} = \varphi \sqrt{2g(H_1 - H_2)} \quad (8.22)$$

$$Q = m\omega_r \sqrt{2g\Delta p / \gamma} = m\omega_r \sqrt{H_1 - H_2} \quad (8.23)$$

bu yerda $\Delta p = p_1 - p_2$; ω_r - teshikning kesim yuzi; H_1, H_2 – birinchi va ikkinchi kameralardagi bosimlar.

Birinchi bo'lmasdan ikkinchi bo'lma suyuqlikning oqib o'tish vaqtini quyidagicha hisoblanishi mumkin:

$$t = \frac{2\omega_1\omega_2}{m\omega_r(\omega_1 + \omega_2)} \left(\sqrt{\frac{p_1}{\gamma}} - \sqrt{\frac{p_2}{\gamma}} \right) = \frac{2\omega_1\omega_2}{m\omega_r(\omega_1 + \omega_2)} (\sqrt{H_1} - \sqrt{H_2}) \quad (8.24)$$

bu yerda ω_1, ω_2 – birinchi va ikkinchi bo'lmalarning ko'ndalang yuzi; ω_1 va ω_2 teng bo'lganda $S_1 = S_2 = S$ deb belgilab, (8.24) ni ushbu ko'rinishga keltirish mumkin:

$$t = \frac{\omega}{m\omega_r} (\sqrt{H_1} - \sqrt{H_2})$$

(8.22), (8.23) va (8.24) formulalar gidravlikaga doir adabiyotlarda idishdagi suyuqlikning cho'ktirilgan teshik orqali oqib o'tish masalasi sifatida keltiriladi.

Amaliy mashg'ulotlarni bajarishga doir ko'rsatma:

Masala: Yuqoridagi idishdan tushayotgan suv (sarfi $Q = 0,6 \text{ l/s}$), idish tubidagi teshik orqali ($d = 30 - 15 \text{ mm}$) pastki idishga tushmoqda va pastki idish tubidagi teshik orqali ($d = 25 \text{ mm}$) atmosferaga oqib chiqmoqda. Idishlardagi suv naporini (damlarini) aniqlang.

Yechimi: Idishlardagi suv sathi o'zgarmasligini inobatga olib, har bir idishlardan tushayotgan suv sarfi bir xil bo'lishini hisobga olib, idishlardagi suv damlarini quyidagicha aniqlaymiz:

$$Q = \mu\omega_1 \sqrt{2gH_1};$$

$$Q = \mu\omega_1 \sqrt{2gH_2};$$

bu yerdan

$$H_1 = \frac{Q^2}{(\mu\omega_1)^2 2g} = 2,13 \text{ m};$$

$$H_2 = \frac{Q^2}{(\mu\omega_2)^2 2g} = 0,76 \text{ m};$$

Mustaqil yechishga doir masalalar

1. Suyuqlik diametri $d = 10 \text{ mm}$ teshik orqali $H = 3 \text{ m}$ dam (napor) ostida atmosferaga oqib chiqmoqda. Teshikdan oqib chiqayotgan suv sarfini aniqlang, agar siqilish, tezlik va qarshilik koeffitsiyentlari quyidagicha bo'lsa: $\epsilon = 0,62$; $\phi = 0,97$ $\xi = 0,06$.

2. Sisternadan diametri $d = 100 \text{ mm}$ bo'lgan teshikdan atmosferaga oqib chiqayotgan suv sarfini aniqlang. Agar sisterna diametri $D = 250 \text{ mm}$, sisternaga o'rnatilgan manometrning ko'rsatishi $R_m = 0,2 \text{ MPa}$ va manometrning o'rnatish balandligi $h = 1,3 \text{ m}$ bo'lsa.

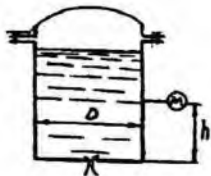
Agar teshikka xuddi shu diametrdagi naycha ulansa suyuqlik sarfi qanday o'zgaradi? Teshikning qarshilik koeffitsiyenti $\xi = 0,04$

3. To'g'on devoriga o'rnatilgan silindrik naycha orqali $Q = 2,5 \text{ m}^3/\text{s}$ sarfni pastki byefga o'tkazish kerak. Byeillardagi suyuqliklar sathining farqi $H = 10 \text{ m}$, naychaning sarf koeffitsiyenti $\mu = 0,82$. Naycha diametrini aniqlang

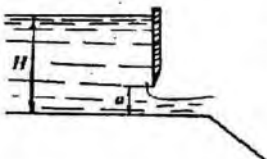
4. Suv yuqori rezervuardan pastki rezervuarga diametrлари $d_1 = 150 \text{ mm}$ va $d_2 = 200 \text{ mm}$ li tesyik va diffuzor orqali oqib o'tmoqda. Teshik va diffuzorning qarshilik koeffitsiyentlari: $\xi_1 = 0,06$; $\xi_2 = 0,03$.

Agar 1-1 kesimdagи absolyut bosim nolga teng bo'lib, $H_2 = 1,5 \text{ m}$ bo'lsa, yuqori rezervuardagi suv sathining balandligi – H_1 nimaga teng bo'ladi (8.9- rasm)?

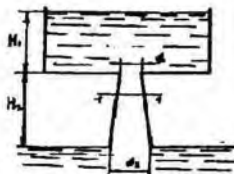
5. Eni $b = 2,6 \text{ m}$ li tarnovdagи darvoza tagidan oqib chiqayotgan suv sarfini aniqlang. Darvozaning ko'tarilish balandligi $a = 0,7 \text{ m}$ yuqori byefdagi suv dami (napori) $H = 6,0 \text{ m}$. Siqilish va tezlik koeffitsiyentlari: $\epsilon = 0,67$; $\phi = 0,97$ (8.10-rasm)



8.9 – rasm.



8.10-rasm.



8.11 rasm.

VIII bob bo'yicha nazorat savollari:

1. Suyuqlikning yupqa devordagi teshikdan o'zgarmas bosimda oqishi.
2. Siqilish, tezlik va sarf koeffitsiyentlari.
3. Suyuqlikning silindrik naychadan oqishi.
4. Suyuqliklarning teshikdan o'zgaruvchan bosimda oqishi.
5. Oqimcha texnikasi haqida tushuncha.

IX BOB. QUVURLARNI GIDRAVLIK HISOBBLASH

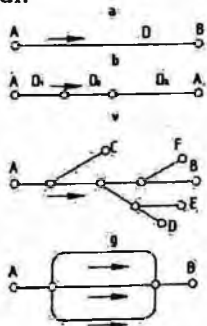
Quvurlarning geometrik o'lchamlari (diametri,uzunligi) ni ma'lum sarfga moslab hisoblash yoki berilgan bosimda o'lchamlari berilgan quvurlarning sarflarini hisoblash quvurlarni gidravlik hisoblash deyiladi.

Gidravlik hisoblash vaqtida quvurlarning uzunligi yoki hisoblashning gidravlik shartlariga qarab, ular ikki turga bo'linadi: uzun va qisqa quvurlar.

Uncha uzun bo'lмаган va mahalliy qarshiliklari sezilarli bo'lib, umumiy qarshilikning kamida 5 – 10% ni tashkil etadigan quvurlar *qisqa quvurlar* deb ataladi. Bularga misol qilib, nasoslarning so'rish quvurini, benzobakdan karbyuratorga benzin o'tkazuvchi quvurni, avtotraktor va boshqa qurilmalar dvigatelerining moy o'tkazuvchi quvurlarini, gidrouzatmalardagi tutashtiruvchi quvurlar va hokazolarni keltirish mumkin.

Ancha uzoq masofaga cho'zilgan va gidravlik qarshiliklarda majmuida asosiy qismni ishqalanish qarshiligi tashkil qilgan quvurlar uzun quvurlar deb ataladi. Bunday quvurlarda mahalliy qarshiliklar alohida hisoblanmaydi va ishqalanish qarshiligining 5 – 10% iga teng deb qabul qilinadi. Bularga vodoprovod quvurlari, neft va gazlarni tarqatuvchi quvurlar va boshqalar misol bo'ladi.

Quvurlar ishlash sxemasiga qarab ikki turga bo'linadi *sodda quvurlar* (9.1-rasm, a, b); *murakkab quvurlar* (9.1-rasm v, g). Sodda quvurlar hech qanday tarmoqlarga ega bo'lмаган quvurlardir. Murakkab quvurlar esa bir necha tarmoqlarga ega bo'lган quvurlardir. Bundan tashqari, quvurlar tupik va yopiq quvurlarga ajraladi. Bir yo'naliishda suyuqlik oqadigan quvurlar tupik quvurlar deyiladi. Suyuqlikning biror va undan ortiq yo'naliish bo'yicha berish mumkin bo'lган quvurlar yopiq quvurlar deyiladi. Yopiq quvurlar ishonchli bo'lib, uning ayrim qismlari buzilib, tamirlash davomida ham suv ta'minoti to'xtamaydi.



9.1-rasm. Quvurlarni klassifikasiyalashga doir chizma.

Yuqorida aytilganlardan tashqari tranzit sarfli quvurlar ham mavjud bo'lib, ularda suyuqlik yo'l bo'yicha o'zgarmay qolishi yoki tekis taqsimlanib borishi mumkin.

9.1. Sodda quvurni hisoblashning asosiy tenglamasi

Quvurlarni hisoblashda biz yuqorida keltirilgan ishqlanish va mahalliy qarshiliklar uchun chiqarilgan formulalardan foydalananamiz. Shuning uchun biz suyuqlik quvurda qaysi tartibda oqishini ham bilishimiz kerak.

Avvalo o'zgarmas diametrli sodda quvur olamiz. Bunday quvur ketma-ket joylashgan bir qancha to'g'ri quvur bo'laklaridan tashkil topgan deb qarash mumkin. (9.2-rasm). Bularda bosimning pasayishini barcha qarshiliklarning yig'indisi ko'rinishida hisoblaymiz

$$H = H_{I_1} + H_{M_1} + H_{I_2} + H_{M_2} + \dots + H_{I_n} + H_{M_n}. \quad (9.1)$$

Yuqorida keltirilgan formuladan foydalaniб quyidagi

$$H = \lambda \frac{I_1 g^2}{D 2g} + \zeta_1 \frac{g^2}{2g} + \lambda \frac{I_2 g^2}{D 2g} + \zeta_2 \frac{g^2}{2g} + \dots + \lambda \frac{I_n g^2}{D 2g} + \zeta_n \frac{g^2}{2g}.$$

munosabatni chiqaramiz. Bu formula bo'yicha bosimning pasayishini hisoblash murakkab va ko'p vaqt ni oladi, chunki quvur juda ko'p bo'laklarga ajratilgan bo'lishi mumkin. Oxirgi munosabatda tezlikni sarf orqali ifodalab ($g = \frac{4Q}{\pi D^2}$) va o'xshash hadlarni guruhlab, quyidagini olamiz:

$$H = (I_1 + I_2 + \dots + I_n) \frac{\lambda \frac{g^2}{2g}}{D 2g} + (\zeta_1 + \zeta_2 + \dots + \zeta_n) \frac{g^2}{2g} = \lambda \sum I_i \frac{g^2}{D 2g} + \sum \zeta_i \frac{g^2}{2g} + \frac{8\lambda}{g\pi^2 D^5} \sum I_i Q^2 + \frac{8}{g\pi^2 D^4} \sum \zeta_i Q^2$$

Yoki

$$H = \left[\frac{8\lambda}{g\pi^2 D^5} \sum I_i + \frac{8}{g\pi^2 D^4} \sum \zeta_i \right] Q^2$$

Qavs ichidagi miqdorni a bilan belgilasak, u holda

$$H = \alpha Q^2. \quad (9.2)$$

O'lichov birligi s^2/m^5 bo'lgan a miqdor quvurning solishtirma qarshiliги deb ataladi va quyidagicha aniqlanadi:

$$\alpha = \frac{8\lambda}{g\pi^2 D^5} \sum I_i + \frac{8}{g\pi^2 D^4} \sum \zeta_i \quad (9.3)$$



9.2-rasm. Sodda quvurning sxemasi.

α miqdor quvurning uzunligi, diametri, mahalliy qarshiliklar koefitsiyentlariga bog'liq bo'lib, kvadrat qarshilik sohasida o'zgarmas bo'ladi.

(9.3) dagi birinchi hadning yig'indi oldidagi miqdorni

$$\frac{8\lambda}{g\pi^2 D^3} = A_s \frac{c^3}{m^6}$$

ko'rinishda, ikkinchi hadning yig'indi oldidagi miqdorni

$$\frac{8\lambda}{g\pi^2 D^4} = A_m \frac{c^2}{m^5}$$

ko'rinishda belgilaymiz va ularni o'zaro quyidagicha aytamiz A_l – solishtirma ishqalanish qarshiligi (ya'ni 1 m quvurning ishqalanish qarshiligi) va A_m – solishtirma mahalliy qarshilik (quvurning shakli o'zgargan qismining $\zeta = 1$ bo'lqandagi qarshiligi).

U holda

$$\alpha = A_l \sum l_i + A_m \sum \zeta_i$$

Bu yerda A_l va A_m – umumlashgan parametrlar bo'lib, quvurlarni hisoblashda maxsus jadvallardan olinadi.

Ba'zi umumlashgan parametrlar bir oz boshqacharoq ko'rinishda olinadi. Bu holda mahalliy qarshilikni ekvivalent uzunlik bilan almashtirsak

$$H = \lambda \frac{l + l_{sh}}{D} \frac{g^2}{2g} = \frac{8\lambda}{g\pi^2 D^5} (l + l_{sh}) Q^2$$

hosil bo'ladi. Oxirgi tenglikka

$$A = \sqrt{\frac{g\pi^2 D^5}{8\lambda}}$$

belgilashni kiritamiz va uni quvurning sarf xarakteristikasi deb ataymiz. U holda

$$H = \frac{l + l_{sh}}{A^2} Q^2 \quad (9.4)$$

Bu belgilashdan ko'rini turibdiki

$$A^2 = \frac{1}{A_s}$$

A^2 ning turli hollardagi miqdori ham A_l va A_m kabi jadvallardan olinadi.

Yuqorida ko'rganimizdek $\frac{H}{l} = \zeta$ ekanligini hisobga olsak, (9.4) dan prof. B.A.Baxmetov formulasini olamiz

$$Q = A \sqrt{J}$$

Uzun quvurlar uchun bosimning pasayishi osonroq hisoblanadi va ushbu ko'rinishda yoziladi:

$$H = A_s L Q^2 \text{ yoki } H = \frac{1}{A^2} Q^2.$$

Ko'p hollarda quvurlarni hisoblash formularasi quyidagi ko'rinishda ifodalanadi:

$$Q = K \sqrt{H} \quad (9.5)$$

va K ni sarf koeffitsiyenti deb ataladi.

(9.5) va (9.4) bilan solishtirsak, sarf koeffitsiyenti uchun ushbu munosabatni olamiz:

$$K = \frac{A}{\sqrt{I + I_m}} \quad (9.6)$$

uzun quvurlar uchun esa

$$K = \frac{A}{\sqrt{L}} \quad (9.7)$$

(9.5) formulani boshqacha ham yozish mumkin:

$$H = \frac{1}{K^2} Q^2 \quad (9.8)$$

bu holda $\frac{1}{K^2} = \alpha$ bo'ladi. Suyuqlik kvadratik qonunga bo'ysunganda λ va ζ Rey-nolds soniga bog'liq bo'lmasligini uchun yuqorida aytganimizdek K^2 va A_v lar uchun quvurning diametri va g'adir-budirligiga qarab jadval ko'rinishida ifodalanadi, A_m esa bu jadvalda faqat diametrga bog'liq.

Laminar soha uchun yuqoridagi formulalardagi quvurning qarshiligi α va qarshilik koeffitsiyenti K (9.3) formula yordamida hisoblab topiladi. Bunda λ Puazeyl formularsi bo'yicha hisoblanadi:

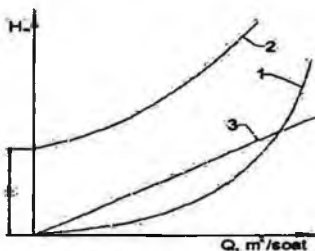
$$\lambda = \frac{64}{Re}$$

9.1-jadval. Quvurlarni hisoblash uchun umumlashgan parametrlar (kvadratik qarshilik qonuni uchun)

Quvurning ichki diametri, D, mm	Quvurning absolyut g'adir-budurligi						$A_m \frac{c^2}{m^6}$	
	$\Delta = 0,2 \text{ mm}$		$\Delta = 0,5 \text{ mm}$		$\Delta = 1,0 \text{ mm}$			
	$K^2 \frac{m^5}{c^2}$	$A_v \frac{c^2}{m^6}$	$K^2 \frac{m^5}{c^2}$	$A_v \frac{c^2}{m^6}$	$K^2 \frac{m^5}{c^2}$	$A_v \frac{c^2}{m^6}$		
50	0,000132	7570	0,000100	10000	0,0000776	12900	13200	
75	0,00113	886	0,000863	1160	0,000686	1460	2610	
100	0,00516	194	0,00397	252	0,00319	313	826	
125	0,0160	62,6	0,0125	800	0,0105	95,2	338	
150	0,0434	23,1	0,0341	29,3	0,0276	36,2	163	
200	0,197	5,08	0,155	6,45	0,128	7,81	51,5	
250	0,643	1,58	0,504	1,98	0,416	2,40	21,1	
300	1,65	0,607	1,41	0,709	1,09	0,917	10,2	
400	7,41	0,135	5,98	0,167	4,97	0,201	3,23	
500	23,7	0,0422	19,3	0,0518	16,1	0,0620	1,32	

Kvadratgacha bo'lgan sohada esa λ (silliq quvurlar uchun) Blazius formulasi bo'yicha hisoblanadi:

$$\lambda = \frac{0,3164}{Re^{0,25}}$$



9.3-rasm. Quvurning xarakteristikasi.

Quvurlarni hisoblashni osonlashtirish uchun (9.2) yoki (9.5) formula bo'yicha jadval tuzib olish mumkin. U holda bosim pasayishining turli qiymatlariga tegishli sarf miqdorlarini shu jadvaldan olish mumkin bo'ladi.

(9.2) tenglama (9.5) bilan birgalikda sodda quvurni hisoblashning asosiy tenglamasi deyiladi. Bu tenglama bosim va sarf orasidagi bog'lanishni grafik ko'rinishda ifodalanashga imkon beradi. Ko'rinib turibdiki, bu grafik koordinatalar boshidan o'tuvchi kvadratik parabola ko'rinishida ifodalanadi (9.3-rasm, 1 grafik). Agar quvurning hisoblash tekisligidan qancha balandda joylashgan H_g ni hisobga olsak, u holda H va Q o'rtafigi munosabat koordinatalar boshidan H_g balandlikda joylashadi (9.3-rasm, 2 grafik). U holda umumiy bosim H va H_g ning yig'indisidan iborat bo'ladi:

$$H_y = H_g + H = H_g + \alpha Q^2 \quad (9.9)$$

Harakat laminar bo'lsa, u holda H grafigi to'g'ri chiziqqa aylanadi (8.14-rasm, 3 grafik).

$H - Q$ grafigi yordamida berilgan bosim uchun sarfni topish mumkin. Buning uchun ordinata o'qidan berilgan bosimga tegishli kesmani olib, uning uchidan abstsissa o'qiga parallel chiziq o'tkazamiz. Bu chiziqning xarakteristikasi bilan kesishgan nuqtasidan abstsissa o'qiga tushirilgan perpendikulyar undan quvurda berilgan bosimda sarfning miqdoriga to'g'ri keladigan kesma ajratadi. Agar quvurdan o'tishi kerak bo'lgan sarf ma'lum bo'lib, bosimni topish kerak bo'lsa, sarfni topish uchun qo'llangan usulni teskari tartibda bajaramiz.

9.2. Quvurning iqtisodiy tejamlı diametrini topish haqida tushuncha

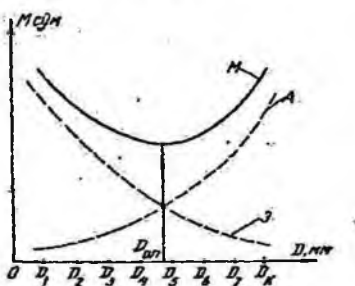
Quvurlar sistemasini loyihalashda berilgan uzunlikdagi quvurdan suyuqlikni oqizib, berilgan sarfni olish uchun kerak bo'lgan bosimni hisoblash masalasi muhim o'rinni tutadi. Quvurning asosiy tenglamarasidan ko'rinadiki, berilgan uzunlik va sarfga diametr ortishi bilan qarshilik koeffitsiyenti kamayib boradi, demak, shu sarfni ta'minlovchi bosim ham kamayadi. Bu o'z navbatida suvni quvurdan oqizish uchun sarf bo'ladigan energiyaning kamayishiga olib keladi, ya'ni suyuqlikni quvurdan haydovchi nasos kamroq elektroenergiyasi sarflaydi. Ikkinchidan, quvur diametrining ortishi unga sarf bo'ladigan kapital mablag'ning ortishiga olib keladi (diametri katta quvurga ko'proq metal sarf bo'ladi). Shunday qilib, quvurning eng qulay diametrini tanlash masalasi texnik-iqtisodiy hisoblash, ya'ni quvurlar sistemasini yaratishga sarf bo'ladigan mablag' (quvurlar, nasos stansiyasi va h.) ning qiymati va undan foydalanishdagi harajatlar (elektr energiyasi, odamlar xizmati va h.) qiymatini solishtirish yo'li bilan hal qilinadi.

Bu masala xususiy holda shunday hal qilinadi: quvurlarning standart diametrlarini hisobga olgan holda diametrning turli variantlari uchun butun sistemaning (uning o'z harajatini o'zi qoplashini vaqtini nazarga olib) bir yillik qiymati (amortizatsiyaga bo'ladigan harajat) A hisoblanadi. So'ngra quvur diametrining har bir varianti uchun uni foydalanishiga sarf bo'lgan harajat M ni hisoblab chiqiladi, bunga elektr energiya, odamlarni ishlatish, doimiy harajatlar va hokazolar kiradi. Quvurning yillik harajati M amortizatsiya A ekspluatatsiya E harajatlarning yig'indisiga teng. Quvurning yillik harajatining minimal qiymatiga to'g'ri kelgan diametri eng tejamlı diametr D_{opt} bo'ladi.

9.15-rasmda $A = f_1(D)$, $E = f_2(D)$ va $M = f_3(D)$ larning grafigini chizish yo'li bilan D_{opt} ni topish yo'li ko'rsatilgan. Agar D_{opt} ikki standart diametri orasiga to'g'ri kelib qolsa, tegishli diametr uchun D_{opt} ga eng yaqin standart diametr (iloji bo'lsa ikki diametrning kichigi) olinadi. (9.4-rasmda eng tejamlı diametr uchun D_5 ni olish kerak). Quvurning diametri D topilgandan keyin, Q va I ma'lum bo'lgan holda bosimni topish qiyin emas. Yuqorida ko'rsatilgan usul juda murakkab va qiyin bo'lgani uchun undan odatda katta va murakkab quvur sistemalarini loyihalashda foydalaniladi. Odatdagি hisoblashlarda ko'rilayotgan quvurga o'xshash quvurlar uchun juda ko'p texnik-iqtisodiy hisoblar davomida aniqlangan optimal tezlik ϑ_{opt} yoki optimal qiyalik I_{opt} ning qiymatini berish yo'li bilan

aniqlanadi. Suyuqlikning sarfini Q va V ma'lum bo'lgan holda diametrini topish qiyin emas.

$$Q = g_{opt} \frac{\pi D^2}{4} \quad (9.10)$$



9.4-rasm. Tejamli qulay diametrni hisoblashga oid chizma.

bundan

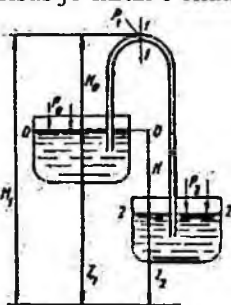
$$D = \sqrt{\frac{4Q}{\pi V_{opt}}} \quad (9.11)$$

Ba'zi hollarda taqrifiy hisoblash uchun sodda formulardan ham foydalanish mumkin. Quvurdagi bosimning katta-kichikligiga qarab turli materiallardan qilingan quvurlar ishlatalish mumkin. Masalan, bosim 1 MH/m^2 gacha bo'lganda vodoprovod quvurlari uchun cho'yan quvurlar, katta bosimlar uchun esa po'lat quvurlardan foydalilanadi. Bundan shuni hisobga olish kerakki, GOST da cho'yan quvur uchun ichki diametr, po'lat quvur uchun esa tashqi diametr qabul qilingan.

9.3. Sifon quvur

Bir qismi suyuqlik bilan ta'minlovchi idishdan yuqorida joylashgan sodda quvur sifon quvur deb ataladi (9.5-rasm). Sifonni sodalashtirib ikki (ta'minlovchi va qabul qiluvchi) idishlarni tutashtiruvchi U ko'rinishidagi quvur sifatida tasvirlash mumkin. Bu holda uning egilgan qismi idishlardagi suyuqliklar sathlarining farqi H hisobiga oqib turadi. Shuni aytish kerakki, suyuqlik sifonda avval birinchi idish sathidan H balandlikka ko'tarilib, so'ngra ikkinchi idishga tushadi. Bunday quvurning o'ziga xos xususiyati shundaki, unda bosim ko'tariluvchi qismida ham, pastga tushuvchi qismida ham atmosfera bosimidan pastdir. Sifon quvurlardan asosan neft mahsulotlarini sisternalardan quyib olish, suv sig'imlarini bo'shatish,

do'nglik yerlarda vodoprovod o'tkazish va hokazolardan foydalilanadi. Suv ta'minotida ba'zan maxsus sifonlar ishlataladi. Sifon ishlay boshlashi uchun avval uni suyuqlik bilan to'ldirish kerak. Sifon sifatida kichik o'lchamli shlanglar ishlatalisa, uni to'ldirish oson bo'lib, bu suyuqlikka botirish yoki pastki uchidan havoni so'rib olish yo'li bilan amalga oshiriladi. Agar sifon mahkamlangan metall quvurdan iborat bo'lsa, uning yuqori nuqtasida havoni so'rib olish uchun maxsus jo'mrak o'rnatiladi.



9.5- rasm. Sifon quvur.

Havoni nasoslar yoki ejektorlar yordamida so'rib olish mumkin. Sifonlarni hisoblash boshqa quvurlarni hisoblashdan farq qilmaydi. Masalan, sifonning ikkita kesimi uchun Bernuli tenglamasini yoziladi. Bu kesmalar 0-0 va 2-2 bo'lsa, u holda

$$z_1 + \frac{p_0}{\gamma} + \frac{g^2}{2g} = z_2 + \frac{p_2}{\gamma} + \frac{g^2}{2g} + h_{0-2} \quad (9.12)$$

bo'ladi. $p_0 = p_2 = p$ atm , va $\vartheta_1 = \vartheta_2 = 0$ deb hisoblasak, bu tenglama quyidagicha yoziladi:

$$z_1 = z_2 + h_{0-2} \quad (9.13)$$

yoki $z_1 - z_2 = H$ ekanligini nazarga olib, h_{0-2} qarshilikni hisoblash uchun esa ishqalanish va mahalliy qarshiliklar formulasidan foydalaniib, oxirgi tenglamani ushbu ko'rinishiga keltiramiz:

$$H = \alpha Q^2 \quad (9.14)$$

Shunday qilib, sifonlarda sarf oddiy quvurlardagidek qarshilik va sathlar farqi orqali aniqlanadi. Uning ko'tarilishi balandligi H_0 esa sarfga ta'sir qilmaydi. Lekin bu qonun H_0 ning ma'lum chegarasigacha bo'ladi. H_0 ning ortib borishi bilan sifonning yuqoridagi 1-1 kesimida absolyut bosim p_1 kamayib boradi. Bu bosim to'yingan bug' bosimiga tenglashishi bilan kavitatsiya boshlanadi. Bu avval sarfning kamayishiga so'ngra, bug'larning to'planishiga (bug' tinqini hosil bo'lishiga) va suyuqlik oqimining

to'xtashiga olib keladi. Shuning uchun sifonlarni hisoblashda va qurishda uning yuqori nuqtasidagi bosim p_1 juda kamayib ketmasligini nazarda tutish kerak. Agar sifonning sarfi, uning o'lchamlari ma'lum bo'lsa, absolyut bosim p_1 ni hisoblash mumkin. Buning uchun 0-0 va 1-1 kesimlar uchun Bernulli tenglamasini yozamiz:

$$\frac{p_1}{\gamma} + \frac{g_0^2}{2g} = H_1 + \frac{p_1}{\gamma} + \frac{g_1^2}{2g} + h_{b-1} \quad (9.15)$$

Agar tezliklar kichikligi uchun ularni nolga tenglasak:

$$\frac{p_1}{\gamma} = \frac{p_0}{\gamma} - H_1 - h_{b-1} \quad (9.16)$$

bo'ladi. Bosimning mumkin bo'lgan minimum qiymati ma'lum bo'lsa, p_1 ni unga tenglashtirib oxirgi tenglamadan H_1 ni oshirish uchun yana bir usulni qo'llash mumkin. Buning uchun sifonning pastga ketgan uchida mahalliy qarshiliklar (eshikcha va h.) yordamida umumiy qarshilikni oshirish kerak. Bu holda, albatta, sarf kamayadi.

9.4. Quvurlarni ketma-ket va parallel ulash

Ketma-ket va parallel ulangan quvurlarni hisoblash sodda quvurlarni hisoblashga qaraganda murakkab bo'lib, u qaysi tartibda ulanganiga bog'liq. Shuning uchun bu ikki ulash usulini alohida ko'rib chiqamiz.

Ketma-ket ulash. Bir necha har xil diametrli quvurlardan tashkil topgan quvurni ko'ramiz. Ular ketma-ket ulangan bo'lib, qarshiliklari $\alpha_1, \alpha_2, \alpha_3, \dots, \alpha_n$, uzunliklari L_1, L_2, \dots, L_n bo'lsin (9.17-rasm).

Bu quvurlarning har birida sarflar teng bo'lishi uzilmaslik tenglamasidan ko'rindi. U holda quvurlardagi bosimning kamayishi (9.2) ga asosan aniqlanadi.

$$H_1 = \alpha_1 Q^2$$

$$H_2 = \alpha_2 Q^2$$

.....

.....

.....

$$H_n = \alpha_n Q^2$$

Ko'rileyotgan quvurda esa qarshiliklarni qo'shish prinsipiga asosan quyidagicha hisoblanadi.

$$H = H_1 + H_2 + \dots + H_n = (\alpha_1 + \alpha_2 + \dots + \alpha_n) Q^2. \quad (9.17)$$

Shunday qilib, quvurlar ketma-ket ulanganda umumiy qarshilik xususiy qarshiliklar yig'indisidan iborat.

$$\alpha = \sum_1^n \alpha_n \quad (9.18)$$

Bu ikki (9.17) va (9.18) tenglama quvurlarni ketma-ket ulashda xarakteristika tuzish uchun asos bo'ladi.

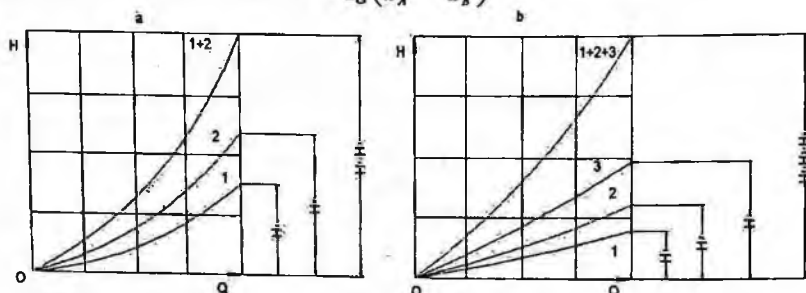
Avval ketma-ket ulangan ikkita quvurni ko'ramiz. Bu quvurlarning xarakteristikalari 9.6-rasm, a da b grafiklar orqali ifodalangan. Ikki quvurning xarakteristikasini tuzish uchun (9.17) tenglamaga asosan bir xil sarfda ikki quvurdagi bosim kamayishlarini qo'shamiz, ya'ni bir xil abstsissalarda ikkala egri chiziqning ordinatalarini qo'shamiz.

Ketma-ket ulangan uchta quvurning umumiy xarakteristikasini tuzish uchun avval 1,2,3 quvurlarning xarakteristikasini tuzib olamiz (9.18-rasm, b). So'ngra bir xil abstsissada ularning ordinatalarini qo'shib, bir chiziq bilan tutashtiramiz n ta ketma-ket ulangan quvurning umumiy xarakteristikasini tuzish ham shu usulda bajariladi. Ko'rيلayotgan holda kirishdagi va chiqishdagi tezlik bosimlari har xil bo'lgani sababli, quvur uchun talab qilinadigan bosim formulasida (9.9) dan farqli ravishda, kirishdagi va chiqishdagi tezlik damlarining farqi qatnashadi:

$$H = z_A - z_B + \frac{\alpha_A g^2 - \alpha_B g^2}{2g} + \sum H_n + \frac{P_B}{\gamma} = H_g + cQ^2 + \alpha Q^2 \quad (9.19)$$

bu yerda

$$c = \frac{1}{2g} \left(\frac{\alpha_A}{\omega_A^2} - \omega \frac{\alpha_B}{\omega_B^2} \right)$$



9.6 - rasm. Ketma-ket ulangan quvurlarning xarakteristikasi.

$$\alpha = \sum_{i=1}^n \alpha_i,$$

$$H_g = z_A - z_B + \frac{P_B}{\gamma}$$

ω_A , ω_B - kirish va chiqishdagi kesim yuzalari.

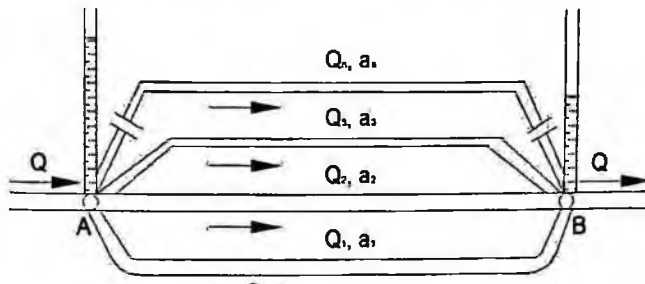
Parallel ulash. Endi bir qancha parallel ulangan sodda quvurlardan tashkil topgan murakkab quvurni ko'ramiz (9.7-rasm). Sodda quvurlarning sarflari $Q_1, Q_2, Q_3, \dots, Q_n$, qarshiliklari $a_1, a_2, a_3, \dots, a_n$ bo'lsin. Umumiy

sxemadan ko'rinib turbdiki, murakkab quvurning sarfi sodda quvurlar sarflarining yig'indisiga teng.

$$Q = Q_1 + Q_2 + Q_3 + \dots + Q_n = \sum Q_i. \quad (9.20)$$

Har bir sodda quvurdagi bosimning kamayishi ham, murakkab quvurdagi bosimning kamayishi ham A va B nuqtalardagi to'la bosimlarning ayirmasiga teng:

$$H_A - H_B = H_1 = H_2 = H_3 = \dots = H_n = H. \quad (9.21)$$



9.7-rasm.Quvurlarni parallel ulash.

Har bir quvurdagi bosimning kamayishi (9.2) ga asosan quyidagicha aniqlanadi:

$$H_1 = \alpha_1 Q_1^2$$

$$H_2 = \alpha_2 Q_2^2$$

.....

.....

.....

$$H_n = \alpha_n Q_n^2$$

Bulardan sarflarni topib, (9.19) ga qo'yamiz:

$$Q = \frac{\sqrt{H_1}}{\sqrt{\alpha_1}} + \frac{\sqrt{H_2}}{\sqrt{\alpha_2}} + \frac{\sqrt{H_3}}{\sqrt{\alpha_3}} + \dots + \frac{\sqrt{H_n}}{\sqrt{\alpha_n}}. \quad (9.22)$$

va (9.19) dan foydalanib, quyidagi munosabatni olamiz:

$$Q = \left(\frac{1}{\sqrt{\alpha_1}} + \frac{1}{\sqrt{\alpha_2}} + \frac{1}{\sqrt{\alpha_3}} + \dots + \frac{1}{\sqrt{\alpha_n}} \right) \sqrt{H}. \quad (9.23)$$

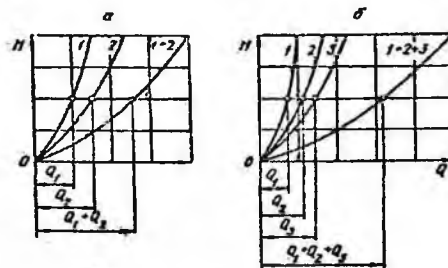
Bu tenglikdan murakkab quvur uchun bosim kamayishi tenglamasini chiqaramiz:

$$H = \frac{Q}{\left(\frac{1}{\sqrt{\alpha_1}} + \frac{1}{\sqrt{\alpha_2}} + \frac{1}{\sqrt{\alpha_3}} + \dots + \frac{1}{\sqrt{\alpha_n}} \right)^2}. \quad (9.24)$$

Shunday qilib, parallel ulangan murakkab quvurning qarshiligi uchun quyidagi formulani olamiz:

$$\alpha = \frac{1}{\left(\sum_{i=1}^n \frac{1}{\sqrt{a_i}} \right)^2}.$$

(9.25) Parallel ulangan quvurning xarakteristikasini tuzish uchun (9.18) va (9.19) tenglamalardan foydalanamiz. Avval ikki parallel quvurdan iborat murakkab quvurni ko'ramiz (9.8-rasm, a) Parallel quvurlarning xarakteristikalari I va 2 grafiklar ko'rinishida ifodalangan. Murakkab quvurning xarakteristikasini hosil qilish uchun (9.20) ga asosan bosimning biror qiymatida birinchi va ikkinchi quvurlarda sarflarni qo'shamiz, ya'ni ordinata o'qining biror qiymatida I va 2 ga to'g'ri kelgan abstsissa o'qining kesimlarini qo'shamiz. Bu ishni bosimning barcha qiymatlari uchun bajarib, murakkab quvur uchun xarakteristika hosil qilamiz. Uchta parallel quvurdan tashkil topgan murakkab quvurning xarakteristikasi ham I , 2 , 3 quvurlarning xarakteristikalarini tuzishdan boshlanadi. Bu holda ham bir xil bosimda I quvurning sarfiga avval 2 quvur sarfini, so'ng 3 quvur sarfini qo'shish yo'li bilan murakkab quvurning xarakteristikasini tuzamiz. n ta parallel quvurdan tuzilgan murakkab quvurning xarakteristikasi ham xuddi shu usulda hosil qilinadi.



9.8-rasm. Parallel ulangan quvurlarning xarakteristikasi.

9.5. Murakkab quvurlar

Murakkab quvurlar quvurlar xilma-xil usullarda tutashtirilgan bo'b, ular ketma-ket, parallel ulangan va tarmoqlarga ajralgan bo'laklardan tashkil topgan bo'ladi. Biz yuqorida ketma-ket va parallel ulangan quvurlardan tashkil topgan bo'laklarni ko'rdik. Endi quvurning tarmoqlangan bo'lagini ko'ramiz. Asosiy quvur A nuqtadan uchta 1 , 2 , 3 tarmoqlarga ajralsin (9.9-rasm). Ularning oxirgi nuqtalarining balandliklari

z_1, z_2, z_3 , bosimlari p_1, p_2, p_3 , sarflari Q_1, Q_2, Q_3 bo'lsin. U holda bu sarflarning yig'indisi asosiy quvurdagi sarfga to'g'ri keladi:

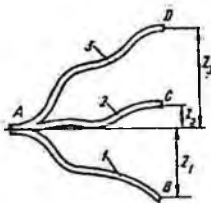
$$Q = Q_1 + Q_2 + Q_3$$

Har bir tarmoq uchun Bernulli tenglamasini quyidagicha yozish mumkin:

$$\frac{P_A}{\gamma} = z + \frac{p_1}{\gamma} + H_1$$

$$\frac{P_A}{\gamma} = z_2 + \frac{p_2}{\gamma} + H_2$$

$$\frac{P_A}{\gamma} = z_3 + \frac{p_3}{\gamma} + H_3$$



9.9-rasm. Quvurlarning tarmoqlarga bo'linishi.

Bu tengliklarda p_1, p_2, p_3 , larni atmosfera bosimiga teng deymiz va $\frac{P_A}{\gamma} = H_A$

ekanini hisobga olib hamda 1, 2, 3 quvurlar uchun (9.2) formuladan foydalanib, quyidagilarni yozamiz:

$$H_A = z_1 + \alpha_1 Q_1^2; \quad H_A = z_2 + \alpha_2 Q_2^2; \quad H_A = z_3 + \alpha_3 Q_3^2 \quad (9.26)$$

Yoki $H_A - z_1 = H_1$ ekanligini hisobga olib va $z_2 - z_1 = z_{1-2}$, $z_3 - z_1 = z_{1-3}$ belgilashlarni kiritib, oxirgi tengliklarni o'zgartiramiz:

$$H_1 = \alpha_1 Q_1^2; \quad H_1 - z_{1-2} = \alpha_2 Q_2^2; \quad H_1 - z_{1-3} = \alpha_3 Q_3^2 \quad (9.27)$$

Bu tenglamalardan 1, 2, 3 quvurlardagi sarflarni topib va qo'shib umumiy harjni topamiz:

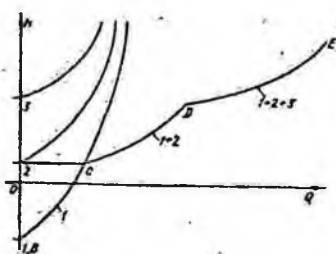
$$Q = \left(\frac{\sqrt{H_1}}{\sqrt{\alpha_1}} + \frac{\sqrt{H_1 - z_{1-2}}}{\sqrt{\alpha_2}} + \frac{\sqrt{H_1 - z_{1-3}}}{\sqrt{\alpha_3}} \right) \quad (9.28)$$

yoki

$$Q = \left(\frac{1}{\sqrt{\alpha_1}} + \frac{\sqrt{1 - z'_{1-2}}}{\sqrt{\alpha_2}} + \frac{\sqrt{1 - z'_{1-3}}}{\sqrt{\alpha_3}} \right) H_1 \quad (9.29)$$

bu yerda $z'_{1-2} = \frac{z_{1-2}}{H_1}$, $z'_{1-3} = \frac{z_{1-3}}{H_1}$ bo'lib, ular uchun $z'_{1-2} < 1$, $z'_{1-3} < 1$ tengsizliklar o'rinnlidir. Agar uchala quvurning ham ikkinchi uchi bir xil balandlikda bo'lsa ($z_1 = z_2 = z_3$), u holda $z'_{1-2} = 0$; $z'_{1-3} = 0$ va H_1, H_2, H_3 lar teng bo'ladi

hamda sarf uchun quvurlar parallel ulangan hol uchun chiqarilgan munosabatini olamiz. Endi yuqorida keltirilgan formulalarga asosan tarmoqlangan quvur uchun xarakteristika hosil qilish mumkin (9.10-rasm). Buning uchun ularning xarakteristikalarini quvurlarni parallel ulashdagi kabi qo'shamiz.



9.10-rasm. Tarmoqlarga bo'lingan quvurning xarakteristikasi.

Natijada 9.10-rasmda tasvirlangandek siniq egri chiziq $BSDE$ ni olamiz. Bu chiziq tarmoqlangan quvur uchun xarakteristika bo'lib, u 2 va $BSDE$ ni olamiz. Bu chiziq tarmoqlangan quvur uchun xarakteristika bo'lib, u 2 va 3 quvurlarning ikkinchi uchi balandligida C va D nuqtalarda sinadi. Agar suyuqlik A nuqtadan B , C , D nuqtalarga qarab emas, teskari yo'naliishda oqsa unda 1, 2, 3 quvurlarning xarakteristikalarini (sarflar Q_1 , Q_2 , Q_3 manfiy bo'lgani uchun) H o'qining chap tomonida (ya'ni Q o'qining manfiy yo'naliishida) qo'shiladi. Bordi-yu, bu quvurlarning ba'zilaridan oqim o'ngga, boshqalarida chapga bo'lganda ham o'ngga oqayotgan suyuqlik uchun xarakteristika H o'qidan o'ngga chapga oqayotganlari uchun esa xarakteristika chapga quriladi va so'ng qo'shiladi.

Quvur sistemasi bir qancha qismlardan iborat bo'lib, ular ketma-ket va parallel ulangan quvurlardan tashkil topgan bo'lsa, u holda bu qismlarning har biriga ketma-ket va parallel ulash qoidalarini qo'llab, xarakteristikalarini yoki tenglamalarni tuzib olamiz. So'ngra bu qismlarning har birini ayrim quvur sifatida qarab va parallel yoki ketma-ket ulash qoidasidan foydalanib sistema uchun xarakteristika yoki tenglama tuzamiz. Bu qoidaga asosan har qanday murakkab quvurlar sistemasini hisoblash mumkin.

9.6. Nasosdan ta'minlanuvchi quvur

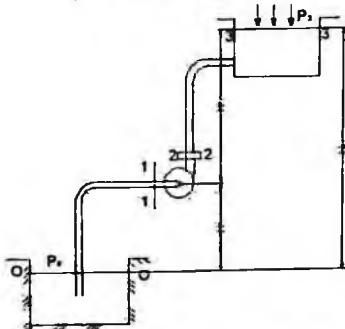
Yuqorida biz turli usulda ulangan quvurlar sistemasini ko'rdik, biroq ularning suv bilan ta'minlanishi qanday amalga oshirilishi haqida to'xtalib o'tmadik. Bunday hol balandlikka o'matilgan katta idishdan ta'minlanuvchi

quvurlar sistemasi uchun yoki nasosdan ta'minlanuvchi sistemalarning qismlari uchun o'rini. Sanoat va qishloq xo'jaligida quvurlarni nasos orqali ta'minlash hollari ko'p uchrab turadi. Bu holda quvurlar sistemasidagi bosim ustiga nasos hosil qilgan bosimni ham qo'shish kerak bo'ladi. Shu maqsadda nasosdan ta'minlanuvchi sodda quvurlarni (9.11-rasm) ko'ramiz.

Nasos pastki idishdan p_0 bosimli suyuqlikni so'rib, yuqoridagi p_1 bosimli idishga chiqarib bersin. Nasos o'qining pastki sathdan balandligi H_1 geometrik so'rish balandligi deyiladi va bu balandlikkacha suyuqlik harakat qilayotgan quvur so'rish quvuri deyiladi. Suyuqliknинг yuqori sathining balandligi H_2 zo'riqish geometrik balandligi deyiladi va suyuqlikni bu balandlikka ko'tarishda qatnashuvchi quvur haydash (nagnetatelnaya ili napornaya) quvuri deyiladi.

So'rish quvuri uchun ($0 - 0$ va $1 - 1$ kesimlar uchun) Bernulli tenglamasini yozamiz:

$$\frac{p_0}{\gamma} = H_1 + \frac{p_1}{\gamma} + \frac{\alpha_1 g_1^2}{2g} + h_{0-1}$$



9.11-rasm. Nasosdan ta'minlanuvchi quvurga oid chizma.

Bu tenglamadan ko'rindiki, nasosning suyuqlikni H_1 balandlikka ko'tarish, unga kinetik energiya berishi va gidravlik qarshiliklarni yengishi birinchi idishdagi p_0 bosimdan foydalanish hisobiga amalga oshiriladi. Shuning uchun bu bosimdan shunday foydalanish kerakki, nasosga kirish oldidan suyuqlikda kavitsiya hodisasini vujudga keltirmaydigan darajadagi chegirma bosim (p) saqlanib qolsin. Bu nasoslarning so'rish quvurlarini nihoyatda aniq va puxta hisoblash kerak. (9.29) tenglama so'rish quvurlarini hisoblashda asosiy tenglama hisoblanadi. Bunda hal qilinishi kerak bo'lgan masalalar sifatida quyidagilarni keltirish mumkin.

1) barcha o'lchamlar va sarf berilgan. Suyuqliknинг nasosga kirish oldidagi bosimni hisoblash kerak.

Bu masalani yechishda nasosga kirishdagi suyuqlik bosimini (p_1) hisoblab, uni kavitasiya hosil qilmaydigan minimal bosim bilan taqqoslash yo'li bilan bajariladi.

2) eng kichik (kavitasiya hosil qilmaydigan) joiz bosim berilgan. Boshqa parametrlarning eng katta joiz qiymatlari ($H_{1\ max}$, Q_{max} , d_{min}) ni hisoblash talab qilinadi.

Agar p_0 atmosfera bosimiga teng bo'lsa, u holda so'rish quvuridagi bosim atmosfera bosimidan kichik bo'ladi. p_0 bosimning ortishi bilan so'rish quvuridagi bosim ortadi. Bu esa geometrik so'rish balandligining ortishiga yordam beradi.

Haydash quvuridagi suyuqlikning harakati (2 – 2 va 3 – 3 kesimi uchun ham Bernulli tenglamasini yozish mumkin.

$$\frac{p_2}{\gamma} + \frac{\alpha_2 g_2^2}{2g} = H_2 + \frac{p_1}{\gamma} + \frac{\alpha_1 g_1^2}{2g} + h_{2-1} \quad (9.30)$$

Agar haydash quvurining ikkinchi uchidan biror idish bo'lsa, u holda (9.30) tenglamaning o'ng tomonida tezlik bosim bo'lmaydi, lekin bunday harakat vaqtida bosimning kengayishga sarf bo'lishini hisobga olish kerak. (9.30) tenglamaning chap tomoni nasosdan chiqishdagi solishtirma energiyani ko'rsatadi. Nasosga kirishdagi solishtirma energiyani (9.29) tenglama yordamida hisoblash mumkin:

$$\frac{p_1}{\gamma} + \frac{\alpha_1 g_1^2}{2g} = \frac{p_0}{\gamma} - H_1 - h_{0-1} \quad (9.31)$$

Bu oxirgi tenglama va (9.30) dan foydalanim suyuqlikning nasosdan o'tganda oladigan energiyasini hisoblash mumkin. Bu energiya suyuqlikka nasos orqali beriladi va u suyuqlikni tegishli balandlikka ko'tarish uchun sarflangan energiyani ifodalab, H_{nas} ko'rinishida belgilanadi va quyidagicha hisoblanadi:

$$H_{nas} = \left(\frac{p_1}{\gamma} + \frac{\alpha_1 g_1^2}{2g} \right) - \left(\frac{p_0}{\gamma} + \frac{\alpha_0 g_0^2}{2g} \right) = H_1 + H_2 + \frac{p_3 - p_0}{\gamma} + \frac{\alpha_3 g_3^2}{2g} + h_{0-1} + h_{2-1}$$

yoki

$$H_{nas} = H_g + \frac{p_3 - p_0}{\gamma} + cQ^2 + \alpha Q^2 \quad (9.32)$$

bu yerda H_g – suyuqlikning pastki sathdan yuqori sathga ko'tarilish balandligi; cQ^2 – yuqori sathdagi tezlik bosimi; αQ^2 – so'rish va haydash quvurlardagi qarshiliklar yig'indisi; V_3 – yuqori sathdagi tezlik. Agar pastki va yuqori sathlardagi bosimlar p_0 va p_3 atmosfera bosimiga teng bo'lsa, u holda

$$H_{nas} = H_g + cQ^2 + \alpha Q^2 = H_g + \frac{\alpha_3 g_3^2}{2g} + \alpha Q^2$$

bo'ladi. Bu formuladan ko'rindiki, suyuqlikka nasosning bergan bosimi suyuqlikni yuqori sathda harakat qildirish uchun zarur bo'lgan bosim H_3 ga teng bo'ladi:

$$H_{nac} = H_3. \quad (9.33)$$

Bu qoidani nasoslar barqaror ish tartibining hamma hollari uchun qo'llash mumkin. Nasosning ishlash xarakteristikasi uning aylanish soniga bog'liq bo'lib, bu son nasosning quvvatiga bog'liq bo'limgan hollar uchun to'g'ridir. Agar nasos yopiq sistemada ishlasa, ya'ni pastki va yuqori idishlar bo'lmay, so'rish va haydash quvurlari tutashtirilgan bo'lsa, u holda (9.32) formula o'mida quyidagi formulaga ega bo'lamiz:

$$H_{nac} = H = \frac{P_2 - P_1}{\gamma} = H_3.$$

ya'ni zarur bosim bilan nasos hosil qilgan bosim teng bo'ladi. Bu holda yopiq sistemada, albatta, qo'shimcha kengayuvchi kesim va tenglashtiruvchi idishlar bo'lib, ular odatda suyuqlikning nasosdan chiqish kesimi bilan tutashtirilgan bo'ladi.

9.7. Elektrogidravlik o'xshashlik (analogiya) haqida tushuncha

Biz yuqorida quvurlarni hisoblash uchun (9.4) va (9.5) tenglamalarni chiqardik va ularni quyidagi ko'rinishlarda ifodaladik:

$$H = \lambda \frac{8(l + l_{sh})}{gn^2 D^5} Q^2 \quad (9.34)$$

$$Q = \sqrt{\frac{gn^2 D^5}{8\lambda(l + l_{sh})}} H. \quad (9.35)$$

Laminar harakat vaqtida bu formulalarda qovushqoqlik ishqalanish koeffitsiyenti λ quyidagi ko'rinishga ega bo'ladi

$$\lambda = \frac{64}{Re} = \frac{64\nu}{gD} = \frac{16\pi\nu D}{Q},$$

u holda

$$H = \frac{128\nu}{gD^2} = \frac{l + l_{sh}}{\pi D^2} Q$$

yoki

$$H = \alpha \frac{L}{\omega} Q = BQ \quad (9.36)$$

bu yerda

$$L = l + l_{sh}; \omega = \frac{\pi D}{4}; \alpha = \frac{32\nu}{gD^2}.$$

B - hisoblash yo'li bilan aniqlanadigan koeffitsiyent. (9.36) tenglama fizikaning elektr bo'limida o'tkazgichlarning bir qismi uchun Om qonuniga juda o'xshab ketadi. Agar bosim H ni kuchlanish U ga, a ni solishtirma

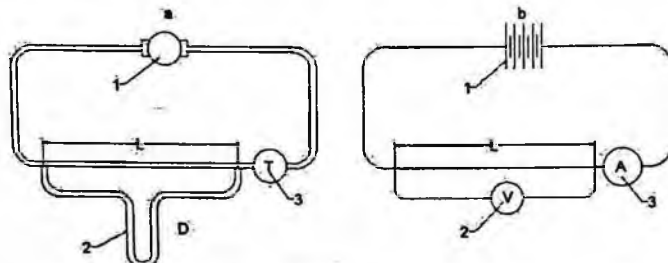
qarshilik ρ ga, sarf Q ni tok kuchi I ga qiyoslasak, u holda (9.36) ni Om qonuni

$$U = \rho \frac{L}{S} I = RI \quad (9.37)$$

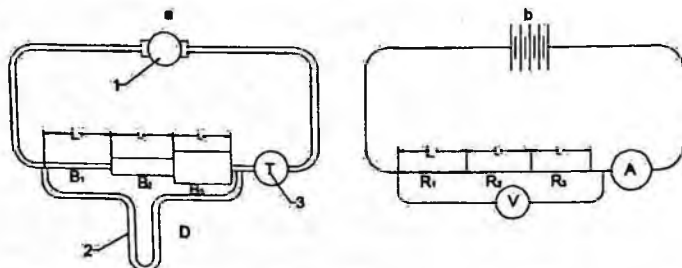
ga qiyoslash mumkin.

(9.36) bilan (9.37) ning o'xshashligidan foydalanib elektrogidravlik o'xshashlikni tuzish mumkin. Bu o'xshashlikka asosan o'tkazgichlardan tok o'tkazib, uning kuchlanishi U ni voltemetr va tok kuchi I ni ampermetr yordamida aniqlash mumkin. Bunda voltmetr quvurlardagi difmanometri, ampermetr esa sarf o'lhash asbobi o'mini bosadi (9.12-rasm). Tok manbai sifatida esa energiya manbai nasosni ifodalash mumkin.

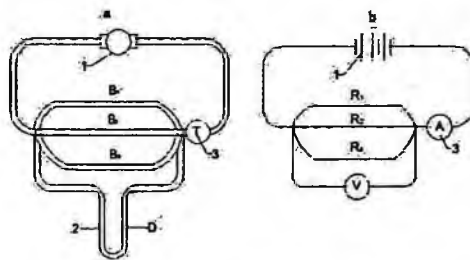
9.12-rasmda 1-manba (a - rasmida nasos, b - rasmida batareya), 2 - (a - rasmida difmanometr, b - rasmida voltmetr, 3 - (a - rasmida sarf o'lhash asbobi, b - rasmida ampermetr) ifodalangan bo'lib, quvur va o'tkazgich uzunliklari L orqali ifodalangan. Shu usul bilan quvurlarni ketma-ket (9.12-rasm) va parallel (9.13-rasm) ulashni o'tkazgichlarni ketma-ket va parallel ulash bilan taqqoslash mumkin. Quvurlarni ketma-ket ulashda (9.12-rasm) umumiy qarshilik.



9.12-rasm. Quvurlar va tok o'tkazgichlarni ketma-ket ulashda o'xshashlik.



9.13-rasm. Suyuqlik va tok o'tkazgichlarda o'xshashlikka doir chizma.



9.14-rasm. Quvurlar va tok o'tkazgichlarni parallel ulashdagi o'xshashlik.

$$H_k = B_k Q$$

$$H_k = H_1 + H_2 + H_3,$$

(9.38)

va

$$Q = Q_1 = Q_2 = Q_3$$

bo'lib, (9.38) da

$$B_k = B_1 + B_2 + B_3$$

O'tkazgichlar uchun esa

$$U_k = R_k$$

$$U_k = U_1 + U_2 + U_3,$$

(9.39)

va

$$I = I_1 + I_2 + I_3$$

bo'lib, (9.39) da

$$R_k = R_1 + R_2 + R_3$$

Quvurlarni parallel ulashda esa (9.14-rasm) umumiy qarshilik

$$H = B_n Q_n$$

(9.40)

$$H = H_1 = H_2 = H_3$$

va

$$Q = Q_1 + Q_2 + Q_3$$

bo'lib, (9.40) da

$$\frac{1}{B_n} = \frac{1}{B_1} + \frac{1}{B_2} + \frac{1}{B_3}$$

O'tkazgichlar uchun esa

$$U = R_n I_n$$

(9.41)

$$U = U_1 = U_2 = U_3$$

va

$$\frac{1}{I_n} = \frac{1}{I_1} + \frac{1}{I_2} + \frac{1}{I_3}$$

bo'lib, (9.41) da

$$\frac{1}{R_n} = \frac{1}{R_1} + \frac{1}{R_2} + \frac{1}{R_3}$$

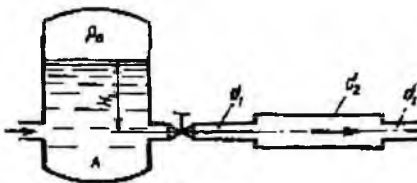
Bu qonuniyatlar quvurlarni va o'tkazgichlarni parallel hamda ketma-ket ulashdagi o'xshashlikni ko'rsatadi.

Amaliy mashg'ulotlarni bajarishga doir ko'rsatma:

Masala. Berilgan quvurlar tizimi orqali, rezervuardan atmosferaga oqib chiqayotgan suv sarfining miqdorini aniqlash lozim bo'lsin (9.15-rasm).

Quvurlarning diametrлari, uzunligi va materiali ($\Delta; \lambda$) ma'lum bo'lib, quyidagi qiymatlarga ega bo'lsin:

$$d_1 = 150 \text{ mm}; d_2 = 200 \text{ mm}; d_3 = 250 \text{ mm}; l_1 = 20 \text{ m} l_2 = l_3 = 15 \text{ m}; \\ \lambda_1 = \lambda_2 = \lambda_3 = 0,02 \quad H = 3,0 \text{ m};$$



9.15-rasm.

Jo'mrakning qarshilik koeffitsiyenti $\xi = 0,4$;

Yechimi: Masalani yechish uchun Bernulli tenglamaridan foydalanamiz. Bernulli tenglamaridan foydalanish quyidagi tartibda amalga oshiriladi:

1) Kesimlarni tanlaymiz:

I-I va II-II

2) Taqqoslash tekisligini o'tkazamiz:

0-0,

3) Oqim uchun Bernulli tenglamasini yozamiz:

$$z_1 + \frac{P_1}{\gamma} + \frac{\alpha_1 V_1^2}{2g} = z_2 + \frac{P_2}{\gamma} + \frac{\alpha_2 V_2^2}{2g} + h_f$$

4) Tenglamalardagi hadlarni aniqlaymiz:

$$\begin{aligned} z_1 &= H; P_1 = P_a; V_1 = 0; \alpha_1 = \alpha_2 = 1 \\ z_2 &= 0; P_2 = P_a; V_2 = ? \end{aligned}$$

5) Aniqlangan hadlarni tenglamaga qo'yamiz:

$$H + \frac{P_a}{\gamma} + 0 = 0 + \frac{P_a}{\gamma} + \frac{V_2^2}{2g} + h_f$$

bu yerdan:

$$H = \frac{V_2^2}{2g} + h_f$$

Endi quvurlar tizimida yo'qolgan dam – h_f miqdorini aniqlaymiz:
Ma'lumki,

$$h_f = \sum h_e + \sum h_M$$

Quvur uzunligi bo'ylab yo'qolgan dam Darsi-Veysbax formulasi bo'yicha:

$$\sum h_e = h_{l_1} + h_{l_2} + h_{l_3} = \frac{\lambda l_1}{d_1} \frac{V_1^2}{2g} + \frac{\lambda l_2}{d_2} \frac{V_2^2}{2g} + \frac{\lambda l_3}{d_3} \frac{V_3^2}{2g}$$

Uzilmaslik tenglamasidan

$$V_1\omega_1 = V_2\omega_2 = V_3\omega_3$$

$$V_1 = \frac{\omega_1}{\omega_3} V_3; V_2 = \frac{\omega_2}{\omega_3} V_3 \quad \text{ekanligidan foydalanib, hamda } V_3 = V_2$$

$$\sum h_e = \left[\frac{\lambda_1 l_1}{d_1} \left(\frac{\omega_3}{\omega_1} \right)^2 + \frac{\lambda_2 l_2}{d_2} \left(\frac{\omega_3}{\omega_2} \right)^2 + \frac{\lambda_3 l_3}{d_3} \right] \frac{V_2^2}{2g} \quad (9.42)$$

yoki

$$\sum h_e = \xi_1 \frac{V_2^2}{2g}$$

Mahalliy qarshiliklarda damning yo'qolishi ko'rileyotgan misolda, quyidagi joylarda sodir bo'ladi: qurvuring kirish qismida – (ξ_1); keskin kengayishda – (ξ_2); keskin torayishda – (ξ_3); berkitgichda – (ξ_4).

U holda

$$\sum h_M = \xi_1 \frac{V_1^2}{2g} + \xi_2 \frac{V_2^2}{2g} + \xi_3 \frac{V_3^2}{2g} + \xi_4 \frac{V_4^2}{2g}$$

Uzilmaslik tenglamasidan va $V_3 = V_2$ ekanligidan foydalanib

$$\sum h_M = \xi_1 \frac{V_1^2}{2g} + \xi_2 \frac{V_2^2}{2g} + \xi_3 \frac{V_3^2}{2g} + \xi_4 \frac{V_4^2}{2g} \quad (9.43)$$

Yoki

$$\sum h_M = \xi_M \frac{V_2^2}{2g}$$

Jadvaldan mahalliy qarshilik qiymatlarini olib, ξ_M ni hisoblaymiz.
(9.42) va (9.43) tenglamalarini qo'yib tizimda yo'qolgan dam uchun quyidagi ifodani olamiz

$$h_f = \xi_M \frac{V_2^2}{2g} + \xi_1 \frac{V_2^2}{2g} = (\xi_M + \xi_1) \frac{V_2^2}{2g}$$

Yoki

$$h_f = \xi_S \frac{V_2^2}{2g} \quad (9.44)$$

bu yerda: ξ_s – tizimning qarshilik koeffitsiyenti.

(9.44) ifodani qo'yib

$$H = \frac{V_2^2}{2g} + \xi_s \frac{V_2^2}{2g}$$

bu yerdan

$$V_2 = \frac{1}{\sqrt{1+\xi_s}} \sqrt{2gH}$$

Yoki

$$V_2 = \varphi \sqrt{2gH};$$

bu yerda φ – tezlik koeffitsiyenti.

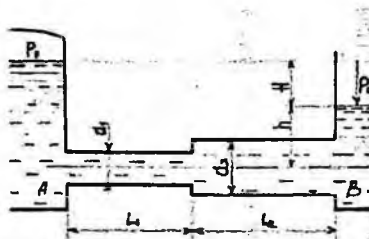
U holda quvurlar tizimi orqali oqib chiqayotgan sarf

$$Q = \mu \omega_3 \sqrt{2gH} = 0,17 \cdot \frac{\pi d_3^2}{4} \cdot \sqrt{2 \cdot 9,81 \cdot 3} = 0,06 \text{ m}^3/\text{s}$$

bu yerda μ – sarf koeffitsiyenti.

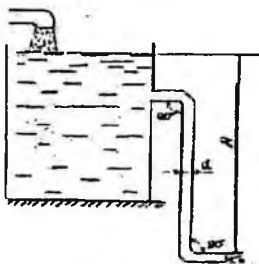
Mustaqil yechishga doir masalalar

1. Suv bir rezervuardan ikkinchisiga ketma-ket ulangan ikkita quvurlar orqali uzatiladi. Quvurlarning diametri va uzunligi mos ravishda $d_1 = 150 \text{ mm}$; $l_1 = 25 \text{ m}$; $d_2 = 200 \text{ mm}$; $l_2 = 35 \text{ m}$; gidravlik ishqalanish koeffitsiyenti $\lambda_1 = \lambda_2 = 0,03$. Agar $H_1 = 3,0 \text{ m}$; $H_2 = 10 \text{ m}$; $P_M = 20 \text{ kPa}$ bo'lsa, quvurdagi suv sarfi – Q ni aniqlang. Pezometrik va dam (napor) chiziqlarini chizing (9.16-rasm).



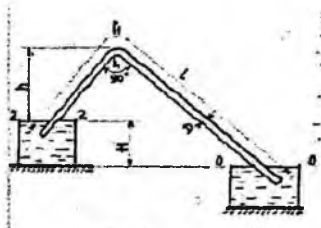
9.16-rasm.

2. Rezervuarga quyilayotgan sarf $Q = 0,05 \text{ m}^3/\text{s}$. Rezervuarda o'zgarmas suv sathini aniqlash uchun quvur orqali suv atmosferaga oqib chiqadi. Agar quvur uzunligi $\lambda = 0,025$ bo'lib, rezervuarga kelayotgan va chiqayotgan sarf bir xil bo'lishi uchun H -miqdorni aniqlang (9.17-rasm).



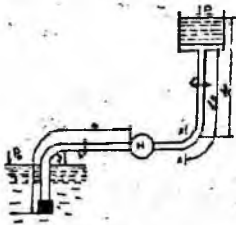
9.17-rasm.

3. Magistral kanaldan novga harorati $t = 20^\circ\text{C}$ suv po'lat sifon orqali uzatiladi. Sifonning diametri $D = 30 \text{ mm}$: uzunligi m , sarfi $Q = 0,5 \text{ l/s}$, $h = 4,0 \text{ m}$ bo'lsa, kanal va novdag'i suvlar sathining farqini aniqlang (9.18-rasm).



9.18-rasm.

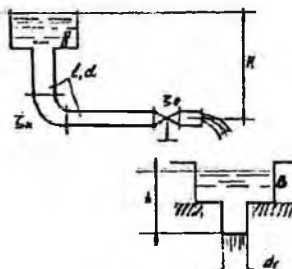
4. Markazdan qochma nasos harorati $t = 20^\circ\text{C}$ suvni diametri $d = 100 \text{ mm}$ va uzunligi m li po'lat quvur orqali $N = 30 \text{ m}$ balandlikka uzatmoqda. Agar $x-x$ kesimdag'i bosim $P_x = 0,2 \text{ mPa}$ bo'lsa quvurdagi suv sarfini aniqlang (9.19-rasm).



9.19-rasm.

5. Suv A-rezervuardan B-rezervuarga diametri $d = 80 \text{ mm}$ va uzunligi $l = 10 \text{ m}$ quvur orqali uzatiladi. B-rezervuardan suv naycha orqali (sarf koeffitsiyenti $\mu = 0,82$) atmosferaga oqib chiqmoqda. Agar B-rezervuardagi suyuqlik sathi $h = 2,0 \text{ m}$ bo'lsa, gidravlik ishqalanish koeffitsiyenti $\lambda = 0,03$; burilish va jo'mrakning qarshilik koeffitsiyentlari: $\xi_1 = 0,4$;

$\xi_2 = 3,0$ bo'lsa, A-rezervuarda qanday dam (napor) H bo'lishi kerak (9.20-rasm)



9.20-rasm.

IX bob bo'yicha nazorat savollari:

- 1.Sodda quvurni hisoblashning asosiy tenglamasi.
- 2.Quvurlarni ketma-ket va parallel ulash.
- 3.Murakkab quvurlar.
- 4.Quvurlarning tarmoqlarga bo'linishi.
- 5.Nasosdan ta'minlanuvchi quvur.

X BOB GIDRAVLIKANING ALOHIDA MASALALARI (MAXSUS KURS)

SUYUQLIKNING BEQAROR HARAKATI

Suyuqliklar harakat qilayotgan vaqtida uning tezligi va bosimi, odatda, vaqtga bog'liq bo'lib, bunday harakatni beqaror harakat deb atagan edik. Xususiy holda vaqt o'tishi bilan harakat barqarorlashib tezlik va bosim vaqtga bog'liq bo'lmay qoladi. Yuqorida ko'rib o'tilgan suyuqlikning quvurlardagi harakatlari va teshiklardan oqishiga ko'rildigan misollar barqaror harakatlarning asosiy masalalari qatoriga kiradi. Lekin har qanday harakat holatini o'zgarishi beqaror harakatni vujudga keltiradi. Bir harakat holatidan ikkinchisiga o'tish asta-sekin yoki keskin o'zgarish bilan sodir bo'lishi mumkin. Masalan, biror idishdagi suyuqlik teshik orqali oqqanda vaqt davomida bosimning o'zgarib borishi natijasida tezlik va sarfning ham o'zgarishi harakat holatining asta-sekin o'zgarib borishiga misol bo'lsa, quvurlarda jo'mraklarni yoki o'zanlarda to'siqlarning keskin ochib-yopilishi vaqtidagi o'zgarishi harakat holatining keskin o'zgarishiga misol bo'ladi. Bunday harakat vaqtida inertsiya kuchlari asta-sekin yoki keskin o'zgarib boradi. Barqaror harakat vaqtida esa inertsiya kuchining o'zgarishi sezilarsiz bo'lib, harakat holatiga deyarli ta'sir qilmaydi. Shuning uchun barqaror harakat bilan beqaror harakatni nazariy tekshirish birinchi holda inertsiya kuchining o'zgarishi hisobga olinmasligi ikkinchi holda bu o'zgarish hisobga olinishi bilan farqlanadi.

Ideal va real suyuqliklar barqaror harakatining umumiy tenglamalari (3.25) va (3.28) ko'rinishda yoziladi. Turbulent harakat uchun esa (3.28) tenglama umumlashtirib hosil bo'lgan tenglamani Reynolds tenglamasi deyiladi.

Barqaror harakat uchun uzilmaslik tenglamasi bo'yicha oqimchani ixtiyoriy ikki kesimidagi sarflari o'zaro teng ekanligi ko'rsatilgan edi. Barqaror harakat uchun esa bu qonun vaqtning biror aniq qiyamatida to'g'ri bo'lib, vaqt o'tishi bilan tezlik o'zgarganidek, sarf ham o'zgarib boradi. Shuningdek, vaqt davomida oqim chizig'i ham, elementar oqimcha ham o'zgarib boradi. Bu holda 10.1-rasmda tasvirlangan sxema elementar oqimchaning biror aniq vaqtidagi holatiga to'g'ri keladi deb hisoblaymiz. Agar 1-1 va 2-2 kesimlar orasidagi masofa cheksiz kichrayib borib, d uzunlikni qabul qilsa, u holda (3.12) tenglamani quyidagicha yoza olamiz.

$$q_1 - q_2 = 0 \text{ yoki } dq = 0 \quad (10.1)$$

Bu tenglamada chap tomondagi ifoda sarfdan olingan to'liq diferentsial bo'lib, q vaqt va yo'l bo'yicha o'zgarib borgani uchun, matematikada quyidagicha ifodalanadi.

$$\frac{\partial q}{\partial t} dt + \frac{\partial q}{\partial l} dl = 0. \quad (10.2)$$

Hosil bo'lgan tenglamaning ikki tomoni dt ga bo'lamiz va tezlikning ta'rifidan $u = \frac{dl}{dt}$ ekanligini hisobga olib, ushbu ko'rinishda yozamiz:

$$\frac{\partial q}{\partial t} + u \frac{\partial q}{\partial l} = 0. \quad (10.3)$$

Bu hosil qilingan tenglama beqaror harakat elementlar oqimchasi uchun uzilmaslik tenglamasidir. Barqaror harakatdagi kabi beqaror harakat uchun ham oqimning uzulmaslik tenglamasini yozish mumkin:

$$\frac{\partial Q}{\partial t} + g \frac{\partial Q}{\partial l} = 0. \quad (10.4)$$

Beqaror harakatni tekshirish juda murakkab bo'lib, biz ikki soddalashtirilgan xususiy hol ustida to'xtalib o'tamiz.

1) deformatsiyalanmaydigan quvurdagi siqilmaydigan suyuqlikning harakati. Bu holda harakat holati asta-sekin o'zgarib borishi hisobiga olinadi, lekin quvur deformatsiyasidan hosil bo'ladigan kuchlar bo'lmaydi.

2) gidravlik zarba masalasi bo'lib, bunda quvur deformatsiyalanadi, lekin soddalashtirish harakat holatining keskin o'zgarishi va quvur kesimining o'zgarmasligi bilan ifodalanadi. Beqaror harakatining umumiylari yechish shu turdag'i harakatlarga bag'ishlangan maxsus kurslarda ko'rilib, ko'p hollarda (3.25), (3.28) yoki Reynolds tenglamalar sistemalarini yechish bilan bog'liq.

10.1. Siqilmaydigan suyuqlikning deformatsiyalanmaydigan quvurlarda inertsiya bosimi hisobga olingan beqaror harakati

Beqaror harakatni tekshirish uchun avval bu harakatga Bernulli tenglamasini chiqaramiz. Buning uchun kinetik energiyaning o'zgarishi qonunidan foydalanganiz. Beqaror harakatda tezlik va bosim yo'l bo'yicha ham, vaqt bo'yicha ham o'zgargani uchun (3.39) tenglamadagi kinetik energiyaning dt vaqtida o'zgarishi quyidagicha yoziladi:

$$d\left(\frac{mu^2}{2}\right) = \frac{\partial}{\partial t}\left(\frac{mu^2}{2}\right) dt + \frac{\partial}{\partial l}\left(\frac{mu^2}{2}\right) dl \quad (10.5)$$

Barqaror harakatda elementlar oqimchani ifodalovchi 9.1-rasmdagi sxema beqaror harakat uchun elementlar oqimchaning biror aniq vaqtdagi holatni ifodalasin. Bu rasmdagi 1-1 va 2-2 kesimlar orasida masofani cheksiz

kichraytirib borib, dl ga intiltirsak, (3.39) tenglama yuqoridagi oxirgi munosabatni hisobga olgan holda quyidagicha yoziladi:

$$\frac{\partial}{\partial t} \left(\frac{mu^2}{2} \right) dt + \frac{\partial}{\partial l} \left(\frac{mu^2}{2} \right) dl = \sum P dl \quad (10.6)$$

Siqilmaydigan suyuqlik uchun massa o'zgarmas bo'lgani sababli oxirgi tenglik ushbu ko'rinishda yoziladi:

$$m \left[\frac{\partial}{\partial t} \left(\frac{u^2}{2} \right) dt + \frac{\partial}{\partial l} \left(\frac{u^2}{2} \right) dl \right] = \sum P dl \quad (10.7)$$

tenglamaning ikki tomonini dt ga bo'lamiz va $\frac{\partial l}{\partial t} = u$ ekanligini nazoratga olsak

$$mu \frac{\partial u}{\partial t} + mu \frac{\partial u}{\partial l} u = \sum P u$$

yoki

$$m \frac{\partial u}{\partial t} + mu \frac{\partial u}{\partial l} = \sum P \quad (10.8)$$

bo'ladi. 3.41 tenglamaga asosan

$$m = \rho q dt \quad (10.9)$$

(3.41) ga asosan 1-1 va 2-2 kesimlarga ta'sir qiluvchi bosim kuchlari bajargan ishlarning yig'indisi

$$A_1 - A_2 = (p_1 - p_2) g dt$$

bo'ladi yoki 1-1 va 2-2 kesimlar orasidagi masofa cheksiz kichik ekanligini nazoratga olsak va

$$p_1 - p_2 = -dp = -\frac{dp}{dl} dl$$

desak, u holda

$$A_1 - A_2 = -\frac{dp}{dl} q dl dt \quad (10.10)$$

suyuqliknинг 1-1 kesimdan 2-2 kesimga o'tishida og'irlik kuchining bajargan ishi

$$A_2 = Q(z_1 - z_2) = \gamma q dt (z_1 - z_2) \quad (10.11)$$

yoki

$$A_2 = -\gamma q dt dz = -\gamma \frac{dz}{dl} l dl dt$$

ko'rinishda ifodalanadi.

Endi (10.9), (10.10) va (10.11) munosabatlarni hisobga olgan holda (10.7) tenglamani quyidagicha yoza olamiz:

$$\rho q dt \left[\frac{\partial}{\partial t} \left(\frac{u^2}{2} \right) dt + \frac{\partial}{\partial l} \left(\frac{u^2}{2} \right) dl \right] = -\frac{\alpha p}{\partial l} q dl dt - \gamma \frac{dz}{dl} q dl dt$$

Bu tenglama (10.8) dagi ko'rinishga keltirilsa,

$$\rho q dt \left(\frac{\partial u}{\partial t} + u \frac{\partial u}{\partial l} \right) = - \frac{\partial p}{\partial l} q dt - \gamma \frac{dz}{dl} q dt$$

bo'ldi. Oxirgi tenglamaning ikki tomoni $\gamma q dt$ ga bo'lib, quyidagi ko'rinishda ifodalaymiz:

$$\frac{1}{g} \frac{\partial u}{\partial t} + \frac{u}{g} \frac{\partial u}{\partial l} = - \frac{1}{\gamma} \frac{dp}{dl} - \frac{dz}{dl}$$

Ba'zi o'zgarishlardan so'ng esa beqaror harakat uchun Bernulli tenglamasini differentsiyal ko'rinishda olamiz:

$$\frac{1}{g} \frac{\partial u}{\partial t} + \frac{\partial}{\partial l} \left(\frac{u^2}{2g} \right) + \frac{1}{\gamma} \frac{dp}{dl} + \frac{dz}{dl} = 0 \quad (10.12)$$

Bu tenglamani oralaridagi masofa chekli l ga teng bo'lgan ikki kesim uchun integrallasak

$$\int_{z_1}^{z_2} \frac{1}{g} \frac{\partial u}{\partial t} dl + \int_{l_1}^{l_2} d \left(\frac{u^2}{2g} \right) + \int_{p_1}^{p_2} \frac{dp}{\gamma} + \int_{z_1}^{z_2} dz = 0$$

va hosil bo'lgan tenglamani chekli oraliqdagi kesimlar uchun yozsak, u holda beqaror harakat uchun Bernulli tenglamasi quyidagicha yoziladi:

$$\frac{u_1^2}{2g} + \frac{p_1}{\gamma} + z_1 = \frac{u_2^2}{2g} + \frac{p_2}{\gamma} + z_2 + \frac{1}{g} \int_{l_1}^{l_2} \frac{\partial u}{\partial t} dl$$

Bu tenglamaning o'ng tomonidagi integral inertsiya bosimi deb ataluvchi miqdordir:

$$h_m = \frac{j}{g} l, \quad (10.13)$$

bu yerda

$$j = \frac{1}{l} \int_{l_1}^{l_2} \frac{\partial u}{\partial t} dl$$

u_1 va u_2 ni $\frac{\partial u}{\partial t}$ ning birinchi va ikkinchi kesimlardagi qiymatlari bilan ifodalasak, Bernulli tenglamasi quyidagicha yoziladi:

$$\frac{u_1^2}{2g} + \frac{p_1}{\gamma} + z_1 = \frac{u_2^2}{2g} + \frac{p_2}{\gamma} + z_2 + h_m \quad (10.14)$$

Bernulli tenglamasini oqim uchun yozsak, u holda tezlikning qiymatlarini uning o'rtacha qiymatlari bilan almashtirib yozamiz

$$\frac{\alpha_1 g_1^2}{2g} + \frac{p_1}{\gamma} + z_1 = \frac{\alpha_2 g_2^2}{2g} + \frac{p_2}{\gamma} + z_2 + h_m \quad (10.15)$$

Beqaror harakatning Bernulli tenglamasini real suyuqliklar uchun ushbu ko'rinishda yozamiz:

$$\frac{\alpha_1 g_1^2}{2g} + \frac{p_1}{\gamma} + z_1 = \frac{\alpha_2 g_2^2}{2g} + \frac{p_2}{\gamma} + z_2 + h_{-2} + h_m \quad (10.16)$$

Shuni nazarda tutish kerakki, h_{in} ni birinchi va ikkinchi kesimlardagi inertsiya kuchlari bajargan solishtirma ishlarning farqini ko'rsatadi.

Agar olingan tenglamalarni quvurlar sistemasiga qo'llasak, u holda ikki kesim orasidagi ishqalanish va mahalliy qarshiliklarga bo'lган sarf va inertsiya qarshiligiga bo'lган sarfn hisoblab yozamiz:

$$\frac{\alpha_1 g^2}{2g} + \frac{P_1}{\gamma} + z_1 = \frac{\alpha_2 g^2}{2g} + \frac{P_2}{\gamma} + z_2 + \sum h + \sum h_n \quad (10.17)$$

Inertsiya bosimi quvurlarda kranlar va turli asta-sekinlik bilan ochib-yopiladigan hollarda shu ochib-yopilishning suyuqlik harakatiga ko'rsatgan qarshiliklari sifatida namoyon bo'ladi. Gidravlik mashinalar, gidrouzatzkich va gidrouzatnralarda esa porshenlar harakati vaqtida hosil bo'ladi o'zgarishlar ham inertsiya bosimi yordamida hisobga olinadi. Misol uchun ikki idish biror quvur orqali tutashtirilgan bo'lib, quvurga tutashtirilgan porshen harakat qilayotgan bo'lsin. Bu holda birinchi idishdagi suyuqlik sathi (0-0) kesim bilan quvurdagi biror I-I kesim uchun yozilgan Bernulli tenglamasi quyidagicha bo'ladi.

$$\frac{P_0}{\gamma} + z_0 = \frac{g^2}{2g} + \frac{P_1}{\gamma} + \lambda \frac{l}{D} \frac{g^2}{2g} + \frac{j}{l} \quad (10.18)$$

Quvurdagi 2-2 kesim bilan ikkinchi idishdagi suyuqlik sathi 3-3 kesim uchun yozilgan Bernulli tenglamasi esa quyidagicha yoziladi:

$$\frac{P_2}{\gamma} = \frac{P_1}{\gamma} + z_2 + \lambda \frac{l}{D} \frac{g^2}{2g} + \frac{j}{l} \quad (10.19)$$

Bu yerda inertsiya bosimi porshenning musbat yoki manfiy tezlikni oshiruvchi yoki susaytuvchi yo'nalishda harakat qilishiga qarab musbat yoki manfiy ishora bilan olinadi.

10.2. Gidravlik zarba hodisasi

Quvurlarda gidravlik zarba hodisasi deformatsiyalanuvchi quvurlardagi kam siqiluvchi suyuqlikning tezligi yoki bosimi keskin o'zgarganda hosil bo'ladi tebranma harakatdan iboratdir. Bu hodisa tez sodir bo'lib, bosimning keskin ortishi va kamayishi bilan xarakterlanadi. Bosimning bunday o'zgarishi suyuqlikning va quvur devorlarining deformatsiyalanishi bilan bog'liqdir.

Gidravlik zarba ko'p hollarda jo'mrak yoki oqimning boshqaruvchi biror boshqa qurilmaning tez ochilishi yoki yopilishi natijasida sodir bo'ladi. Unga boshqa hodisalar ham sabab bo'lishi mumkin. Quvurlardagi gidravlik zarbanı birinchi marta prof. N.E. Jukovskiy nazariy asoslagan va tajribada tekshirib ko'rgan va uning "O gidravlicheskom udare" nomli asarida (1899 y) e'lon

qilingan. Suyuqlik V_0 tezlik va p_0 bosim bilan harakat qilayotgan quvurning oxiridagi kran jo'mrak "J" bir onda yopilsin deylik (10.1-rasm, a). U holda kranga (yopilgandan so'ng) birinchi yetib kelgan suyuqlik zarrachalarning tezligi so'nib ularning kinetik energiyalari quvur devorlarining va suyuqliknki deformatsiyalash ishiga aylanadi. Bu yerda gidravlikaning avval ko'rildigan bo'limlari dagi kabi suyuqlik siqilmaydi deb hisoblamay, uning siqilishi oz miqdorda bo'lsa ham hisobga olishga to'g'ri keladi, chunki shu siqilish katta va chekli miqdordagi zarba bosimi Δp , ni vujudga keltiradi. Shunday qilib, jo'mrak oldida hosil bo'lgan Δp , qo'shimcha bosimga mos ravishda quvur devorlari cho'zilib, suyuqlik siqiladi. Jo'mrak oldida to'xtatilgan suyuqlik zarrachalariga qo'shni bo'lgan zarrachalar ham yetib keladi va ularning ham tezliklari so'nadi. Natijada bosim ochish chegarasi ($a-a$ kesim) jo'mrakdan ta'minlovchi idish tomonga, zarba to'lqinining tezligi deb ataluvchi a tezlik bilan siljib boradi. Bosimi Δp , ga o'zgargan sohaning o'zi esa zarba to'lqini deb ataladi. Bu to'lqin idishga yetib borganda esa, suyuqlik butun quvur bo'yicha to'xtagan va siqilgan bo'lib, quvur devorlari esa butunlay cho'zilgan bo'ladi. Bosimning zarbali ortishi Δp , esa quvur bo'yicha butunlay tarqalgan bo'ladi. (10.1-rasm, b). Lekin quvurdagi suyuqlik teng vaznli holatda bo'lmaydi. Bosimlar farqi Δp , ta'sirida suyuqlik quvurdan idishga oqa boshlaydi. Bu oqim idishning bevosita oldida turgan zarrachalardan boshlanib, uning chegarasi ($a-a$ kesim, teskari yo'nalishda) kran tomonga a tezlik bilan harakat qiladi va ketida tiklangan p_0 bosimli V_0 tezlikka ega suyuqlik oqimini qoldiradi (10.1-rasm, v). Suyuqlik va quvur devorlari elastik deb qaralib, p_0 bosimi tiklanishi bilan o'z holiga qaytadi. Deformatsiya ishi qayta kinetik energiyaga aylanib, suyuqlik yana avvalgi V_0 tezligiga ega bo'ladi va teskari yo'nalishda oqa boshlaydi. Suyuqlik ustuni ana shu tezlik bilan oqishda davom

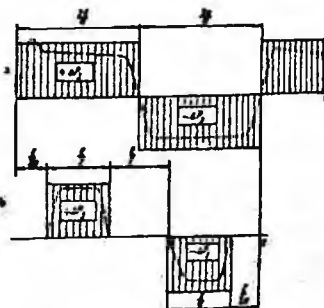


10.1 rasm. Gidravlik zarba hodisasini tushuntirishga doir chizma.

etib, jo'mrakdan uzilishga intiladi (10.1-rasm, g). Natijada krandan idishga α tezlik bilan harakat qiluvchi manfiy zarba to'lqini vujudga keladi va u bosimni p_0 ga kamaytirib, qurvur devorini toraytirib, suyuqlikni kengaytiradi (10.1-rasm, d). Suyuqlikning kinetik energiyasi esa yana deformatsiya ishiga aylanadi, lekin bu ish endi manfiy bo'ladi. Bu harakat davom etib borib, manfiy zarba to'lqini ham idishgacha yetib keladi (10.1-rasm, e). Musbat zarba to'lqinidagi kabi bu holat ham teng vaznli bo'lmaydi va natijada qurvurda yana bosim tiklana boshlaydi, suyuqlik esa V_0 tezlikka erishadi (10.1-rasm, j). Idishdan qaytgan zarba to'lqini jo'mrakka yetib borishi bilan jo'mrak yopilgandagiga o'xshash hodisa yana vujudga keladi. Shundan so'ng butun sikl takrorlanadi.

N. E. Jukovskiy tajribalarida bunday siklning 12 marta takrorlanishi qayd qilingan, lekin har bir navbatdagi siklda, ishqalanish kuchi va energiyaning idishdagisi suyuqlikka o'tishi natijasida Δp , kamayib borgan. Gidravlik zarbaning vaqt davomida o'tishi 9.2-rasmda diagramma ko'rinishida tasvirlangan (10.2-rasmdagi a) diagrammada jo'mrak bir onda yopilgan deb qarab, jo'mrakning oldidagi k nuqtadagi bosimning nazariyadagi o'zgarishi Δp , tutash chiziq bilan tasvirlangan. Quvurning o'rtasidagi v nuqtaga zarba bosimi $\frac{l}{2a}$ vaqtga kechikib keladi va to'lqinning bu nuqtadan idishga borib qaytib kelgunicha, ya'ni $\frac{l}{2a}$ vaqt saqlanib turadi. So'ng v nuqtada bosim p_0 ga tiklanadi (ya'ni $\Delta p = 0$) va shu holda teskari to'lqin yetib kelguncha, $\frac{l}{d}$ vaqt saqlanadi (10.2-rasm, b).

Bu haqiqiy bosim grafigi emas. Bundan tashqari, tebranish so'nib boradi, ya'ni uning amplitudasi energiyaning sarf bo'lish hisobiga kamayib boradi.



10.2-rasm. Gidravlik zarbada bosimning vaqt davomida o'zgarishi.

10.3. To'g'ri zarba uchun N. E. Jukovskiy formulasi

Gidravlik zarba vaqtida bo'ladigan o'zgarishlarni va zarba kuchini hisobga olish uchun zarba bosimi Δp , ning qiymatini aniqlash kerak. Buning uchun zarba bosimi ostida suyuqlikning siqilgan holi uchun harakat miqdorining o'zgarishi haqidagi teoremani qo'llaymiz. Shu maqsadda qurvurdagi suyuqlikning elementar masofaga dt vaqtida siljishini ko'ramiz (10.3-rasm). Buning uchun biror vaqtida qurvurdagi suyuqlikning jo'mrak oldidagi Δt bo'lagi zarba ta'sirida siqilgan bo'lsin. U holda suyuqlikka idish tomonidan $P_1 = p_0 \omega$ bosim kuchini, kran tomonidan esa $P_2 = (p_0 + \Delta p) \omega$ kuchi dt vaqt ta'sir qiladi. Suyuqlikning zarba yetib kelmagan qismining harakat miqdori $\rho \omega V_0 dx$ zarba ta'siri ostidagi qismining harakat miqdori $\rho \omega Q dx$ bo'ladi. Shunday qilib, ko'rيلayotgan holda harakat miqdorining o'zgarishi haqidagi teorema qo'llanganda muvozanat tenglamasi quyidagicha yoziladi:

$$(p_0 + \Delta p) \omega dt - d \omega dt = \rho \omega g_0 dx \quad (10.20)$$

Bu tenglikdan

$$\Delta p \omega dt = \rho \omega g_0 dx$$

Yoki

$$\Delta p_0 = \rho g_0 \frac{dx}{dt} \quad (10.21)$$

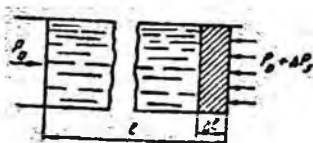
Bu yerda zarba to'lqinining tarqalish tezligi.

$$\alpha = \frac{dx}{dt} \quad (10.22)$$

dan iborat va oxirgi tenglama quyidagicha yoziladi:

$$\Delta p_0 = \rho V_0 \alpha \quad (10.23)$$

Bu formula N. E. Jukovskiy formulasidir. Undan ko'rindaniki, gidravlik zarba bosimi suyuqlikning zichligi, tezligi va shu suyuqlikda to'lqin tarqalishi tezligiga proporsional bo'lib, ularning ko'paytmasiga teng. Agar suyuqlikda to'lqin tarqalish tezligini aniqlasak, tezlikni o'lchab (zichlik jadvallardan ma'lum), (10.23) formula yordamida zarba bosimini topa olamiz. Shuni aytish kerakki, α suyuqlikning va quvurning elastiklik xossalariiga bog'liq. Bu bog'liqlikni aniqlash uchun qurvurdagi suyuqlik kinetik energiyasining deformatsiyaga sarf bo'ladigan ishga aylanishini tekshiramiz. Radiusi R bo'lgan qurvurdagi suyuqlikning kinetik energiyasi quyidagiga teng:



10.3 rasm. Gidravlik zarba uchun N.E. Jukovskiy formulasini chiqarishga doir chizma.



10.4 rasm. Gidravlik zarba vaqtida quvur devorining cho'zilishi.

$$\frac{m g_0^2}{2} = \frac{1}{2} \pi R^2 l \rho g_0^2 \quad (10.24)$$

Quvurni deformatsiyalashga ketgan ish A_1 kuchning cho'zilishga ko'paytmasining yarmiga teng. Deformatsiya ishini zarba kuchining ΔR (10.4-rasm) yo'lgan ish sifatida topamiz:

$$A_1 = \frac{1}{2} \Delta p_3 2\pi R l \Delta R \quad (10.25)$$

Guk qonuniga asosan

$$\sigma = E \frac{\Delta R}{R} \quad (10.26)$$

Bu yerda σ -quvur devoridagi normal zo'riqish, u quvurning qalinligi σ va zarba kuchi Δp_3 bilan quyidagicha bog'langan:

$$\sigma = \frac{\Delta p_3}{\delta} R \quad (10.27)$$

Bu munosabatlardan foydalanib quvurni deformatsiyalash ishini quyidagicha yozamiz:

$$A_1 = \frac{\Delta p_3^2 \pi R^3 l}{\delta E} \quad (10.28)$$

Endi quvurdagi suyuqlikni Δl masofadagi (9.3-rasm) siqish ishi A_2 ni topamiz. Bunda siqilgan suyuqlik sarfi $\omega \Delta l$ desak,

$$A_2 = \frac{1}{2} \omega \Delta l \Delta p_3 = \frac{\pi R^2}{2} \Delta l \Delta p_3, \quad (10.29)$$

Guk qonuniga o'xshash, suyuqlikning chiziqli cho'zilishi zarba kuchi bilan quyidagicha bog'langan:

$$\Delta p_3 = K \frac{\Delta l}{l}$$

bu yerda K – suyuqlikning elastiklik moduli. U holda

$$A_2 = \frac{1}{2} \frac{\Delta p_3^2 \pi R^3 l}{K} \quad (10.30)$$

Kinetik energiya A_1 , va A_2 ishlarning yig‘indisiga teng, ya’ni

$$\frac{1}{2} \pi R^2 \rho g_0^2 = \frac{\Delta p_3^2 \pi R^3 l}{\delta E} + \frac{\Delta p_3^2 \pi R^2 l}{2K} \quad (10.31)$$

Bu tenglamani Δp_3 , ga nisbatan yechsak

$$\Delta p_3 = \rho g_0 \frac{1}{\sqrt{\frac{\rho}{K} + \frac{2\rho R}{\delta E}}} \quad (10.32)$$

N. E. Jukovskiy formulasini umumiyroq ko‘rinishda topdik.

(10.32) ni (10.23) bilan solishtirsak, suyuqlikda to‘lqin tarqalish tezligi uchun quyidagi formulani olamiz:

$$\alpha = \frac{1}{\sqrt{\frac{\rho}{K} + \frac{2\rho R}{\delta E}}} \quad (10.33)$$

Bu miqdorning o‘lchovi tezlik o‘lchoviga tengdir. Uning fizik ma’nosini aniqlash uchun quvurni deformatsiyalanmaydigan (ya’ni $E = \infty$) deb qaraymiz. U holda ildiz ostidagi ikkinchi had nolga aylanadi va

$$\alpha = \sqrt{\frac{K}{\rho}} \quad (10.34)$$

bo‘lib qoladi. Oxirgi formula zichligi ρ va elastiklik moduli K bo‘lgan bir jinsli suyuqlik uchun tovush tezligidan iboratdir. Shunday qilib, quvurlarda gidravlik zarba to‘lqining tarqalish tezligi (10.33) formula yordamida hisoblanadi. Bu tezlik suv uchun 1435 m/s, benzin 1116 m/s, yog‘lar uchun 1400 m/s deb taxmini hisoblash mumkin. Albatta, quvurning materialiga qarab u ko‘proq yoki kamroq bo‘ladi.

10.4. Teskari gidravlik zarba haqida tushuncha

Agar jo‘mrak to‘liq yopilmasa va suyuqlikning tezligi butunlay so‘nmasa hamda u ϑ_0 dan ϑ ga kamaysa, bunda chala gidravlik zarba hosil bo‘ladi. Bunday zarba uchun N. E. Jukovskiy formulasini quyidagicha yoziladi:

$$\Delta p_3 = \rho (\vartheta_0 - \vartheta) \alpha \quad (10.35)$$

Bu formula jo‘mrakning bir onda (juda tez) yopilmagan holi uchun to‘g‘ri bo‘ladi. Agar jo‘mrakning yopilish vaqtini t_s desak va gidravlik zarbaning jo‘mrakdan idishga borib, undan qaytib kelish vaqtini t_0 desak, u holda

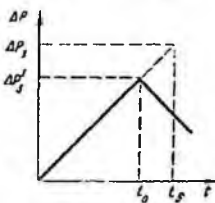
$t_s < t_0$ bo'lganda kranning yopilishi oniy bo'lgan deb qarash mumkin. Bunda t_0 gidravlik zarbaning fazasi deyiladi, zarbaning o'zini esa t_0 to'g'ri gidravlik zarba deyiladi. $t_s > t_0$ bo'lganda esa teskari gidravlik zarba deyiladi va zarba t_0 lqini kran butunlay yopilib ulgurmasidan oldin idishdan qaytib jo'mrakka yetib keladi. Tabiiyki bu holda bosimning ortishi $\Delta p_3'$ to'g'ri zarba holidagi Δp_3 ga qaraganda kichik bo'ladi.

Agar oqim tezligi jo'mrak yopilishiga qarab kamayib boradi, bosim esa vaqt bo'yicha chiziqli ortadi deb hisoblasak (9.5-rasm), u holda

$$\frac{\Delta p_3'}{\Delta p_3} = \frac{t_0}{t_s}$$

munosabat o'rinni bo'ladi. Bundan:

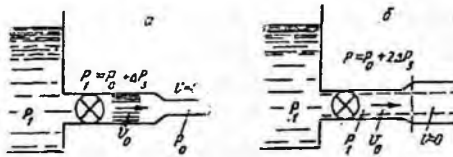
$$\Delta p_3' = \Delta p_3 \cdot \frac{t_0}{t_s} = \rho g_0 \alpha \frac{2l}{\alpha t_s} = \frac{2\rho V_0 l}{t_s} \quad (10.36)$$



10.5-rasm. To'g'ri va noto'g'ri zarbada bosimning ortishi.

Shunday qilib, teskari gidravlik zarba bosimi $\Delta p_3'$, to'g'ri gidravlik zarba bosimi Δp_3 , dan farqli ravishda quvurning uzunligiga bog'liq, α tezlikka bog'liq emas.

Tupiksimon quvurlarda zarba bosimi ikki baravar ortib ketadi. Bu hodisani 10.6-rasm yordamida tushuntiramiz. Boshlang'ich bosimi p_0 bo'lgan suyuqlikka to'la quvur katta $p_1 = p_0 + 2\Delta p_3$, bosimli bo'lgan quvurdan jo'mrak yordamida ajratilgan bo'lsin. Jo'mrak ochilishi bilan quvurda bosim $\Delta p_3 = p_1 - p_0$ miqdorga keskin ortadi, quvurdagi suyuqlikning tezligi esa noldan ϑ_0 ga ortadi. Buning natijasida hosil bo'lgan zarba t_0 lqini α tezlik bilan quvurnnng ikkinchi uchi tomonga qarab harakat qiladi (10.6-rasm, a).



10.6-rasm Noto'g'ri gidravlik zarbani tushuntirishga doir chizma.

N. E. Jukovskiy formulasidan:

$$\vartheta_0 = \frac{\Delta p_1}{\rho a}$$

Zarba to'lqini tupiksimon quvurning oxiriga kelganda butun quvur bo'yicha bosim Δp , ga ortadi, tezlik esa quvur oxirigacha ϑ qiymatga ega bo'ladi. Suyuqlik bundan nariga oqa olmagani uchun uning tezligi so'nib, kinetik energiyasi, yangi qo'shimcha zarba to'lqinining hosil bo'lishiga sabab bo'ladi. Yangi zarba to'lqinining bosimi ham, N. E. Jukovskiy formulasiga asosan $\Delta p = \rho \vartheta a$ bo'lib, quvurdagi bosimning umumiy oshishi $2\Delta p$, ga teng bo'ladi (10.6-rasm, b), suyuqlikping tezligi esa $\vartheta = 0$ bo'ladi.

Quvurning ikkinchi uchida yana bir idish bo'lsa (bu kuch gidrosilindrлarida bo'ladi), u holda ikkinchi zarba to'lqini kichikroq bo'lib, bosimning umumiy ortishi $2\Delta p$, dan kichik bo'ladi.

Ikkinci idish hajmi juda katta bo'lsa, ikkinchi zarba to'lqini deyarlik bo'lmaydi. Zarba bosimining ikki baravar ortish holi kuch gidrosilindrлarini yuqori bosimli suyuqlikka keskin tutashtirilgan hollarda sodir bo'ladi, bunga sabab gidrosilindrдagi suyuqlik miqdori (porshen silindr tubiga taqalgan bo'ladi) juda kam bo'lib, tupiksimon quvurga o'xshagan bo'ladi. (10.23) formula bir qancha taxminlardan foyadalanib chiqarilgan, ya'ni suyuqlik va quvur deformatsiyasiga Guk qonuni o'rinni, ishqalanish kuchi va boshqa turlardagi energiyaning tarqalishi yo'q, quvur kesimida tezlik bir tekis tarqalgan deb qabil qilinadi. Tajribalar ko'rsatishicha, agar suyuqlikda havo pufakchalari aralash bo'lmasa va p_0 bosim juda katta bo'lmasa, yuqorida aytilgan taxminlarga qaramay N. E. Jukovskiy formulasi amaliy hisoblashlarga juda yaqin keladi. Boshlang'ich bosim katta bo'lganida Δp , ning (10.23) formula yordamida hisoblangan qiymatidan tajriba natijalari 10–20% dan ko'p ortiq bo'ladi. Bunga sabab katta bo'lgan suyuqlikning elastiklik moduli K, demak, a tezlik ortadi. Bundan ko'rindaniki, Guk qonunidan chetga chiqish, ya'ni deformatsiyaning chiziqliligi buzilishi sodir bo'ladi. Hozirgi vaqtida gidrosistemalarda tez ishlaydigan boshqarish uskunalar (elektromagnit jo'mraklar va h.) qo'llanishi sababli, ularning ishga tushish vaqtida qisqa (taxminan 0,008–0,002 s) bo'lib, Δp , juda katta qiymatlar (bir nesha va hatto o'narcha mH/m^2) ga erishadi. Bosimning bunday ortishi gidrosistemalar ayrim bo'laklarining ishdan chiqishiga sabab bo'ladi. Bundan tashqari, gidravlik zARBada bosim impulslari butun gidrosistema bo'yicha tarqalib, uning ayrim boshqaruv qurilmalari (bosim relesi, gidroqulflar va h.) ning to'satdan ishlay

boshlashiga sabab bo‘ladi. Bunday hollarda gidravlik zARBAGA qarshi kurash usullaridan foydalanish kerak bo‘ladi.

10.5. Gidravlik zARBANI susaytirish usullari

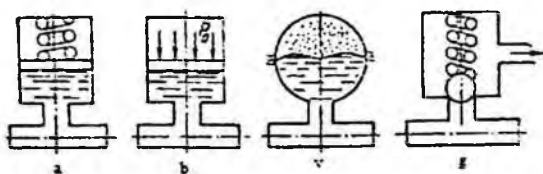
Gidravlik zARBa ta’sirini susaytirish turli usullar bilan amalga oshiriladi.

Birinchi usul – jo‘mraknnng keskin ochilish yoki yopilish vaqtI t ni uzaytirib, $t > \frac{2l}{\alpha}$ ga yetkazish yo‘li bilan to‘g‘ri gidravlik zARBANI yo‘qotib, Δp , ni kamaytirish. Bu ish, odatda, drosselli rele yordamida bajariladi. Odatda, jo‘mrakning holati (ochiq yoki yopiqligi) o‘zgartirilganda suyuqlik quvurga rele orqali o‘tgani uchun uning sarfi (demak, tezligi) prujinali klapanlar yordamida asta-sekin o‘zgarib, ma’lum vaqtidan keyin kerakli qiymatga yetadi. Tajribalarning ko‘rsatishicha, quvurlarni zARBASIZ tutashtirish bosimning o‘zgarishi 22 MH/m^2 atrofida va $t \approx 0,1s$ bo‘lganda ishonchli ta’minlanadi.

Ikkinci usul quvurlarga gidravlik zARBANI so‘ndirgish (kompensator)lar o‘rnatish. So‘ndirgishlar quvurdagi suyuqlikka nisbatan yuqori siqiluvchanlik xususiyatiga ega bo‘lgan elastik elementli idishlar bo‘lib, turli konstruktiv tuzilishga ega (10.7-rasm). Eng ko‘p tarqalgan so‘ndirgichlar elastik elementi prujina (10.7-rasm, a) va gaz (10.7-rasm, b) bo‘lgan porshenli, membranali (10.7-rasm, b) va klapanli (10.7-rasm, g) so‘ndirgichlardir. So‘ndirgichlar, odatda, zARBa tug‘diruvchi (jo‘mrak) yoki zARBadan himoyalanuvchi qism yoniga o‘rnatiladi. Ular yordamida zARBa bosimining kamayishi sundirgishga suyuqlik oqimi bilan birga kelgan kinetik energiyaning elastik elementlar tomonidan yutilishi hisobiga amalga oshadi. So‘ndirgichning elastik elementi qancha ko‘p deformatsiyalansa, yutilgan energiya ham shuncha ko‘p bo‘ladi. Shuning uchun elastik elementning elastiklik xarakteristikasi imkon bergen chegarada mumkin bo‘lgan deformatsiyaning o‘zgarmas bo‘lishiga harakat qilish kerak bo‘ladi. Bu esa gazli so‘ndirgichlarda gaz bo‘lmasligini shunday tanlab olishni taqozo qiladiki, zARBa to‘lqinin yutilishida bosimning o‘zgarishi minimal bo‘lishi kerak. Amalda bunday so‘ndirgichlarda gaz bo‘lmasining hajmi quvurdagi suyuqlikning ikki sekundlik sarfiga teng qilib olinadi, boshlang‘ich bosimi esa magistraldagI maksimal bosimdan ko‘proq bo‘lishi zarur.

Porshenli so‘ndirgichlarning kamchiligi ularning inertligi bo‘lib, bu porshenning massasi va ishqalanish kuchiga bog‘liqligi va unga quvur bilan

so'ndirgichni tutashtiruvchi kanaldagi suyuqlinkning inertligi qo'shiladi. Bu kuchlar zarba to'lqinining so'ndirgich porsheniga ta'siri natijasida garmonik tebranish vujudga kelishiga sabab bo'ladi va natijada so'ndirgich hamda quvurdagi bosim tebranishi qo'shilib, kanaldagi bosim zarba bosimidan oshib ketishi



10.7 - rasm. Turli so'ndirgichlar.

mumkin. Natijada so'ndirgich zarba energiyasini yutish o'miga kuchaytirishi mumkin. Inertlikni kamaytirish maqsadida so'ndirgichni gaz va suyuqlikni ajratuvchi elastik membrana bilan ta'minlanadi (10.7-rasm, v). Yuqorida aytilganidek, so'ndirgichda tebranma harakatning bo'lish va zarba to'lqinining kuchayishiga quvur bilan so'ndirgichni tutashtiruvchi kanalning uzunligi va diametrining ta'siri bor ekanligi tajribalarda tekshirilgan. Shuning uchun kanalning uzunligni va diametrini to'lqinlarga kamroq ta'sir qiladigan qilib tanlab olinadi. Zarba to'lqinlarini klapanli so'ndirgichlar (10.7-rasm,g) yordamida ham susaytirish mumkin. Bu holda klapan va energiyani yutuvchi elastik elementlarining inertligini iloji boricha kamaytiriladi.

Klapanli susaytirgichga kirgan suyuqlikning elastik elementga ta'sirini kamaytirish va uning yaxshiroq ishlashini ta'minlash uchun suyuqlikning atmosferaga oqib ketishiga xizmat qiluvchi qismi bo'ladi.

Uchinchi usul – gidravlik zarba paydo bo'lishi kutiladigan quvurning uzunligini oshirish. Bu holda qarshilik kuchining hisobiga energiya kamayishi va zarba to'lqini davrining ortishi natijasida to'g'ri zarbani yo'qotish yo'li bilan zarba to'lqinining ta'siri kamaytiriladi

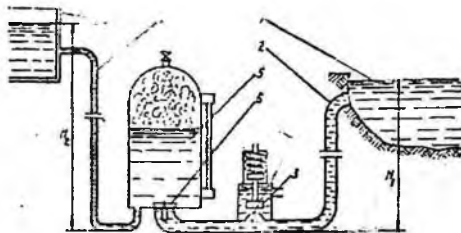
10.6. Gidravlik zarbadan amalda foydalanish

Texnikada ba'zi hollarda gidravlik zarbadan foydalanish ham mumkin. Masalan, gidravlik zarba energiyasidan suyuqliklarni yuqoriga ko'tarish uchun foydalilanadi. Shu maqsadda ishlataladigan qurilma *gidravlik taran* deyiladi.

Gidravlik taranning tuzilishi juda sodda bo'lib, uning asosiy qismlari havo qalpog'i va xabarchi klapandan iboratdir (10.8- rasm).

Ta'minlovchi idish 1 dan quvur 2 orqali oqayotgan suyuqlik klapan 3 orqali oqayotgan bo'ladi.

Gidrotaran ish siklining bu davri tezlanish davri deyiladi. Klapan 3 ga kirishda oqimning kesimi torayib boradi (tirqish 4) va Bernulli prinsipiga asosan suyuqlikning tezligi ortib, bosimi kamayib boradi. Natijada kesimning eng toraygan yerida bosim shunchalik kamayadiki, klapan 3 prujinaning qarshiligini yengib, tirqish 4 ni yopib qo'yadi. Bu yopilish bir onda (sekundning kichik ulushlarida) bo'lgani uchun sistemada gidravlik zarba tarqaladi. Gidravlik zarba bosimi ta'sirida klapan 6 ochilib, havo qalpog'iga suyuqlik zarb bilan kiradi va undagi havoni siqadi. Shu bilan birga zarba kuchi suyuqlikning bir qismini haydash quvuri 7 orqali qabul qiluvchi idish 8 ga chiqarib beradi. Gidrotaran ish siklining bu davri haydash davri deyiladi. Zarba bosimi havo qalpog'ida so'nib va qurvurda ta'minlovchi idishdagi sath balandligi H_1 , bilan ifodalanuvchi normal bosim tiklanadi yoki teskari zarba hosil bo'lib, qurvurda bosim kamayadi. Natijada klapan 3 ochilib, gidrotaranda siki yana takrorlanishi uchun sharoit vujudga keladi. Gidrotaranlarni hisoblashda foydali ish koeffitsiyentini aniqlash uchun Eytelveyn quyidagi formulani taklif qilgan



10.8-rasm. Gidravlik taran.

$$\eta = 1,12 - 0,2 \sqrt{\frac{H_2 - H_1}{H_1}}$$

(10.37)

bu yerda H_1 , H_2 - ta'minlovchi va qabul qiluvchi idishdagi suyuqlik sathining balandligi.

Ba'zida zarba bosimi Δp , ni kamaytirishdan ko'ra sistemaning zaif qismlarining mustahkamligini oshirishni afzal ko'rildi.

X bob bo'yicha nazorat savollari:

1. Sinqilmaydigan suyuqlikning deformatsiyalanmaydigan quvurlarda inertsiya bosimi hisobga olingan beqaror harakati.
2. Gidravlik zarba hodisasi.
3. To'g'ri zarba uchun N. E. Jukovskiy formulasi.
4. Gidravlik zARBADAN amalda foydalanish.
5. Gidravlik taran.

XI BOB. OQIMNING DEVORLAR BILAN O'ZARO TA'SIRLASHUVI

Quvurda oqayotgan suyuqlik undan chiqqandan keyin ham o'z harakatini davom ettiradi. Quvurdan chiqqan bunday oqimcha biror to'siqqa uchrasa, o'z shaklini o'zgartirib, to'siqni aylanib oqib o'tishga intiladi. Bunday harakatlarni tekshirish texnikada muhim ahamiyatga ega bo'lib, turbinalarni hisoblash, gidromashinalarning boshqaruv apparatlari, tusiqlarni oqimcha bilan buzish va boshqa ishlarda qo'llaniladi.

11.1. Oqimchaning to'siqlarga ta'siri

Oqimchaning o'z yo'lida uchragan to'siqqa ta'siri uning ta'sir etuvchi kuchi bilan baholanadi. Bu kuch oqimchaning tezligi, uning ko'ndalang kesimi o'lchamlari, to'siqning shakli va o'lchamlariga bog'liq. Bu masalaning to'g'ri yechilishini D.Bernulli ko'rib chiqqan bo'lib, uning ichi oqimchaning dinamik xarakteristikalarini tekshirishga asos bo'ldi. Biz quyida D. Bernulli qo'llagan yo'ldan borib, oqimchaning to'siqqa ta'siri kuchini aniqlash uchun harakat miqdorining saqlanish qonunidan foydalanamiz. Umumiy holda oqimchaning yo'naliishiga simmetrik joylashgan qo'zg'almas to'siqqa ta'sir qiluvchi kuchini aniqlashdan boshlaymiz (11.1-rasm). Bu holda oqimcha to'siq bo'ylab $x-x$ o'qiga nisbatan a burchak ostida, ikki tomonga tarqaladi. Uning simmetrikligini hisobga olib, ikkala yo'naliishda tezlik va sarflar teng deb hisoblash mumkin. Oqimchada 1, 2 va 3 kesimlar bilan chegaralangan hajm olamiz. Bu hajm dt vaqt o'tganidan keyin oqimchaning yangi holatda 1, 2, 3 kesim bilan chegaralangan bo'ladi. Harakat miqdorining o'zgarishi kuch impulslarining yig'indisiga teng bo'ladi. Bu qonunni yuqorida aytilgan hajmga qo'llasak, u holda va kesim orasidagi massa (m_1) uchun harakat miqdori, 2 va 3 kesimlar orasidagi massa (m_2) uchun va 3 va 3' kesimlar orasidagi massa (m_3) uchun esa m_3u_3 ekanini hisobga olgan holda $x-x$ o'qi bo'yicha harakat miqdorining o'zgarishi qonunidan quyidagi tenglikka ega bo'ladi.

$$m_2u_2 \cos\alpha + m_3u_3 \cos\alpha - m_1u_1 = -Rdt$$

(11.1)

bu yerda R – oqimchaga devorning reaksiya kuchi.

Ko'rilib oqayotgan hajmi uchun $m_2 = m_3$, $u_2 = u_3$ ni nazarga olib, bu tenglikni quyidagicha yozamiz:

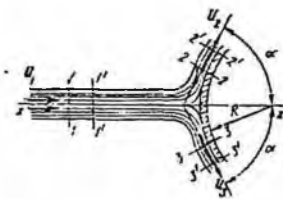
$$2m_2 u_1 \cos\alpha - m_1 u_1 = -Rdt \quad (11.2)$$

Yuqorida aytilganga asosan, to'siqning simmetrikligidan $m_1 = 2m_2$ ekanligi ko'rindi. Bu holda (11.2) tenglamani bunday ifodalaymiz:

$$Rdt = m_1 u_1 (1 - \cos\alpha) \quad (11.3)$$

Ikkinci tomondan,

$$m_1 = \rho q dt = \frac{\eta}{g} dt$$



11.1-rasm. Oqimchaning to'siqqa urilishi.

bo'lganligi uchun

$$Rdt = \frac{\eta}{g} u_1 (1 - \cos\alpha) dt \quad (11.4)$$

Shunday qilib, oqimchaga devorning reaksiya kuchini quyidagi formula bilan hisoblash mumkin:

$$R = \frac{\eta}{g} u_1 (1 - \cos\alpha) \quad (11.5)$$

Oqimchaning devorga ta'sir kuchi esa reaksiya kuchiga teng va teskari yo'nalgan bo'lib, $q = d\omega u_1$ ni hisobga olsak, quyidagiga teng bo'ladi:

$$P = \frac{\eta u_1^2}{g} d\omega (1 - \cos\alpha) \quad (11.6)$$

11.2. Oqimning devorga ta'sir kuchi

Yuqorida keltirilgan oqimchaning to'siqqa bo'lgan ta'sir kuchidagi tezlikni o'rtacha tezlik V bilan, elementar yuza $d\omega$ ni oqimning yuzasi ω bilan almashtirsak, oqimning devorga ta'sir kuchi uchun quyidagi formulani olamiz:

$$P = \frac{\eta \omega^2}{g} \omega \quad (11.7)$$

Bu formula o'lchamlari katta bo'lmagan dumaloq plastinka (11.2-rasm, a) va yarimsfera (11.2-rasm, b) uchun ham to'g'ri. Agar devor bilan oqim yo'naliishi orasidagi burchak $\alpha = 90^\circ$ bo'lsa (11.2-rasm, v), u holda (11.7) formula quyidagi ko'rinishga ega bo'ladi:

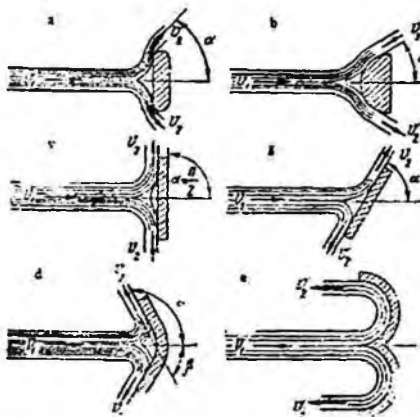
$$P = \frac{\gamma g^2}{g} \omega \quad (11.8)$$

Devor oqim chiqayotgan teshikka juda yaqin bo'lganda oxirgi formulaga oqimning teshikdan yoki naychadan oqib chiqish formulasini qo'yish mumkin.

$$\theta = \varphi \sqrt{2gH} \quad (11.9)$$

Tezlik koeffisientini taxminan birga teng deb qabul qilsak, u holda bo'ladi.

$$p = 2\gamma H \omega \quad (11.10)$$



11.2-rasm. Oqimning devorga urilishning turlari.

Demak, bu holda oqimning devorga ta'sir kuchi asosiy oqim kesmiga, balandligiga ikkilangan tezlik bosimga teng bo'lgan suyuqlik ustuni og'irligiga teng.

Agar burchakka 90 dan ortiq bo'lsa (11.2-rasm, d), 180- α -ni β bilan belgilab, (11.7) formulani quyidagicha yozamiz:

$$P = \frac{\gamma g^2}{g} \omega (1 + \cos \beta) \quad (11.11)$$

Bu formuladan ko'rindik, α burchagi ortishi bilan oqimning devorga bosimi ortadi. Devorga tushadigan maksimal bosim suyuqlik to'liq orqaga qaytganda yoki $\alpha = 183^\circ$ ($\beta = 0$) da yuzaga keladi

$$P = \frac{2\gamma g^2}{g} \omega \quad (11.12)$$

ya'ni bu holda devorga tushadigan bosim oqimning perpendikulyar tekislikka ta'sir kuchidan ikki baravar katta bo'ladi.

Bu hodisa texnikada cho'michli turbinalarda qo'llaniladi, ya'ni turbinaning cho'michini oqimni 180° orqaga qaytaradigan qilib loyihalanadi. Oqim uning yo'naliishiga a burchak ostida qo'yilgan tekis devorga urilganda esa (11.3- rasm, g) bosim quyidagiga teng bo'ladi:

$$P = \frac{\gamma g^2}{g} \omega \sin \alpha \quad (11.13)$$

Bu holda oqimning devorga zarbasi qiya zarba deyiladi. Devorga tushadigan normal bosim esa bunday hisoblanadi:

$$P_N = P \sin \alpha = \frac{\gamma g^2}{g} \omega \sin^2 \alpha \quad (11.14)$$

Agar devor oqimga yoki qarama-qarshi tomonga qarab biror ϑ tezlik bilan harakat qilsa, unda birinchi holda oqimchaning tezligi $\frac{\vartheta + \vartheta'}{\vartheta}$ nisbatda ortib, ikkinchi holda esa $\frac{\vartheta - \vartheta'}{\vartheta}$ nisbatda kamayadi. Bu hollarda bosim ham tegishli miqdorda ortadi yoki kamayadi:

$$P = \frac{\gamma(\vartheta \pm \vartheta')^2}{g} \omega$$

XI bob bo'yicha nazorat savollari:

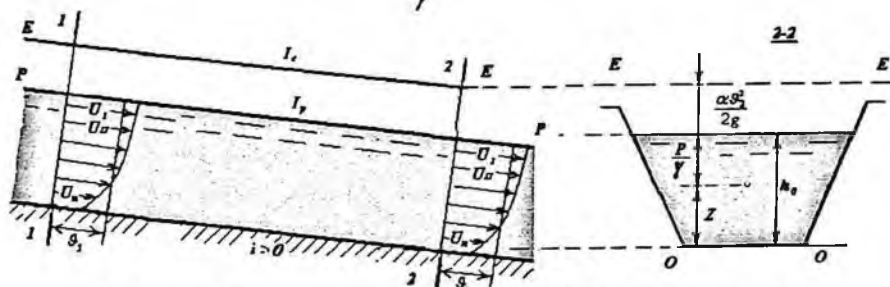
1. Oqimning devorga ta'sir kuchi.
2. Oqimning devorga urilishning turlari.
3. Oqimchaning to'siqlarga ta'siri.

XII BOB. OCHIQ O'ZANLARDA (KANALLARDA) SUYUQLIK OQIMINING BARQAROR TEKIS HARAKATI

12.1. Suv oqimining tekis harakatini hisoblash formulalari

Suv oqimining barcha tirik kesimlarida tezlik epyurasi bir xil yuzaga va bir xil shaklga ega bo'lsa, bunday oqim harakati **tekis harakat** deyiladi. Tekis harakatda suyuqlik qatlamlari o'zaro parallel harakat chizig'iga ega bo'ladi va tirik kesimning turli nuqtalari uchun Z va $\frac{P}{\gamma}$ ning qiymatlari turlichay, ammo ularning yig'indisi o'zgarmasdir (12.1-rasm).

$$z + \frac{P}{\gamma} = \text{const}$$



12.1- rasm. Suv oqimining kanaldagi tekis harakati sxemasi.

Tekis harakat alomatlari:

$$1) \alpha = \text{const}_{(t)}$$

$$2) \vartheta = \text{const}_{(t)}$$

Tekis harakatning asosiy tenglamasi

$$h_e = \frac{\tau \cdot l}{\gamma \cdot R}$$

bu yerda: τ - ichki ishqalanish kuchi;

γ - solishtirma og'irlik;

l - kanal uzunligi;

R - gidravlik radiusi.

Shezining taklifiga ko'ra tekis harakatda τ/γ - kattalik tezlik kvadratiga proporsional

$$\frac{\tau}{r} = \frac{1}{C^2} g^2,$$

yoki

$$h_e = \frac{g^2 l}{C^2 R},$$

Bu ifodada $C = \sqrt{\frac{\lambda}{8g}}$ ekanligini inobatga olsak, Darsi-Veysbax tenglamasi hosil bo'ladi.

Keyingi ifodani tezlikka nisbatan yozsak, quyidagi formula hosil bo'ladi:

$$g = C\sqrt{R \cdot I}$$

bu yerda $I_e = \frac{h_e}{l}$ - gidravlik nishablik.

Bu formula *Shezi formulasasi* deyiladi va koeffitsiyent S – Shezi koeffitsiyenti deb ataladi. Ochiq o'zanlardagi suvning erkin sathida bosim doimiy bo'lib odatda atmosfera bosimi qaror topadi, shu sababli p'yezometrik nishablik suvning erkin sathi nishabligiga teng bo'ladi:

$$I_p = i_c.$$

Oqimning tekis harakatida $\frac{\alpha g^2}{2g}$ - ifoda o'zgarmas bo'lganligi uchun:

$$I_p = I_e$$

Tekis harakatda oqimning chuqurligi o'zgarmas bo'lishi zarur, shu sababli faqat tekis harakatda o'zandagi barcha nishabliklar o'zaro teng bo'ladi:

$$I_e = I_p = i_c = i,$$

bu yerda: i – kanal tubining nishabligi ($i = \sin \alpha$).

Oqim tekis harakati mavjudlik shartlari quyidagicha:

1. o'zanda suvning sarfi o'zgarmas $Q = const_{(1)}$;
2. o'zan uzunlik (l) bo'yicha prizmatik bo'lishi kerak (demak tirk shesim shakli va gidravlik kattaliklari o'zgarmas bo'lishi kerak);
3. oqimning chuqurligi o'zan bo'ylab o'zgarmas (uzunlik (l) bo'yicha):

$$h = const_{(1)};$$

4. o'zanning nishabligi o'zgarmas uzunlik (l) bo'yicha:

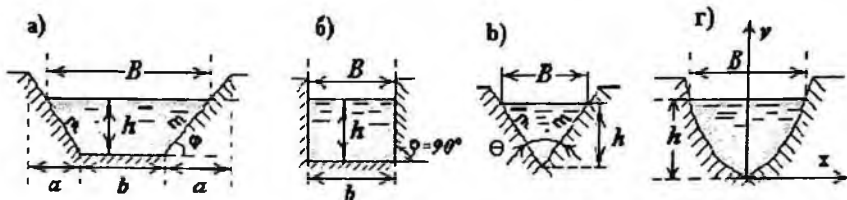
$$(i = \sin \alpha = const) \quad i > 0;$$

5. o'zanning g'adir-budirligi o'zgarmas (bir xil) uzunlik (l) bo'yicha: ($n = idem$).

12.2 Oqim harakat kesimining gidravlik elementlari

Oqim tirik kesimining shakli o'zan ko'ndalang kesimi shakliga bog'liq bo'ladi va turli xil shakkarga ega bo'lishi mumkin (12.2-rasm):

- trapetsiya shaklida;
- to'g'ri burchakli to'rtburchak shaklida;
- uchburchak shaklida;
- parabola shaklida va hokazo.



12.2- rasm. Kanallarning ko'ndalang kesim shakkari.

Bu yerda: b – o'zan tubining kengligi (eni);

B – o'zandagi suvning erkin sathidagi kengligi;

h – o'zandagi suv oqimining chuqurligi;

m – o'zan qirg'og'inining qiyaligi yoki qiyalik koeffitsiyenti,
 $m = \operatorname{ctg} \varphi$.

Trapetsiya shaklidagi kanalning gidravlik elementlari

1. Oqim erkin sathining kengligi (eni):

$$B = b + 2mh.$$

2. Harakatdagi (tirik) kesimning yuzasi:

$$\omega = (b + mh)h.$$

3. Kesimning ho'llangan perimetri:

$$\chi = b + 2h\sqrt{1 + m^2} = b + 2m'h;$$

bu formulada $m' = \sqrt{1 + m^2}$.

4. Kesimning gidravlik radiusi:

$$R = \frac{\omega}{\chi}.$$

Parabola shaklidagi kesimning gidravlik elementlari.

Parabolaning tenglamasi:

$$x^2 = 2py,$$

r – parabolaning parametri.

1. Erkin sathining kengligi:

$$B = 2\sqrt{2ph} = 2\sqrt{ah}; \quad a = 2p.$$

2. Tirik (harakatdagi) kesim yuzasi:

$$\omega = \frac{2}{3}h \cdot B = \frac{4}{3}h\sqrt{a \cdot h}.$$

3. Kesimning ho'llangan perimetri:

$$\chi = \frac{a}{2} \left[\sqrt{2\tau(1+2\tau)} + 2,31g(\sqrt{2\tau} + \sqrt{1+2\tau}) \right],$$

bu formulada $\tau = \frac{h}{p} = \frac{2h}{a}$ yoki $\chi = \frac{a}{2}\Pi$, $\Pi = f(\tau)$ - qiymatlarini quyidagi jadvaldan olish mumkin.

12.1- jadval. $P = f(\tau)$ qiymatlarining jadvali

τ	P	τ	P	τ	P	τ	P
0,001	0,09	0,15	1,15	0,55	2,44	0,95	3,48
0,005	0,20	0,20	1,34	0,60	2,58	1,00	3,61
0,01	0,28	0,25	1,54	0,65	2,71	1,05	3,72
0,02	0,40	0,30	1,71	0,70	2,83	1,10	3,84
0,04	0,51	0,35	1,85	0,75	2,97	1,15	3,97
0,06	0,71	0,40	2,02	0,80	3,10	1,20	4,08
0,08	0,82	0,45	2,16	0,85	3,23	1,25	4,19
0,10	0,93	0,50	2,30	0,90	3,34		

12.3. Kanalning ishchi xarakteristikasi

Kanalda suv sarfining suv chuqurligiga mos ravishda o'zgarish grafigiga $Q=f(h)$ kanalning ishchi xarakteristikasi deyiladi. Bu grafikni tuzish uchun suv chuqurligiga – h – bir nechta qiymatlar berib, ularga mos bo'lgan suv sarflarini tekis harakatning asosiy tenglamasidan aniqlaymiz:

$$Q = \omega \cdot C \sqrt{R \cdot i}, \quad (m^3/c, \text{л}/c).$$

Bu yerda:

$\omega = (b + mh)h$ – tirik (harakatdagi) kesim yuzasi, m^2 ;

b, m – kanal tubining kengligi va qiyalik koefitsiyenti;

C – Shezi koefitsiyenti, $m^{0,5}/s$;

$$R = \frac{\omega}{\chi} - \text{gidravlik radius, m;}$$

$$\chi = b + 2h\sqrt{m^2 + 1} - \text{ho'llangan perimetri};$$

i – kanal tubining nishabligi.

Shezi koeffitsiyentini Manning formulasi bilan aniqlash mumkin:
shuni alohida qayd etish kerakki, Shezi koeffitsiyenti tajriba asosida aniqlanadi:

$$C = \frac{1}{n} R^{\frac{1}{6}}$$

bu formulada n – g'adur-budurlik koeffitsiyenti.

N.N.Pavlovskiy formulasi bilan Shezi koeffitsiyenti quyidagicha aniqlanadi:

$$C = \frac{1}{n} R^y$$

$$y \approx 1,5\sqrt{n} - \text{gidravlik radius } R > 1 \text{ m bo'lganda};$$

$$y \approx 1,3\sqrt{n} - \text{gidravlik radius } R < 1 \text{ m bo'lsa.}$$

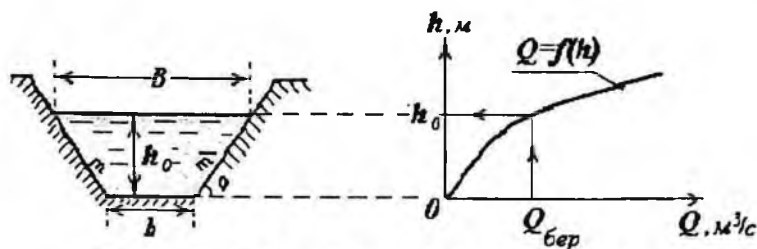
Shezi koeffitsiyentini quyidagi grafiklardan foydalanib aniqlasa ham bo'ladi: Chugayev R.R. «Gidravlika», 1975 y., 186 bet.

Hisob natijalarini jadvalda keltiramiz:

12.2 – jadval

$h, (m)$	$\omega, (m^2)$	$x, (m)$	$R, (m)$	$S, (m^{0.5}/s)$	$Q, (m^3/c)$
h_1					
h_2					
h_3					

Kanal uchun berilgan gidravlik element qiymatlari b, m, n, i – dan foydalanib, kanalda har bir qabul qilingan suv chuqurligi qiymatiga mos keladigan suv sarflarni aniqlab, 2- jadvalga tushiramiz va jadvaldagisi ma'lumotlar asosida $Q = f(h)$ – kanal ishchi xarakteristikasi grafigini chizamiz. Bu grafikdan berilgan sarfga mos keluvchi chuqurlik h_0 qiymati tanlanadi.



12.3- rasm - Kanalning ishchi xarakteristikasi.

Gorizontal masshtab: 1 sm - « » m^3/s

Vertikal masshtab: 1 sm - « » m.

Izoh: Suvning chuqurligi – h - ning qiymatlari tanlanganda, hosil bo‘lgan Q – sarflarning qiymatlari berilgan $Q = f(h)$ qiymatidan kichik va katta sonlar bo‘lishi zarur.

Shuni alohida qayd etish kerakki, hozirgi kunda kanalning ishchi xarakteristikasi EHM yordamida ham aniqlanadi. Buning uchun maxsus dastur ishlab chiqilgan.

12.4. Parabola shaklidagi kanalning o‘lchamlarini aniqlash

Parabola shaklidagi kesim uchun quyidagi formuladan foydalanimiz:

$$x^\alpha = ay,$$

bu formulada α – parabola ko‘rsatkichi;

a – parabola parametri.

Kanalning o‘lchamlarini aniqlash uchun R.M. Karimov usulidan foydalananamiz (R.M.Karimov “Gidravlicheskiy raschet kanalov” yoki ilovadagi 2,3 jadvaldan, yil).

Hisob quyidagi tartibda bajariladi:

1. $0,159 \frac{Qn}{\sqrt{i}}$ ifodani hisoblab, qiymatini aniqlaymiz.

2. Jadvaldan (ilovadagi 2 - jadval) $0,159 \frac{Qn}{\sqrt{i}}$

qiymatiga mos keluvchi R_0 va $g_0 \frac{n}{\sqrt{i}}$ qiymatlari olinadi va g_0 - ning qiymati aniqlanadi.

3. Parabolaning parametri « α » va ko'rsatkichi « α » jadvaldan aniqlangan R_0 - qiymatlariga asosan:

$$\frac{1}{R_0^{\alpha-1}}$$

ifodaning qiymatini aniqlaymiz.

4. Illovada (12.3-jadvaldan) quyidagi jadvalda ko'rsatilgan ifodalarning qiymatlari olinadi:

12.3 – jadval

$\beta = \frac{B}{h}$	\bar{x}	$\frac{h_0}{R_0}$	$\frac{B}{R_0}$	$\frac{1}{R_0^{\alpha-1}}$

Bu jadvalga asosan quyidagi elementlarni aniqlash mumkin: oqim erkin sathining kengligini B , oqim chuqurligini h , normal chuqurligini h_0 , ho'llangan perimetri $x = \frac{P}{2}$, tirik kesim yuzasini:

$$\omega = \frac{\alpha}{\alpha + 1} \beta \cdot h_0.$$

Hisob-kitoblarning aniqligi quyidagi shart bilan tekshiriladi:

$$\left(\frac{B}{2} \right)^\alpha = \alpha \cdot h_0.$$

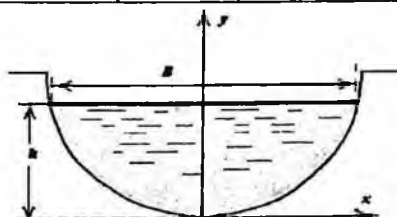
5. Kanalning ko'ndalang kesimi quyidagi tenglama asosida quriladi:

$$x^\alpha = ay$$

12.4-

jadval

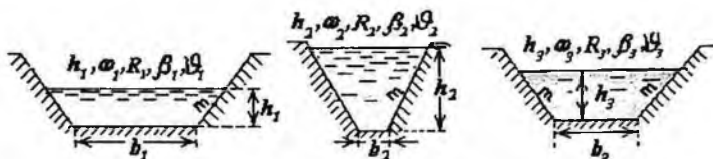
X						
U						



12.4-rasm - Parabola shaklidagi kanalning ko'ndalang kesimi.

12.5 Kanallarni loyihalashda vujudga keladigan ba'zi masalalarining yechish tartibi

Tabiiy tuproqda qurilgan kanallarning ko'ndalang kesimi trapetsiya, parabola va poligonal shaklida bo'lishi mumkin. Kanal ko'ndalang kesimning yuzasi harakat (jonli) kesimi faqat yarim aylana uchun bitta parametrga bog'liq. Boshqa kesimlar uchun kamida ikkita parametrleriga bog'liq. Shuning uchun shunday kanal kesimni topish mumkinki, maksimum sarfni o'tkazish imkoniyatiga ega bo'lsa, bunday kesimga gidravlik jihatdan eng maqbul (qulay) kesim (GEQK) deb aytildi.



12.5-rasm. Kanallarning ko'ndalang kesimi.

Gidravlik hisoblashda kanalning nisbiy kengligi (kanal tubining kengligini undagi suvning chuqurligiga nisbati) degan tushuncha ishlataladi va quyidagicha yoziladi:

$$\beta = \frac{b}{h}.$$

Trapetsiya shaklidagi kanalning gidravlik elementlarini β orqali yozish mumkin:

$$\text{harakatdagi kesim yuzasi: } \omega = h^2(\beta + m);$$

$$\text{ho'llangan perimetri: } x = h\left(\beta + 2\sqrt{1+m^2}\right);$$

$$\text{gidravlik radius: } R = \frac{h(\beta + m)}{\beta + 2\sqrt{1+m^2}}.$$

O'rtacha tezlikni Shezi-Manning tenglamasi orqali yozish mumkin:

$$g = C\sqrt{R \cdot i} = \frac{1}{n} R^{1/6} \cdot R^{1/2} \sqrt{i} = \frac{\sqrt{i}}{n} R^{2/3} = \frac{1}{N} R^{\frac{2}{3}}, \quad (12.1)$$

bu yerda

$$N = \frac{n}{\sqrt{i}}, \quad (12.2)$$

$$R = h \cdot \frac{\beta + m}{\beta + 2m}, \quad (12.3)$$

$$\text{va } R^{\frac{2}{3}} = \frac{|h(\beta + m)|^{\frac{2}{3}}}{|\beta + 2m'|^{\frac{2}{3}}} = \frac{|h^2(\beta + m)^2|^{\frac{1}{3}}}{|(\beta + 2m')^2|^{\frac{1}{3}}} = \frac{|\omega(\beta + m)|^{\frac{1}{3}}}{|g \cdot (\beta + 2m')|^{\frac{1}{3}}} = \frac{|Q| \cdot |\beta + m|^{\frac{1}{3}}}{|g \cdot (\beta + 2m')|^{\frac{1}{3}}} \quad (12.4)$$

(4)-chi tenglamadagi qiymatni (1)-chi tenglamaga qo'ysak, quyidagini yozishimiz mumkin:

$$g = \frac{1}{N} \left(\frac{Q}{g} \cdot \frac{\beta + m}{(\beta + 2m')^2} \right)^{\frac{1}{3}}, \quad (12.5)$$

Bu yerdan

$$g^{\frac{4}{3}} = \frac{1}{N} \left(Q \cdot \frac{\beta + m}{(\beta + 2m')^2} \right)^{\frac{1}{3}},$$

va

$$g = \frac{1}{N^{\frac{3}{4}}} \left| Q \cdot \frac{\beta + m}{(\beta + 2m')^2} \right|^{\frac{1}{4}} = \frac{1}{N^{\frac{3}{4}}} \cdot \frac{N^{\frac{1}{4}}}{N^{\frac{1}{4}}} \left| Q \cdot \frac{\beta + m}{(\beta + 2m')^2} \right|^{\frac{1}{4}} = \frac{1}{N} \cdot \left| N \cdot Q \cdot \frac{\beta + m}{(\beta + 2m')^2} \right|^{\frac{1}{4}} \quad (12.6)$$

Demak, kanalda berilgan Q , m , n i i uchun o'rtacha tezligining qiymati g qabul qilingan tub kengligiga mos keladigan harakatdagi kesim shakli bilan bog'langan (6-chi tenglamadan), yoki $g = f(\beta)$,

bu yerdan:

$$\beta = F(Q, m, n, i, b) \quad (12.7)$$

va

$$f(\beta) = \frac{\beta + m}{(\beta + 2m')^2} \quad (12.8)$$

12.5.1 Gidravlik eng qulay (maqbul) kesim elementlarini hisoblash

Ma'lum bo'lgan Q , m , n , i uchun bir nechta ixtiyoriy o'lchamli ko'ndalang kesimlarni loyihalash mumkin har xil b va tirik (harakat) kesimlari bilan. Bu kesimlarning ichida shunday variant bo'lishi kerakki, unda oqimning ko'ndalang kesimi bo'yicha o'rtacha tezligi eng katta bo'lsin, ya'ni g_{\max} , kanal ko'ndalang kesimining yuzasi (maydoni) esa eng kichik bo'lsin, ya'ni ω_{\min} . Bu shart bajarilsa, bunday ko'ndalang kesim - kanalning *gidravlik eng qulay kesimi* deyiladi.

$$g = g_{\max} = \frac{1}{N} \left[\frac{Q \cdot N}{4 \cdot M} \right]^{\frac{1}{4}}$$

bundan

$$R_{\max} = \left| \frac{Q \cdot N}{4M} \right|^{\frac{3}{8}}.$$

$$N = \frac{n}{\sqrt{i}} - \text{Shezi-Manning parametri};$$

O'zan tubining kengligiga nisbatan (GEQK) ning nisbiy kengligini β_{\max} belgi bilan belgilasak, u holda:

$$\beta = \beta_{\max} = \left(\frac{b}{h} \right)_{\max} = 2 \left(\sqrt{1 + m^2} - m \right) = 2m' - 2m.$$

$M = 2m' - m$ - quyidagi belgilashni kiritsak, yozishimiz mumkin:

$$\beta_{gq} = M - m.$$

Shezi - Manning tenglamarasini quyidagicha yozishimiz mumkin:

$$Q = \omega C \sqrt{Ri} = \omega \cdot \frac{1}{n} \cdot R^{1/6} \cdot R^{1/2} \cdot \sqrt{i} = \frac{\omega \cdot R^{2/3}}{N};$$

$$Q = \frac{1}{N} \omega \cdot R^{2/3} - \text{Shezi-Manning formulasi.}$$

Gidravlik eng qulay kesimning gidravlik parametrlari:

harakatdagi kesim yuzasi:

$$\omega_{ex} = (2\sqrt{1+m^2} - m) \cdot h_{ex}^2 = (2m' - m) \cdot h_{ex}^2;$$

$$\text{kanal tubining kengligi: } b_{ex} = 2 \cdot h(\sqrt{1-m^2} - m);$$

$$\text{kanaldagi suv chuqurligi: } h_{ex} = \frac{b_{ex}}{\beta_{ex}} = 2 \cdot \left| \frac{N \cdot Q}{4 \cdot M} \right|^{\frac{3}{8}} = 2 \cdot R_{max};$$

$$\text{kanal sathdagi eni: } B_{ex} = \beta_{ex} (\beta_{ex} + 2m') \cdot \frac{R_{max}}{\beta_{ex} + m} = 2 \cdot (M - m) \cdot \left| \frac{N \cdot Q}{4 \cdot M} \right|^{\frac{3}{8}}.$$

12.5.2 Gidravlik mustahkam kanal uchun statistik bog'lanishlar

Kanal tubining eni quyidagi S.A.Girshkan statistik bog'lanishlari orqali aniqlanishi mumkin:

$$b_{TM} = A Q^*,$$

Agar $Q = 0,5 + 1,5 \text{ m}^3/\text{c}$, yunda $b_{TM} = 1,4 Q^{0,85}$;

Agar $Q = 1,5 + 50 \text{ m}^3/\text{c}$, yunda $b_{TM} = 1,5 Q^{2/3}$;

Agar $Q > 50 \text{ m}^3/\text{c}$, yunda $b_{TM} = 1,3 Q^{2/3}$.

Kanalning nisbiy eni: $\beta_{TM} = 3\sqrt[3]{Q} - m$;

Kanalning chuqurligi: $h_{TM} = 0,85 Q^{1/3}$.

AMALIY MASHG'ULOTLAR UCHUN KO'RSATMALAR

I – masala

Trapetsiya shakldagi kanallarda Q, m, n, b va i berilgan bo'lsa, suvning chuqurligi h va kanal tubining nishabligi i aniqlansin.

Yechish tartibi:

1. Quyidagi qiymatni aniqlaymiz: $2m' = 2\sqrt{1+m^2}$.

2. Harakatdagi (tirik) kesim yuzasi: $\omega = \frac{Q}{g}$.

3. Kanaldagi suvning chuqurligini aniqlash uchun quyidagi tenglamadan foydalanamiz:

$$\omega = m \cdot h^2 + b \cdot h$$

unda:

$$h = \frac{1}{2m} (-b + \sqrt{b^2 - 4m \cdot \omega}) .$$

4. Ho'llangan perimetri: $\chi = b + 2mh$.

5. Gidravlik radiusi: $R = \frac{\omega}{\chi}$.

6. Kanal tubining nishabligi: $i = \left| \frac{\frac{\vartheta \cdot n}{R^{\frac{2}{3}}}}{\chi} \right|^2$.

2 – masala

Trapetsiya kesimli kanallarda Q, m, n, i berilgan bo'lib, $\vartheta = K \cdot \vartheta_{\max}$ bo'lsa, oqimning tirik kesimi o'lchamlari b va h aniqlansin.

Yechish tartibi:

1. Shezi - Manning parametrning qiymatni aniqlaymiz: $N = \frac{n}{\sqrt{i}}$.

2. Quyidagini hisoblaymiz: $M = 2m - m = 2\sqrt{1+m^2} - m$.

3. Kanaldagi maksimal oqim tezligini aniqlaymiz:

$$\vartheta_{\max} = \frac{1}{N} \left| \frac{N \cdot Q}{4M} \right|^{\frac{1}{4}} .$$

4. Kanaldagi suv oqimning o'rtacha tezligi: $\vartheta = 0,95 \cdot \vartheta_{\max}$.

5. Tirik kesim yuzasi: $\omega = \frac{Q}{\vartheta}$.

6. Gidravlik radiusi: $R = |N \cdot \vartheta|^{\frac{1}{2}}$.

7. Ho'llangan perimetri: $\chi = \frac{\omega}{R}$.

8. Quyidagi tenglamalarning tizimidan:

$$mh^2 + bh - \omega = 0$$

$$2m'h + b - \chi = 0$$

a) kanaldagi suv chuqurligi: $h = \frac{\chi \pm \sqrt{\chi^2 - 4M \cdot \omega}}{2M}$;

b) kanal tubining eni: $b = \chi - 2m'h$;
yoki

$$h = \frac{\omega}{2MR} \left(1 \pm \sqrt{1 - 4M \frac{R^2}{\omega}} \right)$$

bu formulada $1 - 4M \frac{R^2}{\omega} \geq 0$ sharti bajarilishi lozim.

Izoh: h va b - ning ikkita qiymati bo'lishi mumkin:

Agar $\left(\frac{m}{2m'}\right)^2 < \frac{R^2}{\omega} < \frac{1}{4M}$ bo'lsa, birinchi h va b ,

va $\frac{R^2}{\omega} < \frac{m}{(2m')^2}$ bo'lsa, ikkinchi h va b .

3 – masala

Trapetsiya kesimli kanallarda Q, m, n, i berilgan bo'lib, $R = K \cdot R_{\max}$ bo'lsa, oqimning tirik kesimi o'lchamlari h va b aniqlansin.

Yechish tartibi:

1. Shezi-Manning parametrnani aniqlaymiz: $N = \frac{n}{\sqrt{i}}$.

2. Quyidagi qiymatni aniqlaymiz: $M = 2m' - m$.

3. Gidravlik radiusning maksimal qiymatini hisoblaymiz:

$$R_{\max} = \sqrt[4]{\frac{N \cdot Q}{4M}}.$$

4. Kanaldagi gidravlik radiusi: $R = K \cdot R_{\max}$.

5. O'zandagi suv oqimining o'rtacha tezligi: $\vartheta = \frac{R^{\frac{3}{2}}}{N}$.

6. Tirik kesim yuzasi: $\omega = \frac{Q}{\vartheta} = (b + mh) \cdot h$.

7. Ho'llangan perimetri: $\chi = \frac{\omega}{K} = b + 2h\sqrt{m^2 + 1}$.

$$8. \text{ Kanaldagi suv oqimining chuqurligi: } h = \frac{\chi \pm \sqrt{\chi^2 - 4M \cdot \omega}}{2M}.$$

$$9. \text{ Kanal tubining eni: } b = \chi - 2m \cdot h.$$

4 – masala

Trapetsiya kesimli kanallarda Q, m, n, i belgilangan bo‘lib, β ning quyidagi ifodalari asosida $\beta_r = 3\sqrt[3]{Q - m}$, $\beta_v = 2,5 + \frac{m}{2}$, $\beta_{zu} = M - m$, oqimning tirik kesimi o‘lchamlari: b va h topilsin.

Yechish tartibi:

$$1. \text{ Shezi-Manning parametrni aniqlaymiz: } N = \frac{n}{\sqrt{i}}.$$

$$2. \text{ Kanal nisbiy kengligini aniqlaymiz: } \beta_r = 3\sqrt[3]{Q - m}.$$

$$3. \text{ Gidravlik radius: } R = \left| N \cdot Q \frac{\beta + m}{(\beta + 2m')^2} \right|^{\frac{1}{3}}.$$

$$4. \text{ Tirik kesim yuzasi: } \omega = R^2 \frac{(\beta + 2m')^2}{\beta + m}.$$

$$5. \text{ Kanaldagi suv chuqurligi: } h = \sqrt{\frac{\omega}{\beta + m}}.$$

$$6. \text{ Kanal tubining eni: } b = \beta \cdot h.$$

5-Masala.

Parabola shaklidagi kanalning suv chuqurligi aniqlansin, agar $Q=9,8$ m^3/c , $\alpha = 2$, shu kanal quyidagi tenglama bilan yozilgan bo‘lsa: $x^2 = 2py$ bu yerda $2p = 29,4$.

Yechish: Kanaldagi suv sarfining suv chuqurligiga mos ravishda o‘zgarish grafigini $Q=f(h)$ quramiz. Bu grafikni tuzish uchun suv chuqurligiga – h – bir nechta qiymatlar berib, ularga mos bo‘lgan suv sarflarini quyidagi tartibda aniqlaymiz:

$$1. \text{ Kanal sathidagi kengligi } B = 2\sqrt{2ph}.$$

$$2. \text{ Harakatdagi kesim yuzasi } \omega = \frac{2}{3}h \cdot B.$$

3. Ho'llangan perimetri $\chi = p \cdot \pi$, bu yerda $\pi = f(\frac{h}{P})$,

shu kitobning 1-jadvalidan olinadi.

4. Mos keladigan suv sarfini aniqlaymiz:

$$Q = \frac{\omega \cdot R^{2/3}}{N}$$

bu yerda

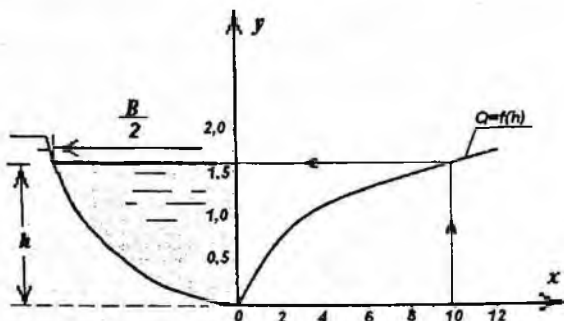
$$N = \frac{n}{\sqrt{i}}$$

Hisoblash natijalarini 12.5-jadvalda keltiramiz

12.5 – jadval

h m	V m	ω m^2	$\frac{h}{P}$	P	χ , m	R , m	$R^{2/3}$	Q , m^3/s
1,25	12,04	10,03	0,086	0,85	12,33	0,814	0,872	5,76
1,50	13,19	13,19	0,103	0,04	13,63	0,968	0,968	8,50
1,75	14,25	14,25	0,121	1,03	14,94	1,112	1,073	11,75

Jadvaldagagi qiymatlar asosida kanal ishchi xarakteristika grafigini $Q=f(h)$ quramiz.



Berilgan sarf $Q=9,8 m^3/s$ ga mos keladigan suv chuqurligi $h=1,6m$.

XII bob bo'yicha nazorat savollari:

- 1.Suv oqimining tekis harakatini hisoblash formulalari.
- 2.Oqim harakat kesimining gidravlik elementlari.
- 3.Kanalning ishchi xarakteristikasi.
- 4.Parabola shaklidagi kanalning o'lchamlarini aniqlash.
5. Kanallarni loyihalashda vujudga keladigan ba'zi masalalarning yechish tartibi.

XIII BOB. OCHIQ O'ZANLAR - KANALLAR GIDRAVLIK ELEMENTLARINI HISOBBLASH

13.1. Kanaldagi ruxsat etilgan tezliklar

Kanallarni loyihalashda kanaldagi o'rtacha tezlik ma'lum qiymatga ega bo'lishi lozim. Kanalda ruxsat etilgan tezlik quyidagicha bo'lishi kerak:

$$\vartheta_i < \vartheta < \vartheta_{su}$$

Bu yerda:

ϑ_i - loyqa bosish tezligi (loyqa bosmaslik tezligi) – kanalda ruxsat etilgan tezlikning eng kichik (ϑ_{min}) qiymati, ya'ni loyqa bosmaydigan tezlik;

ϑ_{su} - yuvilish tezligi (yuvilmaslik tezligi) – kanalda ruxsat etilgan tezlikning (maksimum) eng katta qiymati, ya'ni yuvilmaydigan tezlik.

13.2. Yuvilmaydigan magistral kanalni loyihalash

a) *Qurilish me'yorlari va qoidalari (QM va Q) asosida kanalni loyihalash.*

Loyihalash tartibi:

Kanal asosini tashkil qiluvchi tuproq (berilgan C yoki d_{ov}) va kanalning sarfiga mos keluvchi g'adir-budurlik koefisienti "n" va qiyalik koefisientini "m" –QM va Q-2.06.03.97 asosida aniqlaymiz (ilova, 5-7-chi jadvallar).

Magistral kanal tubining kengligini S.A.Girshkan formulasi yordamida aniqlaymiz:

$$b_G = A Q^x$$

Agar $Q < 1,5 \text{ m}^3/\text{c}$ bo'lsa, $A = 1,4$; $x = 0,85$;

Agar $Q = (1,5 \dots 50) \text{ m}^3/\text{c}$, $A = 1,5$; $x = 2/3$;

Agar $Q > 50 \text{ m}^3/\text{c}$ bo'lsa, $A = 1,3$; $x = 2/3$.

Aniqlangan b_G qiymatini eng yaqin bo'lgan b_{st} standart qiymatigacha yaxlitlanadi.

Standart qiymatlar b_{st} :

$0,2m; 0,4m; 0,5m; 0,6m; 0,8m; 1,0m; 1,2m; 1,5m; 1,8m; 2,0m;$
 $2,5m; 3,0m; 3,5m; 4,0m; 5,0m; 6,0m$ va hokazo har 1 m-dan.

QM va K dan kanal tuprog'iga mos keluvchi oqim chuqurligining bir necha qiymatlari uchun ($h=0,5; 1,0; 3,0; 5,0 \text{ m}$) ruxsat etiladigan yuvilmaydigan oqim tezliklarining qiymatlarini " $\vartheta_{\text{нк}}$ " yozib olamiz (ilova, 8-10 jadvallar).

Suvning o'rtacha tezliklari QM va Q - da berilgan har bir suv chuqurliklari uchun ($h=0,5; 1,0; 3,0; 5,0 \text{ m}$) quyidagi formula yordamida hisoblanadi:

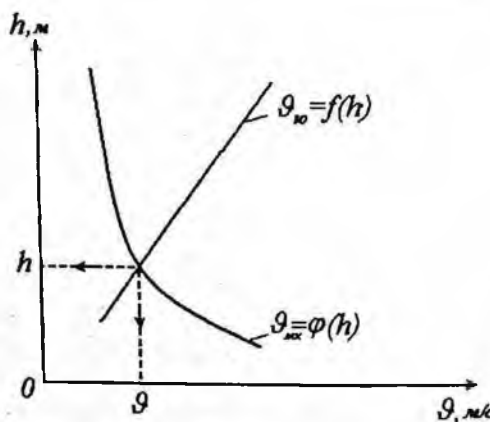
$$\vartheta_{\text{нк}} = \frac{Q}{\omega}; \quad \omega = (b + m \cdot h) \cdot h.$$

Hisoblarini jadval ko'rinishida yozamiz:

13.1- jadval

h, m	$\vartheta_{\text{нк}}, \text{m/s}$	ω, m^2	$\vartheta_{\text{нк}}, \text{m/s}$
0,5			
1,0			
3,0			
5,0			

QM va Q bo'yicha olingan suv tezliklari $\vartheta_{\text{нк}} = f(h)$ va formula yordamida hisoblangan suvning o'rtacha tezligining suv chuqurligiga bog'liqlik $\vartheta_{\text{нк}} = \varphi(h)$ grafiklari quriladi. Ikkala grafikning kesishish nuqtasiga mos keluvchi tezlik - ϑ - kanaldagi yuvilmaydigan suv tezligi aniqlanadi.



13.1- rasm. Kanalda yuvilmaydigan tezlikni aniqlash grafigi

Grafikdan olingan suv tezligi ϑ va suvning chuqurligi h asosida kanal tubining nishabligi quyidagi formula yordamida hisoblanadi:

$$i = \frac{g^2}{C^2 R}.$$

b) A.A.Cherkasov usuli bilan loyihalash

O'zandagi ruxsat etiladigan yuvilmaydigan oqim tezligining qiymati A.A.Cherkasov formulasiga asosan aniqlanadi:

$$g_{yu} = g_0 R^{1/3}.$$

Bu yerda: g_0 – tuproq turiga bog'liq bo'lgan eng yuqori yuvilmaydigan tezlikning gidravlik radius $R = 1$ m bo'lgandagi qiymati, jadvaldan olinadi.

Yechish tartibi:

1. Kanaldagi suv sarfi va tuproq turiga mos keluvchi g_0 , m , n – qiymatlari jadvaldan yozib olinadi (ilovada: 5-11 jadvallar).

2. Kanal tubining kengligi S.A.Girshkan formulasasi yordamida aniqlanib, unga eng yaqin bo'lgan standart qiymatgacha yaxlitlanadi:

$$b = AQ.$$

3. Kanalning nishabligini va suvning chuqurligini aniqlashda ikkita tenglamani birgalikda yechishga to'g'ri keladi. Cherkasov formulasasi bo'yicha suv sarfi:

$$Q = \omega \cdot g_0 \cdot R^{1/3} \quad (13.1)$$

Shezi-Manning tenglamaridan:

$$Q = \omega \cdot C \sqrt{R \cdot i} = \frac{\omega \cdot R^{2/3} \sqrt{i}}{n} \quad (13.2)$$

1 va 2 tenglamalarni h – ning funksiyasi sifatida yozib olamiz:

$$\frac{Q}{g_0} = \omega \cdot R^{1/3}$$

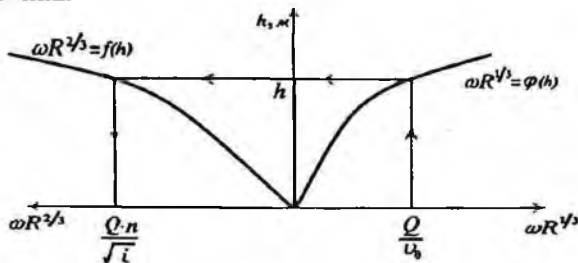
$$\frac{Q \cdot n}{\sqrt{i}} = \omega \cdot R^{2/3}$$

h -ga ixtiyoriy qiymatlar berib $\omega \cdot R^{1/3} = f(h)$ va $\omega \cdot R^{2/3} = \varphi(h)$ funksiyalarini hisoblaymiz. Hisobni jadvalda keltiramiz.

13.2-jadval

h , m	ω , m^2	χ , m	R , m	R^χ	$R^{2/3}$	$\omega \cdot R^{1/3}$	$\omega \cdot R^{2/3}$

Jadvaldag'i qiymatlar asosida $\omega \cdot R^{1/3} = f(h)$ va $\omega \cdot R^{2/3} = \varphi(h)$ grafiklarni chizamiz va oqim chuqurligi (h)-ga mos $\frac{Qn}{\sqrt{i}}$ parametrning qiymatini topamiz.



13.2 -rasm. $\omega \cdot R^{1/3} = f(h)$ va $\omega \cdot R^{2/3} = \varphi(h)$ grafiklari.

4. Grafikdan $\frac{Q \cdot n}{\sqrt{i}}$ -ning olingan qiymati orqali kanal tubi nishabligini hisoblaymiz:

$$\frac{Q \cdot n}{\sqrt{i}} = A \quad \Rightarrow \quad i = \left(\frac{Q \cdot n}{A} \right)^2$$

13.3. Kanalni loyqa bosishga qarshi tekshirish

Kanaldag'i suv oqimining tezligi juda kichik bo'lsa, kanalni loyqa bosish xavfi paydo bo'ladi. Shu sababli kanalni loyqa bosish mumkin bo'lgan chegaraviy tezlikni aniqlab, kanaldag'i suv oqimining o'rtacha tezligi bilan solishtirish zarur.

Shuni alohida qayd etish kerakki, O'zbekiston sharoitida foydalanilayotgan va loyihalashdirilayotgan kanallar uchun loyqa bosish tezligini aniqlash katta amaliy ahamiyatga ega. Chunki O'zbekistondagi kanallar asosan Amudaryo va Sirdaryolardan suv oladilar. Amudaryo va Sirdaryo daryolarda juda ko'p miqdorda cho'kindilar oqadi.

Kanallardagi loyqa bosish tezligi oqimning loyqa uzatish qobiliyatiga bog'liqdir.

13.4. Oqimning loyqa uzatish qobiliyatি. Dinamik mustahkam kanallar

Kanallarni loyihalashda θ_w - yuvilish tezligi qiymati tuproq turiga qarab, QM va Q lardan olinadi (bu haqida yuqorida aytib o'tildi).

Kanallarda ma'lum darajada loyqa miqdori harakatlanishi mumkin. Ular ma'lum joylarda cho'kib, yana harakatga kelishlari mumkin. Bunday jarayonlar kechadigan kanallarni dinamik mustahkam kanal deyiladi.

Bu jarayonlarni aniq ifodalash uchun oqimning loyqa uzatish qobiliyatini bilish lozim.

Loyqa uzatish qobiliyatini deb – oqimning ma'lum loyqalik miqdorini cho'ktirmasdan olib yurish imkoniyatiga aytildi.

Kanalning loyqa bosish tezligi, oqimning loyqa uzatish qobiliyatini bilan bog'liqidir.

Hozirgi kunda loyqa uzatish qobiliyatini aniqlash uchun bir necha formulalar mavjud:

1. E.A.Zamarin formulasi:

$$S = 0,022 \frac{g}{W_0} \sqrt{\frac{R \cdot I \cdot g}{\bar{W}}}$$

bu yerda: S - oqimning loyqa uzatish qobiliyati;

W_0 - gidravlik kattalik-tinch suvdagi loyqa zarrachalarining cho'kish tezligi, (mm/s);

\bar{W} - o'rtacha gidravlik kattalik, (mm/s). (ilovada 13-jadval).

2. Tabiiy va laboratoriya sharoitida o'tkazilgan tajribalarni umumlashtirib, loyqa uzatish qibiliyatini hisoblash uchun S.X.Abalyants quyidagi formulani keltirib chiqargan:

$$S = 0,018 \frac{g^3}{R \cdot W_0}$$

bu yerda: \bar{W} - o'rtacha gidravlik kattalik, (mm/s).

3. Oqimdagagi cho'kindilarni har xil o'lchamlarga ega ekanligini hisobga olib, A.M.Arifjanov tomonidan oqimning loyqa uzatish qibiliyatini hisoblash uchun quyidagi formula taklif qilingan:

$$S = \alpha \frac{g^3}{g \cdot R \cdot \bar{W}}$$

bu yerda:

$$\alpha = \left(\frac{d_0}{d_1} \right)^3 \quad \text{yoki} \quad \alpha = \sqrt[4]{\frac{W_0}{\bar{W}}} ; \quad W_0 = 0,069 \text{ mm/c}$$

d_1 - cho'kindi diametri, (mm);

d_0 - «optimal» diametr, ya’ni, tezligi oqim tezligiga teng bo‘lgan cho‘kindi zarrachalari diametri, (mm).

Yuqoridagi formulalar asosida oqimning loyqa bosish chegaraviy tezligini quyidagicha aniqlash mumkin:

$$1. \text{ E.A.Zamarin formulasi asosida: } g_s = \sqrt[5]{\frac{A^3}{n^2} R^{1/3}}$$

$A = 0,0127\sqrt{S^2 W_0^2 \bar{W}}$ - koeffitsiyent;

S - oqimning loyqaligi, (kg/m^3);

\bar{W} - loyqa zarrachalarining o‘rtacha gidravlik kattaligi, (m/s);

$W_0 = \bar{W}$, $0,002 \leq \bar{W} \leq 0,008 \text{ i / n.}$

$W_0 = 0,002$, $0,0004 \leq \bar{W} \leq 0,002 \text{ i / n.}$

$$2. \text{ S.X.Abalyants formulasi asosida: } g_s = \alpha \sqrt[3]{R}$$

bu yerda: $\alpha = 0,382\sqrt[3]{\rho \bar{W}}$ - tuzatuvchi koeffitsiyent.

$$3. \text{ A.Arifjanov formulasi asosida: } \nu = \alpha_0 \cdot \sqrt[3]{\rho g R \bar{W}};$$

$$\alpha_0 = \sqrt[3]{\frac{\bar{W}}{W_0}};$$

Gidravlik kattalik (\bar{W}) miqdori QM va Q 2.06.03-97 – «Sug‘orish tizimlari, loyihalash me’yorlaridan» olinadi (ilovada 13-jadval).

Kanalda suv oqimining o‘rtacha tezligini aniqlaymiz:

$$g = \frac{Q}{\omega}$$

Tezliklarni solishtiramiz, agar $g > g_s$ bo‘lsa, kanalni loyqa bosmaydi.

XIII bob bo‘yicha nazorat savollari:

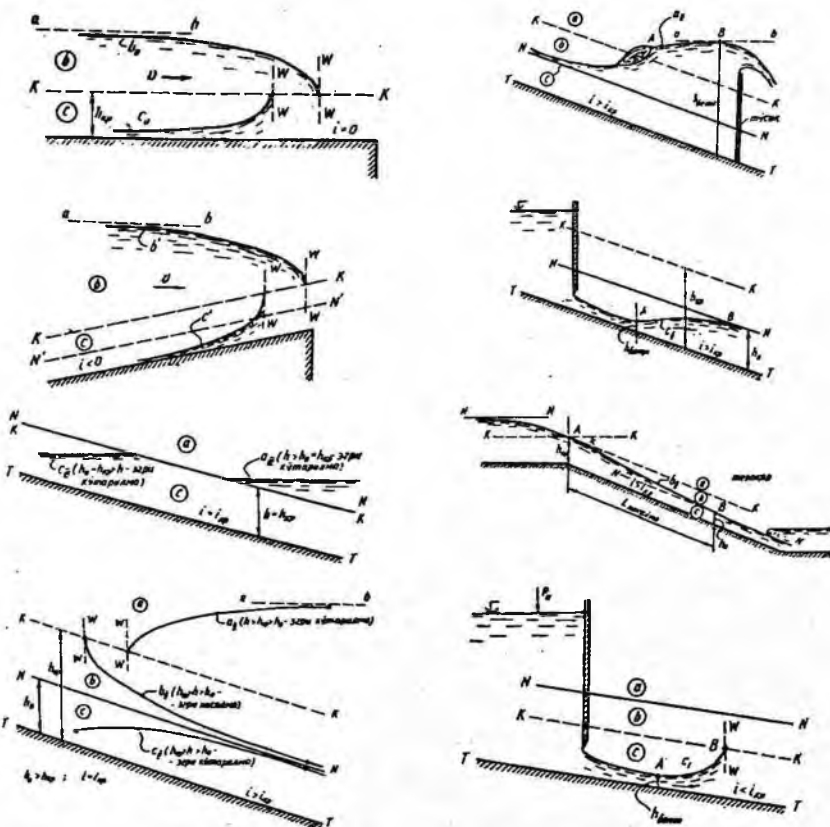
- 1.Kanalda ruxsat etilgan tezliklar.
- 2.Yuvilmaydigan magistral kanalni loyihalash.
- 3.Kanalni loyqa bosishga qarshi tekshirish.
- 4.Oqimning loyqa uzatish qobiliyati. Dinamik mustahkam kanallar.

XIV BOB. OCHIQ O'ZANLARDA SUYUQLIK OQIMINING BARQAROR NOTEKIS HARAKATI

14.1. Notekis harakat. Asosiy tushunchalar

Amaliy masalalarni Yechishda oqimning notejis harakati bilan bog'liq jarayonlarni o'rganishga to'g'ri keladi. Bunday jarayonlar quyidagi holatlarda vujudga keladi (14.1-rasm): $h \neq (\text{const})_e$, $\vartheta \neq (\text{const})_e$, $i \neq J_p \neq J_e$.

Ochiq o'zandagi suvning notejis harakatiga misollar



14.1-rasm. Ochiq o'zandagi suvning notejis harakatiga misollar.

Oqim notekis harakatini to'la ifodalash uchun bir necha tushunchalarni kiritamiz:

1. Kesim solishtirma energiyasi:

$$\Theta = h + \frac{\alpha g^2}{2g} \text{ yoki } \Theta = h + \frac{\alpha Q^2}{2g\omega^2}$$

bu yerda: h – oqim chuqurligi;

$\alpha = 1,0 \dots 1,1$ – Koriolis koeffitsiyenti;

ω – kanal harakat (tirik) kesimi yuzasi;

$$\vartheta - o'rtacha tezlik: \quad \vartheta = \frac{Q}{\omega}.$$

2. *Kritik chuqurlik (h_{kp})* – oqimning eng kichik (minimum) energiyasiga mos keluvchi chuqurlik. Kritik chuqurlikni aniqlashning bir necha usullari mavjud bo'lib, u haqda keyingi bo'limlarda batafsil to'xtalamiz. O'zanda kritik chuqurlikka mos suv sathini «K-K» bilan belgilaymiz (14.1-rasm).

3. *Kritik nishablik (i_{kp})* – oqim kritik holatiga mos keluvchi nishablik:

$$i_{kp} = \frac{Q^2 n^2}{\omega_{kp}^2 R_{kp}^{4/3}} = \left| \frac{Qn}{\omega_{kp} R_{kp}^{2/3}} \right|^2,$$

bu yerda: ω_{kp} va R_{kp} – kritik chuqurlik (h_{kp}) uchun hisoblangan kanal tirik kesim yuzasi va gidravlik radiusi.

Oqimning kritik holat tenglamasini keltirib chiqarish uchun ifodadan foydalanamiz:

$$\Theta = h + \frac{\alpha Q^2}{2g\omega^2}$$

$$\frac{\omega_{kp}^3}{B_{kp}} = \frac{\alpha Q^2}{g},$$

bu yerda: ω_{kp} – kritik holatdagi harakat kesimi yuzasi;

Q – oqim sarfi;

B_{kp} – kritik holatdagi oqim sathining eni.

4. *Kinetiklik parametri (Π_k) yoki Frud soni.* Oqimning energetik holatini ifodalovchi parametr bo'lib, ikkilangan kinetik energiyaning potentsial energiyaga nisbati:

$$B = \frac{d\omega}{dh},$$

$$F_r = \frac{\alpha g^2}{gh}; \quad g = \frac{Q}{\omega} \text{ ekanligidan foydalanib:}$$

$$\Pi_k = \frac{\alpha g^2}{gh} = \frac{\alpha Q^2}{g} \cdot \frac{B}{\omega^3} = \frac{\alpha Q^2}{g \omega^2} \cdot \frac{B}{\omega}.$$

$\Pi_k = 1,0$ – oqimning kritik holati;

$\Pi_k < 1,0$ – oqimning sokin (tinch) holati;

$\Pi_k > 1,0$ – oqimning notinch holati.

5. *Normal chuqurlik* (h_0) – oqimning tekis harakatiga mos keluvchi chuqurlik. O'zanda normal chuqurlikka mos keladigan suv sathini - «N-N» bilan belgilaymiz (14.1 -rasm).

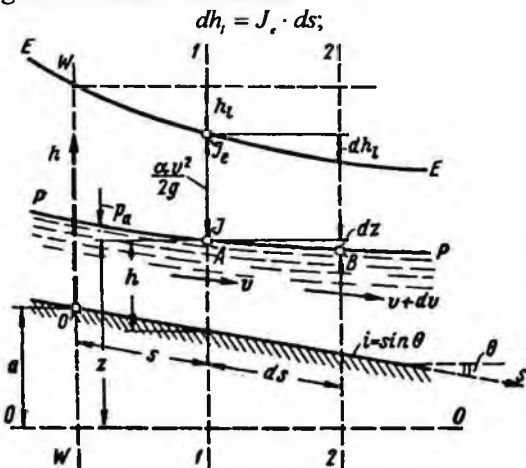
XIV bob bo'yicha nazorat savollari:

1. Notekis harakat.
2. Kritik chuqurlik.
3. Kritik nishablik.
4. Kinetiklik parametri.
5. Normal chuqurlik.

XV BOB. SUYUQLIK OQIMINING BARQAROR NOTEKIS HARAKATINING DIFFERENTIAL TENGЛАMASI

15.1 Barqaror noteoris harakat differensial tenglamasi

Barqaror noteoris harakat differensial tenglamasining bir necha ko'rinishlari mavjud bo'lib, qaralayotgan gidravlik jarayonga bog'liq ravishda quyidagicha ifodalash mumkin.



Gidravlik nishablik $J_e = \frac{dh}{ds} = \frac{d}{ds} \left(z + \frac{p}{\gamma} + \frac{\alpha g^2}{2g} \right) = \frac{d\varTheta}{ds};$

$$J_e = \frac{dz}{ds} + \frac{d}{ds} \left(\frac{\alpha Q^2}{2g\omega^2} \right)$$

$$J_e = i + \frac{d}{ds} \left(\frac{\alpha g^2}{2g} \right)$$

- Noteoris harakat differensial tenglamasi (I).

Oqim bo'yicha (s) energiyaning o'zgarishi:

$$\frac{d\varTheta}{ds} = \frac{dh}{ds} + \frac{d}{ds} \left(\frac{\alpha Q^2}{2g\omega^2} \right) \quad \text{yoki} \quad \frac{d\dot{Y}}{ds} = i - J_e,$$

bu yerda: s – oqim uzunligi; \varTheta – oqimning solishtirma energiyasi; i – oqim tubining nishabligi; J_e – gidravlik nishablik.

$$\frac{d}{ds} \left(\frac{1}{\omega^2} \right) = \frac{-2}{\omega^3} \frac{d\omega}{ds} = \frac{-2}{\omega^3} \left(\frac{d\omega}{dh} \frac{dh}{ds} + \frac{\partial \omega}{\partial s} \frac{ds}{ds} \right)$$

$d\omega = Bdh$ ekanligidan foydalanim

$$\frac{dh}{ds} = \frac{i - J_e + \frac{\alpha Q^2}{g\omega^3} \frac{d\omega}{ds}}{1 - \frac{\alpha Q^2 B}{g\omega^3}}$$

- Notekis harakat differensial tenglamasi (II).

Prizamatik kanallar uchun notekis harakat differensial tenglamasi (II)ni quyidagicha yozish mumkin: Prizamatik kanallar uchun $\omega = f(h)$; ekanligidan

(II) tenglamadan $\frac{\partial \omega}{\partial s} = 0$ deb qabul qilamiz, u holda

$$\frac{dh}{ds} = \frac{i - J_e}{1 - \frac{\alpha Q^2 B}{g\omega^3}}, \quad \text{yoki} \quad \frac{dh}{ds} = \frac{i - J_e}{1 - I_e};$$

Bu yerda: Π_k - kinetiklik parametri;

$$\omega^2 C^2 R = K^2; \quad J_e = \frac{Q^2}{\omega^2 C^2 R}; \quad K_0 = \frac{Q}{\sqrt{i}}; \quad \text{ekanligidan foydalanylib,}$$

notekis harakat differensial tenglamasining II-ko'rinishini quyidagicha yozish ($\frac{dh}{ds} = \frac{dh}{dl}$) mumkin:

$$i > 0 \text{ bo'lganda: } \frac{dh}{dl} = \frac{i \left(1 - \frac{K_0^2}{K^2} \right)}{1 - I_e}; \quad (15.1)$$

$i = 0$ bo'lganda:

$$\frac{dh}{dl} = \frac{\frac{Q^2}{K^2}}{\Pi_k - 1}; \quad (15.2)$$

$i < 0$ bo'lganda:

$$\frac{dh}{dl} = \frac{\frac{|i| + Q^2}{K^2}}{\Pi_k - 1}, \quad (15.3)$$

bu yerda:

K – sarf moduli:

$$K = \omega \cdot C \sqrt{R};$$

C – Shezi koefitsiyenti;

R – gidravlik radius.

15.2. Erkin sirt egriligin shakli. Erkin egri suv sathi chizig'i

Oqimning notekis harakati bilan bog'liq bo'lgan jarayonlarni o'rghanishda erkin sirt egriligin shaklini aniqlash katta ahamiyatga ega.

Adabiyotlarda bu tushuncha – erkin egri suv sathi chizig'i (EESSCH) deb ham yuritiladi.

Erkin sirt egriligin aniqlashda prizmatik kanallar guruh va sinflarga ajratiladi (15.1 -rasm).

O'zan tubining nishabligiga qarab A,B,C – guruhlar mavjud:

- 1) $i > 0$ bo'lganda A-guruhi;
- 2) $i = 0$ bo'lganda B-guruhi;
- 3) $i < 0$ bo'lganda C-guruhi.

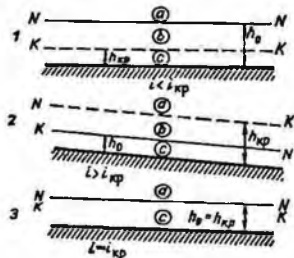
A-guruhi o'z navbatida quyidagi sinflarga ajratiladi (15.1 -rasm):

- 1) $i < i_{kr}$; $h_0 > h_{kp}$ bo'lganda 1 – sinf;
- 2) $i > i_{kr}$; $h_0 < h_{kp}$ bo'lganda 2 – sinf;
- 3) $i = i_{kr}$; $h_0 = h_{kp}$ bo'lganda 3 – sinf,

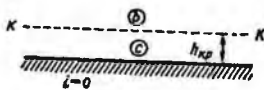
bu yerda: h_0 – normal chuqurlik;

h_{kp} -kritik chuqurlik.

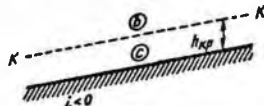
1) A guruh



2) B guruh



3) C guruh



15.1 - rasm. Erkin sirt egriliklarini prizmatik kanallarda guruh va sinflarga ajratilishi.

Har xil guruhlardagi kanallarda oqayotgan suv yana a , b , c sohalarga ajraladi (15.2 -rasm). Rasmdagi $N-N$ chizig'i – normal chuqurlikka mos keladigan chiziq; $K-K$ chizig'i – kritik chuqurlikka mos keladigan chiziq. $N-N$ va $K-K$ chiziqlar kanal tubiga parallel o'tkaziladi.

Sohalarning joylashishi quyidagicha:

a – soha $K-K$ va $N-N$ chiziqlardan yuqorida: $h > h_0 > h_{kp}$;

b – soha $N-N$ va $K-K$ chiziqlarining orasida: $h_0 > h > h_{kp}$ yoki $h_{kp} > h > h_0$;

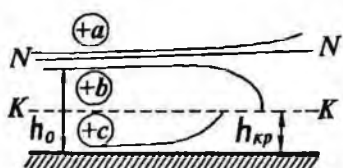
c – soha $N-N$ va $K-K$ chiziqlaridan pastda: $h < h_{kp} < h_0$ yoki $h < h_0 < h_{kp}$.

Erkin sirt egriliginini aniqlash quyidagi tartibda amalga oshiriladi:

1. Kanalning gidravlik elementlari asosida kanal guruhi va sinfi aniqlanadi.

2. Kanaldagi kritik va normal chuqurliklar aniqlanadi.

3. Berilgan chuqurlik uchun erkin sirt egriligi sohasi, shakli aniqlanadi.



15.2 – rasm. A - guruhdagi o'zan sxemasi

Buning uchun quyidagi xulosalarga amal qilinadi:

1. $N-N$ - chizig'iga erkin suv sathi assimptotik yaqinlashib boradi.
2. $K-K$ - chizig'iga erkin suv sathi normal bo'yicha yaqinlashadi.
3. Chuqurlik h chegarasiz kattalashgan sari, egri sathlar assimptotik horizontal chiziqqacha yaqinlashib boradilar.

4. Kritik chuqurliklar chizig'ini kesib o'tganda, teoretik ekstrapolyatsiya yordami bilan chizilgan egri chiziq sathlari kritik chuqurliklar chizig'iga ($K-K$) normal bo'yicha (90° burchagi bilan) yo'nalgan.

5. A – guruhdagi o'znlarda « a » sohada faqat ko'tarılma (oshib boruvchi) egri sirlari mavjud bo'ladi: « $(+a_1)$ », « $(+a_2)$ », « $(+a_3)$ » (2.1 - jadval).

6. « b » sohalarda faqat pasayma (kamayib boruvchi) egri chiziq sirlari bo'ladi: « $(-b_1)$ », « $(-b_2)$ », « $(-b_0)$ », « $(-b')$ ».

7. « c » sohada esa faqat ko'tarılma egri chiziq sirlari bo'ladi: « $(+c_1)$ », « $(+c_2)$ », « $(+c_0)$ », « $(+c')$ ». (15.1 - jadval)

15.1 – jadval. Erkin sirt egriligining shakllari

Oqim chuqurligi	O'zan tubi nishabligi	Soha- lar	Kattaliklar			EESSCH shakli	EESSCH shaklining ko'rinishi	
			$1 - \left(\frac{K_s}{K} \right)^2$	$I - I_{\epsilon}$	$\frac{dh}{dl}$			
1	2	3	4	5	6	7	8	9
$h_0 > h_{sp}$	$i < i_{sp}$	a_I	>0	>0	>0	Egri ko'tarilma		
			<0	>0	<0	Egri pasayma		
			<0	<0	>0	Egri ko'tarilma		
$h_0 < h_{sp}$	$i > i_{sp}$	a_B	>0	>0	>0	Egri ko'tarilma		
			>0	<0	>0	Egri pasayma		
			<0	<0	>0	Egri ko'tarilma		
$h_0 = h_{sp}$	$i = i_{sp}$	a_M	>0	>0	>0	Egri ko'tarilma		
			<0	<0	>0	Egri ko'tarilma		
$h = \infty$	$i = 0$	b_0	–	>0	<0	Egri pasayma		
		c_0	–	<0	>0	Egri ko'tarilma		
$h = \infty$	$i < 0$	b'	–	>0	<0	Egri pasayma		
		c'	–	<0	>0	Egri ko'tarilma		

15.3 Notekis harakat differensial tenglamasining (integrallash) tahlili

Notekis harakat differensial tenglamasini (15.1) quyidagi holatlarda integrallashni ko'rib chiqamiz:

1. A-guruh: $i > 0$ bo'lganda:

$$1 - \Pi_k = 1 - \frac{\alpha Q^2}{g} \cdot \frac{B}{\omega^3} = \dots = 1 - \frac{\alpha i C^2 B}{g \chi} \cdot \left(\frac{K_0^2}{K^2} \right)$$

$$j = \frac{\alpha \cdot i C^2 B}{g \chi}$$

bu yerda: C – Shezi koefitsiyenti: $C = \frac{1}{n} \cdot R^{1/6}$ bo'lganda

$$j = \frac{\alpha \cdot i}{gn^2} \cdot R^{1/3} \cdot \frac{B}{\chi}$$

χ - ho'llangan perimetr.

U holda notekis harakat differensial tenglamasi ni (15.1) quyidagicha yozamiz:

$$\frac{dh}{dl} = i \frac{1 - \frac{K_0^2}{K^2}}{1 - j \frac{K_0^2}{K^2}} = i \frac{\frac{K^2}{K_0^2} - 1}{\frac{K^2}{K_0^2} - j}$$

yoki

$$\frac{dl}{dh} = i \frac{\frac{K^2}{K_0^2} - j}{\frac{K^2}{K_0^2} - 1}, \quad (15.4)$$

bu yerda $K = f(h)$: $j = f(h)$ $dl = f(h)dh$, ya'ni tenglamadagi (15.4) barcha ifodalar - h chuqurlik funksiyasidir.

$$\int_{l_1}^{l_2} dl = \int_{h_1}^{h_2} f(h) dh$$

B.Baxmetevning ko'rsatkichli funksiyasidan foydalanib:

$$\left(\frac{K}{K_0} \right)^2 = \left(\frac{h}{h_0} \right)^r, \quad (15.5)$$

x-o'zanning gidravlik ko'rsatkichi:

$$x \approx 2 \frac{\lg \frac{K}{K_0}}{\lg \frac{h}{h_0}} \approx const$$

(4) formulani (5) asosida quyidagicha yozamiz:

$$idl = \frac{\eta^x - j}{\eta^x - 1} dh$$

bu yerda: $\eta = \frac{h}{h_0}$ -nisbiy chuqurlik,

$$dh = h_0 d\eta$$

$$\frac{idl}{h_0} = d\eta - (1-j) \frac{d\eta}{1-\eta^x} \quad \int \frac{d\eta}{1-\eta^x} = \varphi(h) + C$$

U holda $i > 0$ holat uchun (15.4) tenglama quyidagi ko'rinishga ega:

$$\frac{il}{h_0} = \eta_2 - \eta_1 - (1-j)[\varphi(\eta_2) - \varphi(\eta_1)], \quad (15.6)$$

bu yerda:

$$\bar{j} = \frac{\alpha i \overline{C^2 B}}{g \chi}, \quad (15.7)$$

$$\bar{h} = \frac{h_1 - h_2}{2}, \quad (15.8)$$

$\varphi(\eta)$ funksiya qiymati maxsus jadvalarda keltirilgan (R.R.Chugayev, P-4 jadval, 573 bet, yoki shu qo'llanmaning ilovadagi 14 -jadvalidan).

Masala: Kanalning quyidagi elementlari berilgan: $b; m; n; i; h_0; h_1; h_2$. Egri sirt egriligini va uzunligini aniqlang: l -?

Yechish: (6) tenglamadan

$$l = \frac{h_0}{i} (A_2 - A_1)$$

$$A_2 = \eta_2 - (1-j)\varphi(\eta_2),$$

$$A_1 = \eta_1 - (1-j)\varphi(\eta_1)$$

(15.7), (15.8) ifodalardan foydalanib, l -ni aniqlaymiz.

2. B-guruh: $i=0$ holat uchun:

$$\left| \frac{K}{K_k} \right|^2 = \left| \frac{h}{h_k} \right|^x$$

u holda yuqorida bajarilgan tartib asosida $i=0$ holat uchun (2) tenglama quyidagi ko'rinishga ega bo'ladi:

$$\frac{i_k \cdot l}{h_k} = (\bar{j} - 1)(\xi_2 - \xi_1) - [\varphi(\xi_2) - \varphi(\xi_1)]$$

$$\xi = \frac{h}{h_{kp}}; \quad \bar{j}_k = \frac{\alpha i_k \cdot \bar{C}^2 \cdot \bar{B}}{g \bar{\chi}}; \quad x = \frac{2 \lg \frac{\bar{K}}{K_0}}{\lg \frac{h}{h_k}}.$$

3. C-guruh: $i < 0$ holat uchun:

$$\left| \frac{K}{K_0} \right|^2 = \left| \frac{h}{h_0} \right|^2$$

u holda $i < 0$ holat uchun (3) tenglama quyidagi ko‘rinishga ega:

$$\frac{i' \cdot l}{h'_0} = -(\xi_2 - \xi_1) + (1 + j') [\varphi(\xi_2) + \varphi(\xi_1)]$$

$$\xi = \frac{h}{h'_0}; \quad \bar{j}' = \frac{\alpha i \bar{C}^2 \bar{B}}{g \bar{\chi}}; \quad x = \frac{2 \lg \left(\frac{\bar{K}'}{K'_0} \right)}{\lg \left(\frac{h}{h'_0} \right)}$$

bu yerda i' - absolyut nishablik, h'_0 - faraz qilingan normal chuqurlik.

$$K'_0 = \frac{Q}{\sqrt{i'}}.$$

15.4. Mashg‘ulotlarda informatsion va innovatsion texnologiyalardan foydalanish

Bu bo‘limdagi masalalar informatsion texnologiyalardan, ya’ni EHM yordamida kafedrada ishlab chiqilgan hisoblash dasturi asosida yechiladi. Keltirilgan jadvallardagi ma’lumotlar va grafiklar EHM yordamida bajarilgan.

15.4.1 To‘suechi to‘g‘on inshoot oldidagi erkin sirt egri chizig‘i uzunligini aniqlash

Masala: O‘zanda harakat notekis bo‘lgan holda, suv oqimining chuqurliklari oshib yoki kamayib borishi mumkin. Oqimning erkin sirt chizig‘i egri sirt shaklida bo‘ladi. Agar o‘zanda chuqurliklar oshib ketadigan bo‘lsa – unda erkin sirt **egri ko‘tarılma chizig‘i** deb aytildi.

Magistral kanalda to'suvchi to'g'on inshooti oldida suv oqimining harakati notejis bo'lib, kanaldagi suv chuqurligi ma'lum foizga oshadi deb olamiz.

Gidravlik hisoblashning asosiy maqsadi – erkin sirt chizig'inining turini aniqlash va uni B.A.Baxmetev usuli bilan qurish.

A. Masalani yechish tartibi

Kanalning quyidagi elementlari berilgan bo'lsin: kanaldagi suv sarfi Q_{ux} , kanal tubining eni b_{cm} , qiyalik koeffitsiyenti m ; g'adir-budirlik koeffitsiyenti n ; to'g'on inshooti oldidagi suv chuqurligi $h_{ber} = (1,15 \dots 1,20)h_0$.

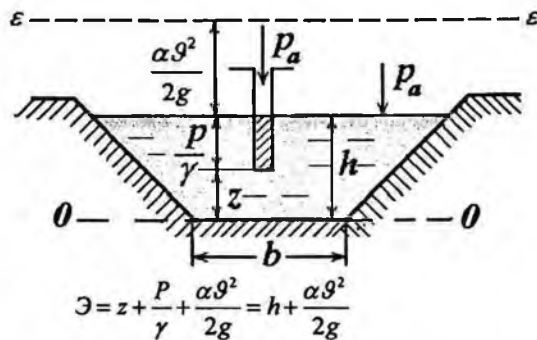
I Magistral kanal tubining bo'ylama qirqimi va planini mashtabda chizamiz (masala shartiga qarab).

II. Magistral kanaldagi erkin egri sirt chizig'i turini aniqlaymiz.

Buning uchun avval kanaldagi kritik chuqurlikni hisoblab topishimiz kerak. Kritik chuqurlikni aniqlashni bir necha usullarini ko'rib chiqamiz.

a) *Birinchi usul:* Kritik chuqurlikni *kesimning solishtirma energiyasi grafigi* yordami bilan aniqlash.

Kesimning solishtirma energiyasi “ \mathcal{E} ” – o'zan kesimining eng pastda joylashgan nuqtadan o'tkazilgan taqqoslash tekisligiga nisbatan hisoblangan to'la solishtirma energiyadir.



Kesimning solishtirma energiyasi eng kichik qiymatiga mos kelgan chuqurlikka *kritik chuqurlik* deb aytildi.

$$\mathcal{E} = h + \frac{\alpha g^2}{2g} \quad \text{yoki} \quad \mathcal{E} = h + \frac{\alpha Q^2}{2g\omega^2}$$

bu yerda: $\alpha = 1,0 \dots 1,1$ – Koriolis koeffitsiyenti;

$\omega = (b + mh)h$ - trapetsiya shaklidagi kanal ko'ndalang kesimi yuzasi;

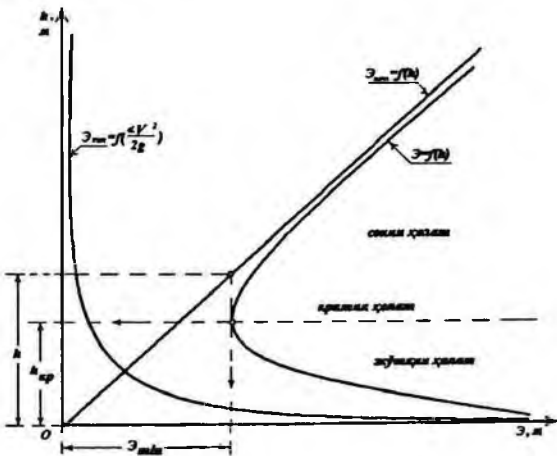
$\vartheta = \frac{Q}{\omega}$ - kanaldagi suv oqimining o'rtacha tezligi.

Hisoblashni jadvalda tanlash usuli yordamida o'tkazamiz. Oqim chuqurligiga bir necha qiymatlar berib, ularga mos keladigan kesim solishtirma energiyasini hisoblaymiz:

15.2 - jadval

h , m	ω , m	ϑ , m/s	$\frac{\alpha \vartheta^2}{2g}$, m	$\Theta = h + \frac{\alpha \vartheta^2}{2g}$, m

Jadvalga asosan $\Theta = f(h)$ grafigini tuzamiz. Bu grafikda energiyaning eng kichik qiymati Θ_{min} -ga to'g'ri keluvchi chuqurlik - kritik chuqurlik h_{kp} bo'ladi.



15.3-rasm. Kesimning solishtirma energiyasi grafigi.

- b) *Ikkinchisi usul* – suv oqimining *kritik holat* grafigidan.
Oqimning kritik holat tenglamasi quyidagicha yoziladi:

$$\frac{\alpha Q^2}{g} = \frac{\omega^3}{B_{kp}}$$

Bu tenglama tanlash usulida yechiladi. Suv chuqurligiga har xil qiymatlar berilib, ular uchun quyidagi nisbatni aniqlaymiz:

$$\frac{\omega^3}{B},$$

bu yerda: $\omega = (b + mh)h$ - kanal tirk kesimi yuzasi;

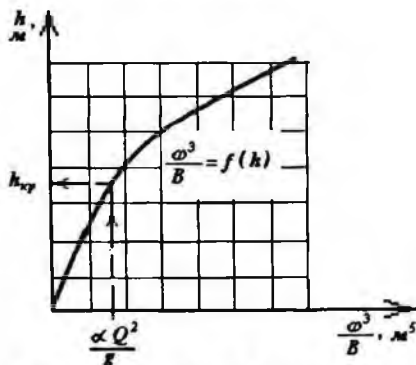
$B = b + 2mh$ - berilgan chuqurlikda oqim tirk kesim sathidagi kanalning kengligi.

Hisobni jadvalda keltiramiz:

15.3 - jadval

h, m	ω, m^2	V, m	ω^3, m^6	$\frac{\omega^3}{B}, m^5$	$\frac{\alpha Q^2}{g}, m^5$

Jadvaldagı aniqlangan kattaliklarga qarab, $\frac{\omega^3}{B} = f(h)$ grafigi chiziladi:



15.4 – rasm. Kritik holat grafigi.

Kritik holat shartiga ko'ra $\frac{\omega_{kp}^3}{B_{kp}} = \frac{\alpha \cdot Q^2}{g}$, demak ma'lum bo'lgan

$\frac{\alpha \cdot Q^2}{g}$ ga qarab kritik chuqurlik qiymati h_{kp} grafikdan olinadi (15.4-rasm).

v) *Uchinchi usul*:- I.I.AgroSkin usuli.

Hisoblash formulasi:

$$h_{kp} = K \cdot h_{k\pi}$$

Trapetsiya shaklidagi kanallar uchun kritik chuqurlikni quyidagi tartibda aniqlaymiz:

1. To'g'ri to'rburchak shaklidagi kanal uchun kritik chuqurlik:

$$h_{kn} = \sqrt{\frac{\alpha Q^2}{b^2 g}}.$$

2. Yordamchi koefitsiyent:

$$\sigma_n = \frac{mh_{kn}}{b_m},$$

m va b_m - magistral kanal uchun olinadi.

$$3. K = 1 - \frac{\sigma_n}{3} + 0.105\sigma_n^2 \quad (\text{yoki R.R. Chugayev kitobidan, 239 - betdag'i})$$

7-16 chizmadan « σ_n » -ga qarab, « K » qiymatini olamiz).

15.4 - jadval

σ_n	0.01	0.02	0.04	0.06	0.08
K	0.997	0.993	0.987	0.980	0.973

4. Magistral kanaldagi kritik chuqurligini aniqlaymiz:

$$h_{kp} = K \cdot h_{kn}.$$

g) *To'rtinchı usul* - TIMI "Gidravlika" kafedrasida ishlab chiqilgan usul (A.M.Arifjanov usuli):

$$h_{kp} = \frac{b}{4M} \left(\sqrt{1 + \frac{8 \cdot m \cdot h_{kn}}{b}} - 1 \right).$$

$$M = m^2 / \sqrt{1 + m^2}$$

$$\text{yoki } h_{kp} = (0.73 - 0.12 \ln \frac{mh_{kn}}{b_m}) \cdot h_{kn}$$

III. Magistral kanaldagi berilgan tub nishabligini ($i > 0$) kritik nishablik bilan solishtiramiz. Shunda erkin sirt egri chiziqning guruhini va sinfini aniqlaymiz.

Magistral kanal berilgan tubining nishabligi kritik nishablikdan kichkina bo'lsa (demak $i_{MK} < i_{kp}$), magistral kanal "A" guruh, 1-chi sinfga kiradi.

Berilish bo'yicha magistral kanaldagi to'suvchi inshoot oldidagi suv chuqurligi oshib boradi, berilgan chuqurlik $h_{\text{opt}} > h_0 > h_{kp}$, demak magistral kanaldaning erkin sirtida - *egri ko'tarılma* chizig'i hosil bo'ladi: +a).

IV. Magistral kanaldagi kritik nishabligini ($h=h_{kp}$) suv oqimining tekis holatdagi tenglamasidan aniqlash mumkin:

$$i_{kp} = \frac{Q^2}{\omega_{kp}^2 C_{kp}^2 R_{kp}} \quad \text{yoki} \quad i_{kp} = \left| \frac{Qn}{\omega_{kp} R_{kp}^{2/3}} \right|^2$$

bu yerda: $\omega_{kp}, \chi_{kp}, R_{kp}, C_{kp}$ va B_{kp} - kritik chuqurlik uchun hisoblangan kanalning gidravlik elementlari.

$$C = \frac{1}{n} R_{kp}^{1/6} \quad \text{- Shezi koeffitsiyenti (Manning formulasi), } (m^{0.5}/s);$$

$$\omega = (b + mh_{kp})h_{kp} \quad \text{- tirik kesim yuzasi, } (m^2);$$

$$\chi_{kp} = b + 2h_{kp}\sqrt{1+m^2} \quad \text{- ho'llangan perimetri, } (m);$$

$$R_{kp} = \frac{\omega_{kp}}{\chi_{kp}} \quad \text{- gidravlik radiusi, } (m).$$

yoki suv oqimining kritik holat tenglamasidan:

$$B_{kp} = b + 2mh_{kp} \quad \Rightarrow \quad i_{kp} = \frac{g \cdot \chi_{kp}}{\alpha \cdot C_{kp}^2 \cdot B_{kp}}$$

V. *Kinetiklik parametri* (Π_k) – ikkilangan kinetik energiyaning potentsial energiyaga bo'lgan nisbati:

$$\Pi_k = \frac{\alpha \cdot Q^2}{g} \cdot \frac{B}{\omega^3} = \frac{\alpha \cdot Q^2}{g \cdot \omega^2} \cdot \frac{B}{\omega} = \frac{\alpha \cdot g^2}{g \cdot h_{kp}},$$

bu yerda:

$$h_{kp} = \frac{\omega}{B}.$$

Agar: $h = h_{kp}$ bo'lsa, $\Pi_k = 1,0$ – kritik holat;

$h > h_{kp}$ bo'lsa, $\Pi_k < 1,0$ – tinch (sokin) holat;

$h < h_{kp}$ bo'lsa, $\Pi_k > 1,0$ – notinch (jo'shqin) holat.

Bu parametr oqimning holatini aniqlaydi, oqimning kinetiklik darajasini ko'rsatadi.

VI. Suv oqimining normal chuqurligini aniqlaymiz (h_0). Tekis harakatdagi chuqurlikka **normal chuqurlik** deb aytildi.

Normal chuqurlikni aniqlash usullari kitobning 1-qismida batafsil yozilgan.

15.4.2 Egri ko'tarılma chiziqning uzunligini aniqlash va qurish

Yuqoridagi gidravlik hisoblarni bajarib qo'yilgan masalani Yechish uchun B.A. Baxmetev (6) tenglamasidan foydalananamiz:

$$\frac{il}{h_0} = \eta_1 - \eta_2 - (1 - \bar{j}_{sp}) [\varphi(\eta_2) - \varphi(\eta_1)]$$

Bu tenglamani aniqlashi kerak bo'lган « l »-ga nisbatan hisoblasak, quyidagi hisoblash tenglamasini olamiz:

$$l = \frac{h_0}{i} \{ [\eta_2 - (1 - \bar{j})\varphi(\eta_2)] - [\eta_1 - (1 - \bar{j})\varphi(\eta_1)] \} = (A_2 - A_1) \frac{h_0}{i}$$

bu yerda:

$$A_1 = \eta_1 - (1 - \bar{j})\varphi(\eta_1);$$

$$A_2 = \eta_2 - (1 - \bar{j})\varphi(\eta_2);$$

l – ikkita kesim orasidagi masofa (har bittasining chuqurliklari mos ravishda h_1 va h_2).

Kesimlarning va chuqurliklarning tartib raqamlari yuqorida boshlab, oqimning yo'naliishi bo'yicha belgilanadi.

$\eta_1 = \frac{h_1}{h_0}; \eta_2 = \frac{h_{21}}{h_0}$ - 1-1 va 2-2 kesimlardagi nisbiy chuqurliklar;

i, h_0 – kanal tubining nishabligi va normal chuqurligi;

$\bar{j}_{sp} = \frac{\alpha i \bar{C}^2 \bar{B}}{g \bar{\chi}}$ - o'rtacha ishqalanish nishabligi, suv chuqurligining o'rtacha qiymati uchun hisoblanadi:

$$\bar{h}_{o,r} = \frac{h_1 + h_2}{2},$$

$\bar{C}, \bar{B}, \bar{\chi}, \bar{\omega}$ - o'rtacha chuqurlik $\bar{h}_{o,r}$ uchun hisoblangan kanalning gidravlik elementlari:

$$\bar{B} = b + 2m\bar{h}; \quad \bar{\omega} = (b + m\bar{h})\bar{h}; \quad \bar{\chi} = b + 2\bar{h}\sqrt{1+m^2}; \quad \bar{R} = \frac{\bar{\omega}}{\bar{\chi}};$$

$\alpha = 1,1$ – kinetik energiyaning korrektivi – Koriolis koeffitsiyenti, oqimning tirkiz kesim bo'yicha tezliklarning notekis taqsimlanishini hisobga oluvchi koeffitsiyent;

$\varphi(\eta_1), \varphi(\eta_2)$ – nisbiy chuqurlik funksiyalari, jadvallardan o'zanninggidravlik ko'rsatkichi "x"-ga qarab olinadi (Chugayev R.R., 573-579 bet, yoki shu qo'llanmani ilovadagi 14-jadvaldan).

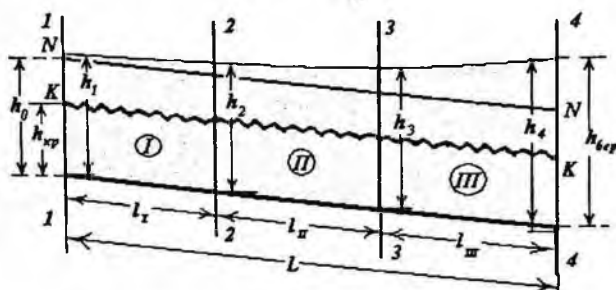
Gidravlik ko'rsatkichni aniqlash formulasasi:

$$x = \frac{2(\lg \bar{K}_{o'r} - \lg K_0)}{\lg \bar{h}_{o'r} - \lg h_0} = 2 \frac{\lg \frac{\bar{K}_{o'r}}{K_0}}{\lg \frac{\bar{h}_{o'r}}{h_0}};$$

Bu yerda $\bar{K}_{o'r}, K_0$ – mos ravishda $\bar{h}_{o'r}$, va h_0 uchun hisoblangan sarf modullari:

$$\bar{K}_{o'r} = \bar{\omega}_{o'r} \bar{N}_{o'r} \sqrt{\bar{R}_{o'r}} = \frac{\bar{\omega}_{o'r} \bar{R}_{o'r}^{2/3}}{n}$$

$$K_0 = \frac{\omega_0 R_0^{2/3}}{n}$$



15.5 –rasm. B.A. Baxmetev usulida sath egriligini aniqlash sxemasi.

B.A.Baxmetev usuli bilan yechish uchun magistral kanal hisoblash sxemasini tuzishimiz va bir necha kesimlarga bo'lishimiz kerak (kesimlarning tartib raqamlari oqim bo'yicha tepadan pastga qarab belgilanadi). Shu chizmada normal va kritik chuqurliklar chiziqlarini belgilaymiz $K-K$, $N-N$ (15.5 -rasm).

Gidravlik ko'rsatkich « α » va o'rtacha ishqalanish nishabligi « j » qiymatini kanalning butun uzunligi bo'yicha bir xil deb qabul qilishimiz mumkin, demak o'rtacha chuqurlik:

$$\bar{h}_{\text{sp}} = \frac{h_0 + h_{\text{sep}}}{2};$$

bu yerda: $h_{\text{ber}} = 1,2h_0$ - to'suvchi inshoot oldidagi berilgan chuqurlik.

Gidravlik ko'rsatkich «x» trapetsiya shaklidagi kanallar uchun:

$$x = 3,4\left(1 + \frac{m}{\bar{\beta} + m}\right) - 1,4 \frac{m''}{\bar{\beta} + m''}$$

bu yerda: $\bar{\beta} = \frac{b}{\bar{h}_{\text{sp}}}$ - kanalning nisbiy kengligi;

$$m'' = 2\sqrt{1 + m^2}.$$

Aniqlangan o'zanning gidravlik ko'rsatkichi «x» eng yaqin bo'lgan jadvaldagi qiymatgacha yaxlitlanadi.

Hisoblash oxirgi bo'limdan (kanal to'suvchi inshoot oldidan) boshlanadi.

Berilgan chuqurlikdan boshlab ($h_{\text{ber}} = h_4$), egri chiziqli sathning ko'rinishiga qarab, 3-3 kesidagi chuqurlikka qiymatni beramiz.

Bizning misolda ko'tarılma (dimlangan) egri chiziqli sath hosil bo'ladi, demak yuqoriga borgan sari chuqurlik kamayadi:

$$h_3 = h_4 - \Delta h.$$

Δh – ikkita kesimlarning chuqurlik orasidagi farq ($\Delta h = 0.02 \dots 0.1$ metrgacha qabul qilinadi).

Keyin III qismi uchun B.A.Baxmetev formulasi orqali shu chuqurlik qaysi masofada hosil bo'lishini aniqlaymiz (I_{III}):

$$I_{\text{III}} = \frac{h_0}{i} \{ \eta_4 - \eta_3 - (1 - \bar{j}_{\text{sp}}) [\varphi(\eta_4) - \varphi(\eta_3)] \}$$

Avval $\frac{h_0}{i}$ ni hisoblab, keyin tenglamadagi qolgan qiymatlar jadvaldan olinib, hisoblanadi.

Undan keyin 3-3 kesidagi chuqurlik ma'lum deb qabul qilinib, 2-2 kesidagi chuqurlikka qiymatini beramiz.

$$h_2 = h_3 - \Delta h$$

II-chi qismi uchun o'rtacha chuqurlikni $\bar{h} = \frac{h_3 + h_2}{2}$ va shu qiymat

uchun $\bar{w}, \bar{x}, \bar{R}, \bar{B}$ - lar hisoblanadi.

Xuddi III-chi qismi uchun aniqlangan uzunlikka o'xshab, II qismidagi masofani (I_{II}) B.A.Baxmetev tenglamasi yordami bilan aniqlaymiz. Shu hisoblashni I-chi qism uchun ham qaytaramiz.

2-2 kesimdagи chuqurlik ma'lum deb, 1-1 kesimdagи chuqurlikni aniqlaymiz:

$$h_1 = h_2 - \Delta h$$

Hisoblash natijalarini jadvalda keltiramiz:

15.5 - jadval

No	\bar{h}_{sp}	$\bar{\omega}_{sp}$	\bar{x}_{sp}	\bar{R}_{sp}	x	Kesimlar № №	h	η	$\varphi(\eta)$	\bar{h}	$\bar{\omega}$	\bar{x}	\bar{R}	\bar{B}	\bar{j}	$1-\bar{j}$	A	A_2-A_1	l
III						4 3													
II						3 2													
I						2 1													

Bu yerda:

$$\bar{h}_{sp} = \frac{h_0 + h_{dep}}{2}$$

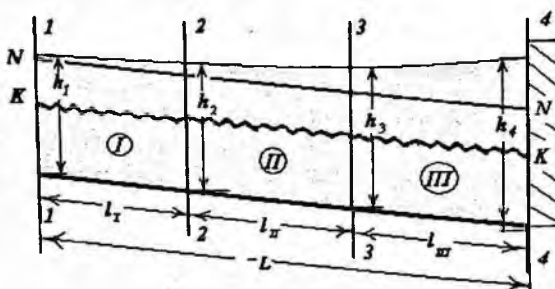
\bar{h}_{sp} - magistral kanalda ko'tarılma egri chiziqli sath hosil bo'ladigan soha uchun o'rtacha suv chuqurligi (1-1 kesimdan to 4-4 kesimgacha).

$\bar{\omega}_{sp}$, \bar{x}_{sp} , \bar{R}_{sp} - shu o'rtacha chuqurlik \bar{h}_{sp} uchun hisoblangan kanalning gidravlik elementlari.

Ko'tarılma egri chiziqli sirtning umumiyligi uzunligi

$$l = l_I + l_{II} + l_{III}$$

$$\bar{h} = \frac{h_1 + h_2}{2}; \quad \bar{j} = \frac{\alpha \cdot i \cdot \bar{C}^2 \cdot \bar{B}}{g \cdot \bar{x}} = \frac{\alpha \cdot i \cdot \bar{R}^{1/3} \cdot \bar{\beta}}{g \cdot n^2 \cdot \bar{x}}; \quad \bar{B} = b + 2 \cdot m \cdot \bar{h}.$$



15.6 -rasm. Sath egri chizig‘ini qurish.

Jadval natijalariga asosan magistral kanalda to‘suvchi inshoot oldidagi erkin sirt egriligin chizamiz (15.6 -rasm).

Masala: Magistral kanalda to‘suvchi inshoot oldidagi erkin sirt egriligin chizing, quyidagi parametrlar berilgan bo‘lsa: $Q = 47,66 \text{ m}^3/\text{s}$; $b = 12 \text{ m}$; $m = 1,5$; $n = 0,025$; $\ell = 8000 \text{ m}$; $i = 0,002$; $h_{ber} = 4,0 \text{ m}$. Kanalda suv oqimining normal chuqurligi $h_0 = 3,0 \text{ m}$.

Yechish tartibi:

1. Kanaldagi normal chuqurligi: $h_0 = 3,0 \text{ m}$.

2. Kritik chuqurlikni h_k aniqlaymiz

a) Agroskin usuli:

Oldin to‘g‘ri to‘rtburchak shaklidagi kanal uchun kritik chuqurlikni aniqlaymiz:

$$h_{kn} = 0,482 \cdot q^{2/3} = 0,482 \cdot \left(\frac{47,66}{12} \right)^{2/3} = 1,21 \text{ m}$$

$$\text{yordamchi koefitsiyent } \sigma_n = \frac{m \cdot h_{kn}}{b} = \frac{1,5 \cdot 1,21}{12} = 0,152$$

R.R. Chugayev kitobidan, 239 - betdagи 7-16 $K = f(\sigma_n)$ chizmadan « σ_n » -ga qarab, « K » qiymatini grafikdan olamiz:

$$K = 0,955.$$

Demak $h_k = K \cdot h_{kn} = 0,955 \cdot 1,21 = 1,175 \approx 1,2 \text{ m}$.

b) TIMI “Gidravlika” kafedrasida ishlab chiqilgan usul asosida (A.M.Arifjanov usuli):

$$h_{kv} = (0,73 - 0,12 \ln \frac{mh_{el}}{b_{no}}) \cdot h_{el}$$

$$h_{kv} = 1,18 \text{ m.}$$

3. Oqim erkin sath egrilikning shaklini aniqlaymiz.

Kanal tub nishabligi $i = 0,002 > 0$ bo‘lganligi uchun, kanal “A” guruhga kiradi. Kanaldagi suv oqimining normal chuqurligi kritik chuqurligidan katta bo‘lgani ($h_0 = 3,0 \text{ m} > h_{kp} = 1,2 \text{ m}$), va tub nishabligi $i < i_{kp}$ sababli kanal 1-chi sinfiga qarashli. Berilgan chuqurlik $h_{ber} = 4,0 \text{ m} > h_0 = 3,0 \text{ m}$ bo‘lganligi uchun erkin sirtning egriligi “a” sohada joylashgan va uning shakli – egri ko‘tarılma +a₁ bo‘ladi.

4. O'zanning gidravlik ko'rsatkichini aniqlaymiz "x":

Aniqlangan "a" sohadagi o'rtacha chiqurlik:

$$\bar{h}_c = \frac{h_0 + h_{sep}}{2} = \frac{3,0 + 4,0}{2} = 3,5 \text{ m},$$

$$\bar{\beta}_c = \frac{b}{\bar{h}_c} = \frac{12}{3,5} = 3,43.$$

O'zanning gidravlik ko'rsatgichi R.R.Chugayev formulasiga asosan:

$$x = 3,4 \cdot \left| 1 + \frac{m}{\bar{\beta}_c + m} \right| - 1,4 \cdot \frac{2 \cdot m'}{\bar{\beta}_c + 2 \cdot m'} = 3,4 \cdot \left| 1 + \frac{1,5}{3,43 + 1,5} \right| - 1,4 \cdot \frac{2 \cdot 1,803}{3,43 + 2 \cdot 1,803} = 3,67$$

$$\text{bu yerda } m' = \sqrt{1 + m^2} = \sqrt{1 + 1,5^2} = 1,803.$$

Shu qiymatga eng yaqin bo'lgan jadvaldagagi qiymatini qabul qilamiz $x=3,75$.

5. Endi $h_{ber}=4,0 \text{ m}$ - dan kichik va $h_0=3,0 \text{ m}$ - dan kattaroq bo'lgan bir nechta h qiymatlarni qabul qilamiz, va har bittasi uchun nisbiy chiqurliklar qiymatlarini aniqlaymiz. Misol uchun $h_1=3,8 \text{ m}$ bo'lganda:

$$\eta_2 = \frac{h_{sep}}{h_0} = \frac{4,0}{3,0} = 1,33$$

$$\eta_1 = \frac{h_1}{h_0} = \frac{3,8}{3,0} = 1,267$$

Ilovadagi 14-jadvaldan, aniqlangan η_1 va η_2 $x=3,75$ uchun $\phi(\eta_1)$ va $\phi(\eta_2)$ qiymatlarini qabul qilamiz:

$(\eta_1)_x = 1,267$ uchun o'ziga mos bo'lgani yuq ekan, eng yaqin bo'lgan jadvaldagagi qiymatlar –

kattaroq bo'lgan $(\eta_2)_x = 1,27$ –

$\phi(\eta_2)_x = 0,233$

kichikroq bo'lgan $(\eta_1)_x = 1,26$ –

$\phi(\eta_1)_x = 0,240$

ularning farqi: $0,01 * -0,007$

Demak interpolatsiya usulini qo'llab, bizga kerakli bo'lgan qiymatni aniqlaymiz:

$$\phi(\eta_2) = 0,24 + (1,267 - 1,26) \cdot \frac{(-0,007)}{0,01} = 0,2351$$

$(\eta_2)_x = 1,33$ uchun jadvaldan $\varphi(\eta_1) = \varphi(1,333) = 0,1955$ olamiz.

6. Har bir qism uchun suv chuqurligining o'rtacha qiymatini aniqlaymiz:

$$\bar{h} = \frac{h_1 + h_2}{2}.$$

Misol uchun, suv oqimi o'rtacha chuqurligi $\bar{h} = 3,5$ m uchun:
tirik kesim yuzasi: $\bar{\omega} = \bar{h} \cdot (b + m \cdot \bar{h}) = 3,5 \cdot (12 + 1,5 \cdot 3,5) = 60,38 \text{ m}^2$;

ho'llangan perimetri: $\bar{\chi} = b + 2 \cdot \bar{h} \cdot \sqrt{1 + m^2} = 12 + 2 \cdot 3,5 \cdot \sqrt{1 + 1,5^2} = 24,6 \text{ m}$;

gidravlik radiusi: $\bar{R} = \frac{\bar{\omega}}{\bar{\chi}} = \frac{60,38}{24,6} = 2,454 \text{ m}$;

o'zan sathidagi oqim kengligi: $\bar{B} = b + 2 \cdot m \cdot \bar{h} = 12 + 2 \cdot 1,5 \cdot 3,5 = 22,50 \text{ m}$.

Unda o'rtacha ishqalanish nishabligi: $\bar{j} = \frac{\alpha \cdot i}{g \cdot n^2} \cdot \bar{R}^{1/3} \cdot \frac{\bar{B}}{\bar{\chi}} = 0,047$, va
 $1 - \bar{j} = 0,953$.

Hamma aniqlangan kattaliklarni jadvalga yig'ib, hisoblaymiz:

15.6- jadval

Uchastka larning №№	Kesim larning №№	h	η	$\varphi(\eta)$	\bar{h}	$\bar{\omega}$	$\bar{\chi}$	\bar{R}	\bar{B}	\bar{j}	Izoh
3	4	4,00	1,33	0,195	3,	69,62	26,04	2,67	23,	0,045	$x=3,75$ $i=0,002$ $n=0,025$ $j = \frac{\alpha \cdot i}{g \cdot n^2} \cdot \bar{R}^{1/3} \cdot \frac{\bar{B}}{\bar{\chi}}$ $\frac{\alpha \cdot i}{g \cdot n^2} = 0,0399$
	3	3,80	1,26	0,235							
2	3	3,80	1,26	0,235	3,	64,94	25,34	2,5	23,	0,044	
	2	3,60	1,20	0,292							
1	2	3,60	1,20	0,292	3,	60,38	24,	2,4	22,	0,044	
	1	3,40	1,13	0,379							

8. Har bir qismning uzunligini quyidagi formula bo'yicha aniqlaymiz:

$$\ell = \frac{h_0}{i} \cdot (A_2 - A_1),$$

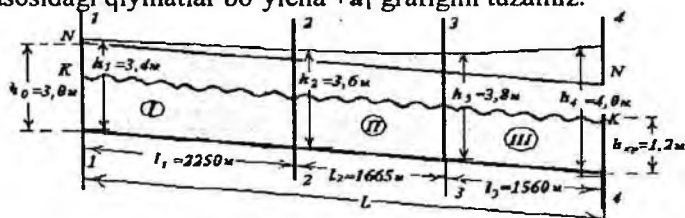
bu yerda $A_2 = \eta_2 - (1-j) \cdot \varphi(\eta_2)$ va $A_1 = \eta_1 - (1-j) \cdot \varphi(\eta_1)$.

Hisoblash natijalarini quyidagi jadvalga tushiramiz:

15.7- jadval

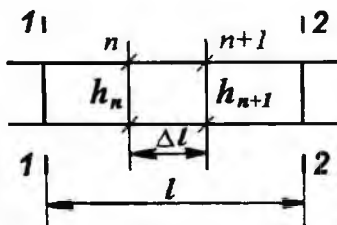
Uchastkalarning №№	A_2	A_1	$A_2 - A_1$	ℓ	Izoh
3	1,146	1,042	0,104	1560	$\frac{h_0}{i} = 15000$
2	1,032	0,921	0,111	1665	
1	0,921	0,771	0,150	2250	

Jadval asosidagi qiymatlar bo'yicha $+a_1$ grafigini tuzamiz.



15.7-rasm. Charnomskiy usulida notejis harakat differensial tenglamarasini integrallash.

Bu usulda o'zan bir necha (n) kichik qismlarga ajratiladi. U holda Bernulli tenglamaridan foydalanib oqim energiyasining o'zgarishi aniqlanadi.



$$\frac{\Delta \Theta}{\Delta l} = i - J_e; \quad \Delta l = \frac{\Delta \Theta}{i - J_e} = \frac{\beta_2 - \beta_1}{i - J_e}$$

$$\Delta \Theta = (h_{n+1} + \frac{\alpha g^2}{2g}) - (h_n + \frac{\alpha g^2}{2g})$$

bu yerda: Δl - kesimlar orasidagi masofa;

β_1, β_2 - 1-1 va 2-2 kesimlardagi oqimning solishtirma energiyasi;

h_n, h_{n+1} - n va $n+1$ qismlardagi suv oqimining chuqurligi;

α, g - n va $n+1$ qismlardagi oqim tezligi.

Har bir qism (n) uchun sath egrilik uzunligi aniqlanadi:

$$l = \sum_{n=1}^m \frac{\Delta \vartheta}{i - \bar{J}_{bn}};$$

$$\bar{J}_e = \frac{\overline{g^2}}{C^2 R}, \text{ agar } C = \frac{1}{n} R^{1/6} \text{ bo'lsa, u holda}$$

$$\bar{J}_e = \left| \frac{\overline{g \cdot n}}{\overline{R}^2} \right|^2 = \left| \frac{Q \cdot n}{\omega \cdot \overline{R}^3} \right|^2$$

bu yerda: $\bar{\omega}, \bar{R}$ - bir qismidagi gidravlik elementlarning o'rtacha qiymatlari, o'rtacha chuqurlik \bar{h} uchun hisoblangan.

Erkin sirt egri chizig'i uzunligini aniqlash

Masala.

Trapetsiya shakldagi kanalda erkin egri suv sathi chizig'i - egri pasayma kuzatiladi. Charnomskiy usulini qo'llab, shu chiziqni quyidagi kattaliklar uchun qurish kerak: $Q=47,66 \text{ m}^3/\text{s}$; $h_0=3,0 \text{ m}$ (kanal normal chuqurligi); $b=12 \text{ m}$ (kanal tubidagi eni); $m=1,5$; $n=0,025$; $i=0,0002$; $\ell=12000 \text{ m}$ (kanal uzunligi); $h_2=2,4 \text{ m}$ (kanal so'ngi kesimdagisi suv chuqurligi).

Yechish tartibi:

Kanal so'ngi kesimdagisi suv chuqurligi bizga ma'lum bo'lganligi uchun erkin egri suv sathi chizig'igining nuqtalarini aniqlanishini shu chuqurlikdan boshlaymiz.

1. Berilgan chuqurlik $h_2=2,4 \text{ m}$ uchun bizga kerakli bo'lgan gidravlik elementlarni hisoblaymiz:

tirik kesim yuzasi: $\omega_2 = (b + m \cdot h_2) \cdot h_2 = (12 + 1,5 \cdot 2,4) \cdot 2,4 = 37,44 \text{ m}^2$;

kanaldagi suv oqimining o'rtacha tezligi: $\varrho_2 = \frac{Q}{\omega_2} = \frac{47,66}{37,44} = 1,27 \text{ m/s}$;

ho'llangan perimetri: $\chi_2 = b + 2 \cdot h_2 \cdot \sqrt{1 + 1,5^2} = 12 + 2 \cdot 2,4 \cdot \sqrt{1 + 1,5^2} = 20,64 \text{ m}$;

gidravlik radiusi: $R_2 = \frac{\omega_2}{\chi_2} = \frac{37,44}{20,64} = 1,81 \text{ m}$;

kesim solishtirma energiyasi:

$$\mathcal{E}_2 = h_2 + \frac{\alpha \cdot Q^2}{2 \cdot g \cdot \omega_2^2} = 2,4 + \frac{1,1 \cdot 47,66^2}{2 \cdot 9,81 \cdot 37,44^2} = 2,49 \text{ m.}$$

2. $h_1=2,5 \text{ m}$ deb qabul qilamiz. Unda xuddi yuqorida ko'rsatilganidek:

$$\omega_1 = 39,38 \text{ m}^2; g_1 = 1,21 \text{ m/s}; x_1 = 21,0 \text{ m}; R_1 = 1,87 \text{ m}; \mathcal{E}_1 = 2,58 \text{ m.}$$

3. Chuqurligi $h_1=2,5 \text{ m}$ teng bo'lgan 1-1 kesimdan to chuqurligi $h_2=2,4 \text{ m}$ teng bo'lgan 2-2 kesimgacha solishtirma energiyalarning o'zgarishi bo'ladi:

$$\Delta \mathcal{E} = \mathcal{E}_2 - \mathcal{E}_1 = 2,49 - 2,58 = -0,091 \text{ m.}$$

4. Ko'rileyotgan uchastka uchun g va R o'rtacha qiymatlarni aniqlaymiz:

$$\bar{g} = \frac{g_1 + g_2}{2} = \frac{1,21 + 1,27}{2} = 1,24 \text{ m/s;}$$

$$\bar{R} = \frac{R_1 + R_2}{2} = \frac{1,87 + 1,81}{2} = 1,84 \text{ m.}$$

Demak,

$$\bar{I}_e = \left| \frac{\bar{g} \cdot n}{\bar{R}^{2/3}} \right|^2 = \left| \frac{1,24 \cdot 0,025}{1,84^{2/3}} \right|^2 = 0,00042.$$

5. Tenglamadan $\Delta \ell$ ni aniqlaymiz:

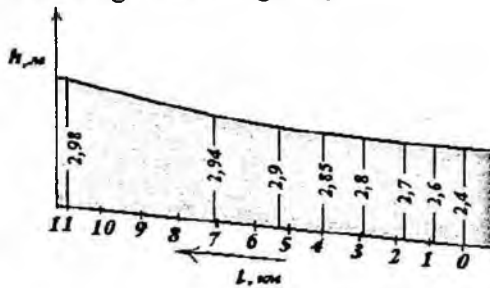
$$\Delta \ell = -\frac{\Delta \mathcal{E}}{i - \bar{I}_e} = -\frac{0,091}{0,0002 - 0,00042} = 404 \text{ m.}$$

Suv chuqurligi uchun h_1 bir necha qiymatlarni berib, hisoblashni yuqorida ko'rsatilgan tartibda olib borib, natijalarini jadvalga tushiramiz.

h	ω	g	\bar{g}	x	R	\bar{R}	E	$\Delta \mathcal{E}$	$\bar{I}_e \cdot 10^{-4}$	$\Delta \ell$	ℓ
2,4 0	37,4 4	1,27 3	1,24 2	20,8 4	1,81 4	1,84 5	2,49 1	-	4,23	404	0
2,5 0	39,3 8	1,12 0	1,18 2	21,0 0	1,87 5	1,90 5	2,58 2	0,0	91	3,65	554
2,6 0	41,3 4	1,15 3	1,12 7	21,3 6	1,93 5	1,96 5	2,67 4	-	92	3,17	804
2,7 0	43,3 4	1,10 0	1,07 6	21,7 2	1,99 5	2,02 5	2,76 8	0,0	2,77	122	1762
2,8 0	45,3 6	1,05 1	1,04 0	22,0 8	2,05 4	2,06 9	2,86 2	-	94	2,50 2,35	940 3923
								-	2,21	137	5295
								0,0	2		7105

2,8 5	46,3 8	1,02 8	1,01 7	22,2 6	2,08 4	2,09 8	2,90 9	94	2,10	181 0	
2,9 0	47,4 2	1,00 5	0,99 7	22,4 4	2,11 3	2,12 5	2,95 7	0,0 47		380 0	
2,9 4	48,2 5	0,98 8	0,97 8	22,5 8	2,13 6	2,14 8	2,99 5	-			
2,9 8	49,0 8	0,97 1		22,7 3	2,10 0		3,03 3	0,0 -			
								0,0 38			
								- 0,0 38			

Jadval asosida erkin egri sath chizig'ini quramiz:



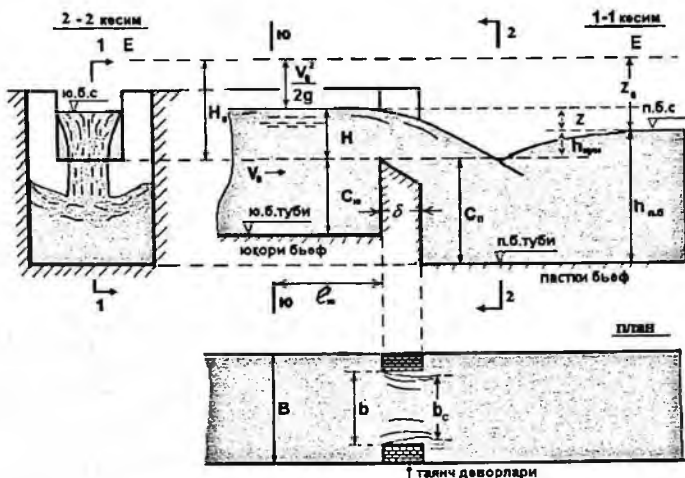
15.8-rasm. Erkin egri sath chizig'I grafigi.

XV bob bo'yicha nazorat savollari:

1. Barqaror notekis harakat differensial tenglamasi.
2. Erkin sirt egriligining shakli. Erkin egri suv sathi chizig'i.
3. Notekis harakat differensial tenglamasining (integrlash) tahlili.
4. Charnomskiy usulida notekis harakat differensial tenglamasini integrlash.

16. 1. Suv o'tkazgichlar. Asosiy tushunchalar va suv o'tkazgichlar tasnifi

Suv o'tkazgichlar deb, oqim harakati yo'liga qurilgan to'siq(devor)qa atyiladi. Devorning suv oshib o'tayotgan qismi **suv o'tkazgich devori** deb ataladi.



16.1-rasm. Suv o'tkazgich sxemasi.

Suv o'tkazgich devorigacha bo'lgan soha - yuqori byef (YUB), devordan keyingi soha - pastki byef (PB) deb ataladi.

Quyidagi belgilashlarni kiritamiz:

ю.б.с – yuqori byefdagi suv sathining belgisi;

п.б.с – pastki byefdagi suv sathining belgisi.

b – suv o'tkazgich devorning kengligi;

δ – suv o'tkazgich devorning qalinligi;

S_y va S_n – suv o'tkazgich devorning yuqori va pastki byeflar tomonidan balandliklari;

B_o – suv o'tkazgich qurilgan o'zan kengligi;

Z – suv o'tkazgichdagi geometrik farq, ya'ni yuqori va pastki byeflardagi suv oqimi satlari farqi;

$$Z_0 - \text{suv o'tkazgichdagi to'liq farq}: Z_0 = Z + \frac{\alpha g_0^2}{2g};$$

ϑ_0 - **YU-YU** kesimdagи оqимнинг о'rtacha tezligи, yoki yaqinlashish tezligи
 $\vartheta_0 = \frac{Q}{\omega}$;

ω - (**YU-YU**) kirish qismidagi tirk kesim yuzasi;

H - suv o'tkazgichdagi geometrik napor, bu suv o'tkazgich devoridan suv sathigacha

bo'lgan masofa;

H_0 - suv o'tkazgich oldidagi to'liq napor:

$$H_0 = H + \frac{\alpha g_0^2}{2g}$$

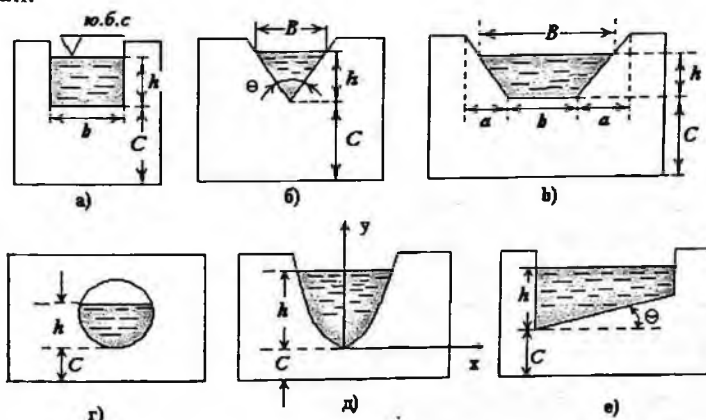
$h_{\text{кym}}$ - suv o'tkazgichdagi ko'milish chuqurligi $h_{\text{кym}} = h_{n,\sigma} - C_n$;

l_yu - suv oqimi sathi egrilanib tushishi boshlanadigan **YU-YU** kesimgacha bo'lgan masofa, tajribalar natijasiga asosan quyidagicha aniqlanadi:

$$l_b = (3 \div 5)H.$$

Suv o'tkazgichlar tasnifi

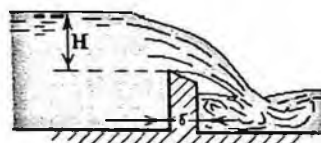
1. Suv o'tkazgich *qirqimining shakli bo'yicha* (16.2 -rasm): a) to'g'ri to'rburchakli; b) uchburchakli; v) trapetsiya ko'rinishida; g) aylana; d) parabola; e) qiya ostonalisi.



16.2 – rasm. Suv o'tkazgich qirqimining shakllari.

2. Suv o'tkazgich devorning ko'ndalang kesim shakli va kengligi bo'yicha:

a) *yupqa devorli suv o'tkazgichlar* (16.3 – rasm).



16.3 – rasm. Yupqa devorli suv o'tkazgich.

b) *amaliy profilli suv o'tkazgichlar* (16.4 – rasm).

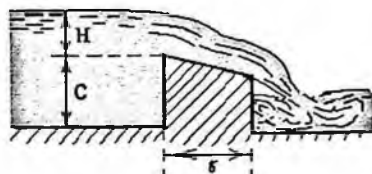
Bunday suv o'tkazgichlarda $0,67 \cdot H < \delta > 2 \cdot H$

shart bajariladi.

Bunday o'tkazgichlarda oqimning harakatiga faqat suv o'tkazgich devorning yuqori ostonasi ta'sir ko'rsatadi. Bunday suv o'tkazgichlarda ostonaning kengligi:

$$\delta \leq (0,1 + 0,67)H$$

shart bajariladi.



16.4 – rasm. Amalliy profilli suv o'tkazgichlar.

v) *keng ostonali suv o'tkazgichlar* (16.5 – rasm).

Bunday suv o'tkazgichlarda δ kenglik quyidagi ikki shartni qanoatlantirishi kerak:

1) δ uzunligida energiyaning uzunlik bo'yicha yo'qolishi hisobga olmasa ham bo'ladigan darajada kichik bo'lishi kerak;

2) δ - uzunlik ma'lum qismida oqimning tekis o'zgaruvchan harakati kuzatilishi kerak, bunda

$$2H \leq \delta \leq 8H$$

shart bajariladi.

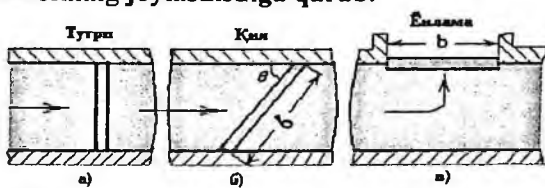
$\delta > 8H$ bo'lganda suv o'tkazgich emas, kanal bo'lishi mumkin,

$\delta < 2H$ bo'lganda esa suv oqimining tekis o'zgaruvchan harakati amalga oshmaydi.

3. Planda suv o'tkazgich devorining joylashishiga qarab:

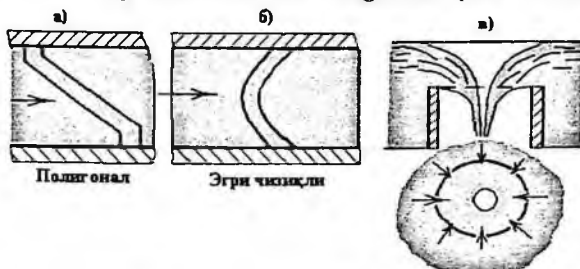
a) *to'g'ri yoki oqimga perpendikulyar suv o'tkazgichlar* (16.6-rasm):

Chizmada suv oqimiga to'g'ri (a), qiya (б) va yon tomondan (в) joylashgan suv o'tkazgichlar keltirilgan.



16.6-rasm. Qirrasi to'g'ri chiziqli bo'lgan suv o'tkazgichlar.

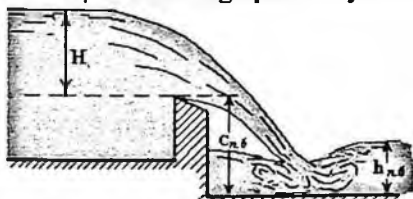
b) *qirrasi egri devorli suv o'tkazgichlar* (16.7-rasm):



Chizmada poligonal (a), egri chiziqli (б), yopiq, xususan aylana shaklda (в) suv o'tkazgichlar ko'rsatilgan.

16.7-rasm. Planda qirrasi egri chiziq bo'lgan suv o'tkazgichlar.

4. Oqim harakatiga patski byef ta'siriga qarab:



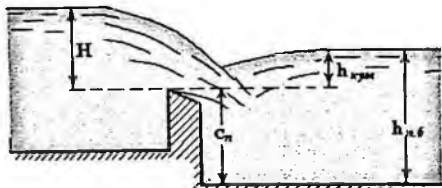
16.8-rasm. Ko'milmagan suv o'tkazgich

a) *Ko'milmagan suv o'tkazgichlar.*

Bunda yuqori byefdagi oqim sarfi (Q), napor (H) va pastki byefdagi $h_{p,b}$ chuqurlikka bog'liq emas, demak

$$h_{n,6} \leq C_n \text{ yoki } h_{b,n} = h_{n,6} - C_n < 0$$

bu yerda C_p – suv o'tkazgich devorining pastki byef tomonidan balandligi.



16.9-rasm - Ko'milgan suv o'tkazgich.

b) *Ko'milgan suv o'tkazgich* (16.9-rasm).

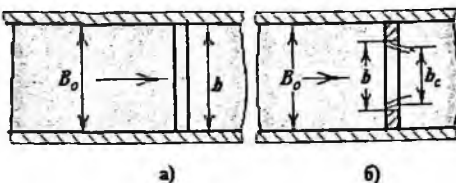
Bunda byefdagi oqim sarfi (Q), napor (H) va pastki byefdagi $h_{p,b}$ chuqurligiga bog'liq.

$$h_{n,6} > C_n \quad \text{yoki} \quad h_{\text{on}}, h_{n,6} - C_n > 0$$

5. Suv oqimining plandagi siqilishiga qarab: (b va B_o kattaliklar munosabati bilan tasniflanadi).

a) $b=B_o$, bo'lgan holda, yon tomonidan oqimning siqilishi bo'lmagan suv o'tkazgichlar (16.10-rasm -a).

b) $b < B_o$, bo'lganda, oqimning yon tomonidan siqilishi bor bo'lgan suv o'tkazgichlar (16.10-rasm -b).

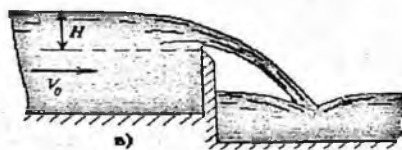
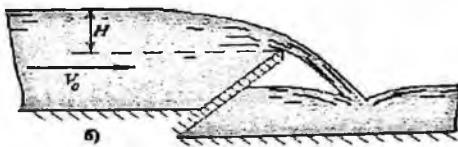
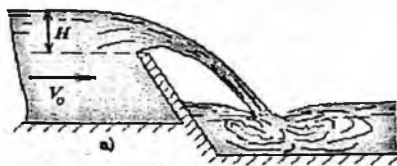


16.10-rasm - Oqim yon tomonidan va siqilgan holatdagi suv o'tkazgichlar.

6. Suv o'tkazgichlarni oldingi qirrasini qiyaligi bo'yicha:

a) oldingi qirrasining qiyaligi yuqori byef tomoniga;

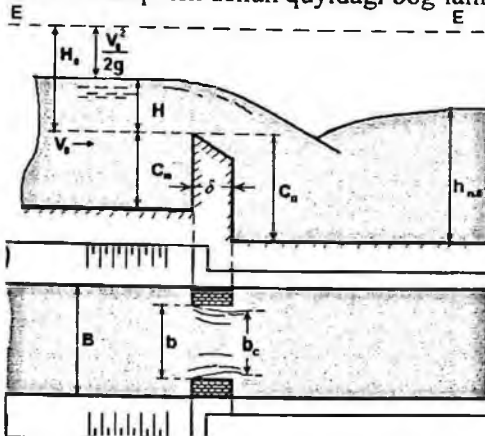
b) oldingi qirrasini qiyaligi pastki byef tomoniga;



v) oldingi qirrasi vertikal.

16.2 . Suv o'tkazgichlarning asosiy hisoblash formulasi

Suv o'tkazgichlarning asosiy hisoblash formulasini (16.11-rasm) keltirib chiqarish uchun quyidagi bog'lanishlardan foydalananamiz:



16.11-rasm – Suv o'tkazgichning plan va sxemasi.

$$Q = \omega \cdot \vartheta$$

$$\omega :: b, H$$

$$\vartheta :: \sqrt{2gH}$$

$$Q :: (b, H) \cdot (\sqrt{2gH})$$

$$Q = m \cdot b \cdot H \cdot \sqrt{2gH}$$

Bunda “*m*” – proportsio-nallik koeffitsiyenti–suv o'tkazgichning *sarf koef-fitsienti* deb ataladi.

Tenglamani quyidagi ko'rinishda yozish mumkin:

$$Q = m \cdot b \cdot \sqrt{2g} \cdot H^{3/2}$$

yoki oxirgi ko'rinishda

$$Q = m \cdot b_c \sqrt{2g} \cdot H^{3/2}$$

1. Bunda $H_0 = H + \frac{\alpha \cdot \vartheta_0^2}{2g}$ - suv oqimining yaqinlashish tezligini hisobga olgan holda.

2. Yon siqilishini hisobga olish:
 $b_c = \varepsilon \cdot b$,

bu yerda ε - yon siqilish koeffitsiyenti.

3. Suv o'tkazgich ostonasining yuqori byef tomonidan shaklini hisobga olganda - sarf koeffitsiyenti *m* orqali.

4. Pastki byef tomonidan ko'milishini (σ_{yew} - ko'milish koeffitsiyenti) hisobga olganda σ_{yew} - koeffitsiyent Bazen formularni orqali aniqlanadi:

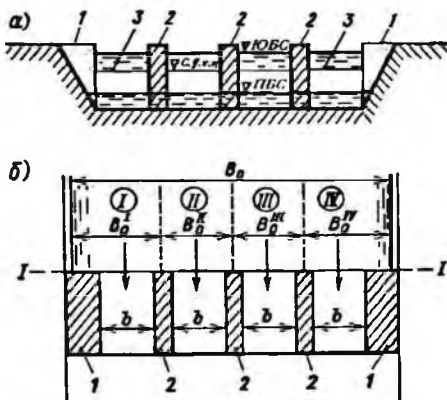
$$\sigma_{\text{yew}} = 1,05 \cdot (1 + 0,2 \frac{H_{\text{yew}}}{C}) \cdot \sqrt[3]{\frac{Z}{H}}$$

U holda suv o'tkazgichlarning asosiy hisoblash formularasi:

$$Q = \sigma_{\text{yew}} \cdot m \cdot \varepsilon \cdot b \cdot \sqrt{2g} \cdot H_0^{3/2}$$

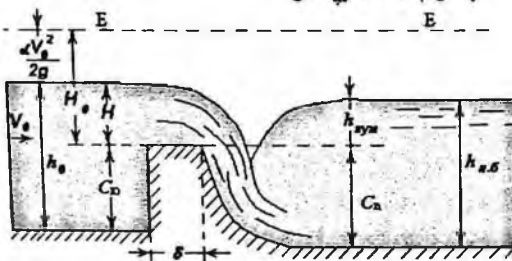
16.3. Amaliy profilli suv o'tkazgichlar

Amaliy devorli suv o'tkazgichlar gidrotexnik inshootlarning elementlari sifatida juda ko'p qo'llaniladi. Ostona kengligi bu xil suv o'tkazgichlarda (16.12-rasm) quyidagicha bo'ladi: $0,67 \cdot H < \delta < 2 \cdot H$.



Suv o'tkazgichidan o'tayotgan sarf formulasasi:

$$Q = \sigma_{by} \cdot \epsilon \cdot m \cdot b \cdot \sqrt{2g} \cdot H_0^{3/2}$$



16.12-rasm - Amaliy profilli suv o'tkazgichlar.

Formuladagi hadlarni aniqlaymiz:

1. *Yaqinlashish tezligini hisobga olish shartlari:*

a) Agar $\vartheta_0 \geq 0,361\sqrt{H}$ bo'lsa

$$(\vartheta_0 = \frac{Q}{w_0})$$

$$H_0 = H + \frac{\alpha \cdot \vartheta_0^2}{2 \cdot g},$$

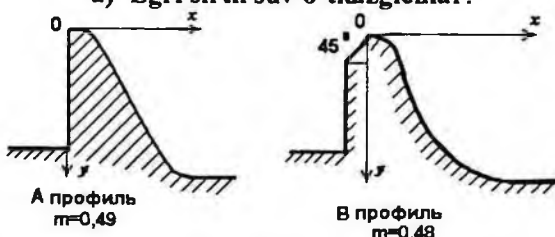
$\alpha = 1$ deb qabul qilamiz (Koriolis koeffitsiyenti).

b) Agar $\vartheta_0 \leq 0,361\sqrt{H}$ bo'lsa, unda $H_0 = H$ bo'ladi.

2. Suv o'tkazgichni *kirish qismini hisobga olish* (sarfl koeffitsiyentini *m* aniqlash).

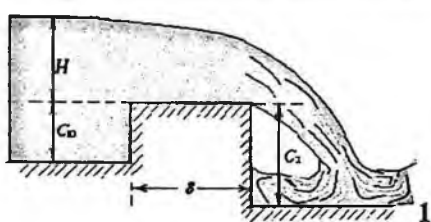
Bu holda suv o'tkazgichlarning quyidagicha qo'shimcha tasnifmi e'tiborga olishga to'g'ri keladi.

a) Egri sirtli suv o'tkazgichlar:



A profil - vakuumsiz suv o'tkazgichlar uchun sarf koeffitsiyenti $m=0,49$ teng. Bunda oqim ostidagi bosim atmosfera bosimi bilan deyarli bir hil bo'ladi.

B profil uchun sarf koeffitsiyenti $m=0,48$, suv o'tkazish qobiliyatni ko'payadi, lekin kavitatsiya hodisasi mavjud bo'ladi.



6.13-rasm - Poligonal to'r burchak shaklidagi suv o'tkazgich sxemasi.

agar $0,5 \cdot H < \delta < 2 \cdot H$ va kirish qismidagi qirrasi egri shaklda bo'lsa (16.14-rasm):

$$m = 0,44 \left(0,7 + 0,185 \cdot \frac{H}{\delta} \right)$$

c) Trapetsiya shaklidagi suv o'tkazgichlar (16.25-rasm).

$$\operatorname{ctg} \theta' = S' \quad \operatorname{ctg} \theta'' = S''$$

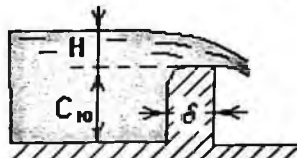
$$m = f \left(\frac{H}{\delta}; S'; S'' \right)$$

$$2H < C_s < 3H$$

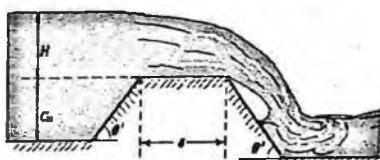
b) Poligonal suv o'tkazgichlar Sarf koeffitsiyentini (m) V.A.Bolshakov formulasi asosida aniqlaymiz:

agar $\delta > 0,6 \cdot H$ (16.13-rasm)

$$m = 0,42 \cdot (0,7 + 0,185 \cdot \frac{H}{\delta})$$



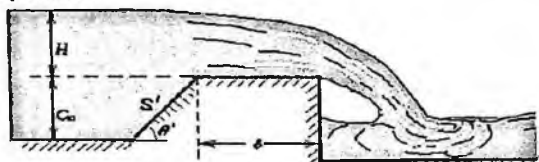
16.14-rasm - Kirish qismidagi qirrasi aylana shakildagi suv o'tkazgich.



16.15-rasm - Trapetsiya shaklidagi suv o'tkazgich sxemasi.

Devor balandligiga qarab, amaliy profilli suv o'tkazgichlar quyidagicha tasniflanadi:

1. Past devorli suv o'tkazgichlar ($0,5 < \frac{C_o}{H} < 2$) 16.16 va 16.17 rasmlarda ko'rsatilgan shakllar uchun sarf koeffitsiyenti (m) quyidagicha aniqlanadi:



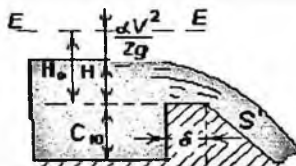
$$m = \frac{\frac{\delta}{H_0}}{B \frac{\delta}{H_0} - C}$$

16.16-rasm - Kirish qismidagi qirrasi trapetsiya shakldagi suv o'tkazgich.

Formuladagi "B" va "C" qiymatlarini, yuqori byef tomondagi suv o'tkazgich qirrasining gorizontga bo'lgan burchakning kotangensi bilan bog'langan holda quyidagi jadvaldan aniqlanadi:

16.1 -jadval

S	1	2	3	5	10
B	2,9	2,81	2,79	2,77	2,72
C	0,27	0,21	0,2	0,17	0,09



16.17- rasm – Pastki byef tomondagi qirrasi trapetsiya shakldagi suv o'tkazgich.

29-rasmagi poligonal suv o'tkazgichlar uchun sarf koeffitsiyenti «m» qiymatlari pastki tomondagi suv o'tkazgich qirrasining gorizontga bo'lgan burchakning kotangesi S' va δ/H_0 -ga bog'liq holda quyidagi jadvaldan aniqlanadi (16.2-jadval):

16.2-

jadval

S'	Sarf koeffitsiyenti «m» qiymatlari: δ/H_0 asosida						
	0,3	0,5	0,7	1,0	1,5	2,0	2,5
1	0,46	0,415	0,395	0,37	0,35	0,34	0,335

2	0,445	0,42	0,4	0,375	0,345	0,33	0,33
3	0,42	0,4	0,38	0,36	0,335	0,325	0,325
5	-	0,38	0,365	0,35	-	-	-
10	-	0,35	-	-	-	-	-

a-sarf koeffisienti huddi keng ostonalı suv o'tkazgichlar uchun qabul qilingandek olinadi.

2. *O'rta devorli suv o'tkazgichlar* ($2 < \frac{C_s}{H} < 3$ va $S = S' = 1 \div 2$)

Agar $\frac{\delta}{H} < 0,5$ bo'lsa, sarf koeffitsiyenti $m=0,445$ qabul qilinishi mumkin.

Agar $0,5 \leq \frac{\delta}{H} < 2$ bo'lsa, sarf koeffitsiyenti "m" quyidagi

formuladan topiladi:

$$m = \frac{1}{\sqrt{4,5 + 2 \frac{\delta}{H_0}}}$$

16.3-

jadval

$S \text{ va } S'$	H/δ			
	0,5	1,0	1,5	2,0
$S' = 1$	0,36	0,39	0,4	0,44
$S' = 2$	0,37	0,40	0,41	0,44
$S'' = 1$	0,33	0,37	0,41	0,42
$S'' = 2$	0,33	0,36	0,40	0,41

3. *Baland devorli* ($C_s \geq 3 \cdot H$ va $S = S' = 1 \div 2$) suv o'tkazgichlar uchun $\delta/H < 0,5$ bo'lganda sarf koeffitsiyenti $m=0,445$ teng deb qabul qilinadi.

$0,5 < \delta/H < 2$ bo'lganda esa, sarf koeffitsiyenti quyidagi formula yordami bilan aniqlanadi:

$$m = \frac{1}{\sqrt{4,2 + 2,5 \frac{\delta}{H_0}}}$$

16.4- jadval

$S \text{ va } S'$	H/δ			
	0,5	1,0	1,5	2,0
$S' = 3$	0,37	0,40	0,41	0,42
$S' = 5$	0,37	0,39	0,40	0,41
$S' = 10$	0,37	0,39	0,39	0,40

$S'' = 3$	0,34	0,36	0,38	0,40
$S'' = 5$	0,34	0,35	0,37	0,38
$S'' = 10$	0,34	0,35	0,36	0,36

2. Amaliy profilli suv o'tkazgichlar uchun **yon siqilish koeffitsiyentini aniqlash**

$$b_c = \varepsilon \cdot b$$

ε - yon siqilish koeffitsiyenti: tayanch va oraliq devorlarning (ustun) plandagi shakliga qarab, quyidagi formula orqali aniqlanadi:

$$\varepsilon = 1 - 0,2 \frac{\xi_y + (N-1) \cdot \xi_\sigma}{N} \cdot \frac{H_0}{b},$$

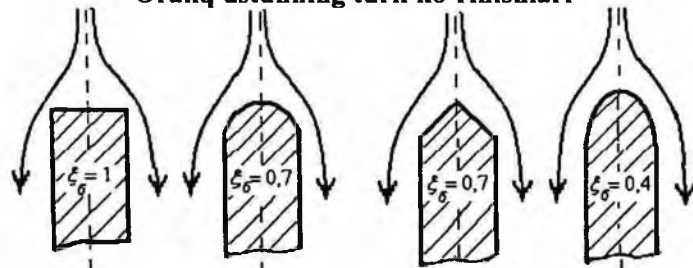
bunda: N - bo'limlar (oraliqlar) soni;

ξ_σ - torayish koeffitsiyenti bo'lib, tayanch devorlarining kirish qismi shakliga bog'liq,

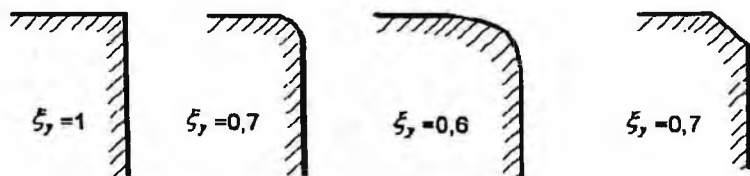
ξ_y - torayish koeffitsiyenti bo'lib, oraliqdagi tik devorning plandagi shakliga bog'liq;

b - bir oraliq kengligi.

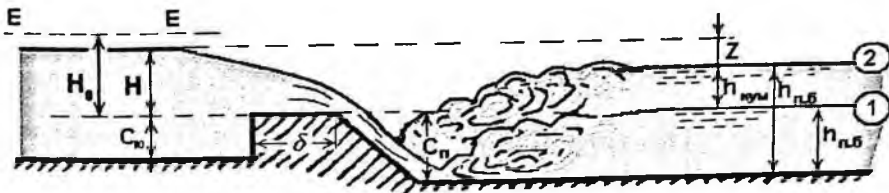
Oraliq ustunning turli ko'rinishlari



Tayanch devorlarning turli ko'rinishlari



3. Amaliy profilli suv o'tkazgichlarda **ko'milish koeffitsiyentini aniqlash.**



16.18-rasm - Amaliy profilli suv o'tkazgich sxemasi.

$$h_{n,0} = h_{n,0,0} - C_n$$

$$Z = H_0 - h_{n,0}$$

Quyidagi ikki shart bir vaqtida bajarilganda, suv o'tkazgichlar ko'milgan hisoblanadi:

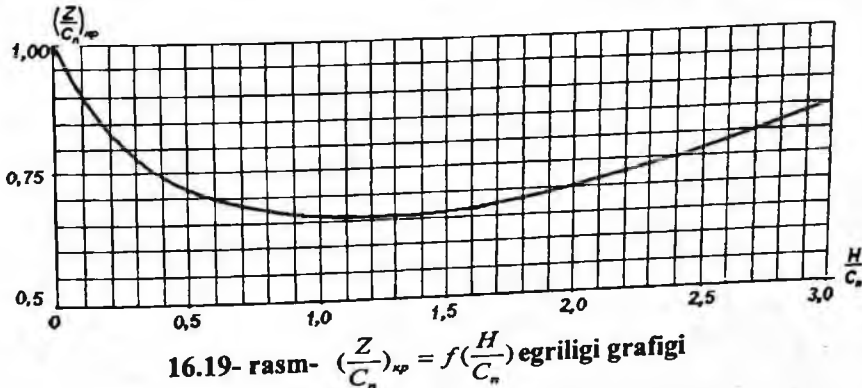
1) pastki byefdagi suv sathi o'tkazgich qirrasidan yuqori bo'lsa,
 $h_{n,0} > 0$;

2) pastki byefda oqimning tinch holatdagi harakati mavjud bo'lsa.

Agar oqim harakati notinch bo'lsa, pastki byefda haydalgan gidravlik sakrash ro'y beradi va shu sababli suv o'tkazgich ko'milmagan bo'ladi. [16.18-rasmdagi 1-chi vaziyat]. $B=B_0$ bo'lgan xususiy holda pastki byefda oqimning tinch harakati mavjud bo'lishi uchun quyidagi shart bajarilishi kerak:

$$\frac{Z}{C_n} = \left(\frac{Z}{C_n}\right)_{sp}, \quad \text{unda} \quad \sigma_{n,0} < 1.$$

Bunda sathlar orasidagi farqni (Z) suv o'tkazgich devorining pastki byefdagi balandligiga nisbatining kritik qiymati maxsus tajribalar asosida tuzilgan grafikdan topiladi (16.19- rasm).



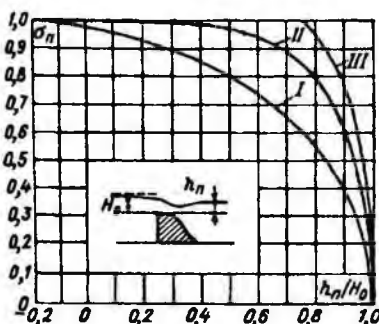
16.19- rasm- $\left(\frac{Z}{C_n}\right)_{sp} = f\left(\frac{H}{C_n}\right)$ egriligi grafigi

Shu grafikdan ko'rinib turibdiki, $(\frac{Z}{C_n})_{\text{vp}}$ qiymati asosan $0,5 \div 0,75$ oralig'ida o'zgaradi.

Agar suv o'tkazgich ko'milgan bo'lsa $(\frac{Z}{C_n}) \leq (\frac{Z}{C_n})_{\text{vp}}$ bo'ladi, ko'milish koeffitsiyenti σ_{sys} qiymatini G.D. Deryugin formulasi orqali aniqlasa bo'ladi:

$$\sigma_{\text{sys}} = \sqrt{1 - \left[1 - \left(1 - \frac{h_{\text{sys}}}{H_0} \right) \cdot \frac{1}{1 - \left(1 - \frac{m}{0,59} \right)^{\frac{2}{3}}} \right]^2}$$

Ko'milish koeffitsiyentining kattaligi tajribalar asosida qurilgan grafik yordamida ham aniqlanishi mumkin.



Grafikda uchta egrilik ifodalangan:

- I egrilik – vakuumli suv o'tkazgichlar uchun;
- II egrilik – normal ko'rinishdagi vakuumsiz suv o'tkazgichlar uchun;
- III egrilik – keng ostonalı suv o'tkazgichlarga o'xshash bo'lgan vakuumsiz keng qirrali suv o'tkazgichlar uchun.

Yoki quyidagi jadvaldan qabul qilishimiz mumkin.

Suv o'tkazgichlarning ko'milish koeffitsiyent σ_{sys} aniqlash jadvali

16.5 - jadval

$\frac{h_{\text{sys}}}{H}$	0	0,1	0,2	0,3	0,4	0,5	0,6	0,65	0,7	0,75	0,8	0,85	0,9	0,95	1,0
σ_{sys}	1	0,998	0,99	0,996	0,991	0,983	0,972	0,957	0,947	0,933	0,92	0,908	0,88	0,84	0

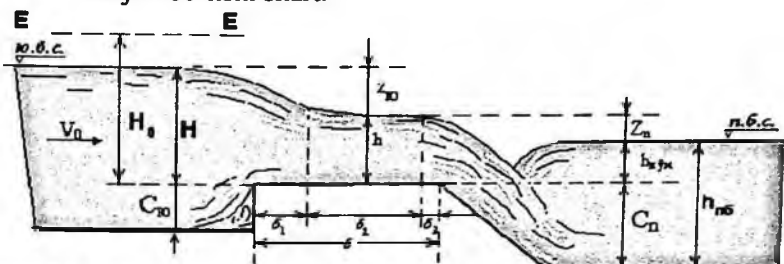
Agar shu shartlardan aqalli bittasi bajarilmasa, suv o'tkazgich ko'milmagan bo'lib, $\sigma_{\text{gov}} = 1$ bo'ladi.

16.4. Keng ostonali suv o'tkazgichlar

Keng ostonali (devorli) suv o'tkazgichlar gidrotexnik inshootlarning asosiy elementlari sifatida juda keng tarqalgan.

Uning gorizontall ostonasining eni $(2\dots 3)H \leq \delta \leq (8\dots 10)H$ oraliqda bo'ladi, unda:

- shu uzunlikda yo'qolish juda kichkina bo'lishi kerak;
- ostona ustidagi oqimning tinch holatdagi harakati gorizontal sohada mavjud bo'lishi shart.

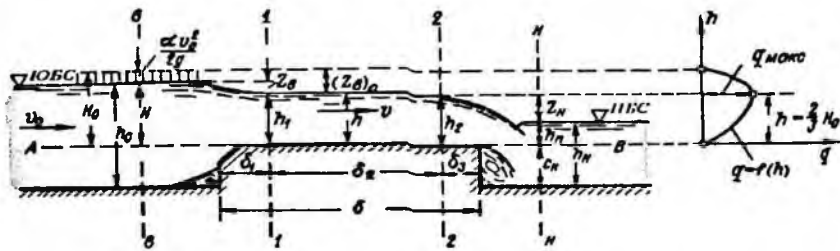


16.20- rasm - Keng ostonali ko'milgan suv o'tkazgich sxemasi.

Bu yerda: z_0 , z_n - keng ostonali ko'milgan suv o'tkazgichlarda suv sathining pasayishi.

Ostonadagi gorizontal sohaning boshlanishi va tugashi uzunligini quyidagi tajribaviy qiymatlarga teng deb qabul qilish mumkin: $\delta_1 = 2H$; $\delta_3 = (0 \div 1)H$.

Suv o'tkazgichda ostonaning ko'tarilganligi hisobiga harakatdagi kesim yuzasi kichiklashadi (chuqurlik kamaygani uchun). Buning natijasida, tezlik oshib, oqimning kinetik energiyasi oshadi va potentsial energiya kamayadi. Potentsial energiyaning kamayishi esa, o'z navbatida, oqimning erkin sirt egriligi pasayishiga olib keladi.



To‘g‘riburchakli, ko‘milmagan yon tomondan siqilishi yo‘q bo‘lgan keng devorli suv o‘tkazgichlarning asosiy sarfini topish formulasi.

D.Bernulli tenglamarasini 1-1 va 2-2 kesimlarga 0-0 solishtirish tekisligiga nisbatan yozsak, quyidagi formula kelib chiqadi (16.20-rasm).

$$Z_1 + \frac{P_1}{\rho g} + \frac{\alpha g^2}{2g} = Z_2 + \frac{P_2}{\rho g} + \frac{\alpha g^2}{2g} + h_{w_{1-2}} \quad (16.1)$$

Bunda: $Z=H$, $P_1=P_{atm}$, $\alpha_1=\alpha_0$, $Z_2=h$, $P_2=P_{atm}$, $\alpha_2=\alpha$;

$$h_{w_{1-2}} = h_{\alpha} = \xi_{c,y} \frac{g^2}{2g} \text{ bo‘ladi.}$$

Ushbu qiymatlarni (16.1) tenglarmaga qo‘ysak, bundan

$$\alpha = \frac{1}{\sqrt{\alpha + \xi_{c,y}}} \cdot \sqrt{2g(H_0 - h)} \text{ bo‘ladi.}$$

Qayerda: $\varphi = \frac{1}{\sqrt{\alpha + \xi_{c,y}}}$ - tezlik koeffitsiyenti;

$\varphi_0 \leq 0,361\sqrt{H}$ bo‘lsa, $H_0=H$ deb qarash mumkin.

$$H_0 = H + \frac{\alpha g^2}{2g} \text{ - to‘la napor (dam) balandligi, xuddi amaliy}$$

profilli suv o‘tkazgichlar uchun hisobga olganday aniqlanadi.

$$\text{Unda sarf } Q = \varphi \cdot \omega \cdot \sqrt{2 \cdot g (H_0 - h)} = \varphi \cdot b \cdot h \cdot \sqrt{2 \cdot g (H_0 - H)} .$$

$$\text{Agar } k = \frac{h}{H_0} \text{ deb belgilasak, } Q = \varphi \cdot k \cdot \sqrt{1-k} \cdot b \cdot \sqrt{2 \cdot g} \cdot H_0^{3/2} \text{ bo‘ladi.}$$

$m = \varphi \cdot k \cdot \sqrt{1-k}$ - sarf koeffitsiyenti deb belgilansa (ostonaning kirish qismining balandligi va shakli bilan bog‘langan):

$$Q = m \cdot b \cdot \sqrt{2g} \cdot H_0^{3/2}$$

Agar keng devorli suv o'tkazgichlar yonboshdan siqilsa va ko'milgan (dimlangan) bo'lsa, siqilish koeffitsiyenti ϵ va ko'milish koeffitsiyenti σ_{kol} -lar alohida hisobga olinadilar.

Unda sarf formulasining umumiy ko'rinishi quyidagicha bo'ladi.

$$Q = m \cdot \sigma_{\text{kyu}} \cdot \epsilon \cdot b \cdot \sqrt{2g} \cdot H_0^{3/2}$$

ϵ - yon siqilish koeffitsiyenti, yon va o'tkazgich (o'rta) devorlarining (ustunlarining) plandagi shakllari bilan bog'langan.

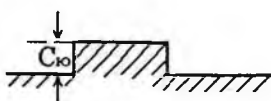
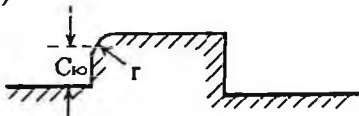
1. Sarf koeffitsiyentini aniqlash.

Sarf koeffitsiyentni D.I. Kumin usulida aniqlaymiz (R.R.Chugayev, 366 bet).

A)  $m = f\left(\frac{C_b}{H_0}; \operatorname{ctg}\theta\right)$

S)

B) $m = f\left(\frac{C_b}{H_0}; \frac{r}{H_0}\right)$



B.A.Baxmetev ilmiy izlanishlariga asosan

B -sxema uchun:

1) $\varphi = 0,85; m = 0,32; K = 0,59$

2) $\varphi = 0,92; m = 0,35; K = 0,63$

S-sxema uchun:

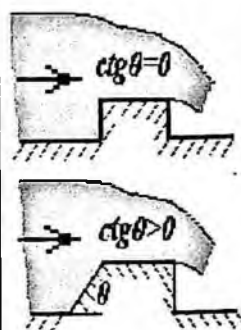
1) $m = 0,32 + 0,01 \frac{3 - \frac{C_b}{H}}{0,46 + 0,75 \frac{C_b}{H}};$ $0 \leq \frac{C_b}{H} \leq 3$ agar $\frac{C_b}{H} \geq 3$

2) $m = 0,36 + 0,01 \frac{3 - \frac{C_b}{H}}{1,2 + 1,5 \frac{C_b}{H}};$ $0 \leq \frac{C_b}{H} \leq 3$ agar $\frac{C_b}{H} \geq 3; \frac{r}{H} = 0,2..0,4$

Yon tomondan siqilmagan keng ostonalı suv o'tkazgichlarda sarf koeffitsiyenti "m"-ni qiymatlari (R.R.Chugayev kitobidan 421 bet 11-1, 11-2 jadvallar) jadvallardan olinadi.

16.6 -jadval

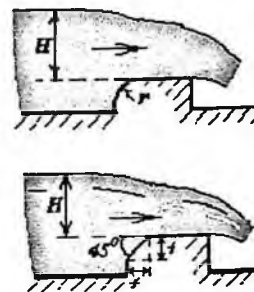
$\eta = \frac{C_w}{H}$	Vertikal qirralari $c tg \theta = 0$	$c tg \theta$			
		0,5	1,0	1,5	>2,5
0.0	0.385	0.385	0.385	0.385	0.385
0.2	0.366	0.372	0.377	0.380	0.382
0.4	0.366	0.365	0.373	0.377	0.381
0.6	0.350	0.361	0.370	0.376	0.380
0.8	0.45	0.327	0.368	0.375	0.379
1.0	0.342	0.355	0.367	0.374	0.378
2.0	0.333	0.349	0.363	0.371	0.377
4.0	0.327	0.345	0.361	0.370	0.376
8.0	0.324	0.343	0.360	0.369	0.376
∞	0,32	0,340	0,358	0,368	0,375



A.R.Berezovskiy formulasi: $K = \frac{2}{3} - \frac{0,385 - m}{0,95 - 2m}$, $\varphi = 1 - \frac{0,385 - m}{\frac{1}{m} - 1,8}$

16.7 - jadval

$\eta = \frac{C_w}{H}$	$\frac{r}{H}$ yoki $\frac{f}{H}$	$\frac{r}{H}$				
		0,02 5	0,05	0,2	0,6	>1,0
0	0.38 5	0.38	0.38	0.38	0.38	0.38
0.2	0.37 2	0.37	0.37	0.37	0.38	0.38
0.4	0.36 5	0.36	0.36	0.37	0.37	0.38
0.6	0.36 1	0.36	0.36	0.37	0.37	0.38
0.8	0.35 7	0.36	0.36	0.36	0.37	0.37
1.0	0.35 5	0.35	0.35	0.36	0.37	0.37
2.0	0.34 9	0.35	0.35	0.36	0.37	0.37
6.0	0.34 4	0.34	0.34	0.35	0.36	0.37
∞	0.34 0	0.34	0.34	0.35	0.36	0.37



2. Yon siqilish koeffitsiyentini aniqla:

Yon tomondan siqilish koeffitsiyenti ε -ni qiymati taxminan quyidagi oraliqda o'zgaradi $\varepsilon=0,85 \dots 0,95$.

$$\varepsilon = 1 - 2\xi \frac{H_0}{b} - \text{Frejis formulasi}$$

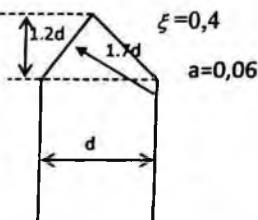
$$\varepsilon = 1 - a \frac{H}{H + b} - \text{E.A.Zamarin formulasi}$$

$$\xi = 1, \quad a = 0,2$$

$$\xi = 0,7 \quad a = 0,1$$

$$\xi = 0,7 \quad a = 0,1$$

$$\xi = 0,4$$



3. Suv o'tkazgich ko'milishini hisobga olish.

Keng devorli suv o'tkazgichlar ko'milgan hisoblanadi, agar $h_k > 0,8 H_0$ bo'lsa, bunda ko'milish koeffitsiyenti σ_{ksw} - ni quyidagicha topiladi

$$\sigma_{ksw} = f\left(\frac{h_{kw}}{H_0}\right)$$

(R.R. Chugayev jadval 6-24 va 6-25 Berezinskiy qiymatlari).

G.K.Deryugin formulasi:

$$\sigma_{ksw} = \sqrt{1 - \left[1 - \left(1 - \frac{h_{kw}}{H_0} \right) \cdot \frac{1}{1 - \left(1 - \frac{m}{0,59} \right)} \right]^2};$$

$$\frac{h_k}{H_0} > \left(1 - \frac{m}{0,59} \right)^{0,4}; \quad \sigma_{ksw} < 1,0 \quad (0,85 \dots 0,75)$$

16.5. Yupqa devorli suv o'tkazgichlar

Suv o'tkazgichlarning suv o'tkazish qobiliyatini aniqlashda quyidagilar hisobga olinishi shart: suv o'tkazgich devorlarining shakli, kirish tezligi, yonboshdan siqilishi, ko'milishi, planda suv o'tkazgichlar qirrasining ko'rinishi, qiyaligi va hokazolar.

Yupqa devorli suv o'tkazgichlar – suv o'lchagichlar tariqasida keng tarqalgan va aniq suv o'lchashga qobiliyatli va gidrotexnik inshootlar elementlari sifatida (shondorlar, suv o'lchagich devorlar va boshqalar) keng tarqalgan.

Yupqa devorli suv o'tkazgichlar erkin deb qaraymiz, oqimda pastki byefdani havo kirib turadi.

1. To'g'ri to'rtburchakli vertikal devorli suv o'tkazgichlarning asosiy tenglamasi:

A) ko'milmagan suv o'tkazgichlar uchun sarf: $Q = mb\sqrt{2g}H_0^{\frac{3}{2}}$,

m - Bazen formulasi asosida quyidagiga teng : $m = 0,405 + \frac{0,0027}{H}$.

R.R.Chugayev formulasi: $C_n \geq 0,5H$ va $H \geq 0,1$ bo'lganda

$$m = 0,40 + 0,05 \frac{H}{C_n}.$$

Kirish tezligini e'tiborga olinadigan bo'lsa, Bazen formulasi quyidagicha yoziladi:

$$m = (0,405 + \frac{0,0027}{H}) \cdot \left[1 + 0,55 \left(\frac{H}{H+P_i} \right)^2 \right].$$

Yon tomondan siqilish inobatga olinsa,

$$m = \left[0,405 + \frac{0,0027}{H} - 0,03 \left(1 - \frac{b}{B} \right) \right] \cdot \left[1 + 0,55 \left(\frac{b}{B} \right)^2 \cdot \left(\frac{H}{H+P} \right)^2 \right],$$

bu yerda P - suv o'tkazgichdagi yuqori va pastki byef tomonlardagi tub belgilarning farqi.

Ko'milgan suv o'tkazgichlarda sarf:

$$Q = m \cdot \sigma_{tol} \cdot b \cdot \sqrt{2 \cdot g} \cdot H_0^{\frac{3}{2}}$$

Ko'milish koeffitsiyenti $\sigma_k = 1,05 \cdot (1 + 0,2 \frac{h_k}{C_n}) \cdot \sqrt[3]{\frac{Z}{H}}$ formulasidan,

yoki $\sigma_k = f \left(\frac{h_k}{P}; \frac{Z}{P} \right)$ qiymatlari orqali grafik yoki jadvaldan ham topilishi mumkin.

16.5.1. Suv o'lchaydigan suv o'tkazgichlar

Suv o'lchaydigan suv o'tkazgichlar tasnifi

I. Suv o'tkazgich devorining xolatiga qarab:

- a) vertikal devorli;
- b) burchak ostidagi devorli.

II. Oqimni suv o'tkazgichdan o'tishiga qarab:

- a) suv erkin oqib o'tadi;

b) suv erkin bo'lmay oqib o'tadi;

Normal suv o'tkazgichdan o'tayotgan suv sarfi :

$$Q = m_0 \cdot b \cdot \sqrt{2g} \cdot H^{3/2}.$$

Ko'milgan suv o'tkazgichdan o'tayotgan suv sarfi :

$$Q = \sigma_{\omega} \cdot m_0 \cdot \sqrt{2g} \cdot H^{3/2}.$$

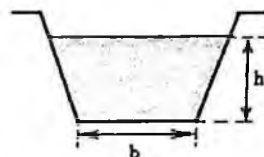
Ko'milmagan suv o'tkazgichlar uchun hisoblash formulasi quyidagi ko'rinishga ega:

$$Q = m_0 \cdot \operatorname{tg} \frac{\theta}{2} \sqrt{2g} \cdot H^{3/2}$$

1⁰ Trapetsiya shaklidagi suv

o'lchagich suv o'tkazgichlar:

Bunday suv o'tkazgichlarda
sarif quyidagicha aniqlanadi :



$$Q = m_0 \cdot b_{sp} \sqrt{2g} \cdot H^{3/2} = m \cdot \varepsilon (b_0 + 0,8 \cdot n \cdot H) \sqrt{2g} H^{3/2}.$$

Agar $\operatorname{tg} \theta = m = 0,25$ ($\theta = 14^\circ$) bo'lganda CHipoletti $m_0 = 0,42$ ekanligini tajribalar asosida aniqlagan. SHu sababli, **Chipoletti suv o'tkazgichi** deb ataluvchi bunday suv o'tkazgichlarda sarf quyidagicha aniqlanadi:

$$Q = 1,865 \cdot b \cdot H^{\frac{3}{2}} \quad - \text{CHipoletti formulasi.}$$

Suv sarfi o'lchanganda $N = (0,05 \dots 1,0)m$, $b = (3 \dots 4)m$; $\vartheta_0 \leq 0,5 \text{ m/s}$ bo'lganda aniqlik katta bo'ladi.

$\operatorname{tg} \alpha = 1$ bo'lganda, $\vartheta_0 \leq 0,6 \text{ m/s}$ bo'lsa, suv o'tkazgichlardan o'tadigan sarf qiymatini A.I.Ivanov formulasi orqali topish mumkin:

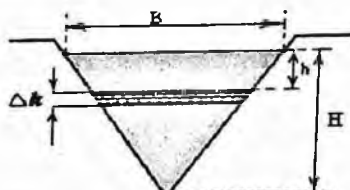
$$Q = 1,86 \frac{b + H}{b + 0,25 \cdot H} \cdot b \cdot H^{\frac{3}{2}}$$

Suv o'tkazgichlar $P_i > 0$ balandlikka ega bo'lishlari kerak, shunda kirishda oqim kerakli siqilishga ega bo'ladi.

2⁰. Uchburchak shaklidagi suv o'lchaydigan suv o'tkazgichlar.

Ko'milmagan suv o'tkazgichlar uchun hisoblash formulasi quyidagi ko'rinishga ega:

$$Q = m_0 \cdot \operatorname{tg} \frac{\theta}{2} \sqrt{2g} \cdot H^{3/2}$$



Tomson tajribasiga asoslanib, $\theta = 90^\circ$ va $H = (0.05 \div 0.25) m$ shartlar bajarilganda $m_0 \cdot \frac{\theta}{2} = 0,316$ deb yozish mumkin, bu holda **Tomson suv o'tkazgichi** deb ataluvchi bu o'tkazgich uchun $g=9,81 m/s^2$ bo'lgan holda quyidagini yozish mumkin:

$$Q = 1,4 \cdot H^{\frac{3}{2}} \text{ - Tomson formulasi.}$$

$$Q = 1,343 \cdot H^{2.47} \text{ - King formulasi.}$$

3⁰. Parabola shaklidagi suv o'tkazgichi:

$$Q = M \cdot H^2; \quad M = 2,768 \cdot \sqrt{P}.$$

16.6. Inshootlar bo'g'inini (gidrouzel)ni hisobi

1- masala Keng ostonali suv o'tkazgichlarning hisobiga doir masala

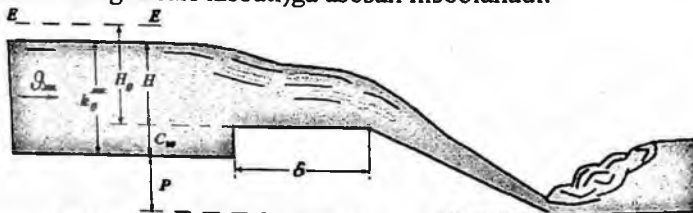
Magistral kanaldagi (MK) to'suvchi inshoot keng ostonali suv o'tkazgich shaklida qurilgan (ostonaning kengligi $2H < \delta < 8H$, bu yerda H – ostona oldidagi napor).

Ostona kirish qismining shakli (ko'rinishi) va yuqori byefdag'i balandligi (C_yu) berilgan (kurs ishidagi dastlabki ma'lumotlar bo'yicha olinadi). To'suvchi inshoot magistral kanaldan o'tadigan sarfni o'tkazish uchun hisoblanadi.

Berilgan ma'lumotlar: Sharshara tubining nishabligi i , yuqori va pastki byef tublari belgilaringin farqi (P). Yon va o'rta ustunlarning (o'rta devorlarning) shakllari talaba ixtiyorli bo'yicha tanlab olinadi.

Tezoqar-sharshara qurilganligi uchun MKni to'sadigan inshoot keng ostonali ko'milmagan suv o'tkazgich kabi ishlaydi (demak, ko'milish koeffitsiyenti $\sigma_{ko'm} = 1$).

Ostonaning bir oraliq kengligi berilgan $b/H = A$ nisbat orqali aniqlanadi, oraliqlar soni esa magistral kanalda o'tadigan sarf (bir oraliqdan o'tadigan sarf nisbati)ga asosan hisoblanadi.



16.21-rasm - Keng ostonali suv o'tkazgich sxemasi.

Hisoblash tartibi:

1. Suv o'tkazgich oldidagi geometrik naporni aniqlaymiz:

$$H = h_0^{\text{MK}} - C_n$$

Bu yerda: h_0^{MK} – MK - dagi suv oqimining normal chiqurligi;

C_n – suv o'tkazgichning yuqori byefdagi balandligi.

2. Berilgan $b/H = A$ nisbatga asosan, bir oraliq kengligini aniqlaymiz va unga eng yaqin bo'lgan standart qiymatini qabul qilamiz:

$$b = AH \Rightarrow b_{st}$$

Standart qiymatlar: $b_{cm} : 0,2; 0,4; 0,5; 0,6; 0,8; 1,0; 1,2; 1,5; 1,8; 2,0; 2,5; 3,0; 3,5; 4,0; 4,5; 5,0; 6,0; 7,0 \text{ m}$ va xokazo har 1 m dan.

Suv o'tkazgichdagi to'la naporni aniqlaymiz:

$$\text{Agar } g_{MK} \geq 0,361\sqrt{H} \text{ bo'lsa, unda to'la napor } H_0 = H + \frac{\alpha \cdot g_{MK}^2}{2 \cdot g}.$$

$$\text{Agar } g_{MK} < 0,361\sqrt{H} \text{ bo'lsa, unda to'la napor } H_0 = H.$$

bu yerda: g_{MK} – magistral kanaldagi oqimning o'rtacha tezligi (yaqinlashish tezligi):

$$g_{MK} = \frac{Q_{MK}}{\omega_{MK}} = \frac{Q_{MK}}{(b_{MK} + mh_0^{\text{MK}})h_0}.$$

3. Ostonaning pastki byefdagi balandligini aniqlaymiz:

$$C_n = P + C_n, C_n > h_0.$$

4. Ostonaning shakliga qarab, sarf koefitsiyentini m aniqlaymiz (shu qo'llanmadagi 8-jadval). m – sarf koefitsiyenti, ustunning shakliga bog'liq

$$\eta = \frac{C_p}{I}.$$

Qirg'oqdagi ustunlarning shaklini tanlab, ularga mos tayanch devorlarining kirish qismi shakliga bog'liq bo'lgan torayish koefitsiyenti ζ , qiymatini qabul qilamiz, (shu kitobda 16.28-rasm). Keyin bir oraliq uchun yon siqilish koefitsiyenti qiymati aniqlanadi:

$$\varepsilon = 1 - 0,2\zeta, \frac{H_0}{b},$$

bu yerda: H_0 – to'la napor;

$b = b_{st}$ – bir oraliq (bo'linma) kengligi.

O'rtalik devor (ustun) – to'suvchi inshootning o'rtasida joylashgan devor, **tayanch ustunlar** – inshootning qirg'oqlarida joylashgan devorlar.

5. To'suvchi inshootning bir oralig'idan o'tadigan sarfni aniqlaymiz (bir oraliqning suv o'tkazish qobiliyatini aniqlaymiz):

$$Q_1 = m \cdot \varepsilon \cdot b_{cm} \sqrt{2 \cdot g \cdot H_0^{3/2}}$$

6. Bo'linmalarning (oraliqlarning) sonini aniqlaymiz:

$$N = \frac{Q_{mk}}{Q_1}$$

hisoblangan songa eng yaqin bo'lgan butun sonni qabul qilamiz.

Agar $N > 1$ bo'lsa, o'rta ustunlarning shaklini va ularga mos bo'lgan oraliq tik ustunning plandagi ko'rinish shakliga bog'liq torayish koeffitsiyenti ζ_s (shu kitobda 16.28-rasm) aniqlab, yon siqilish koeffitsiyentiga aniqlik kiritamiz:

$$\varepsilon = 1 - 0,2 \frac{\zeta_y + (N-1)\zeta_s}{N} \cdot \frac{H_0}{b}$$

Natijada suv o'tkazish qibiliyatini aniqlaymiz:

$$Q = m \cdot \varepsilon \cdot N \cdot b_{cm} \sqrt{2 \cdot g \cdot H_0^{3/2}} \quad (\sigma_{sw} = 1)$$

Aniqlangan sarfning qiymati berilgan Q_{mk} -dan kichik bo'lishi mumkin emas: $Q \geq Q_{mk}$.

Agar kichik bo'lib chiqsa, qirg'oqdagi ustunlarning va o'rta devorlarning shaklini o'zgartirish kerak yoki oraliqlarning sonini ko'paytirish kerak.

7. Inshootdan keyin tezoqar-sharshara qurilgan (ko'ndalang kesimi trapetsiya shaklida bo'lib), uning oxiridagi kengligi

$$b_{m.u} = 0,8 B_{m.u}$$

bu yerda: $B_{m.u}$ – to'suvchi inshoot kengligi.

$$B_{m.u} = N \cdot b + (N-1)t$$

bu yerda: $t = (0.7 \dots 1,2)$ m – o'rta devorning eni.

Amaliy profilli suv o'tkazgichni hisobiga doir masalalar.

2-masala. Taqsimlagich (T-1) kanalning suv o'tkazish qobiliyatini aniqlash

T – 1 kanaldagi to'suvchi inshoot amaliy profilli suv o'tkazgich shaklida qurilgan, demak ($0,67N < \delta < 2H$).

Suv o'tkazgich trapetsiya shaklida ishlangan bo'lib, ostonaning yuqori va pastki byeflardagi balandliklari (S_{yu} va S_p), oraliqlarning soni (N) va bir oraliqning kengligi (b) berilgan bo'lsin.

Suv o'tkazgichning suv o'tkazish qobiliyatini amaliy profili suv o'tkazgichlarni hisoblash tenglamasidan to'g'ridan-to'g'ri aniqlash murakkab.

$$Q = \sigma_{\text{eoi}} \cdot m \cdot b_{\delta} \sqrt{2g} H_0^{3/2},$$

Tenglamada m , b_{δ} va H_0 parametrlarni berilgan qiymatlar asosida aniqlash uchun kanaldagi suvning chuqurligini aniqlash lozim. CHunki suv o'tkazgich ko'milgan-ko'milmaganligini bilish kerak. Shuning uchun bu masalani grafik usulda Yechishga to'g'ri keladi. Buning uchun (T-1) kanalning ishchi xarakteristika grafigini $Q_{o,1} = f(h)$ va suv o'tkazgichning suv o'tkazish qobiliyati grafigi $Q_{s,o} = \varphi(h_{r,4})$ bilan bog'liq ravishda qurish kerak. Pastki byefdagi suv oqimi chuqurligiga bir necha qiymat beramiz va shu qiymatlar uchun suv o'tkazgichdan o'tadigan sarfni Q va T – 1 kanaldagi suv sarflarini $Q_{T,1}$ aniqlaymiz. Hisoblashni to ular bir-biriga teng bo'lmaguncha davom ettiramiz. Ikki chiziqning kesilish nuqtasi bizga suv o'tkazgichdan o'tadigan suv sarfini beradi.

Hisoblash tartibi:

1. Sxema masshtabda chiziladi.



16.22-rasm - Amaliy profilli suv o'tkazgich sxemasi.

2. Suv o'tkazgichning kirish qismining shakliga qarab, berilgan S_1 va S_2 va $\frac{H}{\delta}$ asosida (kitobdagi 16.6-jadval) sarf koefitsiyenti aniqlanadi:

$$m = 0,42 \left(0,7 + 0,185 \frac{H}{\delta} \right)$$

3. Ustunlarning qabul qilingan shakliga qarab, ularga mos kelgan koeffitsiyentlarni ζ_y , va ζ_s tanlab, oraliqlarning kengligini aniqlaymiz:

$$b_{xuc} = \varepsilon \cdot N \cdot b$$

u holda, oqimning yon siqilish koeffitsiyenti quyidagi tenglama orqali aniqlanadi

$$\varepsilon = 1 - 0,2 \frac{\zeta_y + (N-1) \cdot \zeta_s \cdot H_0}{N}$$

bu yerda: $H_0 = h_0'' - C_n$ - geometrik napor, (suv oqimining kirish tezligi hisobga olinmaydi, chunki suv o'tkazgich MKdan yonga ketgan va MKdagi tezlikning T-1 ga ta'siri bo'lmaydi);

b - bir oraliqning kengligi;

N - bo'limlarning soni.

4. Suv o'tkazgich kumilmagan deb qarab, suv o'tkazish qobiliyatini aniqlaymiz ($\sigma_{\hat{e}oi} = 1$):

$$Q = \varepsilon \cdot N \cdot b \cdot m \sqrt{2g H_0^{3/2}}$$

5. Pastki byefdagi (T-1 kanaldagi) suv chuqurligiga har xil qiymatlarni berib, formula bo'yicha sarfni aniqlaymiz.

A) - Agar $\frac{Z}{C_n} > \left(\frac{Z}{C_n}\right)_{sp}$ bo'lsa, suv o'tkazgich ko'milmagan ($\sigma_{\hat{e}oi} = 1$), (chizmada 1-chi vaziyat).

B) - Agar $\frac{Z}{C_n} \leq \left(\frac{Z}{C_n}\right)_{sp}$ bo'lsa, suv o'tkazgich ko'milgan ($\sigma_{\hat{e}oi} \neq 1$), (chizmada 2-chi vaziyati).

Bu yerda: Z - yuqori va pastki byeflardagi suv sathlarining farqi:
 $Z = H - h_{kum}$

C_n - ostonaning pastki byef tomonidagi balandligi;

h_{kum} - ko'milish chuqurligi:

$$h_{\hat{e}oi} = h_{\bar{i}, \bar{a}} - \tilde{N}_{\bar{i}}$$

Agar suv o'tkazgich ko'milgan bo'lsa $\frac{Z}{C_n} \leq \left(\frac{Z}{C_n}\right)_{sp}$, ko'milish

koeffitsiyentni $\sigma_{\hat{e}oi}$ G.D. Deryugin formulasi orqali aniqlanadi:

$$\sigma_{\hat{e}oi} = \sqrt{1 - \left[1 - \left(1 - \left(1 - \frac{h_{\hat{e}oi}}{H_0} \right) \cdot \frac{1}{1 - \left(1 - \frac{m}{0,59} \right)^{2/5}} \right) \right]^2}$$

Suv sarfini quyidagicha aniqlanadi:

$$Q = \sigma_{\text{qym}} \cdot \varepsilon \cdot m \cdot b \cdot N \sqrt{2g} H_0^{3/2} \quad \text{yoki} \quad Q = A \cdot \sigma_{\text{qym}}$$

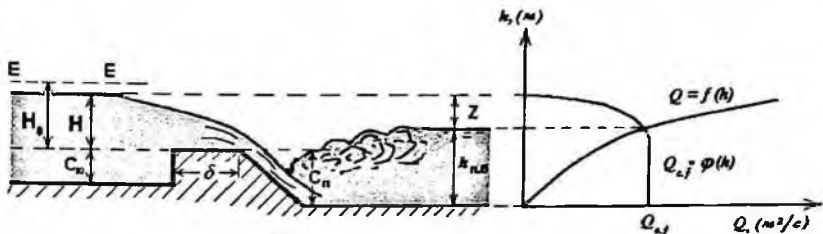
$$\text{bu yerda: } A = \varepsilon \cdot m \cdot b \cdot N \sqrt{2g} H_0^{3/2},$$

Hisoblashni jadvalda keltiramiz:

16.8 -jadval

h_{T-1}		Q_{T-1} , m^3/s	h_n , m	h_{qym} , m	Z ,	$\frac{z}{C_n}$	$\left(\frac{z}{C_n}\right)_{\text{ap}}$	$\frac{h_{\text{qym}}}{H_0}$	σ_{qym}	A , m^3/s	$Q = A \cdot \sigma_{\text{qym}}$, m^3/s

6. Jadvaldagagi qiyamatlar bo'yicha **suv o'tkazgichning suv o'tkazish qobiliyatiga grafigi** $Q_{S,O} = \varphi(h_{T-1})$ chiziladi va unga T-1 kanalning **ishchi xarakteristikasi** $Q_{T-1} = f(h)$ grafigi quyiladi. Ularning kesishish nuqtasi suv o'tkazgichdan o'tadigan sarf qiyamatini beradi.



16.23-rasm – Suv o'tkazgichning suv o'tkazish qobiliyatini aniqlash grafigi.

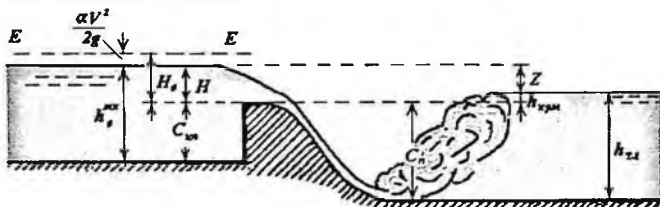
3-masala. Taqsimlagich (T-2) kanalidagi suv o'tkazgich ostonasidagi naporni va ostonaning yuqori byefidagi balandligini aniqlash

T-2 kanalidagi suv o'tkazgich egrisi chiziqli amaliy profilli suv o'tkazgich shaklida qurilgan. U holda A yoki B profil qabul qilinadi va har biriga mos keladigan sarf koeffitsiyenti olinadi (m). Pastki byef tomonidan ostonani balandligi (S_p), oraliqlarning kengligi (b) va soni (N) berilgan bo'lsin.

Suv o'tkazgich ostonasidagi naporni aniqlash uchun yaqinlashish usulidan foydalilaniladi, chunki ko'milish koeffitsiyenti (σ_{qym}) va oqimning yon siqilish koeffitsiyenti (ε) qiyatlari napor (H) qiymati bilan bog'langan.

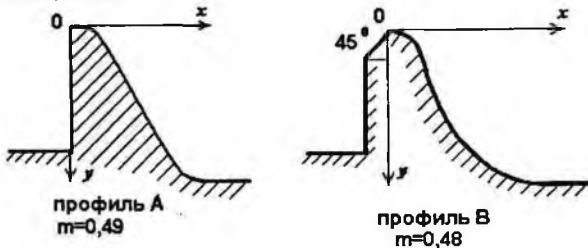
Hisoblash tartibi:

1. Sxema masshtabda chiziladi.



16.24 -rasm - Egri chiziqli amaliy profilli suv o'tkazgich sxemasi.

2. Berilgan egri chiziqli suv o'tkazgichning turiga qarab, sarf koeffitsiyenti qabul qilinadi:



3. Suv o'tkazgichni ko'milmagan ($\sigma_{\text{m}} = 1$) va yon siqilishi yo'q deb ($\varepsilon = 1$) ostonadagi naporni birinchi ko'rinishda aniqlaymiz.

$$H'_0 = \left(\frac{Q}{\sigma_{\text{m}} \cdot m \cdot \varepsilon \cdot b \cdot N \cdot \sqrt{2g}} \right)^{2/3}$$

Bu yerda: Q – T-2 kanalidagi suv sarfi.

4. Hisobga aniqlik kiritamiz. Tanlangan qirg'oqdagi ustunlarning va o'rta devorlarning shakliga qarab koeffitsiyentlarni qabul qilamiz (ζ_{sa} , ζ_{a}) va yon siqilish koeffitsiyentini aniqlaymiz:

$$\varepsilon = 1 - 0,2 \frac{\zeta_{\text{sa}} + (N-1)\zeta_{\text{a}}}{N} \frac{H'_0}{b}$$

4. Amaliy devorli suv o'tkazgich ko'milagan yoki ko'milmaganligini aniqlaymiz:

$$Z = (H'_0 + C_n) - h_{T-2}$$

bu yerda: h_{T-2} – T-2 kanalidagi suvning normal chuqurligi.

$\left(\frac{Z}{C_n} \right)_{\text{ed}}$ qiymati grafikdan (qo'llanmada 61-betdagi 31- rasmdan) $\frac{H'_0}{C_n}$

qiymatiga qarab olinadi.

Agar $\frac{Z}{C_n} < \left(\frac{Z}{C_n} \right)_{kp}$ bo'lsa, suv o'tkazgich ***ko'milgan*** va $\sigma_{\text{изм}} = G.D.$

Deryugin formulasidan aniqlanadi.

Agar $\frac{Z}{C_n} > \left(\frac{Z}{C_n} \right)_{kp}$ bo'lsa, - suv o'tkazgich ***ko'milmagan*** va $\sigma_{\text{изм}} = 1,0$.

5. Ostonadagi haqiqiy naporni aniqlaymiz:

$$H_0 = \left(\frac{Q}{\sigma_{\text{изм}} \cdot m \cdot \varepsilon \cdot b \cdot N \sqrt{2g}} \right)^{2/3}.$$

7. Yuqori byef tomonidan ostonaning balandligi

$$\tilde{N}_p = h_0^{ie} - H_0.$$

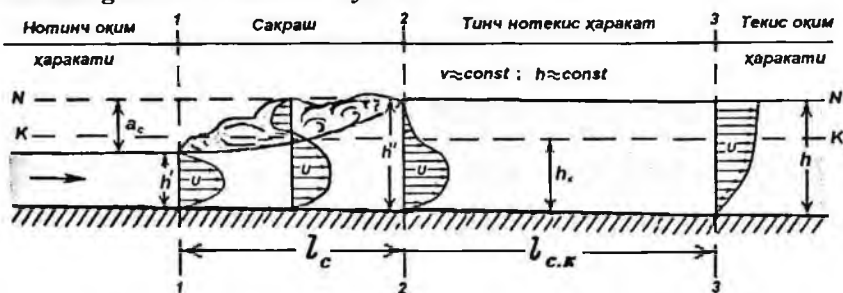
XVI bob bo'yicha nazorat savollari

1. Suv o'tkazgichlar. Asosiy tushunchalar va suv o'tkazgichlar tasnifi
- 2 . Suv o'tkazgichlarning asosiy hisoblash formulasi
3. Amaliy profilli suv o'tkazgichlar
4. Keng ostonali suv o'tkazgichlar
5. Suv o'lchaydigan suv o'tkazgichlar
6. Inshootlar bo'g'inini (gidrouzel)ni hisobi

XVII BOB. GIDRAVLIK SAKRASH

17.1 Gidravlik sakrash va uning elementlari

Suv oqimining notinch holatdan tinch holatga o'tishi gidravlik sakrash orqali amalga oshadi. Shunga asoslanib, unga quyidagicha ta'rif berish mumkin: *suv oqimining kritik chuqurlikdan kichik bo'lgan h" chuqurligini undan katta bo'lgan h' chuqurlikka keskin o'tishi hodisasi gidravlik sakrash deyladi.*



17.1-rasm - Gidravlik sakrash sxemasi.

h' - hidrolik sakrashdan oldingi oqim chuqurligi;

h'' - hidrolik sakrashdan keyingi oqim chuqurligi;

$a = h'' - h'$ - hidrolik sakrash balandligi;

l_c - hidrolik sakrash uzunligi;

$l_{c,x}$ - hidrolik sakrashdan keyingi uchastkaning uzunligi.

Gidravlik sakrash turlari

1. Mukammal, aylana girdob harakat qismi bor bo'lgan sakrashga aytildi (17.1-rasm):

$$\frac{h'}{h} > 2; \quad a > h'.$$

2. Nomukammal (to'lqinsimon), oqimning aylanma harakati yo'qligi bilan ajralib turadi:

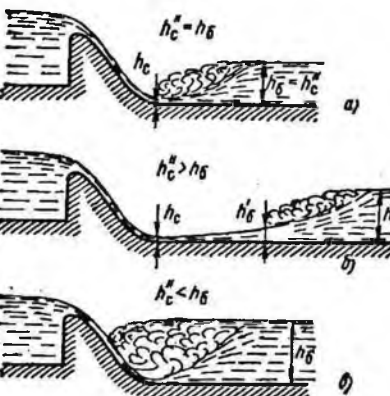
$$\frac{h'}{h} < 2; \quad a < h'.$$

Gidrotexnik inshootga nisbatan:

1. Gidravlik sakrash boshlang'ich holatda:

$$h_c'' = h_6,$$

h_6 - kanaldagi chuqurlik.



2. Gidravlik sakrash – uzoqlashgan xolatda – xaydalgan gidravlik sakrash:

$$h_c'' > h_6,$$

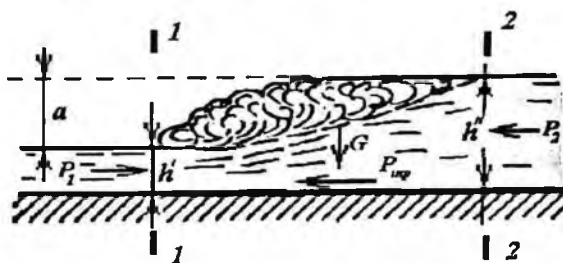
3. Gidravlik sakrash – ko'milgan holatda:

$$h_c'' < h_6.$$

17.2. Gidravlik sakrashning asosiy tenglamasi

Tutash chuqurliklar (h va h') orasidagi bog'liqliklar prizmatik o'zanlar uchun, quyidagi formula orqali aniqlanadi. Harakat miqdorining o'zgarishi haqidagi teoremdan:

$$\int_a \rho(u d\omega) u = \rho \int_a u^2 d\omega = \alpha g^2 \rho \omega = \underline{\rho \alpha g Q}$$



17.2-rasm-Gidravlik sakrash sxemasi.

1-1 va 2-2 kesimlar uchun:

$$i=0; \quad Q = const;$$

$$\rho\alpha Q(\vartheta_2 - \vartheta_1) = P_1 - P_2,$$

$P_1 = \rho g h_c \omega_1$; $P_2 = \rho g h_c'' \omega_2$; ekanligini inobatga olib, gidravlik sakrash funksiyasini quyidagicha ezamiz:

$$\frac{\alpha Q^2}{g\omega_1} + \omega_1 h_c' = \frac{\alpha Q^2}{g\omega_2} + \omega_2 h_c''$$

Bu yerda: ω_1, ω_2 — gidravlik sakrashdan oldingi va keyingi harakatdagi kesimlarning yuzalari;

To'rtburchak kanallar uchun $h_c = \frac{h}{2}$, h_c', h_c'' — harakatdagi kesim og'irlik markazining chuqurligi (17.2-rasm).

Trapetsiya shakldagi kanallar uchun: $h_c = \frac{h}{6} \cdot \frac{36 + 2mh}{b + mh}$.

17.3. Gidravlik sakrash funksiyasi

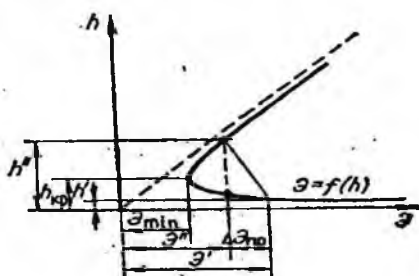
Gidravlik sakrash funksiyasi: $\Pi(h) = \frac{\alpha Q^2}{g\omega} + \omega h_c$;

$$\Pi(h_l) = \Pi(h_{ll}).$$

Bu yerda: $\Pi(h)$ — sakrash funksiyasi, $\dim P(h) = L^3(m^3)$;
 Q — suv sarfi; ω — tegishli chuqurlikdagi oqimning harakatdagi kesimi yuzasi;

h — harakatdagi kesim og'irlik markazining chuqurligi.

To'g'ri burchakli kanallar uchun:



$$H' = 0,5H \left[\sqrt{1 + 8 \left(\frac{h_{sp}}{H'} \right)^3} - 1 \right];$$

$$h' = 0,5h' \left[\sqrt{1 + 8 \left(\frac{h_{sp}}{h'} \right)^3} - 1 \right].$$

Sakrashdan oldingi \mathcal{H} va sakrashdan keyingi \mathcal{H}' chuqurliklar o'zaro bog'liq bo'lgan tutash chuqurliklar deyiladi. Tutash chuqurliklar uchun sakrash funksiyalari hamisha bir-biriga teng. Sakrash funksiyasi eng kichik qiymatiga ega bo'ladi $\mathfrak{E} = \mathfrak{E}_{\min}$, agar kanaldagi suv chuvurligi critik qiymatiga h_k teng bo'lganda.

Gidravlik sakrash uzunligini aniqlash

A. To'g'ri to'rtburchak kanallar uchun:

$$1. M.D.CHertousov formulasi: \quad l_c = 10,3H'(\sqrt{\Pi_{\kappa}} - 1)^{0,81}$$

$$\Pi_{\kappa} = \left(\frac{h_{sp}}{H} \right)^2.$$

$$2. F.I.Pikalov formulasi: \quad l_c = 4H\sqrt{1 + 2\Pi_{\kappa}}$$

$$3. N.N.Pavlovskiy formulasi (1937 y.): \quad l_c = 2,5(1,9H' - H);$$

$$4. Sarantsev formulasi: \quad l_c = 4,5H';$$

$$5. B.Baxmetev va Matske formulasi: \quad l_c = 5(H' - H);$$

Kanal tub nishabligi katta bo'lgan holda G.N.Kostyakova formulasi qo'llanadi:

$$CH_3 \geq (i > i_k) \quad l_c = \ell_n(1+3i).$$

B. Trapetsiya shakldagi kanallar uchun:

$$l_c = 5h' \left(1 + 4\sqrt{\frac{B_2 - B_1}{B_1}} \right)$$

bu yerda: B_1 i B_2 - sakrashdan oldingi va keyingi kesimdagisi sathdagi kengliklari.

M.D.CHertousov sakrashdan keyingi uchastkani uzunligini quyidagi formula orqali aniqlashni tavsiya qiladi:

$$\ell_{s,k} = (13 \div 15,6)h_b,$$

bu yerda: h_b – pastki byefdagi suv chuqurligi.

Gidravlik sakrashda yo'qolgan energiya (napor)

Kanal tubining nishabligi $i=0$ bo'lganda, gidravlik sakrashda yo'qolgan solishtirma energiyani quyidagi formula orqali aniqlanadi:

$$\mathfrak{E}_1 - \mathfrak{E}_2 = h_c$$

\mathfrak{E}_1 - gidravlik sakrashdan oldingi kesimdagisi solishtirma energiya:

$$\mathfrak{E}_1 = H' + \frac{\alpha \cdot (g_1)^2}{2g}$$

3₂ - gidravlik sakrashdan keyingi kesimdagи solishtirma energiya:

$$\mathcal{E}_2 = h'' + \frac{\alpha \cdot (g_2)^2}{2g}.$$

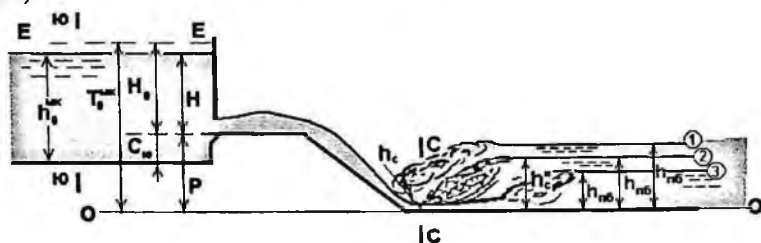
To‘g‘ri to‘rburchak shakldagi kesimda sakrashda yo‘qolgan solishtirma energiyani quyidagi formula orqali aniqlanadi:

$$\mathcal{E}_2 = \frac{a^3}{4h' h''}.$$

17.4. Gidravlik sakrash parametrlarini hisobi

Gidravlik sakrashlar 3 xil bo‘lishi mumkin:

1. Sakrash ko‘milgan $h_c'' < h_{\text{yow}}$, (54 - chizmadagi sathning 1-chi holati).
2. Sakrash siqilgan kesimda $h_c'' = h_{\text{yow}}$, (54 - chizmadagi sathning 2-chi holati).
3. Sakrash haydalgan $h_c'' > h_{\text{yow}}$, (54 - chizmadagi sathning 3-chi holati).



17.3 – rasm – Gidravlik sakrashning hisoblash sxemasi.

Gidravlik sakrashning vaziyatini aniqlash uchun siqilgan kesimdagи suv chuqurligini aniqlaymiz (h_c) (C-C – siqilgan kesim). Siqilgan kesimdagи chuqurlikni (h_c) birinchi (C-C) tutashtirish chuqurlik deb qabul qilamiz h_c , demak sakrash siqilgan kesimda bo‘ladi deb qabul qilamiz. Sakrashning ikkinchi tutashtirish chuqurligini (h_c') aniqlab, pastki byefdagi chuqurligi h_s bilan solishtiramiz (53 - rasm).

1. Tezoqar - sharshara oxiridagi siqilgan kesimdagи suv chuqurligini aniqlash h_c .

Hisoblash tartibi:

1. Sxemani masshtabda chizamiz (17.3 -rasm).
2. Kesimlarni (YU-YU va C-C) va taqqoslash tekisligini ($O-O$) belgilaymiz.

3. D.Bernulli tenglamasini pastki byefdagi kanal tubidan o'tkazilgan taqqoslash tekisligiga ($O-O$) nisbatan yozamiz:

$$Z_{\infty} + \frac{P_{\infty}}{\gamma} + \frac{\alpha g_{\infty}^2}{2g} = Z_c + \frac{P_c}{\gamma} + \frac{\alpha g_c^2}{2g} + h_{f(O-C)}$$

Tenglamaning har bir hadini aniqlab, tenglamani quyidagi ko'rinishda yozamiz:

$$P + h_0^{MK} + \frac{\alpha g^2}{2g} = h_c + \frac{\alpha g_c^2}{2g} + \xi \frac{g_c^2}{2g}$$

Tenglamani quyidagicha yozish mumkin:

$$T_0^{MK} = h_c + (\alpha + \xi) \frac{g_c^2}{2g};$$

Agar quyidagi belgilashlarni kirlitsak:

$$\alpha + \xi = \frac{1}{\varphi^2},$$

bu yerda ($\varphi = 0,9$)

Unda

$$T_0^{MK} = h_c + \frac{g_c^2}{2g\varphi^2} = h_c + \frac{Q_{\infty}^2}{2g\varphi^2\omega_c^2}; \quad (17.1)$$

Bu yerda: T_0^{MK} - taqqoslash tekisligiga ($O-O$ -ga) nisbatan hisoblaganda $YU-YU$ kesimdagagi to'la solishtirma energiya qiymatini quyidagicha aniqlash mumkin:

$$T_0^{MK} = P + h_0^{MK} + \frac{\alpha g_0^2}{2g} \quad (17.2)$$

P - MK -ning yuqori va pastki byeflarning tublari belgilarining farqi;
 g_0 - yuqori byefdagi yaqinlashish tezligi;

h_c - siqilgan kesimdagagi suv oqimining chuqurligi;

g_c - siqilgan kesimdagagi suv oqimining o'rtacha tezligi, $g_c = \frac{Q_{\infty}}{\omega_c}$;

ω_c - harakatdagi kesim yuzasi, $\omega_c = h_c(b + mh_c)$;

$m = 1$ - tezoqar- sharsharaning qiyalik koeffitsiyenti;

φ - tezlik koeffitsiyenti;

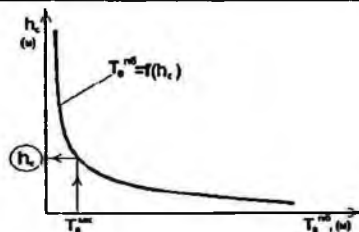
$h_{f(O-C)}$ - kesimlar orasida yo'qtilgan napor.

Yuqori byefdagi to'la solishtirma energiyaning T_0^{MK} qiymati ma'lum va siqilgan kesimdagagi suv chuqurligini (h_c) tanlash usulida aniqlasa

bo'ldi. h_c -ga bir necha qiymatlarni berib, (1) tenglamaning o'ng tomonini hisoblaymiz. Hisoblash natijalarni jadvalda keltiramiz:

17.1 -jadval

h_c, m	ω_c, m^2	T_0^{n6}, m	T_0^{MK}, m



17.4-rasm - Kesimning to'la solishtirma energiya grafigi

Jadvaldagи qiymatlar asosida $T_0^{n6} = f(h_c)$ grafigini quramiz.

Quyidagi qiymat o'zgarmasdir: $\frac{\alpha Q^2}{2g\omega_{MK}^2 \varphi^2} = const$. Grafikdan ma'lum

bo'lgan yuqori byefdagi to'la solishtirma energiyaning T_0^{MK} qiymatiga qarab h_c -ning qiymatini olamiz.

2. Sakrashning ikkinchi tutashtirish chuqurligini aniqlash.

Siqilgan kesimdagи suv chuqurligini birinchi tutashtirish chuqurligi deb qabul qilib ($h_c = h'$), ikkinchi tutash chuqurligini aniqlaymiz:

$$h_c = h' \longrightarrow h'$$

a) *Sakrash funksiyasi* grafigi orqali $\Pi(h) = f(h)$

$$\Pi(h) = \frac{\alpha Q^2}{g\omega} + h_{avg}\omega$$

bu yerda: h_{avg} - kesim og'irlik markazining chuqurligi:

$$h_{avg} = \frac{h(B+2b)}{3(B+b)};$$

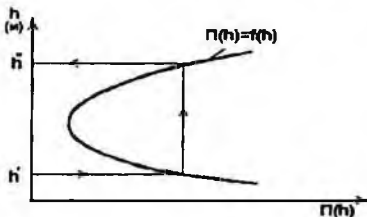
$B = b + 2mh$ - kesimining suv sathidagi kengligi.

Suv chuqurlikga (h) bir necha qiymat berib, $P(h)$ -ni aniqlaymiz.

17.2 -jadval

h, m	ω, m^2	$\frac{\alpha Q^2}{g\omega}$	h_{avg}, m	$h_{avg}\omega$	$P(h)$

Jadval asosida sakrash funksiyasi $\Pi(h) = f(h)$ quramiz:



17.5 – rasm - Gidravlik sakrash funksiyasi $\Pi(h) = f(h)$ grafigi

Ma'lum bo'lgan h_c' qiymatiga mos ravishda pastki qismi bilan kesishguncha gorizontal chiziq o'tkazamiz. Grafikdan h_c'' qiymatini aniqlaymiz.

b) A.N.Raxmanov formulalari yordami bilan:

$$\zeta' = \frac{1,2}{\zeta''} - 0,2; \quad \zeta'' = \frac{1}{0,167 + 0,834\zeta'}$$

bu yerda ζ' va ζ'' - nisbiy chuqurliklar:

$$\zeta' = \frac{h_c'}{h_{sp}}; \quad \zeta'' = \frac{h_c''}{h_{sp}}.$$

3. Gidravlik sakrashning xolatini aniqlash

$h_c' < h_{sw}$ bo'lsa, gidravlik sakrash ko'milgan;

$h_c' = h_{sw}$ bo'lsa, gidravlik sakrash siqilgan kesimda;

$h_c' > h_{sw}$ bo'lsa, gidravlik sakrash xaydalgan bo'ladi.

4. Sakrashning uzunligini aniqlaymiz:

$$l_n = 5h_c'' \left(1 + 4 \sqrt{\frac{B_2 - B_1}{B_1}} \right)$$

$B_1 = b + 2mh_c'$ - birinchi tutashtiruvchi chuqurlik (κ) -dagi tirik kesimning suv sathidagi kengligi;

$B_2 = b + 2mh_c''$ - ikkinchi tutashtiruvchi chuqurlik (κ) -dagi tirik kesimning suv sathidagi kengligi.

5. Sakrash balandligini aniqlaymiz: $a = h_c'' - h_c'$

XVII bob bo'yicha nazorat savollari

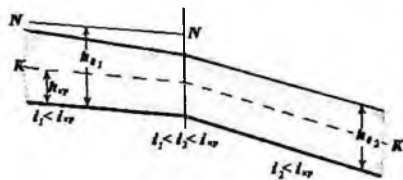
1. Gidravlik sakrash va uning elementlari.
2. Gidravlik sakrashning asosiy tenglamasi.
3. Gidravlik sakrash funksiyasi.
4. Gidravlik sakrashda yo'qolgan energiya (napor).
5. Gidravlik sakrash parametrlarini hisobi.

XVIII BOB. BYEFLARNI TUTASHTIRISH

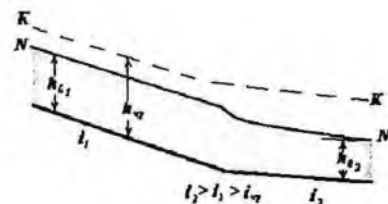
Suv oqimining yuqori byefdan pastki byefga o'tishiga **byeflarning tutashtirishi** deyiladi. Amaliyotda byeflarni tutashtirishni ikki hilga ajratiladi - tub nishabligi o'zgarganda va inshoot-to'g'onlardan suvni oshib o'tishi.

18.1. Tub nishabligi o'zgarganda byeflarni tutashtirish

Ma'lumki, xar hil tub nishabligi uchun o'zandagi suv oqimining normal chiqurligi (h_0) xar hil bo'ladi - nishablik kamaygan sari, normal chiqurlik oshib boradi. Shuning uchun, pastki byefdag'i tub nishabligi yuqoridagindan kichikroq bo'lsa, erkin egri suv sathining chizig'i egri ko'tarilma egriligi sodir (mavjud) bo'ladi (18.1 - rasim - a), aksincha bo'lsa – egri pasayma chizig'i (18.1 - rasim - b).



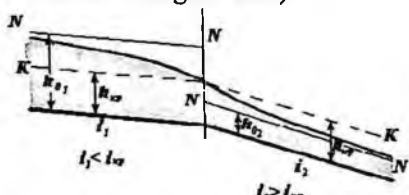
a)



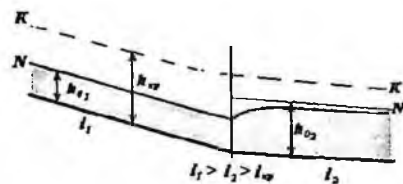
b)

18.1- rasm. Tub nishabligi o'zgarganda byeflarni tutashtirish.

Tub nishabliklari $i < i_{eb}$ - dan $i > i_{eb}$ - gacha o'zgarganda byeflarni tutashtirishi 18.2-a rasmida ko'rasatilgan (oqimning tinch holatdan notinch xolatga o'tishi).



a)



b)

18.2 –rasm. Tub nishabligi o'zgarganda byeflarni tutashtirish.

Tub nishabliklari $i > i_{\text{tg}}$ - dan - $i < i_{\text{tp}}$ gacha o'zgarganda (suv oqimi notinch holatdan tinch holatga o'tishi) byeflarning tutashtirishi 18.4-b rasmida ko'rsatilgan. Bu xolatda byeflarning tutashishi gidravlik sakrash orqali amalga oshadi. 18.5 - rasmida sakrashlarning holatlari keltirilgan.



18.3 – rasm. Sakrash orqali byeflarni tutashtirish.

Gidravlik sakrash vaziyatini aniqlash uchun siqilgan kesimdag'i suv chuqurligiga bog'liq bo'lgan ikkinchi tutashtiruvchi chuqurlik qiymatini aniqlab, pastki byefdagi suv chuqurligi (h_s) bilan solishtirimiz. 18.3 -rasmida gidravlik sakrashning bir nechta vaziyatlari ko'rsatilgan:

- $h_s > h_c$ - sakrash xaydalgan bo'ladi (1- vaziyat);
- $h_s = h_c$ - sakrash siqilgan kesimda bo'ladi (2- vaziyat);
- $h_s < h_c$ - sakrash ko'milgan holda sodir bo'ladi (3- vaziyat).

18.2. Inshoot-to'g'onlardan suvni oshib o'tishida byeflarni tutashtirish

Bunda quyidagi holatlarni kuzatish mumkin:

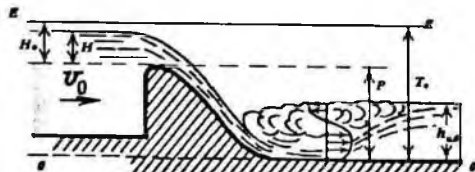
1. inshoot ustidan suvni oshib o'tishi (18.4- rasm);
2. darvoza (zatvor) ostidan (teshikdan) suvni o'tishi (18.5- rasm);
3. inshootga o'matilgan darvoza (zatvor) ostidan suvni o'tishi (18.6- rasm).

B'yeflarni tutashtirishida uchraydigan asosiy gidravlik masalalar:

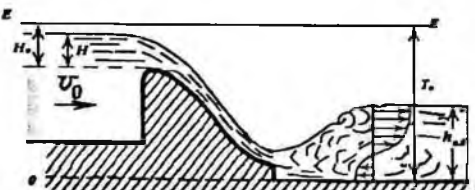
- a) pastki byefda tutashtirish turini aniqlash;
- b) inshoot quiyi qismidan gidravlik sakrash haydalgan masofani aniqlash;
- c) oqim zarbini kamaytirish uchun energiya so'ndiruvchi inshootlarni gidravlik hisobi.

Inshoot ustidan suv oqimi oshib o'tishida byeflarning tutashishi quyidagicha sodir bo'lishi mumkin:

1. Oqim tubi bilan (eng katta tezlik qiymatlari tubga yaqin bo'ldi):



2. Oqim usti bilan (eng katta tezlik qiymatlari suv sathiga yaqin bo'ldi):



Aralashgan holatda:



Tub tartibida



Ustki erkin

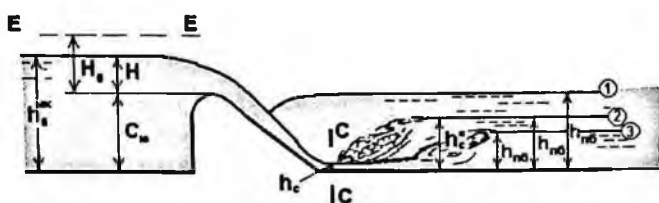


Ustki kumilgan



Ustki-tubdag'i tartibda

18.4-rasm. Inshoot ustidan suvni oshib o'tishi.



18.5-rasm - Suv o'tkazgich orqali byeflarni tutashtirish.

Suv o'tkazgich orqali byeflarni tutashtirishda inshoot quyi qismidagi kesimning chuqurligini aniqlash zarur. Chunki, keyinchalik ikkinchi tutashgan h_c oqim chuqurligini aniqlash kerak bo'ladi. Siqilgan kesimdagagi chuqurlikni quyidagi ifoda yordamida aniqlash mumkin.

$$T_0 = h_c + \frac{\alpha Q^2}{2 \cdot g \cdot \phi^2 \cdot \omega_c^2},$$

bunda: h_c - siqilgan kesimdagagi suv chuqurligi;

ω_c - siqilgan kesim yuzasi;

T_0 - pastki byef tubiga nisbatan yuqori byefdagi oqimning solishtirma energiyasi;

ϕ - to'g'on turiga bog'liq bo'lgan tezlik koeffitsiyenti.

Siqilgan kesimdagagi chuqurlikni aniqlashda tezlik koeffitsiyentini ϕ qiymatini N.N. Pavlovskiy formulasi bo'yicha aniqlash mumkin.

Gidrotexnik inshootlarning pastki byefida notinch oqimning tinch oqim bilan tutashishining quyidagi shakllarini kuzatish mumkin.

1) sakrash, agar $h_c'' > h_c$, bo'lsa gidravlik sakrash siqilgan kesimga nisbatan oqimning quyi qismida joylashadi – haydalgan sakrash (18.4-rasmda 3- vaziyat);

2) sakrashning chegaraviy joylashishi agar $h_c'' = h_c$, bo'lsa, sakrashning boshlanishi siqilgan kesimda joylashadi (18.4 - rasmda 2-vaziyat);

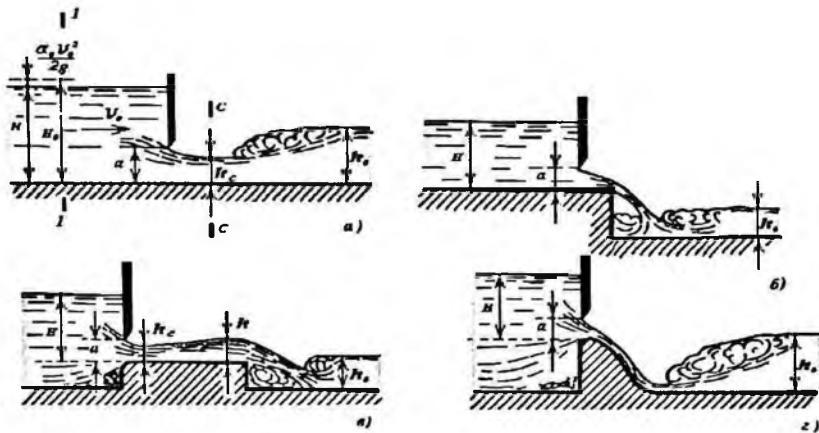
3) agar $h_c'' < h_c$, bo'lsa, ko'milgan sakrash bo'ladi, bunda gidravlik sakrashning boshlanishi siqilgan kesimga nisbatan oqimning yuqori qismida joylashadi (18.4 – rasmdagi 1- vaziyat).

Agar o'zan tubi nishabligi kritik qiymatdan katta, ya'ni $i > i_{\phi}$ bo'lsa, u holda mavjud chuqurlik $h_c < h_{\phi}$ bo'ladi va pastki byefdagi oqim bilan tutashish sakrashsiz sodir bo'ladi.

18.2.1 Gidrotexnik inshootlardagi darvozalar (zatvor)dan o'tayotgan suv sarfini hisoblash

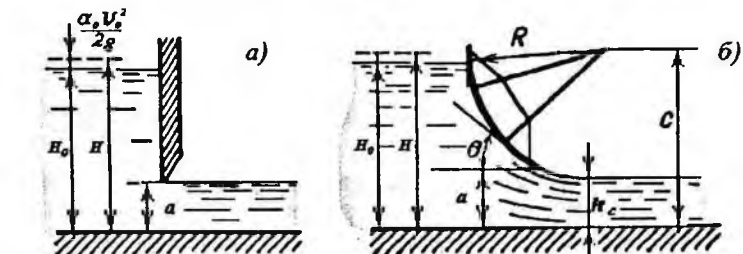
Gidrotexnik inshootlarga o'rnatilgan «zatvor»larni boshqarish orqali, ulardan o'tayotgan suv miqdorini tartibga solish mumkin.

«Zatvor»larni ma'lum darajaga ko'tarish yoki tushirish orqali suv sarfi boshqariladi va aniqlanadi. «Zatvor»lar inshootlarda quyidagicha o'rnatilgan bo'lishi mumkin (18.6-rasm):

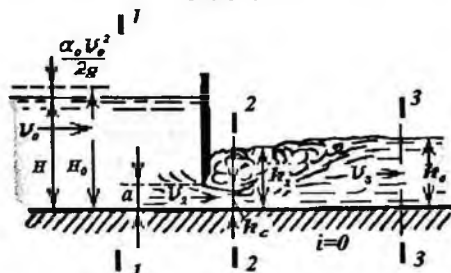
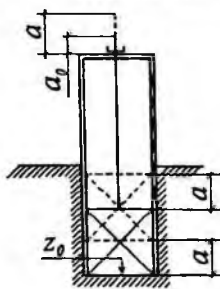


18.6-rasm- «Zatvor»larni inshootlarda o'rnatilish turlari.

«Zatvor»lardan o'tayotgan sarfni aniqlashda ikki xil xolat bo'ladi:
a) erkin o'tish (46-rasm); b) ko'milgan holda o'tish (18.7-rasm).

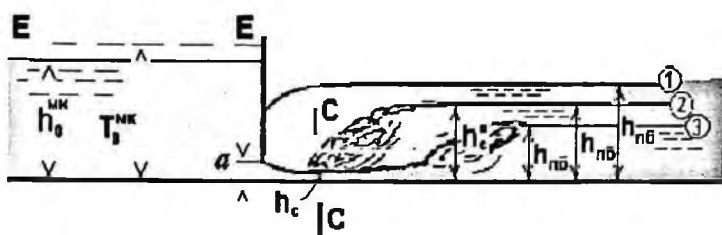


18.7-rasm - «Zatvor»lardan suv oqimini erkin o'tish.



18.8-rasm - «Zatvor»lardan suv oqimini ko'milgan holda o'tish.

18.2.2. Oqimni to'suvchi devor(zatvor) ostidan oqib chiqishi



18.9-rasm. To'suvchi devor orqali byeflarni tutashtirish.

Bunda oqib chiqishning bir nechta turlari bo'lishi mumkin:

- 1) agar pastki byefdagi oqim sathi darvoza teshigidan chiqayotgan sarf qiyamatiga ta'sir qilmasa, oqib chiqish erkin deyiladi (18.8 – rasmdagi 2-chi va 3-chi vaziyatlar);
- 2) agar pastki byefdagi oqim sathi darvoza teshigidan chiqayotgan sarfga ta'sir qilsa, erkin bo'limgan yoki ko'milgan oqib chiqish deyiladi (18.8 - rasmdagi 1-chi vaziyat).

Oqib chiqish quyidagi sharoitlarda erkin bo'ladi:

- a) agar pastki byefdagi oqim notinch holatda bo'lsa $i > i_{\varphi}$ va $h_{\varphi} < h_{\vartheta}$;
- b) agar pastki byefdagi oqim tinch holatda $h_{\varphi} > h_{\vartheta}$ bo'lib, to'siq ostidan oqib chiqayotgan notinch oqimni tutashishi gidravlik sakrash orqali sodir bo'lsa $h_{\varphi} > h_{\vartheta}$ (18.8 – rasmda 3- vaziyat), yoki sakrash siqilgan kesimdagagi $h_{\varphi} = h_{\vartheta}$ sodir bo'ladi (18.8 – rasmda 2- vaziyat).

Siqilgan kesim chuqurligi (18.9-rasm) "zatvor"ning ochilish balandligi orqali ifodalanadi:

$$h_c = \varepsilon a$$

bunda ε – vertikal siqilish koeffitsiyenti,

$$\varepsilon = f\left(\frac{a}{H}\right)$$

ε - ning qiymatlari 18.1-jadvaldagi N.E.Jukovskiy tenglamasi orqali hisoblanadi yoki A.D.Al'tshul' formulasi orqali:

$$\varepsilon = 0,57 + \frac{0,043}{1,1 + \frac{a}{H}}$$

Darvoza ostidan o'tayotgan suv sarfi quyidagicha aniqlanadi (18.8-rasmagi 2 va 3 vaziyatlar):

$$g = \varphi \sqrt{2g(H_0 - h_c)}$$

$$Q = \varphi \cdot b \cdot h_{\tilde{n}} \sqrt{2g(H_0 - h_c)} = \mu \cdot b \cdot a \sqrt{2g(H_0 - \varepsilon \cdot a)}$$

bunda: g – siqilgan kesimdagи tezlik;

a – darvozaning ko'tarilish balandligi;

b – darvoza eni;

μ – sarf koeffitsiyenti ($\mu = \varphi \cdot \varepsilon$);

ε – vertikal siqilish koeffitsiyenti;

$$H_0 – to'la napor, \left(H_0 = H + \frac{\alpha g_0^2}{2g} \right).$$

Agar $g_0 \leq 0,885 \sqrt{H - h_c}$ u/c bo'lsa (18.9-rasm), $H = H_0$.

φ – tezlik koeffitsiyenti quyidagicha qabul qilinadi:

- ostonasiz uchun $\varphi = 0,95 \div 0,97$ (18.8-rasm);
- keng ostonasiz tirqishlar uchun $\varphi = 0,85 \div 0,95$ (18.6-rasm – a,b,s).

Darvozaning ochilish balandligini aniqlashga doir

18.1-jadval

$\frac{a}{H}$	ε	$\Phi(\tau_e)$	$\tau_e = \varepsilon \frac{a}{H}$	$\frac{a}{H}$	ε	$\Phi(\tau_e)$	$\tau_e = \varepsilon \frac{a}{H}$
0,10	0,615	$0,26 \frac{4}{4}$	0,062	0,45	0,638	1,060	0,284
0,15	0,618	$0,38 \frac{8}{8}$	0,092	0,50	0,645	1,182	0,323
0,20	0,620	$0,51 \frac{4}{4}$	0,124	0,55	0,650	1,265	0,356
0,25	0,622	$0,63 \frac{3}{3}$	0,156	0,60	0,660	1,364	0,395
0,30	0,625	$0,75 \frac{0}{0}$	0,188	0,65	0,675	1,457	0,440
0,35	0,628	$0,86 \frac{5}{5}$	0,220	0,70	0,690	1,538	0,482
0,40	0,630	$0,96 \frac{7}{7}$	0,252	0,75	0,705	1,611	0,529

Amaliy profilli suv o'tkazgich qirrasiga o'rnatilgan tekis darvozadan oqib chiqayotgan oqim sarfi quyidagi formula bo'yicha hisoblanadi (18.8- rasm, b,c):

$$Q = \varphi \cdot \varepsilon \cdot a \cdot b \sqrt{2g \cdot H_0} = \mu \cdot a \cdot b \sqrt{2g \cdot H_0},$$

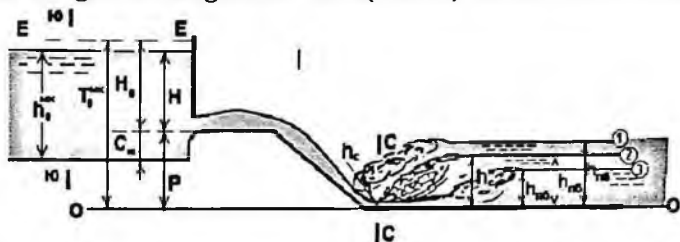
bunda H_0 – yaqinlashish tezligini e'tiborga olgandagi suv o'tkazgich qirrasining ustidagi geometrik napor.

Tezlik koeffitsiyenti φ -ning qiymatlari:

1) amaliy profilli suv o'tkazgich qirrasidagi tekis darvozadan oqib chiqishda: $\varphi = 0,95$;

2) sharshara oldidagi ostonasiz darvozadan oqib chiqishda: $\varphi = 0,97$ (18.5-rasm,b, c)

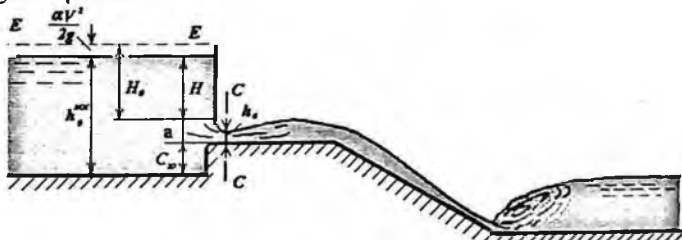
Inshootga o'rnatilgan darvoza (zatvor) ostidan suvni o'tishi



18.10-rasm - Inshootga o'rnatilgan darvoza (zatvor) ostidan suvni o'tishi orqali byeflarning tutashtirish.

Tekis darvozani (zatvorning) ochilish balandligini aniqlashga doir masala

Tekis darvoza to'suvchi to'g'on inshootda o'rnatilgan bo'lsin. To'g'on inshootdan keyin tezoqar-sharshara qurilgan. Darvozani ochilish balandligi aniqlansin.



18.11 -rasm – Suvni tekis darvoza ostidan oqib chiqish sxemasi.

Hisoblash tartibi:

1. Ostona oldidagi geometrik va to'la napolarni aniqlaymiz:

$$H = h_0^{MK} - C_n; \quad H_0 = H + \frac{\alpha g^2}{2g};$$

$$g = \frac{Q}{\omega} = \frac{Q}{(b + mh_0^{MK})h_0^{MK}}.$$

Bu yerda: b – bir oraliqning kengligi;
 m – qiyalik koeffitsiyenti.

2. Suv o'tkazgichni ko'milishga tekshiramiz:

$$\tilde{N}_i = D + \tilde{N}_b$$

Agar $C_n > h_0^{MK}$, unda suv o'tkazgich ko'milgan bo'ladi (18.10-rasm).

3. Bir oraliqdan o'tadigan sarfni aniqlaymiz:

$$\bar{Q} = \frac{Q}{N}$$

N – oraliqlar soni.

4. Tekis darvozani ko'tarilish balandligini quyidagi formuladan aniqlaymiz:

$$Q = \mu \cdot a \cdot b \cdot N \sqrt{2g(H_0 - \varepsilon \cdot a)}$$

bu yerda: $\varepsilon = 0,57 + \frac{0,043}{1,1 - \frac{a}{H}}$ – vertikal siqilish koeffitsiyenti.

Vertikal siqilish koeffitsiyent (ε) quyidagi $\left(\frac{a}{H}\right)$ nisbat bilan

bog'langanligi tufayli, uni N.E.Jukovskiy jadvalidan aniqlasa bo'ladi (qullanmada 27-jadval).

(Jukovskiy N.E. jadvali, Shterenlixt D.A. «Gidravlika», 179 bet, 23.1 jadval, M.1991).

$$\text{N.E.Jukovskiy jadvali} \quad \varepsilon = f\left(\frac{a}{H}\right)$$

18.2 - jadval

$\frac{a}{H_0}$	ε								
0,00	0,611	0,25	0,622	0,45	0,638	0,65	0,675	0,85	0,745
0,10	0,615	0,30	0,625	0,50	0,645	0,70	0,690	0,90	0,780
0,15	0,618	0,35	0,628	0,55	0,650	0,75	0,705	0,95	0,885
0,20	0,620	0,40	0,630	0,60	0,660	0,80	0,720	1,0	1,0

$\varphi = 0,85 \dots 0,97$ – tezlik koeffitsiyenti;

a – darvozani ko'tarilish balandligi;

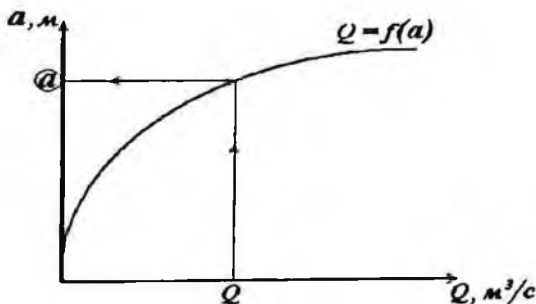
$\mu = \varepsilon\varphi$ – sarf koeffitsiyenti.

Darvozaning ochilish balandligi tanlash usulida aniqlanadi. Darvozani ko'tarilish balandligi « a »-ga bir necha qiymat berib, shu qiymatlar uchun sarf Q aniqlanadi va $Q = f(a)$ grafigi quriladi. SHu grafikdan berilgan $\bar{Q} = Q_{MK} - Q_{T-1}$ sarf uchun darvozani ko'tarilish balandligi qiymatini aniqlaymiz. Hisob natijalarini jadvalda keltiramiz:

18.3 - jadval

a, m	$\frac{a}{H_0}$	ε	$\frac{\varepsilon a}{M}$	μ	$\sqrt{2g(H_0 - \varepsilon a)}$	$Q, m^3/c$

Jadvaldagи qiymatlarga asosan $Q = f(a)$ grafigini quramiz va berilgan sarf uchun $Q = Q_{MK} - Q_{T-1}$ darvozani ko'tarilish balandligini aniqlaymiz.



18.12- rasm - $Q = f(a)$ funksiyasi grafigi.

XVIII bob bo'yicha nazorat savollari:

1. byeflarni tutashtirish.
2. Tub nishabligi o'zgarganda byeflarni tutashtirish.
3. Inshoot-to'g'onlardan suvni oshib o'tishida byeflarni tutashtirish.
4. Gidrotexnik inshootlarda darvozalar (zatvor)dan o'tayotgan suv sarfini hisoblash.
5. Inshootga o'matilgan darvoza (zatvor) ostidan suvni o'tishi.

XIX BOB. SUV ZARBINI KAMAYTIRUVCHI INSHOOTLAR. OQIM ENERGIYASINI SO'NDIRGICHALAR

19.1 Energiyani so'ndiruvchi xovuz

Agar sakrash xaydalgan bo'lsa, pastki byefga oqim zARBini kamaytirish uchun energiya so'ndiruvchi devor (to'siq) yoki hovuz qo'llaniladi.

Buning uchun suv o'tkazgich oxirining tubi « d » chuqurlikka pasaytiriladi. Unda siqilgan chuqurlik h_c kamayib borib, u bilan bog'langan h''_c ko'payib boradi. Natijada sakrash siqilgan kesimga suriladi va pastki byefga ta'sir kamayadi.

Hovuzning chuqurligi (d)-ni quyidagicha aniqlanadi. Sakrash ayni siqilgan kesimda bo'lishi sharti bajarilishi uchun quyidagi tenglamani yozamiz:

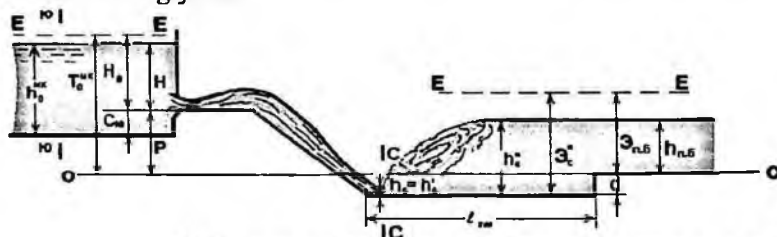
$$\mathcal{E}_c^* = \mathcal{E}_{n.b.} + d \quad (19.1)$$

bu yerda

$$\mathcal{E}_c^* = h_c'' + \frac{\alpha(g_c^*)^2}{2g}; \text{ yoki } \mathcal{E}_c^* = h_c'' + \frac{\alpha Q_{\max}^2}{2g\omega^2}$$

$$\mathcal{E}_{n.b.} = h_{n.b.} + \frac{\alpha(g_{n.b.}^*)^2}{2g};$$

\mathcal{E}_c^* va $\mathcal{E}_{n.b.}$ - sakrashdan keyingi va pastki byefdagi kesimlarning solishtirma energiyalari.



19.1 - rasm - Energiya so'ndiruvchi hovuz sxemasi.

Hovuzning uzunligini quyidagicha aniqlash mumkin:
M.R.Chertousov formulasi:

$$l_{exp} = (0,7 \dots 0,8) l_{exp};$$

$l_{exp} = 2,5(1,9h_c'' - h_c')$ - gidravlik sakrashning uzunligi.

N.N.Pavlovskiy formulasi:

$$l_{exp} = (0,7 \dots 0,8) l_{exp}; \quad l_{exp} = 2,5(1,9h_c'' - h_c').$$

Hisoblash tartibi:

- Pastki byefdagi kesimning solishtirma energiyasi aniqlanadi:

$$\mathcal{E}_{n.e.} = h_{sys} + \frac{\alpha Q^2}{2g\omega_{sys}^2};$$

bu yerda: h_{sys} - ko'milish chiqurligi;

$$\omega_{sys} = h_{sys} (b_{mu} + mh_{sys});$$

b_{mu} - tezoqar sharshara quyi qismining kengligi.

m - qiyalik koefitsiyenti.

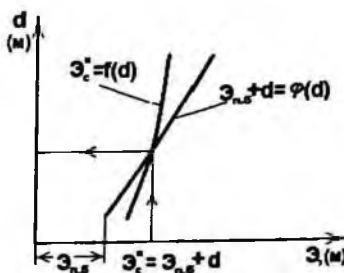
- Hisoblash tanlash usulida bajariladi. Hovuz chiqurligiga bir necha qiymat berib, $h_c = f(T_0^{n^6})$ grafikdan siqilgan kesimdagi chiqurlikni aniqlaymiz.

- Hisoblash natijalarini jadvalda keltiramiz:

19.1 –jadval

$d,$ m	$(T_0^{n^6} + d),$ m	$h_c,$ m	$h_c^*,$ m	$\omega_c^*,$ m^2	$\frac{\alpha Q^2}{2g\omega_c^2},$ m	$\mathcal{E}_c^*,$ m	$\mathcal{E}_{n.e.} + d,$ m
1	2	3	4	5	6	7	8

SHu jadvaldagagi qiymatlarga qarab, $\mathcal{E}_c^* = f(d)$ va $\mathcal{E}_{n.e.} + d = \varphi(d)$ grafiklarni quramiz (19.2 – rasm).



19.2 – rasm – Energiya so'ndiruvchi hovuz chiqurligini aniqlash grafigi

Sakrash siqilgan kesimda bo'lishini ta'minlovchi hovuzning chiqurligi (d)-ni shu grafikdan olamiz.

- Hovuzning uzunligini N.N.Pavlovskiy formulasi bo'yicha aniqlaymiz:

$$l_{soe} = (0,7 \dots 0,8) l_{casp}; \quad l_{casp} = 2,5(1,9h_c'' - h_c')$$

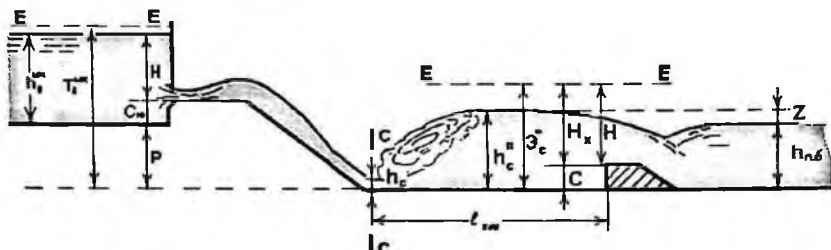
19.2. Energiya so'ndiruvchi devor (to'siq)

Suv zarbini kamaytirish uchun amaliyotda energiya so'ndiruvchi devor ham keng qo'llaniladi.

Gidravlik sakrashni siqilgan kesimda hosil qilish uchun ushbu devorning balandligini (C) va devor bilan tashkil qilingan hovuz uzunligi (l_{∞}) ni aniqlash kerak.

Hisoblash tartibi:

1. Sxema mashtabda chiziladi.



19.3– rasm - Energiya so'ndiruvchi devor sxemasi.

Energiya so'ndiruvchi devor sakrashni xaydalishiga yo'l bermaydi.

Energiya so'ndiruvchi devor amaliy profildagi suv o'tkazgichga o'xshab ishlaydi. Bu holda sarf koefitsiyenti:

$$m \approx 0,40 \dots 0,44 \approx 0,42$$

Sakrash siqilgan kesimda sodir bo'lishi uchun quyidagi shart bajarilishi kerak:

$$\mathcal{H}_c = H_x + c$$

Shu shartni bajarish uchun energiya so'ndiruvchi devorning balandligi (C) tanlash usulida aniqlanadi.

Devor ustidagi hisobiy napor (H_x) ko'milmagan amaliy profildagi suv o'tkazgichlarning hisoblash tenglamasidan aniqlanadi.

H_x - suv o'tkazgichdagi hisobiy napor:

$$H_x = \left(\frac{Q}{mb_x \sqrt{2g}} \right)^{2/3}$$

Trapetsiya shaklidagi kanalda devor ustidagi hisoblash kengligi quyidagi formula orqali aniqlanadi:

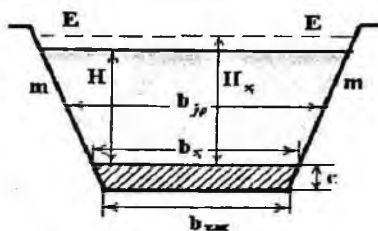
$$b_x = b_{\min} + 2 \cdot m \cdot c + 0,8 \cdot m \cdot H$$

bu yerda m - suv urilma qismining qiyalik koefitsiyenti;

H - devor oldidagi geometrik napor:

$$H = h_c'' - c$$

b_{max} - tezoqar- sharshara quyi qismining kengligi.



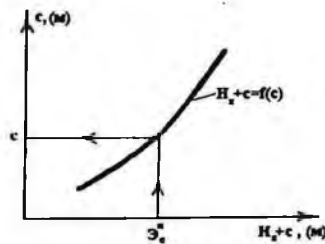
19.4 –rasm – Energiya so‘ndiruvchi devor oldidagi oqim ko‘ndalang kesimi.

Masala tanlash usulda yechiladi. Devorning balandligi (C)-ga bir necha qiymatlar beramiz va $H_x + c = f(c)$ grafigini quramiz va σ qiymatiga qarab, grafikdan « C » qiymatini olamiz.

Hisoblash natijalarini jadvalda keltiramiz:

19.2 - jadval

s	N	b_h	H_h	$H_h + C$



19.5 – rasm - Energiya so‘ndiruvchi devor balandligini aniqlash grafigi

Energiya so‘ndiruvchi devor hosil qilgan hovuzning uzunligi:

$$l_{max} = (0,7 \dots 0,8) l_{comp}; \quad l_{comp} = 2,5(1,9h_c'' - h_c')$$

XIX bob bo‘yicha nazorat savollari:

1. Energiyanı so‘ndiruvchi xovuz.
2. Energiya so‘ndiruvchi devor (to‘siq).
3. Energiya so‘ndiruvchi hovuz chuqurligini aniqlash grafigi.
4. Energiya so‘ndiruvchi devor (to‘siq).

ILOVALAR

Illova, 1-jadval

Suvning kinematik yopishqoqlik koefitsiyenti v , $\text{cm}^2/\text{сек}$, haroratga bog'liq xolda

i°	v	i°	v	i°	v
1	0,017321	11	0,012740	22	0,009892
2	0,016740	12	0,012396	24	0,009186
3	0,016193	13	0,012067	26	0,008774
4	0,015676	14	0,011756	28	0,008394
5	0,015188	15	0,011463	30	0,008032
6	0,014726	16	0,011177	35	0,007251
7	0,014289	17	0,010888	40	0,006587
8	0,013873	18	0,010617	45	0,006029
9	0,013479	19	0,010356	50	0,005558
10	0,013101	20	0,010105	55	0,005147
				60	0,004779

Парабола шаклдаги каналлар йисобидаги функциялардаги R_0 и $g_0 \frac{n}{\sqrt{i}}$ кийматлари

Illova, 2-jadval

R_0	$0,159 \frac{Qn}{\sqrt{i}}$	$g_0 \frac{n}{\sqrt{i}}$	R_0	$0,159 \frac{Qn}{\sqrt{i}}$	$g_0 \frac{n}{\sqrt{i}}$	R_0	$0,159 \frac{Qn}{\sqrt{i}}$	$g_0 \frac{n}{\sqrt{i}}$
0,025	0,000047	0,07561	0,25	0,02368	0,3789	0,60	0,2518	0,6994
30	0,000077	0,08590	26	0,02633	0,3895	62	0,2751	0,7156
35	0,000117	0,09569	27	0,02915	0,3999	64	0,2997	0,7317
40	0,000168	0,1053	28	0,03216	0,4102	66	0,3257	0,7476
45	0,000232	0,1141	29	0,03536	0,4204	68	0,3530	0,7634
0,050	0,000307	0,1228	0,30	0,03875	0,4305	0,70	0,3817	0,7791
55	0,000397	0,1313	31	0,04233	0,4405	72	0,4119	0,7946
60	0,000502	0,1395	32	0,04612	0,4504	74	0,4435	0,8100
65	0,000624	0,1476	33	0,05012	0,4602	76	0,4767	0,8252
70	0,000762	0,1554	34	0,05432	0,4699	78	0,5113	0,8404
0,075	0,000918	0,1631	0,35	0,05875	0,4796	0,80	0,5475	0,8554
80	0,00109	0,1707	36	0,06339	0,4891	82	0,5852	0,8703
85	0,00129	0,1781	37	0,06826	0,4986	84	0,6245	0,8851
90	0,00150	0,1853	38	0,07335	0,5080	86	0,6655	0,8998
95	0,00174	0,1925	39	0,07868	0,5173	88	0,7081	0,9144
0,100	0,00200	0,1995	0,40	0,08425	0,5266	0,90	0,7724	0,9289
11	0,00258	0,2133	41	0,09006	0,5357	92	0,7984	0,9433
12	0,00326	0,2257	42	0,09611	0,5449	94	0,8461	0,9676
13	0,00405	0,2398	43	0,1024	0,5539	96	0,8956	0,9718
14	0,00495	0,2525	44	0,1085	0,5629	98	0,9469	0,9860
0,15	0,00596	0,2650	0,45	0,1158	0,5718	0,00	0,0000	0,0000
16	0,00710	0,2773	46	0,1229	0,5807	02	0,055	0,04

2-jadval davomi

R_s	$0,159 \frac{Qn}{\sqrt{i}}$	$g_0 \frac{n}{\sqrt{i}}$	R_s	$0,159 \frac{Qn}{\sqrt{i}}$	$g_0 \frac{n}{\sqrt{i}}$	R_s	$0,159 \frac{Qn}{\sqrt{i}}$	$g_0 \frac{n}{\sqrt{i}}$
17	0,00836	0,2893	47	0,1302	0,5895	04	0,112	0,028
18	0,00976	0,3011	48	0,1378	0,5982	06	0,170	0,042
19	0,01129	0,3127	49	0,1457	0,6069	08	0,231	0,055
20	0,01297	0,3241	50	0,1539	0,6156	10	0,294	0,069
21	0,01479	0,3354	52	0,1711	0,6327	12	0,358	0,083
22	0,01677	0,3465	54	0,1894	0,6497	14	0,424	0,096
23	0,01891	0,3575	56	0,2090	0,6664	16	0,493	0,110
24	0,02121	0,3683	58	0,2298	0,6830	18	0,563	0,123

Парабола шақылдагы каналларнинг ысабынга дейр жадвалы

Nova, 3-jadval $\alpha = 1.0$

β	x	$\frac{h}{R_s}$	$\frac{B}{R_s}$	β	x	$\frac{h}{R_s}$	$\frac{B}{R_s}$
2.00	8.000	2.594	5.187	8.00	17.00	1.425	11.40
20	8.036	2.474	5.444	20	17.38	1.411	11.57
40	8.133	2.373	5.694	40	17.75	1.398	11.74
60	8.277	2.285	5.940	60	18.13	1.385	11.92
80	8.457	2.207	6.181	80	18.51	1.373	12.08
3.00	8.667	2.139	6.417	9.00	18.89	1.361	12.25
20	8.900	2.078	6.650	20	19.27	1.350	12.42
40	8.153	2.023	6.878	40	19.65	1.339	12.58
60	9.422	1.973	7.103	60	20.03	1.328	12.75
80	9.705	1.928	7.325	80	20.42	1.317	12.91
4.00	10.000	1.886	7.544	10.00	20.80	1.307	13.07
20	10.30	1.841	7.759	20	21.18	1.297	13.23
40	10.62	1.812	7.971	40	21.57	1.288	13.39
60	10.94	1.778	8.181	60	21.95	1.278	13.55
80	11.27	1.747	8.388	80	22.34	1.269	13.71
5.00	11.00	1.718	8.592	11.00	22.73	1.260	13.86
20	11.60	1.7	8.794	20	23.11	1.251	14.02
40	12.28	1.665	8.993	40	23.50	1.243	14.17
60	12.63	1.641	9.190	60	23.89	1.235	14.32
6.00	12.98	1.618	9.588	12.00	24.88	1.229	14.68
20	13.69	1.575	9.768	20	25.05	1.211	14.78
40	14.05	1.556	9.956	40	25.45	1.204	14.93
60	14.41	1.537	10.14	60	25.83	1.196	15.07
80	14.78	1.519	10.33	80	26.23	1.189	15.22
7.00	15.14	1.501	10.51	13.00	26.62	1.182	15.37
20	15.51	1.485	10.69	20	27.01	1.175	15.52
40	15.88	1.469	10.87	40	27.40	1.169	15.65
60	15.25	1.454	11.05	60	27.79	1.162	15.81
80	15.63	1.439	11.23	80	28.18	1.156	15.95

β	x	$\frac{h}{R_0}$	$\frac{B}{R_0}$	$\frac{1}{a^{\alpha-1}} \cdot \frac{1}{R_0}$	β	x	$\frac{h}{R_0}$	$\frac{B}{R_0}$	$\frac{1}{a^{\alpha-1}} \cdot \frac{1}{R_0}$
2.056	6.560	2.161	4.442	2.284	8.00	12.98	1.193	9.546	19.09
20	6.573	2.090	4.597	2.529	20	13.26	1.182	9.695	19.86
40	6.629	2.003	4.807	2.884	40	13.54	1.171	9.833	20.65
60	6.720	1.928	5.012	3.258	60	13.82	1.160	9.974	21.44
80	6.838	1.861	5.212	3.649	80	14.10	1.149	10.11	22.25
3.00	6.979	1.803	5.409	4.057	9.00	14.38	1.139	10.25	23.07
20	7.138	1.751	5.602	4.482	20	14.66	1.130	10.39	23.90
40	7.312	1.703	5.792	4.923	40	14.94	1.120	10.58	24.75
60	7.499	1.661	5.979	5.381	60	15.22	1.111	10.67	25.60
80	7.697	1.622	6.163	5.854	80	15.51	1.102	10.80	26.47
4.00	7.905	1.586	6.344	6.344	10.00	15.79	1.094	10.94	27.34
20	8.120	1.553	6.522	6.848	20	16.08	1.085	11.07	28.23
40	8.343	1.522	6.698	7.368	40	16.36	1.077	11.20	29.13
60	8.572	1.494	6.872	7.903	60	16.65	1.069	11.33	30.04
80	8.806	1.467	7.044	8.452	80	16.93	1.062	11.47	30.96
5.00	9.046	1.443	7.213	9.016	11.00	17.22	1.054	11.60	31.89
20	9.290	1.419	7.380	9.594	20	17.51	1.047	11.72	32.83
40	9.537	1.397	7.546	10.19	40	17.80	1.040	11.85	33.78
60	9.788	1.377	7.709	10.79	60	18.08	1.033	11.98	34.74
80	10.04	1.357	7.871	11.41	80	18.37	1.026	12.11	35.72
6.00	10.30	1.338	8.031	12.05	12.00	18.66	1.019	12.23	36.70
20	10.56	1.321	8.189	12.69	20	18.95	1.013	12.36	37.69
40	10.82	1.304	8.346	13.35	40	19.24	1.007	12.48	38.70
60	11.09	1.288	8.501	14.03	60	19.53	1.001	12.61	39.71
80	11.35	1.273	8.654	14.71	80	19.82	0.995	12.73	40.74
7.00	11.62	1.258	8.806	15.41	13.00	20.11	0.999	12.85	41.77
20	11.89	1.244	8.957	16.12	20	20.40	0.983	12.97	42.81
40	12.16	1.231	9.106	16.85	40	20.69	0.977	13.10	43.87
60	12.44	1.218	9.254	17.58	60	20.98	0.972	13.22	44.93
80	12.71	1.208	9.400	18.33	80	21.28	0.966	13.34	46.01

3-jadval davomi $\alpha = 3.0$

β	x	$\frac{h}{R_s}$	$\frac{B}{R_0}$	$\frac{1}{\sigma^{n-1}} \frac{1}{R_s}$	β	x	$\frac{h}{R_s}$	$\frac{B}{R_0}$	$\frac{1}{\sigma^{n-1}} \frac{1}{R_s}$
2.112	6.381	2.003	4.231	2.174	8.00	11.82	1.112	8.894	8.894
20	6.385	1.963	4.319	2.265	20	12.06	1.101	9.027	9.140
40	6.422	1.881	4.514	2.472	40	12.30	1.090	9.160	9.386
60	6.489	1.809	4.704	2.682	60	12.54	1.080	9.291	9.633
80	6.581	1.747	4.891	2.893	80	12.79	1.071	9.421	9.880
3.00	6.694	1.691	5.073	3.107	9.00	13.03	1.061	9.550	10.13
20	6.823	1.641	5.252	3.322	20	13.28	1.052	9.678	10.38
40	6.965	1.596	5.428	3.538	40	13.52	1.045	9.805	10.63
60	7.120	1.556	5.600	3.757	60	13.77	1.034	9.931	10.87
80	7.285	1.518	5.770	3.977	80	14.02	1.026	10.06	11.13
4.00	7.458	1.484	5.938	4.196	10.00	14.27	1.018	10.18	11.38
20	7.639	1.453	6.102	4.422	20	14.52	1.010	10.30	11.64
40	7.827	1.424	6.265	4.646	40	14.77	1.003	10.43	11.89
60	8.020	1.397	6.425	4.872	60	15.02	0.995	10.55	12.14
80	8.219	1.372	6.584	5.100	30	15.27	0.988	10.67	12.40
5.00	8.422	1.348	6.740	5.328	11.00	15.52	0.981	10.79	12.65
20	8.630	1.326	6.894	5.559	20	15.77	0.974	10.91	12.91
40	8.841	1.305	7.047	5.790	40	16.02	0.967	11.03	13.17
60	9.056	1.285	7.198	6.022	60	16.28	0.961	11.15	13.42
80	9.274	1.267	7.347	6.256	80	16.53	0.955	11.26	13.68
6.00	9.495	1.249	7.495	6.491	12.00	16.78	0.948	11.38	13.94
20	9.718	1.232	7.641	6.727	20	17.04	0.942	11.50	14.20
40	9.944	1.216	7.735	6.964	40	17.29	0.937	11.61	14.46
60	10.17	1.201	7.929	7.202	60	17.55	0.931	11.73	14.72
80	10.40	1.187	8.070	7.441	80	17.80	0.925	11.84	14.98
7.00	10.63	1.173	8.211	7.680	13.00	18.06	0.920	11.96	15.24
20	10.87	1.160	8.350	7.921	20	18.31	0.914	12.07	15.50
40	11.10	1.147	8.488	8.163	40	18.57	0.909	12.16	15.76
60	11.34	1.135	8.624	8.406	60	18.83	0.904	12.29	16.03
80	11.58	1.123	8.760	8.650	80	19.08	0.899	12.40	16.29

3-jadval davomi $\alpha = 4.0$

β	x	$\frac{h}{R_s}$	$\frac{B}{R_0}$	$\frac{1}{a^{n-1}} \cdot \frac{1}{R_0}$	β	x	$\frac{h}{R_s}$	$\frac{B}{R_0}$	$\frac{1}{a^{n-1}} \cdot \frac{1}{R_0}$
2.147	6.390	1.924	4.130	2.112	8.00	11.32	1.071	8.566	6.799
20	6.392	1.901	4.182	2.159	20	11.54	1.060	8.693	6.957
40	6.419	1.821	4.370	2.322	40	11.77	1.050	8.820	7.115
60	6.475	1.751	4.554	2.485	60	11.99	1.040	8.945	7.273
80	6.555	1.690	4.733	2.647	80	12.22	1.031	9.070	7.431
3.00	6.654	1.636	4.908	2.309	9.00	12.44	1.021	9.193	7.589
20	6.768	1.588	5.080	2.971	20	12.67	1.013	9.316	7.747
40	6.896	1.544	5.249	3.132	40	12.90	1.004	9.437	7.904
60	7.034	1.504	5.414	3.293	60	13.12	0.996	9.558	8.061
80	7.182	1.468	5.577	3.454	80	13.35	0.938	9.678	8.219
4.00	7.339	1.434	5.737	3.614	10.00	13.58	0.980	9.797	8.377
20	7.502	1.404	5.895	3.775	20	13.81	0.972	9.916	8.534
40	7.672	1.375	6.051	3.935	40	14.05	0.965	10.03	8.691
60	7.848	1.349	6.204	4.095	60	14.28	0.968	10.15	8.846
80	8.028	1.324	6.356	4.255	80	14.51	0.951	10.27	9.005
5.00	8.213	1.301	6.506	4.415	11.00	14.74	0.944	10.38	9.162
20	3.402	1.279	6.653	4.574	20	14.98	0.937	10.50	9.319
40	8.595	1.259	6.799	4.734	40	15.21	0.931	10.61	9.476
60	8.791	1.240	6.944	4.893	60	15.45	0.924	10.72	9.637
80	8.980	1.222	7.086	5.053	80	15.68	0.918	10.84	9.790
6.00	9.192	1.205	7.227	5.312	12.00	15.92	0.912	10.95	9.946
20	9.396	1.138	7.367	5.371	20	16.15	0.906	11.06	10.10
40	9.603	1.173	7.505	5.530	40	16.39	0.901	11.17	10.26
60	9.812	1.158	7.642	5.689	60	16.63	0.895	11.28	10.42
80	10.02	1.144	7.778	5.848	80	16.86	0.890	11.39	10.57
7.00	10.24	1.130	7.912	6.007	13.00	17.10	0.884	11.50	10.73
20	10.45	1.117	8.045	6.065	20	17.34	0.879	11.61	10.88
40	10.67	1.105	8.177	6.324	40	17.58	0.874	11.71	11.04
60	10.88	1.093	8.308	6.482	60	17.81	0.869	11.82	11.20
80	11.10	1.082	8.437	6.641	80	18.05	0.864	11.93	11.35

3-jadval davomi $\alpha = 5.0$

β	x	$\frac{h}{R_0}$	$\frac{B}{R_0}$	$\frac{1}{\sigma^{n-1}} \frac{h}{R_0}$	β	x	$\frac{h}{R_0}$	$\frac{B}{R_0}$	$\frac{1}{\sigma^{n-1}} \frac{h}{R_0}$
2.165	6.446	1.881	4.072	2.078	8.00	11.08	1.046	8.371	5.919
20	6.446	1.865	4.102	2.100	20	11.29	1.036	8.494	6.044
40	6.469	1.786	4.286	2.243	40	11.51	1.026	8.617	6.168
60	6.520	1.718	4.466	2.384	60	11.72	1.016	8.739	6.292
80	6.593	1.657	4.641	2.524	80	11.93	1.007	8.860	6.416
3.00	6.685	1.604	4.812	2.663	9.00	12.14	0.998	8.980	6.540
20	6.791	1.556	4.980	2.800	20	12.36	0.989	9.099	6.663
40	6.910	1.513	5.144	2.937	40	12.58	0.981	9.218	6.786
60	7.040	1.474	5.305	3.073	60	12.79	0.972	9.335	6.909
80	7.178	1.438	5.464	3.208	80	13.01	0.964	9.452	7.031
4.00	7.325	1.405	5.620	3.342	10.00	13.23	0.967	9.568	7.164
20	7.478	1.374	5.774	3.475	20	13.45	0.949	9.683	7.275
40	7.635	1.347	5.925	3.608	40	13.67	0.942	9.797	7.397
60	7.803	1.321	6.075	3.741	60	13.89	0.935	9.911	7.519
80	7.973	1.296	6.222	3.818	80	14.11	0.929	10.02	7.640
5.00	8.147	1.274	6.368	4.003	11.00	14.33	0.921	10.14	7.761
20	8.325	1.252	6.511	4.134	20	14.55	0.915	10.25	7.882
40	8.507	1.232	6.653	4.264	40	14.77	0.909	10.36	8.002
60	8.691	1.213	6.794	4.394	60	15.00	0.902	10.47	8.122
80	8.679	1.195	6.982	4.523	80	15.22	0.896	10.58	8.242
6.00	9.069	1.175	7.070	4.652	12.00	15.45	0.890	10.69	8.362
20	9.262	1.162	7.205	4.780	20	15.67	0.885	10.79	8.482
40	9.458	1.147	7.340	4.908	40	15.90	0.879	10.90	8.601
60	9.655	1.132	7.473	5.036	60	16.12	0.874	11.01	8.720
80	9.854	1.118	7.605	5.153	80	16.35	0.868	11.11	8.839
7.00	10.06	1.105	7.735	5.290	13.00	16.57	0.863	11.22	8.958
20	10.26	1.092	7.864	5.416	20	16.80	0.858	11.33	9.077
40	10.46	1.080	7.993	5.543	40	17.03	0.853	11.43	9.193
60	10.67	1.068	8.120	5.668	60	17.25	0.848	11.53	9.313
80	10.88	1.057	8.246	5.794	80	17.48	0.843	11.64	9.431

3-jadval davomi $\alpha = 6.0$

β	x	$\frac{h}{R_o}$	$\frac{B}{R_0}$	$\frac{1}{\alpha^{\alpha-1}} \frac{1}{R_0}$	β	x	$\frac{h}{R_o}$	$\frac{B}{R_0}$	$\frac{1}{\alpha^{\alpha-1}} \frac{1}{R_0}$
2.176	6.513	1.851	4.027	2.048	8.00	10.97	1.030	8.242	5.438
20	6.513	1.841	4.050	2.064	20	11.17	1.020	8.364	5.545
40	6.533	1.763	4.232	2.194	40	11.37	1.010	8.484	5.652
60	6.581	1.696	4.408	2.323	60	11.55	1.000	8.604	5.759
80	6.651	1.636	4.581	2.450	80	11.78	0.991	8.722	5.865
3.00	6.738	1.583	4.749	2.575	9.00	11.99	0.982	8.840	5.971
20	6.839	1.536	4.914	2.699	20	12.19	0.974	8.957	6.077
40	6.953	1.493	5.076	2.822	40	12.40	0.965	9.073	6.182
60	7.077	1.454	5.250	2.944	60	12.61	0.957	9.188	6.285
80	7.211	1.419	5.391	3.065	80	12.32	0.949	9.303	6.392
4.00	7.351	1.386	5.544	3.184	10.00	13.03	0.942	9.416	6.496
20	7.498	1.355	5.695	3.303	20	13.24	0.934	9.529	6.600
40	7.652	1.328	5.844	3.421	40	13.45	0.927	9.641	6.703
60	7.810	1.302	5.991	3.538	60	13.67	0.920	9.752	6.806
80	7.973	1.278	6.135	3.656	80	13.88	0.913	9.863	6.910
5.00	8.140	1.256	6.278	3.770	11.00	14.09	0.907	9.973	7.012
20	8.311	1.234	6.419	3.885	20	14.31	0.900	10.08	7.115
40	8.486	1.214	6.558	4.000	40	14.52	0.894	10.19	7.217
60	8.664	1.196	6.696	4.113	60	14.74	0.888	10.30	7.319
80	8.844	1.178	6.832	4.227	80	14.95	0.882	10.41	7.420
6.00	9.027	1.151	6.967	4.339	12.00	15.17	0.876	10.51	7.522
20	9.212	1.145	7.100	4.451	20	15.39	0.870	10.62	7.623
40	9.400	1.130	7.232	4.563	40	15.60	0.865	10.72	7.723
60	9.590	1.115	7.362	4.674	60	15.82	0.859	10.83	7.824
80	9.781	1.102	7.491	4.784	80	16.04	0.854	10.93	7.924
7.00	9.975	1.088	7.619	4.894	13.00	16.27	0.849	11.04	8.024
20	10.17	1.076	7.746	5.004	20	16.48	0.844	11.14	8.124
40	10.37	1.064	7.842	5.113	40	16.69	0.839	11.24	8.224
60	10.56	1.052	7.996	5.222	60	16.91	0.834	11.35	8.323
80	10.76	1.041	8.120	5.330	80	17.13.	0.829	11.45	8.422

3-jadval davomi $\alpha = 7.0$

β	x	$\frac{h}{R_o}$	$\frac{B}{R_o}$	$\frac{1}{\sigma^{n-1}} \frac{1}{R_o}$	β	x	$\frac{h}{R_o}$	$\frac{B}{R_o}$	$\frac{1}{\sigma^{n-1}} \frac{1}{R_o}$
2.181	6.580	1.833	3.998	2.028	8.00	10.91	1.019	8.152	5.136
20	6.580	1.824	4.013	2.039	20	11.10	1.009	8.272	5.233
40	6.599	1.747	4.193	2.161	40	11.30	0.999	8.391	5.329
60	6.645	1.680	4.368	2.282	60	11.50	0.989	8.509	5.425
80	6.712	1.621	4.539	2.400	80	11.70	0.980	3.626	5.521
3.00	6.797	1.569	4.706	2.517	9.00	11.90	0.971	8.742	5.616
20	6.896	1.522	4.829	2.633	20	12.10	0.963	8.857	5.711
40	7.006	1.479	5.029	2.747	40	12.30	0.954	8.971	5.805
60	7.127	1.440	5.186	2.860	60	12.51	0.946	9.085	5.899
80	7.257	1.405	5.340	2.971	80	12.71	0.939	9.197	5.993
4.00	7.393	1.373	5.491	3.082	10.00	12.92	0.931	9.309	6.087
20	7.537	1.342	5.640	3.191	20	13.12	0.924	9.421	6.180
40	7.686	1.315	5.787	3.300	40	13.33	0.916	9.531	6.273
60	7.840	1.290	5.932	3.408	60	13.53	0.910	9.641	6.365
80	7.999	1.266	6.075	3.514	80	13.74	0.903	9.750	6.457
5.00	8.161	1.243	6.216	3.621	11.00	13.95	0.896	9.858	6.549
20	8.328	1.222	6.355	3.726	20	13.16	0.890	9.966	6.640
40	8.497	1.202	6.492	3.830	40	14.37	0.884	10.07	6.731
60	8.670	1.184	6.628	3.939	60	14.58	0.878	10.18	6.822
80	8.845	1.166	6.762	4.058	80	14.79	0.872	10.28	6.913
6.00	9.023	1.149	6.895	4.140	12.00	15.00	0.866	10.39	7.003
20	9.204	1.133	7.026	4.242	20	15.21	0.860	10.49	7.093
40	9.386	1.118	7.156	4.343	40	15.42	0.855	10.60	7.183
60	9.571	1.104	7.285	4.444	60	15.63	0.849	10.70	7.272
80	9.757	1.090	7.412	4.545	80	15.85	0.844	10.80	7.361
7.00	9.945	1.077	7.538	4.644	13.00	16.06	0.839	10.91	7.450
20	10.13	1.064	7.653	4.744	20	16.27	0.834	11.01	7.539
40	10.33	1.052	7.787	4.842	40	16.48	0.829	11.11	7.627
60	10.52	1.041	7.910	4.941	60	16.70	0.824	11.21	7.715
80	10.71	1.030	8.932	5.038	80	16.91	0.320	11.31	7.803

3-jadval davomi

 $\alpha = 8.0$

β	x	$\frac{h}{R_o}$	$\frac{B}{R_o}$	$\frac{1}{\sigma^{\alpha-1}}$ $\frac{1}{R_o}$	β	x	$\frac{h}{R_o}$	$\frac{B}{R_o}$	$\frac{1}{\sigma^{\alpha-1}}$ $\frac{1}{R_o}$
2.183	6.643	1.819	3.971	2.010	8.00	10.89	1.011	8.086	4.929
20	6.643	1.812	3.987	2.021	20	11.08	1.001	8.205	5.019
40	6.661	1.736	4.165	2.138	40	11.27	0.991	8.322	5.108
60	6.706	1.669	4.339	2.252	60	11.47	0.981	8.439	5.197
80	6.772	1.610	4.508	2.365	80	11.66	0.972	8.554	5.285
3.00	6.856	1.558	4.674	2.476	9.00	11.86	0.963	8.669	5.374
20	6.953	1.511	4.836	2.586	20	12.06	0.955	8.783	5.461
40	7.061	1.469	5.994	2.694	40	12.25	0.946	8.896	5.544
60	7.180	1.430	5.150	2.800	60	12.45	0.938	9.008	5.638
80	7.307	1.395	5.302	2.906	80	12.65	0.931	9.120	5.722
4.00	7.442	1.363	5.452	3.010	10.00	12.85	0.923	9.231	5.803
20	7.582	1.333	5.600	3.113	20	13.05	0.916	9.341	5.894
40	7.729	1.306	5.746	3.215	40	13.26	0.909	9.450	5.980
60	7.880	1.280	5.889	3.317	60	13.46	0.902	9.558	6.066
80	8.035	1.256	6.030	3.417	80	13.66	0.895	9.666	6.150
5.00	8.195	1.234	6.170	3.516	11.00	13.86	0.888	9.773	6.234
20	8.358	1.213	6.308	3.615	20	14.07	0.882	9.880	6.318
40	8.524	1.193	6.444	3.713	40	14.27	0.876	9.986	6.402
60	8.693	1.175	6.578	3.810	60	14.48	0.870	10.09	6.486
80	8.865	1.157	6.711	3.907	80	14.69	0.864	10.20	6.569
6.00	9.040	1.140	6.842	4.003	12.00	14.89	0.858	10.30	6.652
20	9.217	1.125	6.972	4.098	20	15.10	0.853	10.40	6.735
40	9.395	1.110	7.101	4.192	40	15.31	0.847	10.51	6.817
60	9.576	1.095	7.228	4.286	60	15.51	0.842	10.61	6.899
80	9.758	1.081	7.354	4.380	80	15.72	0.837	10.71	6.981
7.00	9.943	1.068	7.479	4.472	13.00	15.93	0.832	10.81	7.062
20	10.13	1.056	7.603	4.565	20	16.14	0.827	10.91	7.144
40	10.32	1.044	7.725	4.656	40	16.35	0.822	11.01	7.225
60	10.50	1.032	6.847	4.748	60	16.56	0.817	11.11	7.306
80	10.69	1.021	7.967	4.838	80	15.77	0.812	11.21	7.386

3-jadval davomi $\alpha = 9.0$

β	x	$\frac{h}{R_e}$	$\frac{B}{R_0}$	$\frac{\frac{1}{\sigma^{\pi-1}}}{R_0}$	β	x	$\frac{h}{R_e}$	$\frac{B}{R_0}$	$\frac{\frac{1}{\sigma^{\pi-1}}}{R_0}$
2.183	6.700	1.811	3.951	1.997	8.00	10.88	1.005	8.036	4.778
20	6.700	1.803	3.966	2.007	20	11.07	0.994	8.154	4.863
40	6.719	1.727	4.144	2.102	40	11.26	0.985	8.270	4.947
60	6.764	1.660	4.317	2.230	60	11.45	0.975	8.386	5.031
80	6.830	1.602	4.485	2.234	80	11.55	0.966	8.500	5.115
3.00	6.912	1.550	4.650	2.446	9.00	11.84	0.957	8.614	5.198
20	7.008	1.503	4.810	2.551	20	12.03	0.949	8.727	5.280
40	7.116	1.461	4.968	2.654	40	12.23	0.940	8.839	5.363
60	7.233	1.423	5.122	2.756	60	12.43	0.932	8.950	5.441
80	7.359	1.388	5.274	2.857	80	12.62	0.925	9.061	5.526
4.00	7.491	1.356	5.423	2.957	10.00	12.82	0.917	9.105	5.607
20	7.631	1.326	5.570	3.056	20	13.02	0.910	9.279	5.688
40	7.775	1.299	5.714	3.153	40	13.22	0.903	9.388	5.768
60	7.922	1.273	5.857	3.250	60	13.41	0.896	9.445	5.848
80	8.787	1.249	5.997	3.345	80	13.61	0.889	9.602	5.928
5.00	8.235	1.227	6.135	3.440	11.00	13.81	0.883	9.708	6.007
20	8.395	1.206	6.272	3.534	20	14.02	0.876	9.814	6.086
40	8.559	1.286	6.407	3.627	40	14.22	0.870	9.919	6.165
60	8.726	1.168	6.540	3.719	60	14.42	0.864	10.02	6.243
80	8.895	1.150	6.672	3.811	80	14.62	0.858	10.13	6.321
6.00	9.067	1.134	6.802	3.902	12.00	14.82	0.852	10.23	6.399
20	9.241	1.118	6.931	3.992	20	15.03	0.847	10.33.	6.476
40	9.417	1.103	7.059	4.082	40	15.23	0.841	10.43	6.554
60	9.595	1.089	7.185	4.171	60	15.44	0.836	10.54	6.631
80	9.775	1.075	7.310	4.259	80	15.64	0.831	10.64	6.707
7.00	9.956	1.062	7.434	4.347	13.00	15.85	0.826	10.74	6.784
20	10.14	1.050	7.557	4.434	20	16.05	0.821	10.84	6.860
40	10.32	1.038	7.678	4.521	40	16.26	0.816	10.94	6.935
60	10.51	1.026	7.798	4.607	60	16.46	0.811	11.03	7.011
80	10.70	1.015	7.918	4.693	80	16.67	0.807	11.13	7.086

3-jadval davomi $\alpha = 10.0$

β	x	$\frac{h}{R_o}$	$\frac{B}{R_o}$	$\frac{\frac{1}{\alpha}-1}{R_o}$	β	x	$\frac{h}{R_o}$	$\frac{B}{R_o}$	$\frac{\frac{1}{\alpha}-1}{R_o}$
2.177	6.754	1.805	3.930	1.986	8.00	1.089	0.996	7.997	4.664
20	6.754	1.796	3.950	1.996	20	11.08	0.989	8.113	4.745
40	6.773	1.720	4.127	2.106	40	11.27	0.980	8.229	4.826
60	6.819	1.654	4.800	2.213	60	11.46	0.970	8.344	4.906
80	6.884	1.595	4.467	2.319	80	11.65	0.961	8.458	4.986
3.00	6.966	1.544	4.631	2.422	9.00	11.84	0.952	8.571	5.063
20	7.062	1.497	4.791	2.524	20	12.03	0.944	8.683	5.144
40	7.169	1.455	4.948	2.624	40	12.22	0.936	8.794	5.222
60	7.285	1.417	5.101	2.723	60	12.42	0.928	8.904	5.299
80	7.410	1.382	5.252	2.820	80	12.61	0.920	9.014	5.378
4.00	7.541	1.350	5.401	2.916	10.00	12.80	0.912	9.123	5.455
20	7.679	1.321	5.546	3.012	20	13.00	0.905	9.231	5.532
40	7.822	1.293	5.690	2.106	40	13.20	0.898	9.339	5.608
60	7.970	1.268	5.832	3.199	60	13.39	0.891	9.446	5.684
80	8.121	1.244	5.971	3.290	80	13.59	0.884	9.552	5.760
5.00	8.277	1.222	6.109	3.382	11.00	13.79	0.878	9.657	5.836
20	8.436	1.201	6.244	3.472	20	13.99	0.872	9.762	5.911
40	8.598	1.181	6.379	3.561	40	14.18	0.865	9.866	5.986
60	8.763	1.163	6.511	3.650	60	14.38	0.859	9.970	6.060
80	8.930	1.145	6.642	3.738	80	14.58	0.854	10.07	6.134
6.00	9.100	1.129	6.771	3.825	12.00	14.78	0.848	10.18	6.208
20	9.272	1.113	6.899	3.912	20	14.99	0.842	10.28	6.282
40	9.446	1.098	7.026	3.998	40	15.19	0.837	10.38	6.355
60	9.621	1.084	7.152	4.083	60	15.39	0.832	10.48	6.428
80	9.799	1.070	7.276	4.168	80	15.59	0.826	10.58	6.501
7.00	9.978	1.057	7.399	4.252	13.00	15.79	0.821	10.68	6.574
20	10.16	1.045	7.520	4.335	20	16.00	0.816	10.78	6.646
40	10.34	1.033	7.641	4.418	40	16.20	0.812	10.88	6.718
60	10.52	1.021	7.761	4.501	60	16.40	0.807	10.97	6.789
80	10.71	1.010	7.879	4.583	80	16.61	0.802	11.07	6.861

3-jadval davomi $\alpha = 12.0$

β	x	$\frac{h}{R_o}$	$\frac{B}{R_o}$	$\frac{\frac{1}{\alpha}-1}{R_o}$	β	x	$\frac{h}{R_o}$	$\frac{B}{R_o}$	$\frac{\frac{1}{\alpha}-1}{R_o}$
2.165	6.853	1.799	3.895	1.962	8.00	10.93	0.992	7.940	4.503
20	6.853	1.785	3.927	1.981	20	11.12	0.982	8.055	4.579
40	6.374	1.710	4.104	2.086	40	11.30	0.973	8.169	4.654
60	6.920	1.644	4.275	2.189	60	11.49	0.963	8.283	4.729
80	6.896	1.586	4.441	2.210	80	11.67	0.954	8.396	4.803
3.00	7.067	1.535	4.604	2.388	9.00	11.86	0.945	8.507	4.877
20	7.162	1.488	4.763	2.485	20	12.05	0.937	8.618	4.950
40	7.268	1.447	4.918	2.581	40	12.24	0.929	8.728	5.023
60	7.383	1.409	5.071	2.675	60	12.43	0.921	8.838	5.096
80	7.506	1.374	5.221	2.767	80	12.62	0.913	8.946	5.168
4.00	7.636	1.342	5.368	2.858	10.00	12.81	0.905	9.054	5.240
20	7.772	1.313	5.513	2.949	20	13.00	0.898	9.161	5.312
40	7.912	1.285	5.655	3.038	40	13.19	0.891	9.268	5.383
60	8.058	1.260	5.795	3.126	60	13.39	0.884	9.373	5.454
80	8.207	1.236	5.933	3.210	80	13.58	0.878	9.478	5.524
5.00	8.360	1.214	6.070	3.299	11.00	13.77	0.871	9.583	5.595
20	8.517	1.193	6.204	3.384	20	13.97	0.865	9.686	5.664
40	8.676	1.174	6.337	3.468	40	14.16	0.859	9.789	5.734
60	8.838	1.155	6.468	3.552	60	14.36	0.853	9.892	5.803
80	9.003	1.138	6.598	3.634	80	14.55	0.847	9.994	5.872
6.00	9.170	1.121	6.726	3.716	12.00	14.75	0.841	10.09	5.940
20	9.339	1.105	6.853	3.798	20	14.95	0.836	10.20	6.009
40	9.510	1.090	6.979	3.879	40	15.15	0.830	10.30	6.077
60	9.683	1.076	7.103	3.959	60	15.34	0.825	10.40	6.144
80	9.857	1.063	7.226	4.038	80	15.54	0.820	10.49	6.212
7.00	10.03	1.050	7.347	4.117	13.00	15.74	0.815	10.59	6.279
20	10.21	1.037	7.468	4.195	20	15.94	0.810	10.69	6.346
40	10.39	1.025	7.588	4.273	40	16.14	0.805	10.79	6.412
60	10.57	1.014	7.706	4.350	60	16.34	0.800	10.89	6.479
80	10.75	1.003	7.823	4.427	80	16.54	0.796	10.98	6.545

β	χ	$\frac{h}{R_o}$	$\frac{B}{R_o}$	$\frac{\frac{1}{\alpha-1}}{R_o}$	β	χ	$\frac{h}{R_o}$	$\frac{B}{R_o}$	$\frac{\frac{1}{\alpha-1}}{R_o}$
2.164	6.942	1.793	3.880	1.952	8.00	10.98	0.988	7.900	4.395
20	6.945	1.778	3.912	1.970.	20	11616	0.977	8.015	4.467
40	6.964	1.703	4.088	2.075	40	11.35	0.968	8.128	4.539
60	7.009	1.638	4.258	2.172	60	11.53	0.958	8.241	4.610
80	7.075	1.580	4.424	2.270	80	11.71	0.949	8.353	4.681
3.00	7.156	1.529	4.586	2.365	9.00	11.90	0.940	8.464	4.751
20	7.250	1.482	4.744	2.459	20	12.08	0.932	8.574	4.821
40	7.355	1.441	4.899	2.551	40	12.27	0.924	8.683	4.890
60	7.469	1.405	5.050	2.642	60	12.46	0.916	8.792	4.987
80	7.590	1.368	5.199	2.731	80	12.65	0.908	8.900	5.028
4.00	7.719	1.336	5.345	2.819	10.00	12.83	0.901	9.007	5.097
20	7.853	1.307	5.489	2.906	20	13.02	0.893	9.113	5.165
40	7.992	1.280	5.631	2.991	40	13.21	0.886	9.218	5.232
60	8.136	1.254	5.770	3.076	60	13.40	0.880	9.325	5.300
80	8.284	1.231	5.908	3.158	80	13.60	0.873	9.428	5.367
5.00	8.436	1.209	6.043	3.248	11.00	13.79	0.866	9.551	5.433
20	8.591	1.188	6.177	3.324	20	13.98	0.860	9.860	5.500
40	8.749	1.168	6.309	3.405	40	14.17	0.854	9.756	5.566
60	8.909	1.150	6.439	3.485	60	14.36	0.848	9.858	5.631
80	9.072	1.132	6.563	3.564	80	14.56	0.842	9.959	5.697
6.00	9.23?	1.116	6.695	3.645	12.00	14.75	0.837	10.04	5.762
20	9.404	1.100	6.821	5.721	20	14.95	0.831	10.14	5.826
40	9.574	1.085	6.946	3.798	40	15.14	0.826	10.24	5.891
60	9.745	1.071	7.069	3.865	60	15.34	0.820	10.54	5.955
80	9.917	1.058	7.191	3.951	80	15.53	0.815	10.44	6.019
7.00	10.09	1.045	7.312	4.026	13.00	15.73	0.810	10.55	6.082
20	10.27	1.032	7.432	4.101	20	15.93	0.805	10.63	6.146
40	10.44	1.020	7.551	4.175	40	16.12	0.801	10.73	6.209
60	10.62	1.009	7.668	4.249	60	16.32	0.796	10.82	6.272
80	10.80	0.998	7.785	4.322	80	16.52	0.791	10.92	6.334

β	x	$\frac{h}{R_0}$	$\frac{B}{R_0}$	$\frac{\frac{1}{\alpha}-1}{R_0}$	β	x	$\frac{h}{R_0}$	$\frac{B}{R_0}$	$\frac{\frac{1}{\alpha}-1}{R_0}$
2.163	7.014	1.787	3.866	1.943	8.00	11.03	0.984	7.872	4.317
20	7.018	1.773	3.901	1.963	20	11.21	0.974	7.986	4.387
40	7.038	1.698	4.076	2.063	40	11.33	0.964	8.099	4.456
60	7.083	1.633	4.246	2.160	60	11.57	0.955	8.211	4.525
80	7.148	1.575	4.411	2.256	80	11.76	0.946	8.322	4.593
3.00	7.228	1.524	4.572	2.349	9.00	11.94	0.937	8.432	4.661
20	7.321	1.478	4.730	2.440	20	12.13	0.928	8.542	4.728
40	7.425	1.436	4.884	2.530	40	12.31	0.920	8.651	4.795
60	7.539	1.399	5.035	2.618	60	12.50	0.912	8.759	4.862
80	7.660	1.364	5.183	2.705	80	12.68	0.905	8.866	4.928
4.00	7.787	1.332	5.329	2.791	10.00	12.87	0.897	8.972	4.994
20	7.921	1.303	5.472	2.875	20	13.06	0.890	9.078	5.060
40	8.059	1.276	5.613	2.958	40	13.25	0.883	9.183	5.125
60	8.203	1.250	5.752	3.040	60	13.44	0.876	9.287	5.190
80	8.350	1.227	5.889	3.125	80	13.63	0.870	9.391	5.254
5.00	8.501	1.205	6.024	3.202	11.00	13.82	0.863	9.494	5.318
20	8.655	1.184	6.157	3.281	20	14.01	0.857	9.596	5.382
40	8.812	1.164	6.288	3.359	40	14.20	0.851	9.698	5.445
60	8.971	1.146	6.418	3.437	60	14.39	0.845	9.799	5.509
80	9.133	1.129	6.546	3.514	80	14.58	0.839	9.899	5.571
6.00	9.298	1.112	6.673	3.590	12.00	14.77	0.833	9.999	5.634
20	9.464	1.096	6.798	3.665	20	14.97	0.828	10.10	5.696
40	9.632	1.082	6.922	3.740	40	15.16	0.822	10.20	5.758
60	9.802	1.067	7.045	3.814	60	15.35	0.817	10.30	5.820
80	9.974	1.054	7.166	3.888	80	15.55	0.812	10.39	5.881
7.00	10.15	1.041	7.287	3.961	13.00	15.74	0.807	10.49	5.942
20	10.32	1.029	7.406	4.033	20	15.93	0.802	10.59	6.003
40	10.50	1.017	7.524	4.105	40	16.13	0.707	10.68	6.064
60	10.67	1.005	7.641	4.176	60	16.32	0.793	10.78	6.124
80	10.85	0.994	7.757	4.247	80	16.52	0.780	10.87	6.184

β	z	$\frac{h}{R_o}$	$\frac{B}{R_o}$	$\frac{\frac{1}{\alpha^{n-1}}}{R_o}$	β	z	$\frac{h}{R_o}$	$\frac{B}{R_o}$	$\frac{\frac{1}{\alpha^{n-1}}}{R_o}$
2.163	7.072	1.784	3.359	1.938	8.00	11.08	0.981	7.850	4.259
20	7.077	1.769	5.892	1.957	20	11.26	0.971	7.964	4.327
40	7.097	1.695	4.067	2.055	40	11.44	0.961	8.076	4.394
60	7.141	1.629	4.236	2.151	60	11.62	0.952	8.188	4.461
80	7.205	1.572	4.401	2.245	80	11.80	0.943	8.299	4.527
3.00	7.285	1.521	4.562	2.336	9.00	11.90	0.934	8.409	4.593
20	7.378	1.475	4.719	2.426	20	12.17	0.926	8.518	4.659
40	7.482	1.433	4.873	2.514	40	12.36	0.918	8.626	4.724
60	7.595	1.395	5.023	2.600	60	12.54	0.910	8.734	4.787
80	7.716	1.361	5.171	2.685	80	12.73	0.902	8.840	4.853
4.00	7.843	1.329	5.316	2.769	10.00	12.91	0.895	8.946	4.917
20	7.977	1.300	5.459	2.851	20	13.10	0.887	9.052	4.981
40	8.115	1.273	5.600	2.933	40	13.29	0.880	9.156	5.044
60	8.258	1.247	5.738	3.013	60	13.48	0.874	9.260	5.107
80	8.405	1.224	5.874	3.091	80	13.66	0.867	9.363	5.170
5.00	8.556	1.202	6.009	3.171	11.00	13.85	0.861	9.466	5.232
20	8.710	1.181	6.141	3.248	20	14.04	0.854	9.568	5.294
40	8.867	1.162	6.272	3.325	40	14.23	0.848	9.669	5.356
60	9.026	1.143	6.402	3.401	60	14.42	0.842	9.770	5.417
80	9.188	1.126	6.530	3.476	80	14.61	0.836	9.870	5.478
6.00	9.352	1.109	5.656	3.550	12.00	14.80	0.831	9.969	5.539
20	9.518	1.094	5.781	5.624	20	15.00	0.825	10.07	5.599
40	9.686	1.079	5.904	5.697	40	15.19	0.820	10.17	5.659
60	9.855	1.065	7.027	5.769	60	15.38	0.815	10.26	5.719
80	10.03	1.051	7.148	5.841	80	15.57	0.809	10.36	5.778
7.00	10.20	1.038	7.268	5.912	13.00	15.77	0.804	10.46	5.838
20	10.37	1.026	7.386	5.982	20	15.96	0.800	10.55	5.897
40	10.55	1.014	7.504	4.052	40	16.15	0.795	10.65	5.955
60	10.72	1.003	7.620	4.121	60	16.35	0.790	10.75	6.014
80	10.90	3.992	7.736	4.190	80	16.54	0.786	10.84	6.072

β	x	$\frac{h}{R_0}$	$\frac{B}{R_0}$	$\frac{1}{\alpha^{\alpha-1}} \frac{1}{R_0}$	β	x	$\frac{h}{R_0}$	$\frac{B}{R_0}$	$\frac{1}{\alpha^{\alpha-1}} \frac{1}{R_0}$
2.162	7.128	1.781	3.851	1.934	8.00	11.13	0.979	7.834	4.214
20	7.122	1.766	3.885	1.952	20	11.31	0.969	7.947	4.280
40	7.142	1.691	4.059	2.049	40	11.49	0.959	8.059	4.346
60	7.186	1.626	4.228	2.144	60	11.67	0.950	8.171	4.411
80	7.250	1.569	4.393	2.236	80	11.85	0.941	8.281	4.476
3.00	7.331	1.518	4.553	2.326	9.00	12.04	0.932	8.391	4.541
20	7.424	1.472	4.710	2.414	20	12.22	0.924	8.500	4.605
40	7.528	1.430	4.963	2.501	40	12.40	0.916	8.608	4.669
60	7.641	1.393	5.014	2.586	60	12.59	0.908	8.715	4.732
80	7.762	1.358	5.161	2.669	80	12.77	0.900	8.821	4.795
4.00	7.890	1.327	5.306	2.751	10.00	12.96	0.893	8.927	4.858
20	8.024	1.297	5.449	2.833	20	13.14	0.885	9.032	4.920
40	8.163	1.270	5.589	2.913	40	13.33	0.878	9.136	4.982
60	8.307	1.245	5.727	2.992	60	13.52	0.872	9.239	5.044
80	8.454	1.221	5.863	3.069	80	13.71	0.865	9.342	5.105
5.00	8.605	1.199	5.997	3.147	11.00	13.90	0.859	9.444	5.166
20	8.759	1.179	6.130	3.223	20	14.08	0.852	9.546	5.226
40	8.916	1.159	6.260	3.298	40	14.27	0.846	9.647	5.286
60	9.076	1.141	6.389	3.373	60	14.46	0.840	9.747	5.346
80	9.238	1.124	6.517	3.446	80	14.65	0.834	9.847	5.406
6.00	9.402	1.107	6.643	3.519	12.00	14.84	0.829	9.946	5.465
20	9.569	1.092	6.767	3.591	20	15.03	0.823	10.04	5.524
40	9.737	1.077	6.891	3.663	40	15.22	0.818	10.14	5.582
60	9.906	1.063	7.013	3.737	60	15.42	0.813	10.24	5.641
80	10.08	1.049	7.133	3.804	80	15.61	0.808	10.34	5.699
7.00	10.25	1.036	7.253	3.874	13.00	15.80	0.803	10.43	5.757
20	10.42	1.024	7.371	3.943	20	15.99	0.798	10.53	5.814
40	10.60	1.012	7.489	4.011	40	16.18	0.793	10.62	5.872
60	10.78	1.001	7.605	4.079	60	16.38	0.788	10.72	5.929
80	10.95	1.990	7.720	4.147	80	16.57	0.784	10.81	5.985

Gidravlik radius $R=1m$ bo'lganda, oqimning yuvilmaydigan o'rtacha tezligi
yo'ning qiymatlari (m/s)

Illova, 4-jadval

a) qumli tuproqlar uchun	
1. qum va mayda o'rtacha zarrali	0,45-0,60
2. yirik zarrali qum	0,60-0,75
3. shag'al mayda	0,75-0,90
b) gil tuproq	0,45-0,75

Kanallarning va tabiiy suv oqarlarning g'adir-budirlik koefitsiyenti

Illova, 5-jadval

Kanalda suvning sarfi, m^3/s	Er uzanli sug'orish kanallarning "n" g'adir-budirlik koefitsiyenti	
	O'zaro bog'liq va qumlik zamin tuproqda	SHag'al-qum aralashmalni va shag'alli zamin tuproqda
25 dan yuqori	0,0200	0,0225
1-25	0,0225	0,0250
1 dan kam	0,0250	-
Doimiy shohobcha kanallari, notekis harakatli vaqtma-vaqt (notekis ishlaydigan) doimiy ishlaydigan kanallar shohobchasi	0,0275	-
Sug'orishlar	0,0300	-

Eslatma: 1. Sug'orish kanallar uchun belgilangan g'adir-budirlik koefitsiyentining ahamiyatiga nisbatan suv yig'uvchi-suv tashlagich kanallar uchun g'adir-budirlik koefitsiyentining ahamiyati 10% ga oshiriladi va jadvalda ko'rsatilgan ahamiyatga keltirib, qabul qilinadi.

2. Mavsumiy ravishda bajariladigan kanallar uchun va kanalning ko'ndalang kesimi ishlar hajmini oxiriga etkazishga bog'liqlikda g'adir-budirlik koefitsiyentining ahamiyati 10-20% ga oshirilib qabul ulinadi.

Kanalning soylik sirtini xarakteriskasi (xususiyati)	Qoyadagi kanallarning a g'adirlik-budirlik koefitsiyenti
Yaxshi ishlab chiqarilgan yer sirti (yer yuzasi)	0,02-0,025
O'rtacha ishlab chiqarilgan do'ngsiz yer sirti	0,03-0,035
O'rtacha ishlab chiqarilgan do'ngli yer sirti	0,04-0,045

Qoplamlar	Qoplamlari kanallarning g'adir-budirlik koeffitsiyenti n
Betonli yaxshi ishlangan	0,012-0,014
Betonli sifatsiz	0,015-0,017
Yig'ma temirbeton tarmovlar	0,012-0,015
Asfalt-bitum qoplamlar	0,013-0,016
Chimlantirilgan uzan	0,03-0,035

Tabiiy suv oqarlarning g'adir-budirlik koeffitsiyenti n

Illova, 6-jadval

O'zanning xarakteristikasi	Tabiiy oqar suvlarning g'adir-budirlik koeffitsiyenti n	O'zanning xarakteristikasi	Tabiiy oqar suvlarning g'adir-budirlik koeffitsiyenti n
Tabiiy o'zan, loyiqli sharoitda, toza, to'g'ri ifloslangan, yer o'zanli, erkin oqish	0,025-0,033	Daryolar bo'limlari o'simlik bilan qoplangan, sekin pqimli va chuqur yuvilgan joylar bilan	0,05-0,08
-"-, tosh bilan ham	0,03-0,04	Daryolarning bo'limlari botqoqlik turdag'i o'simliklar bilan qoplanganlar	0,075-0,15
Dayriy o'zgaruvchan oqim (katta va kichik), sirti va shakli yaxshu holatda	0,033	Katta va kichik daryolar, qaysitqagan nisbatan ishlab chiqarilgan, o'simlik bilan qoplangan (o'tlar, butalar)	0,05
Er uzanli quruq, azimjarlar yaxshiroq, sharoitdan ko'ra pastroq. sharoitda	0,04	Past sohilni yaxshigejna usimlik bosgan, sekin OQIM bilan va chuqur yuvilish bilan	0,08
O'zgaruvchan oqar suvlar o'zanlan (vaqtiga-vaqt ijslaydigan), toshqin davrida ko'p muqlorda cho'kindilarni keluruvchi, ya'n virj shag'altosh yoki o'simlik bilan qoplanganlari, O'zgaruvchan oqar suvlar qatpiq ifloslangan va king'ir-qishqaq	0,05	Shuning o'zi, noto'g'ri qiyalik oqim bilan, va katta suv tarqalish bilan (aylanna suvlar)	0,1
Toza egri soy, kam sonli yuvilishlar bilan, pastlashgan chuqurliklar bilan	0,033-0,045	O'rmonli qayirlar, mahalliy chuqurliklar bindan, Jonaz atrof bilan	0,133
Shuning o'zi, faqat ozgina o'simlik bilan bostirigan va toshlar bilan	0,035-0,05	Yopiq, qayirlar, butunlay o'simlik bilan koplangan (o'rmonliklar)	0,2

Kanal qirg'og'ining qiyaligi "m"-qiyalik koeffitsiyenti

Ilova, 7-jadval

Kanal asosini tashkil etuvchi tuproq	Qirg'oqning qiyaligi m	
	Suv osti qismi	Suv ustti qismi
soz tuproq	1-1,5	0,5-1,0
qumli soz tuproq	1,25-2,0	1,0-1,5
qum	1,25-2,25	1,5

Kanallarning va ko'tarmalarning "m" koeffitsiyenti

Ilova, 8-jadval

Zamin tuproq	O'zanni hosil qiluvchi zamin tuproqqa bog'liqlikda kanallarning qiyalik "m" o'tkazish koeffitsiyenti		Zamin tuproq	O'zanni hosil qiluvchi zamin tuproqqa bog'liqlikda kanallarning qiyalik "m" o'tkazish koeffitsiyenti		
	qiyaliklar			qiyaliklar		
	suv ostidagi	suv utidagi		suv ostidagi	suv utidagi	
Qoyalik	0,00- 0,50	0,00-0,25	Mayda qum	1,50-2,50	1,00-	
YArim qoyalik	0,50-1,00	0,50	Changsimon qur	3,00-3,50	2,00	
Shag'al-toshlik,	1,25-1,50	1,00			2,50	
Shag'alli qurnilar bilan						
Gil, qumoq og'ir va o'rtacha	1,00-1,50	0,50-1,00				
Qumoq engil tuproq, qumloq tuproq	1,25-2,00	1,00-1,50				

Ilova, 9-jadval

Zamin tuproq	YArim ko'tarmada va ko'tarmada o'matiladigan kanallar ko'tarmasi tashqi tomon qiyalik "m" o'tkazish koeffitsiyenti	Zamin tuproq	YArim ko'tarmada va ko'tarmada o'matiladigan kanallar ko'tarmasi tashqi tomon qiyalik "m" o'tkazish koeffitsiyenti
Gil, qumoq og'ir va o'rtacha	0,75-1,0	Qumoq tuproq	1,0-1,5
Qumoq engil tuproq	1,0-1,25		1,25-2,0

Jadvallar 1 va 2 eslatma: 1. Qiyalik o'tkazish birinchi ahamiyati suv sarfi $0,5 \text{ m}^3/\text{s}$ dan kam bo'lgan kanallar uchun, qiyalik o'tkazish ikkinchi ahamiyat esa, suv sarfi $10 \text{ m}^3/\text{s}$ dan ko'p bo'lgan kanallar uchun. 2. Kanallarning ichki va tashqi qiyaliklarini jadvalda ko'rsatilgancha nisbatan oshirish mumkin, agar bu sharoit bo'yicha, qurilish ishlab chiqarish ishlar taraqqiyot usullarni qo'llash zarur bo'lsa.

Ruxsat etiladigan tezliklar qiymatlari, $\mathcal{S}, \text{m/s}$

Illova, 10-jadval

Tuproq zarrasining o'rtacha kattaligi, d_{ur} (mm)	Oqimning o'rtacha chuqurligi, h (m)			
	0,5	1	3	5
A. Qumsimon tuproqlar uchun				
1	0,51	0,55	0,62	0,65
3	0,73	0,8	0,91	0,96
5	0,87	0,96	1,1	1,17
B. Gil tuproqlar uchun				
Yopishqoqligi, S	0,5	1	3	5
0,05	0,71	0,77	0,89	0,98
0,075	0,83	0,91	1,04	1,1

Yuvilishga qarshi ruxsat etilgan (yo'l qo'yilgan) tezliklar

Nowa, 11-jachval

Zamin tuproq bo'lakchalarini o'rtacha tezligi, bir tarkibli o'zaro bog'liq bo'lmasagan zamin tuproq uchun ular tarkibida 0,1 kg/m ³ , m/s dan kam bo'lganda va gilli qismchalar bilan, oqimning chiqurligi 1 m dan bo'lganligi tezlik	Zamin tuproq bo'lakchalarini o'rtacha tezligi, bir tarkibli o'zaro bog'liq bo'lmasagan zamin tuproq uchun ular tarkibida 0,1 kg/m ³ , m/s dan kam bo'lganda va gilli qismchalar bilan, oqimning chiqurligi 1 m dan bo'lganligi tezlik	Zamin tuproq bo'lakchalarini o'rtacha tezligi, bir tarkibli o'zaro bog'liq bo'lmasagan zamin tuproq, uchun ular tarkibida 0,1 kg/m ³ , m/s dan kam bo'lganda va gilli qismchalar bilan, oqimning chiqurligi 1 m dan bo'lganligi tezlik	Oqimning yuvilishiga qarshi yo'l qo'yilgan o'racha tezligi, bir tarkibli o'zaro bog'liq bo'lmasagan zamin tuproq, uchun ular tarkibida 0,1 kg/m ³ , m/s dan kam bo'lganda va gilli qismchalar bilan, oqimning chiqurligi 1 m dan bo'lganligi tezlik				
0,5	1	3	5	0,5	1	3	5
0,05	0,52	0,55	0,60	0,62	10,00	1,10	1,23
0,15	0,36	0,38	0,42	0,44	15,00	1,26	1,42
0,25	0,37	0,39	0,41	0,45	20,00	1,37	1,55
0,37	0,38	0,41	0,46	0,48	25,00	1,46	1,65
0,50	0,41	0,44	0,50	0,52	30,00	1,56	1,76
0,75	0,47	0,51	0,57	0,59	40,00	1,68	1,93
1,00	0,51	0,55	0,62	0,65	75,00	2,01	2,35
2,00	0,64	0,70	0,79	0,83	100,00	2,15	2,54
2,50	0,69	0,75	0,86	0,90	150,00	2,35	2,84
3,00	0,73	0,80	0,91	0,96	200,00	2,47	3,03
5,00	0,87	0,96	1,10	1,17	300,00	2,90	3,32

Eslama: Jadval 1-4 da yuvilishda qarshi yo'l qo'yilgan tezlikning miqdorn zichligi u=2650 kg/m³ bor bo'lgan, ish sharoiti koefitsienti K<=160 ligan zamin tuproq uchun keltirilgan. Boshqa zichlikdagi va bostiga ish sharoiti koefitsientidagi zamin tuproqni yuvilishga qarshi yo'l qo'yilgan tezligi jadval 1-4 da ko'satilgan miqdorlarni ularga teng koefitsienti $\gamma = 1000$ ko'paytirish yo'li bilan aniqlanadi. 1650

Qismchalarini
o'ttacha
kattaligi mm
Oqimlar yuvilishiga qarshi yo'l qo'yilgan tezligi, bir, tarkibda va o'zaro bog'liq bo'lmagan zamin tuproq uchun m/c,
kanalni to'ldirish chuoqurligi 5% gacha va yuvilishchuoqurligi m/s bo'lganda va kanal postini hosil qiluvchi zamin
tuproq turkumining bo'g'liq koefitsiyentiga bog'liq

	$K_a=0.5$					$K_a=0.3$					$K_a=0.2$					$K_a=0.15$				
	0.5	1	3	5	0.5	1	3	5	0.5	1	3	5	0.5	1	3	5	0.5	1	3	5
0.25	0.44	0.47	0.52	0.55	0.53	0.58	0.64	0.68	0.62	0.67	0.76	0.80	0.65	0.75	0.85	0.66	0.75	0.85	0.89	0.89
0.37	0.48	0.52	0.58	0.61	0.59	0.64	0.72	0.75	0.65	0.75	0.84	0.89	0.66	0.83	0.94	0.66	0.83	0.94	1.00	1.00
0.50	0.53	0.57	0.64	0.67	0.63	0.70	0.79	0.83	0.67	0.81	0.92	0.97	0.66	0.86	0.94	0.66	0.86	0.94	1.03	1.09
0.75	0.59	0.65	0.73	0.77	0.68	0.79	0.89	0.94	0.70	0.87	1.05	1.11	0.66	0.88	1.17	0.66	0.88	1.17	1.24	1.24
1.00	0.63	0.70	0.79	0.83	0.71	0.83	0.96	1.02	0.70	0.89	1.13	1.20	0.66	0.91	1.26	0.66	0.91	1.26	1.34	1.34
2.00	0.79	0.89	1.04	1.10	0.83	1.01	1.26	1.34	0.76	0.99	1.41	1.56	0.70	0.93	1.44	0.70	0.93	1.44	1.72	1.72
2.50	0.84	0.96	1.13	1.20	0.87	1.06	1.36	1.46	0.78	1.02	1.48	1.70	0.71	0.94	1.48	0.71	0.94	1.48	1.79	1.79
3.00	0.88	1.02	1.21	1.28	0.90	1.11	1.44	1.56	0.80	1.04	1.54	1.78	0.73	0.96	1.51	0.73	0.96	1.51	1.84	1.84
5.00	1.01	1.18	1.45	1.56	0.98	1.23	1.67	1.86	0.86	1.11	1.68	1.98	0.78	1.01	1.58	0.78	1.01	1.58	1.95	1.95
10.00	1.18	1.42	1.82	2.00	1.00	1.38	1.97	2.26	0.95	1.21	1.83	2.22	0.86	1.10	1.67	0.86	1.10	1.67	2.07	2.07
15.00	1.29	1.57	2.05	2.28	1.17	1.48	2.13	2.48	1.02	1.29	1.92	2.34	0.93	1.17	1.74	0.93	1.17	1.74	2.14	2.14
20.00	1.38	1.68	2.22	2.48	1.23	1.55	2.24	2.64.	1.07	1.35	1.99	2.42	0.98	1.23	1.80	0.98	1.23	1.80	2.20	2.20
25.00	1.44	1.76	2.36	2.65	1.28	1.61	2.33	2.75	1.11	1.40	2.05	2.48	1.01	1.27	1.85	1.01	1.27	1.85	2.25	2.25
30.00	1.50	1.83	2.47	2.79	1.32	1.66	2.40	2.84	1.15	1.44	2.10	2.54-	1.04	1.31	1.90	1.04	1.31	1.90	2.30	2.30
40.00	1.59	1.95	2.64	3.01	1.39	1.74	2.52	2.99	1.20	2.52	2.19	2.63	1.07	1.38	1.99	1.07	1.38	1.99	2.38	2.38
75.00	1.79	2.22	3.05	3.51	1.51	1.94	2.79	3.31	1.28	1.68	2.43	2.88	1.13	1.51	2.20	1.13	1.51	2.20	2.62	2.62
100.00	1.87	2.35	3.24	3.75	1.56	2.02	2.93	3.48	1.30	1.74	2.55	3.02	-	-	-	-	-	-	-	-
150.00	1.98	2.52	3.54	4.09	1.60	2.14	3.14	3.71	-	-	-	-	-	-	-	-	-	-	-	-

Eslatma: 1. 7-jadval 1 -ga eslatmani kuring.

Hisobiy solishtirma birlashish (ko'shilish) C, Pa	Oqimning yuvilishga qarshi o'rtacha tezligi, o'zaro bog'liq zamin tuproq uchun, tuproq moddasi tarkibida 0.2% dan kam tez eruvchan tuzlar, m/s, ga va oqimning chuqurligi, m ga bog'liq.				Hisobiy solishtirma birlashish (ko'shilish) C, Pa	Oqimning yuvilishga qarshi o'rtacha tezligi, o'zaro bog'liq zamin tuproq uchun, tuproq moddasi tarkibida 0.2% dan kam tez eruvchan tuzlar, m/s, ga va oqimning chuqurligi, m ga bog'liq.			
	0.5	1.0	3.0	5.0		0.5	1.0	3.0	5.0
0.005	0.39	0.43	0.49	0.52	0.175	1.21	1.33	1.52	1.60
0.01	0.44	0.48	0.55	0.58	0.20	1.28	1.40	1.60	1.69
0.02	0.52	0.57	0.65	0.69	0.225	1.36	1.48	1.70	1.80
0.03	0.59	0.64	0.74	0.78	0.25	1.42	1.55	1.78	1.88
0.04	0.65	0.71	0.81	0.86	0.30	1.54	1.69	1.94	2.04
0.05	0.71	0.77	0.89	0.98	0.35	1.67	1.83	2.09	2.21
0.075	OKZ	0.91	1.04	1.10	0.40	1.79	1.96	2.25	2.38
0.10	0.96	1.04	1.20	1.27	0.45	1.88	2.06	2.35	2.49
0.125	1.03	1.13	1.30	1.37	0.50	1.99	2.17	2.05	2.63
0.15	1.13	1.23	1.41	1.49	0.60	2.16	2.38	2.72	2.83

Eslatma: 1. Jadval 1 ga eslatmani ko'ring.

2. Hisobiy solishtirma birlashishni, me'yoriy solishtirma birlashishga, bu zamin tuproqning bir turilik koeffitsiyentiga ko'paytirish bilan aniqlanishi kerak. Me'yoriy solishtirma birlashish deb, birlashishni o'rtacha ahamiyati, tajribalar (25 martadan kam bo'linmagan) natijasida olingan ma'lumotlar bo'yicha qabul qilinishi kerak Gilli zamin tuproq bnr turilik koeffitsiyenti formula buyicha aniqlanadi $\kappa_0 = 1 - \alpha\sigma / C$

bu yerda: α – eng kam ehtimollikni tavsya qiluvchi kaeffisient va markaziy kanallar uchbuy - 2.65 birinch qatorli taqsimlagichlar uchun - 2.5, oxirgi qatorli taqsimlagichlar uchun - 2.0

σ -egri mezon taqsimlashni (ikki darajali xatosi).

C - zamin tunroqning o'rtacha h isobiy qo'shilish ga teng.

Past qatorli taqsimlagichlar uchun, suv yig'uvchi – suv tashlama kanallar uchun va kollektorlar – zax qochirish shaxobchasi uchun hisobiy solishtirma ko'shilish ahamiyati haqidagi ma'lumot yo'q bo'lsa, qabul qiligan me'yoriy xujjalarga asosan qabul qilish lozim

Hisobiy solishtirma birlashish (ko'shilish) C, Pa	Oqimning yuvilishga qarshi yo'l qo'yilgan o'rtacha tezligi, o'zaro bog'liq sho'rlangan zamin tuproq uchun, tuproq tarkibida 0.2-0.3% tez eruvchan tuzlar bo'lsa, m/s, va oqimning chuqurligi, m ga bog'liq.				Hisobiy solishtirma birlashish (ko'shilish) C, Pa	Oqimning yuvilishga qarshi yo'l qo'yilgan o'rtacha tezligi, o'zaro bog'liq sho'rlangan zamin tuproq uchun, tuproq tarkibida 0.2-0.3% tez eruvchan tuzlar bo'lsa, m/s, va oqimning chuqurligi, m ga bog'liq.			
	0.5	1.0	3.0	5.0		0.5	1.0	3.0	5.0
0.005	0.36	0.40	0.46	0.49	0.18	0.70	0.77	0.89	0.94
0.01	0.39	0.43	0.49	0.52	0.20	0.75	0.82	0.93	1.00
0.02	0.41	0.45	0.52	0.55	0.23	0.80	0.88	1.00	1.07
0.03	0.43	0.48	0.55	0.59	0.25	0.82	0.91	1.04	1.10
0.04	0.46	0.51	0.58	0.62	0.30	0.90	0.99	1.12	1.20
0.05	0.48	0.53	0.61	0.65	0.35	0.97	1.06	1.22	1.30
0.075	0.51	0.56	0.64	0.69	0.40	1.03	1.15	1.31	1.40
0.10	0.55	0.51	0.70	0.75	0.45	1.09	1.20	1.39	1.46
0.125	0.60	0.67	0.76	0.81	0.50	1.26	1.28	1.46	1.56
0.15	0.65	0.72	0.82	0.88	0.60	2.27	1.38	1.60	1.70

Eslatma: 1. Zamin tuproq tarkibida tez eruvchan tuzlar 5% ortiq bo'lsa, yuvilishga qarshi yo'l qo'yilgan tezlik maxsus izlanishlarga asoslanib o'rganilishi kerak. 2. Jadval 1-3 eslatmalarini ko'ring.

Qoplama matolar mustahkamlik loyiha belgisi (markasi)	Monolit beton bilan qoplangan kanallar uchun yig'ma temirbeton bilan va asfaltbeton bilan qoplangan, oqimni chuqurligi, m, yuvilishga qarshi yo'l qo'yilgan o'rtacha tezlik, m/s			
	0.5	1.0	3.0	5.0
50	9.6	10.6	12.3	13.0
75	11.2	12.4	14.3	15.2
100	12.5	13.8	16.0	17.0
150	14.0	15.6	18.0	19.1
200	15.6	17.3	20.0	21.2
300	19.2	21.2	24.3	26.1

Kanal o'zanining tuprog'i	O'zaro bog'liq va bog'liq bo'limgan zamin tuproq uchun, oqim tarkibida gilli qismlar 0,1 kg/m ³ va ortiqroq bo'lganda, ishning sharoit koefitsiyenti K _c		
	markaziy kanallar va ularning tarmoqlari uchun	yuqori qatorli taqsimlagich kanallar uchun	past qatorli taqsimlagichlar uchun
Qum: mayda va o'rtacha yiriklidiagi yirik va shag'alli	1.3 1.5	1.4 1.6	1.5 1.7
Shag'al: mayda	1.5	1.6	1.7
o'rtacha	1.4	1.5	1.7
yirik	1.2	1.3	1.4
Shag'altosh	1.1	1.2	1.3
Gilli zamin tuproq mayjudlikda koloid ahvoldagi cho'kmalar tagini korroziyalovchi cho'kmalar	1.3	1.4	1.6
Tagi va qiyaliklar o'simlik bilan qoplangan	0.75	0.8	0.85
Namlantirish etarlibo'limgan viloyatlar uchun kanallar uzoq vaqt ishlamaganda	1.1 0.2	1.15 0.22	1.2 0.25

Eslatma: 1.Kanallarning uzoq vaqt ishlamagan qolishi zamin tuproqning qurushiga va ularni yuvilishga qarshiligini pasaytiradi.

2.Kanallarning vaqtma-vaqt ishlashi hisobga olinmaydi va yo'l qo'yilgan tezlik kamaytirilmaydi, qachonki kanallar uchun yuvilish va qaysilarning yuvilishi meo'yoriy foydalanishga qarshilik ko'rsatmaydi (suv yig'uvchi-suv tashlama kanallar, kam ishlovchi tashlamalar)

Loyqa zarrachalarining gidravlik kattaligi

Illova, 13-jadval

<i>d,mm</i>	<i>W,mm/s</i>	<i>d,mm</i>	<i>W,mm/s</i>	<i>d,mm</i>	<i>W,mm/s</i>
0,005	0,0175	0,06	2,49	0,15	15,60
0,01	0,0692	0,07	3,39	0,175	18,90
0,02	0,277	0,08	4,43	0,20	21,60
0,03	0,623	0,09	5,61	0,225	24,30
0,04	1,11	0,10	6,92	0,25	27,00
0,05	1,73	0,125	10,81	0,275	29,90

Tubi to'g'ri nishabli uzanning ($i > 0$) turli gidravlik ko'rsatkich (x)lari uchun $\varphi(\eta)$ funksiyaning qiymati

η	x									
	2,00	2,50	3,00	3,25	3,50	3,75	4,00	4,50	5,00	5,50
0	0	0	0	0	0	0	0	0	0	0
0,05	0,050	0,050	0,050	0,050	0,050	0,050	0,050	0,050	0,050	0,050
0,10	0,100	0,100	0,100	0,100	0,100	0,100	0,100	0,100	0,100	0,100
0,15	0,151	0,150	0,150	0,150	0,150	0,150	0,150	0,150	0,150	0,150
0,20	0,202	0,201	0,200	0,200	0,200	0,200	0,200	0,200	0,200	0,200
0,25	0,255	0,252	0,251	0,250	0,250	0,250	0,250	0,250	0,250	0,250
0,30	0,309	0,304	0,302	0,301	0,300	0,300	0,300	0,300	0,300	0,300
0,35	0,365	0,357	0,354	0,352	0,351	0,351	0,351	0,350	0,350	0,350
0,40	0,423	0,411	0,407	0,404	0,403	0,403	0,402	0,401	0,400	0,400
0,45	0,484	0,468	0,461	0,458	0,456	0,455	0,454	0,452	0,451	0,450
0,50	0,549	0,527	0,517	0,513	0,510	0,508	0,507	0,504	0,502	0,501
0,55	0,619	0,590	0,575	0,573	0,566	0,564	0,561	0,556	0,554	0,552
0,60	0,693	0,657	0,637	0,630	0,624	0,621	0,617	0,610	0,607	0,605
0,61	0,709	0,671	0,650	0,642	0,636	0,632	0,628	0,621	0,618	0,615
0,62	0,725	0,685	0,663	0,654	0,648	0,644	0,640	0,632	0,629	0,626
0,63	0,741	0,699	0,676	0,667	0,660	0,656	0,652	0,644	0,640	0,637
0,64	0,758	0,714	0,689	0,680	0,673	0,668	0,664	0,656	0,651	0,648
0,65	0,775	0,729	0,703	0,693	0,686	0,681	0,676	0,668	0,662	0,659
0,66	0,792	0,744	0,717	0,706	0,699	0,694	0,688	0,680	0,674	0,670
0,67	0,810	0,760	0,731	0,720	0,712	0,707	0,700	0,692	0,686	0,681
0,68	0,829	0,776	0,746	0,734	0,725	0,720	0,713	0,704	0,698	0,692
0,69	0,848	0,792	0,761	0,748	0,739	0,733	0,726	0,716	0,710	0,704
0,70	0,867	0,809	0,776	0,763	0,753	0,746	0,739	0,728	0,722	0,716
0,71	0,887	0,826	0,791	0,778	0,767	0,760	0,752	0,741	0,734	0,728
0,72	0,907	0,843	0,807	0,793	0,781	0,774	0,766	0,754	0,747	0,740
0,73	0,928	0,861	0,823	0,808	0,796	0,788	0,780	0,767	0,760	0,752
0,74	0,950	0,880	0,840	0,823	0,811	0,802	0,794	0,780	0,773	0,764
0,75	0,972	0,899	0,857	0,839	0,827	0,816	0,808	0,794	0,786	0,776
0,76	0,996	0,919	0,874	0,855	0,843	0,832	0,823	0,808	0,799	0,788
0,77	1,020	0,939	0,892	0,872	0,860	0,848	0,838	0,822	0,812	0,801
0,78	1,045	0,960	0,911	0,890	0,877	0,865	0,854	0,837	0,826	0,814
0,79	1,071	0,982	0,930	0,908	0,895	0,882	0,870	0,852	0,840	0,828
0,80	1,098	1,006	0,950	0,927	0,913	0,900	0,887	0,867	0,854	0,842
0,81	1,127	1,031	0,971	0,947	0,932	0,918	0,904	0,882	0,869	0,857
0,82	1,156	1,056	0,993	0,968	0,951	0,937	0,922	0,898	0,884	0,872
0,83	1,188	1,082	1,016	0,990	0,971	0,956	0,940	0,915	0,900	0,888
0,84	1,221	1,110	1,040	1,013	0,992	0,976	0,960	0,933	0,917	0,904
0,85	1,256	1,139	1,065	1,037	1,015	0,997	0,980	0,952	0,935	0,921
0,86	1,293	1,170	1,092	1,062	1,039	1,019	1,002	0,972	0,953	0,938
0,87	1,333	1,203	1,120	1,088	1,065	1,043	1,025	0,993	0,972	0,956
0,88	1,375	1,238	1,151	1,116	1,092	1,069	1,049	1,015	0,992	0,975
0,89	1,421	1,276	1,183	1,146	1,121	1,097	1,075	1,039	1,014	0,995
0,90	1,472	1,316	1,218	1,179	1,152	1,127	1,103	1,065	1,038	1,017
0,905	1,499	1,338	1,237	1,197	1,169	1,143	1,117	1,079	1,050	1,028
0,910	1,527	1,361	1,257	1,216	1,186	1,159	1,132	1,093	1,063	1,040
0,915	1,557	1,385	1,278	1,236	1,204	1,176	1,148	1,108	1,077	1,053
0,920	1,589	1,411	1,300	1,257	1,223	1,194	1,165	1,124	1,091	1,066
0,925	1,622	1,439	1,323	1,279	1,243	1,214	1,184	1,141	1,106	1,080
0,930	1,658	1,469	1,348	1,302	1,265	1,235	1,204	1,159	1,122	1,095
0,935	1,696	1,501	1,374	1,326	1,288	1,257	1,225	1,178	1,139	1,111

7	x									
	2,00	2,50	3,00	3,25	3,50	3,75	4,00	4,50	5,00	5,50
0,940	1,738	1,535	1,403	1,352	1,312	1,280	1,247	1,198	1,157	1,128
0,945	1,782	1,571	1,434	1,380	1,338	1,305	1,271	1,219	1,176	1,146
0,950	1,831	1,610	1,467	1,411	1,367	1,332	1,297	1,241	1,197	1,165
0,955	1,885	1,653	1,504	1,445	1,399	1,362	1,325	1,265	1,220	1,186
0,960	1,945	1,701	1,545	1,483	1,435	1,395	1,356	1,292	1,246	1,209
0,965	2,013	1,756	1,591	1,526	1,475	1,432	1,391	1,324	1,275	1,235
0,970	2,092	1,820	1,644	1,575	1,521	1,475	1,431	1,362	1,308	1,265
0,975	2,184	1,895	1,707	1,632	1,575	1,525	1,479	1,407	1,347	1,300
0,980	2,297	1,985	1,783	1,703	1,640	1,587	1,537	1,460	1,394	1,344
0,985	2,442	2,100	1,881	1,795	1,727	1,666	1,611	1,525	1,455	1,400
0,990	2,646	2,264	2,018	1,921	1,844	1,777	1,714	1,614	1,538	1,474
0,995	3,000	2,544	2,250	2,137	2,043	1,965	1,889	1,770	1,680	1,605
1,000	∞	∞	∞	∞	∞	∞	∞	∞	∞	∞
1,005	2,997	2,139	1,647	1,477	1,329	1,218	1,107	0,954	0,826	0,730
1,010	2,652	2,863	1,419	1,265	1,138	1,031	0,936	0,790	0,680	0,598
1,015	2,450	1,704	1,291	1,140	1,022	0,922	0,836	0,702	0,603	0,525
1,020	2,307	1,591	1,193	1,053	0,940	0,847	0,766	0,641	0,546	0,474
1,025	2,197	1,504	1,119	0,986	0,879	0,789	0,712	0,594	0,503	0,435
1,030	2,107	1,432	1,061	0,931	0,827	0,742	0,668	0,555	0,468	0,402
1,035	2,031	1,372	1,010	0,885	0,784	0,702	0,632	0,522	0,439	0,375
1,040	1,966	1,320	0,967	0,845	0,747	0,668	0,600	0,494	0,415	0,353
1,045	1,908	1,274	0,929	0,810	0,716	0,638	0,572	0,469	0,394	0,334
1,05	1,857	1,234	0,896	0,779	0,687	0,612	0,548	0,447	0,375	0,317
1,06	1,768	1,164	0,838	0,726	0,640	0,566	0,506	0,411	0,343	0,290
1,07	1,693	1,105	0,790	0,682	0,600	0,529	0,471	0,381	0,316	0,266
1,08	1,629	1,053	0,749	0,645	0,565	0,497	0,441	0,355	0,292	0,245
1,09	1,573	1,009	0,713	0,612	0,534	0,469	0,415	0,332	0,271	0,226
1,10	1,522	0,969	0,680	0,583	0,506	0,444	0,392	0,312	0,253	0,210
1,11	1,477	0,933	0,652	0,557	0,482	0,422	0,372	0,293	0,237	0,196
1,12	1,436	0,901	0,626	0,533	0,461	0,402	0,354	0,277	0,223	0,183
1,13	1,398	0,872	0,602	0,512	0,442	0,384	0,337	0,263	0,211	0,172
1,14	1,363	0,846	0,581	0,493	0,424	0,368	0,322	0,250	0,200	0,162
1,15	1,331	0,821	0,561	0,475	0,407	0,353	0,308	0,238	0,190	0,153
1,16	1,301	0,797	0,542	0,458	0,391	0,339	0,295	0,227	0,181	0,145
1,17	1,273	0,775	0,525	0,442	0,377	0,326	0,283	0,217	0,173	0,137
1,18	1,247	0,755	0,510	0,427	0,364	0,314	0,272	0,208	0,165	0,130
1,19	1,222	0,736	0,495	0,413	0,352	0,302	0,262	0,200	0,158	0,124
1,20	1,199	0,718	0,480	0,400	0,341	0,292	0,252	0,192	0,151	0,118
1,21	1,177	0,701	0,467	0,388	0,330	0,282	0,243	0,184	0,144	0,113
1,22	1,156	0,685	0,454	0,377	0,320	0,272	0,235	0,177	0,138	0,108
1,23	1,136	0,670	0,442	0,366	0,310	0,263	0,227	0,170	0,132	0,103
1,24	1,117	0,656	0,431	0,356	0,301	0,255	0,219	0,164	0,126	0,098
1,25	1,098	0,643	0,420	0,346	0,292	0,247	0,212	0,158	0,121	0,094
1,26	1,081	0,630	0,410	0,337	0,284	0,240	0,205	0,152	0,116	0,090
1,27	1,065	0,618	0,400	0,328	0,276	0,233	0,199	0,147	0,111	0,086
1,28	1,049	0,606	0,391	0,320	0,268	0,226	0,193	0,142	0,107	0,082
1,29	1,033	0,594	0,382	0,312	0,261	0,220	0,187	0,137	0,103	0,079
1,30	1,018	0,582	0,373	0,307	0,254	0,214	0,181	0,133	0,099	0,076
1,31	1,004	0,571	0,365	0,297	0,247	0,208	0,176	0,129	0,095	0,073
1,32	0,990	0,561	0,357	0,290	0,241	0,202	0,171	0,125	0,092	0,070
1,33	0,977	0,551	0,349	0,283	0,235	0,197	0,166	0,121	0,089	0,067
1,34	0,964	0,542	0,341	0,277	0,229	0,192	0,161	0,117	0,086	0,064

η	x									
	2,00	2,50	3,00	3,25	3,50	3,75	4,00	4,50	5,00	5,50
1,35	0,952	0,533	0,334	0,271	0,224	0,187	0,157	0,113	0,083	0,061
1,36	0,940	0,524	0,328	0,265	0,219	0,182	0,153	0,109	0,080	0,058
1,37	0,928	0,516	0,322	0,259	0,214	0,177	0,149	0,106	0,077	0,056
1,38	0,917	0,508	0,316	0,253	0,209	0,173	0,145	0,103	0,074	0,054
1,39	0,906	0,500	0,310	0,248	0,204	0,169	0,141	0,100	0,072	0,052
1,40	0,896	0,492	0,304	0,243	0,199	0,165	0,137	0,097	0,070	0,050
1,41	0,886	0,484	0,298	0,238	0,195	0,161	0,134	0,094	0,068	0,048
1,42	0,876	0,477	0,293	0,233	0,191	0,157	0,131	0,091	0,066	0,046
1,43	0,866	0,470	0,288	0,229	0,187	0,153	0,128	0,088	0,064	0,045
1,44	0,856	0,463	0,283	0,225	0,183	0,150	0,125	0,085	0,062	0,044
1,45	0,847	0,456	0,278	0,221	0,179	0,147	0,122	0,083	0,060	0,043
1,46	0,838	0,450	0,273	0,217	0,175	0,144	0,119	0,081	0,058	0,042
1,47	0,829	0,444	0,268	0,213	0,171	0,141	0,116	0,079	0,056	0,041
1,48	0,821	0,438	0,263	0,209	0,168	0,138	0,113	0,077	0,054	0,040
1,49	0,813	0,432	0,259	0,205	0,165	0,135	0,110	0,075	0,053	0,039
1,50	0,805	0,426	0,255	0,201	0,162	0,132	0,108	0,073	0,052	0,038
1,55	0,767	0,399	0,235	0,184	0,147	0,119	0,097	0,065	0,045	0,032
1,60	0,733	0,376	0,218	0,170	0,134	0,108	0,087	0,058	0,039	0,027
1,65	0,703	0,355	0,203	0,157	0,123	0,098	0,079	0,052	0,034	0,023
1,70	0,675	0,336	0,189	0,145	0,113	0,090	0,072	0,046	0,030	0,020
1,75	0,650	0,318	0,177	0,134	0,104	0,083	0,065	0,041	0,026	0,017
1,80	0,626	0,303	0,166	0,124	0,096	0,077	0,060	0,037	0,023	0,015
1,85	0,605	0,289	0,156	0,115	0,089	0,071	0,055	0,033	0,020	0,013
1,90	0,585	0,276	0,147	0,108	0,083	0,066	0,050	0,030	0,018	0,011
1,95	0,567	0,264	0,139	0,102	0,078	0,061	0,046	0,027	0,016	0,009
2,0	0,550	0,253	0,132	0,097	0,073	0,057	0,043	0,025	0,015	0,008
2,1	0,518	0,233	0,119	0,086	0,064	0,049	0,037	0,021	0,012	0,007
2,2	0,490	0,216	0,108	0,077	0,057	0,043	0,032	0,018	0,010	0,006
2,3	0,466	0,201	0,098	0,069	0,051	0,038	0,028	0,015	0,008	0,005
2,4	0,444	0,188	0,090	0,063	0,046	0,034	0,024	0,013	0,007	0,004
2,5	0,424	0,176	0,082	0,057	0,041	0,031	0,021	0,011	0,006	0,003
2,6	0,405	0,165	0,076	0,052	0,037	0,028	0,019	0,0095	0,0050	0,0025
2,7	0,389	0,155	0,070	0,048	0,033	0,025	0,017	0,0084	0,0045	0,0020
2,8	0,374	0,149	0,065	0,044	0,030	0,022	0,015	0,0075	0,0040	0,0015
2,9	0,360	0,138	0,060	0,040	0,027	0,020	0,013	0,0067	0,0035	0,0010
3,0	0,346	0,131	0,056	0,037	0,025	0,0185	0,0125	0,0060	0,0030	0,00075
3,5	0,294	0,104	0,041	0,026	0,017	0,0125	0,0075	0,0035	0,0020	0,00050
4,0	0,255	0,084	0,031	0,019	0,012	0,0085	0,0050	0,0020	0,0010	0,00025
4,5	0,226	0,070	0,025	0,014	0,009	0,0065	0,0035	0,0015	0,0005	0
5,0	0,203	0,059	0,020	0,010	0,007	0,0050	0,0025	0,0010	0	0
6,0	0,168	0,047	0,014	0,007	0,004	0,0030	0,0015	0,0005	0	0
8,0	0,126	0,029	0,009	0,004	0,002	0,0015	0,0010	0,0002	0	0
10,0	0,100	0,021	0,005	0,002	0,001	0,0005	0,0005	0	0	0

GLOSSARI

ADSORBLANGAN SUV (lot. *ad-* da, *yuzasida* va *sorbeo-* shimish) – molekular kuchlar ta'sirida qattiq jinslar yuzasida ushlanib qoluvchi suv.

ARIQ DARVOZASI, DAXANA QULOQ – katta ariq va kanallardan kichik ariqlarga suv o'tadigan joyga o'mnatilgan inshoot, suv o'tkazuvchan maxsus darvoza.

ARXIMED BURAMASI – Arximed er. av. III asrda ixtiro qilgan suv ko'tarish mashinasi. Ikkala uchi ochiq truba ichiga o'matilgan burama sirtli o'qdan iborat. Uni qiya holda suvg'a botirib, o'qning burama sirti shamol yoki boshqa harakatlantiruvchi vosita yordamida aylantirilganda suv trubaning ichki yuzasi bo'ylab 3-4 m yuqoriga ko'tariladi.

ARXIMED KUCHI – suyuqlikka botirligan jismga siqib chiqaruvchi kuch ta'sir qilib, bu kuchning kattaligi botirligan jism siqib chiqargan suyuqlik og'irligiga teng bo'lgan kuchi.

ATMOSFERA (yunon. *atmos* - bug' va *spliaira* - shar) - Yer sirtini o'rab turgan havo qatlami.

AERATSIYALANGAN SUV – suv massasining havo bilan to'yinishi.

AMALIY KO'RINISHLI SUV UTKAZGICH (TUSHIRGICH) – bu inshootlar ikki xil: vakuumli va vakuumsiz bo'ladi. Ularning ko'rinishlari ma'lum jadvallardan foydalanilib olingan nuqtalarga asoslanib chiziladi.

BALANS (fr. Balance - tarozi) - ma'lum bir muddatda kirim-chiqimning yakuniy nisbati (muvozanati).

BOSIM MARKAZI - Kuchning ta'sir etuvchisining qo'yilish nuqtasi bosim markazi deb ataladi.

VATER CHIZIGI-suvdag'i jismning suv satxi bilan kesishish chizig'i.

VERNER – o'lhash asboblari (niveler, teodolit va b.) da daraja bo'linmalari bo'yicha uzunlik va burchaklarni aniqroq hisoblashga moslovchi uskuna (boshqacha nomi nonius). Ixtirochi, fransuz olimi P. Verne nomidan olingan.

GIGROGRAF (gigro va graf) – namlikni qayd qiluvchi asbob.

GIDRAVLIKA (yunon. *hydraulikos hydor* - suv va *aulos-* nay) – suyuqliklarning muvozanatdag'i va harakatdag'i qonunlarini o'rganib, texnikaga tatbiq etuvchi fan. Gidrostatika, gidrodinamika va injenerlik gidravlikasiga bo'linadi.

GIDRAVLIK YUQOLISH – suyuqlik oqimining harakat davomida energiyasining yuqolishi. Suv oqimining kanal yoki qurvur ichidagi turli qarshiliklar (g'adir-budirlik, burilish va b.) ni yengish uchun o'z energiyasining bir qismining yo'qolishi.

GIDRAVLIK USUL BILAN (SUV KUCHI BILAN) YUVISH – inshootlarda (tindirgichlar va h.k.) cho'kib qolgan loyqalarni gidravlik usul bilan tozalash. Agar inshoot qurilgan joyda suvning bosimi yetarli bo'lsa, loyqalarni gidravlik usul bilan yuvish qo'llaniladi. Buning uchun suv tindirgichdan kanalga kiradigan darvozani berkitib, loyqalarni tashqariga chiqarib yuboruvchi galereya darvozasi ochib qo'yiladi. Bu holda tindirgichga kiradigan suv kanalga o'tmay, galereyada katta tezlik bilan oqib, cho'kib qolgan loyqalarni maxsus yerga yoki daryoning o'ziga oqizib ketadi. Loyqalar yuvib bo'lingandan keyin galeriyaning darvozasi berkitilib,

kanalniki ochiladi va kanalga toza suv kira boshlaydi. Bitta kameradagi loyqalar yuvib tashlangach, ikkinchi kameradagi loyqalar yuviladi.

GIDRAVLIK ENG MAQBUL (O'TA AFZAL) KESIM – gidravlik jihatdan eng qulay kesim yuzasi (G.E.K) deb berilgan sarfn eng katta tezlik bilan o'tkazadigan kesimga aytildi. Kanaldagi suvning kesim yuzasi-harakat kesimi ω va ho'llangan perimetri χ harflari bilan ifodalanadi. Kanalning gidravlik radiusi $R = \frac{\omega\chi}{2}$. Agarda $R=h/2$ bo'lsa, kanalning suv o'tkazish qobiliyati eng katta bo'ladi. Binobarin, $R=h/2$ bo'lganda suv oqimining ko'ndalang kesim yuzasi gidravlik eng maqbo'l kesim hisoblanadi.

GIDROTEXNIK INSHOOTLARNI GIDRAVLIK HISOBBLASH – inshotlar va oqimning uzaro ta'siri davomida oqimning va inshootning gidravlik parametrlarini aniqlash. Gidrotexnik inshootlarni loyihalashda, ko'rishda va foydalanishda lozim bo'lgan parametrlar topiladi.

GIDRAVLIK KO'RSATKICH – suv oqimining ho'llangan yuzasi, gidravlik radiusi va nishabligidan iborat ko'rsatkichlar majmui.

GIDRAVLIK SAKRASH – suvnig notinch(jushkin) holatdan tinch holatga o'tish jarayoni. h_1 chuqurlikda jo'shqin holda oqayotgan suv oqimining qisqa masofada h_2 chuqurlikdagi sokin (tekis turg'un) harakatga o'tish holati. Oqayotgan suvning chuqurligi h_1 kritik keskin chuqurlikdan kichik bo'lib, chuqurligi kritik keskin chuqurlikdan katta bo'lgan h_2 chuqurlikka o'tish jarayoni hamma vaqt gidravlik sakrash orqali yuz beradi. Ikkala chuqurlikning ayirmasi ($a=h_2-h_1$) gidravlik sakrashning balandligi deyiladi. Suv oqimining sakrashdan keyingi, chuqurligi (h_2) birinchi chuqurlik (h_1) bilan tutashgan chuqurlik deyiladi. Gidravlik sakrash vaqtida suvning energiyasi 64–67% yo'qoladi. Katta kinetik energiyaga ega bo'lgan jo'shqin suv oqimi daryo o'zanini yoki inshootning pastki byeflarini yuvib yubormasligi uchun gidravlik sakrash yuz beradigan yerni va uning uzunligini bilish zarur. Odatda, gidravlik sakrash yuz beradigan joyni, mumkin qadar, inshootga yaqin keltirishga yoki uni yo'qotishga harakat qilinadi. Pastki byefdagi suvning chuqurligi (h_6) va sakrash balandligi bir-biriga nisbatan uch xil joylashishi mumkin: 1) $hb < h_2$ bo'lganida gidravlik sakrash to'siqsiz hamda siqiq chuqurlikda ancha narida yuz beradi; 2) $h_6 = h_2$ bo'lganida gidravlik sakrash siqiq chuqurlikda yuz beradi; 3) $hb > h_2$ bo'lganida gidravlik sakrash pastki byef tomonidan qaytarib turiladi.

GIDRAVLIK TARAN – gidravlik zarba hisobiga suv chiqaruvchi mashina.

Gidravlik tarandan qishloq xo'jaligidagi, ayniqsa, tog'li yerlarda keng foydalilanadi. Gidravlik taranlarning ishlashi uchun hech qanday energiya kerak bo'lmaydi. Ularda energiya o'z-o'zidan paydo bo'ladi.

GIDRAVLIK ZARBA – naporli sharoitda ishlaydigan quvurlarda (vodoprovod tarmoqlarida, GES va nasos stansiyalarining quvurlarida) uchraxdigan hodisa. Naporli quvurlarning darvozalari tez ochib yuborilsa, quvurga suv tezlik bilan kiradi va uning ichidagi bosim keskin ortib ketib, quvurni yorib yuborish xavfi tug'iladi. Quvurning darvozasi tezda berkitib qo'yilganda quvur ichida vakuum hosil bo'lib, quvur pachoqlanib qolishi mumkin. Mana shu hodisa, ya'ni quvurda suv bosimining keskin ko'tarilishi va vakuum hosil bo'lishi natijasida yuz beradigan jarayon gidravlik zarba deyiladi. Gidravlik zarbani kamaytirish uchun maxsus tadbirlar o'riliadi.

GIDRAVLIK NISHABLIK (QIYALIK) – ma'lum masofa (I) dagi gidravlik yuqolishning (h) ning mazkur masofaga nisbati: $i=h/l$.

GIDRANT – suv quvuridan suv olish uchun mo'ljallangan jumrak. Gidrant yer ustida va ostida joylashadi.

GIDRODINAMIKA – harakatdagi suyuqlikning konunlarini o'rganib, texnikaga tadbiq etuvchi gidravlika bo'limi.

GIDRODINAMIK BOSIM – harakatda bo'lgan suvning bosimi. Gidrotexnik inshoot ostidan sizib o'tadigan suvning bosimi.

GIDROSTATIKA – muvozanatdagi suyuqlik qonunlarini o'rganib, texnikaga tadbiq etuvchi gidravlika bo'limii.

GIDROSTATIK LOT – suvning chuqurligini o'chaydigan asbob. Bu asbob turli tuzilishlarda bo'ladi. Masalan, usti berk naycha suvgaga qancha botirilsa, uning ichidagi havo shuncha ko'p siqiladi. Mana shu siqilgan havoning hajmiga qarab naychaning suvgaga qancha tushirilganini hisoblab topish mumkin. Suvning chuqurligini bevosita o'chash vaqtida atmosfera bosimi va suvning temperaturasini nazarga olib, asbobning ko'rsatishiga tuzatishlar kiritiladi. Bunday asboblar bilan dengiz va ko'llarning 500 metrga yaqin chuqurliklarini o'chash mumkin.

GIDROSTATIK BOSIM – hidrostatik bosim kuchining harakatsiz (muvozanatda) turgan suvning yuzasiga nisbati

GIDROSTATIK G'AYRITABIIYLIK (PARDOKS) – gidravlika qonunlari bo'yicha suyuqlikdagi bosim uning shakliga bog'liq bo'lmay, uning chuqurligiga bog'liq.

DARSI KOEFFITSIENTI - (gidravlik ishkalanish koefitsiyenti) quvur uzunligi bo'yicha yuqolgan naporni aniqlashda foydalananidigan koefitsiyent. Quvurning materialiga, holatiga va harakat rejimiga bog'liq bo'ladi.

IVANOVNING TRAPESIYASIMON SUV UTKAZGICH – suv sarfi oz bo'lgan o'zanlardagi suvni tushirish va ularning miqdorini o'chash ishlarida qo'llaniladigan suv o'tkazgich. Yon tomonlari 1:1 nishablikka ega, yuqori va pastki qismida reyka o'matilgan.

LAMINAR HARAKAT REJIMI- laminar harakat davomida suyuqlik oqimchalari bir-biriga parallel harakat qiladi. Truba devorlari esa unga yopishib qolgan suyuqlik zarrachalari bilan qoplanadi.

MUVOZANAT TENGLAMASI – suv muvozanatining kirim va sarflanish elementlarini bog'lovchi tenglama. Yopiq havza uchun kirim suvi havza maydoniga yog'adigan atmossfera yog'inidan, suv bug'larining suyuqlikka aylanishidan va yer osti suvlarining oqimidan tashkil topadi. Sarflanuvchi qismi ustki oqim, bug'lanish va havzadan oqib ketuvchi yer osti suvlaridan tashkil topadi.

NISBIY BALANDLIK – biror nuqtaning ikkinchi nuqtaiga nisbatan balandligi.

REYNOLDS SONI – suyuqlik harakatini tezlikning oqim o'chamiga ko'paytmasining qovushoqlik kinematik koefitsientiga nisbati.

SUV SARFI – vaqt davomida harakat kesimidan o'tyoetgan suv miqdori.

SUV AERATSIYASI (yunon. aeg-havo) – suvning havo kislороди bilan to'yinishi. S. a. suvni temirsizlantirish, shuningdek, uni erkin karbonat kislota va vodorod sulfidlaridan holi qilish maqsadida suvlarni tozalovchi vodoprovod inshootlarida (bu ichimlik va sanoat maqsadlarida foydalilanidigan suvning sifatini tubdan yaxshilaydi); oqava suvdagi erigan organik moddalar va boshqa iflosliklarning

minerallanish jarayonini tezlatuvchi organizmlar – aerob bakteriyalarining hayot faoliyatini ta'minlash uchun; oqava suvlarni biologik tozalash inshootlari (aerofiltr, biofiltrlar, maxsus moslama – aeratorlar) yordamida suv oqimini havoda purkash yo'li bilan baliqchilik havzalarida amalga oshiriladi.

SUV OQIMINING GIDRAVLIK ELEMENTLARI – suv oqimining kesim yuzasi-harakat kesimi, ho'llangan perimetrr, gidravlik radius nishablik, nuqtadagi tezlik, o'rtacha tezlik, suv sarfi va boshqalar.

SUVNING QOVUSHOQLIGI (YOPISHQOQLIGI) – suv (suyuqlik) qatlamlarining nisbiy harakatiga (siljishiga) qarshilik ko'rsatuvchi xususiyati.

SUV OQIMINING KRITIK CHUQURLIGI – suv oqimining kesimidagi minimal solishtirma energiyasiga mos keluvchi chuqurlik..

SUV OQIMINING NORMAL CHUQURLIGI – o'zandagi (kanaldagi) tekis harakatga mos keluvchi suv oqimining chuqurligi.

TURBULENT HARAKAT REJIMI - Suyuqlikning tezligi oshgan sari zarrachalar betartib harakat qila boshlaydi. Natijada ular birinchi qavatdan qo'shni qavatga o'tadi va energiyani ma'lum qismi yo'qoladi.

FRUD SONI – oqimning kinetiklik holatini ifodalaovchi parametr. Oqimning ikkilangan kinetik energiyasining potensial energiyasiga nisbati

O'RTACHA TEZLIK - oqim sarfining harakat kesimiga nisbati.

HO'LLANGAN PERIMETR - suv oqimning qattiq sirt bilan chegarasi.

FOYDALANILGAN ADABIYOTLAR

- Гиргидов А.Д. Механика жидкости и газа (гидравлика) Сank-Петербург. Изд.СПбГПУ, 2004 г.
- Afifjanov A.M., Raximov Q.T., Xodjiev A.Q. Gidravlika TIMI -2016y – 378b.
- Д.Р.Бозоров, Р.М.Каримов, Ж.С.Казбеков, С.К.Хидиров Гидравлика. Тошкент, 2003 йил
- Melvyn Kay, Practical Hydraulics (Taylor & Francis 2 Park Square, Milton Park, Abingdon, Oxon OX14 4RN) 2008.-253 pages
- Latipov Q.SH. Gidravlika, gidromashinalar va gidroyuritmalar.- Toshkent: O'qituvchi, 1992 y.
- Shtrenlixt D.V. Gidravlika. M., Energoatomizdat, 1992 g.
- Kiselev P. G. Gidravlika osnovi mexaniki jidkosti. M., Energiya 1980 g.
- Bashta'T. M., Rudnev S. S, Nekrasov B. I. va boshqalar, Gidravlika i gidravlicheskiye mashini M., "Mashinostroyenie" 1980 g.1.
- Osipov P. Ye. Gidravlika i gidravlicheskiye mashini, M., "Lesnaya promishlennost, 1965g.
- Uginshus A. A. Gidravlika i gidravlicheskiye mashini, Xarkov, izd. Xarkovskogo Gosuniversiteta im. A. M. Gorkogo 1966g
- Kostyushenko E.V.,Laptiyev V.I., Xolodok L.A. Praktikum po gidravlike I gidromxanizatsii selskoxozyaystvennix protsessov.- Minsk urojaj, 1991g.
- Yufin A. P. Gidravlika, gidravlicheskiye mashini i gidroprivodi M., "Vissaya Shkola", 197 1965g
- A.Arifjanov, I.Axmedxodjayeva, A.Fatxullayev. Suv resurslari.TIMI, 2008y.
- Nekrasov B.B. Zadachnik po gidravlike, gidromashinam i gidroprivodu-M „Vissaya shkola“. 1995g.
- Yesman I. G. Nasosi. Izd. Neftyanoy i Gorno-toplivnoy literaturi. M., 1954 g.
- Tumarkin M. B. Gidravlicheskiye sledyashie privodi M., "Mashinostroyeniye", 1966 g.
- Krivshyenko G.I., Gidravlicheskiye mashini, M., Energiya 1978 g.
- Prokofyev V.N., Danilov Yu.A., Kondakov L.A., Luganskiy A. S., Syelin Yu. A. Aksialno-porshnevoy reguliruyemiy privod, M., "Mashinostroenie" M., 1969 g.
- Geyyer V. G., Dumin V. S, Borsmenskiy A. G., Zorya A. N. Gidravlika gidroprivod "Nedra" M., 1970 g.
- K.Sh. Latipov - Suyuqliklarda ichki ishqalanish kuchlanishi haqida UzSSR FA Axborotlari, texnika fanlari seriyasi, 1980 y. № 6. 43-47- bet.
- K.Sh. Latipov - Gidravlik qarshilik koefitsiyentini aniqlashga doir. UzSSR FA Dokladlari 1982 y. № 8; 16-19-bet.
- Norkin P. K., Latipov K. Sh. Gidrodinamicheskiye peredachi i ob'yemniy gidroprivod (konsept lektsiy) Izd-vo TashPI Tashkent - 1980 y.

MUNDARIJA

Kirish.....	3
I bob. Suyuqliklarning asosiy xossalari.....	6
1.1-§. Suyuqlik to'g'risida asosiy tushunchalar.....	6
1.2-§. Suyuqliklarga ta'sir qiluvchi kuchlar.....	7
1.3-§. Suyuqliklarning fizik xossalari.....	7
1.4-§. Suyuqliklardagi ishqalanish uchun Nyuton qonuni. Qovushqoqlik.....	11
1.5-§. Sirt tarangligi (kapillyarlik).....	15
1.6-§. Suyuqlik to'yingan bug'inining bosimi.....	16
1.7. §. Gazlarning suyuqlikda erishi. Kavitsiya hodisasi haqida tushuncha...	17
1.8-§. Ideal suyuqlik modeli.....	17
1.9-§. Nyuton qonuniga bo'yusunmaydigan suyuqliklar.....	18
II bob. Gidrostatika.....	21
2.1-§. Suyuqliklarda bosim.....	21
2.2-§. Tinch turgan suyuqlikdagi bosimning xossalari.....	22
2.3-§. Muvozanatdagi suyuqliknинг differensial tenglamasi (Eyler differensial tenglamasi).....	23
2.4-§. Bosimi teng sirtlar. Erkin sirt.....	25
2.5-§. Eyler tenglamasining integrallari.....	26
2.6-§. Gidrostatikaning asosiy tenglamasi.....	29
2.7-§. Absolyut, manometrik, vakuummetrik va atmosfera bosimlari. Bosim o'lchov birliklari	30
2.8-§. Bosim o'lchash asboblari.....	31
2.9-§. Paskal qonuni.....	34
2.10-§. Tekis sirtga ta'sir qiluvchi bosim kuchi.....	39
2.11-§. Grafoanalitik usul.....	42
2.12-§. Gidrostatik g'ayritabiyyilik (paradoks).....	43
2.13-§. Egri sirtlarga ta'sir qiluvchi bosim.....	60
2.14-§. Bosim epyurasi.....	62
2.15-§. Arximed qonuni.....	69
2.16-§. Jism larning suyuqlikda suzishi. Suzuvchanlik.....	71
2.17-§. Nisbiy tinchlik.....	73
III b o b. Suyuqliklar kinematikasi va dinamikasi asoslari.	
Suyuqliklarda harakat turlari.....	77
3.1-§. Gidrodinamikaning asosiy masalasi. Harakat turlari.....	77
3.2-§. Oqimchali harakat haqida asosiy tushunchalar. Oqim chizig'i, oqim naychasi va oqimcha. Suyuqlik oqimlari.....	79
3.3-§. Oqimning asosiy gidravlik elementlari.....	80
3.4-§. Suyuqliknинг barqaror harakati uchun uzilmaslik tenglamasi.....	84
3.5-§. Ideal suyuqliklar uchun harakat tenglamasi. Suyuqlik harakati uchun Eyler tenglamasi.....	86
3.6-§. Real suyuqliklarda ichki kuchlar. Nave-Stoks tenglamasi.....	88

3.7-§.	Elementar oqimcha uchun Bernuli tenglamasi.....	92
3.8-§.	Bernulli tenglamasining geometrik, energetik va fizik mazmunlari.....	96
3.9-§.	Real suyuqliklar elementar oqimchasi uchun Bernulli tenglamasi.....	101
3.10-§.	Real suyuqliklar oqimi uchun Bernulli tenglamasi. Koriolis koeffitsiyenti.....	102
3.11-§.	Real gazlar oqimi uchun Bernulli tenglamasi.....	104
3.12-§.	Gidravlik va pezometrik qiyaliklar haqida tushuncha.....	105
3.13-§.	Gidravlik yo'qotish haqida tushuncha. Gidravlik yo'qotishning turlari.	107
3.14-§.	Tezlik va sarf o'chash usullari hamda asboblari.....	108
IV bob. Suyuqlik harakatining tartiblari va gidrodinamik o'xshashlik asoslari.....		114
4.1-§.	Suyuqlik harakatining ikki tartibi. Reynolds kritik soni.....	114
4.2-§.	Gidrodinamik o'xshashlik asoslari. Gidrodinamik hodisalarini modellash	117
		123
V b o b. Suyuqliklarning laminar harakati.....		123
5.1-§.	Tezlikning silindrik quvur kesimi bo'yicha taqsimlanishi.....	123
5.2-§.	Quvur uzunligi bo'yicha energiyaning yo'qolishi (Puazeyl formulasi).....	125
5.3-§.	Oqimning boshlang'ich bo'lagi	126
5.4-§.	Tekis va halqasimon tirqishlarda suyuqliknинг laminar harakati.....	127
5.5-§.	Laminar oqimning maxsus turlari (o'zgaruvchan, qovushqoqlik, obliteratsiya).....	133
VI b o b. Suyuqliklarning turbulent harakati.....		137
6.1-§.	Suyuqlik turbulent harakatining xususiyatlari.....	137
6.2-§.	Tezlik va bosim pulsatsiyalari	138
6.3-§.	Tenglashtirilgan tezliklarning kesim bo'yicha taqsimlanishi.....	140
6.4-§.	Turbulent harakatda urinma zo'riqish.....	142
6.5-§.	Quvurlarda bosimning kamayishi	146
6.6-§.	Darsi formulasi va gidravlik ishqalanish koeffitsiyenti (Darsi koeffitsiyenti)	147
6.7-§.	Quvur devorining g'adir-budirligi. Absolyut va nisbiy g'adir-budirlilik .	149
6.8-§.	Nikuradze va Murin grafiklari	150
6.9-§.	Gidravlik silliq va g'adir-budir quvurlar.....	153
6.10-§.	Darsi koeffitsiyentini aniqlash uchun formulalar va ularning qo'llanish sohalari	154
6.11-§	Nosilindrik quvurlardagi harakatlar	156
VII bob. Mahalliy gidravlik qarshiliklar.....		159
7.1-§.	Mahalliy qarshilikning asosiy turlari. Mahalliy qarshilik koeffitsiyenti.....	159
7.2-§.	Reynolds sonining katta qiymatlari uchun mahalliy qarshilik koeffitsiyentlari.....	163

7.3- §.	Quvurning keskin kengayishi (Bord teoremasi)	163
7.4- §.	Diffuzorlar.....	166
7.5- §.	Quvurlarning torayishi.....	168
7.6- §.	Tirsaklar.....	169
7.7- §.	Reynolds sonining kichik qiymatlarida mahalliy qarshilik koeffitsiyenti.....	170
7.8- §.	Mahalliy gidravlik qarshiliklarda kavitatsiya hodisasi.....	172
7.9- §.	Kavitatsiyadan amalda foydalanish.....	173
7.10- §.	Mahalliy qarshiliklarning o'zaro ta'siri.....	174
	.	177
VIII b o b. Suyuqliklarning teshik va naychalardan oqishi		177
8.1- §.	Suyuqlikning yupqa devordagi teshikdan o'zgarmas bosimda oqishi ..	177
8.2- §.	Siqilish, tezlik va sarf koeffitsiyentlari.....	179
8.3- §.	Suyuqlikning silindrik naychadan oqishi	180
8.4- §.	Turli xil naychalar	182
8.5- §.	Suyuqliklarning teshikdan o'zgaruvchan naporda oqishi.....	184
8.6- §.	Oqimcha texnikasi haqida tushuncha	186
IX b o b. Quvurlarni gidravlik hisoblash		191
9.1- §.	Sodda quvurni hisoblashning asosiy tenglamasi	192
9.2- §.	Quvurning iqtisodiy tejamli diametrini topish haqida tushuncha.....	196
9.3- §.	Sifon quvur.....	197
9.4- §.	Quvurlarni ketma-ket va parallel ulash.....	199
9.5- §.	Murakkab quvurlar	202
9.6- §.	Nasosdan ta'minlanuvchi quvur	204
9.7- §.	Elektrogidravlik o'xhashlik (analogiya) haqida tushuncha.....	207
X b o b. Gidravlikaning alohida masalalari (maxsus kurs).....		215
Suyuqliklarning beqaror harakati		215
10.1- §.	Siqilmaydigan suyuqlikning deformatsiyalanmaydigan quvurlarda inertsiya bosimi hisobga olingan beqaror harakati.....	216
10.2- §.	Gidravlik zarba hodisasi	219
10.3- §.	To'g'ri zarba uchun N. Ye. Jukovskiy formulasi.....	222
10.4- §.	Teskari gidravlik zarba haqida tushuncha.....	224
10.5- §.	Gidravlik zarbani susaytirish usullari.....	227
10.6- §.	Gidravlik zarbadan amalda foydalanish.....	228
XI b o b. Oqimning devorlar bilan o'zaro ta'sirlashuvi		231
11.1- §.	Oqimchaning to'siqlarga ta'siri.....	231
11.2- §.	Oqimning devorga ta'sir kuchi.....	232

XII bob. Ochiq o'zanlarda (kanallarda) suyuqlik oqimining barqaror tekis harakati.....	235
12.1-§. Suv oqimining tekis harakatini hisoblash formulalari	235
12.2-§. Oqim harakat kesimining gidravlik elementlari.....	237
12.3-§. Kanalning ishchi xarakteristikasi.....	238
12.4-§. Parabola shaklidagi kanalning o'lchamlarini aniqlash.....	240
12.5-§. Kanallarni loyihalashda vujudga keladigan ba'zi masalalarning yechish tartibi.....	242
12.5.1-§. Gidravlik eng qulay (maqbul) kesim elementlarini hisoblash.....	243
12.5.2-§. Gidravlik mustahкам kanal uchun statistik bog'lanishlar.....	244
XIII bob. Ochiq o'zanlar – kanallar gidravlik elementlarini hisoblash.	249
13.1-§. Kanaldagi ruxsat etilgan tezliklar.....	249
13.2-§. Yuvilmaydigan magistral kanalni loyihalash.....	249
13.3-§. Kanalni loyqa bosishga qarshi tekshirish.....	252
13.4-§. Oqimning loyqa uzatish qobiliyati. Dinamik mustahкам kanallar.....	252
 XIV bob. Ochiq o'zanlarda suyuqlik oqimining barqaror notejis harakati.....	255
14.1-§. Notejis harakat. Asosiy tushunchalar.....	255
 XV bob. Suyuqlik oqimining barqaror notejis harakatining differensial tenglamasi.....	258
15.1-§. Barqaror notejis harakat differensial tenglamasi.....	258
15.2-§. Erkin sirt egriligining shakli. Erkin egrи suv sathi chizig'i.....	260
15.3-§. Notejis harakat differensial tenglamasining (integrallash) tahlili...	263
15.4-§. Mashg'ulotlarda informatsion va innovatsion texnologiyalardan foydalananish.....	265
15.4.1-§. To'suvchi to'g'on inshoot oldidagi erkin sirt egrи chizig'i uzunligini aniqlash.....	265
15.4.2-§. Egri ko'tarılma chiziqning uzunligini aniqlash va qurish.....	271
 XVI bob. Gidrotexnik inshootlar gidravlikasi.....	282
16.1-§. Suv o'tkazgichlar. Asosiy tushunchalar va suv o'tkazgichlar tasnifi....	282
16.2-§. Suv o'tkazgichlarning asosiy hisoblash formulasi.....	287
16.3-§. Amaliy profilli suv o'tkazgichlar.....	288
16.4-§. Keng ostonalı suv o'tkazgichlar.....	295
16.5-§. Yupqa devorli suv o'tkazgichlar.....	299
16.5.1-§. Suv o'lchaydigan suv o'tkazgichlar.....	300
16.6-§. Inshootlar bo'g'inini (gidrouzel)ni hisobi.....	302
 XVII bob. Gidravlik sakrash.....	310
17.1-§. Gidravlik sakrash va uning elementlari.....	310
17.2-§. Gidravlik sakrashning asosiy tenglamasi.....	311
17.3-§. Gidravlik sakrash funksiyasi.....	312
17.4-§. Gidravlik sakrash parametrlerini hisobi.....	314

XVIII bob. Byeflarni tutashtirish.....	318
18.1-§. Tub nishabligi o'zgarganda byeflarni tutashtirish.....	318
18.2-§. Inshoot-to'g'onlardan suvni oshib o'tishida byeflarni tutashtirish.....	319
18.2.1-§. Gidrotexnik inshootlardagi darvozalar (zatvor)dan o'tayotgan suv sarfini hisoblash.....	321
18.2.2-§. Oqimni to'suvchi devor(zatvor) ostidan oqib chiqishi.....	323
XIX bob. Suv zARBini kamaytiruvchi inshootlar. Oqim energiyasini so'ndirgichlar.....	328
19.1-§. Energiyani so'ndiruvchi xovuz.....	328
19.2-§. Energiya so'ndiruvchi devor (to'siq).....	330
ILOVALAR.....	332
GLOSSARI.....	361
FOYDALANILGAN ADABIYOTLAR.....	365

A.M. Arifjanov, X. Fayziyev, A.U.Toshxo‘jayev

GIDRAVLIKA

Muharrir *Axtam Ro'zimurotov*

Badiiy muharrir va texnik muharrir *Dilmurod Jalilov*

Sahifalovchi *Madina Abdullayeva*

Musahhih *Nigora G'aniyeva*

Nashriyot litsenziyası AI № 315. 24.11.2017.
2020-yil 8-oktabrda bosishga ruxsat etildi.
Bichimi 60x84 1/16. Times New Roman garniturasi.
Offset bosma. 13,5 shartli bosma taboq. 12,5 nashr tabog'i.
Adadi 100 nusxa. 14-raqamli buyurtma.
Bahosi shartnoma asosida

YOSHLAR NASHRIYOT UYI.
Shayxontohur tumani, Navoiy ko'chasi, 11-uy.

"Avto-Nashr" XK босмахонасида чоп этилди.
Тошкент шаҳар, 8-март кўчаси, 57-уй.

ISBN 978-9943-6680-4-1

A standard linear barcode representing the ISBN number 978-9943-6680-4-1.

9 789943 668041